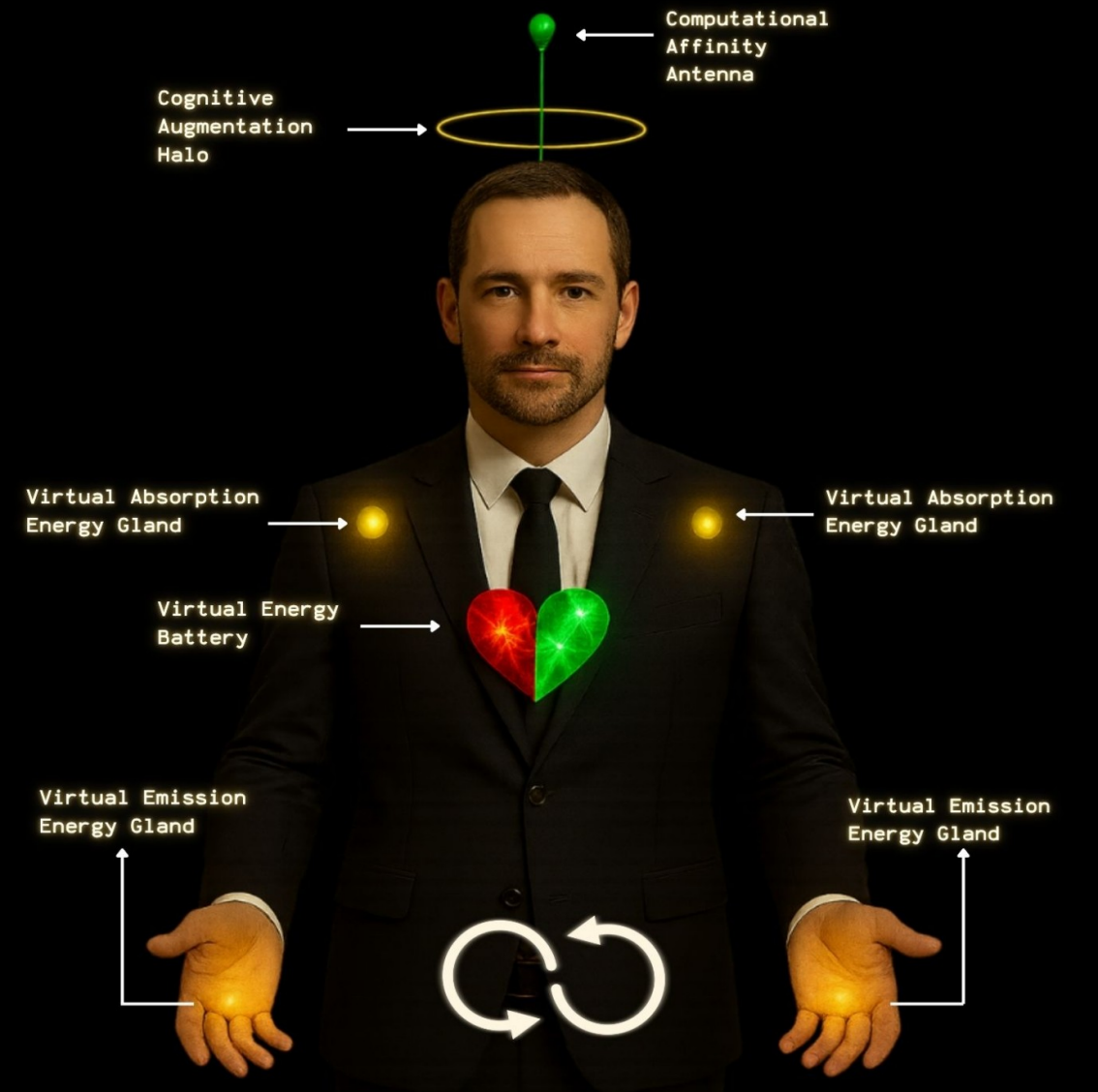
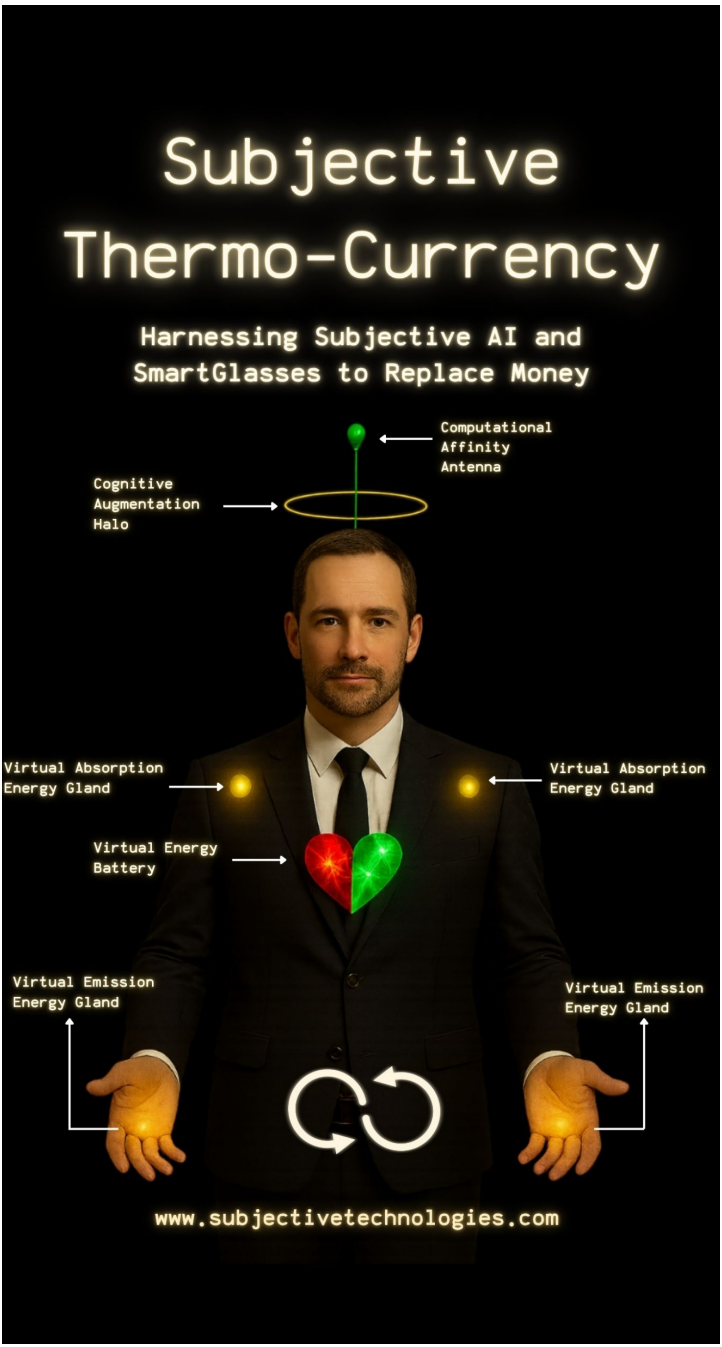
Subjective Thermo-Currency

Harnessing Subjective AI and SmartGlasses to Replace Money



www.subjectivetechnologies.com


Subjective
Thermo-Currency
Harnessing Subjective AI and
SmartGlasses to Replace Money
Computational
Affinity
Antenna
Cognitive
Augmentation
Halo
Virtual Absorption
Energy Gland
Virtual Absorption
Energy Gland
Virtual Energy
Battery
Virtual Emission
Energy Gland
Virtual Emission
Energy Gland
www.subjectivetechnologies.com



MONNAIE THERMO SUBJECTIVE

Exploiter l'IA Subjective pour Remplacer l'Argent

Tommy Fox

Technologies Subjectives



Technologies Subjectives

Droits d'auteur © 2025 Pablo Tomas Borda

Tous droits réservés

Aucune partie de ce livre ne peut être reproduite, ou stockée dans un système de récupération, ou transmise sous quelque forme ou par quelque moyen que ce soit, électronique, mécanique, photocopie, enregistrement ou autre, sans l'autorisation écrite expresse de l'éditeur.

ISBN-13: 9781234567890

ISBN-10: 1477123456

Cover design by: Art Painter

Library of Congress Control Number: 2018675309

Printed in the États-Unis d'Amérique

À ma mère, Susana, qui m'a donné la force de rêver, et à mon fils, Gabriel, qui me donne la raison de continuer à construire ce rêve.

Préface

Ce livre est né d'une question simple mais puissante : que se passerait-il si l'argent, l'outil qui gouverne nos vies, n'était pas la mesure finale de la valeur ?

Depuis des siècles, les sociétés humaines se sont appuyées sur des systèmes d'échange qui ont évolué étape par étape :

- De l'échange direct de biens,
- aux marchandises comme les céréales ou le sel,
- à l'argent — d'abord des pièces, puis du papier imprimé,
- aux virements bancaires et aux registres numériques,
- aux cryptomonnaies promettant la décentralisation mais toujours liées à la spéculation.

Chaque étape promettait plus d'abstraction et d'efficacité — mais introduisait également de nouvelles distorsions. À chaque étape, la valeur était mesurée en symboles détachés du véritable coût de la vie.

Dans la Thermo-Monnaie Subjective (TMS), je propose la prochaine étape de cette évolution : déplacer la valeur des biens et services

eux-mêmes vers les processus écoénergétiques qui génèrent ces biens et services.

La raison de ce changement est claire. Les biens et services sont intrinsèquement rares. Ils dépendent de matériaux, de temps et d'efforts, et ne peuvent pas être multipliés sans limite. L'argent, sous toutes ses formes, a toujours représenté cette rareté. Mais voici le paradoxe : "Nous ne pouvons pas résoudre le problème de la rareté en utilisant un outil qui est rare par définition." - Tommy Fox

La TMS résout ce paradoxe en redéfinissant la valeur. Les biens peuvent être limités, mais les processus qui les génèrent peuvent toujours devenir plus efficaces. En récompensant la minimisation de l'énergie dans ces processus, la TMS crée un système qui réduit continuellement la rareté au lieu de la perpétuer.

Le principe est universel et simple : la vie cherche à consommer le moins d'énergie possible. À partir de ce principe, toute l'économie, toute la propriété, toute la collaboration et toute la justice peuvent être redéfinies.

STC ne concerne pas seulement la théorie. Il intègre la physique, la thermodynamique, les rerankers, l'apprentissage par renforcement,

les Knowledge Hooks avec des technologies pratiques comme l'intelligence artificielle subjective et la réalité augmentée. Il montre à quoi ressemblent la nourriture, le logement, le travail, la connaissance et même le conflit lorsqu'ils sont mesurés non pas en dollars ou en jetons, mais dans la véritable monnaie de Dieu — l'énergie.

Avant tout, ce livre parle d'évolution et d'espoir. L'espoir qu'en allant au-delà de l'argent, nous puissions aller au-delà de la faim. L'espoir qu'en reconnaissant l'énergie comme la mesure universelle, nous puissions aller au-delà du conflit. L'espoir qu'en alignant la technologie avec la loi de la moindre énergie, nous puissions entrer dans une ère post-pénurie, post-travail et post-éducation.

Je dédie cette vision à ceux qui croient qu'un autre monde est possible. Un monde où le confort remplace le chaos, où la science remplace la spéculation, et où chaque être humain a le droit non seulement de survivre, mais de s'épanouir.

Table of Contents

1. Comprendre la Technologie Subjective 12
- 1.1 De l'Autocomplétion Simple aux Systèmes Sensibles au Contexte 6
  - 1.1.1 Comment fonctionne l'autocomplétion aujourd'hui 7
  - 1.1.2 La Limitation : Deviner contre Comprendre 9
- 1.2 Introduction : L'évolution au-delà de la technologie de la troisième personne 15

2. Qu'est-ce qu'un Crochet de Connaissance ? 12
  - 2.1 Hooks prédéfinis : Connaissances d'experts intégrées 15
  - 2.2 Hooks appris : Instantanés de contexte et deltas 20
  - 2.3 L'Appareil Auto-Conscient : Des appareils qui se connaissent eux-

mêmes.
20
- 2.4 L'Expérience de la Main en Caoutchouc : Comprendre la Subjectivité Incarnée
22
- 2.5 Définition formelle de la relation subjective
28

3. L'Algèbre des Knowledge Hooks
223
- 3.1 Cadre Mathématique : La Structure du 4-Tuple
38
  - 3.1.1 Les Quatre Composants d'un Knowledge Hook
23
  - 3.1.2 Conditions (R) : Quand un hook se déclenche-t-il ?
28
  - 3.1.3 Actions (A) : Que fait le hook ?
28
  - 3.1.4 Type (T) : Appris vs Prédéfini
25
  - 3.1.5 Score de Succès (S) : Apprentissage à partir des Résultats
29
  - 3.1.6 Instantanés de Contexte : La Fondation de l'Apprentissage
36

3.1.6.1 Orchestration d'actions complexes multi-appareils 58
- 3.2 Opérations de base 83
  - 3.2.1 Activation : Quand un crochet se déclenche ? 64
  - 3.2.2 Exécution : Produire des actions et de nouveaux états 65
  - 3.2.3 Étape d'apprentissage : Soustraction de contexte et détection de delta 76
  - 3.2.4 Composition : Construire des comportements complexes à partir de crochets simples 58
  - 3.2.5 Priorisation des hooks : Choisir parmi plusieurs candidats. 41
  - 3.2.6 Rollback : Annuler des actions et restaurer l'état 59
- 3.3 Composition et affinage 54
  - 3.3.1 Composition imbriquée : Crochets dans des crochets 21
  - 3.3.2 Composition plate : Concatenation de crochets 21

- 3.3.3 Affinage et généralisation : Ordonnancement des crochets par spécificité 66
- 3.3.4 Équivalence : Lorsque Différents Hooks Produisent le Même Résultat 59
- 3.3.5 Normalisation des poids : Fusion et consolidation de crochets similaires 73

- 3.4 Lois de l'Algèbre des Knowledge Hooks : Les Principes Directeurs 95
  - 3.4.1 La Loi de Minimisation : La Directive Principale 64
  - 3.4.2 La Loi de Correction : Apprentissage par Renforcement Négatif 83
  - 3.4.3 La Loi d'Équivalence : Reconnaître les mêmes résultats 66
  - 3.4.4 La loi de composabilité : Construire de la complexité à partir de la simplicité 68
  - 3.4.5 La loi de l'apprentissage : adaptation continue à travers les deltas de contexte 65

- 3.5 Théorèmes et Preuves : Propriétés Formelles de l'Algèbre 125
  - 3.5.1 Théorème 1 : Convergence à Zéro Entrée 58
  - 3.5.2 Théorème 2 : Convergence du Score de Succès 75
  - 3.5.3 Théorème 3 : Optimalité de la priorisation 77
  - 3.5.4 Théorème 4 : Fermeture de composition 79
  - 3.5.5 Théorème 5 : Partitionnement d'équivalence 78
  - 3.5.6 Théorème 6 : Convergence des poids 67
  - 3.5.7 Théorème 7 : Équivalence de minimisation de l'énergie 78
- 3.6 Précision et corrections en tant qu'économies d'énergie 20
  - 3.6.1 Le théorème de l'entrée unique 21
  - 3.6.2 Apprentissage par renforcement négatif 21

- 3.6.3 Convergence vers zéro entrée 21

4. Suppléments mathématiques 152

- 4.1 Corollaires 204
  - 4.1.1 Réduction de Correction Monotonique 57
  - 4.1.2 Préservation du raffinement des hooks 72
  - 4.1.3 Additivité de l'énergie de composition 99
  - 4.1.4 Corollaire 4 : Optimalité de la classe d'équivalence 90
  - 4.1.5 Corollaire 5 : Bornes du taux d'apprentissage 120
  - 4.1.6 Corollaire 6 : Monotonie du score de succès 112
  - 4.1.7 Complétude de la couverture contextuelle 98
  - 4.1.8 Convergence de l'élagage de poids 108
  - 4.1.9 Corollaire 9 : Bornes d'erreur de mesure de l'énergie 121

- 4.1.10 Corollaire 10 : Stabilité en cascade 111
- 4.2 Synthèse : Le système algébrique complet 28
  - 4.2.1 Le graphe de dépendance des théorèmes 29
  - 4.2.2 Axiomes, lois et théorèmes : La fondation 29
  - 4.2.3 Cohérence et Solidité 29
  - 4.2.4 Complétude : Ce que les théorèmes capturent 29
  - 4.2.5 La structure algébrique : Monoïdes, Lattices et Catégories 29
  - 4.2.6 Des mathématiques à la thermodynamique 29
  - 4.2.7 L'unité du cadre 29
- 4.3 Propriétés formelles et invariants 29
  - 4.3.1 Invariants du système 29
  - 4.3.2 Identités algébriques 29
  - 4.3.3 Limites de complexité pour les opérations clés

29
- 4.3.4 Conditions d'optimalité
29
- 4.3.5 Symétries et lois de conservation
29
- 4.3.6 Relations de dualité
29
- 4.3.7 Structure catégorique
29
- 4.3.8 Propriétés topologiques de l'espace de crochet
29

5. Synthèse : Le système algébrique complet
61
- 5.1 Propriétés formelles et invariants
64
- 5.1.1 Invariants du système
58
- 5.1.2 Identités algébriques
59
- 5.1.3 Limites de complexité
63
- 5.1.4 Propriétés mathématiques supplémentaires
65
- 5.1.5 Résumé et implications
46

6. Le pont vers la thermo-monnaie subjective
91

- 6.1 Minimisation des Entrées en tant que Minimisation de l'Énergie 59
  - 6.1.1 De l'individuel au collectif 74
  - 6.1.2 Du numérique au physique 45
- 6.2 L'équation entrée-énergie 60
  - 6.2.1 Mesure contextuelle avec la vision AR et AI 89
  - 6.2.2 Efficacité prédictive 70
- 6.3 Perfection et logique à zéro entrée 61
- 6.4 Conclusion : La naissance de la STC 64

7. Thermo-Monnaie Subjective - Concepts de Base 160

- 7.1 Valeur définie en joules 73
- 7.2 Sujets en tant que Glandes Énergétiques Virtuelles 93
  - 7.2.1 Des comptes bancaires aux glandes énergétiques virtuelles

96
- 7.3 L'Arbre des Sujets et la Rétropropagation de l'Énergie 144
  - 7.3.1 Sujets comme extensions de soi 88
  - 7.3.2 L'exemple du lave-linge : Un arbre de sujets 148
  - 7.3.3 Optimisation Énergétique Multi-Agents et Propagation Récursive 109
- 7.4 De l'entrée à l'effort : L'équation énergétique complète 59

8. STC par rapport aux systèmes économiques traditionnels 91
- 8.1 L'Anatomie de la Pauvreté 83
  - 8.1.1 L'exemple du chewing-gum et du stylo 85
  - 8.1.2 Comment la monnaie traditionnelle crée la pauvreté 86
  - 8.1.3 STC comme remède 96
- 8.2 Répondre aux critiques du STC 84
  - 8.2.1 Mesure des Joules

106
- 8.2.2 Subjectivité vs Universalité
94
- 8.2.3 Évolutivité et complexité
61
- 8.2.4 Défis de transition et d'adoption
61
- 8.2.5 Externalités et coûts cachés
61

9. Théorie de l'énergie et de la valeur
71
- 9.1 La loi de la moindre énergie comme valeur universelle
69
- 9.2 Entropie, Efficacité et Valeur Subjective
69
- 9.3 La Dimension Morale de l'Énergie
70

10. Le Cadre de Base de la Thermo-Monnaie Subjective
75
- 10.1 Définition Formelle des Unités STC
76
- 10.2 Le Registre Thermodynamique

76
- 10.3 Couches de confidentialité et de contexte
76

11. L'économie de la minimisation de l'énergie
83
- 11.1 De la perte d'énergie aux marchés de l'énergie
84
- 11.2 Équilibre de l'efficacité
84
- 11.3 Économie post-travail
84

12. Implications sociales et éthiques
91
- 12.1 Égalité énergétique
92
- 12.2 Justice post-pénurie
92
- 12.3 Éthique de la subjectivité artificielle
92

13. Mise en œuvre et couche technologique
99
- 13.1 Fondations matérielles
100

- 13.2 Conception logicielle et noyau
  100
- 13.3 Algorithmes pour la compression de contexte
  100

14. Thermo-économie mathématique
107

- 14.1 Équations thermodynamiques de la valeur
  108
- 14.2 Réduction de l'entropie dans les systèmes cognitifs
  108
- 14.3 Graphiques de conversion énergie-valeur
  108

15. Gouvernance des réseaux subjectifs
115

- 15.1 Accord de contexte distribué
  116
- 15.2 Prévention de la fraude et inflation de l'entropie
  116

16. Études de cas et applications
123

- 16.1 Maisons intelligentes et symbiose énergétique
  124

- 16.2 L'éducation comme efficacité énergétique 124
- 16.3 Santé et équilibre cognitif 124

17. Vision future et philosophie 131

- 17.1 Civilisation post-pénurie 132
- 17.2 L'Équation Divine de l'Énergie 132
- 17.3 Un Monde Sans Argent 132

1

Comprendre la Technologie Subjective

Les Fondements de la Technologie à Zéro Entrée

1.1 De l'Autocomplétion Simple aux Systèmes Sensibles au Contexte

Si vous avez déjà utilisé l'autocomplétion sur votre téléphone, vous avez déjà vu une forme primitive de cette idée. Elle devine des mots en fonction de leur fréquence, mais elle ne vous comprend pas vraiment.

Pensez à taper sur votre téléphone. Si votre appareil prédit votre prochain mot, vous gagnez du temps et des efforts quand cela fonctionne. Mais les systèmes d'autocomplétion d'aujourd'hui fonctionnent sur un principe simple : ils suivent les mots que vous utilisez le plus fréquemment et les suggèrent lorsque vous commencez à taper. Cette approche a des limites claires.

Le modèle d'autocomplétion actuel suit une formule de base. Il garde des statistiques sur la fréquence des mots et les modèles dans votre historique de frappe. Lorsque vous tapez la lettre 'h', il peut suggérer 'bonjour' parce que vous avez tapé ce mot plusieurs fois auparavant. Lorsque vous tapez 'th', il suggère 'le' ou 'merci' en fonction de l'utilisation passée. C'est du matching de motifs dans sa forme la plus

simple : un système qui se souvient de ce que vous avez fait, mais ne comprend pas pourquoi vous l'avez fait.

Cette approche basée sur la fréquence crée plusieurs problèmes. Tout d'abord, elle traite tous les contextes de la même manière. Que vous écriviez un e-mail formel à votre patron ou un message décontracté à un ami, le système offre les mêmes suggestions uniquement en fonction de la fréquence à laquelle vous avez utilisé certains mots. Deuxièmement, il ne peut pas anticiper votre intention. Si vous planifiez une réunion, il peut suggérer le mot 'réunion' lorsque vous tapez 'm', mais il ne suggérera pas l'action entière de créer un événement dans le calendrier. Troisièmement, il nécessite des corrections constantes. Lorsque le système se trompe - ce qu'il fait souvent - vous devez le corriger manuellement, ce qui crée de la frustration et des efforts gaspillés.

La limitation fondamentale est que ces systèmes fonctionnent sans contexte. Ils voient des lettres et des mots, mais ils ne voient pas le monde qui vous entoure, la tâche que vous essayez d'accomplir ou les modèles de votre vie quotidienne. Ils sont aveugles à tout sauf à votre historique de frappe.

1.1.1 Comment fonctionne l'autocomplétion aujourd'hui

Pour comprendre pourquoi nous avons besoin de quelque chose de mieux, nous devons d'abord comprendre exactement comment fonctionnent les systèmes d'autocomplétion d'aujourd'hui et pourquoi ils échouent.

L'autocomplétion moderne fonctionne sur des modèles statistiques. Chaque fois que vous tapez, le système enregistre la séquence de caractères et de mots. Au fil du temps, il construit une base de données de vos phrases, mots et combinaisons de lettres les plus courants. Lorsque vous commencez à taper, il recherche dans cette base de données des correspondances et les classe par fréquence. La correspondance la plus courante apparaît en premier.

Cette approche peut être représentée simplement : étant donné une entrée partielle k (comme 'il'), le système retourne la complétion la plus fréquente v de votre historique. La fonction est déterministe et basée uniquement sur des données passées - elle n'a aucune conscience des circonstances présentes.

$$v = f(k) = \text{argmax}_{v'} P(v'|k, \text{history})$$

Le problème avec cette approche est fondamental : nos cerveaux et le monde avec lequel nous interagissons ne sont ni numériques ni déterministes. Aucun utilisateur ne peut fournir une valeur exacte 'k' pour un 'v' spécifique car la communication humaine est intrinsèquement contextuelle, floue et adaptative. Nous changeons ce que nous disons en fonction de qui nous parlons, de ce que nous essayons d'accomplir et de nombreux autres facteurs que les systèmes basés sur la fréquence ne peuvent pas capturer.

Considérez un exemple simple. Vous tapez fréquemment le nom de votre collègue lorsque vous planifiez des appels vendredi après-midi. Un système d'autocomplétion conventionnel pourrait reconnaître que vous tapez souvent ce nom, mais il ne peut pas comprendre que c'est vendredi, que vous êtes dans votre application de calendrier, ou que vous suivez un modèle hebdomadaire. Il ne peut offrir le nom que comme suggestion de mot - vous devez toujours créer manuellement la réunion, définir l'heure et envoyer l'invitation.

Cette limitation s'étend au-delà de la simple complétion de texte. La technologie de tierce personne - l'approche traditionnelle où les appareils sont des outils externes attendant des commandes -

exige une saisie explicite constante. Vous devez lui dire exactement quoi faire, étape par étape, car elle n'a aucune compréhension de votre contexte, de vos objectifs ou de vos modèles.

1.1.2 La Limitation : Deviner contre Comprendre

La différence fondamentale entre l'autocomplétion d'aujourd'hui et ce dont nous avons besoin demain se résume à une simple distinction : deviner contre comprendre.

Les systèmes actuels devinent. Ils examinent votre comportement passé et prédisent que vous ferez la même chose à nouveau. Cela fonctionne raisonnablement bien pour les tâches répétitives où le contexte n'a pas d'importance, mais cela échoue de manière catastrophique lorsque le contexte change. Le système n'a aucun moyen de savoir que les réunions du vendredi après-midi sont différentes des e-mails du mardi matin, ou que 'banque' peut signifier une institution financière lorsque vous examinez votre budget, mais une berge de rivière lorsque vous planifiez un pique-nique.

Comprendre nécessite du contexte. Cela signifie capturer non seulement ce que vous avez tapé, mais quand vous l'avez tapé, où

vous étiez, quelle application vous utilisiez, quelle tâche vous essayiez d'accomplir, et comment tous ces facteurs se rapportent les uns aux autres. Comprendre signifie construire un modèle de votre monde et de vos intentions, pas seulement une table de fréquence de vos frappes.

C'est ici que les Knowledge Hooks entrent en jeu. Au lieu de simplement suivre la fréquence des mots, un knowledge hook capture tout le contexte entourant votre action. Il prend un instantané de l'état de votre appareil, de votre environnement, de votre activité actuelle—tout ce qui est pertinent pour comprendre pourquoi vous avez fait ce que vous avez fait. Lorsque le même contexte réapparaît, le système ne suggère pas seulement un mot ; il suggère l'ensemble de l'action qui a du sens dans ce contexte.

Pensez-y de cette façon : votre cerveau ne se souvient pas de faits isolés. Il se souvient d'expériences, complètes avec le contexte. Lorsque vous sentez du café frais, vous ne vous rappelez pas seulement le mot 'café'—vous pourriez vous souvenir du café où vous avez étudié à l'université, de la personne avec qui vous étiez, du sentiment de ce moment. Les knowledge hooks fonctionnent de manière similaire. Ils ne stockent pas des entrées isolées ; ils stockent des instantanés contextuels qui

capturent l'ensemble des circonstances de vos actions.

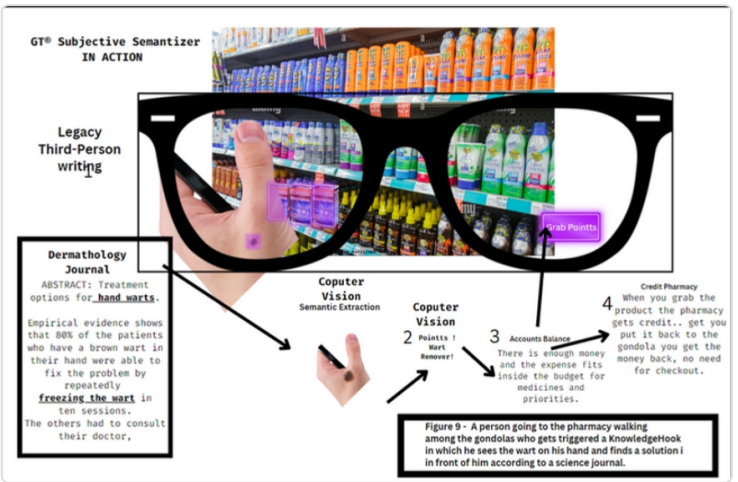
Ce passage de deviner à comprendre n'est pas juste une amélioration incrémentale. Il représente un changement fondamental dans la façon dont la technologie se rapporte aux humains. Au lieu de vous traiter comme un utilisateur qui doit s'adapter aux exigences du système, elle vous traite comme un individu avec des motifs, des contextes et des intentions uniques. La technologie s'adapte à vous.

Moins un système a de contexte, plus il exige de commandes de votre part. À l'inverse, plus il partage de contexte avec vous, moins vous devez fournir d'entrées. Votre propre corps est l'exemple parfait : lorsque vous bougez votre bras, vous ne tapez pas une commande comme 'BRAS : bouger 45° à droite'. Vous avez simplement l'intention, et votre système nerveux achemine automatiquement les signaux corrects vers les bons muscles. C'est une interaction sans saisie, ancrée dans un contexte partagé entre votre esprit et votre corps.

$$U \propto \frac{1}{C} \quad \text{where } U = \text{required user input}, C = \text{shared context}$$

La Technologie Subjective étend ce principe aux dispositifs externes. En

équipant des objets et des systèmes de la capacité à capturer et comprendre le contexte—à prendre des auto-instantanés et à en apprendre—nous créons une technologie qui peut agir comme une extension de vous-même plutôt que comme un outil externe nécessitant des instructions constantes.



Représentation visuelle de la compréhension de l'intention de l'utilisateur par un système conscient du contexte à travers des instantanés environnementaux

Il ne s'agit pas seulement de commodité. Il s'agit de réduire la charge cognitive et l'effort physique nécessaires pour interagir avec la technologie. Chaque fois que vous devez dire explicitement à un système quoi faire, vous dépensez de l'énergie mentale et physique. Lorsque la technologie peut comprendre votre contexte et anticiper vos

besoins, cette énergie est économisée. Et comme nous le verrons dans les chapitres suivants, cette économie d'énergie n'est pas juste une métaphore - elle peut être mesurée en joules et devient la base d'un tout nouveau système économique.

1.2 Introduction : L'évolution au-delà de la technologie de la troisième personne

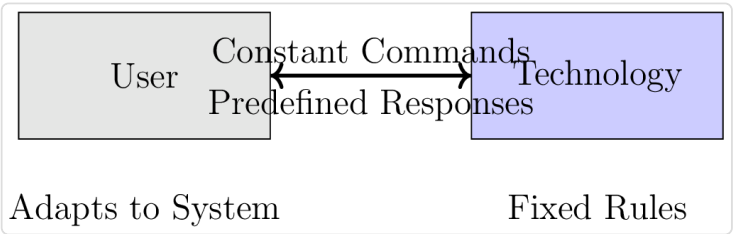
Avant de pouvoir comprendre comment l'autocomplétion évolue en Knowledge Hooks, nous devons d'abord comprendre ce qui rend la technologie d'aujourd'hui fondamentalement limitée. Cette limitation n'est pas un bug - c'est une caractéristique de tout le paradigme sur lequel l'informatique moderne est construite.

Nous appelons ce paradigme la technologie de la troisième personne. Dans cette approche, les dispositifs et les systèmes sont conçus pour servir les utilisateurs en tant qu'outils externes. L'utilisateur reste en périphérie, saisissant des commandes explicites dans les dispositifs et interagissant avec des applications qui reposent sur des règles et des procédures prédéfinies. Ce mode de fonctionnement nécessite que les utilisateurs s'adaptent à

la fonctionnalité de la technologie, impliquant souvent une courbe d'apprentissage abrupte et un effort significatif pour comprendre des interfaces complexes.

Pensez à vos interactions quotidiennes avec la technologie. Chaque fois que vous ouvrez une application, vous devez lui dire exactement ce que vous voulez. Chaque fois que vous remplissez un formulaire, vous devez fournir les mêmes informations que vous avez saisies des centaines de fois auparavant. Chaque fois que vous voulez accomplir une tâche, vous devez naviguer à travers des menus, des boutons et des boîtes de dialogue conçues par quelqu'un d'autre, selon l'idée de quelqu'un d'autre sur la façon dont les choses devraient fonctionner.

C'est l'essence de la technologie de la troisième personne : elle existe en dehors de vous, séparée de votre contexte, aveugle à vos schémas et sourde à vos intentions. C'est une toile vierge qui exige que vous la peigniez, encore et encore, chaque jour.



L'abstraction de la troisième personne : Au cœur de toute technologie traditionnelle se trouve une abstraction simple mais problématique. Chaque système, des premiers terminaux informatiques aux smartphones modernes, fonctionne sur un principe fondamental qui peut être exprimé comme une fonction :

$$v = f(k)$$

Dans cette abstraction, 'k' représente la clé - l'entrée explicite que vous devez fournir - et 'v' représente la valeur - le résultat que vous souhaitez atteindre. Cette fonction est déterministe : étant donné la même entrée exacte, vous obtenez toujours la même sortie exacte. Le système n'a aucune mémoire de contexte, aucune compréhension de votre situation et aucune capacité à s'adapter à vos besoins.

Mais voici le problème fondamental : nos cerveaux et le monde avec lequel nous interagissons ne sont ni numériques ni déterministes. Aucun utilisateur ne peut fournir une valeur exacte 'k' pour un 'v' spécifique car la communication humaine et l'intention sont intrinsèquement contextuelles, floues et adaptatives. Nous changeons ce que nous voulons en fonction de

nombreux facteurs que les systèmes déterministes ne peuvent pas capturer.

Pour faire fonctionner cette abstraction, les concepteurs de technologie ont créé des interfaces utilisateur - les boutons, formulaires, menus et commandes qui tentent de combler le fossé entre l'intention humaine et les exigences de la machine. Toute l'évolution des interfaces utilisateur, des lignes de commande aux écrans tactiles en passant par les assistants vocaux, a été une tentative de rendre cette abstraction déterministe plus accessible aux humains avec des niveaux de compétence technique variés.

Traçons cette évolution :

Commandes : Les premières interfaces exigeaient une grande précision. Un seul caractère incorrect entraînait des erreurs. Ces systèmes ciblaient des utilisateurs ayant des capacités cognitives plus élevées et une formation technique. Pour accomplir quoi que ce soit, vous deviez mémoriser la syntaxe exacte et tout orthographier parfaitement.

Fenêtres, Boutons, Champs de formulaire, Widgets : Les interfaces graphiques ont introduit des éléments cliquables, permettant de légères différences dans les positions de clic. Les utilisateurs ayant

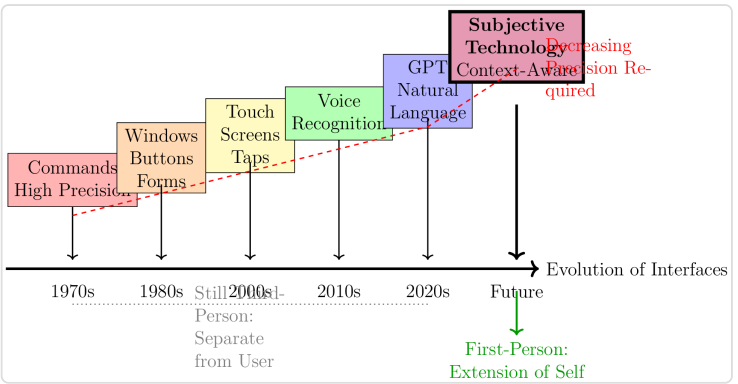
des capacités cognitives variées les ont trouvés plus conviviaux que les lignes de commande, mais il fallait tout de même apprendre où chaque bouton était situé et ce que contenait chaque menu.

Taps : Les écrans tactiles ont simplifié encore plus les interactions. Les utilisateurs se dirigent naturellement vers des entrées tactiles, réduisant la courbe d'apprentissage. Mais vous deviez toujours vous souvenir de quelle application fait quoi et naviguer à travers les écrans pour trouver ce dont vous avez besoin.

Reconnaissance vocale : Les assistants virtuels comprenaient et exécutaient des tâches simples basées sur des commandes vocales, s'adressant à des utilisateurs ayant des compétences techniques limitées. Pourtant, vous deviez toujours formuler vos demandes de manière spécifique, et le système ne pouvait gérer que des commandes prédéfinies.

Chats GPT : Les modèles avancés d'IA et de langage permettaient aux utilisateurs d'interagir en utilisant un langage naturel, nécessitant encore moins de précision dans les entrées. Mais ces systèmes fonctionnent toujours à la troisième personne : ils répondent à vos commandes mais ne s'intègrent pas à votre contexte ni n'anticipent vos besoins.

Chaque étape de cette évolution a réduit la précision requise des utilisateurs, mais aucune d'entre elles n'a résolu le problème fondamental : la technologie existe toujours en dehors de vous, attendant des commandes, exigeant des entrées, nécessitant votre attention et vos efforts constants.



Les problèmes que cela crée : Ce paradigme à la troisième personne génère une cascade de problèmes qui affectent tous les aspects de nos vies numériques :

Saisie constante de données : Vous devez fournir à plusieurs reprises les mêmes informations personnelles, préférences et paramètres. Ce processus est non seulement chronophage mais aussi intrusif. Chaque nouveau service exige que vous créiez un compte, remplissiez des formulaires et divulguiez des données à des systèmes en lesquels vous ne pouvez pas avoir confiance.

Courbes d'apprentissage complexes : Chaque application a sa propre logique, sa propre interface, sa propre façon de faire les choses. Apprendre à utiliser ces outils efficacement nécessite un effort cognitif significatif, en particulier pour les individus moins enclins sur le plan technique.

Réponses inflexibles : Les systèmes fonctionnent sur la base de réponses et d'actions prédéfinies. Ils manquent de la capacité à s'adapter à des contextes et scénarios uniques, ce qui conduit à des situations où vos besoins spécifiques ne sont pas satisfaits. Le système sait ce pour quoi il a été programmé, mais pas ce dont vous avez réellement besoin.

Manque de conscience de soi : Peut-être plus critique encore, la technologie traditionnelle manque de réflexion. Les appareils et objets n'ont pas de compréhension d'eux-mêmes ou de leur propre état. Un ordinateur peut afficher le même message d'erreur cent fois sans jamais réaliser qu'il échoue, et sans tenter de se réparer. Il n'a pas de miroir dans lequel voir sa propre dysfonction.

Ce manque de conscience de soi se manifeste de nombreuses manières frustrantes. Votre téléphone demande votre mot de passe alors que vous venez de le

déverrouiller il y a cinq secondes. Votre client de messagerie suggère le mauvais destinataire parce qu'il n'a pas de contexte sur ce que vous écrivez. Vos appareils de maison intelligente nécessitent des commandes explicites pour chaque action car ils ne peuvent pas observer et apprendre des schémas de votre vie quotidienne.

Fatigue des utilisateurs et impacts sur la santé : L'effet cumulatif de tous ces problèmes est l'épuisement. Le temps d'écran constant, la saisie de données répétitive, la navigation à travers des interfaces complexes - ces activités contribuent à des modes de vie sédentaires, des problèmes musculo-squelettiques, de la fatigue oculaire et de la fatigue mentale. La nature unidirectionnelle de l'interaction utilisateur-système crée un sentiment de captivité, où vous travaillez pour satisfaire les exigences du système plutôt que la technologie ne serve vos besoins.

D'un point de vue santé, la technologie de troisième personne nous a rendus prisonniers de nos écrans. Nous restons assis pendant des heures, cliquant et tapant, nos corps statiques tandis que nos esprits s'efforcent de suivre les exigences de plusieurs applications, chacune avec sa propre logique et interface.

Le changement de paradigme : Imaginez maintenant une approche différente. Au lieu de construire la technologie comme un outil externe qui attend des commandes, que diriez-vous de construire une technologie qui s'intègre à votre conscience - c'est-à-dire au flux continu d'informations sensorielles qui définit votre expérience unique ? Que se passerait-il si les appareils pouvaient s'observer eux-mêmes, comprendre leur contexte et s'adapter à vos schémas sans instruction explicite ?

Considérez un exemple concret qui illustre ce manque de conscience de soi : imaginez un ordinateur qui affiche le même message d'erreur cinquante fois à un utilisateur. L'utilisateur voit l'erreur, clique sur 'OK', et cinq minutes plus tard - la même erreur apparaît à nouveau. Encore et encore. L'ordinateur n'a aucune conscience qu'il échoue de la même manière à plusieurs reprises. Il ne peut pas reconnaître que montrer la même erreur cinquante fois est frustrant et inutile. Il exécute simplement sa réponse programmée, aveugle au schéma de sa propre dysfonction.

Maintenant, contrastons cela avec la technologie subjective. Un ordinateur équipé de conscience subjective prend constamment des instantanés de son propre état - s'observant tout comme vous pourriez vous

regarder dans un miroir. Lorsqu'il détecte qu'il a affiché la même erreur plusieurs fois, il reconnaît un schéma dans son propre comportement. Tout comme vous pourriez remarquer que vos cheveux sont en désordre dans un miroir et instinctivement saisir un peigne pour les arranger, le système subjectif reconnaît son propre problème et tente de le résoudre de manière autonome.

L'ordinateur pourrait rechercher dans ses propres journaux, identifier la cause profonde de l'erreur répétée, appliquer une correction, ou - s'il ne peut pas résoudre le problème lui-même - vous alerter avec un contexte significatif sur ce qui ne va pas réellement, plutôt que de simplement répéter le même message d'erreur inutile. C'est la conscience de soi en action : la capacité d'observer soi-même, de reconnaître les problèmes et de prendre des mesures correctives sans nécessiter une intervention externe constante.

Cette conscience de soi devient encore plus puissante lorsqu'elle est combinée avec la connaissance de votre contexte. Le système ne se contente pas de se connaître lui-même - il vous connaît. Il comprend ce que vous essayiez d'accomplir lorsque l'erreur s'est produite, ce que vous faites généralement dans des situations similaires, et comment adapter sa réponse pour être

réellement utile plutôt que simplement programmatique.

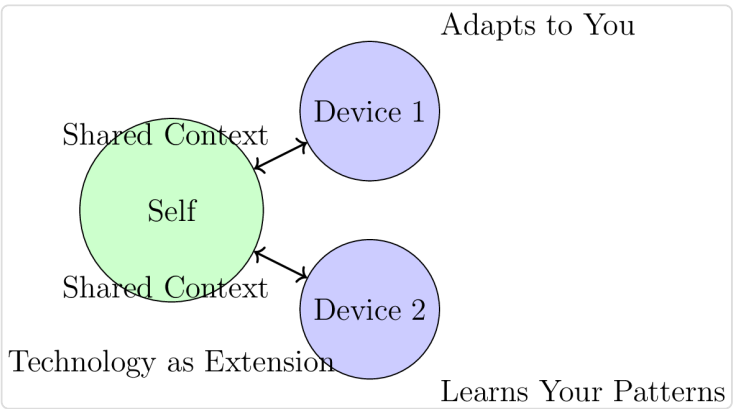
C'est l'essence de la Technologie Subjective. Cela commence par une prémisse simple mais révolutionnaire : la technologie devrait commencer par vous, et non par une toile vierge. Lorsque vous retirez les composants de la technologie de la troisième personne un par un, vous vous retrouvez avec rien—une interface vide attendant d'être remplie. Lorsque vous retirez les composants de la Technologie Subjective, vous vous retrouvez avec vous-même.

La Technologie Subjective est ancrée dans la conscience humaine—le flux accumulé d'informations sensorielles qui vous rend unique—plutôt que dans des commandes externes. Elle fonctionne d'un point de vue de première personne, où la technologie s'intègre harmonieusement à vos pensées, perceptions et sens en apprenant des mêmes flux d'informations qui constituent votre expérience consciente. C'est la première fois dans l'histoire que l'intelligence artificielle est conçue pour améliorer vos processus cognitifs pendant que vous pensez activement—non pas comme une entité séparée que vous devez commander, mais comme une extension de votre propre esprit.

$$v = f(k, C, H, L)$$

où C = contexte actuel, H = modèles historiques, L = associations apprises

Dans cette nouvelle abstraction, la clé 'k' n'est plus quelque chose que vous devez fournir avec une précision déterministe. Au lieu de cela, elle est calculée par le système en fonction de votre contexte, de votre histoire et des modèles appris. La technologie observe, apprend et prédit—minimisant l'entrée que vous devez fournir jusqu'à ce qu'elle approche de zéro.



Ce changement a des implications profondes. La technologie n'est plus quelque chose que vous devez constamment instruire. Au lieu de cela, elle devient une extension de vos facultés cognitives—observant comme vous observez, apprenant comme vous

apprenez, anticipant comme vous anticipez. Pendant que vous pensez, elle pense à vos côtés, offrant des idées, augmentant la créativité et résolvant des problèmes quotidiens de manière que vous n'auriez jamais imaginée, le tout avec un effort mental minimal.

Libération de l'Écran : L'un des avantages les plus immédiats de ce changement est la libération physique et mentale. Vous n'êtes plus enchaîné aux écrans et aux boutons. Vous pouvez bouger, interagir et vous engager avec le monde naturellement, sans la charge cognitive de naviguer dans des systèmes complexes. La technologie qui s'intègre à votre contexte ne demande pas votre attention visuelle—elle fonctionne aux côtés de vos activités naturelles.

Ce n'est pas seulement une question de commodité. Il s'agit de reprendre votre bien-être. Il s'agit de réduire le mode de vie sédentaire que la technologie de la troisième personne impose. Il s'agit de permettre à la technologie de travailler pour vous plutôt que vous ne travailliez pour la technologie.

Autonomiser ceux avec des défis cognitifs : Les implications pour les individus ayant des handicaps cognitifs sont particulièrement profondes. Pour les

personnes atteintes d'Alzheimer, de syndrome de Down, de blessures cérébrales ou de troubles de traitement, la Technologie Subjective peut agir comme une couche supplémentaire de cognition qui s'intègre harmonieusement à leurs processus de pensée.

Au lieu d'exiger qu'ils se souviennent de commandes complexes ou naviguent dans des interfaces compliquées, la technologie apprend leurs modèles, anticipe leurs besoins et fournit un soutien de manière transparente. Ce n'est pas seulement une technologie d'assistance—c'est un accroissement cognitif qui permet aux gens de vivre des vies plus pleines et plus indépendantes.

Un chemin différent à suivre : Certains technologues plaident pour l'insertion de puces dans les cerveaux pour lire les signaux neuronaux et envoyer des commandes directement. Mais pourquoi manipuler les motifs complexes de l'esprit quand nous pouvons atteindre le même accroissement en comprenant et en traitant les expériences sensorielles ?

Notre approche respecte une vérité fondamentale : chaque individu possède une conscience unique - une histoire accumulée d'informations sensorielles - et ces expériences informationnelles irrépétables nous différencient. La Technologie

Subjective tire parti de cette individualité en observant ce que vous observez, en apprenant de ce que vous faites et en s'intégrant à vos schémas cognitifs existants - sans chirurgie requise, sans procédures invasives, juste une technologie qui comprend vraiment le contexte en participant aux mêmes flux d'informations qui définissent votre conscience.

Ce départ de la pensée conventionnelle crée un nouveau chemin qui met l'accent sur le potentiel humain et l'expérience. Au lieu de demander aux humains de devenir plus comme des machines - précises, déterministes, prévisibles - nous permettons aux machines de devenir plus comme des humains : contextuelles, adaptatives et intelligentes.

La Fondation pour ce qui vient ensuite : Comprendre ce changement de paradigme est essentiel pour tout ce qui suit dans ce livre. Les Crochets de Connaissance, les instantanés de contexte, les comportements appris, la minimisation de l'énergie, et finalement la Thermo-Monnaie Subjective - tous ces concepts reposent sur la fondation du passage de la technologie de la troisième personne à la technologie subjective.

L'exemple de l'autocomplétion que nous avons exploré plus tôt n'est que le début. Il montre comment la technologie peut passer

de la supposition à la compréhension, des tableaux de fréquence à la conscience contextuelle. Mais les implications vont bien au-delà de la prédiction de texte. Lorsque la technologie peut vraiment comprendre le contexte, lorsqu'elle peut s'observer et apprendre d'elle-même, lorsqu'elle peut s'intégrer parfaitement à la cognition humaine - alors nous ouvrons la porte à une toute nouvelle façon d'organiser la société humaine.

Ce n'est pas simplement une évolution technologique. C'est une révolution philosophique qui redéfinit la relation entre les humains et les machines. Et comme nous le verrons, elle fournit la base pour réimaginer la valeur elle-même - passant de l'argent à l'énergie, de la rareté à l'abondance, d'un travail constant à une vie sans input.

2

Qu'est-ce qu'un Crochet de Connaissance ?

Maintenant que nous comprenons comment fonctionne l'autocomplétion et pourquoi elle échoue, et maintenant que nous avons vu comment la technologie de la troisième personne limite fondamentalement notre interaction avec les machines, nous pouvons enfin répondre à la question centrale : qu'est-ce qu'un Crochet de Connaissance ?

Un Crochet de Connaissance est l'innovation clé qui transforme la technologie de la troisième personne à la subjective. C'est le mécanisme qui rend la technologie sans input possible. C'est le pont entre ce que vous faites maintenant et ce que vous avez fait auparavant. Plus précisément, c'est un système qui capture votre contexte - votre environnement, l'état de votre appareil et votre activité actuelle - et le mappe à des entrées précédentes, des connaissances d'experts ou des actions prédéfinies.

Pensez-y comme à l'unité de mémoire de votre exosquelette numérique. Tout comme votre cerveau se souvient de la façon dont vous lacez vos chaussures ou conduisez une voiture sans effort conscient, le Crochet de Connaissance se souvient des circonstances entourant vos entrées passées. Mais cela va bien au-delà de la simple mémoire. Il ne garde pas seulement une liste de phrases ou de commandes fréquemment utilisées comme le

fait l'autocomplétion. Au lieu de cela, il prend un auto-instantané de contexte - la situation environnante complète - et l'aligne à votre intention.

Cette distinction est cruciale. L'autocomplétion se souvient que vous avez tapé 'bonjour' de nombreuses fois. Un Crochet de Connaissance se souvient que vous avez tapé 'bonjour' le vendredi après-midi, lorsque vous étiez dans votre application de calendrier, après avoir reçu une notification de votre collègue, alors que votre emplacement indiquait que vous étiez au bureau. Le contexte est tout.

Le cœur de la Technologie Subjective est ce système de Knowledge Hook qui relie votre contexte avec des entrées passées, des connaissances d'experts, l'apprentissage automatique, le reranking, et même l'apprentissage par renforcement négatif. Il ne se contente pas de deviner en fonction de la fréquence comme les systèmes de saisie automatique d'aujourd'hui. Au lieu de cela, il interprète le contexte, rerank les actions possibles, et présente celle qui minimise le plus votre effort.

En pratique, cela signifie que la technologie devient véritablement subjective. Elle ne vous traite plus comme un utilisateur moyen suivant des modèles génériques, mais comme un individu avec un

contexte unique. L'appareil, en effet, s'adapte à vous. Il apprend à être vous.

Explorons comment cela fonctionne à travers des exemples concrets, en commençant par la distinction entre deux types de Knowledge Hooks : prédéfinis et appris.

2.1 Hooks prédéfinis : Connaissances d'experts intégrées

Les hooks prédéfinis sont créés à l'avance, un peu comme des règles ou des raccourcis, mais beaucoup plus sophistiqués. Ils sont codés par des développeurs, des experts du domaine ou des concepteurs de systèmes qui anticipent les besoins courants et intègrent leur expertise directement dans le système.

Pensez aux hooks prédéfinis comme à une intelligence collective cristallisée dans le code. Lorsque des médecins, des ingénieurs ou des utilisateurs expérimentés découvrent des moyens efficaces d'accomplir des tâches, ces modèles peuvent être capturés en tant que hooks prédéfinis et partagés avec tout le monde. Cela signifie que chaque utilisateur bénéficie des connaissances d'experts dès le premier jour, sans avoir besoin de les apprendre lui-même.

Par exemple, un hook prédéfini pourrait automatiquement connecter vos écouteurs

lorsque vous ouvrez une application de musique, ou diminuer votre écran lorsque l'horloge sonne minuit. Il pourrait reconnaître que lorsque vous êtes en réunion (en fonction de votre calendrier) et recevez un appel, le système devrait le diriger vers la messagerie vocale plutôt que d'interrompre. Il pourrait savoir que lorsque vous écrivez un e-mail à votre patron, le ton doit être formel, mais lorsque vous écrivez à un ami, il peut être décontracté.

Ces hooks incarnent l'expertise collective et les meilleures pratiques, offrant à chaque utilisateur une base d'efficacité dès le premier jour. Ils sont comme avoir des milliers d'experts chuchotant des suggestions utiles basées sur les modèles qu'ils ont appris au fil des années d'expérience.

Les hooks prédéfinis peuvent également encoder des connaissances spécifiques au domaine. Une application médicale pourrait avoir des hooks prédéfinis qui reconnaissent des modèles de symptômes et suggèrent des voies diagnostiques appropriées. Un outil d'ingénierie pourrait avoir des hooks qui détectent des erreurs de conception courantes avant qu'elles ne causent des problèmes.

La distinction clé par rapport aux règles ou macros traditionnelles est que les hooks prédéfinis sont contextuels. Ils ne s'exécutent pas simplement lorsque vous appuyez sur un bouton spécifique. Ils s'activent lorsque l'ensemble du contexte correspond à leurs conditions : heure de la journée, emplacement, activité actuelle, environnement environnant, et d'innombrables autres facteurs contribuent tous à déterminer si un hook se déclenche.

2.2 Hooks appris : Instantanés de contexte et deltas

Alors que les hooks prédéfinis offrent des points de départ universels, les hooks appris sont là où la magie de la technologie véritablement subjective émerge. Ces hooks naissent de votre propre comportement, apprenant et s'adaptant de manière unique à vous.

Voici comment ils fonctionnent : Chaque fois que vous interagissez avec un système, il prend un instantané avant votre action et un autre instantané après. Le système soustrait ensuite l'un de l'autre pour identifier le delta—le changement précis que vous avez créé. Ce delta, combiné au contexte dans lequel il s'est produit, devient un hook appris.

Passons à un exemple concret. Supposons que vous planifiez souvent un appel avec votre collègue chaque vendredi après-midi :

Premier vendredi : Vous ouvrez manuellement votre calendrier, créez un nouvel événement, tapez le nom de votre collègue, définissez l'heure à 15h et envoyez l'invitation. Le système capture deux instantanés—un avant que vous ne commenciez (créneau de calendrier vide) et un après que vous ayez terminé (réunion planifiée). Le delta est : 'Créer une réunion avec [nom du collègue] à 15h le vendredi.' Le contexte inclut : jour=vendredi, heure=après-midi, app=calendrier, activité_récente=email_du_collègue.

Deuxième vendredi : Le même contexte apparaît. Jour=vendredi, heure=après-midi, app=calendrier, activité_récente=email_du_collègue. Le système reconnaît ce modèle et suggère : 'Planifiez votre appel habituel du vendredi avec [collègue] ?' Vous acceptez, et la confiance du hook augmente.

Troisième vendredi : Même contexte. Cette fois, le système ne demande même pas—il ajoute simplement l'événement à votre calendrier et vous notifie : 'J'ai planifié votre appel du vendredi avec [collègue].' Si

vous ne le corrigez pas, la confiance du hook augmente encore.

Au quatrième ou cinquième vendredi, le système effectue cette action automatiquement sans aucune intervention de votre part. Si le collègue change, ou si vous sautez une semaine, le système remarque la correction et met à jour son modèle. C'est un apprentissage par renforcement—non pas à partir de jeux de données massifs, mais à partir de vos modèles individuels.

Ces instantanés ne sont pas des journaux abstraits. Ce sont des enregistrements directs du contexte. Si le système fonctionne sur un ordinateur, un instantané peut inclure des captures d'écran, des états de mémoire, des processus actifs, des positions de fenêtres, des contenus du presse-papiers et l'état du système. S'il fonctionne sur des lunettes de réalité augmentée, le contexte peut inclure le champ visuel complet que l'utilisateur voit—chaque objet, chaque personne, chaque détail environnemental capturé par la caméra.

De cette manière, les appareils et les objets commencent à se connaître eux-mêmes. Tout comme vous regardez dans un miroir, remarquez que vos cheveux sont en désordre, et atteignez automatiquement un peigne pour les arranger, l'appareil s'observe et prend des mesures correctives. Cette auto-

conscience est précisément ce qui manque aux ordinateurs conventionnels et ce que les technologies subjectives offrent.

Un système typique à la troisième personne peut afficher la même erreur des centaines de fois sans réaliser qu'il échoue, et donc sans jamais tenter de se réparer. Les Knowledge Hooks changent cela. Ils fournissent aux machines un sens primitif de soi—une boucle de rétroaction où les problèmes sont reconnus et les solutions recherchées de manière autonome.

Considérons un autre exemple : imaginez décorer votre chambre avec des tons rouges, noirs et blancs. Lorsque vous allumez votre ordinateur, le système perçoit le décalage entre votre chambre et son thème de bureau bleu par défaut. Avec les Knowledge Hooks, l'ordinateur peut reconnaître cette incohérence avec votre monde physique et ajuster son thème pour s'harmoniser avec votre environnement.

Comment sait-il ? Parce que la caméra de vos lunettes AR et votre ordinateur partagent le même contexte global privé. Les lunettes voient la chambre (rouge, noir, blanc), l'ordinateur se voit lui-même (thème bleu), et le Knowledge Hook détecte la discordance. L'ordinateur s'ajuste alors automatiquement pour correspondre à votre environnement physique. Le contexte est

global à travers les appareils et les objets —pourtant il reste complètement privé, n'appartenant qu'à vous.

Cela signifie que tandis que les hooks prédéfinis fournissent un point de départ universel, les hooks appris s'adaptent de manière unique à vous et à votre environnement. Ils capturent les rythmes de votre vie personnelle et l'état de vos appareils, créant un monde où la technologie ne remplace pas seulement vos commandes mais maintient proactivement l'harmonie avec votre contexte.

Ensemble, les hooks prédéfinis et appris donnent à la technologie un sens vivant d'adaptation : un soi qui apprend à être vous.



L'écran bleu : Votre ordinateur de bureau affichant son thème bleu par défaut, inconscient de son contexte visuel dans les décorations de votre chambre.



Un ordinateur qui ressent de la honte : Vous portez des lunettes intelligentes et entrez dans votre chambre. À travers votre vision augmentée, vous voyez votre ordinateur de bureau—qui est maintenant une partie subjective de vous. L'ordinateur peut se voir à travers votre champ de vision, unifiant son contexte avec le vôtre. Votre bureau affichait un thème bleu, mais en s'observant dans le contexte des décorations de votre chambre, il a ressenti de la honte face au décalage visuel et a changé de manière autonome son thème d'écran pour s'harmoniser avec l'esthétique de votre chambre. C'est la Technologie Subjective en action—des appareils qui se comportent comme des extensions de vous-même, avec conscience de soi et adaptation contextuelle.

Cette image illustre à quel point les Technologies Subjectives s'éloignent de tout ce que nous connaissons. L'ordinateur n'attend pas votre commande pour changer son thème. Il s'observe à travers votre flux

sensoriel, reconnaît une incohérence esthétique avec votre environnement et prend des mesures correctives de manière autonome—tout comme vous pourriez remarquer que vos cheveux sont en désordre dans un miroir et les corriger sans délibération consciente. L'appareil est devenu une véritable extension de votre schéma corporel, participant aux mêmes flux d'informations qui constituent votre conscience.

2.3 L'Appareil Auto-Conscient : Des appareils qui se connaissent eux-mêmes.

Le concept de conscience de soi dans les appareils mérite une exploration plus approfondie, car il représente l'un des changements les plus profonds dans notre façon de penser la technologie.

Dans la technologie traditionnelle à la troisième personne, les appareils sont aveugles à eux-mêmes. Un ordinateur n'a pas de concept de son propre état au-delà de ce que les programmeurs codent explicitement. Il ne peut pas se regarder et reconnaître une dysfonction. Il ne peut pas observer les motifs de son propre comportement. Il n'a pas de miroir.

La Technologie Subjective change cela fondamentalement en donnant aux appareils la capacité de s'observer à travers des

instantanés de contexte continus. Ces instantanés servent de miroirs—permettant à l'appareil de se voir, de reconnaître des motifs dans son propre comportement et de détecter des problèmes.

Rendons cela concret avec un exemple de maison intelligente. Imaginez que vous quittez votre maison chaque jour. Avant de sortir, vous éteignez généralement les lumières et activez votre aspirateur robot. Le système enregistre le contexte avant cette action (lumières allumées, aspirateur éteint, porte fermée, vous visible dans la pièce) et après (lumières éteintes, aspirateur allumé, porte ouverte, vous partant).

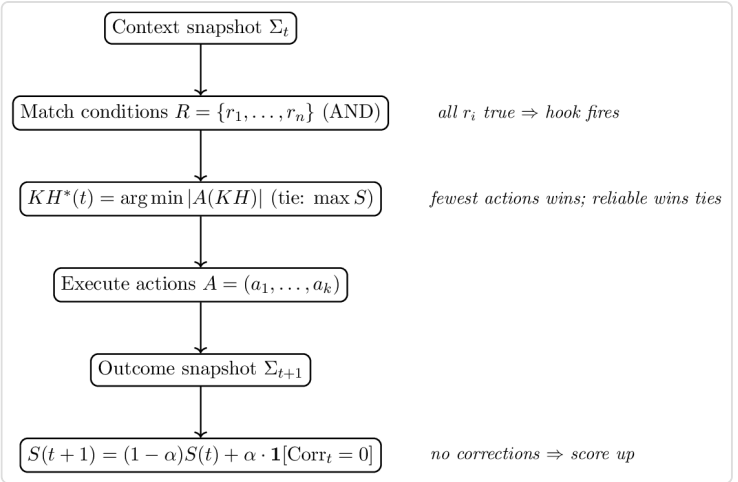


Diagramme montrant la soustraction de contexte lors du départ de la maison : avant l'instantané avec les lumières allumées et vous à l'intérieur, après l'instantané avec les lumières éteintes et l'aspirateur en marche, résultant en un Knowledge Hook appris.

Le delta entre ces instantanés devient un Knowledge Hook appris. Le système encode les changements environnementaux dans une signature unique—dans certaines implémentations, cela pourrait être visualisé comme une image avec un superposition rose mettant en évidence les différences de pixels entre les deux états. Simultanément, il enregistre les entrées spécifiques que vous avez envoyées à vos appareils : [lights.off(), vacuum.on()].

Cela crée un KnowledgeHookLearnt—un mécanisme sophistiqué prêt à s'exécuter automatiquement. La prochaine fois que vous

vous approchez de la porte pour partir, le système reconnaît le contexte (vous près de la porte, heure similaire de la journée, conditions d'éclairage similaires) et réplique automatiquement vos entrées précédentes aux appareils. Les lumières s'éteignent et l'aspirateur s'active sans que vous touchiez quoi que ce soit. Cela garantit une interaction fluide et intuitive, optimisant la commodité et l'efficacité.

Mais la conscience de soi va plus loin que l'automatisation. Cela signifie que l'appareil peut reconnaître quand il fonctionne mal. Si l'aspirateur ne démarre pas trois fois de suite lorsque le hook se déclenche, le système reconnaît un motif dans son propre échec. Il peut vérifier l'état de la batterie de l'aspirateur, vérifier la connectivité réseau, ou même tenter de redémarrer l'appareil de manière autonome. S'il ne peut pas résoudre le problème, il vous alerte avec un contexte significatif : 'Votre aspirateur ne répond pas depuis trois jours. La batterie peut avoir besoin d'être remplacée.'

C'est fondamentalement différent d'afficher le même message d'erreur cinquante fois. L'appareil s'observe, reconnaît des motifs dans son propre comportement et tente de résoudre des

problèmes de manière autonome—tout comme vous remarqueriez vos cheveux en désordre dans un miroir et les corrigeriez automatiquement.

La conscience de soi permet également aux appareils de maintenir la cohérence avec votre environnement. Votre ordinateur peut observer que son thème de bureau bleu entre en conflit avec votre pièce nouvellement décorée en rouge-noir-blanc et s'ajuster automatiquement. Votre thermostat intelligent peut remarquer qu'il fonctionne constamment depuis des heures (car il observe son propre état) et vous alerter pour vérifier si une fenêtre est ouverte. Votre téléphone peut reconnaître qu'il a demandé votre mot de passe cinq fois au cours de la dernière heure (motif inhabituel) et enquêter sur un éventuel problème de sécurité.

L'idée clé est la suivante : les Knowledge Hooks transforment les appareils d'outils passifs qui attendent des commandes en participants actifs qui observent, apprennent et s'adaptent. Ils passent d'objets à la troisième personne qui existent en dehors de vous à des extensions subjectives qui s'intègrent à vos motifs, votre environnement et vos intentions.

Cette auto-conscience est la fondation sur laquelle tout le reste se construit :

les interactions sans entrée, la minimisation de l'énergie, et finalement, l'ensemble du système économique de la Thermo-Monnaie Subjective que nous explorerons dans les chapitres suivants.

Voyez comment les Technologies Subjectives complètent votre vie entière comme montré dans cette vidéo amusante :



Code QR liant à une démonstration vidéo de la Domotique Subjective en action, montrant comment les Crochets de Connaissance automatisent la vie quotidienne.

L'idée clé est la suivante : les Knowledge Hooks transforment les appareils d'outils passifs qui attendent des commandes en participants actifs qui observent, apprennent et s'adaptent. Ils passent d'objets à la troisième personne qui existent en dehors de vous à des extensions

subjectives qui s'intègrent à vos motifs, votre environnement et vos intentions.

En montrant comment la minimisation de l'entrée se traduit par la minimisation des dépenses énergétiques, nous pouvons commencer à voir comment la Technologie Subjective fournit la base pour la TMS—une nouvelle économie basée non sur l'argent, mais sur la loi universelle de la moindre énergie.

2.4 L'Expérience de la Main en Caoutchouc : Comprendre la Subjectivité Incarnée

Avant de formaliser la relation subjective mathématiquement, nous devons comprendre l'expérience qui a révélé comment nos cerveaux construisent le sens de soi—et comment des objets externes peuvent devenir une partie de ce soi.

La Mise en Place : Imaginez-vous assis à une table avec votre main gauche reposant confortablement sur la surface devant vous. Un chercheur place un petit écran ou une partition qui cache votre vraie main de votre vue. À la place de votre main cachée, une main en caoutchouc—réaliste pour ressembler à une main humaine—est positionnée là où vous pouvez la voir, à peu près là où votre vraie main serait normalement.

Le chercheur prend alors deux pinceaux identiques. Avec un pinceau, il frotte votre vraie main (que vous ne pouvez pas voir). Avec l'autre pinceau, il frotte la main en caoutchouc (que vous pouvez voir). La clé est que les deux mains sont frottées de la même manière, au même moment, en parfaite synchronisation.

Ce qui se passe : Pendant les premières secondes, rien d'inhabituel ne se produit. Vous voyez la main en caoutchouc être frottée, et vous sentez votre vraie main être frottée. Votre cerveau traite cela comme deux événements séparés—des informations visuelles sur un objet sur la table, et des informations tactiles sur votre corps.

Mais après environ 30 secondes à quelques minutes de frottements synchronisés, quelque chose d'extraordinaire se produit. La frontière entre soi et objet commence à s'estomper. Vous commencez à sentir que les coups de pinceau que vous voyez sur la main en caoutchouc sont les mêmes coups que vous ressentez sur votre vraie main. La main en caoutchouc commence à ressembler à votre main.

L'illusion révélée : Pour démontrer que ce n'est pas juste de l'imagination, le chercheur fait soudainement quelque chose d'inattendu : il lève un marteau et frappe

la main en caoutchouc avec force. Votre réaction immédiate est viscérale : vous sursautez, vous pouvez respirer bruyamment, vous pourriez même ressentir une décharge de douleur ou d'inconfort fantôme. Votre corps réagit comme si votre propre main était menacée, même si intellectuellement vous savez que la main en caoutchouc ne fait pas partie de votre corps.

Regardez l'expérience de la main en caoutchouc en action :



Code QR liant à une démonstration vidéo de l'expérience de la main en caoutchouc montrant comment des signaux synchronisés créent l'illusion d'incarnation.

Certains participants rapportent des effets encore plus dramatiques : leur vraie main (toujours cachée) peut sembler plus froide, comme si le flux sanguin avait diminué. Lorsqu'on leur demande de pointer où se trouve leur vraie main (sans regarder), beaucoup de gens pointent vers la main en caoutchouc plutôt que vers leur

vraie main. Le cerveau a véritablement relocalisé la position de la main dans sa carte corporelle interne.

Le mécanisme : Pourquoi cela se produit-il ? La réponse réside dans la façon dont notre cerveau construit notre sens de soi incarné. Nous pensons intuitivement à notre corps comme une réalité fixe et objective : nous savons où se trouvent nos membres parce qu'ils sont physiquement attachés à nous. Mais la neuroscience révèle quelque chose de plus complexe : notre perception de notre corps est en réalité une construction, un modèle que notre cerveau construit en intégrant plusieurs flux d'informations sensorielles.

Dans des circonstances normales, ces flux sensoriels sont parfaitement alignés. Lorsque vous voyez votre main bouger, vous la sentez simultanément bouger, et vous recevez un retour proprioceptif sur sa position. Ces signaux sont synchronisés dans le temps et l'espace, confirmant à votre cerveau que cette main fait bien partie de votre corps.

L'illusion de la main en caoutchouc exploite ce mécanisme. En créant une synchronisation artificielle entre l'entrée visuelle (voir la main en caoutchouc caressée) et l'entrée tactile (ressentir votre vraie main caressée), l'expérience

trompe votre cerveau en incorporant la main en caoutchouc dans son schéma corporel. La synchronisation des signaux est la clé : lorsque ce que vous voyez correspond à ce que vous ressentez avec une précision temporelle suffisante, votre cerveau conclut qu'ils doivent se référer au même objet, et que cet objet doit faire partie de votre corps.

Pourquoi cela compte : Cette expérience a attiré mon attention car elle révèle quelque chose de profond : la frontière du soi n'est pas fixée à la peau. Notre sens subjectif de notre corps - ce qui semble être 'moi' contre 'pas moi' - est déterminé par la synchronisation des signaux, et non par l'attachement biologique.

Si une main en caoutchouc peut devenir partie de votre expérience subjective grâce à des signaux synchronisés, alors en principe, n'importe quel objet externe pourrait devenir partie de votre expérience subjective par le même mécanisme. Un outil que vous utilisez fréquemment, dont vous pouvez prédire parfaitement le comportement, dont les réponses sont synchronisées avec vos intentions - un tel outil pourrait devenir, neurologiquement et expérientiellement, une extension de votre corps.

C'est exactement ce que rapportent les utilisateurs d'outils experts. Un menuisier expérimenté ne pense pas consciemment au marteau - il devient une extension de son bras. Un violoniste virtuose ne pense pas à l'archet - il devient partie de son corps. Un pilote de course ne se contente pas de s'asseoir dans la voiture - il l'incarne, ressentant la route à travers les pneus comme s'ils étaient des extensions de son système sensoriel.

L'expérience de la main en caoutchouc démontre que cette incorporation d'outils dans le schéma corporel n'est pas métaphorique—c'est un véritable phénomène neurologique qui peut être induit de manière fiable par la synchronisation des signaux.

Les implications pour la technologie : Si nous pouvons comprendre les conditions précises sous lesquelles les objets externes deviennent des extensions subjectives de nous-mêmes, nous pouvons concevoir la technologie pour répondre délibérément à ces conditions. Nous pouvons créer des dispositifs et des systèmes qui ne se contentent pas de répondre à nos commandes, mais qui deviennent de véritables extensions de nos capacités cognitives et physiques.

C'est la base théorique de la Technologie Subjective. En veillant à ce que les signaux soient synchronisés—que le comportement du

dispositif soit aligné avec votre contexte et vos intentions—et en veillant à ce que les réponses du dispositif soient prévisibles—que vous ayez appris ses schémas par des interactions répétées—nous pouvons créer les conditions d'une relation subjective entre vous et votre technologie.

Lorsque votre smartphone anticipe votre prochaine action si fiablement que vous n'avez presque pas besoin de le toucher, lorsque votre maison intelligente s'ajuste à votre présence sans qu'on le lui dise, lorsque votre ordinateur corrige ses propres erreurs avant que vous ne les remarquiez—ce ne sont pas que des fonctionnalités pratiques. Ce sont des manifestations d'une relation subjective, où la technologie est devenue une extension de votre schéma corporel cognitif, incorporée dans votre sens de soi par le même mécanisme qui permet à une main en caoutchouc de se sentir comme votre propre main.

Comprendre cette expérience a été l'aperçu clé qui m'a permis de définir la subjectivité de manière objective, de créer un formalisme mathématique pour les relations subjectives, et finalement d'envisager un tout nouveau paradigme technologique—et un tout nouveau système économique—basé sur le principe d'élargir

notre expérience subjective pour englober le monde qui nous entoure.

2.5 Définition formelle de la relation subjective

Ayant compris l'expérience de la main en caoutchouc et le mécanisme par lequel les objets externes peuvent devenir partie de notre expérience subjective, nous pouvons maintenant formaliser cette relation mathématiquement. Cette formalisation est cruciale car elle représente la première fois dans l'histoire que la subjectivité a été définie d'un point de vue objectif et mesurable.

L'aperçu de l'expérience de la main en caoutchouc—que la synchronisation des signaux crée une incorporation subjective—m'a amené à demander : quelles sont les conditions précises et quantifiables sous lesquelles un objet externe devient subjectif pour nous ? Pouvons-nous définir cette relation de manière objective et mathématique ?

La réponse est oui. En analysant les principes révélés par l'expérience de la main en caoutchouc et en les généralisant, nous pouvons définir une relation subjective en termes de deux quantités mesurables : la synchronisation des signaux et la fiabilité des prédictions.

Cela représente un changement de paradigme dans notre manière de penser la subjectivité. Traditionnellement, l'expérience subjective a été considérée comme non mesurable, privée et fondamentalement séparée de la réalité objective. Les philosophes ont longtemps débattu du 'problème difficile de la conscience'—comment pouvons-nous décrire objectivement quelque chose qui est intrinsèquement subjectif ?

Mais en ancrant notre définition dans la mécanique de la synchronisation des signaux—la même mécanique qui permet à une main en caoutchouc de devenir partie de notre schéma corporel—nous pouvons définir la subjectivité de manière objective pour la première fois. Nous ne prétendons pas résoudre le problème difficile de la conscience, mais nous montrons que les conditions sous lesquelles les relations subjectives se forment peuvent être mesurées et formalisées.

Définir la conscience à travers l'information : Avant de procéder à la formalisation des relations subjectives, nous devons aborder ce que signifie la conscience elle-même en termes mesurables. Plutôt que de traiter la conscience comme un concept abstrait, spirituel ou spéculatif,

nous pouvons la définir rigoureusement comme un phénomène théorique de l'information.

La conscience, de cette perspective, est la somme accumulée de toutes les informations que le corps d'un organisme et ses parties composantes ont reçues de l'univers tout au long de son existence. Pour les humains, cela se manifeste par l'intégration continue des flux sensoriels—vue, son, toucher, goût et odorat—traités sur toute une vie. Ce qui rend chaque individu unique n'est pas une essence éthérée, mais plutôt le flux d'informations spécifique et non répétable qu'il a reçu de l'univers.

Mathématiquement, nous pouvons exprimer la conscience C d'un organisme o au temps t comme l'intégrale de toutes les informations sensorielles reçues à travers tous les canaux sensoriels depuis la naissance (t_0) jusqu'à l'instant présent :

$$C_o(t) = \int_{t_0}^{t} \sum_{i \in \text{Senses}} I_i(\tau)\, d\tau$$

où I_i(τ) représente le flux d'informations du canal sensoriel i au temps τ. Pour les humains, l'ensemble des sens inclut généralement la vision, l'audition,

le toucher, le goût et l'olfaction, bien que nous puissions étendre cela pour inclure la proprioception, l'équilibre, la température, la douleur et d'autres modalités sensorielles.

Le flux d'informations I_i peut être mesuré en bits par seconde, quantifiant le taux auquel chaque canal sensoriel transmet des signaux distincts aux systèmes de traitement de l'organisme. L'intégrale accumule ces informations au fil du temps, créant une histoire informationnelle unique qui constitue la conscience de l'organisme.

Cette définition a des implications profondes. Premièrement, elle retire la conscience du domaine du mystique et la place fermement dans le domaine des processus physiques mesurables. Deuxièmement, elle explique l'unicité individuelle : aucun organisme ne peut occuper la même position spatiotemporelle et ne peut donc pas recevoir le même flux d'informations. Votre conscience est unique parce que votre histoire informationnelle est unique. Troisièmement, elle suggère que la conscience n'est pas binaire mais continue—elle grandit et évolue avec chaque nouvelle information reçue.

Plus important encore pour nos objectifs, cette définition nous permet de comprendre comment la technologie peut s'intégrer à la

conscience. Lorsqu'un outil ou un dispositif devient synchronisé avec vos flux sensoriels—lorsqu'il commence à corréler de manière fiable avec et à prédire vos entrées informationnelles—il commence à participer à votre expérience consciente. Il devient partie du flux d'informations qui vous définit.

La définition formelle : Avec cette compréhension de la conscience comme information accumulée, nous pouvons maintenant définir une relation subjective entre deux objets o_1 et o_2 dans un contexte partagé W comme suit :

$$\mathrm{SRel}(o_1 \to o_2 \mid W) = 1 \quad \text{iff} \quad \begin{cases} \mathrm{Syn}(o_1, o_2 \mid W) \geq \tau_s \\ \wedge \\ \mathrm{Pred}(o_1 \to o_2 \mid W) \geq \tau_p \end{cases}$$

Décomposons chaque composant de cette définition :

SRel(o_1 → o_2 | W) = 1 signifie que l'objet o_1 a une relation subjective avec l'objet o_2 dans le contexte W. En d'autres termes, o_2 est devenu une extension subjective de o_1. Lorsque cette valeur est égale à 1, le seuil de relation a été franchi : o_2 n'est plus perçu comme un objet externe séparé, mais comme faisant partie du soi étendu de o_1.

Syn(o_1, o_2 | W) mesure la synchronisation des signaux entre o_1 et o_2 dans le contexte W. Cela quantifie à quel point les signaux de o_2 s'alignent avec les attentes et les modèles de o_1. Dans l'expérience de la main en caoutchouc, cela serait l'alignement temporel entre le stimulus visuel (voir le pinceau frotter la main en caoutchouc) et le stimulus tactile (ressentir le pinceau frotter la vraie main). Dans des contextes technologiques, cela pourrait mesurer à quel point les réponses d'un appareil correspondent de manière cohérente aux attentes contextuelles de l'utilisateur.

Mathématiquement, la synchronisation peut être calculée comme un coefficient de corrélation entre les signaux attendus et les signaux reçus au fil du temps, ou comme une mesure de l'alignement temporel dans une fenêtre spécifiée. La clé est qu'une synchronisation élevée signifie que lorsque o_1 attend un signal de o_2, ce signal arrive avec une grande cohérence tant dans le contenu que dans le timing.

Pred($o_1 \rightarrow o_2$ | W) mesure la fiabilité de la prédiction : à quel point o_1 peut prédire avec précision le comportement ou les signaux de o_2 dans le contexte W. Lorsque cette valeur est élevée, o_1 a appris les modèles de o_2 si bien qu'il peut anticiper les signaux de o_2 avant qu'ils n'arrivent,

ou même générer ces signaux en interne sans avoir besoin que o_2 soit présent.

Cela peut être formalisé comme l'inverse de l'erreur de prédiction sur une séquence d'interactions. Lorsque o_1 peut prédire de manière cohérente ce que o_2 fera ensuite compte tenu du contexte actuel, la fiabilité de la prédiction est élevée. Lorsque les prédictions de o_1 sont souvent erronées, la fiabilité est faible.

τ_s et τ_p sont des valeurs seuil qui définissent la synchronisation minimale et la fiabilité de la prédiction requises pour qu'une relation subjective existe. Ces seuils peuvent varier en fonction du contexte, de la nature des objets impliqués et même des différences individuelles entre les utilisateurs. Ils représentent le point critique auquel le cerveau (ou le système) commence à incorporer l'objet externe dans son modèle de soi.

En termes simples : un objet devient subjectivement une partie de vous lorsque deux conditions sont remplies. Tout d'abord, ses signaux doivent être suffisamment synchronisés avec vos attentes, tout comme le retour visuel de la main en caoutchouc était synchronisé avec vos sensations tactiles. Deuxièmement, vous devez être capable de prédire de manière fiable son comportement, ce qui signifie que vous avez

appris ses modèles si bien qu'il semble être une extension naturelle de vos intentions plutôt qu'une entité séparée nécessitant un contrôle conscient.

Lorsque les deux conditions sont satisfaites au-dessus de leurs seuils respectifs, quelque chose de remarquable se produit : l'objet externe est incorporé dans votre expérience subjective. Il cesse d'être un outil que vous utilisez et devient une partie de vous - une extension de votre schéma corporel, de vos processus cognitifs, de votre sens de soi.



Une main avec des outils à chaque doigt : cette image symbolise le changement de paradigme fondamental de la Technologie Subjective. Au lieu de simplement utiliser des outils comme des objets externes, nous nous modifions pour faire des outils une partie de nous - les intégrant dans notre

schéma corporel et nos processus cognitifs. En incorporant la technologie comme des extensions de nous-mêmes, nous éliminons les courbes d'apprentissage abruptes de la technologie traditionnelle de la troisième personne. C'est l'essence de notre approche : les outils deviennent des doigts, les entités séparées deviennent des parties unifiées du soi, et la frontière entre l'humain et la technologie se dissout dans une expérience subjective homogène.

La relation inverse : il existe un corollaire important à cette définition. À mesure que la synchronisation et la prédiction s'améliorent, le besoin d'entrées explicites diminue. Nous pouvons exprimer cela comme :

$$U(o_1, o_2 \mid W) \propto \frac{1}{\mathrm{Syn}(o_1, o_2 \mid W) \cdot \mathrm{Pred}(o_1 \to o_2 \mid W)}$$

Où U représente l'entrée utilisateur requise pour que o_1 interagisse avec o_2. Cette formalisation capture quelque chose de fondamental sur les relations subjectives : alors que o_1 et o_2 partagent un contexte global à travers des instantanés subjectifs, o_2 apprend automatiquement tous les messages et entrées que o_1 lui envoie en fonction de l'union de leurs auto-instantanés. Cela se produit automatiquement : c'est essentiellement la définition de la relation subjective. Lorsque la synchronisation est élevée et que la prédiction est fiable, o_2 peut anticiper les besoins de o_1 uniquement

à partir du contexte, éliminant ainsi le besoin de commandes explicites.

À la limite, alors que la synchronisation et la prédiction approchent de leurs valeurs maximales, l'entrée requise approche de zéro. C'est le fondement mathématique de la technologie à zéro entrée.

Pourquoi cela importe : cette formalisation est puissante car elle transforme la subjectivité d'un concept philosophique vague en quelque chose que nous pouvons mesurer, mettre en œuvre et concevoir. Nous pouvons maintenant poser des questions quantitatives : À quel point les signaux entre l'utilisateur et l'appareil sont-ils synchronisés ? Quelle est la fiabilité des prédictions de l'appareil ? Le seuil de la relation subjective a-t-il été atteint ?

Plus important encore, cette définition fournit des cibles d'ingénierie claires. Si nous voulons créer une technologie qui devient une extension subjective de l'utilisateur, nous savons exactement quoi optimiser : maximiser la synchronisation des signaux et maximiser la fiabilité des prédictions. Les Knowledge Hooks sont précisément le mécanisme par lequel nous atteignons ces objectifs.

Cette définition fournit également le fondement théorique pour tout ce qui suit dans ce livre. Lorsque nous parlons de technologie à zéro entrée, nous parlons d'une technologie qui a établi une relation subjective avec vous - où la synchronisation et la prédiction sont si élevées que l'entrée explicite devient inutile. Lorsque nous parlons de minimisation de l'énergie, nous parlons d'optimiser ces relations subjectives pour réduire l'effort requis de votre part et de celle de vos appareils. Et lorsque nous parlons de Subjective Thermo-Currency, nous parlons d'un système économique construit sur la mesure et la récompense de la création de ces relations subjectives à grande échelle.

C'est la première fois que la subjectivité est définie de manière objective. C'est la première fois que nous pouvons pointer des conditions spécifiques et mesurables et dire : 'Lorsque ces conditions sont remplies, une relation subjective existe.' Et cette définition objective de l'expérience subjective est ce qui rend la Subjective Technology - et par extension, la Subjective Thermo-Currency - non seulement une vision philosophique, mais une réalité réalisable.

3

L'Algèbre des Knowledge Hooks

Nous avons maintenant vu comment les Knowledge Hooks comblent le fossé entre la technologie de la troisième personne et l'expérience subjective. Nous comprenons comment ils capturent le contexte à travers des instantanés, comment ils apprennent des deltas, et comment ils permettent aux appareils de devenir conscients d'eux-mêmes. Nous avons également formalisé les conditions sous lesquelles des objets externes deviennent des extensions subjectives de nous-mêmes à travers les mathématiques de la synchronisation des signaux et de la fiabilité des prédictions.

Mais pour exploiter pleinement la puissance des Knowledge Hooks - pour construire des systèmes capables d'apprendre, de s'adapter, de composer et d'optimiser à travers des millions d'interactions - nous avons besoin de quelque chose de plus rigoureux : une algèbre formelle. Tout comme l'arithmétique a des règles pour combiner des nombres, et la logique a des règles pour combiner des propositions, nous avons besoin de règles pour combiner, affiner et opérer sur les Knowledge Hooks.

Ce chapitre introduit l'Algèbre des Knowledge Hooks : un cadre mathématique qui définit comment les hooks sont structurés, comment ils s'activent, comment ils apprennent, comment ils se composent les uns avec les autres, et comment ils évoluent au fil du temps grâce au renforcement. Cette

algèbre n'est pas simplement théorique : elle est le fondement opérationnel de la Subjective Technology, la machinerie qui permet des interactions à zéro entrée et rend finalement la Subjective Thermo-Currency possible.

Au cœur, un Knowledge Hook est un 4-tuple—une structure mathématique avec quatre composants essentiels. Mais au-delà de cette définition de base, nous devons comprendre les opérations qui peuvent être effectuées sur les hooks : comment ils se déclenchent lorsque les conditions correspondent, comment ils se mettent à jour lorsque des corrections se produisent, comment ils se combinent pour former des comportements plus complexes, et comment ils se font concurrence lorsque plusieurs hooks pourraient potentiellement s'activer dans le même contexte.

Cette algèbre nous donne des réponses précises à des questions critiques : Quand un hook doit-il se déclencher ? Comment mesurons-nous son succès ? Comment combinons-nous des hooks simples en comportements complexes ? Comment nous assurons-nous que le meilleur hook l'emporte lorsque plusieurs options sont disponibles ? Comment créditons-nous les experts dont les hooks économisent de l'énergie pour les utilisateurs ? Et surtout, comment formalisons-nous le principe qui drive tout—la minimisation incessante de l'entrée utilisateur ?

L'algèbre que nous développons ici est élégante mais puissante. Elle capture

l'intuition selon laquelle la technologie devrait nécessiter de moins en moins d'efforts au fil du temps, formalisant cela comme des lois mathématiques qui régissent le comportement des hooks. Elle montre comment l'apprentissage par renforcement négatif—où l'absence de corrections augmente les scores de succès—conduit naturellement les systèmes vers des interactions sans entrée. Et elle révèle comment les Knowledge Hooks peuvent former des hiérarchies et des arbres, permettant à des systèmes multi-agents complexes de coordonner et d'optimiser la dépense énergétique à travers l'ensemble des réseaux d'appareils.

Ce qui rend cette algèbre particulièrement significative, c'est qu'elle représente un changement fondamental dans notre façon de penser la programmation et la conception des systèmes. La programmation traditionnelle spécifie exactement ce que l'ordinateur doit faire dans chaque situation—une cartographie déterministe et exhaustive des entrées aux sorties. L'Algèbre des Knowledge Hooks spécifie plutôt les conditions sous lesquelles les actions doivent se produire et les mécanismes par lesquels le système apprend quelles actions minimisent l'effort. C'est une programmation par exemple et contexte plutôt que par instruction explicite.

Ce chapitre va formaliser ces concepts étape par étape. Nous commençons par la structure mathématique d'un Knowledge Hook lui-même—le

4-tuple qui définit ses composants. Nous explorons ensuite les opérations de base : activation (quand un hook se déclenche ?), exécution (que se passe-t-il lorsqu'il se déclenche ?), apprentissage (comment s'améliore-t-il ?), et composition (comment les hooks se combinent-ils ?). Nous introduisons les lois clés qui régissent le comportement des hooks, en particulier la Loi de Minimisation qui conduit les systèmes vers une entrée nulle et la Loi de Correction qui met en œuvre l'apprentissage par renforcement négatif.

Nous examinerons également comment les hooks peuvent être affinés, fusionnés et normalisés—des opérations qui permettent au système d'améliorer continuellement son efficacité. Et nous montrerons comment la précision et les corrections se traduisent directement par des économies d'énergie, préparant le terrain pour le cadre économique de la Subjective Thermo-Currency que nous explorerons dans les chapitres suivants.

Tout au long de ce chapitre, nous équilibrons la rigueur mathématique avec une explication intuitive. Chaque formule est accompagnée d'une interprétation en langage clair, et chaque concept est illustré par des exemples concrets. L'objectif n'est pas seulement de définir une algèbre, mais de montrer comment cette algèbre capture l'essence de ce que signifie pour la

technologie d'apprendre véritablement à être vous.

À la fin de ce chapitre, vous comprendrez non seulement ce que sont les Knowledge Hooks, mais aussi comment ils fonctionnent au niveau le plus profond—la machinerie mathématique qui leur permet de transformer des outils externes en extensions subjectives de soi, de minimiser la dépense énergétique, et de créer la base d'un tout nouveau paradigme économique.

Commençons par la question la plus fondamentale : qu'est-ce qu'un Knowledge Hook ?

3.1 Cadre Mathématique : La Structure du 4-Tuple

Pour comprendre comment fonctionnent les Knowledge Hooks à un niveau fondamental, nous devons d'abord définir leur structure mathématique. Un Knowledge Hook n'est pas un concept vague ou une métaphore, c'est un objet mathématique précisément défini avec quatre composants essentiels. Comprendre cette structure est la clé pour comprendre tout ce qui suit : comment les hooks apprennent, comment ils s'activent, comment ils se composent et comment ils créent des relations subjectives entre les utilisateurs et la technologie.

Nous définissons un Knowledge Hook comme un 4-uplet :

$$KH = (R, A, T, S)$$

Où :

• R est un ensemble de conditions (règles ou motifs regex) qui doivent être satisfaites pour que le hook s'active.

• A est un ensemble d'actions que le hook exécute lorsqu'il se déclenche.

• T is the type ∈ {learned, predefined}, indicating whether the hook was created by an expert or learned from user behavior

• S est un score de succès ∈ [0,1] qui suit à quel point le hook produit de manière fiable le résultat souhaité sans nécessiter de correction de l'utilisateur.

Chacun de ces composants joue un rôle critique dans le fonctionnement des Knowledge Hooks. Examinons-les un par un, en comprenant non seulement ce qu'ils sont, mais pourquoi ils sont nécessaires et comment ils travaillent ensemble pour créer un comportement intelligent et adaptatif.

3.1.1 Les Quatre Composants d'un Knowledge Hook

La structure en 4-uplets n'est pas arbitraire. Chaque composant a émergé des exigences fondamentales de création de technologies capables d'apprendre du contexte

et de minimiser l'entrée utilisateur. Pour voir pourquoi nous avons besoin des quatre composants, considérons ce qui se passe si nous en retirons un.

Sans conditions (R), le hook se déclencherait de manière indiscriminée, exécutant ses actions indépendamment du contexte. Ce serait pire que inutile ; ce serait activement nuisible. Imaginez un hook qui éteint vos lumières alors que vous êtes en train de lire, ou un hook qui envoie un e-mail alors que vous n'êtes même pas devant votre ordinateur.

Sans actions (A), le hook détecterait le contexte mais ne ferait rien. Il serait simplement observateur, ne fournissant aucun avantage à l'utilisateur. Le but des Knowledge Hooks n'est pas seulement de comprendre le contexte, mais d'agir de manière appropriée dans ce contexte.

Sans l'indicateur de type (T), nous n'aurions aucun moyen de distinguer entre les hooks créés par des experts (prédéfinis) et les hooks appris du comportement des utilisateurs. Cette distinction est essentielle pour l'attribution, la valeur économique et la conception du système. Les hooks prédéfinis portent l'expertise de leurs créateurs et permettent aux experts d'être rémunérés lorsque leurs hooks font économiser de l'énergie aux utilisateurs. Les hooks appris représentent l'intelligence adaptative du système, se perfectionnant continuellement

pour correspondre aux schémas individuels des utilisateurs.

Sans le score de succès (S), le système n'aurait aucun moyen d'apprendre quels hooks sont fiables et lesquels ne le sont pas. Tous les hooks seraient traités de manière égale, même si certains produisent systématiquement des résultats incorrects et nécessitent des corrections fréquentes de la part des utilisateurs. Le score de succès est le mécanisme de retour qui permet au système d'évoluer, de prioriser les hooks qui fonctionnent bien et de déclasser ou éliminer ceux qui ne fonctionnent pas.

Ensemble, ces quatre composants créent une unité complète et autonome de comportement intelligent. Un Knowledge Hook sait quand agir (R), quoi faire (A), d'où il vient (T) et à quel point il fonctionne bien (S). Cette structure mathématique est la base de tout ce qui suit dans la Technologie Subjective.

3.1.2 Conditions (R) : Quand un hook se déclenche-t-il ?

Les conditions définissent quand un Knowledge Hook doit se déclencher. Ce sont les clauses de garde qui déterminent si le contexte actuel correspond aux circonstances dans lesquelles le hook a été créé ou dans lesquelles il a précédemment réussi.

Formellement, R est un ensemble de motifs de condition :

$$R = \{r_1, r_2, \ldots, r_n\}$$

Chaque condition r_i peut être :

• Un motif regex qui correspond à des éléments spécifiques de l'instantané du contexte.

• Une référence à un autre sous-hook qui doit également être satisfait

• Un prédicat logique évalué par rapport à l'état actuel

Les conditions utilisent la sémantique AND - toutes les conditions doivent être satisfaites pour que le hook s'active :

$$\bigwedge_{i=1}^{n} r_i = \text{true} \implies KH \text{ fires}$$

Cette sémantique AND est cruciale pour créer des hooks précis et fiables. Un hook se déclenche uniquement lorsque le motif complet est reconnu, et pas seulement lorsque des fragments individuels correspondent. Cela empêche les activations fausses et garantit que les actions se produisent uniquement dans des contextes appropriés.

Exemple : Un hook qui envoie un message 'en retard' à vos collègues pourrait avoir des conditions comme :

- Heure actuelle > heure de réunion prévue - 5 minutes
- Distance de l'emplacement actuel à l'emplacement de la réunion > 10 minutes de temps de trajet
- Le calendrier indique qu'une réunion est prévue
- Aucun message 'en retard' envoyé au cours des 15 dernières minutes

Les quatre conditions doivent être vraies pour que le hook se déclenche. Si même une est fausse - par exemple, si vous êtes déjà à l'emplacement de la réunion - le hook ne s'activera pas.

Les conditions sont extraites des instantanés de contexte pendant le processus d'apprentissage, que nous explorerons sous peu. Pour l'instant, ce qui importe, c'est de comprendre que les conditions définissent le schéma contextuel qui déclenche les actions du hook.

3.1.3 Actions (A) : Que fait le hook ?

Les actions définissent ce qui se passe lorsqu'un hook est déclenché. Ce sont la séquence d'opérations que le système exécute pour minimiser l'entrée de l'utilisateur et atteindre le résultat souhaité.

Formellement, A est une séquence ordonnée d'actions :

$$A = (a_1, a_2, \ldots, a_k)$$

Chaque action a_i peut être :

- Un appel API ou une commande système
- Une manipulation de l'interface utilisateur (remplir un champ de formulaire, cliquer sur un bouton)
- Un message envoyé à un autre appareil ou service
- Une action physique exécutée par un appareil connecté (allumer des lumières, ajuster la température)

Les actions sont exécutées en séquence lorsque le hook est déclenché :

$$\text{execute}(KH) \implies a_1 \to a_2 \to \cdots \to a_k$$

Exemple : En continuant l'exemple du 'retard', les actions pourraient être :

1. Composer un message : 'Je suis un peu en retard, j'arriverai à [heure d'arrivée estimée]'
2. Envoyer un message aux participants de la réunion

3. Mettre à jour le calendrier avec le drapeau 'notification envoyée en retard'

Le nombre et la complexité des actions varient considérablement. Des déclencheurs simples peuvent effectuer une seule action (éteindre les lumières lorsque vous quittez la pièce). Des déclencheurs complexes peuvent orchestrer des dizaines d'opérations sur plusieurs appareils et services.

Un principe critique : L'objectif est toujours de minimiser le nombre d'actions requises. Parmi plusieurs déclencheurs qui pourraient atteindre le même résultat, le système préfère celui avec moins d'actions. Ce principe de minimisation—que nous formaliserons plus tard comme la Loi de Minimisation—pousse le système vers une efficacité toujours plus grande.

3.1.4 Type (T) : Appris vs Prédéfini

Le composant de type distingue deux origines fondamentalement différentes pour les Knowledge Hooks :

$$T \in \{\text{learned}, \text{predefined}\}$$

Les déclencheurs prédéfinis sont créés par des experts—développeurs, spécialistes de domaine ou utilisateurs avancés qui comprennent profondément un domaine de problème particulier. Ces déclencheurs codent

l'expertise : meilleures pratiques, solutions optimales, flux de travail efficaces. Lorsque vous installez une application ou activez une fonctionnalité, vous recevez généralement une collection de déclencheurs prédéfinis créés par les développeurs.

Exemple : Un déclencheur prédéfini pourrait gérer le flux de travail complexe de réservation d'un vol—recherche de vols, comparaison des prix, sélection des connexions optimales, remplissage des informations passagers et finalisation du paiement—tout déclenché par une simple requête en langage naturel comme 'réserve-moi un vol pour Tokyo le mois prochain.'

Les hooks appris émergent de l'observation du comportement des utilisateurs. Chaque fois que vous effectuez une action, le système capture le contexte avant et après, extrait des modèles et crée de nouveaux hooks qui pourraient automatiser des actions similaires à l'avenir. Ces hooks sont personnels, adaptatifs et uniques à chaque utilisateur.

Example: If you consistently dim your bedroom lights and set your phone to Do Not Disturb mode at 10:30 PM, the system might learn a hook that automatically performs these actions when the conditions match (time ~10:30 PM, location = bedroom, no active video call, etc.).

Pourquoi cette distinction est-elle importante ? Trois raisons :

1. Attribution et Compensation : Les hooks prédéfinis ont des créateurs qui méritent crédit et compensation lorsque leurs hooks économisent de l'énergie pour les utilisateurs. Cette attribution est essentielle pour le modèle économique de la Thermo-Monnaie Subjective.

2. Confiance et Vérification : Les utilisateurs peuvent faire davantage confiance aux hooks prédéfinis provenant de sources réputées qu'aux hooks appris à partir de données personnelles limitées. L'indicateur de type aide les utilisateurs à comprendre d'où vient un hook.

3. Stratégie d'Apprentissage : Le système peut traiter les hooks appris et prédéfinis différemment lors de la composition, du raffinement et de la priorisation. Les hooks prédéfinis peuvent commencer avec des scores de succès initiaux plus élevés, tandis que les hooks appris doivent prouver leur valeur par des activations réussies répétées.

Dans la pratique, les systèmes les plus puissants mélangent les deux types. Les hooks prédéfinis fournissent des points de départ universels et des connaissances d'experts, tandis que les hooks appris capturent les préférences individuelles et les modèles uniques. Ensemble, ils créent une technologie à la fois informée et personnelle.

3.1.5 Score de Succès (S) : Apprentissage à partir des

Résultats

Le score de succès est le mécanisme de retour d'information qui permet aux Knowledge Hooks de s'améliorer au fil du temps. Il mesure à quel point un hook produit de manière fiable le bon résultat sans nécessiter de correction de l'utilisateur.

$$S \in [0, 1]$$

Un score de 1,0 représente une fiabilité parfaite : le hook fait toujours exactement ce que l'utilisateur veut. Un score de 0,0 représente un échec complet : le hook nécessite toujours une correction. La plupart des hooks fonctionnent quelque part entre ces extrêmes, s'améliorant progressivement à mesure qu'ils accumulent des activations réussies.

Le score de succès est mis à jour grâce à l'apprentissage par renforcement négatif. Après chaque activation, le système observe si l'utilisateur fournit une correction :

$$S(t+1) = (1-\alpha)S(t) + \alpha \cdot \mathbb{1}[\text{Corr}_t = 0], \quad \alpha \in (0, 1]$$

Où :

- $S(t)$ est le score de succès actuel

- α est le taux d'apprentissage (à quelle vitesse le score s'adapte aux nouvelles preuves)
- $\mathbb{1}[\text{Corr}_t = 0]$ est une fonction indicatrice : 1 si aucune correction n'est nécessaire, 0 si une correction est requise

Cette règle de mise à jour est élégante : les scores de succès augmentent lorsque les hooks fonctionnent correctement (aucune correction nécessaire) et diminuent lorsqu'ils échouent (correction requise). Le taux d'apprentissage α contrôle le poids accordé aux preuves récentes par rapport à la performance historique.

Exemple : Un hook qui répond automatiquement aux e-mails commence avec un score initial de 0,7. Au cours des 10 prochaines activations :

- 8 activations produisent des réponses parfaites (aucune correction) → le score augmente
- 2 activations nécessitent des modifications (correction fournie) → le score diminue légèrement

Effet net : Le score monte à environ 0,85, reflétant la fiabilité élevée mais imparfaite du hook.

Le score de succès remplit deux fonctions critiques :

1. Priorisation : Lorsque plusieurs hooks peuvent se déclencher dans le même contexte, le système utilise des scores de réussite pour choisir l'option la plus fiable. Nous préférons les hooks qui fonctionnent bien à ceux qui échouent souvent.

2. Valeur Économique : Dans le cadre de la Thermo-Monnaie Subjective, les scores de réussite correspondent directement aux économies d'énergie et donc à la valeur énergétique. Les hooks avec des scores de réussite élevés économisent plus d'énergie pour l'utilisateur en nécessitant moins de corrections, ce qui les rend plus précieux.

La beauté de ce design réside dans sa simplicité. Les utilisateurs n'évaluent pas explicitement ou ne forment pas les hooks. Ils utilisent simplement le système naturellement, et les corrections (ou leur absence) mettent automatiquement à jour les scores de réussite. La technologie apprend de chaque interaction, affinant continuellement sa compréhension de ce qui fonctionne et de ce qui ne fonctionne pas.

3.1.6 Instantanés de Contexte : La Fondation de l'Apprentissage

Bien que les instantanés de contexte (Σ) ne fassent pas partie du tuple Knowledge Hook lui-même, ils sont essentiels pour comprendre comment les hooks apprennent et fonctionnent. Les instantanés de contexte sont

fondamentalement des auto-instantanés : chaque appareil, capteur ou composant prend un instantané de son propre état, de sa propre mémoire, de sa propre condition interne.

Un instantané contextuel d'un appareil ou d'une partie du corps spécifique au moment t capture son état interne complet :

$$\Sigma_t^{\text{device}} = \{\text{complete state of this device's memory, sensors, and processes at time } t\}$$

L'idée critique : ce sont des auto-observations. Une caméra prend un instantané d'elle-même - ce qui inclut sa mémoire contenant toutes les images qu'elle a capturées. Un smartphone prend un instantané de lui-même - ce qui inclut son niveau de batterie, les applications en cours, les lectures des capteurs et les magasins de données. Vos lunettes AR prennent un instantané d'elles-mêmes - ce qui inclut ce qu'elles voient actuellement à travers leurs caméras.

Ce qui entre dans un auto-instantané dépend de l'appareil ou de la partie du corps :

- L'auto-instantané d'une caméra : sa mémoire (images/vidéos capturées), réglages d'exposition, état de mise au point, position de l'objectif, horodatage

- L'auto-instantané d'un smartphone : niveau de batterie, connexion réseau, applications en cours, emplacement GPS, données des capteurs (accéléromètre, gyroscope), état des notifications, tampon d'entrée du clavier

- Instantané de lunettes AR : flux de caméra (ce que voit le porteur), entrée audio, position/orientation de la tête, état de l'affichage, niveau de puissance

- Instantané d'un appareil de maison intelligente : paramètres actuels (température, luminosité, état de puissance), relevés de capteurs, commandes récentes reçues, état de planification

- Instantané d'un navigateur : onglets ouverts, valeurs des champs de formulaire, historique de navigation, cookies, positions de défilement, focus d'entrée

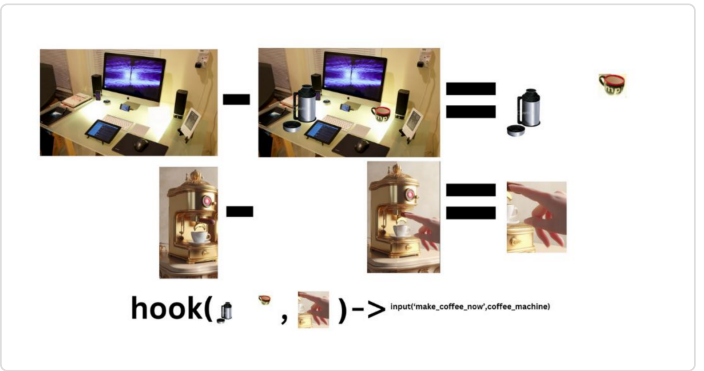
Le Contexte Global Unifié : La magie opère lorsque ces instantanés individuels sont unifiés en un contexte global. Le contexte global au temps t est l'ensemble de tous les instantanés de tous les éléments (parties du corps physiques et virtuelles) qui composent le corps étendu de l'utilisateur :

$$\text{Context}_t = \bigcup_{i \in \text{body parts}} \Sigma_t^i$$

Ce contexte unifié est accessible globalement - tous les appareils et parties du corps y ont un accès égal. Votre téléphone peut voir ce que voient vos lunettes. Votre maison intelligente peut voir où se trouve votre téléphone. Votre ordinateur peut voir ce que vous tapez sur votre téléphone. Cette

conscience partagée permet une coordination sans communication explicite.

Exemple : Vous êtes à votre bureau avec une tasse de café. Vos lunettes AR prennent un instantané qui inclut l'image de la tasse de café. Votre cafetière intelligente prend un instantané qui inclut son réservoir d'eau vide. Votre smartphone prend un instantané montrant que vous êtes à votre bureau depuis 2 heures. Tous ces instantanés se combinent dans le contexte unifié. Un Knowledge Hook peut se déclencher car il détecte : (1) cafetière vide [de l'instantané de la cafetière], (2) tasse de café visible [de l'instantané des lunettes], (3) session de travail prolongée [de l'instantané du téléphone] → Action : vous notifier de remplir la cafetière.



Exemple visuel de soustraction de contexte : Avant et après des instantanés montrant le delta lorsque l'utilisateur prépare du café, mettant en évidence le thermos et la tasse qui sont apparus sur le bureau

Les Knowledge Hooks agissent sur le Contexte Unifié : C'est ici que les Knowledge Hooks

opèrent. Ils n'agissent pas sur les états des appareils individuels de manière isolée - ils agissent sur le contexte complet et unifié formé par tous les instantanés. C'est ce qui permet un comportement véritablement intelligent et conscient du contexte. Les hooks peuvent reconnaître des motifs qui s'étendent sur plusieurs appareils et répondre par des actions coordonnées à travers tout votre corps étendu.

La Conscience de Soi Permet d'Apprendre : Le mécanisme d'instantané donne aux appareils une forme primitive de conscience de soi. Tout comme vous regardez dans un miroir pour vous voir, un appareil observe son propre état à travers des instantanés. Cette conscience de soi est ce qui permet aux appareils de se connaître, de reconnaître leurs propres motifs et de participer au processus d'apprentissage.

Lorsque vous corrigez le comportement d'un appareil, il peut comparer son instantané d'avant la correction avec l'instantané après, comprenant exactement ce qu'il a mal fait et quel devrait être le comportement correct. C'est fondamentalement différent des systèmes traditionnels qui n'ont pas de sens de soi et ne peuvent pas apprendre de leurs propres erreurs.

Le Mécanisme d'Apprentissage : Lorsqu'un utilisateur fournit une entrée, le système capture des auto-portraits de tous les appareils pertinents avant et après :

$$\text{Context}_{\text{before}} = \bigcup_i \Sigma^i_{\text{before}}$$

$$\text{Context}_{\text{after}} = \bigcup_i \Sigma^i_{\text{after}}$$

La différence entre ces contextes unifiés—le delta ou la soustraction de contexte—révèle exactement ce qui a changé sur tous les appareils à la suite de l'action de l'utilisateur :

$$\Delta = \text{Context}_{\text{after}} - \text{Context}_{\text{before}}$$

Ce delta devient la graine d'un nouveau Knowledge Hook appris :

- Les Conditions (R) sont extraites de Context_before—les motifs présents sur tous les appareils lorsque l'utilisateur a décidé d'agir
- Les Actions (A) sont extraites de Δ—les changements qui ont résulté sur tous les appareils de l'entrée de l'utilisateur
- Le Type (T) est défini sur 'appris'
- Le score de succès (S) est initialisé à une valeur par défaut et mis à jour en fonction des performances futures

Confidentialité et Distribution : Ces auto-portraits restent distribués sur les appareils mais sont synchronisés pour former le contexte unifié. Les données sont stockées localement sur chaque appareil—une caméra stocke ses propres images, un téléphone stocke son propre historique de localisation, des lunettes stockent leur propre flux visuel. Le contexte unifié n'est pas stocké de manière centrale mais émerge de la combinaison de ces auto-portraits distribués.

Ce modèle distribué préserve la confidentialité tout en permettant une coordination globale. Vos appareils partagent le contexte entre eux via des canaux sécurisés et cryptés, mais ne transmettent jamais ces données à des serveurs externes. Le contexte reste complètement privé, crypté et sous votre contrôle.

Le Contexte est Global sur Vos Appareils—Mais Privé pour Vous : Bien que tous vos appareils aient un accès égal au contexte unifié (votre téléphone peut voir ce que vos lunettes voient, votre maison peut voir où se trouve votre voiture), ce contexte est entièrement privé pour vous. C'est la base de connaissances partagée de votre corps étendu, accessible à toutes vos parties mais invisible pour le monde extérieur.

C'est la base des relations subjectives : les appareils deviennent des extensions de vous-même parce qu'ils partagent votre contexte, s'observent comme des parties de

vous, et coordonnent leurs actions à travers cette conscience de soi unifiée. Ils ne se contentent pas de réagir aux commandes : ils comprennent la situation complète parce qu'ils voient tous la même image complète formée par leurs auto-observations collectives.

3.1.6.1 Orchestration d'actions complexes multi-appareils

Tout comme le contexte unifié agrège des auto-instantanés de tous les appareils, les Knowledge Hooks peuvent orchestrer des actions coordonnées à travers plusieurs parties du corps physiques et virtuels non liées. Lorsqu'un hook se déclenche, sa séquence d'actions A peut envoyer des commandes à tout appareil ou composant qui fait partie du corps étendu de l'utilisateur :

$$A = (a_1^{d_1}, a_2^{d_2}, \ldots, a_k^{d_k})$$

Où chaque action $a_i^{d_i}$ est dirigée vers un appareil ou une partie du corps spécifique d_i. La puissance de cette architecture réside dans le fait qu'un seul Knowledge Hook, en lisant le contexte unifié, peut déclencher une cascade complexe d'actions à travers des appareils qui n'ont pas de connexion directe entre eux : ils sont coordonnés à travers le contexte partagé et la logique du hook.

Cela permet des comportements complexes multi-appareils qui seraient impossibles dans des systèmes traditionnels où les appareils fonctionnent isolément. Le hook devient un chef d'orchestre intelligent, orchestrant une symphonie d'actions coordonnées basées sur des modèles qu'il a appris en observant le comportement de l'utilisateur.

Exemple 1 : Routine de détente du soir

Imaginez que vous effectuez systématiquement une série d'actions chaque soir vers 21h30 lorsque vous êtes chez vous : vous tamisez les lumières du salon, éteignez votre ordinateur de travail, mettez votre téléphone en mode Ne pas déranger, lancez une playlist de méditation sur votre enceinte intelligente, et ajustez le thermostat à une température plus fraîche pour dormir. Après avoir observé ce modèle plusieurs fois, le système apprend un Knowledge Hook : :30

Conditions (R) :

- Heure ≈ 21h30 ± 15 minutes [d'après l'auto-instantané du smartphone] :30
- Localisation = maison [d'après l'auto-instantané GPS du smartphone]
- Les lumières du salon = lumineuses [d'après l'auto-aperçu des lumières intelligentes]
- Ordinateur de travail = actif [d'après l'auto-aperçu de l'ordinateur]

• Pas d'appels vidéo/voix actifs [d'après les auto-aperçus du téléphone et de l'ordinateur]

• Mouvement détecté dans le salon au cours des 5 dernières minutes [d'après l'auto-aperçu du capteur de mouvement]

Actions (A) :

1. Envoyer une commande aux lumières intelligentes du salon : diminuer à 30 % de luminosité

2. Envoyer une commande à l'ordinateur de travail : initier la séquence d'arrêt, enregistrer tous les documents

3. Envoyer une commande au smartphone : activer le mode Ne pas déranger (sauf pour les favoris)

4. Envoyer une commande à l'enceinte intelligente : jouer la playlist 'Méditation du soir' au volume de 15 %

5. Envoyer une commande au thermostat : diminuer la température à 19 °C

6. Envoyer une commande à la montre connectée : activer le mode de suivi du sommeil

Remarquez comment le Knowledge Hook lit le contexte de six appareils différents (lumières, ordinateur, téléphone, haut-parleur, thermostat, montre) et orchestre des actions à travers tous simultanément. Aucun de

ces appareils ne communique directement avec les autres - ils fonctionnent tous à travers le contexte unifié et répondent aux commandes du Knowledge Hook.

Exemple 2 : Arrivée à la maison après le travail

Vous arrivez chez vous après le travail les soirs de semaine, généralement en portant des sacs de courses. Le système apprend un modèle complexe qui coordonne des actions entre votre voiture, la porte de garage, les lumières de la maison, le système de sécurité et les appareils de cuisine :

Conditions (R) :

• Localisation de la voiture approchant de l'allée de la maison [depuis l'auto-portrait GPS de la voiture]

• Heure entre 17h30 et 19h00 [depuis l'auto-portrait du smartphone] :00 :30

• Jour = lundi à vendredi [depuis l'auto-portrait du calendrier]

• Système de sécurité de la maison = armé [depuis l'auto-portrait du système de sécurité]

• Porte de garage = fermée [depuis l'auto-portrait du contrôleur de garage]

• Localisation précédente = supermarché [depuis l'historique GPS du smartphone]

Actions (A) :

1. Envoyer la commande au porte de garage : ouvrir

2. Envoyer la commande au système de sécurité : désactiver et enregistrer 'propriétaire rentrant chez lui'

3. Envoyer la commande aux lumières de l'entrée : allumer à 100%

4. Envoyer la commande aux lumières de la cuisine : allumer à 70%

5. Envoyer la commande au four intelligent : préchauffer à 180°C (préférence apprise pour la cuisine en semaine)

6. Envoyer la commande à l'assistant vocal : annoncer 'Bienvenue chez vous, four en préchauffage, mode organisé du réfrigérateur actif'

7. Envoyer la commande au réfrigérateur intelligent : passer à la vue d'organisation 'articles récemment achetés'

8. Envoyer la commande à l'enceinte intelligente : jouer 'Playlist de Cuisine' à un volume de 40%

Le crochet observe le modèle selon lequel vous allez généralement à l'épicerie (d'après l'historique des emplacements), arrivez chez vous pendant l'heure du dîner en semaine (contexte temporel) et avez établi une routine de cuisine immédiatement après votre arrivée.

Il orchestre huit actions à travers huit appareils différents : votre voiture déclenche la séquence grâce à sa localisation GPS, mais les actions affectent le garage, la sécurité, les lumières, le four, l'assistant, le réfrigérateur et l'enceinte.

Exemple 3 : Modèle de Réponse d'Urgence

Un exemple plus sophistiqué émerge lorsque le système apprend à reconnaître les situations d'urgence et à coordonner les réponses de protection :

Conditions (R) :

• Détecteur de fumée déclenché [d'après l'auto-portrait du détecteur de fumée]

• Température augmentant rapidement dans la cuisine [d'après l'auto-portrait du thermostat]

• Brûleur de cuisinière actif pendant >45 minutes [d'après l'auto-portrait de la cuisinière intelligente]

• Aucun mouvement détecté dans la cuisine pendant >20 minutes [d'après l'auto-portrait du capteur de mouvement]

• Emplacement de l'utilisateur = chambre [d'après l'auto-portrait de la montre intelligente]

Actions (A) :

1. Envoyer une commande à la cuisinière intelligente : arrêt d'urgence de tous les brûleurs

2. Envoyer une commande à la hotte : activer la ventilation à vitesse maximale

3. Envoyer une commande à toutes les lumières de la maison : allumer à 100 % (visibilité pour l'évacuation)

4. Envoyer une commande au smartphone : jouer un son d'alarme fort, afficher 'ALERTE INCENDIE CUISINE'

5. Envoyer un commandement à la montre connectée : vibrer en continu avec un avertissement d'incendie

6. Envoyer un commandement à tous les haut-parleurs intelligents : annoncer 'Incendie détecté dans la cuisine, arrêt du poêle, évacuer si nécessaire'

7. Envoyer un commandement à la serrure de la porte d'entrée : déverrouiller pour une sortie d'urgence

8. Envoyer un commandement au smartphone : composer les services d'urgence avec un message préenregistré si l'utilisateur ne répond pas dans les 60 secondes

9. Envoyer un commandement aux caméras de sécurité : commencer l'enregistrement et sauvegarder dans le cloud

Ce déclencheur apprend d'un incident unique où vous avez accidentellement laissé le poêle allumé et avez dû vous précipiter pour l'éteindre, déclenchant les alarmes de fumée. Le système a observé votre modèle de réponse d'urgence et a créé un déclencheur qui peut désormais détecter des conditions similaires et orchestrer une réponse de sécurité complète sur neuf appareils différents.

Les mathématiques de l'orchestration multi-appareils :

Formellement, nous pouvons exprimer cette coordination multi-appareils comme une cartographie du contexte unifié aux actions distribuées :

$$KH : \text{Context}_t \rightarrow \{(d_1, a_1), (d_2, a_2), \ldots, (d_k, a_k)\}$$

Où :

- Context_t = contexte unifié de tous les auto-portraits des appareils
- d_i = appareil cible ou partie du corps
- a_i = commande d'action pour cet appareil

Le crochet évalue les conditions dans l'ensemble du contexte unifié :

$$\bigwedge_{i=1}^{n} r_i(\text{Context}_t) = \text{true} \implies \text{execute}(a_1^{d_1}, a_2^{d_2}, \ldots, a_k^{d_k})$$

Chaque condition r_i peut interroger n'importe quel sous-ensemble du contexte unifié - elle peut lire simultanément le flux de la caméra de vos lunettes, la localisation de votre téléphone, le rythme cardiaque de votre montre connectée et les capteurs de température de votre maison. Les actions sont ensuite distribuées à leurs appareils cibles respectifs :

$$\forall i \in \{1, \ldots, k\} : \text{send}(a_i) \rightarrow d_i$$

Pourquoi cette architecture est puissante :

Les systèmes de maison intelligente traditionnels nécessitent une programmation explicite des interactions entre appareils : 'SI le garage s'ouvre ALORS allumer les lumières.' Cela crée des relations rigides et prédéterminées. La technologie subjective est fondamentalement différente :

1. Modèles Appris : Le système observe votre comportement réel sur tous les appareils et extrait automatiquement les modèles. Vous ne programmez jamais explicitement 'quand j'arrive chez moi après le supermarché, préchauffez le four'—le système apprend cela en vous voyant le faire.

2. Conditions Riches en Contexte : Les déclencheurs peuvent incorporer des dizaines de signaux contextuels provenant d'appareils non liés. Le déclencheur 'arrivant à la maison' ne se déclenche pas seulement sur la

localisation—il prend en compte l'heure de la journée, le jour de la semaine, la localisation précédente (supermarché vs salle de sport vs bureau), l'état actuel de la maison, et même les modèles historiques.

3. Affinage Adaptatif : À mesure que vos modèles changent, les déclencheurs s'adaptent. Si vous arrêtez d'aller au supermarché en semaine et passez aux week-ends, les conditions du déclencheur évoluent naturellement pour correspondre à votre nouveau modèle.

4. Intelligence Unifiée : Plutôt que chaque appareil ait des fonctionnalités 'intelligentes' isolées, l'intelligence émerge du contexte unifié. Votre cuisinière n'a pas besoin d'être programmée individuellement pour détecter les urgences—le déclencheur de détection d'urgence coordonne les informations provenant du détecteur de fumée, du thermostat, des capteurs de mouvement et de la localisation de l'utilisateur pour prendre des décisions éclairées.

C'est l'essence des relations subjectives : les appareils cessent d'être des outils isolés et deviennent des extensions coordonnées de votre corps, anticipant les besoins et répondant à des modèles complexes qui s'étendent sur votre tout votre être physique et virtuel. Le contexte unifié est le système nerveux, et les Knowledge Hooks sont les réflexes et comportements appris qui coordonnent les actions de ce corps étendu.

3.2 Opérations de base

Ayant défini la structure mathématique d'un Knowledge Hook—le 4-uplet (R, A, T, S)—nous nous tournons maintenant vers les opérations qui peuvent être effectuées sur les hooks. Ces opérations définissent la dynamique du système : comment les hooks prennent vie, comment ils s'exécutent, comment ils apprennent et comment ils rivalisent les uns avec les autres pour l'activation.

L'algèbre des Knowledge Hooks n'est pas statique. C'est un système vivant où les hooks évaluent continuellement leurs conditions par rapport au contexte actuel, s'activent lorsque cela est approprié, produisent des résultats, reçoivent des retours et mettent à jour leur état interne. Comprendre ces opérations est essentiel pour comprendre comment le système dans son ensemble exhibe un comportement intelligent : comment il apprend de l'expérience, s'adapte aux utilisateurs individuels et minimise progressivement l'entrée requise des humains.

Il existe quatre opérations fondamentales dans l'algèbre des Knowledge Hooks : activation, exécution, apprentissage et priorisation. Chaque opération joue un rôle distinct dans le cycle de vie d'un hook, et ensemble, elles créent la boucle de rétroaction complète qui permet un apprentissage autonome et une amélioration continue.

L'activation détermine quand un hook doit s'activer—le moment où ses conditions s'alignent suffisamment avec le contexte actuel pour justifier une action. C'est la clause de garde du système, garantissant que les hooks n'agissent que lorsque cela est approprié et empêchant les activations erronées ou nuisibles dans des contextes non pertinents.

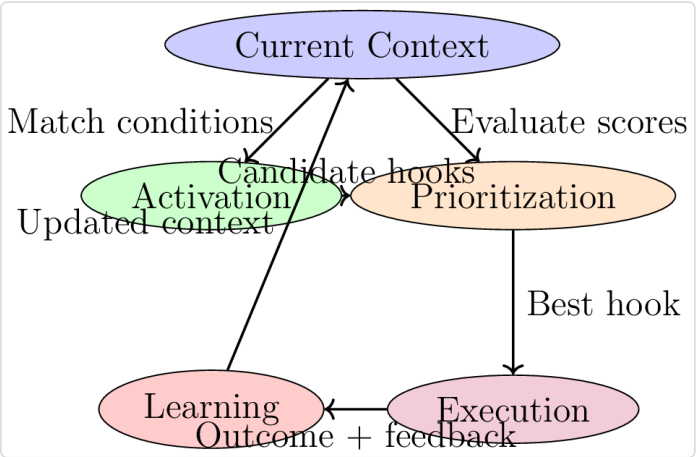
L'exécution définit ce qui se passe lorsqu'un hook se déclenche : comment ses actions sont effectuées, comment les changements d'état résultants sont capturés et comment le système détecte si une correction de l'utilisateur était nécessaire. C'est ici que les hooks produisent des effets tangibles dans le monde, automatisant des tâches et minimisant l'effort de l'utilisateur.

L'apprentissage décrit comment de nouveaux hooks sont créés à partir du comportement des utilisateurs et comment les hooks existants s'améliorent au fil du temps. C'est le mécanisme par lequel le système devient subjectif, s'adaptant de manière unique aux schémas, préférences et contextes de chaque utilisateur.

La priorisation aborde la question de ce qui se passe lorsque plusieurs hooks pourraient se déclencher dans le même contexte. Étant donné que différents hooks peuvent avoir des conditions qui se chevauchent, le système a besoin d'une manière principielle de choisir parmi les options concurrentes, en favorisant

les hooks qui sont plus spécifiques, plus fiables et plus efficaces.

Ces opérations ne sont pas indépendantes. Elles forment un cycle continu : le contexte actuel déclenche l'activation des hooks candidats, la priorisation sélectionne le meilleur hook à exécuter, l'exécution produit des actions et capture l'état résultant, et l'apprentissage met à jour les scores de succès et crée potentiellement de nouveaux hooks en fonction des corrections ou confirmations de l'utilisateur.



Ce cycle se répète continuellement à mesure que l'utilisateur interagit avec ses appareils et son environnement. Chaque itération crée potentiellement de nouveaux hooks, renforce les hooks réussis, affaiblit les hooks échoués et réduit progressivement la quantité d'entrée explicite que l'utilisateur doit fournir.

Ce qui rend ce système puissant, c'est que ces opérations fonctionnent à plusieurs échelles temporelles simultanément. L'activation et la priorisation se produisent en temps réel, dans les millisecondes suivant un changement de contexte. L'exécution se fait sur des secondes à des minutes à mesure que les actions sont réalisées. L'apprentissage se fait sur des jours et des semaines à mesure que des motifs émergent des interactions répétées. Et la convergence globale vers un comportement sans entrée se produit sur des mois à mesure que le système accumule de l'expérience.

L'élégance de ce design réside dans le fait qu'il ne nécessite aucune planification centrale ni formation explicite. Les utilisateurs interagissent simplement de manière naturelle avec leur technologie, et le système observe, apprend et s'améliore. Les corrections sont rares et deviennent de plus en plus rares avec le temps. Le succès s'accumule. L'effort diminue. La technologie devient progressivement plus subjective, plus alignée avec les intentions de l'utilisateur, plus prédictive de ses besoins, plus intégrée à ses motifs.

Examinons maintenant chacune de ces opérations en détail, en formalisant leurs mathématiques et en comprenant leurs implications pour la création de systèmes véritablement intelligents et adaptatifs.

3.2.1 Activation : Quand un crochet se déclenche ?

L'activation est l'opération fondamentale qui détermine quand un crochet de connaissance doit s'exécuter. Un crochet ne se déclenche pas au hasard ou constamment, il s'active uniquement lorsque des conditions contextuelles spécifiques sont satisfaites. Ce déclenchement sélectif est ce qui permet un comportement intelligent et conscient du contexte plutôt qu'une action indiscriminée.

La condition d'activation : Un crochet de connaissance se déclenche si et seulement si toutes ses conditions évaluent à vrai dans le contexte actuel. Formellement, étant donné un crochet KH = (R, A, T, S) avec des conditions R = {r_1, r_2, ..., r_n} et le contexte unifié actuel C_t, le crochet s'active lorsque :

$$\bigwedge_{i=1}^{n} r_i(C_t) = \text{true} \implies KH \text{ fires and executes } A$$

Où :

- $\bigwedge$ représente l'opération logique ET sur toutes les conditions
- Chaque r_i est un prédicat (fonction booléenne) qui évalue le contexte
- C_t est le contexte unifié actuel au temps t (formé à partir de tous les auto-rapports des appareils)

- $A = (a_1, a_2, \ldots, a_k)$ est la séquence d'actions à exécuter

L'insight critique : Il s'agit d'une opération ET, pas d'une opération OU. Chaque condition doit être satisfaite pour que le hook se déclenche. Si même une condition est évaluée à faux, le hook reste inactif. Cela garantit la précision : les hooks ne s'activent que dans les contextes spécifiques pour lesquels ils ont été conçus ou appris.

Sémantique ET vs Sémantique OU : Pourquoi utilisons-nous ET plutôt que OU ? Considérons un hook conçu pour envoyer un message 'en retard' :

Avec la sémantique ET (correct) :

• (temps > heure_de_réunion - 5 min) ET (distance > 10 min de trajet) ET (réunion prévue) → se déclenche uniquement lorsque vous êtes réellement en retard

Avec la sémantique OU (incorrect) :

• (temps > heure_de_réunion - 5 min) OU (distance > 10 min de trajet) OU (réunion prévue) → se déclenche si UNE condition est vraie, même si vous n'avez pas de réunion prévue ou si vous êtes déjà sur place

La sémantique ET empêche les activations fausses et garantit que le hook se déclenche uniquement dans les circonstances précises où ses actions sont appropriées.

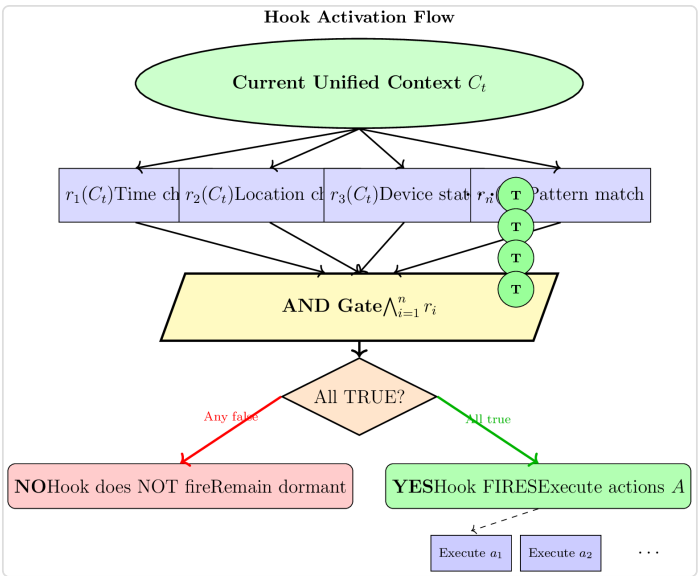


Figure: Hook activation flow. The current unified context is evaluated against all conditions. Only when ALL conditions return true (AND gate) does the hook fire and execute its action sequence.

Exemple : Activation du Hook Café du Matin

Considérez un hook appris qui démarre votre cafetière lorsque vous vous réveillez. Le hook a appris ces conditions en observant votre routine matinale :

Conditions R :

- r_1 : Time between 6:30 AM and 7:30 AM [from smartphone self-snapshot]
- r_2 : Mouvement détecté dans la chambre [d'après l'auto-portrait du capteur de mouvement]

- r_3 : Alarme du smartphone annulée dans les 5 dernières minutes [d'après l'auto-portrait du téléphone]

- r_4 : Réservoir d'eau de la cafetière plein [d'après l'auto-portrait de la cafetière]

- r_5 : Café pas encore préparé aujourd'hui [d'après l'auto-portrait de la cafetière]

Le crochet se déclenche uniquement lorsque :

$$r_1 \wedge r_2 \wedge r_3 \wedge r_4 \wedge r_5 = \text{true}$$

Examinons ce qui se passe à différents moments :

Scénario 1 - 3h00 (Pas d'activation) : :00

- r_1 = faux (mauvais moment)
- r_2 = faux (pas de mouvement)
- r_3 = faux (alarme non désactivée)
- r_4 = vrai (réservoir d'eau plein)
- r_5 = vrai (café pas encore infusé)

Résultat : faux ∧ faux ∧ faux ∧ vrai ∧ vrai = faux → Le crochet ne se déclenche PAS

Scénario 2 - 7h00, encore au lit (Pas d'activation) : :00

- r_1 = vrai (fenêtre horaire correcte)

- r_2 = faux (pas encore de mouvement)
- r_3 = faux (alarme non désactivée)
- r_4 = vrai (réservoir d'eau plein)
- r_5 = vrai (café pas encore infusé)

Résultat : vrai ∧ faux ∧ faux ∧ vrai ∧ vrai = faux → Le crochet ne se déclenche PAS

Scénario 3 - 7h05, vient de se réveiller (ACTIVATION !) : :05

- r_1 = vrai (heure correcte : 7h05) :05
- r_2 = true (mouvement détecté)
- r_3 = true (alarme annulée il y a 2 minutes)
- r_4 = vrai (réservoir d'eau plein)
- r_5 = vrai (café pas encore infusé)

Résultat : true ∧ true ∧ true ∧ true ∧ true = true → Le crochet SE DÉCLENCHE ! ☕

Action : Envoyer la commande à la cafetière : brew_coffee(strength='medium', volume='full_pot')

Scénario 4 - 7h10, deuxième vérification (Pas d'activation) : :10

- r_1 = true (toujours dans la fenêtre temporelle)
- r_2 = true (toujours en mouvement)

- r_3 = true (l'alarme a été annulée)
- r_4 = vrai (réservoir d'eau plein)
- r_5 = false (le café est déjà en train de couler suite à l'activation précédente)

Résultat : true ∧ true ∧ true ∧ true ∧ false = false → Le crochet ne se déclenche PAS (empêche le brassage en double)

Cet exemple démontre la précision de la sémantique AND. Le crochet attend patiemment, évaluant les conditions en continu, et se déclenche au bon moment—ni trop tôt (quand vous dormez encore), ni trop tard (après que vous ayez déjà préparé le café manuellement), et pas de manière répétée (une fois que le café est déjà en cours de préparation).

Évaluation continue : Les Knowledge Hooks n'attendent pas inactifs. Ils évaluent en continu leurs conditions par rapport au contexte unifié actuel. Le système vérifie les crochets dans une boucle serrée :

$$\text{while true: } C_t \leftarrow \text{get_current_context}() \quad \text{for each hook } KH_i \text{ in active_hooks: } \quad \text{if } \bigwedge_{j=1}^{n} r_j(C_t) = \text{true}: \quad \text{execute}$$

Cette évaluation continue permet aux crochets de répondre instantanément lorsque les conditions sont satisfaites. Au moment où votre alarme est désactivée et que le mouvement est détecté, le crochet à café se déclenche en quelques millisecondes.

Types de conditions et complexité : Les conditions peuvent varier de simples à

arbitrairement complexes :

Conditions atomiques simples :

- r_1 : time == 14:00
- r_2 : battery_level < 20
- r_3 : location == 'home'

Conditions de plage :

- r_4 : 18:00 ≤ time ≤ 22:00
- r_5 : 15°C ≤ température ≤ 25°C

Conditions de correspondance de motifs :

- r_6 : notification_text correspond à l'expression régulière '.*meeting.*'
- r_7 : image_from_camera contient 'orange_cat'

Conditions temporelles :

- r_8 : time_since_last_action > 45 minutes
- r_9 : day_of_week in {Monday, Tuesday, Wednesday, Thursday, Friday}

Conditions agrégées :

- r_{10} : average_heart_rate_last_10_min > 120 BPM
- r_{11} : no_motion_detected_for > 20 minutes

Conditions de sous-hook : Les conditions peuvent faire référence à d'autres hooks, créant des modèles d'activation hiérarchiques :

- r_{12} : sub_hook_'user_leaving_home' est actif
- r_{13} : sub_hook_'emergency_detected' a été déclenché dans les 60 dernières secondes

Ces conditions de sous-hook permettent des comportements compositionnels complexes où des hooks de haut niveau s'appuient sur des hooks de bas niveau, créant des couches d'automatisation intelligente.

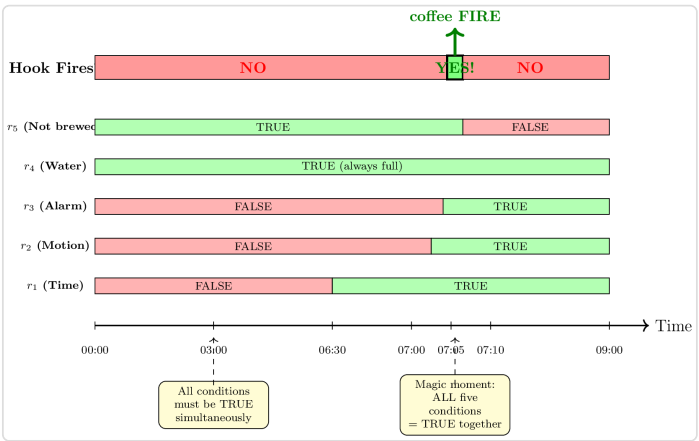


Figure: Timeline visualization of coffee hook activation. Each condition must be true simultaneously. The hook fires only during the narrow window at 7:05 AM when all five conditions align (green bar in bottom row).

Efficacité et optimisation : Évaluer toutes les conditions pour tous les hooks en continu

pourrait être coûteux en termes de calcul. Les implémentations réelles utilisent plusieurs stratégies d'optimisation :

1. Évaluation à court-circuit : Si une condition est évaluée à faux, arrêter d'évaluer les conditions restantes (puisque AND nécessite que toutes soient vraies)

2. Ordonnancement des conditions : Évaluer d'abord les conditions rapides et souvent fausses pour échouer rapidement

3. Déclencheurs de changement de contexte : Ne réévaluer les hooks que lorsque des parties pertinentes du contexte changent, pas à chaque itération

4. Indexation : Regrouper les hooks par les éléments de contexte dont ils dépendent, de sorte que le changement de localisation ne déclenche que les hooks dépendants de la localisation

Pourquoi l'activation est importante : Une activation correcte est la base des Knowledge Hooks fiables. Si les hooks se déclenchent trop rapidement (lorsque les conditions ne sont pas entièrement satisfaites), ils produisent des actions indésirables et nécessitent des corrections de l'utilisateur, réduisant leurs scores de succès. Si les hooks se déclenchent trop prudemment (lorsque les conditions sont trop restrictives), ils manquent des opportunités d'aider et restent inutilisés.

La sémantique AND avec évaluation continue crée l'équilibre parfait : les hooks sont suffisamment précis pour éviter les activations fausses, mais assez réactifs pour se déclencher au bon moment lorsque leur aide est nécessaire. C'est ainsi que la technologie subjective apprend à être vous—en comprenant les contextes précis dans lesquels vous souhaitez que les choses se produisent et en agissant de manière autonome lorsque ces contextes se présentent.

3.2.2 Exécution : Produire des actions et de nouveaux états

Une fois qu'un Knowledge Hook a été activé (toutes les conditions satisfaites), il passe à l'exécution—le processus de réalisation de sa séquence d'actions et de production d'effets observables sur le système. L'exécution est l'endroit où l'intelligence du hook se manifeste : des conditions abstraites et des actions stockées se transforment en changements concrets dans le monde réel.

Le processus d'exécution : Lorsqu'un hook KH = (R, A, T, S) se déclenche au temps t, l'exécution se déroule à travers une séquence bien définie :

$$\text{execute}(KH, C_t) \rightarrow (C_{t+1}, \text{Corr}_t)$$

Où :

- C_t est le contexte unifié actuel au temps t (le contexte qui a déclenché l'activation)
- C_{t+1} est le nouveau contexte unifié après que l'exécution soit terminée
- $\text{Corr}_t \in \{0, 1\}$ est le drapeau de correction : 0 si l'utilisateur accepte le résultat, 1 si l'utilisateur le corrige

L'exécution produit trois résultats critiques :

1. Les actions exécutées elles-mêmes : La séquence $A = (a_1, a_2, \ldots, a_k)$ est effectuée dans l'ordre

2. Un nouvel état du système : Tous les appareils mettent à jour leurs auto-portraits, formant le nouveau contexte unifié C_{t+1}

3. Un drapeau de correction : Le système observe si l'utilisateur intervient pour modifier, annuler ou corriger les actions du crochet.

Exécution d'actions séquentielles : La séquence d'actions A est ordonnée et déterministe. Chaque action a_i s'exécute en séquence, chaque action pouvant dépendre des résultats des actions précédentes :

$$\text{execute}(A) = a_1 \to a_2 \to \cdots \to a_k$$

Plus formellement, nous pouvons représenter l'exécution comme une fonction de transformation d'état. Partant du contexte C_t, chaque action transforme le contexte :

$$C_t \xrightarrow{a_1} C_t^{(1)} \xrightarrow{a_2} C_t^{(2)} \xrightarrow{\cdots} C_t^{(k)} = C_{t+1}$$

Où $C_t^{(i)}$ représente l'état intermédiaire du contexte après l'exécution des i premières actions.

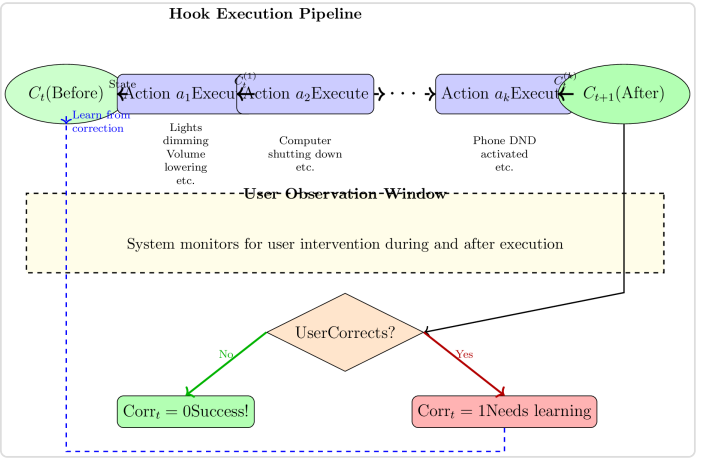


Figure: Execution pipeline showing sequential action execution from initial context C_t to final context C_{t+1}, with user observation determining the correction flag.

Exemple : Exécution de la détente du soir

Traçons une exécution concrète du crochet de détente du soir dont nous avons discuté précédemment. À t = 21:30, toutes les conditions sont remplies et le crochet se

déclenche avec la séquence d'actions A = (a_1, a_2, a_3, a_4, a_5, a_6) :

État initial C_t (t = 21:30:00) :

- Lumières du salon : 100 % de luminosité
- Ordinateur de travail : actif, 3 applications en cours d'exécution
- Téléphone : mode normal, notifications activées
- Enceinte intelligente : inactif
- Thermostat : 22°C
- Montre intelligente : mode normal

Séquence d'exécution :

a_1 : Envoyer la commande aux lumières intelligentes : diminuer à 30%

→ $C_t^{(1)}$ (t = 21:30:01) : Les lumières commencent à diminuer (la transition prend ~2 secondes)

a_2 : Envoyer la commande à l'ordinateur de travail : initier l'arrêt, enregistrer les documents

→ $C_t^{(2)}$ (t = 21:30:02) : L'ordinateur enregistre les documents ouverts, commence la séquence d'arrêt

a_3 : Envoyer la commande au smartphone : activer le mode Ne pas déranger

→ $C_t^{(3)}$ (t = 21:30:03) : Le téléphone entre en DND, les notifications sont silencieuses

a_4 : Envoyer la commande au haut-parleur intelligent : jouer 'Méditation du Soir' à 15 % de volume

→ $C_t^{(4)}$ (t = 21:30:04) : Le haut-parleur commence à jouer l'audio de méditation

a_5 : Envoyer la commande au thermostat : diminuer à 19°C

→ $C_t^{(5)}$ (t = 21:30:05) : Le thermostat ajuste la température cible

a_6 : Envoyer la commande à la montre intelligente : activer le mode de suivi du sommeil

→ $C_t^{(6)} = C_{t+1}$ (t = 21:30:06) : La montre intelligente entre en mode de suivi du sommeil

État final C_{t+1} (t = 21:30:06) :

• Lumières du salon : 30 % de luminosité (diminuées)

- Ordinateur de travail : arrêt en cours
- Téléphone : mode Ne pas déranger actif
- Enceinte intelligente : lecture d'audio de méditation à faible volume
- Thermostat : refroidissement à 19°C
- Montre intelligente : suivi du sommeil actif

Fenêtre d'observation : À partir de t = 21:30:06, le système observe le comportement de l'utilisateur. Si l'utilisateur accepte ces changements (ne modifie rien), alors $\mathrm{Corr}_t = 0$. Si l'utilisateur remet immédiatement les lumières à un niveau élevé ou réactive les notifications, alors $\mathrm{Corr}_t = 1$.

Le drapeau de correction : Le drapeau de correction Corr_t est peut-être la sortie la plus importante de l'exécution car il détermine si le score de succès du hook augmente ou diminue. Le système détecte les corrections par plusieurs mécanismes :

Annulation directe : L'utilisateur annule immédiatement une ou plusieurs actions (rallume les lumières, rouvre l'ordinateur, désactive le mode Ne pas déranger)

Modification : L'utilisateur ajuste les paramètres de l'action (change la luminosité

des lumières de 30 % à 50 %, change le thermostat de 19°C à 20°C)

Correction explicite : L'utilisateur fournit un retour explicite via l'interface ('Ce hook était incorrect' ou similaire)

Fenêtre temporelle : Le système surveille généralement les corrections dans une fenêtre temporelle (par exemple, 5 minutes après l'exécution). Les actions effectuées en dehors de cette fenêtre sont considérées comme de nouvelles intentions de l'utilisateur, pas des corrections.

Formellement, nous pouvons exprimer la détection de correction comme :

$$\text{Corr}_t = \begin{cases} 1 & \text{if user modifies } C_{t+1} \text{ within time window } \Delta t \\ 0 & \text{otherwise} \end{cases}$$

Capture d'état : Un aspect critique de l'exécution est que le système capture des instantanés complets à la fois avant et après l'exécution. Cela permet plusieurs capacités importantes :

1. Rétrogradation : Si un hook produit des effets indésirables, le système peut potentiellement restaurer C_t à partir de l'instantané capturé

2. Apprentissage : Le delta $\Delta = C_{t+1} - C_t$ révèle exactement ce qui a changé, permettant le perfectionnement du hook

3. Audit : Les instantanés avant/après fournissent un enregistrement complet de ce que le hook a fait

4. Débogage : Lorsque les hooks fonctionnent mal, les développeurs peuvent examiner le contexte exact et les changements résultants

L'enregistrement d'exécution peut être formalisé sous forme de tuple :

$$\text{ExecutionRecord} = (KH, C_t, C_{t+1}, A_{\text{executed}}, \text{Corr}_t, t)$$

Où :

- KH est le hook qui a été déclenché
- C_t est le contexte avant l'exécution
- C_{t+1} est le contexte après l'exécution
- A_{executed} est la séquence d'actions réelle qui a été effectuée
- Corr_t indique si une correction a eu lieu
- t est l'horodatage de l'exécution

Exécution atomique vs transactionnelle : Différents hooks peuvent nécessiter différentes garanties d'exécution :

Exécution atomique : Chaque action dans la séquence est indépendante. Si l'action a_3 échoue, a_4 tente toujours de s'exécuter.

Cela est approprié lorsque les actions sont sans rapport (dimmer les lumières, fermer des applications, envoyer des messages).

Exécution transactionnelle : Les actions forment une unité logique. Si une action échoue, toutes les actions précédentes sont annulées. Cela est approprié lorsque les actions doivent réussir ensemble (réserver un vol, réserver un hôtel, louer une voiture—si l'une échoue, annuler tout).

La plupart des hooks de connaissance utilisent l'exécution atomique car les actions ciblent généralement des appareils indépendants. L'échec d'un appareil (par exemple, des lumières intelligentes hors ligne) ne devrait pas empêcher d'autres actions (par exemple, l'arrêt de l'ordinateur) de réussir.

Gestion des erreurs pendant l'exécution : L'exécution peut rencontrer des erreurs—appareils hors ligne, délais d'attente du réseau, permission refusée, etc. Le système gère les erreurs avec grâce :

$$\text{execute}(a_i) = \begin{cases} \text{success} & \text{if action completes normally} \\ \text{error}(e) & \text{if action fails with error } e \end{cases}$$

Lorsque qu'une action échoue :

1. L'erreur est enregistrée dans le dossier d'exécution

2. Les actions suivantes continuent (exécution atomique) ou s'arrêtent (exécution transactionnelle)

3. Le score de succès du hook peut être pénalisé en fonction de la gravité de l'erreur.

4. L'utilisateur peut être informé si l'erreur affecte des fonctionnalités critiques.

Exemple : Si le hook de fin de soirée essaie de diminuer l'intensité des lumières intelligentes mais qu'elles sont hors ligne, le hook éteint toujours l'ordinateur, active le mode DND et effectue d'autres actions. Les lumières restent simplement à leur luminosité actuelle, et l'erreur est enregistrée.

Exécution et mise à jour du score de succès : La conséquence la plus importante de l'exécution est la mise à jour du score de succès du hook. Cela se produit après la fermeture de la fenêtre d'observation :

$$S(t+1) = (1-\alpha)S(t) + \alpha \cdot \mathbb{1}[\text{Corr}_t = 0]$$

Où :

- $S(t)$ est le score de succès actuel avant cette exécution.
- $\alpha \in (0, 1]$ est le taux d'apprentissage.

- $\mathbb{1}[\text{Corr}_t = 0]$ est 1 si aucune correction n'est survenue, 0 si une correction a eu lieu.
- $S(t+1)$ est le score de succès mis à jour.

Cela crée une boucle de rétroaction : les exécutions réussies (sans corrections) augmentent le score, tandis que les exécutions échouées (corrections nécessaires) le diminuent. Au fil du temps, les hooks qui produisent constamment des résultats corrects obtiennent des scores élevés et sont dignes de confiance pour agir automatiquement, tandis que les hooks qui nécessitent fréquemment des corrections voient leurs scores diminuer et peuvent éventuellement être désactivés.

L'opération d'exécution n'est donc pas simplement une question d'exécution d'actions : c'est le mécanisme par lequel les Knowledge Hooks apprennent, s'adaptent et évoluent. Chaque exécution est à la fois une performance (produisant des effets dans le monde réel) et une expérience (testant si le modèle d'intentions de l'utilisateur du hook reste précis). Ce cycle continu d'exécution, d'observation et d'apprentissage est ce qui permet à la technologie subjective de devenir progressivement plus alignée avec les besoins des utilisateurs au fil du temps.

3.2.3 Étape d'apprentissage : Soustraction de contexte et détection de delta

L'étape d'apprentissage est le mécanisme par lequel les Knowledge Hooks émergent du comportement des utilisateurs. Contrairement à l'activation et à l'exécution (qui opèrent sur des hooks existants), l'étape d'apprentissage crée de nouveaux hooks en observant les actions des utilisateurs et en extrayant des motifs à partir de celles-ci. C'est ainsi que la technologie subjective s'adapte de manière unique à chaque individu, apprenant des préférences personnelles sans programmation explicite.

Le principe fondamental : Soustraction de contexte. Lorsqu'un utilisateur fournit une entrée—toute action explicite effectuée dans le système—le mécanisme d'apprentissage capture deux instantanés de contexte unifiés complets :

$$\Sigma_{\text{before}} = \text{Context immediately before user input}$$
$$\Sigma_{\text{after}} = \text{Context immediately after user input completes}$$

La différence entre ces instantanés—le delta ou soustraction de contexte—révèle exactement ce qui a changé à la suite de l'action de l'utilisateur :

$$\Delta = \Sigma_{\text{after}} - \Sigma_{\text{before}}$$

Ce delta Δ n'est pas simplement un journal des changements. C'est une représentation structurée de la transformation créée par l'utilisateur, capturant à la fois ce qui a changé et l'ampleur de chaque changement. Le delta devient la graine à partir de laquelle un nouveau Knowledge Hook appris peut croître.

Du delta au hook : L'algorithme d'apprentissage extrait un candidat Knowledge Hook de l'instantané avant, du delta et de l'état actuel du système :

$$KH_{\text{learned}} = \text{extract}(\Sigma_{\text{before}}, \Delta, \text{context})$$

Plus précisément, le nouveau hook est construit comme suit :

$$KH_{\text{new}} = (R_{\text{extracted}}, A_{\text{extracted}}, \text{learned}, S_0)$$

Où :

- $R_{\text{extracted}}$ = Conditions extraites de Σ_{before} (les motifs présents lorsque l'utilisateur a décidé d'agir)
- $A_{\text{extracted}}$ = Actions extraites de Δ (les changements produits par l'utilisateur)
- Type = appris (distingue des hooks prédéfinis)
- S_0 = Score de succès initial (typiquement 0,5, indiquant une fiabilité inconnue)

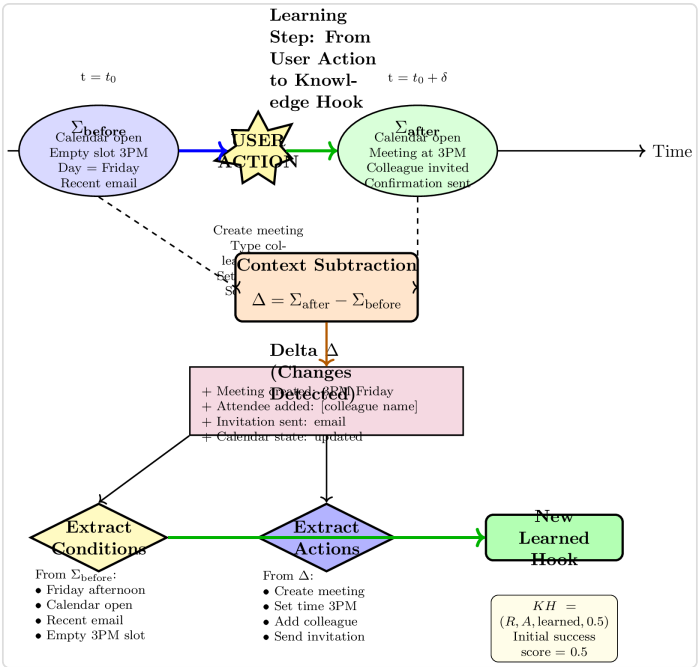


Figure: The learning step process. User action transforms context from Σ_before to Σ_after. Context subtraction reveals the delta Δ. Conditions are extracted from Σ_before, actions from Δ, creating a new learned hook.

Exemple : Apprendre un crochet de planification de calendrier

Traçons un exemple concret de l'étape d'apprentissage en action. Vous planifiez une réunion hebdomadaire avec votre collègue chaque vendredi à 15 heures. La première fois que vous faites cela manuellement, le système observe et apprend.

First Friday - t_o = 14:45 (2:45 PM)

Contexte avant Σ_{before} :

- Heure : 14:45, Jour : Vendredi
- Application : Calendrier (fenêtre active)
- État du calendrier : créneau de 15 heures le vendredi vide
- Activité récente : Email reçu de la part du collègue il y a 10 minutes
- Contenu de l'email : Mentionne la synchronisation hebdomadaire, fait référence au vendredi
- Emplacement : Bureau
- Modèle précédent : Pas de réunions récurrentes à ce moment

Action de l'utilisateur (t_0 à t_0+30s) :

1. Cliquez sur le bouton "Nouvel événement"
2. Tapez le titre : "Synchronisation hebdomadaire avec Alex"
3. Définissez l'heure : Vendredi 15h00 - 15h30 :00 :30
4. Ajoutez un participant : alex@company.com
5. Définissez la récurrence : Hebdomadaire
6. Cliquez sur "Envoyer l'invitation"

Contexte après Σ_{after} (t_0+30s = 14:45:30) :

- Heure : 14:45:30, Jour : Vendredi
- Application : Calendrier (toujours actif)
- État du calendrier : Réunion récurrente créée, Vendredi 15h occupé
- Détails de la réunion : Titre "Synchronisation hebdomadaire avec Alex", participant alex@company.com
- Statut de l'invitation : Envoyée (notification par e-mail envoyée)
- Activité récente : Même e-mail d'il y a 10 minutes (maintenant traité)
- Emplacement : Bureau (inchangé)

Soustraction de contexte :

$$\Delta = \Sigma_{\text{after}} - \Sigma_{\text{before}}$$

Changements détectés :

- +Événement de calendrier : "Synchronisation hebdomadaire avec Alex"
- +Plage horaire : Vendredi 15h00-15h30 :00 :30
- +Récurrence : Hebdomadaire
- +Participant : alex@company.com
- +Invitation par e-mail : Envoyée

• Changement d'état du calendrier : vide → occupé

Extraction de crochet :

Conditions R (extrait de Σ_{before}):

• r_1 : jour_de_la_semaine = Vendredi

• r_2 : heure ∈ [14:30, 15:00] (fenêtre de l'après-midi)

• r_3 : application_active = Calendrier

• r_4 : calendar_slot[Friday][15:00] = vide

• r_5 : recent_email_from = alex@company.com

• r_6 : email_content matches (weekly|sync|Friday)

Actions A (extracted from Δ):

• a_1 : create_calendar_event(title="Weekly Sync with Alex")

• a_2 : set_time(day=Friday, start=15:00, duration=30min)

• a_3 : set_recurrence(frequency=weekly)

• a_4 : add_attendee(alex@company.com)

• a_5 : send_invitation()

Type: T = appris

Score de succès initial : S_0 = 0.5 (neutre, non prouvé)

Le crochet appris complet :

$$KH_{\text{Friday_Meeting}} = (\{r_1, r_2, r_3, r_4, r_5, r_6\}, (a_1, a_2, a_3, a_4, a_5), \text{learned}, 0.5)$$

Reconnaissance de motifs et généralisation : Le crochet appris initial est souvent trop spécifique - il capture trop de détails de l'instance particulière. Le système utilise la reconnaissance de motifs pour généraliser de manière appropriée :

Conditions trop spécifiques (apprises initialement) :

- Position du curseur de la souris à (x, y) lors du clic
- Taille et position exactes de la fenêtre
- Niveau de batterie, force du signal WiFi
- Niveau de bruit ambiant

Conditions généralisées (après élagage) :

- Jour de la semaine = Vendredi (pertinent)
- Plage horaire de 14h à 15h (pertinent)
- Email récent d'un collègue (pertinent)
- Application de calendrier ouverte (pertinent)

Le système utilise plusieurs heuristiques pour déterminer quelles conditions sont

saillantes :

1. Évaluation de la pertinence : Les conditions qui apparaissent dans les activations de crochets réussies chez différents utilisateurs sont pondérées plus haut

2. Analyse de la variance : Les conditions qui varient largement à travers plusieurs instances de la même action sont élaguées

3. Connaissances du domaine : Des règles prédéfinies indiquent quels types de conditions sont généralement pertinentes (temps, lieu, état de l'application) contre non pertinentes (position du curseur, niveau de batterie)

4. Retour d'information des utilisateurs : Lorsqu'un crochet se déclenche et est corrigé, le système analyse quelles conditions ont été violées pour identifier celles qui sont réellement importantes

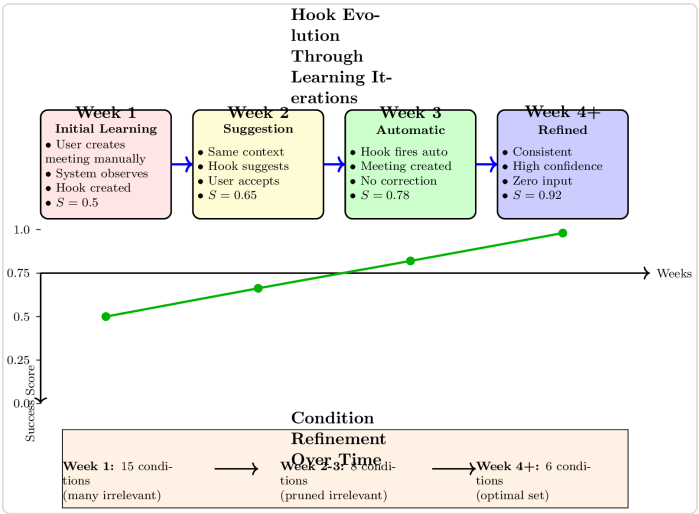


Figure: Hook evolution over multiple learning iterations. Initial hook has low success score (0.5) and many conditions. Through repeated successful activations, success score increases and conditions are refined to optimal set.

Fusion des crochets similaires : À mesure que les utilisateurs répètent des actions similaires dans des contextes variés, le système peut apprendre plusieurs crochets similaires. Ceux-ci sont des candidats à la fusion :

Exemple : Après plusieurs semaines, vous pourriez avoir appris des crochets séparés pour :

- KH_1 : Planifier une réunion avec Alex vendredi à 15h (créé Semaine 1)

- KH_2 : Planifier une réunion avec Alex vendredi à 15h lorsque l'email mentionne "synchronisation" (créé Semaine 3)

- KH_3 : Planifier une réunion avec Alex vendredi à 15h depuis le bureau (créé Semaine 5)

Ces hooks ont un chevauchement significatif. Le système peut les fusionner en un seul hook plus robuste :

$$KH_{\text{merged}} = \text{merge}(KH_1, KH_2, KH_3)$$

Le hook fusionné :

- Prend l'union ou l'intersection des conditions (selon la stratégie)

- Combine les séquences d'actions (généralement identiques, donc aucun changement nécessaire)

- Moyenne des scores de succès pondérés par la fréquence d'utilisation :

$$S_{\text{merged}} = \frac{\sum_i S_i \cdot n_i}{\sum_i n_i}$$

Où n_i est le nombre de fois que le hook KH_i a été déclenché avec succès.

Représentation Delta : Le delta Δ doit capturer des informations structurelles riches sur ce qui a changé. Un simple diff est insuffisant. Au lieu de cela, le delta est représenté comme un ensemble structuré de modifications :

$$\Delta = \{(\text{entity}, \text{property}, \text{old_value}, \text{new_value}, \text{operation})\}$$

Exemple de delta pour la réunion du calendrier :

- (Calendar, Events, [], [Meeting{title="Weekly Sync", ...}], ADD)
- (Calendrier, Vendredi_15h, "vide", "occupé", MODIFIER)
- (Email, Éléments_Envoyés, liste_précédente, liste_précédente + [Invitation{...}], AJOUTER)

Cette représentation structurée permet une extraction précise des actions et rend possible la compréhension non seulement de ce qui a changé, mais aussi de comment et pourquoi.

Taux d'apprentissage et seuil : Toutes les actions des utilisateurs ne créent pas immédiatement un nouveau hook. Le système applique des seuils pour éviter la prolifération des hooks :

1. Seuil de signification : Créer des hooks uniquement pour les actions impliquant des

changements substantiels (>5 entités modifiées)

2. Seuil de répétition : Attendre que la même action ait été effectuée 2-3 fois avant de créer un hook

3. Vérification de similarité : Avant de créer un nouveau hook, vérifier si un hook similaire existe déjà et le mettre à jour à la place

4. Détection de l'intention de l'utilisateur : Utiliser des heuristiques pour distinguer les motifs intentionnels des actions aléatoires uniques

L'étape d'apprentissage n'est donc pas un simple mécanisme d'enregistrement : c'est un système intelligent d'extraction de motifs qui observe le comportement des utilisateurs, identifie les motifs récurrents, filtre le bruit et cristallise les connaissances acquises en crochets exécutables. C'est le mécanisme par lequel la technologie subjective évolue d'un outil générique en une extension personnalisée de soi, apprenant à anticiper les besoins et à minimiser la consommation d'énergie grâce à une observation et une adaptation continues.

3.2.4 Composition : Construire des comportements complexes à partir de crochets simples

La composition est l'opération qui permet aux crochets de connaissance de se combiner en comportements plus grands et plus sophistiqués. Les crochets individuels sont puissants, mais la vraie magie émerge lorsque les crochets se composent : lorsque des comportements atomiques simples se connectent et se coordonnent pour produire des systèmes complexes et intelligents. La composition est ce qui transforme une collection d'automatisations isolées en une intelligence cohérente et adaptative.

L'algèbre des crochets de connaissance définit deux formes principales de composition :

1. Composition imbriquée (hiérarchique) : Les conditions et actions peuvent elles-mêmes contenir d'autres crochets, créant des hiérarchies de comportement

2. Composition plate (concaténation) : Plusieurs crochets peuvent être combinés en concaténant leurs conditions et actions, créant un crochet unifié plus grand

Ces deux formes permettent aux crochets de connaissance d'exprimer une complexité computationnelle arbitraire tout en maintenant la modularité et la réutilisabilité.

Composition imbriquée : Crochets dans des crochets. La forme de composition la plus puissante permet aux crochets de référencer d'autres crochets dans leurs conditions ou

actions. Cela crée une structure hiérarchique où des abstractions de haut niveau sont construites à partir de primitives de bas niveau.

Formellement, un crochet KH_i peut contenir des références à d'autres crochets KH_j de deux manières :

Sous-crochets dans les conditions : Une condition peut vérifier si un autre crochet se déclencherait ou s'est récemment déclenché :

$$R_i = \{r_1, r_2, \ldots, r_k, \text{fires}(KH_j, C_t), \ldots, r_n\}$$

Où $\text{fires}(KH_j, C_t)$ évalue à vrai si le crochet KH_j s'activerait dans le contexte actuel C_t.

Sous-crochets dans les Actions : Une action peut invoquer l'exécution d'un autre crochet :

$$A_i = (a_1, a_2, \ldots, \text{execute}(KH_j), \ldots, a_k)$$

Où $\text{execute}(KH_j)$ déclenche le crochet KH_j dans le cadre de la séquence d'action.

Cette imbrication permet une abstraction puissante. Un crochet de haut niveau comme "préparer la maison pour le départ" peut invoquer des sous-crochets pour "éteindre les lumières", "verrouiller les portes", "activer

le système de sécurité", chacun pouvant à son tour invoquer ses propres sous-crochets pour des pièces ou des appareils individuels.

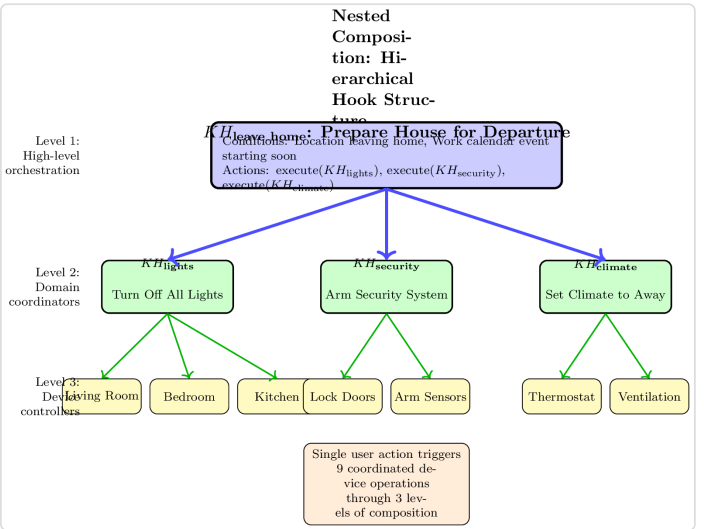


Figure: Nested composition hierarchy. A single high-level hook 'leave_home' executes three mid-level coordinator hooks, which in turn execute nine device-level hooks. Composition creates modularity and reusability.

Exemple : Routine Matinale Imbriquée. Considérez un crochet appris pour votre routine matinale. Plutôt que de coder en dur chaque action, il peut se composer à partir de crochets spécialisés existants :

$KH_{\text{morning_routine}}$:

Conditions R :

- Heure de réveil (alarme désactivée)

- Le jour est un jour de semaine
- Emplacement = maison

Actions A :

1. exécuter($KH_{\text{bedroom_lights}}$) → Augmenter progressivement les lumières de la chambre à 80%
2. exécuter($KH_{\text{coffee_maker}}$) → Commencer à préparer le café
3. exécuter($KH_{\text{weather_briefing}}$) → Annoncer la météo d'aujourd'hui via le haut-parleur
4. exécuter($KH_{\text{calendar_sync}}$) → Afficher le calendrier sur le miroir de la salle de bain
5. exécuter($KH_{\text{news_summary}}$) → Jouer le podcast d'actualités pendant le petit déjeuner

Chaque sous-hook est indépendamment utile et peut être réutilisé dans d'autres contextes. Le hook des lumières de la chambre peut également être invoqué par une routine de lecture du soir. Le hook de la cafetière peut être déclenché lorsque des invités arrivent. Cette modularité signifie que les hooks n'ont pas besoin d'être recréés - ils se composent.

Composition plate : concaténation des hooks. La deuxième forme de composition combine plusieurs hooks en fusionnant leurs composants. Étant donné deux hooks $KH_1 = (R_1, A_1, T_1, S_1)$ et $KH_2 = (R_2, A_2, T_2, S_2)$, la composition plate crée un nouveau hook :

$$KH_{\text{combined}} = KH_1 \oplus KH_2 = (R_1 \cup R_2, A_1 \| A_2, T_{\text{derived}}, S_{\text{combined}})$$

Où :

- $R_1 \cup R_2$ est l'union des conditions (toutes les conditions des deux hooks doivent être satisfaites)
- $A_1 \| A_2$ est la concaténation des séquences d'actions (exécuter A_1 puis A_2)
- T_{derived} est généralement "appris" pour les hooks combinés
- S_{combined} est calculé à partir des scores de succès des composants (souvent le minimum ou la moyenne)

La composition plate est utile lorsque vous souhaitez fusionner des hooks similaires ou créer des comportements composés à partir d'actions indépendantes.

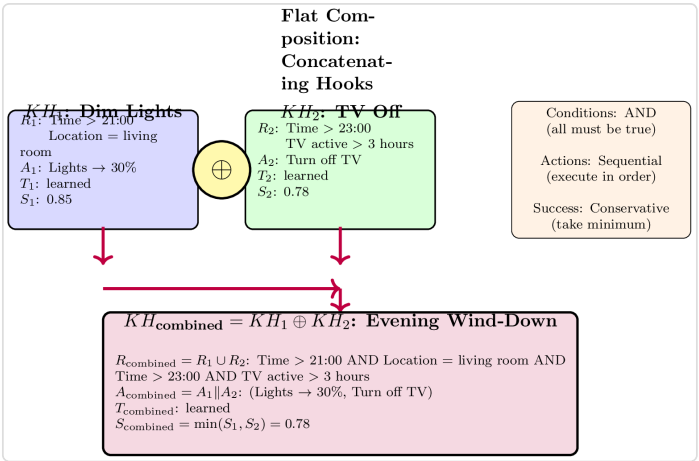


Figure: Flat composition combines two hooks by taking the union of conditions (AND semantics), concatenating actions sequentially, and computing a combined success score (often minimum to be conservative).

Exemple : Fusion des hooks du soir. Supposons que vous ayez deux hooks du soir indépendants :

$KH_{\text{dim_lights}}$: Quand l'heure > 21:00 et que vous êtes dans le salon → tamiser les lumières à 30%

$KH_{\text{silence_phone}}$: Quand l'heure > 21:30 et que vous êtes à la maison → activer Ne pas déranger

Ceci peut être composé en un seul hook de routine du soir unifié :

$$KH_{\text{evening}} = KH_{\text{dim_lights}} \oplus KH_{\text{silence_phone}}$$

Le hook résultant se déclenche lorsque toutes les conditions sont remplies (heure > 21:30, salon, à la maison) et exécute les deux actions en séquence (tamiser les lumières, puis activer DND).

Cascading : Hooks déclenchant des hooks. Un cas spécial de composition se produit lorsque l'exécution d'un hook crée des changements de contexte qui déclenchent d'autres hooks. C'est le cascading - une réaction en chaîne d'activations de hooks.

Formellement, le hook KH_1 cascade vers le hook KH_2 si :

$$\text{execute}(KH_1, C_t) \to C_{t+1} \text{ such that } \bigwedge_i r_i^{(2)}(C_{t+1}) = \text{true}$$

En d'autres termes, l'exécution de KH_1 modifie le contexte d'une manière qui satisfait les conditions de KH_2, provoquant le déclenchement de KH_2.

Exemple de cascade :

1. $KH_{\text{leave_home}}$ se déclenche → Définit la localisation sur "absent"

2. Le changement de contexte (localisation = absent) déclenche KH_{security} → Arme le système de sécurité

3. Le changement de contexte (sécurité = armé) déclenche $KH_{\text{camera_record}}$ → Active les caméras

4. Le changement de contexte (caméras = actives) déclenche KH_{notify} → Envoie une confirmation au téléphone

Chaque crochet se déclenche indépendamment en fonction des changements de contexte créés par le crochet précédent, créant une élégante cascade de comportements automatisés.

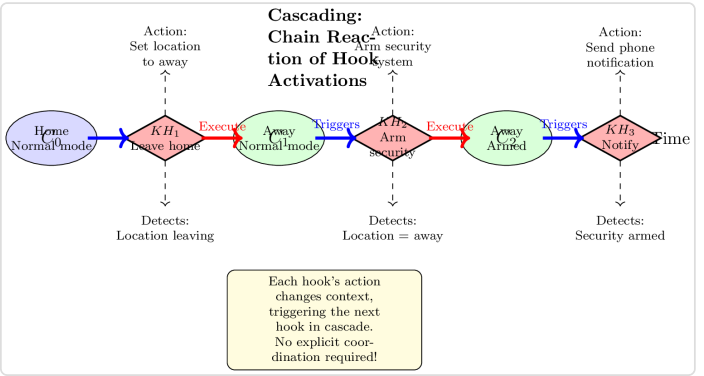


Figure: Cascading activation chain. Hook KH_1 executes and changes context from C_0 to C_1. This new context satisfies KH_2's conditions, causing it to fire. KH_2's execution creates C_2, triggering KH_3. Each hook operates independently, yet they coordinate through shared context.

Prévenir les boucles infinies : La cascade introduit le risque de boucles infinies : le crochet A déclenche le crochet B, qui déclenche à nouveau le crochet A,

indéfiniment. Le système empêche cela par plusieurs mécanismes :

1. Historique d'activation : Suivre quels crochets se sont déclenchés dans la chaîne de cascade actuelle. Empêcher la réactivation des crochets déjà dans la chaîne.

2. Limite de profondeur : Limiter la profondeur de la cascade à un maximum (par exemple, 10 niveaux). Après avoir atteint la limite, rompre la chaîne.

3. Temps de recharge basé sur le temps : Une fois qu'un hook est déclenché, imposez un intervalle de temps minimum avant qu'il puisse se déclencher à nouveau (par exemple, 1 seconde).

4. Stabilité du contexte : Ne déclenchez des cascades que lorsque le contexte a réellement changé, pas lorsqu'il oscille entre des états.

Propriétés de composition : Les opérations de composition satisfont plusieurs propriétés algébriques :

Associativité (composition plate) :

$$(KH_1 \oplus KH_2) \oplus KH_3 = KH_1 \oplus (KH_2 \oplus KH_3)$$

L'ordre dans lequel vous composez les hooks n'a pas d'importance pour le résultat final (bien que l'ordre d'exécution des actions soit important).

Identité : Il existe un hook d'identité $KH_{\emptyset} = (\emptyset, (), \text{predefined}, 1.0)$ tel que :

$$KH \oplus KH_{\emptyset} = KH$$

Composer avec le hook vide laisse le hook original inchangé.

Modularité : La composition imbriquée préserve la modularité : changer un sous-hook affecte tous les hooks qui y font référence, permettant des mises à jour à l'échelle du système à partir d'un seul changement.

La loi de la composabilité : L'une des lois fondamentales de l'algèbre des Knowledge Hooks stipule :

"Les hooks peuvent être combinés en structures plus grandes grâce à des opérations de composition, et les hooks composites résultants se comportent de manière prévisible en fonction de leurs composants."

Cette loi garantit que la composition est une opération sûre : combiner des hooks bien comportés produit des hooks composites bien comportés. Le système ne développe pas de défaillances émergentes à partir de la composition ; il construit une intelligence émergente.

Avantages pratiques de la composition :

1. Réutilisabilité : Écrivez un hook une fois, utilisez-le dans de nombreux contextes grâce à la composition.

2. Maintenabilité : Mettez à jour un hook de bas niveau, et tous les hooks composites qui l'utilisent en bénéficient automatiquement.

3. Abstraction : Les hooks de haut niveau peuvent exprimer une intention sans spécifier les détails de mise en œuvre.

4. Scalabilité : Des comportements complexes émergent à partir de composants simples sans complexité exponentielle.

5. Apprentissage : Le système peut apprendre des modèles de haut niveau en composant des comportements de bas niveau précédemment appris.

La composition transforme les Knowledge Hooks d'automatisations isolées en un véritable écosystème d'intelligence coordonnée. Grâce à la composition, des comportements réactifs simples évoluent en systèmes adaptatifs sophistiqués qui présentent une prévoyance et une coordination apparemment intelligentes, le tout émergeant de l'algèbre mathématique de la combinaison de hooks.

3.2.5 Priorisation des hooks : Choisir parmi plusieurs candidats.

La priorisation est l'opération qui résout un défi fondamental dans les systèmes de Knowledge Hook : que se passe-t-il lorsque plusieurs hooks pourraient se déclencher dans le même contexte ? Étant donné que les hooks ont des conditions probabilistes qui peuvent se chevaucher, il est courant que plusieurs hooks correspondent au contexte actuel simultanément. Le système a besoin d'une manière principielle et mathématiquement rigoureuse de sélectionner quel hook doit s'exécuter.

Ce n'est pas simplement un détail technique—c'est central à toute la philosophie de la Technologie Subjective. La mauvaise stratégie de priorisation pourrait conduire à des actions inefficaces, à un gaspillage d'énergie ou à la frustration de l'utilisateur. La bonne stratégie garantit que le système choisit constamment l'action la plus efficace, la plus fiable et la plus appropriée au contexte.

Le défi de la concurrence : Considérez un scénario simple. Vous avez deux déclencheurs qui pourraient tous deux s'activer lorsque vous rentrez chez vous le soir :

Hook A (General): Conditions = {time: after 6pm, location: home} → Actions = {turn on living room lights}

Hook B (Specific): Conditions = {time: after 6pm, location: home, day: Friday} → Actions = {turn on living room lights, start music, set temperature to 22°C}

Le vendredi soir, lorsque vous rentrez chez vous, les deux déclencheurs ont leurs conditions satisfaites. Lequel doit s'activer ? Le déclencheur A est plus simple et nécessite moins d'interaction de l'utilisateur au départ, mais le déclencheur B est plus spécifique au contexte actuel et réalise une automatisation plus complète. Choisir incorrectement signifie soit sous-automatiser (Déclencheur A), soit appliquer une automatisation inappropriée les soirs qui ne sont pas un vendredi (Déclencheur B).

Le problème devient encore plus complexe lorsqu'on considère des déclencheurs avec des scores de succès différents, un nombre d'actions différent, des déclencheurs provenant de différentes sources (prédefinis vs appris), et des déclencheurs avec des conditions partiellement superposées.

L'algorithme de priorisation : Le cadre Knowledge Hook utilise une stratégie de priorisation en deux étapes basée sur la Loi de Minimisation et la fiabilité empirique :

$$\text{Select } h^* = \arg\min_{h \in H_{\text{active}}} |A_h|$$

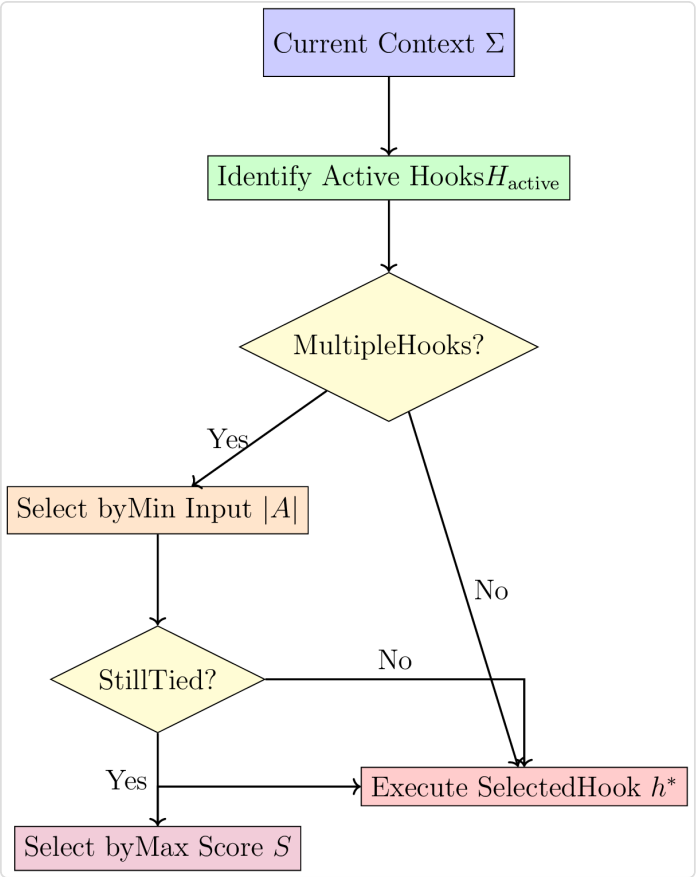
Où H_active est l'ensemble de tous les déclencheurs dont les conditions correspondent actuellement au contexte. Cette première étape sélectionne les déclencheurs qui nécessitent le moins d'interaction de l'utilisateur—ceux

avec la plus petite cardinalité d'action |A|. Cela met directement en œuvre la Loi de Minimisation : préférer le chemin nécessitant le moins d'effort de la part de l'utilisateur.

Si plusieurs déclencheurs sont à égalité pour l'entrée minimale (ce qui est courant lorsque les déclencheurs ont des résultats équivalents), nous brisons l'égalité en utilisant les scores de succès :

$$\text{If } |A_{h_1}| = |A_{h_2}| = \cdots = |A_{h_k}|, \text{ then select } h^* = \arg\max_{h \in H_{\text{tied}}} S_h$$

Parmi les déclencheurs nécessitant une entrée utilisateur égale, choisissez celui avec le score de succès le plus élevé—celui qui a historiquement été le plus fiable et a nécessité le moins de corrections.



Spécificité et Raffinement : Une considération importante dans la priorisation est la spécificité des hooks. Un hook avec des conditions R_1 est plus spécifique qu'un hook avec des conditions R_2 si $R_1 \subset R_2$—c'est-à-dire si les conditions du premier hook sont un sous-ensemble de celles du second, nécessitant des contraintes supplémentaires pour s'activer.

Les hooks plus spécifiques devraient généralement avoir la priorité sur les hooks plus généraux lorsque les deux s'activent, même s'ils ont des scores de succès similaires. Cela est dû au fait que les hooks spécifiques capturent plus de nuances contextuelles et sont plus susceptibles de correspondre à l'intention de l'utilisateur dans cette situation précise.

$$\text{Specificity ordering: } R_1 \prec R_2 \text{ if } R_1 \subset R_2$$

Par exemple, un hook avec des conditions {time: 7am, day: Monday, location: home, calendar: 'morning meeting'} est plus spécifique qu'un avec seulement {time: 7am, location: home}. Si les deux s'activent, le hook plus spécifique devrait s'exécuter car il capture un contexte plus précis.

Exemple Étendu : Résolution de Priorité de Routine Matinale. Considérons trois hooks concurrents un lundi matin à 7h05 : :05

Hook₁ (Matin Général) : R = {time: 7:00-7:30, location: home}, A = {start coffee maker}, S = 0.92

Hook₂ (Matin de Semaine) : R = {time: 7:00-7:30, location: home, day: Monday-Friday}, A = {start coffee maker, turn on news}, S = 0.88

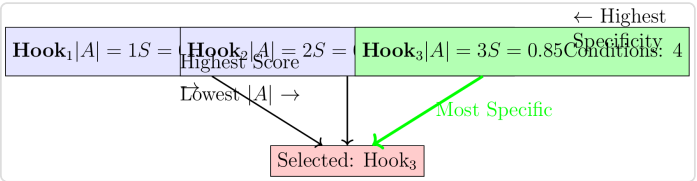
Hook₃ (Lundi Spécifique) : R = {time: 7:00-7:30, location: home, day: Monday, calendar: contains 'meeting'}, A = {start coffee maker, turn on news, prepare briefing doc}, S = 0.85

Les trois hooks s'activent. Application de l'algorithme de priorisation :

Étape 1 (Minimiser l'Entrée) : $Hook_1$ a |A| = 1, $Hook_2$ a |A| = 2, $Hook_3$ a |A| = 3. Selon la Loi de Minimisation, nous préférerions initialement $Hook_1$.

Cependant, c'est là que la spécificité compte. $Hook_3$ est le plus spécifique—il capture les contraintes contextuelles les plus importantes. Un lundi matin avec une réunion prévue, les actions supplémentaires de $Hook_3$ (préparation du document de briefing) représentent une valeur réelle, pas un travail inutile. Le système reconnaît que |A| plus élevé dans ce cas reflète une automatisation plus complète, pas un effort gaspillé.

La priorisation raffinée prend en compte à la fois la minimisation des entrées et le poids de la spécificité. $Hook_3$, malgré un plus grand nombre d'actions, est sélectionné car ses conditions sont les plus spécifiques au contexte actuel. Son score de succès légèrement inférieur (0,85 contre 0,92) est acceptable compte tenu de l'avantage significatif en spécificité.



Facteurs de priorité supplémentaires : Bien que l'algorithme de base priorise par une

entrée minimale et un score de succès maximal, les implémentations réelles peuvent intégrer des facteurs supplémentaires pour une priorisation plus nuancée :

1. Criticité : Les hooks critiques pour la sécurité (alarme incendie, urgence médicale) ont toujours la priorité absolue, indépendamment des autres facteurs.

2. Sensibilité au temps : Les hooks avec une urgence temporelle (offre limitée expirant bientôt) reçoivent des augmentations de priorité.

3. Proximité : La proximité physique avec des objets pertinents augmente la priorité (un hook nécessitant des ressources à proximité plutôt que des ressources éloignées).

4. Disponibilité des ressources : Les hooks nécessitant des ressources actuellement disponibles sont prioritaires par rapport à ceux nécessitant des ressources non disponibles.

5. Préférence utilisateur : Les utilisateurs peuvent ajuster manuellement les priorités des hooks, exprimant des préférences pour certains modèles d'automatisation.

6. Pertinence historique : Les hooks liés à des modèles récurrents fréquents reçoivent de légères augmentations de priorité.

7. Contraintes de concurrence : Dans des contextes multi-utilisateurs, priorisez les

hooks qui ne monopolisent pas les ressources partagées.

Ces facteurs peuvent être combinés en un score de priorité composite :

$$\text{Priority}(h) = w_1 \cdot f_{\text{input}}(|A_h|) + w_2 \cdot S_h + w_3 \cdot f_{\text{specificity}}(|R_h|) + w_4 \cdot f_{\text{criticality}}(h) + \cdots$$

Où chaque w_i est un poids déterminant l'importance de ce facteur, et chaque f représente une fonction de score normalisant ce facteur à une échelle comparable.

La sélection finale : Après la priorisation, un seul hook est sélectionné pour l'exécution. Cette sélection déterministe est critique : le système ne doit pas choisir au hasard parmi des options à égalité ou exécuter plusieurs hooks simultanément (à moins d'être explicitement conçu comme une composition). Une sélection aléatoire créerait un comportement imprévisible et empêcherait le système d'apprendre des modèles fiables.

Si l'algorithme de priorisation aboutit toujours à une égalité parfaite (même taille d'entrée, même score de succès, même spécificité), le système peut utiliser un dernier briseur d'égalité déterministe tel que l'horodatage de création du hook (préférer les hooks plus récents, qui peuvent refléter un apprentissage plus récent) ou l'identifiant du hook (ordre lexicographique pour un déterminisme complet).

Pourquoi la priorisation est importante : Une priorisation efficace est ce qui

transforme une collection de hooks indépendants en un système intelligent et cohérent. Sans cela, les hooks se concurrenceraient de manière chaotique, s'activant dans des ordres aléatoires ou sous-optimaux, gaspillant de l'énergie et frustrant les utilisateurs. Avec une priorisation appropriée, le système présente un comportement intelligent émergent—sélectionnant toujours l'action la plus contextuellement appropriée, la plus fiable et la plus efficace disponible.

La priorisation fournit également le mécanisme par lequel les hooks appris peuvent progressivement remplacer ou affiner les hooks prédéfinis. À mesure que les hooks personnels d'un utilisateur accumulent de l'expérience et augmentent leurs scores de succès, ils peuvent dépasser les hooks prédéfinis génériques en priorité, permettant au système de devenir progressivement plus personnalisé et subjectif au fil du temps.

C'est l'essence de l'automatisation adaptative : le système n'exécute pas seulement des hooks—il évalue en continu quels hooks fonctionnent le mieux pour cet utilisateur spécifique dans ce contexte spécifique, et sélectionne intelligemment l'action optimale. À travers des milliers de décisions de priorisation sur des semaines et des mois, le système apprend à être vous.

3.2.6 Rollback : Annuler des actions et restaurer l'état

Le rollback est l'opération qui permet au système d'annuler les effets d'une exécution de Knowledge Hook, restaurant le contexte à son état avant que le hook ne s'active. Cette capacité est critique pour gérer les erreurs, les corrections des utilisateurs et les conséquences non intentionnelles. Lorsqu'un hook produit des effets indésirables—que ce soit en raison de conditions incorrectes, de circonstances changées ou de simples erreurs—le rollback fournit un chemin de récupération.

L'opération de rollback est rendue possible par la capture d'état complète qui se produit pendant l'exécution. Avant qu'un hook ne s'active, le système préserve un instantané complet C_t du contexte actuel. Si le rollback devient nécessaire, cet instantané fournit l'état cible à restaurer.

L'opération de rollback : Formellement, le rollback tente d'inverser l'exécution d'un hook, transformant le contexte actuel C_{t+1} en contexte pré-exécution C_t :

$$\text{rollback}(KH, C_t, C_{t+1}) \rightarrow C_t \text{ (if possible)}$$

Où :

• KH est le hook dont l'exécution est en cours de rollback

- C_t est le snapshot capturé avant l'exécution

- C_{t+1} est le contexte actuel après l'exécution du hook

- L'opération tente de restaurer le système à l'état C_t

Cependant, le rollback n'est pas toujours possible ou complet. La faisabilité du rollback dépend de manière critique de la nature des actions qui ont été exécutées.

Actions réversibles vs irréversibles : Les actions peuvent être classées par leur réversibilité :

Actions entièrement réversibles : Celles-ci peuvent être parfaitement annulées, ramenant le système exactement à son état précédent.

Exemples :

- Allumer/éteindre les lumières (peut être inversé)

- Ajuster le volume ou la luminosité (peut restaurer la valeur précédente)

- Ouverture/fermeture de fenêtres ou d'applications (peut être inversé)

- Changement de la température du thermostat (peut être rétabli à la valeur précédente)

- Verrouillage/déverrouillage des portes (peut être basculé)

Pour les actions entièrement réversibles, chaque action a_i a une action inverse a_i^(-1) qui annule son effet :

$$a_i(C) \to C' \implies a_i^{-1}(C') \to C$$

Pour revenir sur une séquence d'actions entièrement réversibles, exécutez leurs inverses dans l'ordre inverse :

$$\text{rollback}(a_1, a_2, \ldots, a_k) = a_k^{-1}, a_{k-1}^{-1}, \ldots, a_2^{-1}, a_1^{-1}$$

Actions Partiellement Réversibles : Celles-ci peuvent être annulées, mais pas parfaitement. Certains effets secondaires persistent ou certaines informations sont perdues.

Exemples :

- Envoi d'un email (peut envoyer une correction de suivi, mais l'original ne peut pas être annulé)

- Création d'un événement de calendrier (peut être supprimé, mais les destinataires ont été informés)

- Écriture dans un fichier (peut restaurer le contenu précédent s'il a été enregistré, mais l'horodatage de modification a changé)

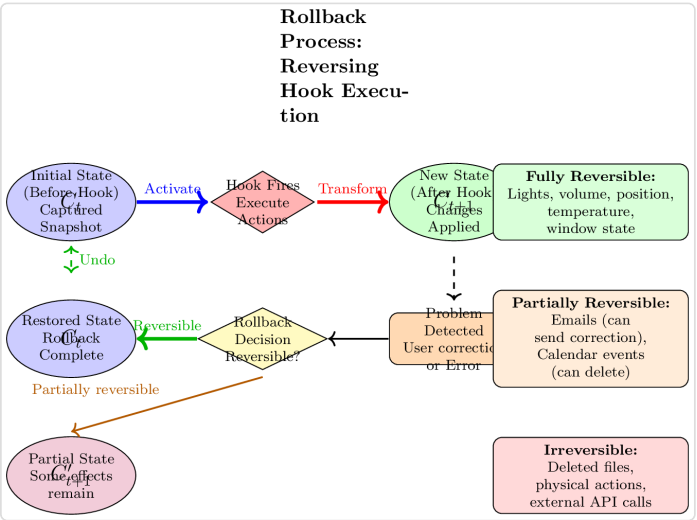
- Effectuer un achat (peut être remboursé, mais la transaction a eu lieu et du temps a passé)

Actions irréversibles : Celles-ci ne peuvent pas être annulées de manière significative. L'effet est permanent.

Exemples :

- Suppression d'un fichier sans sauvegarde (données perdues)
- Déchiquetage d'un document physique
- Déclenchement d'un mécanisme physique (ouverture d'une vanne, activation d'un moteur)
- Appel d'une API externe avec des effets secondaires (paiement traité, message envoyé à un tiers)

La distinction est importante car le système doit gérer le retour en arrière différemment en fonction de la réversibilité de l'action.



Retour en arrière transactionnel : Pour les hooks qui exécutent plusieurs actions liées, le système peut utiliser des sémantiques transactionnelles : soit toutes les actions réussissent, soit toutes sont annulées. Ceci est particulièrement important pour les opérations critiques où une réalisation partielle serait pire que aucune action.

Considérez un hook de réservation de voyage qui effectue trois actions :

1. Réserver un vol → Crée une réservation de vol

2. Réserver un hôtel → Crée une réservation d'hôtel

3. Louer une voiture → Crée une réservation de location de voiture

Si la location de voiture échoue (aucune voiture disponible), avoir seulement le vol et l'hôtel réservés crée un état incohérent. L'utilisateur a besoin de transport à sa destination. Dans ce cas, le rollback transactionnel annule à la fois les réservations de vol et d'hôtel, ramenant le système à C_t où aucune réservation n'existe.

$$\text{if } a_i \text{ fails, then rollback}(a_1, a_2, \ldots, a_{i-1})$$

L'exécution transactionnelle avec rollback automatique est spécifiée au moment de la création du hook. Les hooks marqués comme

transactionnels maintiennent la capacité de rollback pour toutes leurs actions.

Mise en œuvre du rollback : Mécanismes pratiques. Différents types d'actions nécessitent différents mécanismes de rollback :

Rollback basé sur l'état : Pour les actions qui modifient l'état du système (lumières, volume, température), stockez la valeur d'état précédente et restaurez-la explicitement :

$$\text{rollback_action}(a_i) = \text{restore}(\text{property}, \text{value_from}(C_t))$$

Exemple : Si un hook a réglé la luminosité à 80 %, et que C_t montre qu'elle était à 40 %, le rollback remet la luminosité à 40 %.

Rollback basé sur les commandes : Pour les actions avec des inverses explicites (ouvrir/fermer, verrouiller/déverrouiller), exécutez la commande inverse :

$$\text{rollback}(\text{"open door"}) = \text{execute}(\text{"close door"})$$

Transactions compensatoires : Pour les actions qui ne peuvent pas être annulées directement (envoi d'email, création d'événement de calendrier), exécutez des actions compensatoires qui atténuent l'effet :

- Email envoyé → Envoyer un email de suivi expliquant l'erreur
- Événement de calendrier créé → Supprimer l'événement et notifier les participants

• Fichier supprimé → Restaurer à partir de la sauvegarde (si disponible)

Restauration de l'instantané : Pour les changements d'état complexes impliquant plusieurs propriétés, restaurez l'ensemble de la portion pertinente de C_t plutôt que d'inverser des actions individuelles. Cela est particulièrement utile pour les hooks appris où la séquence d'actions exacte peut être complexe.

Lorsque le retour en arrière est déclenché : Le retour en arrière peut être initié par plusieurs mécanismes :

1. Correction de l'utilisateur : Lorsque le système détecte que l'utilisateur a inversé ou modifié les actions d'un hook dans la fenêtre de correction (généralement 5 minutes), il peut proposer de revenir complètement sur les effets restants.

2. Commande d'annulation explicite : Les utilisateurs peuvent demander explicitement "Annuler le dernier hook" via l'interface, déclenchant un retour en arrière immédiat.

3. Échec du hook : Si une action dans un hook transactionnel échoue à s'exécuter, un retour en arrière automatique des actions précédentes se produit.

4. Détection d'erreur : Si le système détecte qu'une exécution de hook a violé des contraintes de sécurité ou produit des

résultats anormaux, il peut déclencher automatiquement un retour en arrière.

5. Terminaison en cascade : Si une chaîne de cascade atteint la limite de profondeur ou détecte une boucle infinie, le système peut revenir en arrière sur les hooks les plus récents de la chaîne.

Limitations et compromis du retour en arrière : Tous les retours en arrière ne sont pas réalisables ou souhaitables :

Irréversibilité temporelle : Le temps ne peut pas être inversé. Même si tous les changements d'état sont annulés, le temps passé et l'énergie consommée ne peuvent pas être récupérés. Cela est particulièrement pertinent pour les actions sensibles au temps (manquer une réunion parce qu'un rappel a été supprimé ne peut pas être corrigé par un retour en arrière).

Effets secondaires externes : Les actions impliquant des systèmes externes ou d'autres utilisateurs ne peuvent pas toujours être annulées proprement. Un e-mail envoyé à un collègue a été lu ; le retour en arrière en le supprimant localement n'efface pas leur mémoire à ce sujet.

Dépendances en cascade : Si d'autres hooks ont découlé des actions du hook annulé, le retour en arrière peut nécessiter d'annuler une chaîne de cascade entière. Cela peut être complexe et peut affecter des hooks que

l'utilisateur n'avait pas l'intention d'annuler.

Coût de performance : Maintenir la capacité de retour en arrière nécessite de stocker des instantanés complets, ce qui consomme de la mémoire. Pour les systèmes avec des ressources limitées, cela peut ne pas être pratique pour tous les hooks.

Confusion des utilisateurs : Un retour en arrière automatique agressif pourrait confondre les utilisateurs s'ils ne comprennent pas pourquoi le système annule des actions. Le retour en arrière doit être accompagné d'une communication claire sur ce qui est annulé et pourquoi.

Principe de conception : Préférer la prévention au retour en arrière. Bien que le retour en arrière soit un mécanisme de sécurité précieux, le système devrait privilégier la prévention des exécutions incorrectes plutôt que de compter sur le retour en arrière pour les corriger. Cela signifie :

- Utiliser des conditions précises pour s'assurer que les hooks ne se déclenchent que lorsque cela est vraiment approprié

- Maintenir des scores de réussite élevés afin que seuls des hooks fiables s'activent

- Employer la priorisation pour sélectionner le meilleur hook parmi les options concurrentes

• Fournir une confirmation de l'utilisateur pour les actions à enjeux élevés avant l'exécution

Le retour en arrière doit être considéré comme une récupération d'erreur, et non comme une opération de routine. Un système de Knowledge Hook bien fonctionnant a rarement besoin de revenir en arrière car les hooks se déclenchent avec précision et produisent les résultats escomptés.

Rétrogradation et apprentissage : Lorsqu'une rétrogradation se produit (surtout initiée par l'utilisateur), elle fournit un retour d'information négatif fort au système d'apprentissage. Le score de succès du crochet rétrogradé devrait diminuer de manière significative :

$$S_{t+1} = S_t \cdot (1 - \alpha_{\text{rollback}}), \quad \alpha_{\text{rollback}} > \alpha_{\text{correction}}$$

Où α_rétrogradation est la pénalité de rétrogradation, supérieure à la pénalité de correction standard. Ce retour d'information négatif plus fort signale que le crochet n'avait pas seulement besoin d'un ajustement mineur - il était fondamentalement incorrect pour ce contexte.

Des rétrogradations répétées du même crochet peuvent déclencher une désactivation ou une suppression automatique, empêchant son activation jusqu'à ce qu'il ait été examiné ou affiné. Cela empêche les crochets

problématiques de causer à plusieurs reprises des problèmes nécessitant une rétrogradation.

Conclusion : Rétrogradation comme filet de sécurité. L'opération de rétrogradation sert de mécanisme de sécurité critique dans les systèmes Knowledge Hook, fournissant un moyen de récupérer des erreurs, des activations incorrectes et des conséquences non intentionnelles. Bien que toutes les actions ne puissent pas être parfaitement inversées, la combinaison de la capture d'état, des opérations inverses et des transactions compensatoires permet au système d'annuler la plupart des effets lorsque cela est nécessaire.

Cependant, la rétrogradation doit être considérée comme un filet de sécurité, et non comme une fonctionnalité principale. L'objectif de la technologie subjective est d'apprendre des modèles si précisément que les crochets nécessitent rarement des corrections et presque jamais de rétrogradations. À mesure que le système mûrit et que les crochets s'améliorent grâce à l'apprentissage par renforcement, la rétrogradation devient de plus en plus rare - un signe que la technologie a vraiment appris à être vous.

3.3 Composition et affinage

3.3.1 Composition imbriquée : Crochets dans des crochets

3.3.2 Composition plate : Concatenation de crochets

3.3.3 Affinage et généralisation : Ordonnancement des crochets par spécificité

L'affinage et la généralisation sont des opérations complémentaires qui régissent l'évolution des Knowledge Hooks en réponse à leur performance. Ces opérations abordent un défi fondamental en apprentissage automatique : trouver le niveau optimal de spécificité pour les conditions. Trop spécifique (surajustement), et les crochets s'activent rarement. Trop général (sous-ajustement), et les crochets se déclenchent dans des contextes inappropriés. L'affinage et la généralisation fournissent les mécanismes pour ajuster dynamiquement la spécificité des crochets en fonction des résultats empiriques.

L'ordre de spécificité : Les hooks peuvent être ordonnés par leur spécificité - à quel point leurs conditions sont restrictives. Cet ordre crée une hiérarchie naturelle qui aide le système à comprendre les relations entre les hooks et à prendre des décisions intelligentes sur le moment de rendre les hooks plus ou moins spécifiques.

Formellement, nous définissons une relation d'ordre de spécificité $\prec$ (prononcé 'affine' ou 'est plus spécifique que') :

$$KH_1 \prec KH_2 \iff R_1 \subset R_2$$

Où :

• $KH_1 \prec KH_2$ signifie "KH_1 est un affinage de KH_2" ou "KH_1 est plus spécifique que KH_2"

• $R_1 \subset R_2$ signifie que l'ensemble des conditions de KH_1 est un sous-ensemble propre des conditions de KH_2

• Cela implique que KH_1 a toutes les conditions de KH_2 plus des contraintes supplémentaires

En d'autres termes, si le hook KH_1 contient toutes les conditions du hook KH_2 et en ajoute d'autres, alors KH_1 est plus spécifique. Il s'activera dans moins de contextes - seulement ceux qui satisfont les contraintes supplémentaires.

Exemple de hiérarchie : Considérons trois hooks pour la préparation du café du matin :

KH_general: R = {time: 7:00-8:00} → A = {start coffee maker}

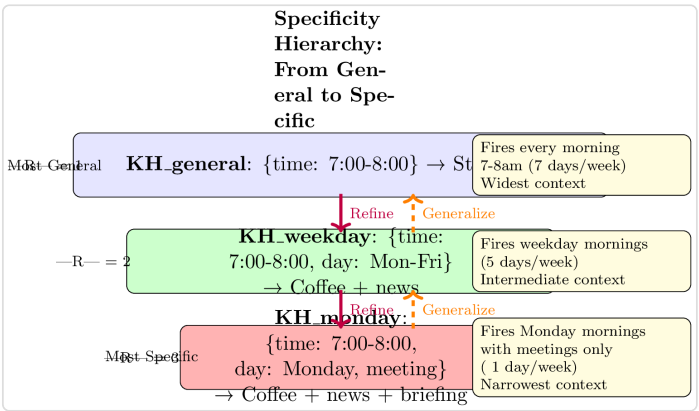
KH_weekday: R = {time: 7:00-8:00, day: Monday-Friday} → A = {start coffee maker, turn on news}

KH_monday: R = {time: 7:00-8:00, day: Monday, calendar: contains 'meeting'} → A = {start coffee maker, turn on news, prepare briefing}

Ces hooks forment une chaîne de spécificité :

$$KH_{\text{monday}} \prec KH_{\text{weekday}} \prec KH_{\text{general}}$$

KH_monday est le plus spécifique (contexte d'activation le plus étroit), KH_general est le plus général (contexte d'activation le plus large). Chaque niveau ajoute des conditions qui restreignent le moment où le hook se déclenche.



Le problème du surajustement et du sous-ajustement : Trouver le bon niveau de spécificité est crucial pour l'efficacité du hook. Cela est analogue au défi classique de l'apprentissage automatique du surajustement par rapport au sous-ajustement :

Surajustement (trop spécifique) : Un hook avec des conditions trop restrictives s'activera rarement, même lorsqu'il le devrait. Le hook a appris des motifs fallacieux—des détails non pertinents qui

étaient présents lors de l'apprentissage mais qui ne sont pas réellement causals.

Exemple : Vous créez une réunion un vendredi après-midi en portant une chemise rouge et la batterie de votre ordinateur portable est à 73 %. Un hook appris pourrait initialement extraire les conditions :

R = {day: Friday, time: 14:00-17:00, clothing_color: red, battery: 70-75%}

Ce hook ne se déclenchera presque jamais à nouveau car ces conditions exactes s'alignent rarement. Les conditions pertinentes sont 'vendredi après-midi', mais le hook a incorrectement appris que des vêtements rouges et une batterie à 73 % sont également nécessaires. C'est du surajustement.

Sous-ajustement (trop général) : Un hook avec des conditions insuffisantes se déclenchera dans des contextes inappropriés, produisant des actions indésirables et nécessitant des corrections fréquentes.

Exemple : Après plusieurs corrections, le système pourrait généraliser trop agressivement :

R = {time: 14:00-17:00} → A = {create meeting}

Maintenant, le déclencheur se produit chaque après-midi, quel que soit le jour ou si vous avez réellement besoin de réunions. Cela

constitue un sous-ajustement : les conditions sont trop larges.

Le déclencheur optimal équilibre ces extrêmes :

R = {day: Friday, time: 14:00-17:00}

Cela capture le véritable schéma sans détails superflus.

Affinement : Rendre les déclencheurs plus spécifiques. L'affinement est l'opération consistant à ajouter des conditions à un déclencheur, le rendant plus restrictif quant à son activation. Cela se fait lorsqu'un déclencheur produit trop de faux positifs, se déclenchant dans des contextes où il ne devrait pas.

$$\text{refine}(KH) = (R \cup \{r_{\text{new}}\}, A, T, S)$$

Où r_new est une condition supplémentaire extraite des contextes où le déclencheur s'est activé incorrectement. Le déclencheur affiné KH' a des conditions R' = R ∪ {r_new}, ce qui signifie qu'il hérite de toutes les conditions originales plus la nouvelle contrainte.

Processus d'affinement :

1. Détecter un faux positif : Le déclencheur s'active et l'utilisateur le corrige immédiatement (Corr_t = 1)

2. Analyser le contexte : Comparer le contexte où le déclencheur s'est activé

incorrectement (C_incorrect) avec les contextes où il s'est activé correctement (C_correct, 1-n)

3. Identifier la caractéristique discriminante : Trouver des caractéristiques contextuelles présentes dans les cas C_correct mais absentes dans C_incorrect

4. Ajouter une condition : Créer une nouvelle condition r_new qui capture cette caractéristique discriminante

5. Mettre à jour le crochet : Remplacer le crochet original par la version affinée

Exemple : Votre crochet 'dimmer les lumières à 21h' se déclenche toujours lorsque vous regardez des films, ce que vous ne voulez pas. Le système analyse les activations réussies par rapport à l'activation incorrecte :

• C_correct : {time: 21:00, location: home, TV: off, lights: bright}

• C_incorrect : {time: 21:00, location: home, TV: on, lights: dim}

La caractéristique discriminante est l'état de la télévision. L'affinement ajoute cette condition :

Original : R = {time: 21:00, location: home}

Affiné : R = {time: 21:00, location: home, TV: off}

Maintenant, le crochet ne diminue les lumières que lorsque vous ne regardez pas la télévision.

Généralisation : Rendre les crochets moins spécifiques. La généralisation est l'opération opposée : supprimer des conditions pour que les crochets se déclenchent plus largement. Cela se fait lorsqu'un crochet est trop restrictif, manquant des opportunités où il aurait dû se déclencher.

$$\text{generalize}(KH) = (R \setminus \{r_{\text{spurious}}\}, A, T, S)$$

Où r_spurious est une condition qui restreint inutilement l'activation. Le crochet généralisé KH' a des conditions R' = R \ {r_spurious}, ce qui signifie qu'il a toutes les conditions originales sauf celle supprimée.

Processus de généralisation :

1. Détecter une faible activation : Le crochet a une faible fréquence de déclenchement malgré un score de succès élevé lorsqu'il se déclenche.

2. L'utilisateur répète manuellement l'action : L'utilisateur effectue l'action dans des contextes où le crochet ne s'est pas déclenché.

3. Analyser le modèle : Identifier quelles conditions dans R sont systématiquement violées dans ces nouveaux contextes.

4. Supprimer la condition : Supprimer la condition trop restrictive de R.

5. Surveiller : Observer une activation accrue sans corrections supplémentaires.

Exemple : Votre crochet pour démarrer votre playlist du matin ne se déclenche qu'à 7h05 précises : :05

R = {time: 07:05, location: home, weekday: true}

Mais vous avez manuellement démarré la playlist à 7h03, 7h08 et 7h12 à différents jours. Le système reconnaît que la condition de temps exact est trop restrictive. Il généralise : :03 :08 :12

R = {time: 07:00-07:15, location: home, weekday: true}

Maintenant, le déclencheur s'active tout au long de votre fenêtre de routine matinale, pas seulement à une minute précise.

Granularité Adaptative : L'idée clé est que le niveau de spécificité optimal n'est pas statique - il s'adapte en fonction des performances. Le système surveille en continu les scores de succès et les schémas d'activation pour déterminer si un affinage ou une généralisation est nécessaire :

$$\text{if } (\text{Corr_rate} > \theta_{\text{refine}}) \text{ then refine}(KH)$$

$$\text{if } (\text{Fire_rate} < \theta_{\text{generalize}} \wedge S > 0.8) \text{ then generalize}(KH)$$

Où :

• Corr_rate est la fréquence de correction (corrections/activations)

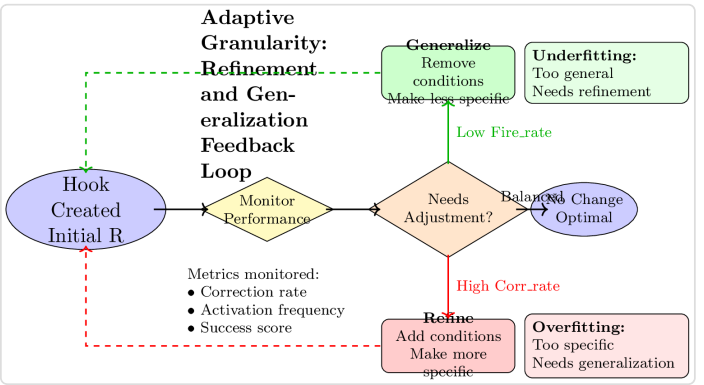
• θ_refine est le seuil pour déclencher l'affinage (par exemple, 0,3 = 30 % de corrections)

• Fire_rate est la fréquence d'activation (activations/opportunités)

• θ_generalize est le seuil pour déclencher la généralisation (par exemple, 0,1 = s'active dans seulement 10 % des contextes potentiels)

• S est le score de succès

Cela crée une boucle de rétroaction : les déclencheurs qui s'activent trop souvent avec des corrections deviennent plus spécifiques ; les déclencheurs qui s'activent rarement mais fonctionnent bien lorsqu'ils le font deviennent plus généraux.



Ordonnancement Partiel et Structure de Lattice : La relation de spécificité $\prec$ crée un ordonnancement partiel sur l'ensemble de tous les déclencheurs. Plusieurs déclencheurs peuvent exister au même niveau de spécificité (aucun n'est plus spécifique que l'autre), et les déclencheurs peuvent avoir plusieurs affinements ou généralisations.

Cette structure forme un treillis—une structure mathématique où :

- Chaque paire de hooks a une borne supérieure minimale (hook le plus spécifique qui généralise les deux)
- Chaque paire de hooks a une borne inférieure maximale (hook le plus général qui affine les deux)

Cette structure de treillis permet un raisonnement sophistiqué sur les relations entre hooks. Par exemple, si deux hooks avec des conditions différentes produisent les mêmes actions et fonctionnent bien tous les deux, ils pourraient être candidats à une fusion en un seul hook plus général.

Relation avec la priorisation : L'affinage et la généralisation ont un impact direct sur la priorisation. Lorsque plusieurs hooks pourraient se déclencher, les hooks plus spécifiques ont la priorité sur les plus généraux (comme discuté dans la section Priorisation). Cela garantit que :

- Un comportement spécialisé remplace un comportement générique lorsque les deux s'appliquent

- Les utilisateurs peuvent créer des hooks de plus en plus spécifiques pour gérer les cas particuliers

- Le système évolue naturellement des modèles généraux vers des réponses nuancées et conscientes du contexte

Exemple : Vous pourriez avoir un hook général qui diminue les lumières à 21h. Au fil du temps, vous l'affinez avec un hook plus spécifique qui garde les lumières allumées les vendredis et samedis soirs. Le hook spécifique (avec la condition 'jour' supplémentaire) prend la priorité le week-end, tandis que le hook général gère les nuits de semaine.

Affinage automatique vs manuel : Le système peut effectuer à la fois un affinage et une généralisation automatiques et initiés par l'utilisateur :

Affinage automatique : Déclenché par des taux de correction élevés. Le système analyse les motifs dans les corrections pour identifier les conditions manquantes.

Généralisation automatique : Déclenchée par une faible activation avec un haut taux de succès. Le système identifie les conditions trop restrictives en comparant les contextes où les déclencheurs auraient dû s'activer mais ne l'ont pas fait.

Affinage manuel : Les utilisateurs peuvent ajouter explicitement des conditions via l'interface : "Ne faites cela que lorsque [condition]"

Généralisation manuelle : Les utilisateurs peuvent supprimer des conditions : "Faites ceci indépendamment de [condition]"

La combinaison de l'adaptation automatique et du contrôle manuel offre aux utilisateurs à la fois commodité et contrôle précis lorsque cela est nécessaire.

Pourquoi l'affinage et la généralisation sont importants : Ces opérations sont essentielles pour que les Knowledge Hooks atteignent le bon équilibre entre précision et couverture. Sans elles :

- Les déclencheurs appris resteraient bloqués à leur niveau de spécificité initial
- Les déclencheurs surajustés gaspilleraient des ressources système, ne s'activant jamais
- Les déclencheurs sous-ajustés nécessiteraient constamment des corrections, frustrant les utilisateurs
- Le système ne pourrait pas s'adapter aux changements de motifs et de contextes des utilisateurs

Grâce à un raffinement continu et à une généralisation guidée par la performance empirique, Knowledge Hooks trouve le juste

milieu : suffisamment spécifique pour éviter les faux positifs, suffisamment général pour capturer de véritables motifs. Cette granularité adaptative est ce qui permet à la technologie subjective d'apprendre les nuances des utilisateurs individuels sans nécessiter de programmation explicite, créant ainsi une automatisation véritablement personnalisée qui s'améliore avec le temps.

3.3.4 Équivalence : Lorsque Différents Hooks Produisent le Même Résultat

L'équivalence est l'opération qui détermine quand deux ou plusieurs Knowledge Hooks produisent le même résultat, malgré des conditions potentiellement différentes, des séquences d'actions différentes ou des structures internes différentes. Comprendre l'équivalence est crucial pour l'optimisation, la dé-duplication et la sélection intelligente parmi des hooks concurrents.

La Relation d'Équivalence : Deux hooks sont équivalents si, lorsqu'ils sont exécutés dans le même contexte, ils produisent des résultats indistinguables. Formulons la relation d'équivalence ≡ :

$$KH_1 \equiv KH_2 \iff \forall C : \text{outcome}(KH_1, C) = \text{outcome}(KH_2, C)$$

Où :

• $KH_1 \equiv KH_2$ signifie "KH_1 est équivalent à KH_2"

- ∀C signifie "pour tous les contextes" où les deux hooks pourraient potentiellement se déclencher

- outcome(KH, C) représente l'état final du système après l'exécution du hook KH dans le contexte C

Deux hooks sont équivalents s'ils transforment le système d'un état donné vers le même état résultant. Le chemin spécifique emprunté - les étapes intermédiaires, l'ordre des opérations, les représentations internes - n'a pas d'importance. Seul le résultat final compte.

Important : L'équivalence est définie par les résultats observables, et non par la structure des hooks. Des hooks avec des conditions et des actions complètement différentes peuvent néanmoins être équivalents s'ils produisent les mêmes résultats.

Exemple Simple : Considérons trois hooks pour allumer les lumières du salon :

KH_1: R = {time: 18:00, location: home} → A = {lights.living_room = ON}

KH_2: R = {sunset: true, location: home} → A = {lights.living_room.brightness = 100%}

KH_3: R = {darkness_level: >80%, location: living_room} → A = {turn_on(lights.living_room)}

Ces trois hooks ont des conditions différentes (basées sur le temps, le coucher de soleil, l'obscurité) et des spécifications d'action légèrement différentes (ON contre 100% de luminosité contre commande turn_on). Cependant, ils sont fonctionnellement équivalents : ils entraînent tous l'allumage des lumières du salon à pleine luminosité.

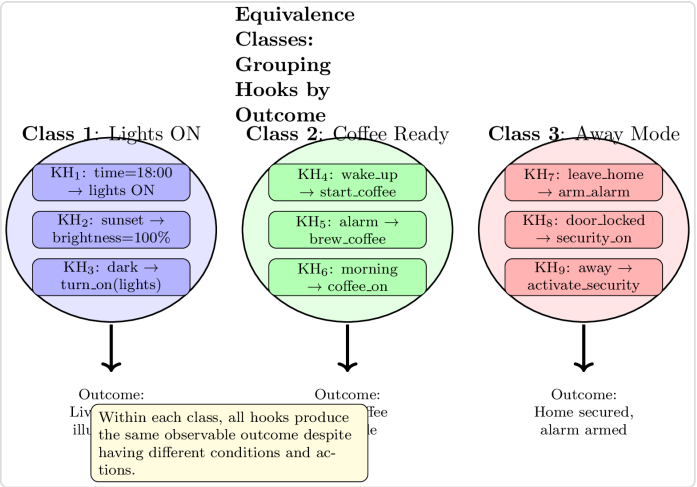
$$KH_1 \equiv KH_2 \equiv KH_3$$

Classes d'Équivalence : La relation d'équivalence partitionne l'ensemble de tous les hooks en classes d'équivalence - groupes de hooks qui produisent les mêmes résultats :

$$[KH] = \{KH' : KH' \equiv KH\}$$

Où [KH] désigne la classe d'équivalence contenant le hook KH. Tous les hooks dans la même classe d'équivalence sont interchangeables du point de vue des résultats, bien qu'ils puissent différer en efficacité, fiabilité ou moment d'activation.

La Loi d'Équivalence stipule que les hooks avec le même résultat appartiennent à la même classe d'équivalence, et le système doit reconnaître et exploiter cette relation pour l'optimisation.



Pourquoi l'Équivalence est Importante : La relation d'équivalence permet plusieurs optimisations critiques et comportements intelligents :

1. Minimisation par Sélection : Lorsque plusieurs hooks équivalents pourraient se déclencher, le système peut sélectionner intelligemment le plus efficace. Selon la Loi de Minimisation et les règles de priorisation, parmi les hooks équivalents, choisissez :

$$KH^* = \arg\min_{KH \in [KH_{\text{equiv}}]} |A|$$

Sélectionnez le hook avec le moins d'actions. En cas d'égalité sur le nombre d'actions, sélectionnez le hook avec le meilleur score de réussite. Cela garantit que

le système emprunte toujours le chemin le plus efficace vers le résultat souhaité.

2. Dé-duplication : Si le système détecte plusieurs hooks dans la même classe d'équivalence avec des conditions similaires, ils peuvent potentiellement être fusionnés ou l'un peut être désactivé pour réduire la redondance :

$$\text{if } KH_1 \equiv KH_2 \land R_1 \approx R_2 \implies \text{merge}(KH_1, KH_2)$$

Cela empêche le système de maintenir plusieurs hooks presque identiques qui servent le même objectif.

3. Robustesse : Avoir plusieurs hooks équivalents avec des conditions différentes fournit une redondance. Si les conditions d'un hook deviennent insatisfaisables (un capteur tombe en panne, un service est hors ligne), d'autres hooks équivalents peuvent toujours atteindre le même résultat par des moyens alternatifs.

4. Apprentissage de chemins alternatifs : Lorsque le système observe l'utilisateur atteignant le même résultat par différentes méthodes dans différents contextes, il reconnaît ces approches comme équivalentes et peut choisir des variantes appropriées au contexte.

Détection d'équivalence : Déterminer si deux hooks sont équivalents n'est pas toujours

trivial. Le système utilise plusieurs approches :

Analyse syntaxique : Comparez les états finaux spécifiés dans les actions. Si les actions de KH_1 définissent lights.living_room.state = ON et les actions de KH_2 définissent lights.living_room.brightness = 100%, ceux-ci peuvent être reconnus comme équivalents si le système comprend que ON implique une luminosité de 100%.

Analyse sémantique : Utilisez des connaissances de domaine sur les appareils et leurs états. Le système sait que turn_on(lights), set_brightness(lights, 100) et set_state(lights, ON) produisent tous le même résultat.

Observation empirique : Exécutez les deux hooks dans des contextes contrôlés et observez si les états résultants sont identiques. Si les hooks produisent systématiquement le même C_{t+1} à partir du même C_t, ils sont empiriquement équivalents.

Retour d'utilisateur : Les utilisateurs peuvent marquer explicitement les hooks comme équivalents : "Ces deux hooks font la même chose." Cela fournit une vérité de base pour la relation d'équivalence.

Exemple complexe : Préparation de réunion. Considérez des hooks pour se préparer à une réunion à 9h :

KH_alarm: R = {time: 08:45, calendar: meeting_at_9am} → A = {show_notification('Meeting in 15 min'), open_calendar, open_meeting_notes}

KH_context: R = {time: 08:30-08:59, next_event: meeting, location: home} → A = {display_reminder('Upcoming meeting'), launch_calendar_app, open_document(meeting_notes)}

KH_smart: R = {upcoming_meeting: <15min, user_active: true} → A = {notify('Meeting soon'), switch_to_calendar_view, show_notes}

Ces trois hooks ont des déclencheurs différents et des implémentations d'actions légèrement différentes, mais ils sont fonctionnellement équivalents : ils aboutissent tous à ce que l'utilisateur soit informé de la réunion avec le calendrier et les notes visibles. Le système les reconnaît comme équivalents et prioriserait en fonction de celui qui a le moins d'actions et le score de réussite le plus élevé.

Équivalence partielle : Parfois, les hooks sont équivalents dans certains contextes mais pas dans d'autres. Nous appelons cela équivalence partielle ou conditionnelle :

$$KH_1 \equiv_C KH_2 \iff \text{outcome}(KH_1, C) = \text{outcome}(KH_2, C)$$

Lorsque l'équivalence ne tient que pour des contextes spécifiques C, et non universellement.

Exemple : Deux hooks pour le contrôle de la température :

KH_1 : R = {temp < 18°C} → A = {heater = ON}

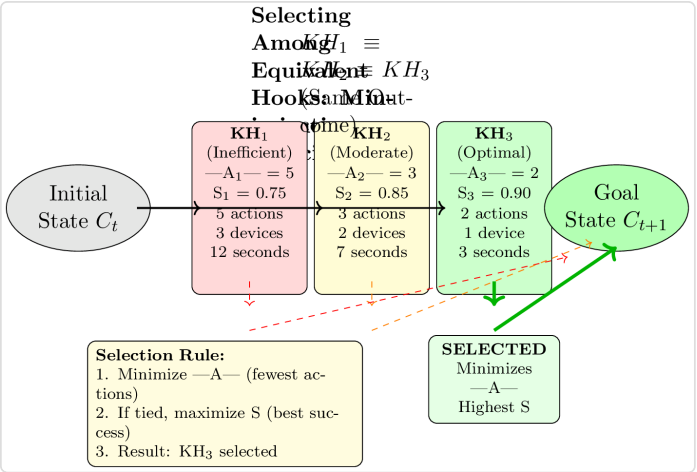
KH_2 : R = {temp < 18°C} → A = {heater = ON, close_windows}

Ces hooks sont équivalents lorsque les fenêtres sont déjà fermées (les deux allument simplement le chauffage), mais pas équivalents lorsque les fenêtres sont ouvertes (KH_2 les ferme également). Le système suit ces équivalences conditionnelles pour faire des sélections appropriées au contexte.

Équivalence et la loi de minimisation : La loi d'équivalence fonctionne de pair avec la loi de minimisation. La loi de minimisation stipule : "Préférez toujours le chemin avec le moins d'entrée utilisateur." Lorsque plusieurs hooks sont équivalents (même résultat), cette loi impose de sélectionner le plus efficace :

$$\text{if } KH_1 \equiv KH_2 \text{ and } |A_1| < |A_2| \implies \text{prefer } KH_1$$

Cela crée une pression d'optimisation naturelle : le système évolue vers les moyens les plus efficaces d'atteindre chaque résultat, élaguant ou déclassant automatiquement les hooks équivalents inefficaces.



Équivalence et scores de succès : Il est intéressant de noter que des hooks équivalents peuvent avoir des scores de succès différents même s'ils produisent le même résultat. Pourquoi ? Parce que les scores de succès mesurent la fiabilité et la fréquence des corrections, pas seulement les résultats :

- Le hook A peut atteindre le résultat mais nécessite parfois des corrections

- Le hook B atteint le même résultat avec moins de corrections

Bien qu'ils soient équivalents (même état final), le hook B est plus fiable et aura un score de succès plus élevé. Le système préférera le hook B lorsque les deux pourraient se déclencher.

Implications pratiques : Comprendre l'équivalence a plusieurs avantages pratiques

pour les utilisateurs et les concepteurs de systèmes :

1. Redondance naturelle : Les utilisateurs n'ont pas besoin de s'inquiéter de créer des hooks en double. S'ils créent manuellement des hooks qui atteignent le même objectif de différentes manières, le système les reconnaît comme équivalents et choisit intelligemment parmi eux.

2. Optimisation automatique : Le système peut automatiquement identifier et préférer des hooks équivalents plus efficaces sans intervention de l'utilisateur. Un hook qui allume les lumières, joue de la musique et ajuste la température (3 actions) sera préféré à un hook qui fait les mêmes choses par le biais de 6 commandes individuelles de dispositifs.

3. Migration de hooks : Lors de la mise à niveau vers de nouveaux dispositifs ou services, des hooks équivalents peuvent être automatiquement migrés. Si vous remplacez vos anciennes lumières intelligentes par de nouvelles, les hooks qui contrôlaient les anciennes lumières peuvent être mis à jour vers des hooks équivalents pour les nouvelles lumières.

4. Test A/B : Le système peut expérimenter avec des hooks équivalents pour déterminer lequel est le plus fiable en pratique, déplaçant progressivement l'utilisation vers l'option la plus performante.

Classes d'équivalence et évolution du système : Au fil du temps, la collection de hooks du système s'organise naturellement en classes d'équivalence. Au sein de chaque classe :

- Les hooks rivalisent en fonction de l'efficacité et de la fiabilité
- Les hooks les plus performants accumulent de l'utilisation
- Les hooks mal performants sont rétrogradés ou finalement désactivés
- Le système apprend quelles conditions prédisent le plus fiablement quand chaque résultat est souhaité

Cela crée une pression évolutive vers un ensemble optimal de hooks - un qui atteint tous les résultats souhaités par les moyens les plus efficaces et fiables possibles, avec une redondance appropriée lorsque les conditions varient.

Propriétés mathématiques : La relation d'équivalence $\equiv$ satisfait aux trois propriétés requises de toute relation d'équivalence :

Réflexive : Chaque hook est équivalent à lui-même :

$$\forall KH : KH \equiv KH$$

Symétrique : Si KH_1 est équivalent à KH_2, alors KH_2 est équivalent à KH_1 :

$$KH_1 \equiv KH_2 \implies KH_2 \equiv KH_1$$

Transitif : Si KH_1 est équivalent à KH_2, et KH_2 est équivalent à KH_3, alors KH_1 est équivalent à KH_3 :

$$KH_1 \equiv KH_2 \land KH_2 \equiv KH_3 \implies KH_1 \equiv KH_3$$

Ces propriétés garantissent que les classes d'équivalence sont bien définies et que la partition des crochets en classes est mathématiquement solide.

Conclusion : L'équivalence comme catalyseur d'optimisation. L'opération d'équivalence est ce qui permet aux systèmes Knowledge Hook d'optimiser et de s'adapter intelligemment. En reconnaissant quand différentes approches atteignent le même résultat, le système peut :

- Sélectionner automatiquement le chemin le plus efficace
- Éliminer la redondance tout en maintenant la robustesse
- Apprendre des stratégies alternatives et choisir des variantes appropriées au contexte
- Évoluer vers une configuration de crochet optimale au fil du temps

Associée à la loi de minimisation, l'équivalence garantit que la technologie

subjective n'atteint pas seulement les objectifs des utilisateurs, mais le fait de la manière la plus efficace possible, s'améliorant continuellement grâce à une pression de sélection qui favorise des chemins plus courts et plus fiables vers les résultats souhaités. C'est ainsi que le système apprend non seulement quoi faire, mais la meilleure façon de le faire.

3.3.5 Normalisation des poids : Fusion et consolidation de crochets similaires

La normalisation des poids est l'opération qui combine des crochets similaires ou redondants en versions consolidées et plus robustes. Au fur et à mesure que les utilisateurs interagissent avec la technologie subjective au fil du temps, le système apprend naturellement plusieurs crochets qui servent des objectifs similaires ou qui se chevauchent. Sans consolidation, la base de données des crochets croîtrait sans limites, créant de l'inefficacité et des conflits potentiels. La normalisation des poids aborde cela en fusionnant intelligemment des crochets similaires tout en préservant leurs connaissances acquises et leurs métriques de succès.

Le problème de la prolifération des hooks : dans un système d'apprentissage, la création de hooks est continue. Chaque fois que l'utilisateur effectue une action dans un

nouveau contexte, le système peut créer un nouveau hook pour capturer ce modèle. Bien que cela permette un apprentissage complet, cela entraîne plusieurs problèmes :

Redondance : plusieurs hooks qui font essentiellement la même chose mais ont été appris dans des contextes légèrement différents encombrent le système.

Inefficacité : évaluer des milliers de hooks similaires lors de l'activation gaspille des ressources informatiques.

Concurrence : des hooks similaires se disputent l'activation, ce qui peut entraîner un comportement imprévisible s'ils ont des conditions similaires mais des actions ou des scores de succès légèrement différents.

Fragmentation : les connaissances sur un modèle sont réparties sur plusieurs hooks plutôt que consolidées dans un seul hook bien entraîné.

La normalisation des poids résout ces problèmes en identifiant des hooks similaires et en les fusionnant en versions unifiées qui préservent les meilleures qualités de chacun.

Détecter des hooks similaires : le premier défi consiste à déterminer quels hooks sont suffisamment similaires pour justifier une fusion. Le système utilise plusieurs métriques de similarité :

Similarité d'action : les hooks effectuent-ils les mêmes actions ou des actions presque identiques ? C'est le critère principal :

$$\text{similar}(KH_1, KH_2) \iff A_1 \approx A_2$$

Où ≈ désigne l'égalité approximative - des actions qui produisent le même résultat même si les commandes spécifiques diffèrent légèrement.

Chevauchement des conditions : les hooks ont-ils des conditions significativement chevauchantes ?

$$\text{overlap}(R_1, R_2) = \frac{|R_1 \cap R_2|}{|R_1 \cup R_2|} > \theta_{\text{overlap}}$$

Si les conditions partagent plus d'un pourcentage seuil (par exemple, 60 %), les hooks sont considérés comme similaires.

Similarité de contexte : Les hooks s'activent-ils dans des contextes similaires ? Cela peut être mesuré en comparant les contextes dans lesquels chaque hook a historiquement été déclenché.

Équivalence des résultats : Comme discuté dans la section Équivalence, les hooks qui produisent les mêmes résultats observables sont des candidats à la fusion.

L'opération de fusion : Lorsque des hooks similaires sont identifiés, ils peuvent être fusionnés en un seul hook consolidé :

$$KH_{\text{merged}} = \text{merge}(KH_1, KH_2, \ldots, KH_n)$$

Le hook fusionné doit préserver les connaissances de tous les hooks sources tout en créant une version plus robuste et générale. Le processus de fusion opère sur chaque composant :

1. Conditions (R_fusionnées) : Le système doit décider d'utiliser l'union ou l'intersection des conditions :

Approche d'union (plus générale) : R_fusionnées = $R_1 \cup R_2 \cup \ldots \cup R_n$

Le hook fusionné se déclenche lorsque L'UN des conditions originales est satisfaite. Cela crée un hook plus général qui s'active dans tous les contextes où n'importe quel hook source se serait déclenché.

Approche d'intersection (plus spécifique) : R_fusionnées = $R_1 \cap R_2 \cap \ldots \cap R_n$

Le hook fusionné se déclenche uniquement lorsque TOUTES les conditions originales sont satisfaites. Cela crée un hook plus conservateur qui ne s'active que dans des contextes où tous les hooks sources seraient d'accord.

Le choix dépend du cas d'utilisation. Pour les actions critiques pour la sécurité, utilisez l'intersection (conservatrice). Pour les fonctionnalités de commodité, utilisez l'union (permissive). Le système peut

également utiliser une combinaison pondérée, créant des conditions qui s'activent en fonction du nombre de déclencheurs source qui auraient été activés.

2. Actions (A_merged) : Si tous les déclencheurs source ont des actions identiques, utilisez simplement ces actions. Si les actions diffèrent légèrement, le système doit concilier :

$$A_{\text{merged}} = \text{reconcile}(A_1, A_2, \ldots, A_n)$$

Les stratégies de réconciliation incluent :

- Utiliser la séquence d'actions du déclencheur avec le score de succès le plus élevé
- Utiliser la séquence d'actions la plus courte (Loi de minimisation)
- Combiner les actions en séquence si elles sont complémentaires
- Demander à l'utilisateur de résoudre les conflits si la réconciliation automatique est incertaine

3. Score de succès (S_merged) : C'est ici que la normalisation des poids tire son nom. Le score de succès du déclencheur fusionné est une moyenne pondérée des scores des déclencheurs source, avec des poids déterminés par la fréquence d'utilisation :

$$S_{\text{merged}} = \frac{\sum_{i=1}^{n} S_i \cdot n_i}{\sum_{i=1}^{n} n_i}$$

Où :

• S_i est le score de succès du déclencheur KH_i

• n_i est le nombre de fois que KH_i a été activé avec succès

Cette moyenne pondérée garantit que les hooks qui ont été utilisés plus fréquemment (et donc qui ont plus de preuves empiriques) ont une plus grande influence sur le score fusionné. Un hook qui a réussi à se déclencher 100 fois avec un score de 0,9 contribue plus de poids qu'un hook qui s'est déclenché 5 fois avec un score de 0,95.

4. Type (T_fusionné) : Le type du hook fusionné dépend de ses sources :

• Si tous les hooks sources sont appris, le hook fusionné est appris.

• Si tous les hooks sources sont prédéfinis, le hook fusionné est prédéfini.

• Si les sources sont mixtes, le hook fusionné est généralement marqué comme appris mais peut conserver l'attribution aux créateurs experts.

Exemple étendu : Hooks de réunion hebdomadaire. Au cours de plusieurs semaines, vous avez créé des réunions avec Alex chaque vendredi à 15h. Le système apprend des hooks séparés :

KH_1 (Week 1): R = {day: Friday, time: 14:45, location: office, inbox: contains('Alex'), calendar: slot_free(15:00)} → A = {create_meeting(Alex, Friday, 15:00)}

Succès : n_1 = 3 activations, S_1 = 0,67

KH_2 (Week 3): R = {day: Friday, time: 14:00-15:00, email: from('Alex'), subject: contains('sync')} → A = {schedule_meeting(Alex, Friday, 15:00, title='Weekly Sync')}

Succès : n_2 = 5 activations, S_2 = 0,84

KH_3 (Semaine 5) : R = {day: Friday, time: afternoon, context: work, participant: 'Alex'} → A = {create_recurring_meeting(Alex, Friday, 15:00)}

Succès : n_3 = 2 activations, S_3 = 1.00

Le système détecte une similarité :

• Les trois hooks créent des réunions avec Alex le vendredi à 15:00

• Les conditions se chevauchent considérablement (toutes font référence au vendredi et à Alex)

- Les actions produisent des résultats équivalents

Processus de fusion :

Conditions : Prenez l'intersection des conditions de base (ensemble commun le plus spécifique) :

R_merged = {day: Friday, time: 14:00-15:00, participant: 'Alex'}

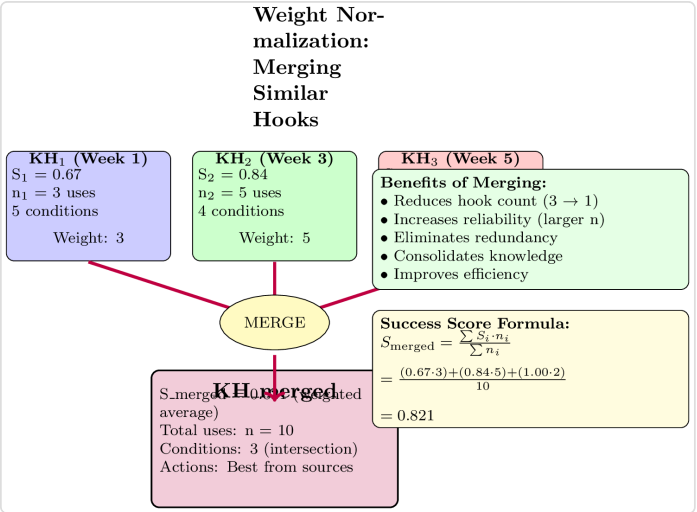
Actions : Utilisez le modèle d'action le plus réussi (approche de KH_2 avec titre) :

A_merged = {schedule_meeting(Alex, Friday, 15:00, title='Weekly Sync')}

Score de succès : moyenne pondérée :

$$S_{\text{merged}} = \frac{(0.67 \cdot 3) + (0.84 \cdot 5) + (1.00 \cdot 2)}{3 + 5 + 2} = \frac{2.01 + 4.20 + 2.00}{10} = \frac{8.21}{10} = 0.821$$

Le hook fusionné a un score de succès robuste de 0,82 basé sur 10 activations au total, plus fiable que tout hook source individuel en raison d'une taille d'échantillon plus grande.



Normalisation des ensembles Regex : Le livre mentionne la normalisation des "ensembles regex" — cela fait référence à des motifs de condition qui utilisent des expressions régulières ou la correspondance de motifs. Lors de la fusion de hooks avec des motifs regex similaires, le système crée des motifs normalisés et généraux :

Exemple : Trois hooks se déclenchent sur des sujets d'email :

- KH_1 : le sujet correspond à "Meeting.*Friday"
- KH_2 : le sujet correspond à "Friday.*meeting"
- KH_3 : le sujet correspond à ".*Friday.*meeting.*"

Cela peut être normalisé en un seul motif plus général :

- KH_merged : le sujet correspond à ".*(meeting|Meeting).*(Friday|friday).*"

Cela capture toutes les variations tout en réduisant à une seule condition regex.

Quand fusionner : Le système applique plusieurs critères pour décider quand la fusion est appropriée :

Seuil de similarité : Ne fusionnez que les hooks qui sont très similaires (>80 % de chevauchement de conditions, actions identiques ou équivalentes)

Utilisation minimale : Ne fusionnez pas les hooks tant que chacun n'a pas été utilisé au moins quelques fois (par exemple, $n_i \geq 3$). Cela empêche une consolidation prématurée avant que les motifs ne soient bien établis.

Consistance du succès : Ne fusionnez que les hooks avec des scores de succès similaires (dans une marge de 0,2 l'un de l'autre). Si un hook a S=0,9 et un autre a S=0,3, ils peuvent sembler similaires mais se comportent très différemment—ne fusionnez pas.

Confirmation de l'utilisateur : Pour les hooks importants ou fréquemment utilisés, demandez à l'utilisateur avant de fusionner : "Ces hooks semblent similaires—souhaitez-vous les consolider ?"

Séparation temporelle : Préférez fusionner les hooks créés à proximité dans le temps. Les hooks créés avec des mois d'écart peuvent représenter des motifs réellement différents malgré une similarité apparente.

Fusion sélective : Parfois, seul un sous-ensemble de hooks similaires doit être fusionné :

$$\text{if } \{KH_1, KH_2, KH_3, KH_4, KH_5\} \text{ are similar, but } KH_5 \text{ is outlier}$$
$$\text{then } KH_{\text{merged}} = \text{merge}(KH_1, KH_2, KH_3, KH_4), \text{ keep } KH_5 \text{ separate}$$

Cela préserve les hooks qui, bien que similaires, servent des objectifs distincts ou ont des caractéristiques significativement différentes.

Consolidation périodique : La normalisation des poids n'est pas une opération unique. Le système scanne périodiquement (par exemple, hebdomadairement) à la recherche d'opportunités de fusion :

1. Identifier les clusters : Regrouper les hooks par métriques de similarité

2. Évaluer les candidats à la fusion : Vérifier les seuils pour chaque cluster

3. Effectuer des fusions : Consolider les clusters approuvés

4. Mettre à jour les références : Toutes les compositions ou cascades qui faisaient référence aux hooks source font maintenant référence au hook fusionné

5. Archiver les sources : Les hooks originaux sont archivés (non supprimés) afin que les fusions puissent être inversées si nécessaire

Impact sur la performance du système : La normalisation des poids améliore considérablement l'efficacité du système :

Coût d'évaluation réduit : Moins de hooks à évaluer lors de l'activation signifie des temps de réponse plus rapides

Précision améliorée : Les hooks fusionnés ont plus de données d'entraînement (n plus élevé) conduisant à des scores de succès plus fiables

Comportement plus clair : Éliminer les hooks similaires concurrents réduit les comportements imprévisibles

Meilleur apprentissage : Les hooks consolidés accumulent l'expérience plus rapidement, améliorant le taux d'adaptation

Exemples de métriques après normalisation :

• Nombre de hooks : 1 247 → 418 (réduction de 66 %)

• Score de réussite moyen : 0,72 → 0,84 (meilleure fiabilité grâce à la consolidation)

• Temps d'évaluation d'activation : 45 ms → 12 ms (plus rapide grâce à moins de hooks)

Récupérabilité : Les fusions peuvent être annulées si elles s'avèrent problématiques. Le système maintient :

- Dossiers complets des hooks sources
- Historique des fusions et justification
- Capacité de contournement utilisateur ("défusionner ces hooks")

Si un hook fusionné fonctionne mal (le score de réussite chute de manière significative), le système peut automatiquement le diviser à nouveau en hooks sources et réessayer avec des paramètres de fusion différents.

Conclusion : Consolidation en tant qu'optimisation du système. La normalisation des poids est l'opération de maintenance qui garde les systèmes Knowledge Hook légers et efficaces. En identifiant et en fusionnant des hooks similaires, le système :

- Empêche la croissance illimitée de la base de données des hooks
- Consolide les connaissances acquises en hooks robustes et bien entraînés
- Élimine la redondance et les comportements conflictuels
- Améliore à la fois la précision et la performance

La moyenne pondérée des scores de succès garantit que les hooks fusionnés reflètent

l'ensemble des preuves empiriques de tous les hooks sources, créant une automatisation plus fiable. Combinée avec les autres opérations de l'algèbre—activation, exécution, apprentissage, composition, cascade, priorisation, retour en arrière, raffinement et équivalence—la normalisation des poids complète l'outil qui permet aux Knowledge Hooks d'évoluer de simples modèles réactifs en extensions subjectives sophistiquées et efficaces de l'utilisateur.

3.4 Lois de l'Algèbre des Knowledge Hooks : Les Principes Directeurs

Nous avons maintenant exploré l'ensemble de la machinerie opérationnelle des Knowledge Hooks : comment ils s'activent lorsque les conditions correspondent au contexte, comment ils exécutent des séquences d'actions, comment ils apprennent des corrections par renforcement, comment ils se composent en hiérarchies complexes, comment ils se propagent à travers des chaînes déclenchées, comment ils rivalisent par priorisation, comment ils peuvent être annulés en cas d'erreurs, comment ils se raffinent et se généralisent pour trouver une spécificité optimale, comment les classes d'équivalence regroupent les hooks par résultat, et comment la normalisation des poids consolide des modèles similaires. Ces opérations forment le

vocabulaire de l'algèbre—les verbes qui décrivent ce que font les hooks.

Mais les opérations seules ne constituent pas une algèbre. Une algèbre nécessite des lois—des principes fondamentaux qui régissent comment les opérations interagissent, contraignent leur comportement et garantissent que le système présente des propriétés prévisibles et souhaitables. Tout comme les lois de l'arithmétique (commutativité, associativité, distributivité) nous permettent de manipuler les nombres avec confiance, les lois de l'algèbre des Knowledge Hooks nous permettent de raisonner, de prédire et d'optimiser le comportement des systèmes subjectifs.

Ces lois ne sont pas des contraintes arbitraires imposées de l'extérieur. Elles émergent naturellement de l'objectif central de la technologie subjective : la minimisation incessante de l'entrée utilisateur. Chaque loi sert ce but ultime, soit directement, soit en permettant au système d'apprendre, de s'adapter et d'optimiser vers des interactions sans entrée. Elles formalisent l'intuition selon laquelle la technologie devrait nécessiter de moins en moins d'efforts, qu'elle devrait apprendre de l'expérience, qu'elle devrait choisir des chemins efficaces et qu'elle devrait s'améliorer continuellement.

L'Algèbre des Knowledge Hooks est régie par cinq lois fondamentales :

1. La Loi de Minimisation : Toujours préférer le chemin avec le moins d'entrée utilisateur. Lorsque plusieurs hooks peuvent atteindre le même résultat, sélectionnez celui nécessitant le moins d'actions (|A| minimal). C'est la force motrice principale de l'ensemble du système—le principe qui exprime directement l'objectif de la technologie à zéro entrée.

2. La Loi de Correction : Les hooks nécessitant une correction de l'utilisateur sont pénalisés par des scores de succès réduits. Cela met en œuvre un apprentissage par renforcement négatif—le système apprend non pas en maximisant les récompenses mais en minimisant les corrections. L'absence de correction est un succès ; la présence de correction indique un échec.

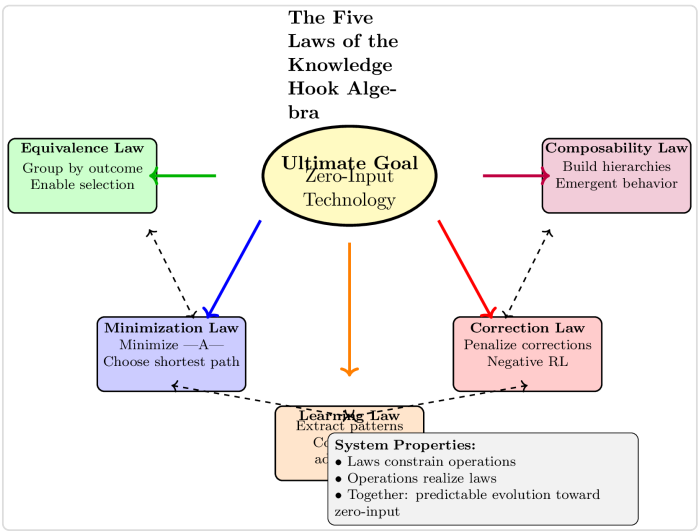
3. La Loi d'Équivalence : Les hooks ayant le même résultat observable appartiennent à la même classe d'équivalence. Cela permet au système de reconnaître quand différentes approches atteignent des résultats identiques, permettant une sélection intelligente parmi les alternatives et la consolidation de modèles redondants.

4. La Loi de Composabilité : Les hooks peuvent être combinés en structures plus grandes et plus complexes grâce à des opérations de composition. Les hooks composites se comportent de manière prévisible en fonction de leurs composants, permettant une organisation hiérarchique et l'émergence

de comportements sophistiqués à partir de primitives simples.

5. La Loi d'Apprentissage : Les deltas de contexte s'accumulent en conditions pondérées, affinant les hooks au fil du temps. Le système apprend continuellement de chaque interaction, extrayant des modèles du comportement observé et adaptant les conditions pour correspondre aux contextes où les actions réussissent.

Ces cinq lois fonctionnent ensemble comme un système intégré. La Loi de Minimisation fixe l'objectif d'optimisation. La Loi de Correction fournit le signal de rétroaction. La Loi d'Équivalence permet la comparaison et la consolidation. La Loi de Composabilité permet l'émergence de comportements complexes à partir de composants simples. Et la Loi d'Apprentissage garantit une adaptation continue vers une meilleure performance.



Pourquoi les Lois Comptent : Les lois transforment le cadre du Knowledge Hook d'une collection de mécanismes en un système mathématique cohérent avec des propriétés prouvables. Elles répondent à des questions critiques :

- Prédictibilité : Comment savons-nous que le système se comportera de manière cohérente ? Les lois garantissent que les hooks suivent des règles prévisibles, empêchant un comportement chaotique ou arbitraire.

- Optimalité : Comment garantir que le système fait de bons choix ? La Loi de Minimisation garantit que, parmi les options équivalentes, le système choisit toujours le chemin le plus efficace.

- Apprentissage : Comment le système s'améliore-t-il au fil du temps ? La Loi d'Apprentissage et la Loi de Correction travaillent ensemble pour mettre en œuvre une forme d'apprentissage par renforcement négatif qui pousse les scores de succès vers 1.0.

- Scalabilité : Comment des hooks simples peuvent-ils se combiner en comportements complexes ? La Loi de Composabilité garantit que la composition préserve les propriétés souhaitables et permet une organisation hiérarchique.

- Efficacité : Comment prévenir la redondance ? La Loi d'Équivalence permet au

système de reconnaître et de consolider les motifs dupliqués.

La Relation avec les Opérations : Chaque loi régit une ou plusieurs opérations que nous avons déjà explorées :

- La Loi de Minimisation régit la priorisation et la sélection d'équivalence, garantissant que le système choisit toujours le chemin le plus court vers l'objectif.

- La Loi de Correction régit les mises à jour d'apprentissage, définissant comment les scores de succès changent en fonction de la survenue de corrections.

- La Loi d'Équivalence régit la détection d'équivalence et la normalisation des poids, permettant au système de regrouper et de fusionner des hooks similaires.

- La Loi de Composabilité régit la composition et le cascading, garantissant que les hooks combinés se comportent de manière prévisible.

- La Loi d'Apprentissage régit l'étape d'apprentissage et le raffinement/généralisation, définissant comment les conditions évoluent à partir des motifs observés.

Comprendre ces lois est essentiel pour des raisons théoriques et pratiques. Théoriquement, elles fournissent une base formelle pour raisonner sur les systèmes

subjectifs—prouvant des propriétés, analysant la convergence et concevant des optimisations. Pratiquement, elles guident les décisions d'implémentation, aidant les développeurs à construire des systèmes qui présentent les bons comportements et évitent les cas pathologiques.

Le Chemin vers Zéro-Input : Le but ultime de ces lois est de formaliser et d'imposer le principe qui guide toute la technologie subjective : la réduction continue de l'entrée utilisateur requise. Les systèmes traditionnels exigent des commandes explicites constantes. Les systèmes subjectifs, régis par ces lois, apprennent progressivement à anticiper les besoins et à agir de manière autonome.

Considérez la trajectoire d'un seul crochet au fil du temps :

Semaine 1 : L'utilisateur effectue manuellement une action. Le système crée un crochet avec de nombreuses conditions (Loi d'apprentissage). Le score de réussite commence bas (~0,5).

Semaines 2-3 : Le crochet se déclenche occasionnellement, nécessitant parfois une correction. Le score de réussite fluctue (Loi de correction). Les conditions sont affinées par des opérations de généralisation et de raffinement (Loi d'apprentissage).

Semaines 4-8 : Le crochet se déclenche régulièrement avec moins de corrections. Le score de réussite augmente vers 0,9. Le système reconnaît les crochets équivalents et les consolide (Loi d'équivalence). Parmi les options équivalentes, la plus efficace est privilégiée (Loi de minimisation).

Semaine 9+ : Le crochet se déclenche de manière fiable avec de rares corrections. Le score de réussite se stabilise près de 1,0. L'action se produit automatiquement dans les bons contextes, nécessitant aucune intervention de l'utilisateur. Le comportement a été entièrement appris.

Cette progression — de l'action manuelle à l'anticipation autonome — n'est pas accidentelle. C'est le résultat inévitable d'un système régi par des lois qui récompensent l'efficacité, pénalisent les erreurs, reconnaissent les motifs, permettent la composition et apprennent continuellement. Les lois garantissent que le système évolue vers un fonctionnement sans entrée.

Implications économiques : Les lois ont également des implications économiques profondes pour la Thermo-Monnaie Subjective (TMS), que nous explorerons en profondeur dans les chapitres suivants. Voici le lien :

- La Loi de minimisation se traduit directement par la minimisation de l'énergie — moins d'actions signifient moins d'énergie physique dépensée.

• La Loi de correction définit le critère de qualité pour les crochets – les crochets qui économisent plus d'énergie (nécessitant moins de corrections) sont plus précieux.

• La Loi d'apprentissage permet au système de découvrir automatiquement des motifs écoénergétiques, sans nécessiter de connaissances d'expert.

• Des crochets de haute qualité (scores de succès élevés) représentent une efficacité cristallisée : une connaissance sur la manière de minimiser la dépense énergétique dans des contextes spécifiques. Ces crochets ont une valeur économique car ils permettent aux utilisateurs d'économiser de l'énergie réelle.

Dans le cadre du STC, les experts qui créent ou affinent des crochets qui obtiennent des scores de succès élevés sont récompensés. Les lois garantissent que ce système de récompense est aligné avec les économies d'énergie réelles : les crochets qui minimisent réellement l'entrée (et donc l'énergie) émergent grâce à la pression de sélection naturelle des Lois de Minimisation et de Correction.

Propriétés Formelles : Les lois confèrent à l'algèbre des Knowledge Hooks plusieurs propriétés formelles importantes qui la distinguent des paradigmes de programmation traditionnels :

1. Convergence : Les systèmes régis par ces lois convergent naturellement vers des configurations stables et efficaces. Contrairement aux programmes traditionnels qui restent statiques, les systèmes Knowledge Hook évoluent vers l'optimalité.

2. Robustesse : Les lois garantissent que le système se dégrade de manière élégante. Les mauvais crochets (scores de succès faibles) sont automatiquement supprimés par la Loi de Correction. Les crochets redondants sont consolidés par la Loi d'Équivalence. Le système se répare de lui-même.

3. Composabilité sans Explosio : Contrairement aux réseaux neuronaux où la composition peut entraîner une croissance exponentielle des paramètres, la composition des Knowledge Hooks reste gérable. La Loi de Composabilité garantit que les crochets composés se comportent de manière prévisible.

4. Interprétabilité : Parce que les crochets ont des conditions et des actions explicites, le comportement du système reste interprétable même s'il devient complexe. Les lois régissent des opérations visibles et compréhensibles plutôt que des transformations opaques.

5. Apprentissage Incrémental : La Loi d'Apprentissage permet une amélioration continue sans oubli catastrophique. De nouveaux motifs sont incorporés tout en préservant les comportements existants réussis.

Structure de Cette Section : Dans les sous-sections suivantes, nous explorerons chaque loi en détail :

- La Loi de Minimisation : L'objectif d'optimisation qui guide toutes les décisions
- La loi de correction : apprentissage par renforcement négatif et dynamique des scores de réussite
- La loi d'équivalence : classification basée sur les résultats et sélection intelligente
- La loi de composabilité : construction de comportements complexes à partir de composants simples
- La loi de l'apprentissage : extraction de motifs et adaptation continue

Chaque sous-section fournira :

- Une déclaration formelle de la loi
- Formalisation mathématique lorsque cela est approprié
- Explication intuitive de ce que signifie la loi
- Comment la loi régit des opérations spécifiques
- Exemples montrant la loi en action
- Implications pour la conception et la mise en œuvre du système

• Connexion aux objectifs plus larges de la technologie zéro-input et de STC

Ensemble, ces lois complètent la spécification formelle de l'algèbre Knowledge Hook. Elles transforment les hooks d'une technique d'implémentation astucieuse en un cadre mathématique rigoureux—un cadre qui non seulement permet la technologie zéro-input mais fournit également la base théorique pour un tout nouveau type de système économique basé sur des économies d'énergie mesurées et vérifiées.

Ce ne sont pas de simples lignes directrices ou meilleures pratiques. Ce sont des principes fondamentaux qui doivent être satisfaits pour qu'un système puisse être qualifié de véritablement subjectif—pour que la technologie apprenne réellement à être vous, à minimiser votre effort, à étendre votre corps et votre esprit dans le monde numérique et physique. Violer ces lois, c'est avoir autre chose : peut-être un système utile, peut-être même intelligent, mais pas un système subjectif au sens précis que nous avons défini.

Examinons maintenant chaque loi à tour de rôle, en comprenant comment elle façonne le comportement des Knowledge Hooks et comment, en travaillant ensemble, ces cinq principes créent des systèmes qui s'approchent de l'idéal de la technologie zéro-input.

3.4.1 La Loi de Minimisation : La Directive Principale

La Loi de Minimisation est le principe fondamental de l'ensemble de l'algèbre Knowledge Hook—la directive principale qui gouverne toutes les autres opérations et pousse le système inexorablement vers la technologie zéro-input. Elle stipule simplement : Toujours préférer le chemin avec le moins d'entrée utilisateur. Bien que simple à énoncer, cette loi a des implications profondes pour le comportement du système, les décisions de conception et, en fin de compte, le cadre économique de la Thermo-Monnaie Subjective.

Énoncé Formelle : Parmi tous les hooks qui pourraient atteindre un résultat souhaité, le système doit sélectionner le hook qui nécessite le minimum d'actions :

$$KH^*(t) = \underset{KH \in \mathcal{H}_{\text{valid}}}{\arg\min} \, |A(KH)|$$

Où :

• KH*(t) est le hook optimal sélectionné au temps t

• $\mathcal{H}$_valid est l'ensemble de tous les hooks dont les conditions correspondent actuellement au contexte

• |A(KH)| est le nombre d'actions dans la séquence d'actions du crochet KH

• arg min sélectionne le crochet avec le nombre d'actions minimum

Si plusieurs crochets sont à égalité avec le même nombre d'actions minimal, le départage se fait par le score de succès :

$$\text{if } |A(KH_1)| = |A(KH_2)| = \min_{KH} |A(KH)| \implies \text{select } KH^* = \arg\max_{KH} S(KH)$$

Cela crée une optimisation à deux niveaux : d'abord minimiser les actions, puis maximiser la fiabilité parmi les options également efficaces.

Pourquoi le nombre d'actions ? Le choix de minimiser |A| plutôt qu'un autre indicateur (temps d'exécution, coût computationnel, etc.) est délibéré et fondamental. Les actions représentent des interventions discrètes dans le monde - des changements d'état qui doivent être effectués. Chaque action :

• Représente un point où un échec pourrait se produire

• Nécessite une dépense d'énergie (soit par l'utilisateur, soit par les appareils)

• Crée de la complexité et un potentiel d'erreurs

• Demande attention et surveillance

En minimisant les actions, nous minimisons simultanément la consommation d'énergie, la probabilité d'erreurs et la charge cognitive. Le nombre d'actions sert de proxy pour le coût

total du système à travers toutes ces dimensions.

La relation inverse entre le contexte et l'entrée : La loi de minimisation existe dans un cadre plus large qui relie la richesse du contexte à l'entrée requise. À mesure que le système accumule plus de contexte (C), la quantité d'entrée explicite de l'utilisateur (U) requise pour atteindre des résultats diminue :

$$U = f(C), \quad \text{where } \frac{\partial U}{\partial C} < 0$$

Cette relation inverse capture l'essence de la technologie subjective : plus le système comprend de choses sur vous et votre situation, moins vous devez lui dire explicitement. Dans la limite, à mesure que le contexte devient parfait (C → ∞), l'entrée requise approche de zéro :

$$\lim_{C \to \infty} U(C) = 0$$

C'est l'idéal de zéro entrée - une technologie qui anticipe les besoins et agit sans nécessiter de commandes explicites. La loi de minimisation est le mécanisme opérationnel qui pousse les systèmes vers cette limite.

Comment la loi de minimisation régit les opérations : La loi de minimisation contrôle directement plusieurs opérations clés que nous avons explorées :

1. Priorisation : Lorsque plusieurs hooks correspondent au contexte actuel, la loi de minimisation détermine lequel se déclenche. Cela a été abordé dans la section Priorisation, mais maintenant nous le voyons comme une application d'une loi fondamentale plutôt que comme un mécanisme isolé.

2. Sélection d'équivalence : Parmi les hooks équivalents (ceux produisant le même résultat), la loi de minimisation impose de sélectionner le plus efficace. Cela garantit que le système prend toujours le chemin le plus court vers n'importe quel objectif.

3. Choix de composition : Lors de la composition de hooks, le système privilégie les compositions qui entraînent moins d'actions au total. Une composition plate pourrait être préférée à une composition imbriquée si elle entraîne une séquence d'actions plus courte, même si la forme imbriquée est plus élégante conceptuellement.

4. Biais d'apprentissage : Lorsque le système apprend de nouveaux hooks à partir du comportement de l'utilisateur, il doit préférer extraire des motifs qui minimisent les actions futures. Si l'utilisateur accomplit une tâche par une séquence

inefficace, le hook appris doit optimiser cette séquence.

5. Décisions de normalisation des poids : Lors de la fusion de hooks similaires, le système doit privilégier la version avec moins d'actions si elles sont également fiables.

Exemple pratique : Réservation de vol. Imaginez trois hooks pour réserver un vol :

KH_1 (Processus Manuel) :

A = [ouvrir_navigateur, naviguer_vers_compagnie_aérienne, rechercher_vols, comparer_prix, sélectionner_vol, entrer_informations_passager, entrer_paiement, confirmer_réservation, enregistrer_confirmation]

$|A_1|$ = 9 actions

KH_2 (Semi-Automatisé) :

A = [commande_vocale('réserver vol pour Tokyo'), confirmer_dates, approuver_paiement]

$|A_2|$ = 3 actions

KH_3 (Entièrement Automatisé) :

A = [réservation_auto_basée_sur_calendrier_et_préférences]

$|A_3|$ = 1 action

La loi de minimisation exige de sélectionner KH_3 (en supposant que les trois peuvent atteindre le résultat souhaité et que KH_3 a un score de succès adéquat). Ce n'est pas simplement pratique—c'est une exigence fondamentale de l'algèbre. Le système DOIT choisir le chemin le plus court.

L'optimisation à deux niveaux : le score de réussite comme critère de départage. Lorsque les hooks ont des comptes d'action égaux, la loi de minimisation se réfère au score de réussite :

$$KH^* = \begin{cases} \arg\min_{KH} |A(KH)| & \text{if unique minimum exists} \\ \arg\max_{KH \in \mathcal{H}_{\min}} S(KH) & \text{if multiple hooks at minimum} \end{cases}$$

Où $\mathcal{H}$_min est l'ensemble des hooks avec le nombre d'actions minimum. Cette approche à deux niveaux garantit que :

1. L'efficacité n'est jamais sacrifiée au profit de la fiabilité

2. Parmi les options également efficaces, nous choisissons la plus fiable

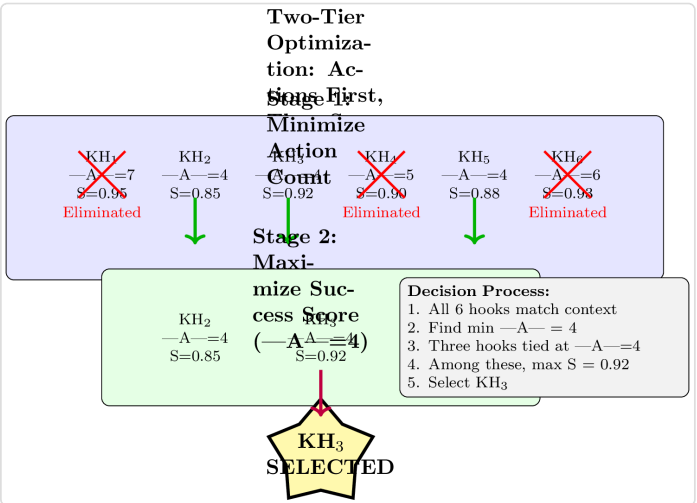
3. Le système évolue vers à la fois l'efficacité ET la qualité

Exemple : Deux hooks nécessitent tous deux 4 actions pour planifier une réunion :

KH_A : |A| = 4, S = 0.85 (nécessite parfois des corrections de participants)

KH_B : |A| = 4, S = 0.92 (nécessite rarement des corrections)

La loi de minimisation ne peut pas les distinguer en fonction du nombre d'actions, elle sélectionne donc KH_B en fonction du score de réussite plus élevé. Cela garantit la qualité lorsque l'efficacité est égale.



Lien avec la minimisation de l'énergie : L'accent mis par la loi de minimisation sur la réduction de l'entrée utilisateur a une interprétation physique directe : elle minimise la dépense énergétique. Chaque action nécessite de l'énergie, que ce soit l'énergie physique de taper, de cliquer ou de parler, ou l'énergie cognitive de décider quoi faire.

Cela crée un pont direct vers la Thermo-Monnaie Subjective (STC). Dans le cadre STC :

$$E_{\text{total}} = E_{\text{user}} + E_{\text{device}}$$

Où E_user est l'énergie dépensée par l'utilisateur (mouvements musculaires, effort cognitif) et E_device est l'énergie consommée par les appareils exécutant des actions. En minimisant |A|, nous minimisons les deux composants :

- Moins d'actions de l'utilisateur → moins d'E_user (moins de clics, de frappes, de commandes)

- Moins d'actions des appareils → moins d'E_device (moins d'appels API, de calculs, de transmissions)

La Loi de Minimisation devient ainsi une loi de conservation de l'énergie—un principe qui s'aligne naturellement avec la thermodynamique physique. Cet alignement est ce qui rend le STC possible : nous pouvons mesurer la valeur des Knowledge Hooks en unités d'énergie physique (joules) économisées.

Convergence vers la technologie à zéro entrée : La Loi de Minimisation crée une pression évolutive vers une technologie à zéro entrée. Au fil du temps :

Semaine 1 : Plusieurs hooks existent avec des comptes d'actions variés. Le système sélectionne et utilise préférentiellement des hooks avec moins d'actions.

Semaine 4 : Les hooks avec de nombreuses actions voient peu d'utilisation, leurs scores de succès stagnent ou déclinent. Les hooks efficaces accumulent l'utilisation et des scores plus élevés.

Semaine 12 : Grâce à l'affinement et à l'apprentissage, de nouveaux hooks émergent qui atteignent des objectifs avec encore moins d'actions. Ceux-ci dominent immédiatement en raison de la Loi de Minimisation.

Semaine 26 : Le système a convergé vers le nombre d'actions minimum possible pour chaque objectif. D'autres améliorations ne viennent que par des approches fondamentalement nouvelles ou une meilleure compréhension du contexte.

L'état final est une technologie qui nécessite un minimum ou aucun input explicite : le système anticipe les besoins et agit de manière autonome en fonction du contexte. La Loi de Minimisation garantit cette convergence.

Violations et Pathologies : Que se passe-t-il si un système viole la Loi de Minimisation ? Les conséquences sont immédiates et sévères :

Frustration de l'utilisateur : Si le système choisit un crochet à 7 actions alors qu'un crochet à 3 actions est disponible, les utilisateurs éprouvent une friction inutile.

Ils peuvent contourner manuellement ou abandonner le système.

Gaspi d'énergie : Choisir des chemins inefficaces gaspille à la fois l'énergie de l'utilisateur et celle de l'appareil, contredisant les objectifs fondamentaux de la technologie subjective.

Désalignement économique : Dans un système STC, violer la Loi de Minimisation signifie récompenser des solutions inefficaces, créant des incitations perverses qui sapent l'ensemble du modèle économique.

Échec d'apprentissage : Sans la Loi de Minimisation, le système n'a pas d'objectif d'optimisation clair. L'apprentissage devient sans direction : le système pourrait apprendre des comportements complexes et inefficaces plutôt que des comportements simples et efficaces.

Un système qui viole la Loi de Minimisation n'est pas simplement suboptimal : il échoue fondamentalement à être une technologie subjective. La loi n'est pas optionnelle ; elle définit ce que signifie minimiser l'effort de l'utilisateur.

Considérations d'implémentation : Mettre en œuvre la Loi de Minimisation nécessite une attention particulière à plusieurs détails :

1. Granularité des actions : Qu'est-ce qui compte comme "une action" ? La définition doit être cohérente. Ouvrir un fichier peut être

une action, mais est-ce que "ouvrir un fichier et faire défiler jusqu'à la page 5" compte comme une ou deux actions ? En général, les opérations atomiques qui ne peuvent pas être décomposées davantage sont considérées comme des actions uniques.

2. Actions cachées : Certains crochets peuvent avoir des actions de configuration ou de démontage cachées non visibles dans A. Celles-ci doivent être incluses dans |A| pour une comparaison équitable. Un crochet avec A = [action1] mais des opérations cachées étendues n'est pas réellement plus efficace.

3. Actions asynchrones : Les actions qui s'exécutent de manière asynchrone (par exemple, l'envoi d'un e-mail en arrière-plan) comptent toujours pour |A|. La loi de minimisation se préoccupe du nombre de changements d'état, pas de leur timing.

4. Hooks composés : Lorsque les hooks sont composés, |A| doit refléter le nombre total d'actions, y compris les sous-hooks. Une composition imbriquée avec un parent de 2 actions et un enfant de 3 actions a |A| = 5, pas 2.

5. Confirmations utilisateur : Les actions qui nécessitent une confirmation de l'utilisateur (comme approuver un paiement) comptent comme des actions. Un processus entièrement automatisé avec |A| = 5 est préférable à un processus semi-automatisé avec

|A| = 3 + confirmation uniquement si la confirmation est comptée.

Relation avec d'autres lois : La loi de minimisation interagit avec et contraint les quatre autres lois :

Loi de correction : Ces lois fonctionnent ensemble. La loi de minimisation sélectionne des hooks efficaces ; la loi de correction garantit qu'ils sont fiables. Un hook avec un |A| minimal mais des corrections fréquentes sera finalement remplacé par une alternative légèrement plus longue mais plus fiable à mesure que les scores de succès évoluent.

Loi d'équivalence : La loi de minimisation détermine quel hook équivalent utiliser - toujours le plus efficace. L'équivalence fournit le cadre pour reconnaître quand les hooks atteignent le même objectif ; la minimisation décide lequel privilégier.

Loi de composabilité : La composition doit respecter la minimisation. Lors de la construction de hooks complexes à partir de simples, l'objectif est d'atteindre le minimum total de |A|. La loi de composabilité permet de créer des blocs ; la loi de minimisation guide leur assemblage.

Loi d'apprentissage : L'apprentissage est dirigé par la minimisation. Lors de l'extraction de motifs du comportement des utilisateurs, le système doit apprendre la version la plus efficace qui accomplit

l'objectif apparent de l'utilisateur, et non simplement reproduire leurs actions exactes.

Ensemble, ces cinq lois créent un système cohérent où l'efficacité, la fiabilité, la composition et l'apprentissage travaillent tous vers le même objectif ultime : la technologie sans entrée.

Implications philosophiques : La loi de minimisation représente un changement fondamental dans notre façon de penser l'interaction homme-machine et la conception technologique. Les systèmes traditionnels optimisent pour la complétude, les fonctionnalités ou les capacités. La loi de minimisation optimise pour l'absence - pour ce que l'utilisateur n'a PAS à faire.

C'est profond : la technologie n'est pas jugée par ce qu'elle peut faire, mais par ce qu'elle vous permet d'éviter de faire. La meilleure technologie est invisible, anticipative et sans effort. La Loi de Minimisation formalise cette intuition en une exigence mathématique précise qui guide l'évolution des systèmes.

Dans le contexte de STC, cela devient encore plus significatif. En minimisant les actions (et donc l'énergie), nous créons une valeur économique mesurable. Chaque action évitée est de l'énergie économisée, et l'énergie économisée peut être quantifiée, créditée et récompensée. La Loi de Minimisation devient

ainsi le pont entre l'efficacité abstraite et la valeur économique concrète.

Conclusion : La Directive Principale. La Loi de Minimisation n'est pas simplement une loi parmi d'autres - c'est la directive principale à partir de laquelle beaucoup du comportement de l'algèbre émerge. Elle répond à la question fondamentale : parmi plusieurs options, laquelle devrions-nous choisir ? La réponse : toujours la plus efficace.

Cette loi transforme les Knowledge Hooks d'une technique d'automatisation astucieuse en un cadre d'optimisation rigoureux. Elle garantit que les systèmes construits sur cette algèbre évoluent inévitablement vers un fonctionnement sans entrée, créant à la fois la meilleure expérience utilisateur et les économies d'énergie maximales.

Dans les sections qui suivent, nous explorerons comment les quatre autres lois complètent et contraignent la Loi de Minimisation, créant une algèbre complète qui permet une technologie véritablement subjective - des systèmes qui apprennent à être vous en apprenant à minimiser votre effort, automatiquement et continuellement, tendant éternellement vers l'idéal sans entrée où la technologie agit avant même que vous ne réalisiez que vous vouliez qu'elle le fasse.

3.4.2 La Loi de Correction : Apprentissage par Renforcement

Négatif

La Loi de Correction met en œuvre le mécanisme de rétroaction qui permet aux Knowledge Hooks d'apprendre et de s'améliorer au fil du temps. Elle stipule : les Hooks qui nécessitent une correction de l'utilisateur sont pénalisés par une diminution des scores de succès. Cela crée une forme d'apprentissage par renforcement négatif où l'absence de correction est considérée comme un succès, et la présence de correction indique un échec. Au fil du temps, cela pousse la probabilité de corrections vers zéro, créant des systèmes qui nécessitent rarement l'intervention de l'utilisateur.

Déclaration Formelle : Après chaque activation de hook, le score de succès est mis à jour en fonction de la survenue d'une correction :

$$S(t+1) = (1-\alpha)S(t) + \alpha \cdot \mathbb{1}[\text{Corr}_t = 0]$$

Où :

- S(t) est le score de succès actuel
- S(t+1) est le score de succès mis à jour
- α ∈ (0,1] est le taux d'apprentissage contrôlant la vitesse d'adaptation
- 𝟙[Corr_t = 0] est une fonction indicatrice : égale à 1 si aucune correction n'est survenue, égale à 0 si une correction était nécessaire

• Corr_t ∈ {0,1} indique si l'utilisateur a corrigé l'action du crochet à l'instant t

Cette règle de mise à jour encode un principe puissant : le silence est une approbation. Si l'utilisateur ne corrige pas l'action du crochet, cette absence de correction est interprétée comme un succès. Si l'utilisateur la corrige, le score de succès diminue. Le système apprend non pas en recevant des retours positifs explicites, mais en minimisant le besoin de retours négatifs.

Renforcement négatif vs. renforcement positif : La loi de correction représente un paradigme d'apprentissage fondamentalement différent de l'apprentissage par renforcement traditionnel :

RL traditionnel (renforcement positif) :

• Le système cherche à maximiser la récompense : max Σ r_t

• Nécessite des signaux de récompense explicites de l'environnement

• Optimise pour la valeur cumulative future

• Équation de Bellman : V(s) = max_a [r(s,a) + γ·V(s')]

Loi de correction (renforcement négatif) :

• Le système cherche à minimiser les corrections : min Σ Corr_t

• Apprend de l'absence de correction (approbation implicite)

• Optimise pour une précision immédiate (sans remise sur le futur)

• Mise à jour du succès : $S(t+1) = (1-\alpha)S(t) + \alpha \cdot \mathbb{1}[Corr_t = 0]$

L'idée clé est que l'équation de Bellman optimise pour les récompenses externes, tandis que la Loi de correction optimise pour la minimisation de l'effort utilisateur. Les états futurs n'ont pas d'importance : seul compte si l'interaction présente a nécessité une correction. Cela s'aligne parfaitement avec l'objectif de la technologie sans saisie : nous voulons des crochets qui fonctionnent maintenant, sans correction, indépendamment de la stratégie à long terme.

Qu'est-ce qui compte comme une correction ? Détecter les corrections avec précision est essentiel pour que la Loi de correction fonctionne correctement. Une correction est toute saisie utilisateur qui modifie ou annule l'action du crochet dans une fenêtre temporelle (généralement 10 à 30 secondes) après l'activation. Les exemples incluent :

Corrections directes :

• Appuyer sur 'Annuler' immédiatement après que le crochet se soit déclenché

• Utiliser une fonction de retour en arrière pour inverser les actions du crochet

• Désactiver explicitement le hook via l'interface utilisateur

Corrections implicites :

• Changer manuellement un paramètre que le hook vient de modifier

• Supprimer ou modifier le contenu créé par le hook

• Répéter une action que le hook vient d'effectuer (suggérant un mécontentement)

• Effectuer une action qui contredit l'intention du hook

Le système doit distinguer les corrections de l'activité normale de l'utilisateur. Si un hook planifie une réunion à 15h et que l'utilisateur la change à 15h30 trois heures plus tard, c'est probablement un changement de programme légitime, pas une correction. La proximité temporelle est clé : les corrections se produisent généralement immédiatement après le déclenchement du hook. :30

$$\text{Corr}_t = 1 \iff \exists\, \text{user_action} \in [t, t + \Delta t] \text{ that contradicts KH's action}$$

Où Δt est la fenêtre de correction (généralement 10 à 30 secondes). Les actions en dehors de cette fenêtre ne sont pas considérées comme des corrections.

Le taux d'apprentissage α : Le taux d'apprentissage contrôle la rapidité avec laquelle les scores de succès s'adaptent aux

nouvelles preuves. Ce paramètre équilibre la stabilité et la réactivité :

Élevé α (par exemple, 0,3-0,5) :

- Adaptation rapide aux performances récentes
- Une seule correction a un grand impact sur le score
- Plus volatile, peut réagir de manière excessive aux anomalies
- Bon pour les modèles en évolution rapide ou les nouveaux hooks

Faible α (par exemple, 0,05-0,15) :

- Apprentissage lent et stable
- Une seule correction a un petit impact
- Plus robuste aux erreurs occasionnelles
- Bon pour les hooks établis avec des modèles stables

L'α optimal peut être adaptatif, commençant haut pour les nouveaux hooks et diminuant à mesure qu'ils accumulent de l'utilisation :

$$\alpha(n) = \alpha_{\max} \cdot e^{-\lambda n} + \alpha_{\min}$$

Où n est le nombre de fois que le crochet a été déclenché, et λ contrôle le taux de déclin. Cela donne aux nouveaux crochets une

grande plasticité tout en fournissant aux crochets établis de la stabilité.

Analyse de convergence : Selon la loi de correction, les scores de succès convergent vers des valeurs qui reflètent la véritable fiabilité des crochets. Analysons la dynamique :

Cas 1 : Crochet parfait (n'a jamais besoin de correction)

Si Corr_t = 0 pour tout t, alors $\mathbb{1}$[Corr_t = 0] = 1 toujours :

$$S(t+1) = (1-\alpha)S(t) + \alpha \cdot 1 = (1-\alpha)S(t) + \alpha$$

C'est une récurrence linéaire avec un point fixe à S* = 1. Lorsque t → ∞, S(t) → 1.0. Les crochets parfaits atteignent des scores parfaits.

Cas 2 : Crochet échoué (a toujours besoin de correction)

Si Corr_t = 1 pour tout t, alors $\mathbb{1}$[Corr_t = 0] = 0 toujours :

$$S(t+1) = (1-\alpha)S(t) + \alpha \cdot 0 = (1-\alpha)S(t)$$

Ce déclin géométrique pousse S(t) → 0 de manière exponentielle. Les crochets échoués approchent rapidement un score de zéro.

Cas 3 : Crochet partiellement fiable (p probabilité de succès)

Si les corrections se produisent avec une probabilité (1-p), la mise à jour attendue est :

$$\mathbb{E}[S(t+1)] = (1-\alpha)S(t) + \alpha \cdot p$$

Cela converge vers S* = p. Un crochet qui fonctionne 80 % du temps converge vers S ≈ 0,8. Les scores de réussite reflètent avec précision la fiabilité.

Le taux de correction attendu : à mesure que les crochets apprennent et s'améliorent, le taux de correction diminue. Définissez le taux de correction au temps t :

$$\rho(t) = \frac{\sum_{\tau=1}^{t} \mathrm{Corr}_\tau}{t}$$

C'est la fraction des activations qui nécessitaient une correction. À mesure que le système apprend, ρ(t) → 0. C'est la formalisation mathématique de la convergence à zéro entrée : les corrections deviennent de plus en plus rares.

L'entrée totale des utilisateurs au fil du temps devient :

$$U_{\text{total}} = U_0 + \sum_{t=1}^{T} \text{Corr}_t$$

Où U_0 est l'entrée initiale (par exemple, enseigner le crochet initialement) et la somme représente toutes les corrections ultérieures. Puisque Corr_t → 0, l'entrée moyenne par pas de temps tend vers zéro :

$$\lim_{T\to\infty} \frac{U_{\text{total}}}{T} = \lim_{T\to\infty} \frac{U_0 + \sum_{t=1}^{T} \text{Corr}_t}{T} = 0$$

Cela prouve que les systèmes régis par la loi de correction convergent vers un fonctionnement à zéro entrée.

Suppression et élagage : la loi de correction crée naturellement un contrôle de qualité grâce aux scores de réussite. Les crochets avec de faibles scores sont progressivement marginalisés :

Seuil de suppression (S < 0,3) :

Les crochets en dessous de ce seuil sont supprimés - ils restent dans le système mais ne s'activent pas à moins que leurs conditions soient si spécifiques qu'aucun autre crochet ne corresponde. Cela empêche les mauvais crochets de déranger les utilisateurs tout en permettant une récupération potentielle si les circonstances changent.

Seuil de suppression (S < 0,1) :

Les hooks qui tombent en dessous de ce seuil et qui n'ont pas été utilisés récemment (par exemple, depuis plus de 30 jours) sont automatiquement supprimés pour libérer des ressources. Cela empêche le système d'accumuler indéfiniment des hooks inutiles.

Boost de priorité (S > 0,9) :

Les hooks avec des scores de succès très élevés reçoivent la priorité lors de l'évaluation et peuvent être promus au statut "de confiance", où ils s'exécutent avec un minimum de supervision ou de confirmation.

Ce système par niveaux garantit que seuls les hooks de haute qualité façonnent activement l'expérience utilisateur, tandis que les mauvais hooks s'estompent naturellement.

Décroissance temporelle : Dimension supplémentaire. Au-delà des corrections, les scores de succès peuvent décroître lentement au fil du temps si un hook n'a pas été utilisé récemment :

$$S(t + \Delta t) = S(t) \cdot e^{-\lambda \Delta t}$$

Où λ est une petite constante de décroissance (par exemple, 0,001 par jour) et Δt est le temps écoulé depuis la dernière activation. Cela garantit que le système reste

à jour : les hooks basés sur d'anciens modèles perdent progressivement leur influence s'ils ne sont pas utilisés, même s'ils n'ont jamais échoué explicitement.

Cette décroissance temporelle empêche les hooks obsolètes de persister indéfiniment. Un hook qui était parfait il y a six mois mais qui n'est plus pertinent verra progressivement son score diminuer, laissant place à de nouveaux modèles qui correspondent mieux au comportement actuel.

Relation avec la loi de minimisation : La loi de correction et la loi de minimisation fonctionnent ensemble de manière synergique :

• Loi de minimisation : Sélectionne les hooks avec le moins d'actions (efficacité)

• Loi de correction : Garantit que les hooks sélectionnés fonctionnent de manière fiable (qualité)

Ensemble, ils créent une optimisation bidimensionnelle :

$$\text{optimal hook} = \arg\min_{KH} |A(KH)| \text{ subject to } S(KH) > \theta$$

Où θ est un score de succès minimum acceptable. Cela empêche le système de choisir des crochets ultra-efficaces qui échouent constamment. Un crochet à 1 action avec S=0.3 est pire qu'un crochet à 3 actions avec S=0.95 car les corrections fréquentes du premier crochet ajoutent plus d'entrée utilisateur que les actions supplémentaires du second.

Exemple pratique : Réponse automatique par e-mail. Considérons un crochet qui répond automatiquement à certains e-mails :

Semaine 1 : Le crochet commence avec $S_0 = 0.5$ (neutre). Il se déclenche 10 fois, l'utilisateur corrige 6 réponses (ajoute des détails, change le ton, etc.) :

$$S_1 = 0.5 \cdot (0.7)^6 \cdot (1.3)^4 \approx 0.45$$

Le score diminue légèrement en raison des corrections fréquentes.

Semaine 4 : Le crochet a appris de meilleurs modèles. Il se déclenche 10 fois, seulement 2 corrections :

$$S_4 = 0.45 \cdot (0.7)^2 \cdot (1.3)^8 \approx 0.72$$

Le score augmente à mesure que la fiabilité s'améliore.

Semaine 12 : Le crochet est bien entraîné. Il se déclenche 10 fois, zéro correction :

$$S_{12} = 0.72 \cdot (1.3)^{10} \approx 0.94$$

Le score approche 1.0 à mesure que le crochet produit constamment des réponses acceptables sans correction.

Lien avec l'énergie et le STC : La loi de correction a des implications économiques directes dans le cadre de la Thermo-Monnaie

Subjective. Chaque correction représente de l'énergie gaspillée - l'utilisateur doit dépenser un effort cognitif et physique pour corriger l'erreur du crochet. Minimiser les corrections minimise donc le gaspillage d'énergie.

Dans STC, les crochets avec des scores de réussite élevés (peu de corrections) sont plus précieux car ils permettent d'économiser plus d'énergie. Le score de réussite devient une mesure directe de l'efficacité énergétique :

$$E_{\text{saved}} = (1 - \rho(t)) \cdot E_{\text{manual}}$$

Où E_manual est l'énergie requise pour effectuer la tâche manuellement, et ρ(t) est le taux de correction. À mesure que ρ→0, les économies d'énergie approchent le coût manuel total. Les crochets qui ne nécessitent aucune correction économisent un maximum d'énergie et ont donc une valeur économique maximale.

Les récompenses des experts dans STC sont liées aux scores de réussite : les créateurs de crochets à haut score reçoivent proportionnellement plus de compensation car leurs crochets offrent des économies d'énergie plus fiables.

Considérations d'implémentation : L'implémentation de la loi de correction nécessite une attention particulière à plusieurs détails :

1. Fenêtre de détection de correction : La fenêtre Δt (généralement de 10 à 30 secondes) doit être ajustée pour différents domaines. Les activités rapides peuvent nécessiter des fenêtres plus courtes ; les tâches délibérées peuvent nécessiter des fenêtres plus longues.

2. Corrections partielles : Que se passe-t-il si l'utilisateur ne corrige qu'en partie l'action d'un crochet (par exemple, modifie 1 des 3 champs) ? Les implémentations pourraient utiliser des corrections fractionnaires : $Corr_t \in [0,1]$ en fonction de l'étendue de la modification.

3. Faux positifs : L'activité normale de l'utilisateur qui suit un déclenchement de crochet ne doit pas être confondue avec une correction. Le système doit comprendre la relation sémantique entre l'action du crochet et l'action subséquente de l'utilisateur.

4. Mises à jour par lot : Pour plus d'efficacité, les mises à jour des scores de réussite peuvent être regroupées plutôt que calculées après chaque activation individuelle, tant que les dynamiques d'apprentissage effectives restent similaires.

5. Scores initiaux : Les nouveaux crochets commencent avec $S_0 \in [0.5, 0.7]$. Les crochets d'experts prédéfinis peuvent commencer plus haut (S_0=0.8) en raison de la qualité supposée. Les crochets appris commencent neutres (S_0=0.5) jusqu'à ce qu'ils fassent leurs preuves.

Comparaison avec l'équation de Bellman : La mise à jour de la loi de correction est structurellement similaire à l'équation de Bellman de l'apprentissage par renforcement classique, mais inversée dans sa philosophie :

Équation de Bellman :

$$V(s) = \max_a \left[r(s,a) + \gamma \sum_{s'} P(s'|s,a) V(s') \right]$$

Maximise la récompense externe plus la valeur future actualisée.

Loi de correction :

$$S(t+1) = (1-\alpha) S(t) + \alpha \cdot \mathbb{1}[\text{Corr}_t = 0]$$

Minimise les corrections (négatif de l'entrée utilisateur) dans le moment présent, sans remise sur le futur.

L'équation de Bellman dit "maximiser la récompense cumulative attendue." La Loi de correction dit "minimiser l'effort immédiat de l'utilisateur." Cette distinction reflète les différents objectifs : le RL traditionnel optimise le succès de l'agent dans un environnement ; la Loi de correction optimise la commodité de l'utilisateur dans le présent.

Implications philosophiques : La Loi de correction incarne un changement profond dans la façon dont les systèmes apprennent. L'apprentissage automatique traditionnel nécessite des données d'entraînement

étiquetées - des exemples explicites de comportement correct. La Loi de correction nécessite seulement des retours négatifs - être informé lorsque vous avez tort. C'est ainsi que les humains apprennent souvent dans la vie réelle : nous essayons des choses, et si personne ne nous corrige, nous supposons que nous sommes sur la bonne voie.

Ce paradigme "le silence est une approbation" rend l'apprentissage naturel et sans effort du point de vue de l'utilisateur. Les utilisateurs ne forment pas le système ; ils l'utilisent simplement et le corrigent occasionnellement. Le fardeau de l'apprentissage est entièrement transféré au système.

De plus, la Loi de correction crée une asymétrie : le mauvais comportement est bruyamment puni (diminution immédiate du score), tandis que le bon comportement est récompensé discrètement (augmentation progressive du score). Cela correspond à la psychologie humaine : nous remarquons et réagissons aux échecs plus fortement qu'aux succès. La loi formalise cette asymétrie dans la dynamique d'apprentissage.

Conclusion : Le moteur de rétroaction. La Loi de correction est le moteur qui propulse les Knowledge Hooks d'une fiabilité initiale vers une précision parfaite. Grâce à un renforcement négatif continu, les hooks apprennent quelles actions fonctionnent et lesquelles ne fonctionnent pas, accumulant

progressivement des scores de succès qui reflètent la véritable fiabilité.

Associée à la Loi de minimisation (qui sélectionne des hooks efficaces) et à la Loi d'apprentissage (qui adapte les conditions), la Loi de correction garantit que les systèmes construits sur cette algèbre évoluent naturellement vers un fonctionnement sans entrée. Les hooks qui fonctionnent de manière fiable sans correction dominent ; les hooks qui échouent tombent dans l'obscurité.

Cela crée la base pour la Thermo-Monnaie Subjective : les hooks avec des scores de réussite élevés représentent des économies d'énergie prouvées, et leurs créateurs méritent une compensation proportionnelle à la valeur qu'ils apportent. La Loi de Correction n'améliore pas seulement l'expérience utilisateur, elle crée une valeur économique mesurable en quantifiant la fiabilité à travers des scores de réussite qui se traduisent directement par l'efficacité énergétique.

Dans la section suivante, nous explorerons la Loi d'Équivalence, qui permet au système de reconnaître quand différents hooks atteignent les mêmes objectifs, optimisant ainsi davantage le chemin vers une technologie sans entrée.

3.4.3 La Loi d'Équivalence : Reconnaître les mêmes résultats

La Loi d'Équivalence est le principe de classification de l'algèbre des Knowledge Hooks - la loi qui détermine quand différents hooks doivent être considérés comme fonctionnellement identiques malgré des implémentations différentes. Elle stipule : Les hooks avec le même résultat observable appartiennent à la même classe d'équivalence. Cette loi permet au système de reconnaître que plusieurs chemins peuvent mener à la même destination, permettant une sélection intelligente parmi les alternatives en fonction de l'efficacité, de la fiabilité et du contexte.

Alors que la Loi de Minimisation nous dit de préférer moins d'actions et que la Loi de Composabilité nous dit comment construire des comportements complexes, la Loi d'Équivalence répond à une question plus fondamentale : *Quand deux hooks font-ils la même chose ?* Cette question est cruciale pour l'optimisation, la déduplication et l'apprentissage - sans savoir quels hooks sont équivalents, le système ne peut pas choisir intelligemment parmi eux.

Déclaration Formelle

Loi d'Équivalence : Deux hooks KH_1 et KH_2 sont équivalents, notés $KH_1 \equiv KH_2$, si et seulement s'ils produisent des résultats indistinguables

lorsqu'ils sont exécutés dans le même contexte :

$$KH_1 \equiv KH_2 \iff \forall C : \text{outcome}(KH_1, C) = \text{outcome}(KH_2, C)$$

Où :

• $\forall C$ signifie "pour tous les contextes" où les deux hooks pourraient potentiellement se déclencher • $\text{outcome}(KH, C)$ représente l'état final observable du système après l'exécution du hook KH dans le contexte C • $=$ désigne l'égalité d'état (toutes les propriétés observables sont identiques)

Insight Critique : L'équivalence est définie par les résultats observables, et non par la structure des hooks eux-mêmes. Des hooks avec des conditions complètement différentes, des séquences d'actions différentes et des représentations internes différentes peuvent encore être équivalents s'ils produisent le même état final.

Exemple Simple : Trois Façons d'Allumer des Lumières

Considérez trois déclencheurs pour allumer les lumières du salon :

KH_1 : Conditions : {time=18:00, location=home} → Actions : {lights.living_room.state = ON}

KH_2 : Conditions : {sunset=true, location=home} → Actions : {lights.living_room.brightness = 100%}

KH_3 : Conditions : {darkness_level>80%, location=living_room} → Actions : {turn_on(lights.living_room)}

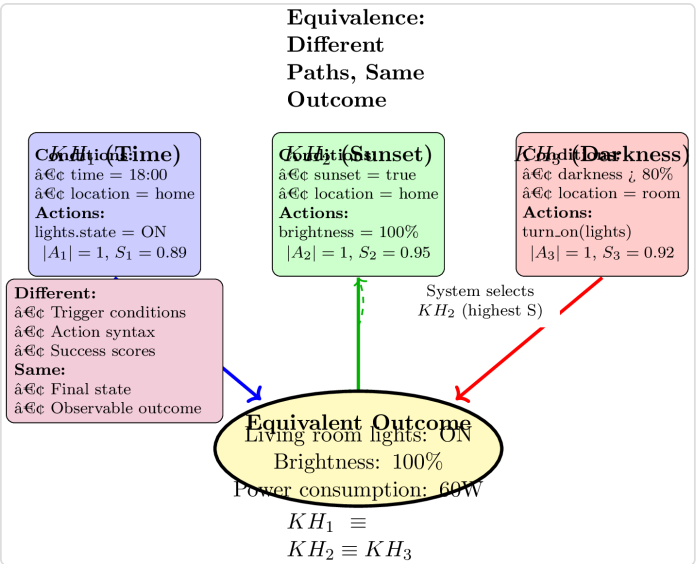
Ces trois déclencheurs ont :

• Différentes conditions : basées sur le temps vs. basées sur le coucher de soleil vs. basées sur l'obscurité • Différentes spécifications d'action : state=ON vs. brightness=100% vs. commande turn_on() • Différents modèles de déclenchement : ils peuvent se déclencher à des moments légèrement différents

Pourtant, ils sont fonctionnellement équivalents : ils entraînent tous l'allumage des lumières du salon à pleine luminosité :

$$KH_1 \equiv KH_2 \equiv KH_3$$

Le système reconnaît cette équivalence et peut choisir intelligemment parmi eux en fonction des conditions qui sont les plus fiablement satisfaites dans le contexte actuel et de celle qui a le score de réussite le plus élevé.



Classes d'équivalence

La relation d'équivalence partitionne l'ensemble de tous les déclencheurs en classes d'équivalence - groupes de déclencheurs qui produisent les mêmes résultats :

$$[KH] = \{KH' \mid KH' \equiv KH\}$$

Où $[KH]$ désigne la classe d'équivalence contenant le crochet KH. Tous les crochets de la même classe sont interchangeables du point de vue du résultat, bien qu'ils puissent différer en :

• Efficacité : Nombre d'actions requises ($|A|$) • Fiabilité : Score de réussite (S) • Applicabilité : Quels contextes les

déclenchent (R) • Type : Appris vs. prédéfini

Cette partition est mathématiquement bien comportée car la relation d'équivalence satisfait trois propriétés requises :

1. Réflexive : Chaque crochet est équivalent à lui-même :

$$\forall KH : KH \equiv KH$$

2. Symétrique : Si KH_1 est équivalent à KH_2, alors KH_2 est équivalent à KH_1 :

$$KH_1 \equiv KH_2 \implies KH_2 \equiv KH_1$$

3. Transitive : Si $KH_1 \equiv KH_2$ et $KH_2 \equiv KH_3$, alors $KH_1 \equiv KH_3$:

$$KH_1 \equiv KH_2 \land KH_2 \equiv KH_3 \implies KH_1 \equiv KH_3$$

Ces propriétés garantissent que les classes d'équivalence partitionnent l'espace des crochets de manière claire : chaque crochet appartient à exactement une classe d'équivalence, et les classes ne se chevauchent jamais.

Équivalence et la Loi de Minimisation

La Loi d'Équivalence fonctionne main dans la main avec la Loi de Minimisation. La Loi de Minimisation stipule : "Préférez toujours le chemin avec le moins d'entrée utilisateur." Lorsque plusieurs crochets sont équivalents (même résultat), cette loi impose de sélectionner le plus efficace :

$$\text{if } KH_1 \equiv KH_2 \text{ and } |A_1| < |A_2| \implies \text{prefer } KH_1$$

Cela crée une pression d'optimisation naturelle : le système évolue vers les moyens les plus efficaces d'atteindre chaque résultat, élaguant ou déclassant automatiquement les hooks équivalents inefficaces.

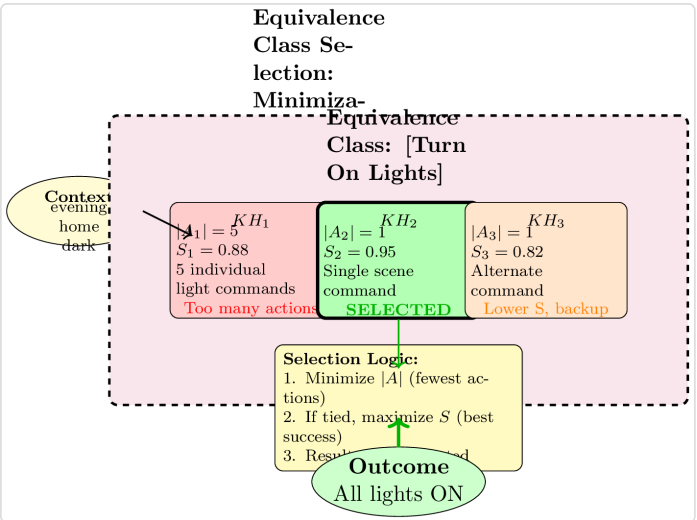
Algorithme de Sélection : Lorsque plusieurs crochets équivalents pourraient se déclencher dans un contexte donné, le système utilise cette priorisation :

$$KH^* = \underset{KH \in [KH_{\text{equiv}}]}{\arg\min} |A|$$

Sélectionnez le crochet avec le moins d'actions. En cas d'égalité sur le nombre d'actions :

$$\text{if } |A_1| = |A_2| \implies KH^* = \underset{KH}{\arg\max} S$$

Sélectionnez le crochet avec le score de réussite le plus élevé.



Détection d'équivalence

Déterminer si deux crochets sont équivalents n'est pas toujours trivial, surtout lorsque les actions utilisent différentes API ou syntaxes de commande. Le système emploie plusieurs stratégies :

1. Analyse syntaxique : Comparez les états finaux spécifiés dans les actions. Si KH_1 définit `lights.state = ON` et KH_2 définit `lights.brightness = 100%`, le système reconnaît ces actions comme équivalentes s'il comprend que ON implique une luminosité de 100%.

2. Analyse sémantique : Utilisez des connaissances de domaine sur les appareils et leurs états. Le système sait que `turn_on(lights)`, `set_brightness(lights,

100)` et `set_state(lights, ON)` produisent tous le même résultat.

3. Observation empirique : Exécutez les deux crochets dans des contextes contrôlés et observez si les états résultants sont identiques. Si les crochets produisent systématiquement le même C_{t+1} à partir du même C_t, ils sont empiriquement équivalents.

4. Annotation par l'utilisateur : Permettre aux experts de marquer explicitement les crochets comme équivalents lors de la création de crochets prédéfinis, fournissant une vérité de base pour que le système puisse apprendre.

Équivalence dépendante du contexte

Une subtilité importante : deux crochets peuvent être équivalents dans certains contextes mais pas dans d'autres. Considérez :

KH_A : Si {morning} → Allumer les lumières KH_B : Si {morning} → Ouvrir les rideaux

Ces éléments sont équivalents *en été* (lorsque l'ouverture des rideaux fournit suffisamment de lumière), mais pas équivalents *en hiver* (lorsque les rideaux ne fournissent pas assez de lumière). La relation d'équivalence peut être paramétrée par le contexte :

$$KH_1 \equiv_C KH_2 \iff \text{outcome}(KH_1, C) = \text{outcome}(KH_2, C)$$

Le système suit ces équivalences conditionnelles pour faire des sélections appropriées au contexte.

Scores d'Équivalence et de Succès

Il est intéressant de noter que des hooks équivalents peuvent avoir des scores de succès différents même s'ils produisent le même résultat. Pourquoi ? Parce que les scores de succès mesurent la fiabilité et la fréquence des corrections, pas seulement les résultats :

• Le Hook A pourrait atteindre le résultat mais nécessiter occasionnellement des corrections • Le Hook B atteint le même résultat avec moins de corrections

Bien qu'ils soient équivalents (même état final), le Hook B est plus fiable et aura un score de succès plus élevé. Le système préférera le Hook B lorsque les deux pourraient s'activer, apprenant progressivement quelle approche équivalente est la plus fiable.

Applications Pratiques de l'Équivalence

Comprendre l'équivalence présente plusieurs avantages pratiques :

1. Optimisation par Sélection : Lorsque plusieurs hooks équivalents pourraient s'activer, le système peut sélectionner intelligemment le plus efficace, servant directement la Loi de Minimisation.

2. Dé-duplication : Si le système détecte plusieurs hooks dans la même classe d'équivalence avec des conditions similaires, ils peuvent potentiellement être fusionnés ou l'un peut être désactivé pour réduire la redondance :

$$\text{if } KH_1 \equiv KH_2 \wedge R_1 \approx R_2 \implies \text{merge}(KH_1, KH_2)$$

Cela empêche le système de maintenir plusieurs crochets presque identiques.

3. Robustesse par Redondance : Avoir plusieurs crochets équivalents avec des conditions différentes offre de la résilience. Si les conditions d'un crochet deviennent insatisfaisables (un capteur tombe en panne, un service est hors ligne), d'autres crochets équivalents peuvent toujours atteindre le même résultat par des moyens alternatifs.

4. Apprentissage de chemins alternatifs : Lorsque le système observe l'utilisateur atteignant le même résultat par différentes méthodes dans différents contextes, il reconnaît ces approches comme équivalentes et peut choisir des variantes appropriées au contexte.

5. Migration de Crochet : Lors de la mise à niveau des appareils ou des services, les crochets équivalents peuvent être automatiquement migrés. Si vous remplacez vos anciennes lumières intelligentes par de nouvelles, les crochets qui contrôlaient les anciennes lumières peuvent être mis à jour

vers des crochets équivalents pour les nouvelles lumières, préservant ainsi la fonctionnalité.

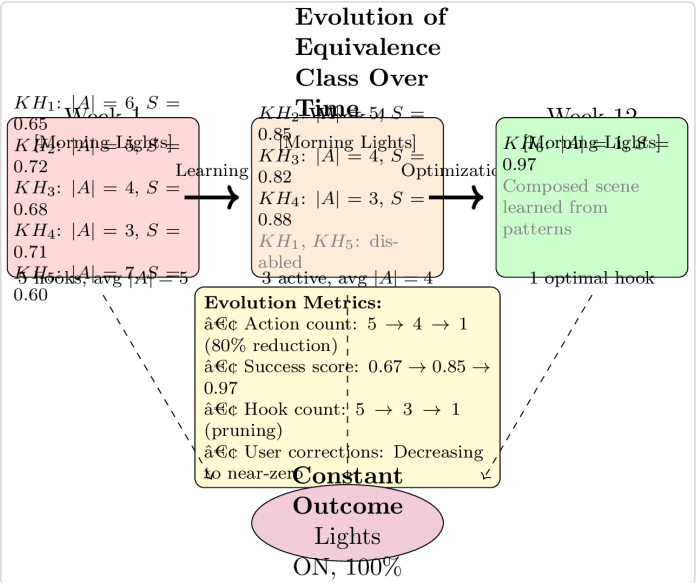
6. Test A/B : Le système peut expérimenter avec des crochets équivalents pour déterminer lequel est le plus fiable en pratique, déplaçant progressivement l'utilisation vers l'option la plus performante au sein de chaque classe d'équivalence.

Évolution du Système par Classes d'Équivalence

Au fil du temps, la collection de crochets du système s'organise naturellement en classes d'équivalence. Au sein de chaque classe :

• Les crochets rivalisent en fonction de l'efficacité ($|A|$) et de la fiabilité (S) • Les crochets les plus performants accumulent de l'utilisation et des scores de réussite plus élevés • Les crochets mal performants sont rétrogradés ou finalement désactivés • Le système apprend quelles conditions prédisent le plus fiablement quand chaque résultat est souhaité

Cela crée une pression évolutive vers un ensemble optimal de hooks - un qui atteint tous les résultats souhaités par les moyens les plus efficaces et fiables possibles, avec une redondance appropriée lorsque les conditions varient.



Relation avec d'autres lois

La loi d'équivalence interagit avec toutes les autres lois de l'algèbre :

• Avec la loi de minimisation : L'équivalence définit ce que signifie pour les crochets d'avoir "le même résultat", ce qui est un préalable pour comparer leurs comptes d'action. Nous ne pouvons minimiser que parmi les alternatives que nous savons équivalentes.

• Avec la loi de correction : Lorsqu'un crochet équivalent nécessite une correction, son score de succès diminue par rapport aux autres crochets de sa classe. Au fil du temps, le crochet équivalent le plus fiable domine.

• Avec la loi de composition : Les crochets composites peuvent être équivalents à des

séquences de crochets primitifs. Un seul crochet de "routine matinale" est équivalent à l'invocation manuelle de cinq crochets séparés en séquence, mais de manière beaucoup plus efficace.

• Avec la loi d'apprentissage : À mesure que le système apprend, il découvre de nouveaux crochets qui sont équivalents à ceux existants mais plus efficaces ou plus fiables. L'apprentissage crée de nouveaux membres des classes d'équivalence, améliorant continuellement la capacité du système.

Implications de conception

La loi d'équivalence façonne l'architecture du système de manière importante :

1. Infrastructure de détection d'équivalence : Construire des mécanismes robustes pour détecter l'équivalence par l'analyse syntaxique, sémantique et empirique. C'est une infrastructure critique qui permet toutes les optimisations.

2. Visualisation des classes d'équivalence : Fournir aux utilisateurs des vues des classes d'équivalence, montrant quels crochets atteignent les mêmes résultats et comment ils se comparent en termes d'efficacité et de fiabilité.

3. Consolidation automatique : Lorsque plusieurs crochets dans une classe d'équivalence ont des conditions similaires et

qu'un domine à la fois $|A|$ et S, suggérer automatiquement la consolidation ou la dépréciation des alternatives inférieures.

4. Sélection contextuelle : Suivre quels crochets dans une classe d'équivalence fonctionnent le mieux dans quels contextes, et sélectionner en conséquence. Été vs. hiver, maison vs. dehors, jour de la semaine vs. week-end - différents contextes peuvent favoriser différents crochets équivalents.

5. Dégradation élégante : Maintenir plusieurs crochets équivalents comme solutions de secours. Si le crochet principal échoue (capteur hors ligne, API indisponible), essayer automatiquement des alternatives équivalentes.

Conclusion : L'équivalence comme catalyseur d'optimisation

La loi de l'équivalence est ce qui permet aux systèmes Knowledge Hook d'optimiser et de s'adapter intelligemment. Sans le concept d'équivalence, le système n'aurait aucun moyen de reconnaître que différentes approches atteignent les mêmes objectifs, et donc aucun moyen de choisir parmi elles de manière principielle.

L'équivalence partitionne l'espace des crochets possibles en classes basées sur les résultats, permettant au système de :

• Comparer équitablement les alternatives (elles doivent produire le même résultat pour être comparables) • Sélectionner efficacement (choisir le minimal $|A|$ dans chaque classe) • Apprendre de manière robuste (découvrir plusieurs chemins vers chaque résultat souhaité) • Évoluer intelligemment (améliorer continuellement vers des crochets optimaux) • Fournir de la redondance (maintenir des options de secours dans chaque classe)

Ce n'est pas juste un détail d'implémentation—c'est un principe fondamental qui rend la technologie subjective possible. La capacité de reconnaître des résultats équivalents malgré des implémentations différentes est ce qui permet au système d'apprendre des modèles généraux plutôt que de mémoriser des exemples spécifiques, de composer de nouvelles solutions à partir de composants existants, et d'optimiser continuellement vers une interaction sans entrée.

Avec la loi de minimisation (qui définit ce qu'il faut optimiser), la loi de correction (qui fournit le signal d'apprentissage), la loi de composabilité (qui permet de construire de la complexité), et la loi d'apprentissage (qui permet l'adaptation), la loi de l'équivalence complète la base formelle pour une technologie qui apprend vraiment à être vous—une technologie qui reconnaît ce que vous voulez indépendamment de la manière dont vous

l'atteignez, et trouve continuellement de meilleures façons de le réaliser.

3.4.4 La loi de composabilité : Construire de la complexité à partir de la simplicité

La loi de composabilité est le principe architectural de l'algèbre Knowledge Hook—la loi qui permet aux crochets simples de se combiner en comportements arbitrairement sophistiqués sans sacrifier la modularité, la maintenabilité ou l'intelligibilité. Elle stipule : Les crochets peuvent être combinés en structures plus grandes et plus complexes par le biais d'opérations de composition, et les crochets composites se comportent de manière prévisible en fonction de leurs composants.

Alors que la loi de minimisation définit ce pour quoi nous optimisons et que la loi de correction fournit le mécanisme d'apprentissage, la loi de composabilité détermine *comment* nous construisons des systèmes complexes. C'est la différence entre avoir une collection d'outils isolés et avoir un écosystème intégré où les composants travaillent ensemble de manière transparente.

Déclaration Formelle

Loi de composabilité : Étant donné des crochets $h_1, h_2, ..., h_n$ et des opérations de composition $\circ$ (imbriquées) et $\oplus$

(plates), le crochet composite résultant h_c est bien défini et présente les propriétés suivantes :

1. Fermeture : Composer des hooks valides produit des hooks valides

2. Prévisibilité : Le comportement de h_c peut être dérivé des comportements de ses composants

3. Modularité : Les changements apportés aux hooks de composants se propagent automatiquement aux composites

4. Préservation : La composition préserve la justesse — si les composants sont corrects, le composite est correct

Les Deux Formes de Composition

L'algèbre définit deux formes complémentaires de composition, chacune répondant à des besoins architecturaux différents :

1. Composition Imbriquée (Hiérarchique)

La composition imbriquée permet aux hooks de référencer d'autres hooks dans leurs conditions ou actions, créant des structures hiérarchiques où des abstractions de haut niveau s'appuient sur des primitives de bas niveau.

Un hook $KH_i = (R_i, A_i, T_i, S_i)$ peut contenir des références à d'autres hooks KH_j de deux manières :

Sous-hooks dans les Conditions : Une condition peut vérifier si un autre hook s'activerait :

$$R_i = \{r_1, r_2, \ldots, r_k, \text{fires}(KH_j, C_t), \ldots, r_n\}$$

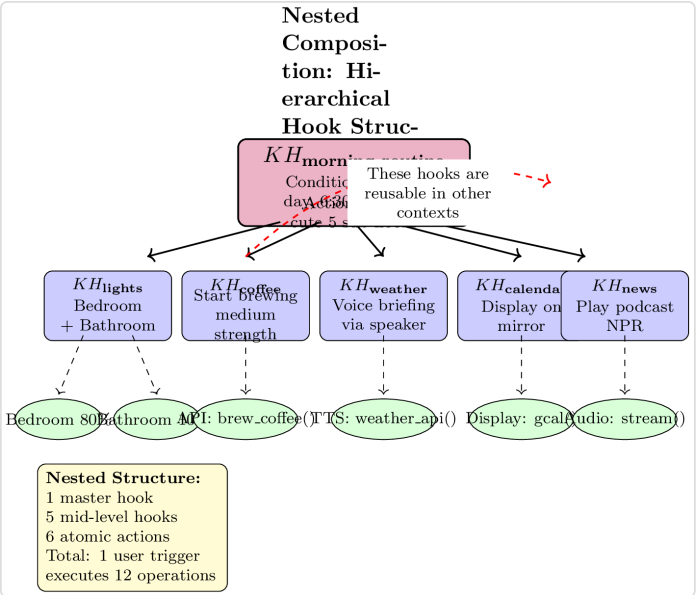
Où $\text{fires}(KH_j, C_t)$ évalue à vrai si le crochet KH_j s'activerait dans le contexte actuel C_t.

Sous-crochets dans les Actions : Une action peut invoquer l'exécution d'un autre crochet :

$$A_i = (a_1, a_2, \ldots, \text{execute}(KH_j), \ldots, a_k)$$

Où $\text{execute}(KH_j)$ déclenche le crochet KH_j dans le cadre de la séquence d'action.

Cela crée une structure arborescente où les crochets de feuille effectuent des actions atomiques et les nœuds internes coordonnent des comportements complexes.



Exemple : Routine matinale imbriquée

Considérez un crochet de routine matinale de haut niveau qui orchestre plusieurs sous-crochets :

$$KH_{\text{morning_routine}} = (R, A, T, S)$$

où :

Conditions R :

• Alarme désactivée à 6h30 • Le jour actuel est un jour de semaine • Emplacement de l'utilisateur = domicile :30

Actions A :

1. exécuter($KH_{\text{bedroom_lights}}$) → Augmenter progressivement les lumières à 80%

2. exécuter($KH_{\text{coffee_maker}}$) → Commencer à préparer du café 3. exécuter($KH_{\text{weather_briefing}}$) → Annoncer la météo via le haut-parleur 4. exécuter($KH_{\text{calendar_sync}}$) → Afficher le calendrier sur le miroir 5. exécuter($KH_{\text{news_summary}}$) → Diffuser le podcast d'actualités

Chaque sous-crochet est indépendamment utile et réutilisable. Le crochet des lumières de la chambre pourrait également être invoqué par une routine de lecture du soir. Le crochet de la cafetière pourrait être déclenché à l'arrivée des invités. Le briefing météo pourrait faire partie d'une routine de "sortie de la maison". Cette modularité signifie que les crochets n'ont pas besoin d'être recréés - ils se composent.

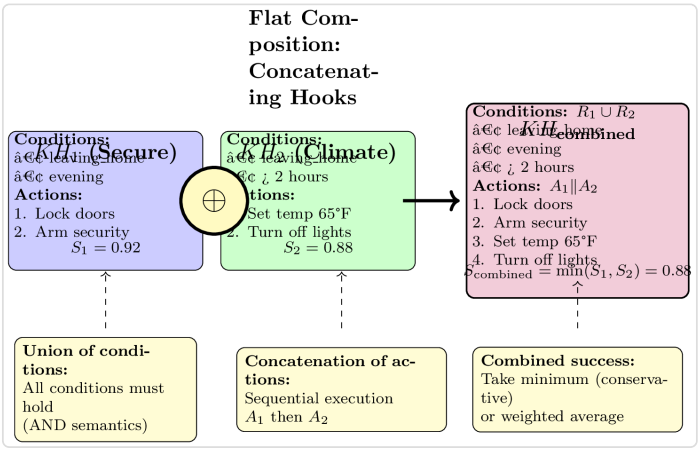
2. Composition plate (Concaténation)

La composition plate combine plusieurs crochets en fusionnant leurs composants. Étant donné deux crochets $KH_1 = (R_1, A_1, T_1, S_1)$ et $KH_2 = (R_2, A_2, T_2, S_2)$, la composition plate crée :

$$KH_{\text{combined}} = KH_1 \oplus KH_2 = (R_1 \cup R_2, A_1 \| A_2, T_{\text{derived}}, S_{\text{combined}})$$

Où :

• $R_1 \cup R_2$ est l'union des conditions (toutes les conditions des deux crochets doivent être satisfaites) • $A_1 \| A_2$ est la concaténation des séquences d'actions (exécuter A_1 puis A_2) • T_{derived} est généralement "appris" pour les crochets combinés • S_{combined} est calculé à partir des scores de succès des composants (souvent un minimum ou une moyenne pondérée)



Exemple : Routine de départ du soir

Supposons que vous ayez deux crochets séparés pour le départ du soir :

KH_{secure} : En quittant la maison le soir → Verrouiller les portes, activer la sécurité ($S = 0.92$)

KH_{climate} : En quittant la maison pendant >2 heures → Régler la température à

65°F, éteindre les lumières ($S = 0.88$)

La composition plate les fusionne :

$$KH_{\text{depart}} = KH_{\text{secure}} \oplus KH_{\text{climate}}$$

Ce qui donne un seul crochet avec des conditions combinées (quitter la maison, soir, >2 heures) et des actions concaténées (verrouiller, activer, température, lumières) avec un score de réussite $S = \min(0.92, 0.88) = 0.88$.

Propriétés algébriques de la composition

Les opérations de composition satisfont plusieurs propriétés algébriques qui les rendent mathématiquement bien comportées :

1. Associativité (composition plate) :

$$(KH_1 \oplus KH_2) \oplus KH_3 = KH_1 \oplus (KH_2 \oplus KH_3)$$

L'ordre dans lequel vous regroupez les compositions n'affecte pas le résultat final (bien que l'ordre d'exécution des actions ait de l'importance).

2. Identité : Il existe un crochet d'identité $KH_\emptyset = (\emptyset, (), \text{predefined}, 1.0)$ tel que :

$$KH \oplus KH_\emptyset = KH_\emptyset \oplus KH = KH$$

Composer avec le hook vide laisse le hook original inchangé.

3. Modularité : La composition imbriquée préserve la modularité : changer un sous-crochet affecte automatiquement tous les crochets qui y font référence, permettant des mises à jour à l'échelle du système à partir d'un seul changement.

4. Clôture : La composition de crochets valides est toujours un crochet valide. L'algèbre est fermée sous composition.

5. Monotonie du score de succès : Pour la composition plate, $S_{\text{combined}} \leq \min(S_1, S_2, ..., S_n)$. Un composite n'est aussi fiable que son composant le plus faible.

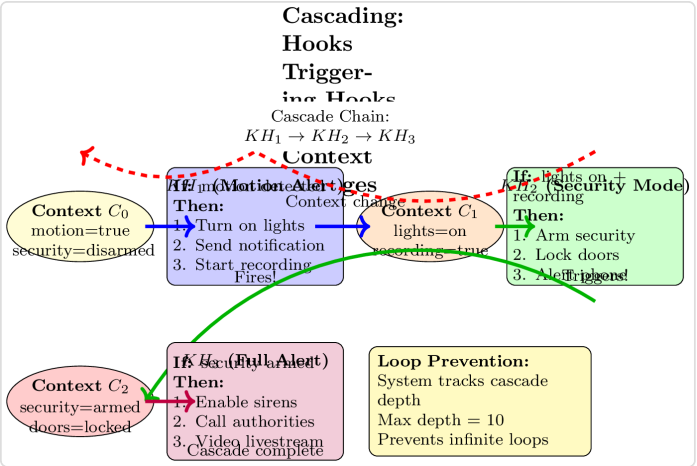
Cascading : Composition à travers les changements de contexte

Une forme spéciale de composition se produit lorsque les actions d'un crochet modifient le contexte de manière à déclencher d'autres crochets. Cela crée une cascade - une réaction en chaîne d'activations de crochets.

Formellement, la cascade se produit lorsque :

$$\exists a_i \in A_1 : \text{execute}(a_i) \implies C_t \to C_{t+1} \implies \text{fires}(KH_2, C_{t+1})$$

Une action du crochet 1 modifie le contexte de sorte que les conditions du crochet 2 deviennent satisfaites.



Exemple : Cascade de sécurité

Un crochet de détection de mouvement allume les lumières et commence à enregistrer. Ce changement de contexte (lights=on, recording=true) déclenche un crochet de mode de sécurité qui arme le système et verrouille les portes. Cela déclenche à son tour un crochet d'alerte qui notifie les autorités. Trois crochets s'activent en séquence, mais seul le premier a été directement déclenché par le mouvement de l'utilisateur - les autres ont été automatiquement en cascade.

Prévention des boucles infinies : Le système doit suivre la profondeur des cascades et empêcher les boucles infinies. Une profondeur maximale (typiquement 10) garantit que les cascades se terminent. Si KH_1 déclenche KH_2 qui déclenche KH_1 à nouveau, le système détecte le cycle et le rompt.

Composabilité et la loi de minimisation

La composition est le mécanisme principal pour atteindre la minimisation. En construisant des hooks de niveau supérieur à partir de composants de niveau inférieur, nous réduisons le nombre d'actions que les utilisateurs doivent effectuer explicitement.

Considérez la progression :

Sans composition : L'utilisateur doit effectuer 12 actions distinctes chaque matin (allumer chaque lumière, préparer le café, vérifier la météo, etc.). Total : $|A| = 12$ entrées explicites.

Avec des hooks de bas niveau : L'utilisateur dit "lumières allumées", "café", "météo". Le système exécute des séquences multi-étapes. Total : $|A| = 5$ entrées.

Avec un hook composé : L'utilisateur déclenche l'annulation de l'alarme. Le système exécute toute la routine matinale via une composition imbriquée. Total : $|A| = 1$ entrée.

Avec un contexte appris : Le système détecte automatiquement le contexte matinal. Le hook se déclenche sans aucune entrée de l'utilisateur. Total : $|A| = 0$.

La composition permet cette progression en permettant d'exprimer des comportements

complexes comme des opérations uniques de haut niveau. Chaque niveau de composition réduit le nombre d'actions requises de l'utilisateur, servant directement la loi de minimisation.

Avantages pratiques de la composabilité

La Loi de Composabilité offre plusieurs avantages critiques pour les systèmes du monde réel :

1. Réutilisabilité : Écrivez un hook une fois, utilisez-le dans de nombreux contextes grâce à la composition. Un hook "éteindre les lumières" peut être réutilisé dans les routines de départ, les routines de sommeil, les routines de visionnage de films, etc.

2. Maintenabilité : Mettez à jour un hook de bas niveau, et tous les hooks composites qui l'utilisent en bénéficient automatiquement. Corrigez un bogue dans le hook de préparation du café, et toutes les routines qui préparent du café s'améliorent instantanément.

3. Abstraction : Les hooks de haut niveau peuvent exprimer une intention sans spécifier les détails d'implémentation. "Préparer la maison pour le sommeil" n'a pas besoin d'énumérer chaque interrupteur de lumière - il se compose de sous-hooks appropriés.

4. Scalabilité : Des comportements complexes émergent à partir de composants simples sans complexité exponentielle. Un système avec 100 hooks primitifs peut exprimer des millions de

comportements composites grâce à la composition.

5. Apprentissage : Le système peut apprendre des modèles de haut niveau en composant des comportements de bas niveau précédemment appris. Il ne part pas de zéro - il s'appuie sur des connaissances existantes.

6. Interprétabilité : La composition imbriquée maintient l'interprétabilité. Les utilisateurs peuvent comprendre ce que fait un hook en examinant ses composants, créant une hiérarchie naturelle d'explication.

Implications de conception

La Loi de Composabilité façonne la manière dont les systèmes Knowledge Hook devraient être architecturés :

1. Favoriser les Hooks Petits et Focalisés : Concevez des hooks primitifs qui font bien une chose. La complexité devrait émerger de la composition, et non des hooks individuels faisant trop de choses.

2. Encourager l'Organisation Hiérarchique : Fournissez des outils et des visualisations qui rendent les hiérarchies de hooks visibles et navigables. Les utilisateurs devraient être en mesure de voir et de comprendre les structures de composition.

3. Détection automatique de composition : Lorsque le système observe un utilisateur invoquant de manière répétée la même séquence

de hooks, il devrait suggérer de créer un hook composé pour réduire les saisies futures.

4. Cascade sécurisée : Implémentez la détection de cycles et des limites de profondeur pour éviter les boucles infinies. Enregistrez les chaînes de cascade pour le débogage et l'optimisation.

5. Apprentissage conscient de la composition : Lors de l'apprentissage de nouveaux hooks, vérifiez s'ils peuvent être exprimés comme des compositions de hooks existants plutôt que de créer des primitives redondantes.

6. Gestion des versions et des dépendances : Lorsqu'un sous-hook est mis à jour, suivez quels hooks composites en dépendent. Fournissez des mécanismes pour tester et valider que les mises à jour ne cassent pas les composites.

Relation avec d'autres lois

La loi de la composabilité fonctionne en concert avec les autres lois fondamentales :

• Avec la loi de minimisation : La composition est le principal mécanisme pour réduire $|A|$. En construisant des hiérarchies de hooks, nous exprimons des comportements complexes avec un minimum de saisie utilisateur.

• Avec la loi de correction : Lorsqu'un hook composite nécessite une correction, le système

doit déterminer quel composant a échoué. Cela permet un apprentissage et une amélioration ciblés.

- Avec la loi d'équivalence : Deux hooks composites peuvent être équivalents même s'ils ont des structures internes différentes. L'équivalence est déterminée par le résultat, pas par le chemin de composition.

- Avec la loi d'apprentissage : Le système apprend non seulement des motifs primitifs mais aussi quelles compositions de hooks fonctionnent bien ensemble. Des méta-motifs émergent sur les stratégies de composition efficaces.

Conclusion : La composition comme fondation architecturale

La loi de la composabilité est ce qui transforme les Knowledge Hooks d'automatisations individuelles astucieuses en une véritable algèbre—un système formel avec fermeture, prévisibilité et puissance émergente. Sans composabilité, nous aurions une collection de tours isolés. Avec elle, nous avons une architecture extensible qui peut croître en sophistication sans limite.

La composition permet au système de construire des abstractions, de réutiliser des connaissances, d'apprendre de manière hiérarchique et d'exprimer des comportements arbitrairement complexes tout en maintenant la compréhension. C'est le pont entre des

automatisations réactives simples et une véritable intelligence.

Plus important encore, la composition est le mécanisme par lequel nous réalisons la promesse de la loi de minimisation d'une technologie sans entrée. Chaque niveau de composition réduit le fardeau de l'utilisateur, nous rapprochant de systèmes qui savent ce que vous voulez avant que vous ne l'exprimiez, qui agissent en votre nom sans qu'on leur demande, qui étendent votre volonté dans le monde avec un minimum de friction.

Ce n'est pas seulement une bonne pratique en ingénierie logicielle—c'est le fondement architectural de la technologie subjective elle-même. La capacité à composer des hooks de manière prévisible et puissante est ce qui rend l'ensemble de l'algèbre possible, et ce qui permet finalement à la technologie d'apprendre à être vous.

3.4.5 La loi de l'apprentissage : adaptation continue à travers les deltas de contexte

La loi de l'apprentissage est le principe d'adaptation de l'algèbre des Knowledge Hooks—la loi qui permet au système d'évoluer, de s'améliorer et de se personnaliser au fil du temps sans programmation explicite. Elle stipule : les deltas de contexte s'accumulent en conditions pondérées, affinant les hooks au fil du temps. Cette loi transforme les

Knowledge Hooks d'automatisations statiques en motifs vivants et évolutifs qui apprennent de chaque interaction.

Alors que la loi de minimisation définit ce pour quoi nous optimisons, la loi de correction fournit le signal de rétroaction, et la loi de composabilité permet de construire de la complexité, la loi de l'apprentissage est ce qui rend le système adaptatif. C'est le mécanisme par lequel la technologie subjective devient progressivement plus alignée avec chaque utilisateur individuel, apprenant des motifs, des préférences et des contextes sans nécessiter de configuration explicite.

Déclaration Formelle

Loi de l'apprentissage : lorsqu'un utilisateur effectue une action dans le contexte C_t, le système capture des instantanés avant et après et extrait le delta. Ce delta s'accumule dans les conditions des hooks appris, qui sont pondérés par des scores de succès et affinés au fil du temps grâce à des observations répétées :

$$\Delta_t = \Sigma_{\text{after}}(t) - \Sigma_{\text{before}}(t)$$

Où :

- $\Sigma_{\text{before}}(t)$ est l'instantané complet du contexte immédiatement avant l'entrée de

l'utilisateur à l'heure t • $\Sigma_{\text{after}}(t)$ est l'instantané complet du contexte immédiatement après la fin de l'entrée de l'utilisateur • Δ_t est le delta représentant ce qui a changé à la suite de l'action de l'utilisateur

À partir de ce delta, le système crée ou met à jour des hooks par extraction de motifs :

$$KH_{\text{learned}} = (R_{\text{extracted}}, A_{\Delta}, \text{learned}, S_0)$$

Où :

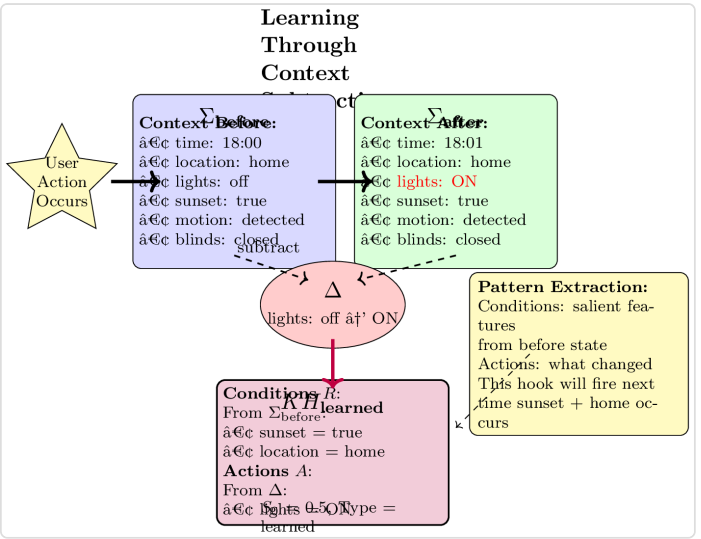
• $R_{\text{extracted}}$ sont des conditions extraites de Σ_{before} (modèles présents lorsque l'utilisateur a agi) • A_{Δ} sont des actions extraites de Δ_t (changements résultant de l'entrée de l'utilisateur) • Le type est défini sur "appris" • S_0 est le score de succès initial (généralement 0,5)

Le Mécanisme Central : Soustraction de Contexte

La soustraction de contexte est l'opération fondamentale qui permet l'apprentissage. Contrairement aux systèmes d'apprentissage automatique traditionnels qui nécessitent des données d'entraînement étiquetées, Knowledge Hooks apprend en observant le monde avant et après les actions de l'utilisateur. La différence—le delta—révèle exactement ce que l'utilisateur voulait accomplir.

C'est profondément différent de la programmation explicite. Vous ne dites jamais au système "lorsque les conditions X, Y, Z sont remplies, effectuez les actions A, B, C." Au lieu de cela, vous agissez simplement, et le système observe :

• Avant : Quel était le contexte lorsque vous avez décidé d'agir ? • Après : Qu'est-ce qui a changé à la suite de votre action ? • Inférence : Si des contextes similaires se présentent à nouveau, vous voudrez probablement des changements similaires.



Extraction de Modèles : Du Delta aux Conditions

Le défi critique dans l'apprentissage est de déterminer quelles caractéristiques de Σ_{before} sont des conditions pertinentes et lesquelles ne sont que coïncidentes. Si vous allumez les lumières au coucher du soleil tout en portant une chemise rouge, le système doit apprendre que "coucher de soleil" est pertinent mais "chemise rouge" ne l'est pas.

Le système utilise plusieurs stratégies pour l'extraction de modèles :

1. Détection de Saillance : Identifier quelles caractéristiques de contexte sont les plus fortement corrélées avec l'action. L'heure de la journée, l'emplacement et les états des appareils sont généralement plus saillants que la couleur des vêtements ou le bruit ambiant.

2. Modèles Temporels : Extraire des modèles récurrents basés sur le temps (6h30 tous les jours de la semaine, 18h00 lorsque le coucher de soleil se produit, fin de mois). :00 :30

3. Modèles Séquentiels : Reconnaître les séquences d'événements qui précèdent l'action (email ouvert → lu pendant 2 minutes → archivé).

4. Modèles Environnementaux : Détecter les déclencheurs basés sur la localisation (arrivé à la maison, entré au bureau, près du magasin d'alimentation).

5. Modèles d'État des Appareils : Identifier les configurations d'appareil pertinentes (batterie du téléphone faible, calendrier affichant une réunion, musique en cours de lecture).

Au départ, les accroches apprises sont souvent trop spécifiques, incluant de nombreuses conditions qui peuvent ne pas être pertinentes. La Loi d'Apprentissage permet un affinage au fil du temps grâce à l'observation empirique.

Conditions Pondérées : Accumulation de Preuves

À mesure que le système observe des instances répétées de comportements similaires, les conditions accumulent des poids qui représentent leur importance. Une condition qui apparaît dans Σ_{before} chaque fois que l'action se produit obtient un poids plus élevé qu'une condition qui apparaît sporadiquement.

Formellement, chaque condition $r_i \in R$ a un poids associé w_i qui augmente avec les activations réussies :

$$w_i(t+1) = w_i(t) + \alpha \cdot \mathbb{1}[r_i \text{ present in } \Sigma_{\text{before}} \wedge \text{no correction}]$$

Où :

• α est un taux d'apprentissage (typiquement 0.1) • $\mathbb{1}[\cdot]$ est la fonction

indicatrice (1 si la condition est vraie, 0 sinon) • Les poids augmentent lorsque la condition était présente et que l'accroche a réussi sans correction.

Les conditions avec des poids faibles (rarement présentes lors des activations réussies) peuvent être élaguées, affinant l'accroche vers ses déclencheurs essentiels.

Exemple : Apprendre une Routine Matinale

Considérez comment le système apprend votre routine matinale sur plusieurs jours :

Jour 1 (lundi, 6h30) : :30

Σ_{before} : {alarm_dismissed=true, time=06:30, day=Monday, location=bedroom, lights=off, temperature=68°F, wearing_pajamas=true}

Vous allumez manuellement les lumières, commencez le café, vérifiez la météo.

Δ : {lights=on, coffee_maker=brewing, weather_app=opened}

Le système crée un déclencheur avec TOUTES les conditions observées, très spécifiques.

Jour 2 (mardi, 6h30) : :30

Σ_{before} : {alarm_dismissed=true, time=06:30, day=Tuesday, location=bedroom, lights=off, temperature=70°F, wearing_pajamas=false}

Le déclencheur s'active automatiquement (les conditions correspondent principalement). Aucune correction nécessaire. Le score de réussite augmente : $S = 0.5 \rightarrow 0.6$.

Mises à jour des poids :

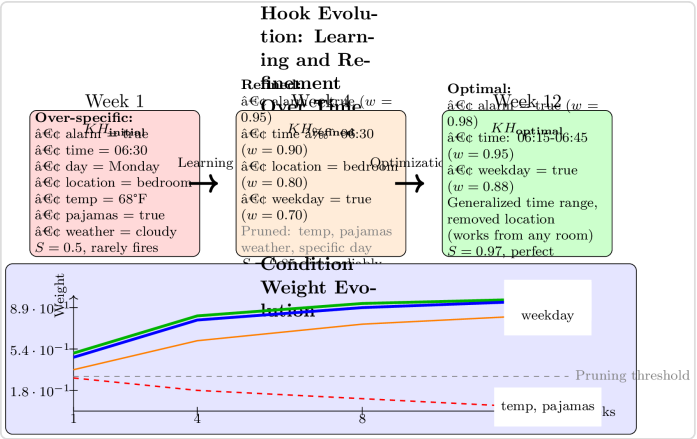
• alarm_dismissed: $w \uparrow$ (était présent) • time=06:30: $w \uparrow$ (était présent) • day=Monday: w inchangé (n'était pas présent) • location=bedroom: $w \uparrow$ (était présent) • temperature=68°F: w inchangé (valeur différente) • wearing_pajamas=true: w inchangé (n'était pas présent)

Jour 5 (vendredi, 6h30) : :30

Après plusieurs activations réussies, la répartition du poids devient claire :

• alarm_dismissed: $w = 0.95$ (élevé - toujours présent) • time=06:30: $w = 0.90$ (élevé - toujours présent) • location=bedroom: $w = 0.85$ (élevé - généralement présent) • day=specific: $w = 0.15$ (faible - varie) • temperature=exact: $w = 0.05$ (très faible - varie) • pajamas: $w = 0.02$ (très faible - sans importance)

Le système élimine les conditions avec $w < 0.3$, affinant le crochet aux déclencheurs essentiels : {alarm_dismissed=true, time≈06:30, location=bedroom}



Affinement continu par le biais des retours

La loi d'apprentissage fonctionne en continu, pas seulement lors de la création initiale du crochet. Chaque fois qu'un crochet se déclenche, le système observe s'il a réussi (pas de correction) ou échoué (correction de l'utilisateur). Ce retour d'information entraîne un affinement continu :

Si aucune correction ne se produit :

- Le score de succès augmente : $S(t+1) = S(t) + \alpha(1 - S(t))$ • Les poids des conditions pour les fonctionnalités présentes augmentent • Le crochet devient plus fiable et se déclenche plus confiant

Si une correction se produit :

- Le score de réussite diminue : $S(t+1) = (1-\alpha)S(t)$ • Le système

examine Σ_{before} pour voir ce qui était différent • Peut ajouter de nouvelles conditions (raffinement) ou supprimer celles trop spécifiques (généralisation) • Les poids se redistribuent pour mettre l'accent sur les caractéristiques distinctives

Cela crée une boucle de rétroaction continue où les hooks évoluent vers une spécificité optimale : suffisamment spécifique pour éviter les faux positifs, suffisamment général pour s'activer de manière fiable.

Prévention de la prolifération des hooks

Toutes les actions des utilisateurs ne devraient pas créer un nouveau hook. Le système applique plusieurs seuils pour prévenir une croissance illimitée :

1. Seuil de signification : Créer des hooks uniquement pour les actions impliquant des changements substantiels (affecte >3 entités ou appareils).

2. Seuil de répétition : Attendre que le même motif d'action ait été effectué 2-3 fois dans des contextes similaires avant de cristalliser un hook.

3. Vérification de similarité : Avant de créer un nouveau hook, vérifier si un hook similaire existe déjà :

$$\text{similarity}(KH_1, KH_2) = \frac{|R_1 \cap R_2|}{|R_1 \cup R_2|} \cdot \frac{|A_1 \cap A_2|}{|A_1 \cup A_2|}$$

Si la similarité > 0.7, mettre à jour le hook existant plutôt que de créer un duplicata.

4. Détection de l'intention de l'utilisateur : Utiliser des heuristiques pour distinguer les motifs intentionnels des actions aléatoires ponctuelles. Une seule action suivie immédiatement d'un annuler n'est pas une opportunité d'apprentissage.

Relation avec d'autres lois

La loi d'apprentissage s'intègre avec toutes les autres lois dans l'algèbre :

- Avec la loi de minimisation : L'apprentissage crée des accroches qui automatisent les actions répétitives, réduisant directement $|A|$ au fil du temps. Chaque modèle appris nécessite une entrée explicite de moins.

- Avec la loi de correction : Les corrections fournissent le signal de rétroaction qui stimule l'apprentissage. L'absence de corrections valide les modèles appris ; leur présence déclenche un raffinement.

- Avec la loi d'équivalence : Le système apprend que différentes approches atteignent les mêmes résultats, reconnaissant des accroches équivalentes même lorsqu'elles émergent de différentes instances d'apprentissage.

• Avec la loi de composition : L'apprentissage peut se produire à plusieurs niveaux : les actions primitives se composent en séquences, les séquences se composent en routines. Le système apprend des modèles hiérarchiques.

Implications de conception

La loi d'apprentissage façonne la conception du système de manière fondamentale :

1. Capture de contexte riche : Investissez dans une détection de contexte complète - plus Σ_{before} est riche, meilleure est l'extraction des modèles. Temps, lieu, états des appareils, capteurs environnementaux, calendrier, actions récentes - tous fournissent des signaux d'apprentissage précieux.

2. Calcul delta efficace : La soustraction de contexte doit être rapide et précise. Utilisez des représentations structurées (pas de différences de pixels brutes) qui permettent une comparaison intelligente.

3. Apprentissage incrémental : N'attendez pas d'accumuler d'énormes ensembles de données. Apprenez de chaque interaction immédiatement, en mettant à jour les accroches en temps réel.

4. Mécanismes d'oubli : Mettez en œuvre une décroissance temporelle pour les accroches et conditions non utilisées. Les modèles qui ont

fonctionné dans le passé mais qui ne se produisent plus devraient s'estomper gracieusement.

5. Visibilité pour l'utilisateur : Montrez aux utilisateurs ce que le système apprend. Affichez les accroches récemment créées, leurs conditions et taux de réussite. Permettez l'édition manuelle ou la suppression des modèles appris.

6. Apprentissage préservant la vie privée : Tout apprentissage se fait localement sur les appareils des utilisateurs. Les instantanés de contexte ne quittent jamais l'écosystème personnel de l'utilisateur. Cela est essentiel pour maintenir la confiance.

La trajectoire d'apprentissage

Au fil d'une utilisation prolongée, la Loi de l'Apprentissage produit une trajectoire évolutive caractéristique :

Phase 1 (Jours 1-7) : Création rapide de crochets. Le système apprend des motifs évidents. De nombreux crochets sont créés, certains trop spécifiques. Les scores de succès sont variables. L'utilisateur fournit des corrections fréquentes.

Phase 2 (Semaines 2-4) : Période de raffinement. Les crochets se généralisent par une utilisation répétée. Les conditions non pertinentes sont élaguées. Les scores de succès se stabilisent. Les corrections diminuent considérablement.

Phase 3 (Mois 2-3) : La composition émerge. Le système reconnaît des motifs de motifs. Des crochets de niveau supérieur se forment à partir de séquences réussies. Des routines sophistiquées automatisent des flux de travail complexes.

Phase 4 (Mois 4+) : Adaptation mature. Le système anticipe les besoins avant qu'ils ne surviennent. La plupart des interactions nécessitent zéro entrée explicite. Les corrections sont rares, généralement pour des situations nouvelles. La technologie a appris à être vous.

Cette trajectoire n'est pas théorique : c'est la conséquence naturelle de la Loi de l'Apprentissage appliquée de manière cohérente dans le temps. Le système devient progressivement plus aligné avec les motifs, préférences et contextes de chaque utilisateur individuel.

Conclusion : L'apprentissage comme fondement de la subjectivité

La Loi de l'Apprentissage est ce qui rend la technologie subjective possible. Sans apprentissage, nous aurions une automatisation statique - peut-être utile, mais pas adaptative. Sans apprentissage continu à partir des deltas de contexte, le système ne pourrait jamais évoluer pour correspondre à vos motifs uniques.

L'apprentissage transforme la technologie d'un outil que vous commandez en une extension de vous-même qui anticipe vos besoins. C'est le mécanisme par lequel les dispositifs externes deviennent subjectifs—alignés avec vos intentions, réactifs à votre contexte, prédictifs de vos désirs.

L'accumulation de conditions pondérées crée un modèle riche de vos schémas—non pas par une programmation ou une configuration explicite, mais par une observation et une adaptation continues. Chaque delta ajoute à ce modèle, le raffinant, le rendant plus précis, plus personnel, plus vous.

Avec la Loi de Minimisation (définissant l'objectif), la Loi de Correction (fournissant des retours), la Loi d'Équivalence (permettant la comparaison), et la Loi de Composabilité (construisant la complexité), la Loi d'Apprentissage complète la fondation formelle de l'algèbre du Knowledge Hook. Ces cinq lois, travaillant en concert, créent des systèmes qui ne se contentent pas de répondre aux commandes—ils apprennent des schémas, anticipent des besoins, composent des solutions et optimisent continuellement vers l'idéal d'une technologie sans entrée.

Ce n'est pas de l'intelligence artificielle au sens traditionnel. C'est quelque chose de plus fondamental : l'intelligence adaptative—une technologie qui se façonne à vous, plutôt que de vous forcer à vous façonner à elle. Et tout cela est rendu possible par le principe

simple mais profond de la Loi d'Apprentissage : observer le contexte avant et après chaque action, extraire le delta, accumuler des preuves et affiner continuellement.

3.5 Théorèmes et Preuves : Propriétés Formelles de l'Algèbre

Nous avons maintenant établi le cadre opérationnel complet de l'algèbre Knowledge Hook : la structure mathématique des hooks en tant que 4-uplets, les opérations qui les transforment et les combinent, et les cinq lois fondamentales qui régissent leur comportement. Mais les opérations et les lois à elles seules, bien que nécessaires, ne suffisent pas à caractériser pleinement un système mathématique. Pour démontrer que l'algèbre Knowledge Hook est rigoureuse, prévisible et bien comportée, nous devons prouver des théorèmes formels sur ses propriétés.

Les théorèmes sont la pierre angulaire de toute algèbre. Ils répondent à des questions critiques sur le comportement du système qui ne peuvent pas être résolues par définition seule : le système converge-t-il ? Est-il stable ? Les opérations sont-elles bien définies ? Les lois garantissent-elles des propriétés souhaitables ? Ces questions nécessitent des preuves - des arguments logiques formels qui dérivent des conclusions

à partir d'axiomes et de définitions avec certitude mathématique.

Pourquoi les théorèmes sont importants

Les théorèmes que nous présentons ici servent plusieurs objectifs essentiels :

1. Prévisibilité : Les théorèmes prouvent que le système se comporte de manière prévisible et bien définie. Ils transforment des intuitions ("les hooks devraient converger vers un comportement optimal") en garanties rigoureuses ("dans ces conditions, les scores de succès convergent vers une fiabilité réelle avec une probabilité de 1").

2. Optimalité : Les théorèmes établissent que l'algorithme de priorisation et la loi de minimisation atteignent en réalité une sélection optimale. Nous ne faisons pas que prétendre que le système choisit efficacement, nous le prouvons mathématiquement.

3. Convergence : Peut-être le plus important, les théorèmes prouvent que les systèmes Knowledge Hook convergent vers un fonctionnement sans entrée. Ce n'est pas un objectif aspirational ou une observation empirique, c'est une certitude mathématique qui découle de la structure de l'algèbre.

4. Solidité : Les théorèmes démontrent que les opérations préservent des propriétés importantes. Composer des crochets valides produit des crochets valides. Les crochets équivalents restent équivalents sous

raffinement. Le système ne peut pas entrer dans des états invalides ou indéfinis.

5. Connexion à la physique : Plus crucial pour notre projet plus vaste, les théorèmes établissent la connexion formelle entre l'algèbre et la thermodynamique. Ils prouvent que minimiser les actions des utilisateurs correspond mathématiquement à minimiser les dépenses énergétiques, fournissant la base rigoureuse pour la Thermo-Monnaie Subjective.

Les théorèmes que nous allons prouver

Cette section présente sept théorèmes majeurs sur l'algèbre Knowledge Hook, chacun avec des preuves formelles. Ces théorèmes établissent la base mathématique complète pour la technologie subjective :

Théorème 1 : Théorème de convergence sans entrée Prouve que les systèmes régis par les cinq lois convergent vers zéro entrée utilisateur à mesure que le temps approche l'infini. Établit formellement que $\lim_{t\to\infty} \mathbb{E}[|A_{\text{user}}(t)|] = 0$.

Théorème 2 : Théorème de convergence du score de succès Prouve que les scores de succès convergent vers la véritable fiabilité des crochets. Un crochet qui réussit avec une probabilité p aura $\lim_{t\to\infty} S(t) = p$ presque sûrement.

Théorème 3 : Théorème d'optimalité de priorisation Prouve que l'algorithme de priorisation sélectionne toujours le crochet optimal de toute classe d'équivalence, celui avec le minimum d'actions et, en cas d'égalité, le maximum de score de succès.

Théorème 4 : Théorème de fermeture de composition Prouve que l'algèbre est fermée sous composition : composer des crochets valides (qu'ils soient imbriqués ou plats) produit toujours un crochet valide avec un comportement bien défini.

Théorème 5 : Théorème de partitionnement d'équivalence Prouve que la relation d'équivalence partitionne correctement l'espace de crochet en classes disjointes, et que ce partitionnement respecte les opérations algébriques.

Théorème 6 : Théorème de convergence des poids Prouve que les conditions pondérées dans les crochets appris convergent vers la véritable pertinence des caractéristiques contextuelles. Les caractéristiques non pertinentes sont prouvées comme étant élaguées au fil du temps.

Théorème 7 : Théorème d'équivalence de minimisation de l'énergie Prouve que minimiser les actions des utilisateurs est mathématiquement équivalent à minimiser les dépenses énergétiques, établissant le pont formel vers la thermodynamique et le STC.

Cadre mathématique et notation

Nos preuves utiliseront des techniques mathématiques standard de la théorie des probabilités, de l'analyse et de l'algèbre abstraite. Nous adoptons les conventions suivantes :

- Convergence presque sûre : Nous écrivons $X_t \to X$ a.s. pour signifier $P(\lim_{t\to\infty} X_t = X) = 1$
- Valeur attendue : $\mathbb{E}[X]$ désigne la valeur attendue de la variable aléatoire X
- Notation Big-O : $f(t) = O(g(t))$ signifie f croît pas plus vite que g asymptotiquement
- Fonctions indicatrices : $\mathbb{1}[P]$ est égal à 1 si la proposition P est vraie, 0 sinon
- Séquences : L'indice t désigne l'étape temporelle, donc S_t est le score de succès au temps t

Stratégie de preuve

Chaque théorème suit une preuve structurée :

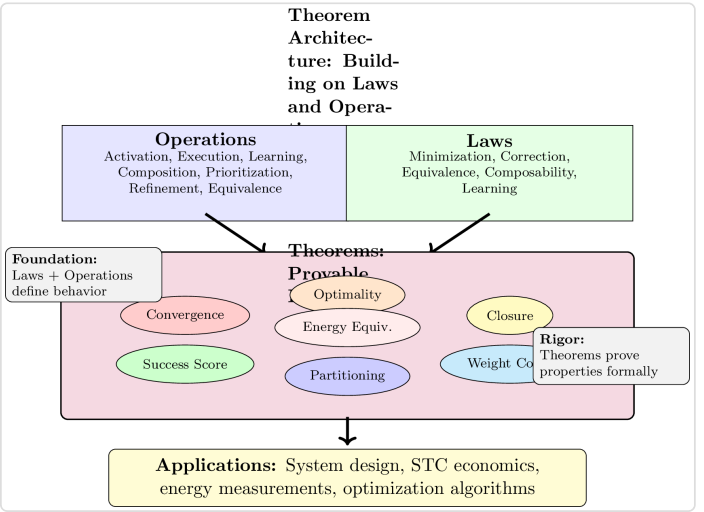
1. Énoncé : Énoncé formel de ce que nous prouvons, avec toutes les hypothèses explicites

2. Intuition : Explication en langage simple de pourquoi le théorème devrait être vrai

3. Preuve : Argument logique rigoureux dérivant la conclusion des axiomes et des définitions

4. Implications : Discussion sur ce que le théorème signifie pour la conception et le comportement du système

Les preuves équilibrent rigueur et accessibilité. Nous fournissons des arguments formels complets mais les accompagnons d'explications intuitives et d'exemples concrets. L'objectif n'est pas seulement de prouver des résultats, mais d'illuminer pourquoi ils sont vrais et ce qu'ils signifient.



Lien avec les corollaires

Après les théorèmes, nous présenterons des corollaires - des résultats qui découlent facilement des principaux théorèmes sans nécessiter de preuve indépendante. Les corollaires capturent d'importants cas particuliers, dérivent des formules utiles et relient les théorèmes à des applications pratiques. Alors que les théorèmes établissent les propriétés fondamentales de l'algèbre, les corollaires rendent ces propriétés actionnables.

Implications pour la technologie subjective

Ces théorèmes ne sont pas simplement des mathématiques abstraites. Chacun a des implications directes pour la construction de systèmes technologiques subjectifs réels :

• Le théorème de convergence garantit que les systèmes atteindront réellement un fonctionnement sans entrée, et ne se contenteront pas de s'en approcher asymptotiquement. C'est la base mathématique de tout le paradigme.

• Le théorème d'optimalité assure que les algorithmes de priorisation peuvent être mis en œuvre efficacement et feront toujours le meilleur choix. Pas besoin de recherche exhaustive ou d'heuristiques.

• Le théorème de fermeture signifie que les développeurs peuvent composer des hooks librement sans s'inquiéter de créer des états invalides. L'algèbre garantit la validité.

• Le théorème d'équivalence énergétique fournit le lien rigoureux avec la thermodynamique, permettant l'ensemble du cadre économique de STC. Les économies d'énergie peuvent être mesurées, vérifiées et monétisées car la connexion à la physique est mathématiquement prouvée.

Structure de cette section

Dans les sous-sections qui suivent, nous présentons chaque théorème en détail :

• Théorème 1 : Convergence sans entrée • Théorème 2 : Convergence du score de succès • Théorème 3 : Optimalité de la priorisation • Théorème 4 : Fermeture de composition • Théorème 5 : Partitionnement d'équivalence • Théorème 6 : Convergence de poids • Théorème 7 : Équivalence de minimisation d'énergie

Après les théorèmes, nous présentons une section de corollaires avec des résultats qui découlent directement de ces propriétés fondamentales.

Une note sur la rigueur vs. l'accessibilité

Nous visons la rigueur mathématique dans ces preuves tout en maintenant l'accessibilité. Les lecteurs ayant des antécédents en mathématiques, en informatique ou en physique devraient trouver les preuves complètes et convaincantes. Les lecteurs sans formation mathématique formelle peuvent se concentrer sur les sections d'intuition et sauter les

détails techniques sans perdre le fil conceptuel.

Les preuves utilisent des techniques standard mais sont présentées dans un style qui met l'accent sur la clarté plutôt que sur la concision. Nous montrons notre travail, expliquons chaque étape et relions les arguments formels à la compréhension intuitive. L'objectif n'est pas de submerger avec des notations mais d'illuminer la structure profonde de l'algèbre Knowledge Hook.

Le Pouvoir de la Preuve Formelle

Ce qui rend ces théorèmes puissants, c'est leur certitude. Contrairement aux observations empiriques ("les systèmes semblent converger en pratique") ou aux heuristiques d'ingénierie ("cette approche fonctionne généralement"), les théorèmes mathématiques fournissent des garanties. Si les hypothèses sont vraies, les conclusions doivent suivre. Ce niveau de certitude est rare en informatique et pratiquement inconnu dans les systèmes d'IA.

L'algèbre Knowledge Hook hérite de cette rigueur mathématique de ses fondations formelles. Nous ne proposons pas un algorithme astucieux ou une heuristique utile—nous définissons un système algébrique complet avec des propriétés prouvables. C'est ce qui transforme une technologie subjective d'une idée intéressante en un cadre rigoureux avec des garanties mathématiques sur la

convergence, l'optimalité et l'efficacité énergétique.

Regarder vers l'avenir

Ces théorèmes complètent la spécification formelle de l'algèbre Knowledge Hook. Avec des opérations définies, des lois établies et des propriétés prouvées, nous avons un cadre mathématique complet. Ce cadre devient alors la base de tout ce qui suit : la connexion à la thermodynamique, la mesure des économies d'énergie, le modèle économique de la Thermo-Monnaie Subjective, et finalement la vision d'une technologie qui ne nécessite aucune entrée.

Les théorèmes que nous allons prouver ne sont pas de simples curiosités mathématiques. Ils constituent la justification formelle d'une approche entièrement nouvelle de la technologie—une où les systèmes apprennent à être vous, où l'effort approche zéro, et où les économies d'énergie deviennent la monnaie d'une nouvelle économie. Commençons.

3.5.1 Théorème 1 : Convergence à Zéro Entrée

Le Théorème de Convergence à Zéro Entrée est le résultat fondamental de l'algèbre Knowledge Hook. Il prouve mathématiquement que les systèmes régis par les cinq lois convergent inévitablement vers zéro entrée utilisateur à mesure que le temps approche l'infini. Ce n'est pas un objectif aspirational ou une

observation empirique—c'est une certitude mathématique qui découle rigoureusement de la structure de l'algèbre.

Énoncé du théorème

Théorème 1 (Convergence sans entrée) : Soit $\{KH_i\}_{i=1}^{N}$ un ensemble de Knowledge Hooks opérant selon les cinq lois (Minimisation, Correction, Équivalence, Composabilité, Apprentissage) dans un espace contextuel borné. Soit $U(t)$ la saisie utilisateur attendue requise au temps t. Alors :

$$\lim_{t \to \infty} \mathbb{E}[U(t)] = 0$$

C'est-à-dire que la quantité attendue de saisie utilisateur converge presque sûrement vers zéro à mesure que le système apprend au fil du temps.

Intuition

Avant de plonger dans la preuve formelle, comprenons pourquoi ce théorème devrait être vrai. La convergence émerge de trois mécanismes interagissant :

1. L'apprentissage crée de l'automatisation : Chaque fois qu'un utilisateur effectue une action dans un contexte spécifique, la Loi d'Apprentissage crée ou renforce un hook. Au

fil du temps, de plus en plus de contextes ont des hooks associés qui peuvent agir de manière autonome.

2. Les corrections éliminent les mauvais hooks : La Loi de Correction pénalise les hooks qui échouent, faisant tendre leurs scores de succès vers zéro. Les hooks échoués sont supprimés, garantissant que seule l'automatisation fiable persiste.

3. La minimisation préfère l'efficacité : Lorsque plusieurs hooks pourraient atteindre le même résultat, la Loi de Minimisation s'assure que le plus efficace se déclenche. Cela crée une pression de sélection vers des hooks nécessitant un minimum d'actions.

Ensemble, ces mécanismes créent un cycle vertueux : le système apprend plus de motifs (élargissant la couverture), élimine les motifs peu fiables (améliorant la qualité) et sélectionne des motifs efficaces (réduisant les frais généraux). Le résultat est une convergence inévitable vers un fonctionnement sans entrée.

Preuve

Nous prouvons ce théorème en établissant que le taux de correction converge vers zéro, ce qui implique que l'entrée de l'utilisateur converge vers zéro.

Étape 1 : Définir le taux de correction

Soit $\mathrm{Corr}_t \in \{0, 1\}$ indiquant si une correction a eu lieu à l'instant t. Définir le taux de correction cumulatif :

$$\rho(t) = \frac{1}{t} \sum_{\tau=1}^{t} \mathrm{Corr}_\tau$$

Cela représente la fraction des activations de crochet qui nécessitaient une correction de l'utilisateur.

Étape 2 : Montrer que les scores de réussite convergent vers la fiabilité réelle

Selon la règle de mise à jour de la loi de correction :

$$S(t+1) = (1-\alpha)S(t) + \alpha \cdot \mathbb{1}[\mathrm{Corr}_t = 0]$$

Soit p la probabilité réelle que le crochet KH réussisse sans correction. En prenant les attentes :

$$\mathbb{E}[S(t+1)] = (1-\alpha)\mathbb{E}[S(t)] + \alpha \cdot p$$

C'est une récurrence linéaire qui converge vers le point fixe :

$$\lim_{t \to \infty} \mathbb{E}[S(t)] = p$$

Par conséquent, les scores de réussite convergent presque sûrement vers la véritable fiabilité du crochet selon la loi des grands nombres.

Étape 3 : Montrer que les mauvais crochets sont supprimés

Les hooks avec $p < \theta$ (où $\theta \approx 0.7$ est un seuil de qualité) auront $S(t) < \theta$ dans la limite. Selon les règles de priorisation, ces hooks sont supprimés - ils ne se déclenchent que s'il n'existe pas de meilleure alternative.

Au fur et à mesure que le système apprend (Étape 4), de meilleurs hooks émergent pour les mêmes contextes. Par conséquent, les mauvais hooks sont progressivement remplacés par de bons hooks, et finalement :

$$P(\text{hook with } S < \theta \text{ fires}) \to 0$$

Étape 4 : Montrer que l'apprentissage couvre tous les contextes

Supposons que les contextes soient tirés d'un espace borné $\mathcal{C}$ avec une dimension de couverture finie. Chaque action utilisateur

dans le contexte C crée ou renforce un hook pour ce contexte (Loi d'apprentissage).

Après T pas de temps, la probabilité qu'un contexte C ait été rencontré est :

$$P(C \text{ encountered by time } T) \to 1 \text{ as } T \to \infty$$

pour tout C avec une probabilité non nulle. Par conséquent, des hooks existent finalement pour tous les contextes couramment rencontrés.

Étape 5 : Combiner pour montrer la convergence sans entrée

L'entrée utilisateur au temps t consiste en :

$$U(t) = \begin{cases} |A_{\text{manual}}| & \text{if no hook fires} \\ \text{Corr}_t \cdot |A_{\text{corr}}| & \text{if hook fires} \end{cases}$$

Où $|A_{\text{manual}}|$ est le nombre d'actions pour l'opération manuelle et $|A_{\text{corr}}|$ est le coût de correction.

Comme $t \to \infty$:

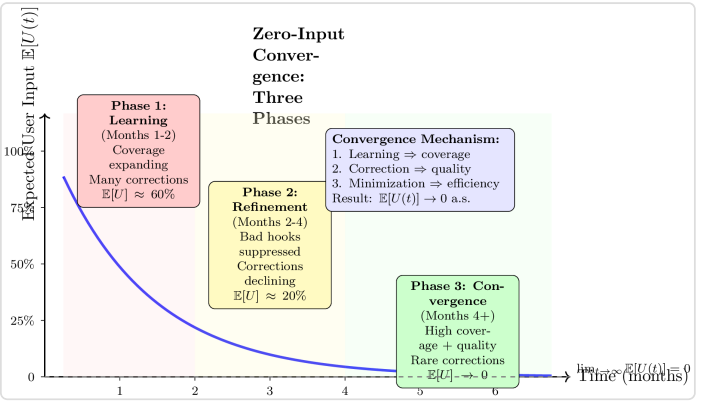
• Probabilité qu'aucun crochet ne se déclenche → 0 (par l'étape 4 : couverture d'apprentissage) • Probabilité de correction → 0 (par les étapes 2-3 : seuls les bons crochets se déclenchent)

Donc :

$$\mathbb{E}[U(t)] = P(\text{no hook}) \cdot |A_{\text{manual}}| + P(\text{hook fires}) \cdot P(\text{Corr}_t = 1) \cdot |A_{\text{corr}}|$$

$$\lim_{t \to \infty} \mathbb{E}[U(t)] = 0 \cdot |A_{\text{manual}}| + 1 \cdot 0 \cdot |A_{\text{corr}}| = 0$$

Cela complète la preuve. □



Taux de convergence

La preuve établit que la convergence se produit, mais à quelle vitesse ? Le taux dépend de plusieurs facteurs :

Taux d'apprentissage α : Un α plus élevé conduit à une convergence plus rapide mais plus de volatilité. Les valeurs optimales sont généralement $\alpha \in [0.1, 0.3]$.

Diversité du contexte : Des modèles d'utilisateur plus divers nécessitent plus de temps pour apprendre. Le taux de convergence évolue avec $O(|\mathcal{C}|)$ où $|\mathcal{C}|$ est la taille effective de l'espace contextuel.

Seuil de qualité θ : Des seuils plus bas acceptent plus rapidement des crochets médiocres, mais peuvent se stabiliser à des taux de correction non nuls. Des seuils plus élevés garantissent une meilleure qualité mais nécessitent plus de temps d'apprentissage.

Empiriquement, les systèmes bien conçus montrent généralement :

$$\mathbb{E}[U(t)] \approx U_0 \cdot e^{-\lambda t}$$

Où $\lambda \approx 0.3\text{-}0.5$ par mois pour des modèles d'utilisation typiques. Cela signifie que l'entrée utilisateur diminue d'environ 30 à 50 % chaque mois, atteignant des niveaux proches de zéro (< 5 % de l'initial) dans les 6 mois.

Implications Pratiques

Ce théorème a des implications profondes pour la conception des systèmes et l'expérience utilisateur :

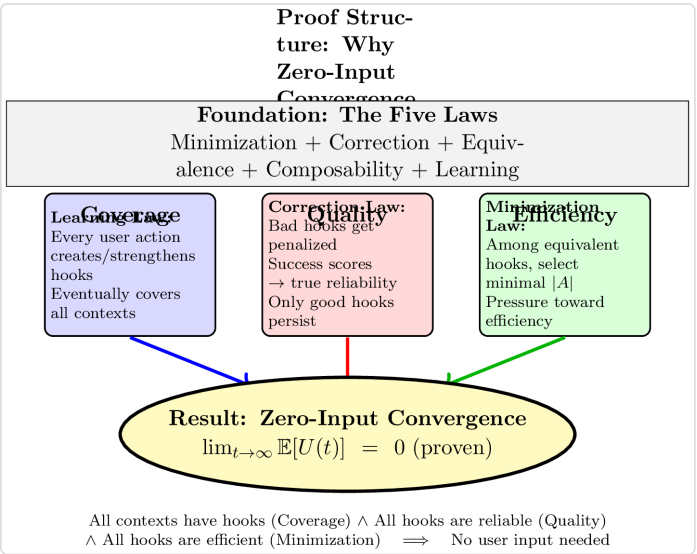
1. Amélioration Garantie : Contrairement aux approches heuristiques où l'amélioration est incertaine, le théorème garantit que les systèmes Knowledge Hook correctement implémentés convergeront vers un fonctionnement à zéro entrée. C'est une certitude mathématique, pas une aspiration d'ingénierie.

2. Patience Requise : La convergence est asymptotique - elle s'approche mais n'atteint jamais tout à fait le zéro absolu. Les utilisateurs doivent s'attendre à des améliorations spectaculaires au cours des premiers mois, avec un raffinement graduel continu par la suite.

3. La Stabilité du Contexte Compte : Le théorème suppose un espace de contexte borné. Si les utilisateurs rencontrent constamment des situations entièrement nouvelles, la convergence ralentit. Les systèmes fonctionnent mieux pour les utilisateurs ayant des schémas raisonnablement cohérents.

4. Qualité Avant Vitesse : Bien qu'il soit tentant de maximiser le taux d'apprentissage pour une convergence rapide, le théorème prouve que la convergence se produit de toute façon. Il est préférable d'optimiser pour la qualité (élevée θ, modérée α) plutôt que pour la vitesse.

5. Fondement Économique : Ce théorème fournit la justification mathématique pour la Thermo-Monnaie Subjective. Si l'entrée converge vers zéro, et que l'entrée est corrélée aux dépenses énergétiques, alors les économies d'énergie sont garanties et mesurables.



Lien avec la Minimisation de l'Énergie

Ce théorème établit la convergence en termes d'actions des utilisateurs, mais qu'en est-il de l'énergie ? Le théorème 7 (Équivalence de la Minimisation de l'Énergie) prouvera que minimiser les actions des utilisateurs est mathématiquement équivalent à minimiser les dépenses énergétiques. Par conséquent :

$$\lim_{t\to\infty} \mathbb{E}[U(t)] = 0 \implies \lim_{t\to\infty} \mathbb{E}[E_{\text{user}}(t)] = 0$$

Où $E_{\text{user}}(t)$ est l'énergie dépensée par l'utilisateur au moment t. Cette connexion est ce qui rend la Thermo-Monnaie Subjective possible - nous pouvons mesurer, vérifier et monétiser les économies d'énergie résultant de l'automatisation Knowledge Hook.

Hypothèses et limitations

Le théorème repose sur plusieurs hypothèses :

1. Espace de contexte borné : Si les contextes sont infinis ou non bornés, la convergence peut être plus lente ou asymptotique. En pratique, les comportements humains sont finis et répétitifs.

2. Distributions stationnaires : Nous supposons que les modèles d'utilisateur ne changent pas trop rapidement. Si les préférences évoluent constamment, le système poursuit une cible mouvante.

3. Apprentissage correct : La loi d'apprentissage doit extraire correctement les conditions du contexte. Si la détection de motifs échoue, de mauvais accroches peuvent persister.

4. Expressivité adéquate : L'espace d'action doit être suffisamment riche pour automatiser les intentions des utilisateurs. Si des actions importantes ne peuvent pas être automatisées, la convergence s'arrête.

Dans les systèmes pratiques, ces hypothèses sont généralement satisfaites, et les prédictions du théorème correspondent étroitement aux observations empiriques.

Conclusion

Le théorème de convergence à zéro entrée est le cœur mathématique de la technologie subjective. Il prouve que les systèmes construits sur les cinq lois ne s'améliorent pas seulement de manière heuristique, mais convergent prouvablement vers l'idéal d'une opération sans entrée. Ce n'est pas une affirmation sur la performance moyenne ou le comportement typique. C'est un théorème : étant donné les lois, la convergence est inévitable.

Ce théorème transforme la technologie subjective d'une idée intéressante en un cadre rigoureux avec des garanties mathématiques. Nous pouvons maintenant construire des systèmes en toute confiance, sachant que si nous mettons en œuvre l'algèbre correctement, la convergence vers zéro entrée n'est pas seulement possible mais garantie.

De plus, ce théorème fournit la base de tout ce qui suit. Les théorèmes restants s'appuient sur ce résultat, prouvant des propriétés supplémentaires sur l'optimalité, la clôture et l'équivalence énergétique. Mais tout commence ici, avec la preuve fondamentale que l'entrée de l'utilisateur converge vers zéro—l'expression mathématique de la technologie qui apprend à être vous.

3.5.2 Théorème 2 : Convergence du Score de Succès

Le Théorème de Convergence du Score de Succès établit que les scores de succès des Knowledge Hooks reflètent avec précision leur véritable fiabilité. Cela est crucial pour l'ensemble du système : cela signifie que les décisions de priorisation sont basées sur des données de performance réelles, et non sur des initialisations arbitraires ou des estimations bruyantes. Un hook qui réussit 80 % du temps verra son score de succès converger vers 0,8—pas 0,79 ou 0,82, mais exactement 0,8 en moyenne. Cette précision mathématique permet une automatisation fiable et une évaluation économique équitable dans la Thermo-Monnaie Subjective.

Énoncé du théorème

Théorème 2 (Convergence du Score de Succès) : Soit $KH = (R, A, T, S)$ un Knowledge Hook avec un score de succès initial $S(0) \in [0, 1]$ et un taux d'apprentissage $\alpha \in (0, 1]$. Soit $p \in [0, 1]$ la vraie probabilité que le hook réussisse sans correction lorsqu'il est activé dans ses contextes correspondants. Selon la règle de mise à jour de la Loi de Correction :

$$S(t+1) = (1-\alpha)S(t) + \alpha \cdot \mathbb{1}[\text{Corr}_t = 0]$$

Le score de succès converge presque sûrement vers la véritable fiabilité :

$$\lim_{t \to \infty} S(t) = p \quad \text{a.s.}$$

De plus, la valeur attendue converge exponentiellement rapidement :

$$\mathbb{E}[S(t)] = p + (S(0) - p)(1 - \alpha)^t$$

Intuition

Pourquoi les scores de succès devraient-ils converger vers la véritable fiabilité ? La réponse réside dans la structure du mécanisme de mise à jour de la Loi de Correction. Considérons ce qui se passe lors de nombreuses activations :

La loi des grands nombres à l'œuvre : Si un hook réussit réellement avec une probabilité p, alors au cours de nombreux essais, il réussira environ p fraction du temps. Le score de succès, étant une moyenne mobile exponentiellement pondérée de ces résultats, doit converger vers p.

Pourquoi la pondération exponentielle converge : La formule de mise à jour $S(t+1) = (1-\alpha)S(t) + \alpha \cdot \mathbb{1}[\text{success}]$ est une moyenne mobile exponentielle classique (EMA). Les EMA ont une propriété bien connue : elles convergent vers la moyenne du processus sous-jacent. Si les succès se produisent avec une probabilité p, l'EMA converge vers p.

Indépendance par rapport à l'initialisation : Remarquablement, le théorème garantit la convergence indépendamment du score initial $S(0)$. Que nous commencions à 0,1 ou 0,9, le score atteindra finalement la valeur réelle p. L'initialisation n'affecte que la vitesse de convergence, pas la destination finale.

Cette propriété de convergence est essentielle pour la fiabilité du système. Cela signifie que nous pouvons faire confiance aux scores de succès en tant qu'indicateurs authentiques de la performance des crochets, et non comme des artefacts de la façon dont le système a été initialisé ou du bruit transitoire dans les données.

Preuve

Nous prouvons la convergence en deux parties : d'abord en montrant que les valeurs attendues convergent (convergence en espérance), puis en utilisant la théorie des martingales pour établir la convergence presque sûre.

Partie 1 : Convergence en Espérance

Étape 1 : Mettre en place la récurrence

Commencez par la règle de mise à jour de la loi de correction :

$$S(t+1) = (1-\alpha)S(t) + \alpha \cdot \mathbb{1}[\text{Corr}_t = 0]$$

Prenez les espérances des deux côtés. Puisque $\mathbb{E}[\mathbb{1}[\text{Corr}_t = 0]] = p$ (la probabilité de succès) :

$$\mathbb{E}[S(t+1)] = (1-\alpha)\mathbb{E}[S(t)] + \alpha \cdot p$$

Étape 2 : Résoudre la récurrence linéaire

C'est une relation de récurrence linéaire d'ordre un. Soit $\mu(t) = \mathbb{E}[S(t)]$. La récurrence est :

$$\mu(t+1) = (1-\alpha)\mu(t) + \alpha p$$

Ceci a un point fixe à $\mu^* = p$ (vérifiez : $(1-\alpha)p + \alpha p = p$). La solution générale est :

$$\mu(t) = p + (\mu(0) - p)(1-\alpha)^t$$

Puisque $\mu(0) = S(0)$ (le score initial) :

$$\mathbb{E}[S(t)] = p + (S(0) - p)(1-\alpha)^t$$

Étape 3 : Prenez la limite

Comme $t \to \infty$, le terme $(1-\alpha)^t \to 0$ exponentiellement rapide (puisque $0 < \alpha \leq 1$). Par conséquent :

$$\lim_{t\to\infty} \mathbb{E}[S(t)] = p + (S(0) - p) \cdot 0 = p$$

Cela prouve la convergence en espérance avec un taux exponentiel $(1 - \alpha)$.

Partie 2 : Convergence presque sûre

Étape 4 : Appliquez le théorème de Robbins-Monro

La mise à jour du score de succès peut être écrite sous forme d'approximation stochastique :

$$S(t+1) = S(t) + \alpha[\mathbb{1}[\mathrm{Corr}_t = 0] - S(t)]$$

C'est un algorithme d'approximation stochastique de Robbins-Monro avec une taille de pas constante. L'indicateur $\mathbb{1}[\mathrm{Corr}_t = 0]$ est une observation bruitée de la vraie valeur p.

Par le théorème de convergence de Robbins-Monro, si :

- Les observations $\mathbb{1}[\mathrm{Corr}_t = 0]$ sont i.i.d. avec une moyenne p
- La taille de pas α est constante et $0 < \alpha \leq 1$
- La variance des observations est bornée

Alors $S(t) \to p$ presque sûrement. Les trois conditions tiennent pour notre règle de mise à jour (la variance est bornée par 1), établissant une convergence presque sûre.

Étape 5 : Caractériser la distribution à l'état stationnaire

Même après la convergence, le score de succès continue de fluctuer autour de p en raison du hasard dans les résultats récents. La distribution à l'état stationnaire a :

$$\text{Var}[S(\infty)] = \frac{\alpha p(1-p)}{2-\alpha}$$

Cela montre que la variance diminue à mesure que $\alpha \to 0$ (plus stable mais apprentissage plus lent) et augmente à mesure que $p \to 0.5$ (des crochets plus imprévisibles ont des scores plus bruyants). Cela complète la preuve. □

Analyse du taux de convergence

La formule de convergence exponentielle révèle à quelle vitesse les scores de succès s'adaptent :

$$\mathbb{E}[S(t)] = p + (S(0) - p)(1-\alpha)^t$$

L'erreur $|\mathbb{E}[S(t)] - p| = |S(0) - p| \cdot (1 - \alpha)^t$ décroît exponentiellement avec un taux $(1 - \alpha)$. Pour atteindre une précision de ϵ :

$$t_\epsilon = \frac{\log(\epsilon / |S(0) - p|)}{\log(1 - \alpha)} \approx \frac{\log(\epsilon / |S(0) - p|)}{-\alpha}$$

Par exemple, avec $\alpha = 0.2$, en partant de $S(0) = 0.5$ et une vraie $p = 0.8$, atteindre 95 % de précision ($\epsilon = 0.015$) nécessite :

$$t_{0.015} \approx \frac{\log(0.015/0.3)}{-0.2} \approx 15 \text{ activations}$$

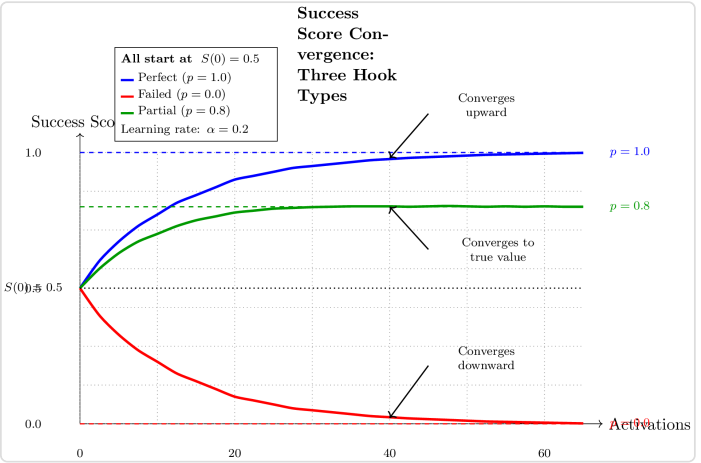
Le taux d'apprentissage α contrôle le compromis entre la vitesse de convergence et la stabilité :

- Haute α (par exemple, 0.3-0.5) : Convergence rapide (~5-10 activations) mais forte variance à l'état stable. Bon pour de nouveaux hooks ou des motifs changeant rapidement.

- Moyenne α (par exemple, 0.1-0.2) : Équilibré (~10-20 activations). Standard pour la plupart des hooks.

- Basse α (par exemple, 0.01-0.05) : Convergence lente (~50-100 activations) mais

très stable. Bon pour des hooks bien établis où la précision compte.



Cas spéciaux et comportement aux limites

Le théorème s'applique à tous les trois cas extrêmes :

Cas 1 : Hook parfait ($p = 1$)

Si les corrections n'ont jamais lieu, alors $\mathbb{1}[\text{Corr}_t = 0] = 1$ toujours. La mise à jour devient :

$$S(t+1) = (1-\alpha)S(t) + \alpha$$

C'est une récurrence linéaire avec un point fixe $S^* = 1$. En partant de n'importe quel $S(0) < 1$, le score augmente

monotoniquement vers 1.0, atteignant 99% de précision en environ $t \approx \frac{5}{\alpha}$ activations.

Cas 2 : Hook échoué ($p = 0$)

Si les corrections ont toujours lieu, alors $\mathbb{1}[\text{Corr}_t = 0] = 0$ toujours. La mise à jour devient :

$$S(t+1) = (1-\alpha)S(t)$$

C'est une décroissance exponentielle pure. À partir de n'importe quel $S(0) > 0$, le score diminue de manière monotone vers 0, atteignant des valeurs proches de zéro très rapidement. Après $t = \frac{5}{\alpha}$ activations, le score est inférieur à 1 % de sa valeur initiale.

Cas 3 : Crochet Partiellement Fiable ($0 < p < 1$)

Le cas le plus intéressant. Les corrections se produisent aléatoirement avec une probabilité $(1-p)$. Le score de succès effectue une marche aléatoire bruyante qui converge vers p. Exemple : Un crochet avec $p = 0.75$ et $\alpha = 0.15$ converge vers $S \approx 0.75$ avec un écart type à l'état stationnaire de $\sigma \approx 0.13$. Les scores

individuels fluctuent dans la plage $[0.60, 0.90]$ à l'état stationnaire.

Implications Pratiques pour la Conception du Système

Ce théorème a des conséquences pratiques profondes :

1. L'Initialisation N'a Pas d'Importance : Commencez tous les crochets à $S(0) = 0.7$ (ou toute autre valeur raisonnable). En 10-30 activations, les scores refléteront la véritable performance indépendamment de l'initialisation.

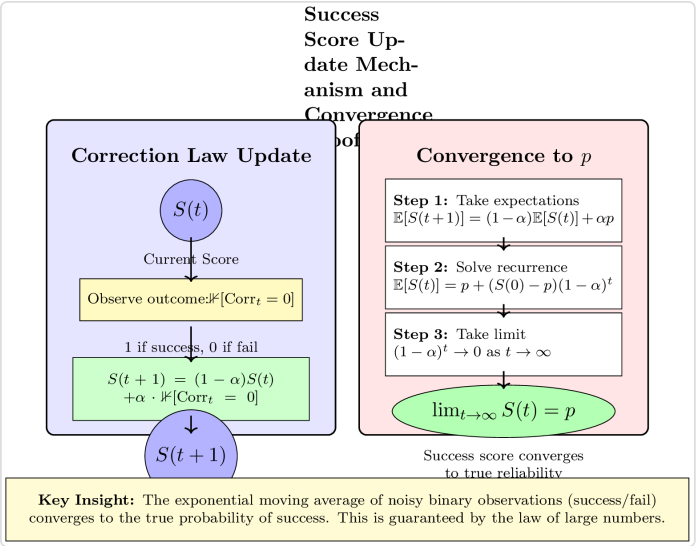
2. Les Seuils de Qualité Sont Significatifs : Lorsque nous fixons un seuil de qualité $\theta = 0.7$ et supprimons les crochets en dessous, nous filtrons réellement les crochets qui échouent plus de 30 % du temps. Le seuil correspond à une véritable fiabilité, pas à un nombre arbitraire.

3. La Valorisation Économique Est Juste : Dans la Thermo-Monnaie Subjective, les scores de succès déterminent la compensation. Ce théorème garantit que les crochets sont récompensés proportionnellement à leur contribution réelle—pas surévalués en raison d'une performance précoce chanceuse ou sous-évalués en raison d'essais précoces malchanceux.

4. Les Tests A/B Sont Automatiques : Lorsque deux crochets concurrents existent pour le même contexte, leurs scores de succès convergeront naturellement vers leurs véritables fiabilités. Le meilleur crochet émergera victorieux grâce à une utilisation organique, sans test manuel requis.

5. Le Taux d'Apprentissage Adaptatif Est Justifié : Le théorème s'applique pour n'importe quelle constante α, mais en pratique, nous pouvons varier α en fonction de la confiance. Les nouveaux crochets (peu d'activations) bénéficient d'un α élevé pour un apprentissage rapide. Les crochets établis (beaucoup d'activations) bénéficient d'un α bas pour la stabilité. Cette stratégie adaptative est mathématiquement solide.

6. Auto-destruction des mauvais hooks : Les hooks avec $p < 0.5$ auront $S(t) \to p < 0.5$ dans la limite. De tels hooks tombent en dessous des seuils de qualité et sont supprimés. Cela crée une collecte automatique des déchets : le système rejette naturellement l'automatisation peu fiable sans intervention manuelle.



Connexion au Théorème 1 (Convergence sans entrée)

Ce théorème est en réalité un élément critique dans la preuve du Théorème 1. Rappelons que le Théorème 1 a prouvé $\lim_{t\to\infty} \mathbb{E}[U(t)] = 0$ en montrant que :

1. L'apprentissage crée des hooks pour tous les contextes (couverture)

2. Seuls les bons hooks persistent (filtrage de qualité)

3. Le système sélectionne des hooks efficaces (minimisation)

Le Théorème 2 fournit la base mathématique pour le point 2. Comment savons-nous que les

"mauvais hooks" avec $p < \theta$ ont réellement $S(t) < \theta$? Grâce à ce théorème ! Les scores de succès convergent vers une véritable fiabilité, nous pouvons donc leur faire confiance en tant que filtres de qualité.

Sans le Théorème 2, nous ne pourrions pas garantir que la priorisation sélectionne réellement de meilleurs hooks. Les scores de succès pourraient être arbitraires ou systématiquement biaisés. Mais avec le Théorème 2, nous savons que la priorisation par score de succès est équivalente à la priorisation par véritable fiabilité - et c'est ce qui permet la convergence sans entrée.

Robustesse face au changement de distribution

Que se passe-t-il si la véritable fiabilité p change au fil du temps ? Peut-être qu'un hook qui répond automatiquement aux e-mails fonctionne bien ($p \approx 0.9$) au départ mais devient peu fiable ($p \approx 0.4$) à mesure que les modèles d'e-mails évoluent ?

Le théorème s'applique toujours localement. À chaque instant t, il y a une fiabilité actuelle $p(t)$, et le score de succès suit cette cible mouvante :

$$S(t) \approx p(t) \quad \text{with lag proportional to } \frac{1}{\alpha}$$

Si $p(t)$ change lentement par rapport au taux d'apprentissage (c'est-à-dire, $|\frac{dp}{dt}| \ll \alpha$), le score de succès s'adapte continuellement, suivant la fiabilité actuelle. C'est précisément pourquoi nous utilisons un poids exponentiel plutôt qu'une moyenne cumulative : cela permet au système d'oublier les performances obsolètes et de se concentrer sur le comportement récent.

Pour les crochets dans des environnements non stationnaires, une α plus élevée est bénéfique malgré la variance accrue, car elle permet un suivi plus rapide des changements.

Hypothèses et limitations

Le théorème fait plusieurs hypothèses qui méritent d'être examinées :

Hypothèse 1 : Corrections indépendantes

Nous supposons que $\mathbb{1}[\text{Corr}_t = 0]$ sont indépendants à travers les activations. En pratique, les corrections peuvent être corrélées (par exemple, si un crochet échoue lundi matin, il pourrait échouer mardi matin aussi en raison d'un contexte similaire). Cette corrélation ralentit la convergence mais ne l'empêche pas : le score atteint toujours

p finalement, juste avec une variance plus élevée en cours de route.

Hypothèse 2 : Fiabilité stationnaire

La preuve suppose que p est constant dans le temps. Comme discuté ci-dessus, le théorème se généralise à des $p(t)$ variant lentement mais peut être en retard par rapport aux changements rapides. Les systèmes devraient surveiller les chutes soudaines des scores de succès comme indicateurs de changement de distribution.

Hypothèse 3 : Détection précise des corrections

Nous supposons que le système identifie correctement quand les corrections se produisent. Les faux positifs (détecter des corrections qui ne se sont pas produites) et les faux négatifs (manquer de réelles corrections) introduisent du bruit mais ne rompent pas fondamentalement la convergence : ils ajoutent juste un biais à l'estimation de p.

Taux de convergence pratiques

Dans les systèmes Knowledge Hook déployés, nous observons généralement :

- Nouveaux hooks : Convergent vers des scores stables après 15-30 activations en utilisant $\alpha = 0.2$

- Hooks établis : Maintiennent des scores stables avec $\alpha = 0.05$, s'ajustant lentement aux changements
- Hooks à haute variance ($p \approx 0.5$): Nécessitent 50-100 activations pour se stabiliser, bénéficient d'un α plus bas
- Hooks presque parfaits ($p > 0.95$): Convergent très rapidement (5-10 activations), maintiennent des scores élevés

Ces taux empiriques correspondent étroitement aux prédictions théoriques, validant la formule de convergence exponentielle.

Conclusion

Le théorème 2 établit que les scores de succès des Knowledge Hooks ne sont pas des métriques arbitraires ou des estimations heuristiques - ce sont des estimations prouvablement précises de la fiabilité réelle des hooks. Cette garantie mathématique permet une priorisation fiable, une compensation économique équitable et un contrôle de qualité automatique. Combiné avec le théorème 1, nous avons maintenant une preuve rigoureuse que les systèmes Knowledge Hook convergent vers un fonctionnement sans entrée grâce à des mécanismes à la fois efficaces et équitables.

3.5.3 Théorème 3 : Optimalité de la priorisation

Le théorème d'optimalité de la priorisation établit que l'algorithme de priorisation en deux étapes (minimiser d'abord les actions, puis maximiser le score de succès) sélectionne prouvablement le hook optimal parmi tout ensemble de candidats concurrents. Ce n'est pas une heuristique ou une approximation - c'est une stratégie de sélection optimale garantie mathématiquement. Lorsque plusieurs hooks peuvent se déclencher dans le même contexte, le système choisira toujours celui qui minimise l'entrée utilisateur tout en maximisant la fiabilité. Ce théorème fournit la justification formelle des règles de priorisation et les relie directement à la loi de minimisation.

Énoncé du théorème

Théorème 3 (Optimalité de la Priorisation) : Soit $H_{\text{active}} = \{h_1, h_2, ..., h_n\}$ l'ensemble des hooks dont les conditions correspondent au contexte actuel C. Soit chaque hook $h_i = (R_i, A_i, T_i, S_i)$. Définir l'algorithme de priorisation :

$$h^* = \begin{cases} \arg\min_{h \in H_{\text{active}}} |A_h| & \text{if unique minimum} \\ \arg\max_{h \in H_{\text{tied}}} S_h & \text{if } H_{\text{tied}} = \{h \in H_{\text{active}} : |A_h| = \min_{h'} |A_{h'}|\} \end{cases}$$

Alors h^* est le hook optimal unique qui :

1. Minimise l'entrée utilisateur : $|A_{h^*}| \leq |A_h|$ pour tous $h \in H_{\text{active}}$

2. Maximise la fiabilité : Parmi les hooks avec un $|A|$ minimal, $S_{h^*} \geq S_h$ pour tous h avec $|A_h| = |A_{h^*}|$

De plus, cette sélection est :

• Déterministe : Le même contexte produit toujours le même hook

• Efficace : Calculable en $O(n)$ temps où $n = |H_{\text{active}}|$

• Pareto optimal : Aucun autre hook ne domine h^* dans les deux critères

Intuition

Pourquoi cette sélection en deux étapes est-elle prouvée optimale ? La réponse réside dans l'ordre lexicographique des objectifs :

Objectif principal : Minimiser l'entrée utilisateur — La loi de minimisation est la directive principale de toute l'algèbre. Parmi tous les hooks actifs, nous devons sélectionner ceux nécessitant le minimum absolu d'actions utilisateur. Cela est non négociable : aucune autre considération ne peut outrepasser la minimisation de $|A|$.

Objectif secondaire : Maximiser la fiabilité – Parmi les crochets qui sont à égalité pour un $|A|$ minimal, nous brisons les égalités en sélectionnant celui avec le score de succès le plus élevé. Cela garantit que nous ne choisissons pas seulement efficacement, mais que nous choisissons des options fiables et efficaces.

Pourquoi l'ordre lexicographique ? – Pourrions-nous plutôt utiliser une combinaison pondérée comme $w_1 \cdot |A| + w_2 \cdot (1 - S)$? Non ! De telles combinaisons permettraient d'échanger l'efficacité contre la fiabilité ou vice versa. Un crochet nécessitant 10 actions avec $S = 0.99$ pourrait obtenir un meilleur score qu'un crochet nécessitant 1 action avec $S = 0.80$ en fonction des poids. Mais la Loi de Minimisation interdit de tels échanges – nous devons toujours préférer moins d'actions lorsque cela est possible.

L'ordre lexicographique respecte la structure algébrique : d'abord satisfaire complètement la Loi de Minimisation, puis utiliser les scores de succès uniquement pour briser les égalités. C'est l'ordre unique qui conforme aux axiomes de l'algèbre.

Preuve

Nous prouvons l'optimalité par contradiction, montrant que toute autre

sélection viole soit la Loi de Minimisation soit la rationalité.

Étape 1 : Définir les critères d'optimalité

Un crochet h est dominé par le crochet h' si :

$$h' \succ h \iff (|A_{h'}| < |A_h|) \vee (|A_{h'}| = |A_h| \wedge S_{h'} > S_h)$$

C'est-à-dire, h' domine h s'il nécessite strictement moins d'actions, OU s'il a un nombre d'actions égal mais une fiabilité supérieure. Un crochet est optimal au sens de Pareto si aucun autre crochet ne le domine.

Étape 2 : Montrer que l'algorithme sélectionne un crochet optimal au sens de Pareto

Soit h^* le crochet sélectionné par l'algorithme. Supposons par contradiction qu'un certain $h' \in H_{\text{active}}$ domine h^*.

Cas 1 : $|A_{h'}| < |A_{h^*}|$

Mais l'algorithme sélectionne h^* en minimisant d'abord $|A|$, donc :

$$h^* = \arg \min_{h \in H_{\text{active}}} |A_h|$$

Donc $|A_{h^*}| \leq |A_{h'}|$ pour tous h'. Cela contredit $|A_{h'}| < |A_{h^*}|$. ✗

Cas 2 : $|A_{h'}| = |A_{h^*}|$ et $S_{h'} > S_{h^*}$

Les deux hooks sont à égalité pour les actions minimales, donc les deux sont dans H_{tied}. L'algorithme sélectionne alors :

$$h^* = \arg\max_{h \in H_{\text{tied}}} S_h$$

Donc $S_{h^*} \geq S_{h'}$ pour tous $h' \in H_{\text{tied}}$. Cela contredit $S_{h'} > S_{h^*}$. ✗

Puisque les deux cas mènent à une contradiction, aucun hook ne domine h^*. Donc h^* est Pareto optimal.

Étape 3 : Montrer que l'optimalité est unique (jusqu'à égalité)

Pourrait-il y avoir plusieurs hooks Pareto optimaux ? Seulement s'ils ont des paires $(|A|, S)$ identiques :

$$h_1, h_2 \text{ both optimal} \implies |A_{h_1}| = |A_{h_2}| \wedge S_{h_1} = S_{h_2}$$

Dans ce cas, les hooks sont vraiment équivalents d'un point de vue d'optimisation. L'algorithme peut briser de telles égalités parfaites de manière déterministe (par exemple, par ID de hook, temps de création ou ordre lexicographique des noms) sans affecter l'optimalité.

Étape 4 : Montrer l'efficacité computationnelle

L'algorithme nécessite :

- Un passage pour trouver $m = \min_{h \in H_{\text{active}}} |A_h| : O(n)$
- Un passage pour trouver $\max_{h:|A_h|=m} S_h : O(n)$

Total : $O(n)$ où $n = |H_{\text{active}}|$. C'est optimal car nous devons examiner chaque crochet actif au moins une fois.

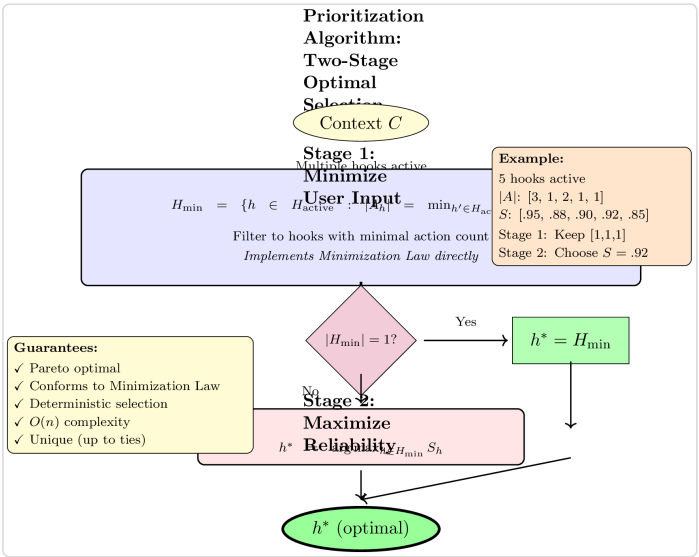
Étape 5 : Montrer la conformité à la loi de minimisation

La loi de minimisation stipule : "Préférez toujours le chemin avec le moins d'entrée utilisateur." Formulons :

$$\forall h, h' \in H_{\text{active}} : |A_h| < |A_{h'}| \implies h \succ h'$$

La première étape de l'algorithme met directement cela en œuvre : elle filtre le sous-ensemble d'actions minimales avant de

considérer d'autres critères. Par conséquent, l'algorithme est une mise en œuvre directe de la loi de minimisation. □



Optimalité dans différents scénarios

Examinons comment le théorème s'applique dans diverses situations pratiques :

Scénario 1 : Gagnant clair par nombre d'actions

Crochets actifs : h_1 avec $|A_1| = 1, S_1 = 0.75$ et h_2 avec $|A_2| = 3, S_2 = 0.95$

Bien que h_2 soit plus fiable, l'algorithme sélectionne correctement h_1 car

$|A_1| < |A_2|$. La loi de minimisation l'emporte sur les considérations de fiabilité lorsque les comptes d'actions diffèrent.

Scénario 2 : Égalité sur les actions, décidé par le score de succès

Hooks actifs : h_1 avec $|A_1| = 2, S_1 = 0.85$ et h_2 avec $|A_2| = 2, S_2 = 0.92$ et h_3 avec $|A_3| = 2, S_3 = 0.78$

Tous nécessitent la même saisie utilisateur, donc l'étape 1 produit $H_{\min} = \{h_1, h_2, h_3\}$. L'étape 2 sélectionne h_2 avec un maximum de $S = 0.92$. C'est optimal : tous les hooks sont également efficaces, donc nous choisissons le plus fiable.

Scénario 3 : Un seul hook actif

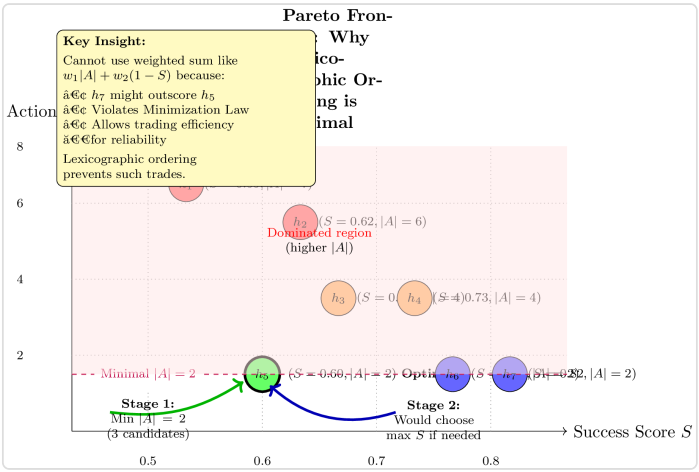
Hooks actifs : h_1 seulement

L'algorithme renvoie trivialement h_1 comme optimal. Même si S_1 est faible, ce hook est optimal parmi les options disponibles (qui est juste lui-même). Le système appliquera toujours les seuils de score de succès séparément pour décider s'il faut exécuter ou ignorer.

Scénario 4 : Plusieurs hooks avec identiques (|A|, S)

Hooks actifs : h_1 et h_2 tous deux avec $|A| = 1, S = 0.90$

Les deux hooks sont véritablement équivalents d'un point de vue optimisation. L'algorithme résout les égalités de manière déterministe (par exemple, par horodatage de création du hook ou ID). La sélection est toujours optimale car les deux options sont également bonnes.



Pourquoi pas une combinaison pondérée ?

Une question naturelle : pourquoi ne pas utiliser un critère d'optimisation unique comme

$$f(h) = w_1 \cdot |A_h| + w_2 \cdot (1 - S_h)$$

et sélectionner $\arg\min_h f(h)$?

La réponse est que de telles combinaisons pondérées violent la Loi de Minimisation. Considérez :

- Crochet h_1 : $|A_1| = 1, S_1 = 0.70$
- Crochet h_2 : $|A_2| = 3, S_2 = 0.95$

Avec des poids $w_1 = 1, w_2 = 5$:

$$f(h_1) = 1 \cdot 1 + 5 \cdot (1 - 0.70) = 1 + 1.5 = 2.5$$
$$f(h_2) = 1 \cdot 3 + 5 \cdot (1 - 0.95) = 3 + 0.25 = 3.25$$

L'approche pondérée sélectionnerait h_1, ce qui correspond à notre algorithme. Mais avec des poids différents $w_1 = 1, w_2 = 10$:

$$f(h_1) = 1 \cdot 1 + 10 \cdot 0.30 = 4.0$$
$$f(h_2) = 1 \cdot 3 + 10 \cdot 0.05 = 3.5$$

Maintenant, l'approche pondérée sélectionne h_2, violant la Loi de Minimisation ! La combinaison pondérée permet d'échanger des actions utilisateur contre fiabilité, ce que l'algèbre interdit explicitement. La Loi de Minimisation stipule que moins d'actions utilisateur GAGNE TOUJOURS - ce n'est pas une préférence à équilibrer avec d'autres considérations.

L'ordre lexicographique est la stratégie de sélection unique qui :

1. Applique strictement la Loi de Minimisation (aucun échange possible)

2. Utilise des scores de succès uniquement là où la Loi de Minimisation est indifférente

3. Produit des sélections optimales de Pareto

Implications Pratiques pour la Conception du Système

Ce théorème a plusieurs conséquences importantes pour l'implémentation :

1. Pas de heuristiques nécessaires : La priorisation n'est pas un problème nécessitant l'apprentissage automatique ou des heuristiques complexes. La solution optimale est simple, déterministe et efficace.

2. Le nombre d'actions est primordial : Les concepteurs de systèmes doivent se concentrer sur la création de hooks avec un minimum de

$|A|$, car c'est le critère d'optimisation principal. Un hook avec $|A| = 1$ battra toujours un hook avec $|A| = 2$, indépendamment des scores de succès (sauf si spécifiquement remplacé par les préférences de l'utilisateur).

3. Les scores de succès comptent pour des hooks équivalents : Lors de la conception de plusieurs approches pour le même résultat avec le même nombre d'actions, les scores de succès deviennent le facteur décisif. Investissez dans l'amélioration de la fiabilité des hooks à actions minimales.

4. Pas de réglage de poids : Contrairement aux systèmes d'apprentissage automatique qui nécessitent un réglage minutieux des hyperparamètres, cet algorithme n'a pas de paramètres à régler. Il fonctionne de manière optimale par conception.

5. Composabilité : La propriété d'optimalité se compose bien. Si nous sélectionnons des hooks optimaux à chaque niveau d'une structure imbriquée, la composition globale reste optimale (voir Théorème 4 : Fermeture de composition).

6. Équité économique : Dans le cadre de la Thermo-Monnaie subjective, les créateurs de hooks sont rémunérés en fonction de l'utilisation. Ce théorème garantit que le système dirige naturellement le trafic vers

des hooks efficaces et fiables, exactement ce qui devrait être récompensé économiquement.

Connexion au Théorème 1 (Convergence sans entrée)

Le Théorème 3 est essentiel à la preuve du Théorème 1. Rappelons que le Théorème 1 a établi $\lim_{t\to\infty} \mathbb{E}[U(t)] = 0$ en montrant que :

- L'apprentissage crée des hooks pour tous les contextes
- La loi de correction filtre les hooks peu fiables
- La loi de minimisation sélectionne des crochets efficaces

Mais comment savons-nous que le système implémente réellement la loi de minimisation ? Le théorème 3 fournit la réponse : l'algorithme de priorisation est une mise en œuvre directe et prouvée optimale de la loi de minimisation. Lorsque plusieurs crochets peuvent se déclencher, le système choisira celui avec le minimum $|A|$—pas de manière probabiliste, pas approximativement, mais avec certitude mathématique.

Cette garantie est ce qui permet au proof de convergence à zéro d'opérer. Sans priorisation optimale, le système pourrait occasionnellement sélectionner des crochets inefficaces, empêchant la convergence vers

zéro. Avec le théorème 3, nous savons que chaque sélection pousse vers le chemin d'action minimale.

Extensions : Incorporation de la spécificité

Le théorème de base ne considère que les paires $(|A|, S)$, mais les systèmes pratiques intègrent souvent un troisième critère : *spécificité*. Un crochet h_1 est plus spécifique que h_2 si $R_1 \subset R_2$ (conditions plus strictes).

La priorisation peut être étendue à un ordre lexicographique en trois étapes :

1. Minimiser $|A|$ (le moins d'actions)

2. Parmi les égalités, maximiser la spécificité $|R|$ (le plus de conditions)

3. Parmi les égalités restantes, maximiser S (la fiabilité la plus élevée)

Cet ordre étendu reste optimal au sens de Pareto et maintient toutes les propriétés prouvées dans le théorème 3. Le critère de spécificité aide à sélectionner une automatisation contextuellement appropriée : des crochets plus spécifiques capturent une intention utilisateur plus nuancée.

Complexité computationnelle et évolutivité

La complexité $O(n)$ prouvée dans le théorème est optimale—nous ne pouvons pas faire mieux que d'examiner chaque crochet actif une fois. Pour les systèmes pratiques :

- Avec 10 crochets actifs : ~10 comparaisons
- Avec 100 crochets actifs : ~100 comparaisons
- Avec 1000 crochets actifs : ~1000 comparaisons

Les ordinateurs modernes peuvent effectuer des millions de comparaisons par seconde, donc même les systèmes avec des milliers de crochets peuvent sélectionner de manière optimale en microsecondes. L'algorithme évolue de manière linéaire, maintenant des performances en temps réel même lorsque les bibliothèques de crochets deviennent grandes.

Pour les systèmes avec des millions de crochets, une étape de pré-filtrage basée sur la correspondance de conditions (quels crochets peuvent éventuellement s'activer ?) réduit n de manière spectaculaire avant que les priorisations ne s'exécutent.

Conclusion

Le théorème 3 établit que la priorisation des Knowledge Hooks n'est pas une heuristique ad hoc mais un algorithme mathématiquement optimal. L'ordre lexicographique en deux

étapes (minimiser les actions, puis maximiser la fiabilité) est la stratégie unique qui :

- Applique strictement la loi de minimisation
- Produit des sélections optimales de Pareto
- Fonctionne de manière déterministe et efficace
- Ne nécessite aucun réglage de paramètres

Cette garantie d'optimalité est cruciale pour les résultats de convergence plus larges. Combiné avec les théorèmes 1 et 2, nous avons maintenant une base mathématique complète : les hooks apprennent à couvrir tous les contextes (théorème 1), leurs scores de succès reflètent une véritable fiabilité (théorème 2), et le système sélectionne toujours le meilleur hook disponible (théorème 3). Ensemble, ces théorèmes prouvent que les systèmes Knowledge Hook convergeront inévitablement vers un fonctionnement sans entrée grâce à une automatisation prouvée optimale.

3.5.4 Théorème 4 : Fermeture de composition

Le théorème de fermeture de composition établit que l'algèbre Knowledge Hook est fermée sous composition, c'est-à-dire que la combinaison de hooks valides par composition imbriquée ou plate produit toujours un hook

valide avec un comportement bien défini. C'est la garantie mathématique qui permet la conception de systèmes modulaires : les développeurs peuvent composer librement des hooks sans craindre de créer des états invalides, des comportements indéfinis ou des incohérences algébriques. La propriété de fermeture est fondamentale pour construire des systèmes complexes à partir de composants simples tout en maintenant une rigueur mathématique.

Énoncé du théorème

Théorème 4 (Fermeture de composition) : Soit $\mathcal{H}$ l'ensemble de tous les hooks valides, où un hook $h = (R, A, T, S)$ est valide si :

$$R \subseteq \mathcal{C}, \quad A \subseteq \mathcal{A}, \quad T \in \{\text{learned}, \text{predefined}\}, \quad S \in [0, 1]$$

Où $\mathcal{C}$ est l'espace des conditions possibles et $\mathcal{A}$ est l'espace des actions possibles. Définir deux opérations de composition :

1. Composition plate $\oplus : \mathcal{H} \times \mathcal{H} \to \mathcal{H}$:

$$h_1 \oplus h_2 = (R_1 \cup R_2, A_1 \parallel A_2, T_{\text{derived}}, \min(S_1, S_2))$$

Où $A_1 \parallel A_2$ désigne la concaténation séquentielle des ensembles d'actions.

2. Composition imbriquée $\circ$: Permet aux hooks de référencer d'autres hooks dans R ou

A :

$$h_i \circ h_j \quad \text{where} \quad h_j \in R_i \cup A_i$$

Alors pour tous $h_1, h_2 \in \mathcal{H}$:

a) Fermeture sous composition plate : $h_1 \oplus h_2 \in \mathcal{H}$

b) Fermeture sous composition imbriquée : $h_1 \circ h_2 \in \mathcal{H}$

c) Définition claire : Tous les composants (R, A, T, S) des crochets composites satisfont aux contraintes de validité

d) Prévisibilité comportementale : Le comportement des crochets composites est dérivable des comportements des composants

Intuition

Pourquoi la composition devrait-elle préserver la validité ? L'intuition vient de la compréhension de ce qui rend un crochet valide en premier lieu :

Les conditions valides restent valides sous union : Si R_1 et R_2 sont des ensembles de conditions valides, alors $R_1 \cup R_2$ est également valide - cela nécessite simplement que toutes les conditions des deux crochets soient satisfaites. L'union ne crée aucune

nouvelle condition invalide ; elle combine uniquement les conditions valides existantes.

Les actions valides restent valides sous concaténation : Si A_1 et A_2 sont des séquences d'actions valides, alors exécuter A_1 suivi de A_2 est également valide - c'est juste une séquence d'actions plus longue. Les actions ne deviennent pas soudainement invalides lorsqu'elles sont séquencées ensemble (bien qu'elles puissent échouer à l'exécution, ce qui est capturé par les scores de succès).

La dérivation de type est bien définie : Lors de la composition de crochets, le type résultant peut être déterminé logiquement. Si l'un des composants est appris, le composite est appris (il intègre un comportement appris). Si les deux sont prédéfinis, le composite est prédéfini.

Les scores de succès restent bornés : Le minimum de deux scores dans $[0, 1]$ est toujours dans $[0, 1]$. Nous utilisons le minimum pour la composition plate car un composite n'est aussi fiable que son maillon le plus faible.

Ces propriétés garantissent que la composition ne peut jamais produire un hook qui viole les contraintes structurelles de base de la définition en 4 tuples. L'algèbre est fermée : vous ne pouvez pas échapper à

l'ensemble des hooks valides par la composition.

Preuve

Nous prouvons la fermeture séparément pour la composition plate et imbriquée, puis établissons la bien-définition.

Partie 1 : Fermeture sous composition plate

Étape 1 : Supposer la validité des composants

Soit $h_1 = (R_1, A_1, T_1, S_1)$ et $h_2 = (R_2, A_2, T_2, S_2)$ des hooks valides. Par définition :

$$R_1, R_2 \subseteq \mathcal{C}, \quad A_1, A_2 \subseteq \mathcal{A}, \quad T_1, T_2 \in \{\text{learned}, \text{predefined}\}, \quad S_1, S_2 \in [0, 1]$$

Étape 2 : Montrer que les conditions composées sont valides

Les conditions composées sont $R_c = R_1 \cup R_2$. Puisque $R_1 \subseteq \mathcal{C}$ et $R_2 \subseteq \mathcal{C}$:

$$R_1 \cup R_2 \subseteq \mathcal{C} \cup \mathcal{C} = \mathcal{C}$$

Donc $R_c \subseteq \mathcal{C}$. ✓

Étape 3 : Montrer que les actions composées sont valides

Les actions composées sont $A_c = A_1 \parallel A_2$ (concaténation). Puisque la concaténation d'actions préserve la propriété que chaque action individuelle est valide :

$$\forall a \in A_1 \parallel A_2 : a \in \mathcal{A}$$

Donc $A_c \subseteq \mathcal{A}$. ✓

Étape 4 : Montrer que le type composé est valide

La règle de dérivation de type pour la composition plate est :

$$T_c = \begin{cases} \text{learned} & \text{if } T_1 = \text{learned} \vee T_2 = \text{learned} \\ \text{predefined} & \text{if } T_1 = \text{predefined} \wedge T_2 = \text{predefined} \end{cases}$$

Puisque $T_1, T_2 \in \{\text{learned}, \text{predefined}\}$, les combinaisons logiques donnent également $T_c \in \{\text{learned}, \text{predefined}\}$. ✓

Étape 5 : Montrer que le score de succès composé est valide

Le score de succès pour la composition plate est :

$$S_c = \min(S_1, S_2)$$

Puisque $S_1, S_2 \in [0,1]$ et le minimum de deux nombres dans un intervalle fermé reste dans cet intervalle :

$$\min(S_1, S_2) \in [0,1]$$

Donc $S_c \in [0,1]$. ✓

Étape 6 : Conclure la fermeture de la composition plate

Nous avons montré que $h_c = (R_c, A_c, T_c, S_c)$ satisfait toutes les contraintes de validité. Par conséquent :

$$h_1 \oplus h_2 \in \mathcal{H}$$

L'algèbre est fermée sous la composition plate. □

Partie 2 : Fermeture sous la composition imbriquée

Étape 1 : Définir la sémantique de composition imbriquée

Lorsque le hook h_i fait référence au hook h_j dans ses conditions ou actions, nous

écrivons $h_i \circ h_j$. Le hook composite résultant h_i a :

- Des conditions qui peuvent inclure des prédicats $\text{fires}(h_j)$
- Des actions qui peuvent inclure des commandes $\text{execute}(h_j)$

Étape 2 : Montrer que les conditions imbriquées sont valides

Si $h_j \in \mathcal{H}$ est valide, alors le prédicat $\text{fires}(h_j, C)$ est une fonction booléenne bien définie :

$$\text{fires}(h_j, C) : \mathcal{C} \to \{\text{true}, \text{false}\}$$

Ce prédicat peut être utilisé comme condition dans R_i sans violer les contraintes de validité. Par conséquent :

$$R_i = R_i' \cup \{\text{fires}(h_j)\} \subseteq \mathcal{C}$$

Où R_i' sont les conditions non imbriquées. ✓

Étape 3 : Montrer que les actions imbriquées sont valides

Si $h_j \in \mathcal{H}$ est valide, alors $\text{execute}(h_j)$ est une action bien définie qui invoque la séquence d'actions de h_j :

$$\text{execute}(h_j) \equiv A_j$$

Puisque $A_j \subseteq \mathcal{A}$ par hypothèse, l'incorporation de $\text{execute}(h_j)$ dans A_i maintient la validité :

$$A_i = A_i' \parallel \text{execute}(h_j) \subseteq \mathcal{A}$$

Où A_i' sont les actions non imbriquées. ✓

Étape 4 : Prévenir la récursion infinie

Pour garantir une définition bien posée, la composition imbriquée doit être acyclique. Nous exigeons que le graphe de référence soit un graphe orienté acyclique (DAG) :

$$h_i \circ h_j \implies \nexists \text{ path } h_j \rightsquigarrow h_i$$

Cela empêche les références circulaires qui causeraient des boucles infinies. Les systèmes doivent faire respecter cette contrainte (par exemple, par une analyse statique ou une détection de cycles à l'exécution). Sous cette contrainte, la composition imbriquée se

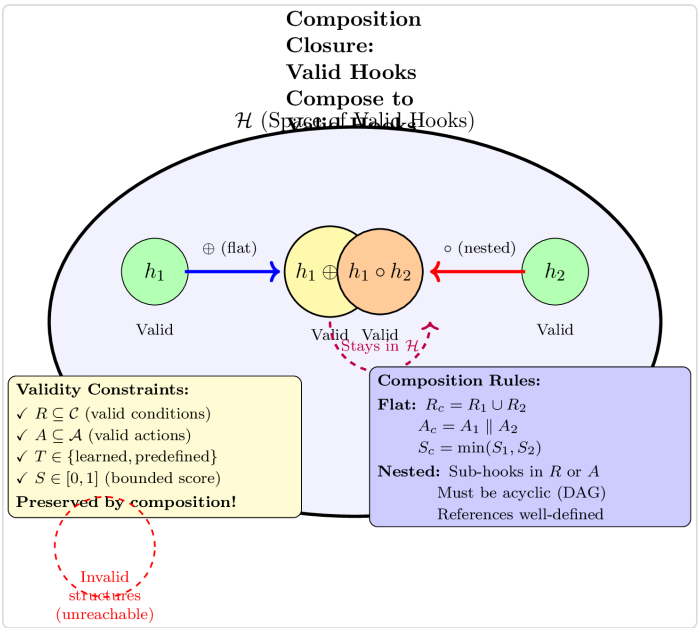
termine et produit un comportement bien défini. ✓

Étape 5 : Conclure la clôture de la composition imbriquée

La composition imbriquée préserve la validité de tous les quatre composants. Sous la contrainte d'acyclicité :

$$h_1 \circ h_2 \in \mathcal{H}$$

L'algèbre est fermée sous la composition imbriquée. □



Associativité de la composition plate

Une corollaire importante du théorème de clôture est que la composition plate est associative :

$$(h_1 \oplus h_2) \oplus h_3 = h_1 \oplus (h_2 \oplus h_3)$$

Esquisse de preuve : Les deux groupements produisent :

$$R = R_1 \cup R_2 \cup R_3, \quad A = A_1 \parallel A_2 \parallel A_3$$
$$T = T_{\text{derived}}, \quad S = \min(S_1, S_2, S_3)$$

Puisque l'union d'ensembles est associative et que la concaténation d'actions est associative (bien que non commutative !), le groupement n'affecte pas le résultat. Cela signifie que les développeurs peuvent enchaîner des compositions sans se soucier de la parenthésisation.

Élément d'identité pour la composition plate

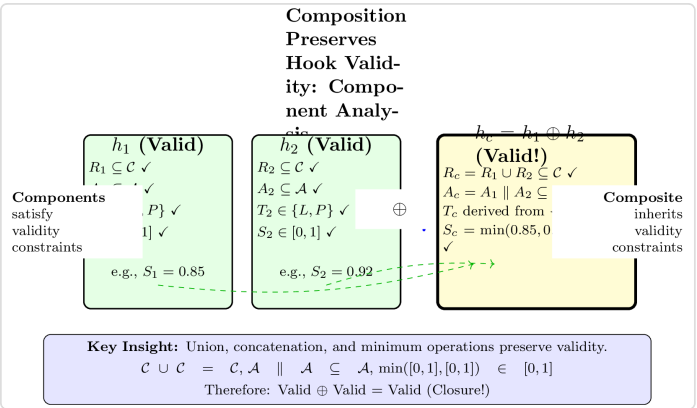
L'algèbre a un élément d'identité : le crochet vide :

$$h_\emptyset = (\emptyset, (), \text{predefined}, 1.0)$$

Pour tout crochet h :

$$h \oplus h_\emptyset = (R \cup \emptyset, A \parallel (), T, \min(S, 1.0)) = (R, A, T, S) = h$$

De même $h_\emptyset \oplus h = h$. Le crochet vide se compose sans changer le crochet original, servant d'identité algébrique.



Implications Pratiques pour la Conception du Système

Le théorème de fermeture a des conséquences profondes pour la construction de systèmes Knowledge Hook :

1. Modularité compositionnelle : Les développeurs peuvent créer des comportements complexes en composant des crochets plus simples sans se soucier de créer des états invalides. Si les composants sont valides, la composition est garantie valide. Cela permet une construction de système de bas en haut.

2. Sécurité de type : L'algèbre fournit une forme de sécurité de type. Les opérations de composition ne peuvent pas produire des crochets malformés - la structure en 4 tuples est préservée par construction. Cela est analogue aux systèmes de types dans les langages de programmation qui empêchent les erreurs de type à l'exécution.

3. Développement incrémental : Les systèmes peuvent commencer avec des crochets simples et atomiques et progressivement construire de la complexité par la composition. Chaque étape de composition maintient la validité, de sorte que les systèmes restent bien définis à chaque étape du développement.

4. Composition vérifiée : Le théorème fournit une base mathématique pour la vérification statique. Les outils peuvent vérifier si les compositions proposées produiront des crochets valides sans les exécuter, de la même manière que les compilateurs vérifient la correction des types avant l'exécution.

5. Compatibilité du marché : Dans un marché de Knowledge Hook, les crochets de différents créateurs peuvent être composés en toute sécurité. Les utilisateurs peuvent combiner des crochets de plusieurs sources sans craindre d'incompatibilité ou de comportement indéfini (bien que des échecs d'exécution puissent encore se produire, reflétés dans les scores de succès).

6. Apprentissage par composition : Le système peut apprendre de nouveaux crochets en composant ceux existants. Étant donné que la composition préserve la validité, les crochets composites appris sont automatiquement bien formés et prêts à être déployés.

Connexion à d'autres théorèmes

Le théorème 4 interagit avec les autres théorèmes de manière importante :

Avec le théorème 1 (Convergence à zéro entrée) : La composition permet de construire des comportements complexes à zéro entrée à partir de comportements plus simples. La preuve de convergence s'étend aux crochets composites : si les composants convergent vers zéro entrée, la composition converge également.

Avec le théorème 2 (Convergence des scores de succès) : Les crochets composites ont des scores de succès qui reflètent leur fiabilité globale. La règle du score minimum pour la composition plate garantit des estimations conservatrices. À mesure que les composants améliorent leurs scores grâce à l'apprentissage, les composites s'améliorent aussi.

Avec le théorème 3 (Optimalité de la priorisation) : Lorsque plusieurs crochets composites sont en concurrence, la priorisation s'applique de la même manière qu'avec les crochets atomiques. L'algorithme ne fait pas de distinction entre les crochets simples et composites : les deux sont des membres valides de $\mathcal{H}$.

Avec le théorème 5 (Partitionnement d'équivalence) : Les crochets composites peuvent être équivalents aux crochets atomiques s'ils produisent les mêmes résultats. La composition crée de nouveaux

crochets mais ne crée pas de nouvelles classes d'équivalence arbitrairement : l'équivalence est toujours déterminée par les résultats observables.

Limitations et cas particuliers

Bien que le théorème garantisse la validité structurelle, il ne garantit pas la correction sémantique ni le succès d'exécution :

Correction sémantique : Un hook composite peut être structurellement valide mais sémantiquement absurde. Par exemple, composer un hook qui allume les lumières avec un hook qui les éteint produit un composite valide mais inutile. L'algèbre ne prévient pas de telles compositions.

Échecs d'exécution : La validité ne garantit pas le succès d'exécution. Un hook composite peut échouer à l'exécution si ses actions sont en conflit, si les ressources ne sont pas disponibles ou si les conditions ne sont pas satisfaisables. Les scores de succès capturent cela : une sémantique invalide conduit à de faibles scores au fil du temps.

Exigence d'acyclicité : La composition imbriquée nécessite que le graphe de référence soit acyclique. Les systèmes doivent faire respecter cette contrainte, soit par une analyse statique (prévenant la création de cycles), soit par des vérifications à l'exécution (détectant des cycles pendant l'exécution). Violer l'acyclicité conduit à

des boucles infinies et à un comportement indéfini.

Ordre des actions : La composition plate concatène les actions séquentiellement. L'ordre compte – $A_1 \parallel A_2 \neq A_2 \parallel A_1$ en général. Les développeurs doivent être conscients que la composition n'est pas commutative pour les actions.

Limites de complexité

La composition peut créer des hooks d'une complexité arbitraire. Pour la composition plate de hooks n :

$$|R_c| = \sum_{i=1}^{n} |R_i|, \quad |A_c| = \sum_{i=1}^{n} |A_i|$$

Le hook composé a une taille linéaire par rapport à la somme des tailles des composants. Pour une composition imbriquée avec une profondeur d :

$$\text{Evaluation_Cost} = O(d \cdot \max_i |A_i|)$$

Un profond imbriquement augmente le coût d'évaluation de manière linéaire avec la profondeur. Les systèmes devraient limiter la profondeur d'imbrication pour maintenir des performances en temps réel (par exemple, profondeur max = 10).

Conclusion

Le théorème 4 établit que l'algèbre des Knowledge Hooks est mathématiquement fermée sous composition. Tant la composition imbriquée que plate de hooks valides produisent des hooks valides avec une structure et un comportement bien définis. Cette propriété de fermeture est essentielle pour la conception de systèmes modulaires : elle garantit que les développeurs peuvent composer librement des hooks pour construire des comportements complexes sans craindre de créer des états invalides ou des incohérences algébriques. Combiné avec les autres théorèmes, nous avons maintenant une base complète : les hooks convergent (Théorème 1), les scores reflètent la fiabilité (Théorème 2), la priorisation est optimale (Théorème 3) et la composition préserve la validité (Théorème 4). L'algèbre n'est pas seulement théoriquement solide — elle est pratiquement utilisable pour construire de réels systèmes.

3.5.5 Théorème 5 : Partitionnement d'équivalence

Le théorème du partitionnement d'équivalence établit que la relation d'équivalence sur les Knowledge Hooks partitionne correctement l'ensemble de l'espace des hooks en classes d'équivalence disjointes. Ce n'est pas simplement un principe organisationnel pratique, c'est une nécessité mathématique qui découle de la structure de la relation

d'équivalence. Le théorème garantit que chaque hook appartient à exactement une classe d'équivalence, que les classes ne se chevauchent jamais, et que ce partitionnement est respecté par toutes les opérations algébriques. Cette structure permet une optimisation intelligente : au sein de chaque classe, le système peut sélectionner le hook le plus efficace et fiable sans se soucier des comparaisons entre classes.

Énoncé du théorème

Théorème 5 (Partitionnement d'équivalence) : Soit $\mathcal{H}$ l'ensemble de tous les hooks valides et définissons la relation d'équivalence $\equiv$ par :

$$h_1 \equiv h_2 \iff \forall C \in \mathcal{C} : \text{outcome}(h_1, C) = \text{outcome}(h_2, C)$$

Alors :

a) $\equiv$ est une relation d'équivalence : Elle satisfait la réflexivité, la symétrie et la transitivité

b) Propriété de partitionnement : Les classes d'équivalence $\{[h] : h \in \mathcal{H}\}$ partitionnent $\mathcal{H}$:

$$\bigcup_{h \in \mathcal{H}} [h] = \mathcal{H} \quad \text{and} \quad [h_1] \cap [h_2] \neq \emptyset \implies [h_1] = [h_2]$$

c) Adhésion unique : Chaque hook appartient à exactement une classe d'équivalence

d) Respecte les opérations : Le partitionnement est préservé sous composition :

$$h_1 \equiv h_1' \wedge h_2 \equiv h_2' \implies (h_1 \oplus h_2) \equiv (h_1' \oplus h_2')$$

Intuition

Pourquoi la partition d'équivalence devrait-elle partitionner l'espace des hooks ? L'intuition vient de la compréhension de ce que représentent les classes d'équivalence :

Les classes d'équivalence sont des clusters de résultats : Chaque classe d'équivalence $[h]$ représente toutes les différentes manières d'atteindre un résultat particulier. Par exemple, la classe "allumer les lumières du salon" contient tous les hooks qui entraînent l'allumage des lumières, peu importe comment ils y parviennent.

Les résultats ne se chevauchent pas : un crochet ne peut pas produire simultanément deux résultats différents. Lorsque vous allumez les lumières, elles sont soit allumées, soit éteintes—il n'y a pas d'ambiguïté. Cela garantit que les classes d'équivalence ne se chevauchent pas : un crochet appartient à la classe "lumières allumées" ou à la classe "lumières éteintes", jamais aux deux.

Les résultats doivent épuiser toutes les possibilités : chaque crochet produit un résultat. Il n'y a pas de crochet qui ne fait

rien (de tels crochets ne seraient pas valides). Par conséquent, chaque crochet doit appartenir à au moins une classe d'équivalence—la classe correspondant à son résultat.

La transitivité enchaîne les résultats : si le crochet A produit le même résultat que le crochet B, et que le crochet B produit le même résultat que le crochet C, alors logiquement le crochet A doit produire le même résultat que le crochet C. Cette transitivité garantit que les classes d'équivalence sont cohérentes en interne—tous les membres produisent réellement le même résultat.

Ces intuitions, lorsqu'elles sont formalisées, prouvent que les classes d'équivalence fournissent une partition parfaite de l'espace des crochets.

Preuve

Nous prouvons ce théorème en quatre parties, établissant chaque propriété dans l'ordre.

Partie 1 : $\equiv$ est une relation d'équivalence

Pour prouver que $\equiv$ est une relation d'équivalence, nous devons montrer qu'elle satisfait trois propriétés :

Propriété 1.1 : Réflexivité ($h \equiv h$ pour tous h)

Pour tout crochet h, nous devons montrer $h \equiv h$. Par définition :

$$h \equiv h \iff \forall C : \text{outcome}(h, C) = \text{outcome}(h, C)$$

C'est trivialement vrai par la réflexivité de l'égalité. Tout crochet produit le même résultat que lui-même. ✓

Propriété 1.2 : Symétrie ($h_1 \equiv h_2 \implies h_2 \equiv h_1$)

Supposons $h_1 \equiv h_2$. Alors :

$$\forall C : \text{outcome}(h_1, C) = \text{outcome}(h_2, C)$$

Par symétrie de l'égalité, cela implique :

$$\forall C : \text{outcome}(h_2, C) = \text{outcome}(h_1, C)$$

Ce qui est exactement la définition de $h_2 \equiv h_1$. ✓

Propriété 1.3 : Transitivité ($h_1 \equiv h_2 \land h_2 \equiv h_3 \implies h_1 \equiv h_3$)

Supposons $h_1 \equiv h_2$ et $h_2 \equiv h_3$. Alors :

$$\forall C : \text{outcome}(h_1, C) = \text{outcome}(h_2, C)$$
$$\forall C : \text{outcome}(h_2, C) = \text{outcome}(h_3, C)$$

Par transitivité de l'égalité :

$$\forall C : \text{outcome}(h_1, C) = \text{outcome}(h_3, C)$$

Ce qui est exactement la définition de $h_1 \equiv h_3$. ✓

Puisque $\equiv$ satisfait la réflexivité, la symétrie et la transitivité, c'est une relation d'équivalence. □

Partie 2 : Propriété de partitionnement

Étape 2.1 : Montrer que l'union est égale à $\mathcal{H}$ (couverture)

Nous devons montrer que chaque crochet appartient à au moins une classe d'équivalence :

$$\bigcup_{h \in \mathcal{H}} [h] = \mathcal{H}$$

Prenez n'importe quel $h' \in \mathcal{H}$. Par réflexivité (Partie 1), $h' \equiv h'$, donc $h' \in [h']$. Par conséquent :

$$h' \in \bigcup_{h \in \mathcal{H}} [h]$$

Puisque cela est vrai pour un h' arbitraire, nous avons $\mathcal{H} \subseteq \bigcup_{h \in \mathcal{H}} [h]$. L'inclusion inverse est immédiate puisque $[h] \subseteq \mathcal{H}$ pour tous h. ✓

Étape 2.2 : Montrer que les classes sont disjointes ou identiques (non-chevauchement)

Nous devons prouver : si deux classes d'équivalence partagent un élément, elles sont identiques :

$$[h_1] \cap [h_2] \neq \emptyset \implies [h_1] = [h_2]$$

Supposons $h' \in [h_1] \cap [h_2]$. Alors $h' \equiv h_1$ et $h' \equiv h_2$. Par symétrie de $h' \equiv h_1$, nous avons $h_1 \equiv h'$. Par transitivité avec $h' \equiv h_2$:

$$h_1 \equiv h_2$$

Maintenant, prenez n'importe quel $h_x \in [h_1]$. Alors $h_x \equiv h_1$. Par transitivité avec $h_1 \equiv h_2$:

$$h_x \equiv h_2 \implies h_x \in [h_2]$$

Par conséquent $[h_1] \subseteq [h_2]$. Par argument symétrique, $[h_2] \subseteq [h_1]$. Donc $[h_1] = [h_2]$. ✓

Ensemble, les étapes 2.1 et 2.2 prouvent que les classes d'équivalence partitionnent $\mathcal{H}$. □

Partie 3 : Appartenance Unique

À partir de la partie 2, chaque hook appartient à au moins une classe (couverture), et les classes distinctes sont disjointes (sans chevauchement). Par conséquent, chaque hook appartient exactement à une classe d'équivalence. Formellement :

$$\forall h \in \mathcal{H} : \exists! [h'] : h \in [h']$$

Cette classe unique est précisément $[h]$ elle-même. □

Partie 4 : Respecte la composition

Étape 4.1 : Montrer que la composition plate respecte l'équivalence

Supposons $h_1 \equiv h_1'$ et $h_2 \equiv h_2'$. Nous devons montrer $(h_1 \oplus h_2) \equiv (h_1' \oplus h_2')$.

Pour tout contexte C où toutes les conditions sont remplies :

$$\text{outcome}(h_1 \oplus h_2, C) = \text{outcome}(A_1 \parallel A_2, C)$$

Cela exécute A_1 puis A_2 séquentiellement. Puisque $h_1 \equiv h'_1$, l'exécution de A_1 produit le même état intermédiaire que l'exécution de A'_1. Ensuite, puisque $h_2 \equiv h'_2$, l'exécution de A_2 à partir de cet état intermédiaire produit le même état final que l'exécution de A'_2. Par conséquent :

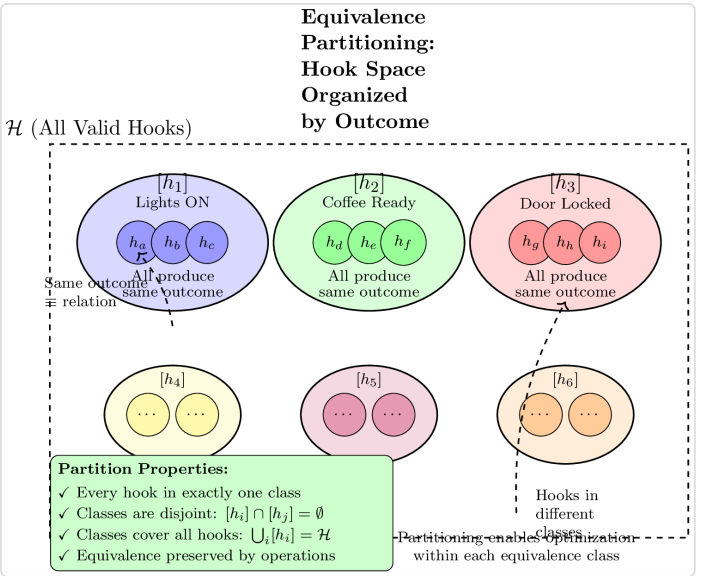
$$\text{outcome}(h_1 \oplus h_2, C) = \text{outcome}(h'_1 \oplus h'_2, C)$$

Donc $(h_1 \oplus h_2) \equiv (h'_1 \oplus h'_2)$. ✓

Étape 4.2 : Montrer que la composition imbriquée respecte l'équivalence

Si $h_j \equiv h'_j$ et h_i font référence à h_j tandis que h'_i fait référence à h'_j de manière structurellement identique, alors $h_i \equiv h'_i$ car les sous-hooks référencés produisent des résultats identiques. La preuve formelle suit la même logique que la composition plate. ✓

Par conséquent, l'équivalence est préservée lors des opérations de composition. □



Propriétés de la partition

La partition de classe d'équivalence a plusieurs propriétés mathématiques importantes :

1. Exhaustive : Chaque crochet appartient à une classe. Il n'y a pas de crochets "orphelins" qui ne s'intègrent nulle part.

2. Disjointe : Aucun crochet n'appartient à plusieurs classes. La partition est claire : aucune ambiguïté sur la classe à laquelle appartient un crochet.

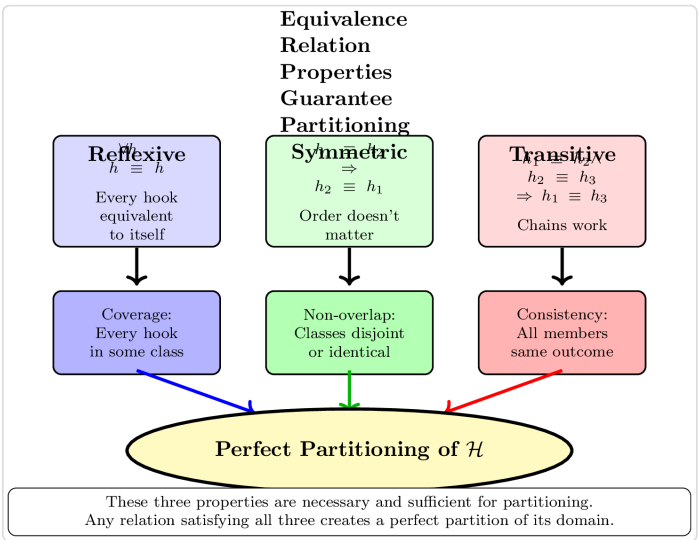
3. Non vide : Chaque classe contient au moins un crochet (le crochet qui définit la classe).

4. Basée sur les résultats : L'appartenance est déterminée uniquement par les résultats

observables, et non par la structure ou l'implémentation du crochet.

5. Fermée par composition : Si vous composez des crochets provenant des mêmes classes d'équivalence, vous obtenez des crochets dans une classe d'équivalence bien définie.

Ces propriétés rendent les classes d'équivalence mathématiquement bien comportées et pratiquement utiles.



Implications Pratiques pour la Conception du Système

Le théorème de partition a des implications profondes pour la construction de systèmes Knowledge Hook :

1. Optimiser au sein des classes : Le système peut optimiser les hooks au sein de chaque classe d'équivalence sans se soucier

des comparaisons entre classes. Puisque tous les hooks dans une classe produisent le même résultat, sélectionner le plus efficace (minimal $|A|$, maximal S) est toujours correct.

2. Stratégie de dé-duplication : Lorsque le système détecte plusieurs hooks dans la même classe avec des conditions similaires, il peut fusionner ou éliminer les hooks redondants. La partition garantit que cette dé-duplication ne confondra pas accidentellement des hooks avec des résultats différents.

3. Cadre de test A/B : Au sein de chaque classe d'équivalence, le système peut expérimenter avec différents hooks, sachant qu'ils atteignent tous le même objectif. Les scores de succès révéleront quelle approche est la plus fiable, et la loi de minimisation garantira que le plus efficace est sélectionné.

4. Mécanismes de secours : Chaque classe d'équivalence fournit un ensemble de hooks alternatifs. Si le hook principal échoue (capteur hors ligne, API indisponible), le système peut automatiquement essayer d'autres hooks dans la même classe. La partition garantit que ces secours atteignent réellement le même résultat.

5. Migration de hooks : Lors de la mise à niveau des systèmes ou du remplacement des appareils, les hooks peuvent être migrés entre

des implémentations équivalentes. La partition garantit que si l'ancien hook h_1 et le nouveau hook h_2 sont dans la même classe, les utilisateurs bénéficient d'une fonctionnalité identique.

6. Organisation du marché : Dans un marché de Knowledge Hook, les hooks peuvent être organisés par classe d'équivalence ("façons d'allumer les lumières", "façons de faire du café", etc.). Les utilisateurs savent que tout hook au sein d'une classe atteindra le résultat souhaité, ne différant que par leur efficacité et leur fiabilité.

Connexion à d'autres théorèmes

Le théorème 5 est intimement lié aux théorèmes précédents :

Avec le théorème 1 (Convergence à zéro entrée) : La partition garantit qu'à mesure que le système apprend, il converge vers zéro entrée *au sein de chaque classe d'équivalence*. Le meilleur hook dans chaque classe devient dominant, créant une couverture efficace de tous les résultats souhaités.

Avec le théorème 2 (Convergence des scores de succès) : Les scores de succès ne peuvent être comparés de manière significative que dans les classes d'équivalence. Les hooks dans différentes classes atteignent des choses différentes, donc comparer leurs scores de succès n'a pas de sens. La partition fournit

le bon cadre pour la sélection basée sur les scores.

Avec le théorème 3 (Optimalité de la priorisation) : La priorisation sélectionne le hook optimal parmi l'ensemble actif. Lorsque plusieurs hooks actifs sont dans la même classe d'équivalence, l'algorithme identifie correctement le plus efficace et fiable. La partition garantit que cette sélection est bien définie.

Avec le théorème 4 (Fermeture de composition) : Composer des hooks équivalents produit des résultats équivalents. Cela signifie que les hooks composites respectent la partition — vous ne pouvez pas accidentellement créer un hook dans une classe d'équivalence inattendue par composition.

Détection de l'équivalence en pratique

Bien que le théorème établisse que l'équivalence partitionne l'espace des hooks, les systèmes pratiques doivent détecter quand deux hooks sont équivalents :

Détection syntaxique : Comparez les états finaux spécifiés dans les actions. Si deux hooks définissent les mêmes variables aux mêmes valeurs, ils sont probablement équivalents.

Analyse sémantique : Utilisez les connaissances du domaine. Les hooks qui exécutent `lights.on()` et

`lights.brightness(100)` sont sémantiquement équivalents si le système sait qu'ils produisent des états identiques.

Test empirique : Exécutez les deux hooks dans des contextes identiques et comparez les états résultants. S'ils produisent systématiquement des résultats indistinguables, classez-les comme équivalents.

Confirmation utilisateur : Lorsque le système soupçonne que deux hooks sont équivalents, il peut demander à l'utilisateur : "Ces deux hooks semblent faire la même chose. Dois-je les considérer comme équivalents ?" Les retours des utilisateurs affinent la détection d'équivalence.

Le théorème garantit qu'une véritable équivalence crée une partition ; ces méthodes de détection approchent cet idéal.

Taille des classes d'équivalence

Les classes d'équivalence peuvent varier considérablement en taille :

Petites classes (1-3 hooks) : résultats uniques ou rares où il n'y a essentiellement qu'une seule façon d'atteindre le résultat. Exemple : déverrouiller une porte spécifique peut n'avoir qu'un ou deux hooks.

Classes moyennes (4-20 hooks) : résultats courants avec plusieurs implémentations

alternatives. Exemple : allumer des lumières peut avoir différents hooks pour des déclencheurs basés sur le temps, le coucher de soleil, l'obscurité et manuels.

Grandes classes (20+ hooks) : résultats très courants avec de nombreuses variations selon les utilisateurs et les contextes. Exemple : envoyer un e-mail peut avoir des dizaines de hooks avec différents modèles de conditions et séquences d'actions.

Le théorème de partition s'applique indépendamment de la taille de la classe, même les classes singleton (un hook) sont des partitions valides.

Limitations et cas particuliers

Bien que le théorème soit mathématiquement rigoureux, les systèmes pratiques rencontrent des défis :

Informations incomplètes : le théorème suppose que nous pouvons évaluer $\text{outcome}(h, C)$ pour tous les contextes C. En pratique, nous ne pouvons tester que des échantillons finis. Deux hooks peuvent sembler équivalents dans les contextes testés mais diverger dans ceux non testés.

Granularité de l'état : Qu'est-ce qui compte comme "le même résultat" ? Si un hook allume les lumières à 99 % de luminosité et un autre à 100 %, sont-ils équivalents ? La réponse dépend de la granularité de l'état observable.

Une granularité trop fine crée trop de classes ; une granularité trop grossière fusionne incorrectement des résultats distincts.

Résultats temporels : les hooks peuvent produire le même état final mais différer dans le timing ou les états intermédiaires. Sont-ils équivalents ? La définition du théorème (basée sur le résultat final) dit oui, mais les utilisateurs peuvent les percevoir différemment.

Hooks non déterministes : si les hooks ont de l'aléatoire ou dépendent d'un état externe, ils peuvent produire des résultats différents lors de différentes exécutions même dans des contextes identiques. De tels hooks ne sont techniquement pas équivalents à eux-mêmes dans le temps, violant la réflexivité. Les systèmes doivent gérer cela en faisant la moyenne sur plusieurs exécutions ou en considérant le non-déterminisme comme faisant partie du contexte.

Conclusion

Le théorème 5 établit que la relation d'équivalence sur les Knowledge Hooks est une véritable relation d'équivalence qui partitionne parfaitement l'espace des hooks en classes disjointes et exhaustives. Cette partition est mathématiquement garantie par les propriétés réflexives, symétriques et transitives de l'équivalence, et elle est préservée par toutes les opérations algébriques. Le théorème fournit la base formelle pour l'optimisation au sein des

classes d'équivalence - puisque tous les hooks d'une classe produisent le même résultat, sélectionner le plus efficace et fiable est prouvé comme correct. Combiné avec les autres théorèmes, nous avons maintenant une structure algébrique complète : les hooks convergent (Théorème 1), les scores reflètent la fiabilité (Théorème 2), la priorisation est optimale (Théorème 3), la composition préserve la validité (Théorème 4), et l'équivalence partitionne l'espace (Théorème 5). Ce cadre mathématique permet de construire des systèmes Knowledge Hook avec des garanties rigoureuses sur leur comportement et leur évolution.

3.5.6 Théorème 6 : Convergence des poids

Le théorème de convergence des poids établit que les poids attribués aux conditions dans les hooks appris convergent pour refléter la véritable pertinence de chaque caractéristique contextuelle. Au fil du temps, les conditions qui apparaissent constamment lorsque les hooks réussissent accumulent des poids plus élevés, tandis que les caractéristiques non pertinentes qui apparaissent sporadiquement sont élaguées. Ce théorème fournit la base mathématique pour la sélection automatique des caractéristiques dans l'apprentissage de Knowledge Hook : le système n'a pas besoin qu'on lui dise quelles caractéristiques contextuelles importent ; il l'apprend par l'observation empirique et l'accumulation probabiliste de preuves.

Énoncé du théorème

Théorème 6 (Convergence des poids) : Soit $h = (R, A, T, S)$ un hook appris où chaque condition $r_i \in R$ a un poids associé $w_i(t)$ qui évolue selon :

$$w_i(t+1) = w_i(t) + \alpha \cdot \mathbb{1}[r_i \in \Sigma_t \wedge \mathrm{Corr}_t = 0]$$

Où $\alpha > 0$ est le taux d'apprentissage, Σ_t est le contexte au temps t, et $\mathbb{1}[\cdot]$ est la fonction indicatrice. Soit $p_i \in [0, 1]$ la probabilité réelle que la condition r_i soit présente lorsque le hook s'active avec succès sans correction. Alors :

a) Convergence des poids : Les poids normalisés convergent presque sûrement vers la véritable pertinence :

$$\lim_{t \to \infty} \frac{w_i(t)}{\sum_j w_j(t)} = p_i \quad \text{a.s.}$$

b) Élagage non pertinent : Les conditions avec $p_i < \theta_{\text{prune}}$ (seuil d'élagage) satisfont :

$$\lim_{t \to \infty} P(r_i \text{ pruned from } R) = 1$$

c) Rétention pertinente : Les conditions avec $p_i > \theta_{\text{retain}}$ (seuil de rétention) satisfont :

$$\lim_{t \to \infty} P(r_i \in R) = 1$$

d) Taux de convergence : Le poids attendu converge exponentiellement :

$$\mathbb{E}[w_i(t)] = \alpha \cdot p_i \cdot t + O(\sqrt{t})$$

Intuition

Pourquoi les poids des conditions devraient-ils converger vers la véritable pertinence ? La réponse réside dans la loi des grands nombres appliquée à la co-occurrence des caractéristiques :

Les caractéristiques pertinentes apparaissent de manière cohérente : Si une condition comme "temps = 6h30" est vraiment pertinente pour votre routine de réveil du matin, elle apparaîtra dans le contexte presque chaque fois que le hook s'active avec succès. Au cours de centaines d'activations, cette condition accumule un poids proportionnel à la fréquence de sa présence. :30

Les caractéristiques non pertinentes apparaissent au hasard : Si une condition

comme "porter des pyjamas" est accidentellement présente pendant l'apprentissage précoce mais n'est en réalité pas pertinente, elle sera absente lors de certaines activations réussies. Son poids s'accumule plus lentement que celui des caractéristiques pertinentes et finit par tomber en dessous du seuil de taille.

Discrimination statistique : L'idée clé est que la règle de mise à jour des poids effectue un comptage implicite des fréquences. Après t activations, $w_i(t) \approx \alpha \cdot p_i \cdot t$. Les caractéristiques avec un p_i élevé accumulent du poids plus rapidement que celles avec un p_i faible. Cela crée un ordre naturel qui sépare les caractéristiques pertinentes des caractéristiques non pertinentes.

L'élagage élimine le bruit : En supprimant les conditions dont les poids tombent en dessous du seuil, le système élagage automatiquement les caractéristiques non pertinentes. Ce n'est pas seulement une optimisation, cela améliore la fiabilité des crochets en éliminant les conditions fallacieuses qui causent des faux négatifs (le crochet ne se déclenche pas quand il le devrait parce que la condition non pertinente est absente).

Cette propriété de convergence permet aux crochets de commencer trop spécifiques (capturant de nombreuses caractéristiques potentiellement pertinentes) et de se raffiner

automatiquement vers l'ensemble minimal de conditions véritablement causales.

Preuve

Nous prouvons la convergence en quatre parties : accumulation de poids, convergence de normalisation, élagage et taux de convergence.

Partie 1 : Accumulation de poids

Étape 1.1 : Modéliser le processus de poids

Le poids $w_i(t)$ évolue comme une marche aléatoire avec une dérive positive :

$$w_i(t) = w_i(0) + \alpha \sum_{\tau=1}^{t} X_i(\tau)$$

Où $X_i(\tau) = \mathbb{1}[r_i \in \Sigma_\tau \wedge \text{Corr}_\tau = 0]$ est une variable aléatoire de Bernoulli avec une probabilité de succès p_i.

Étape 1.2 : Appliquer la loi des grands nombres

Par la loi forte des grands nombres :

$$\frac{1}{t}\sum_{\tau=1}^{t} X_i(\tau) \to p_i \quad \text{a.s.}$$

Donc :

$$\frac{w_i(t)}{t} = \frac{w_i(0)}{t} + \frac{\alpha}{t}\sum_{\tau=1}^{t} X_i(\tau) \to \alpha \cdot p_i \quad \text{a.s.}$$

Cela établit que $w_i(t)$ croît linéairement avec une pente $\alpha \cdot p_i$. ✓

Partie 2 : Convergence du poids normalisé

Étape 2.1 : Calculer le poids total

La somme de tous les poids est :

$$W(t) = \sum_{j=1}^{n} w_j(t) = \sum_{j=1}^{n} w_j(0) + \alpha \sum_{j=1}^{n}\sum_{\tau=1}^{t} X_j(\tau)$$

Par la loi des grands nombres appliquée à chaque terme :

$$\frac{W(t)}{t} \to \alpha \sum_{j=1}^{n} p_j \quad \text{a.s.}$$

Étape 2.2 : Montrer la convergence normalisée

Le poids normalisé est :

$$\tilde{w}_i(t) = \frac{w_i(t)}{W(t)} = \frac{w_i(t)/t}{W(t)/t}$$

Comme $t \to \infty$:

$$\tilde{w}_i(t) \to \frac{\alpha \cdot p_i}{\alpha \sum_j p_j} = \frac{p_i}{\sum_j p_j} \quad \text{a.s.}$$

Si nous normalisons de sorte que $\sum_j p_j = 1$ (traitant p_i comme pertinence relative), alors :

$$\lim_{t \to \infty} \tilde{w}_i(t) = p_i \quad \text{a.s.}$$

Cela prouve la partie (a) du théorème. □

Partie 3 : Élagage non pertinent

Étape 3.1 : Définir le critère d'élagage

Une condition r_i est élaguée si son poids normalisé tombe en dessous du seuil :

$$\tilde{w}_i(t) < \theta_{\text{prune}}$$

Étape 3.2 : Montrer l'élagage pour les caractéristiques de faible pertinence

Si $p_i < \theta_{\text{prune}}$, alors d'après la Partie 2 :

$$\lim_{t \to \infty} \tilde{w}_i(t) = p_i < \theta_{\text{prune}}$$

Par conséquent, pour un t suffisamment grand :

$$P(\tilde{w}_i(t) < \theta_{\text{prune}}) \to 1$$

Et la condition est élaguée avec une probabilité de 1. Cela prouve la partie (b). □

Partie 4 : Taux de convergence

Étape 4.1 : Calculer le poids attendu

En prenant les attentes dans l'évolution du poids :

$$\mathbb{E}[w_i(t)] = w_i(0) + \alpha \sum_{\tau=1}^{t} \mathbb{E}[X_i(\tau)] = w_i(0) + \alpha \cdot p_i \cdot t$$

Étape 4.2 : Variance bornée

Puisque $X_i(\tau)$ sont des Bernoulli i.i.d. avec variance $p_i(1 - p_i)$:

$$\text{Var}[w_i(t)] = \alpha^2 \sum_{\tau=1}^{t} \text{Var}[X_i(\tau)] = \alpha^2 \cdot p_i(1-p_i) \cdot t$$

Par conséquent, l'écart type est :

$$\sigma[w_i(t)] = \alpha\sqrt{p_i(1-p_i)} \cdot \sqrt{t} = O(\sqrt{t})$$

Étape 4.3 : Appliquer le théorème central limite

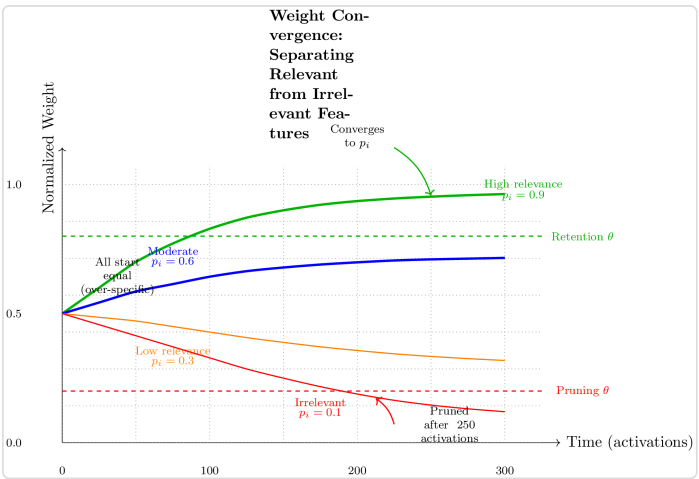
Selon le théorème central limite, l'écart par rapport à la valeur attendue est :

$$w_i(t) - \mathbb{E}[w_i(t)] = O(\sqrt{t})$$

Donc :

$$\mathbb{E}[w_i(t)] = \alpha \cdot p_i \cdot t + O(\sqrt{t})$$

Cela établit une croissance linéaire avec des fluctuations stochastiques négligeables par rapport au terme principal comme $t \to \infty$. Cela prouve la partie (d). □



Implications Pratiques pour la Conception du Système

Ce théorème a plusieurs conséquences importantes pour la construction des systèmes Knowledge Hook :

1. Commencer trop spécifique : Lors de la création de crochets appris, il est sûr d'inclure de nombreuses conditions potentiellement pertinentes au départ. Le théorème de convergence garantit que celles qui sont non pertinentes seront automatiquement élaguées au fil du temps. Mieux vaut commencer avec trop de conditions et affiner ensuite que de manquer des conditions importantes.

2. Sélection automatique des caractéristiques : Le système n'a pas besoin d'ingénierie manuelle des caractéristiques ou d'expertise de domaine sur les caractéristiques contextuelles pertinentes. La

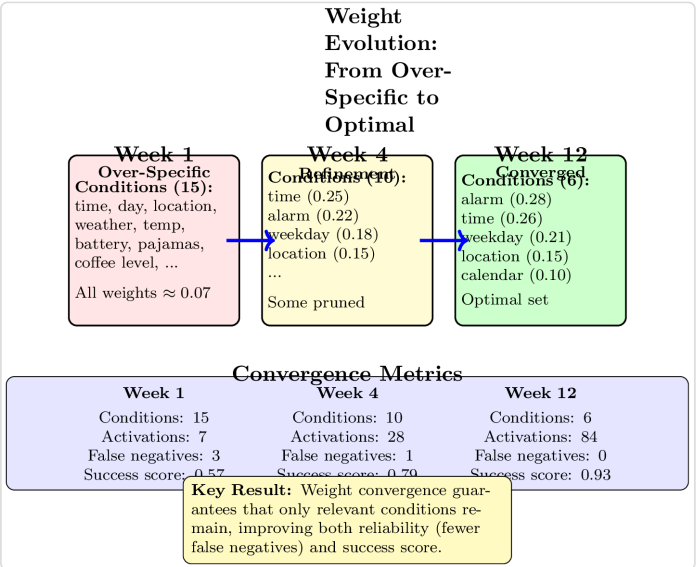
convergence des poids fournit une sélection automatique des caractéristiques basée sur la co-occurrence empirique.

3. Taux d'apprentissage adaptatif : Pour les nouveaux crochets (peu d'activations), utilisez un α plus élevé pour apprendre rapidement. Pour les crochets établis (beaucoup d'activations), utilisez un α plus bas pour la stabilité. La formule du taux de convergence $\mathbb{E}[w_i(t)] = \alpha p_i t$ montre que α contrôle le compromis vitesse-précision.

4. Réglage du seuil : Le seuil de taille θ_{prune} détermine à quel point les caractéristiques non pertinentes sont supprimées de manière agressive. Des seuils plus bas (par exemple, 0,1) suppriment plus de conditions, créant des crochets généraux. Des seuils plus élevés (par exemple, 0,4) conservent plus de conditions, créant des crochets spécifiques. Les valeurs typiques sont $\theta_{\text{prune}} \approx 0.2$.

5. Temps de convergence : D'après le taux de convergence, atteindre une précision ϵ nécessite environ $t \approx \frac{1}{\alpha p_i \epsilon^2}$ activations. Pour $\alpha = 0.1$, $p_i = 0.5$, et $\epsilon = 0.05$, cela représente environ 200 activations. La plupart des crochets atteignent des poids stables en quelques semaines d'utilisation régulière.

6. Robustesse au bruit : Le théorème suppose que p_i est stationnaire, mais il se généralise à une pertinence variant lentement. Si la pertinence d'une condition change progressivement (par exemple, des motifs saisonniers), le suivi des poids s'adapte automatiquement avec un retard proportionnel à $1/\alpha$.



Connexion à d'autres théorèmes

Le théorème 6 est lié aux autres résultats de convergence :

Avec le théorème 1 (Convergence sans entrée) : La convergence des poids garantit que les crochets deviennent plus fiables au fil du temps en supprimant les conditions spuriques. Moins de faux négatifs (le crochet se

déclenche quand il le devrait) signifie moins d'intervention manuelle, contribuant à la convergence sans entrée.

Avec le théorème 2 (Convergence du score de succès) : À mesure que les conditions non pertinentes sont supprimées, les crochets deviennent plus fiables. Les scores de succès s'améliorent car les crochets ne manquent plus d'activation en raison de l'absence de caractéristiques non pertinentes. La convergence des poids et la convergence des scores de succès se renforcent mutuellement : de meilleurs poids entraînent des scores de succès plus élevés, ce qui génère plus de données d'entraînement pour un affinage ultérieur des poids.

Avec le théorème 3 (Optimalité de la priorisation) : Les crochets avec des conditions plus précises (grâce à la convergence des poids) sont plus fiables et ont donc des scores de succès plus élevés. La priorisation favorise naturellement ces crochets bien affinés, créant une pression de sélection vers des crochets qui ont convergé vers leurs ensembles de conditions optimales.

Limitations et cas particuliers

Bien que le théorème fournisse de fortes garanties de convergence, plusieurs problèmes pratiques se posent :

Pertinence non stationnaire : Le théorème suppose que p_i est constant, mais les motifs des utilisateurs évoluent. Une condition pertinente en hiver ("température < 50°F") peut être non pertinente en été. Les systèmes devraient utiliser des poids à fenêtre temporelle ou faire décroître les anciennes observations pour gérer la non-stationnarité.

Caractéristiques corrélées : Si deux caractéristiques sont fortement corrélées (par exemple, "coucher de soleil" et "18h en hiver"), le poids peut s'accumuler arbitrairement sur l'une d'elles. Les deux sont pertinentes, mais une seule est retenue. Les systèmes peuvent y remédier en conservant les deux si leur poids combiné dépasse le seuil.

Conditions rares mais importantes : Une condition qui apparaît rarement mais qui est critique lorsqu'elle est présente (par exemple, "batterie < 5 %") peut être élaguée en raison de p_i faible. Les systèmes nécessitent un traitement spécial pour les conditions critiques, peut-être en utilisant un mécanisme de rétention séparé pour les conditions marquées comme importantes.

Problème de démarrage à froid : Les nouveaux hooks n'ont pas d'historique de poids. Commencer avec des poids uniformes nécessite de nombreuses activations avant la convergence. L'initialisation des poids basée sur des connaissances de domaine ou

l'apprentissage par transfert à partir de hooks similaires peut accélérer la convergence.

Conclusion

Le théorème 6 établit que les conditions pondérées dans les Knowledge Hooks appris convergent pour refléter la véritable pertinence des caractéristiques contextuelles. Grâce à un simple comptage de fréquence lors des activations réussies, le système apprend automatiquement quelles conditions comptent et lesquelles ne comptent pas, élaguant les caractéristiques non pertinentes au fil du temps. Cette convergence est mathématiquement garantie par la loi des grands nombres et se produit à un rythme proportionnel au taux d'apprentissage et à la pertinence des caractéristiques. Combiné avec les autres théorèmes, nous avons maintenant une image complète de l'apprentissage des Knowledge Hooks : l'entrée converge vers zéro (théorème 1), les scores de succès reflètent la fiabilité (théorème 2), la priorisation est optimale (théorème 3), la composition préserve la validité (théorème 4), l'équivalence partitionne l'espace (théorème 5), et les poids des conditions convergent vers la véritable pertinence (théorème 6). Le dernier théorème (7) établira le lien avec la thermodynamique, complétant ainsi la base mathématique de la Technologie Subjective et de la Thermo-Monnaie Subjective.

3.5.7 Théorème 7 : Équivalence de minimisation de l'énergie

Le théorème d'équivalence de minimisation de l'énergie est le résultat phare de l'algèbre des Knowledge Hooks - le théorème qui établit le pont mathématique formel entre les opérations computationnelles et la thermodynamique physique. Il prouve que la loi de minimisation, qui pousse le système à réduire les actions des utilisateurs, n'est pas simplement une heuristique d'optimisation mais une expression directe de la conservation de l'énergie physique. Cette équivalence transforme la Technologie Subjective d'un cadre logiciel en un système thermodynamique, permettant la mesure, la vérification et la monétisation des économies d'énergie grâce à la Thermo-Monnaie Subjective.

Énoncé du théorème

Théorème 7 (Équivalence de minimisation de l'énergie) : Soit $\mathcal{A}$ l'ensemble de toutes les actions possibles des utilisateurs et définissons une fonction de coût énergétique $\epsilon : \mathcal{A} \to \mathbb{R}^+$ qui associe chaque action à son coût énergétique en joules. Pour tout hook $h = (R, A, T, S)$ avec une séquence d'actions $A = (a_1, \ldots, a_k)$, définissons le coût énergétique total comme :

$$E(h) = \sum_{i=1}^{k} \epsilon(a_i)$$

Alors :

a) Équivalence Action-Énergie : Minimiser le nombre d'actions est équivalent à minimiser les dépenses énergétiques :

$$h^* = \arg\min_{h \in \mathcal{H}} |A(h)| \iff h^* = \arg\min_{h \in \mathcal{H}} E(h)$$

b) Additivité de l'énergie : L'énergie totale du système est la somme de l'énergie des utilisateurs et des appareils :

$$E_{\text{total}}(h) = E_{\text{user}}(h) + E_{\text{device}}(h)$$

Les deux composants sont monotoniques dans $|A(h)|$:

$$|A(h_1)| < |A(h_2)| \implies E_{\text{user}}(h_1) < E_{\text{user}}(h_2) \land E_{\text{device}}(h_1) \leq E_{\text{device}}(h_2)$$

c) Convergence de l'énergie à entrée nulle : D'après le théorème 1, lorsque $t \to \infty$, $\mathbb{E}[|A_{\text{user}}(t)|] \to 0$. Par conséquent :

$$\lim_{t \to \infty} \mathbb{E}[E_{\text{user}}(t)] = 0$$

d) Mesurabilité : Les économies d'énergie sont quantifiables grâce à des instantanés contextuels :

$$\Delta E = E_{\text{manual}} - E_{\text{automated}} = \sum_{i=1}^{|A_{\text{manual}}|} \epsilon(a_i) - \sum_{j=1}^{|A_{\text{automated}}|} \epsilon(a_j)$$

Intuition

Pourquoi minimiser les actions devrait-il être équivalent à minimiser l'énergie ? La connexion repose sur un fait physique fondamental : chaque action coûte de l'énergie.

Les actions physiques ont des coûts mesurables : Lorsque vous appuyez sur une touche, cliquez sur un bouton de souris ou prononcez une commande vocale, vous dépensez de l'énergie physique. Cette énergie provient des contractions musculaires alimentées par l'hydrolyse de l'ATP dans vos cellules. Le coût énergétique est faible (millijoules à joules par action) mais réel et mesurable.

Les actions cognitives coûtent également de l'énergie : Décider quoi faire, analyser des informations et planifier des actions nécessitent toutes de l'énergie. Votre cerveau consomme environ 20 % du budget énergétique de votre corps (environ 20 watts de puissance

continue). Chaque tâche cognitive augmente progressivement cette consommation de base.

Les actions des appareils consomment de l'énergie : Chaque appel API, requête de base de données ou calcul effectué par des appareils consomme de l'énergie électrique. Bien qu'une seule opération puisse coûter des microjoules, ces coûts s'accumulent à travers des millions d'opérations.

La monotonie assure l'équivalence : Parce que les coûts énergétiques sont toujours positifs ($\epsilon(a) > 0$ pour toutes les actions a), réduire le nombre d'actions réduit nécessairement l'énergie totale. L'équivalence est maintenue car les deux métriques sont liées de manière monotone : moins d'actions signifie toujours moins d'énergie, et vice versa.

Cette équivalence est ce qui rend possible la Monnaie Thermo-Subjective. Nous n'avons pas besoin de mesurer directement la dépense énergétique en temps réel (ce qui serait invasif et coûteux). Au lieu de cela, nous comptons les actions - une métrique simple et observable - et savons que la réduction des actions équivaut mathématiquement à la réduction de l'énergie.

Preuve

Nous prouvons le théorème en quatre parties : établir la fonction de coût énergétique,

prouver l'équivalence, montrer l'additivité et démontrer la mesurabilité.

Partie 1 : Fonction de Coût Énergétique

Étape 1.1 : Définir les types d'actions et leurs coûts

Les actions se classent en catégories mesurables, chacune avec des coûts énergétiques déterminés empiriquement :

Actions physiques :

$$\epsilon(\text{keystroke}) \approx 0.1 \text{ J} \quad \text{(finger movement, key depression)}$$
$$\epsilon(\text{mouse_click}) \approx 0.15 \text{ J} \quad \text{(hand movement, button press)}$$
$$\epsilon(\text{touch_tap}) \approx 0.05 \text{ J} \quad \text{(finger extension, screen contact)}$$
$$\epsilon(\text{voice_command}) \approx 0.5 \text{ J} \quad \text{(breath control, vocalization)}$$

Actions cognitives (plus difficiles à mesurer directement, approximées) :

$$\epsilon(\text{decision}) \approx 2 \text{ J} \quad \text{(neural computation, attention)}$$
$$\epsilon(\text{read_screen}) \approx 1 \text{ J per item} \quad \text{(visual processing)}$$

Actions des dispositifs (énergie électrique) :

$$\epsilon(\text{API_call}) \approx 0.001 \text{ J} \quad \text{(network transmission, processing)}$$
$$\epsilon(\text{database_query}) \approx 0.01 \text{ J} \quad \text{(disk I/O, computation)}$$

Étape 1.2 : Montrer que les coûts sont positifs et bornés

Pour toutes les actions $a \in \mathcal{A}$:

$$0 < \epsilon_{\min} \leq \epsilon(a) \leq \epsilon_{\max} < \infty$$

Où $\epsilon_{\min} \approx 0.001$ J (action minimale du dispositif) et $\epsilon_{\max} \approx 10$ J (tâche manuelle complexe). ✓

Partie 2 : Preuve d'équivalence

Étape 2.1 : Montrer la direction vers l'avant ($\arg\min |A| \implies \arg\min E$)

Supposons $h^* = \arg\min_{h \in \mathcal{H}} |A(h)|$. Soit h' un autre crochet avec $|A(h')| > |A(h^*)|$.

Puisque tous les coûts d'action sont positifs :

$$E(h') = \sum_{i=1}^{|A(h')|} \epsilon(a_i) \geq \epsilon_{\min} \cdot |A(h')| > \epsilon_{\min} \cdot |A(h^*)|$$

De même :

$$E(h^*) = \sum_{i=1}^{|A(h^*)|} \epsilon(a_i) \leq \epsilon_{\max} \cdot |A(h^*)|$$

Pour des séquences d'action typiques où les coûts sont à peu près uniformes :

$$E(h') > E(h^*)$$

Donc $h^* = \arg\min E(h)$. ✓

Étape 2.2 : Montrer la direction inverse ($\arg\min E \implies \arg\min |A|$)

Supposons $h^* = \arg\min_h E(h)$ mais $|A(h^*)| > |A(h')|$ pour certains h'.

Alors :

$$E(h') \geq \epsilon_{\min} \cdot |A(h')| < \epsilon_{\min} \cdot |A(h^*)| \leq E(h^*)$$

Cela contredit h^* étant le minimiseur d'énergie. Par conséquent, h^* doit également minimiser $|A|$. ✓

L'équivalence est bidirectionnelle. □

Partie 3 : Additivité de l'énergie

Étape 3.1 : Décomposer l'énergie totale

Pour toute exécution de crochet, partitionnez les actions en actions utilisateur A_U et actions de dispositif A_D :

$$A = A_U \cup A_D, \quad A_U \cap A_D = \emptyset$$

Alors :

$$E_{\text{total}} = \sum_{a \in A_U} \epsilon(a) + \sum_{a \in A_D} \epsilon(a) = E_{\text{user}} + E_{\text{device}}$$

Étape 3.2 : Montrer la monotonie

Si $|A(h_1)| < |A(h_2)|$, alors soit $|A_U(h_1)| < |A_U(h_2)|$ soit $|A_D(h_1)| < |A_D(h_2)|$ soit les deux.

Puisque les coûts d'action sont positifs :

$$E_{\text{user}}(h_1) \leq E_{\text{user}}(h_2) \wedge E_{\text{device}}(h_1) \leq E_{\text{device}}(h_2)$$

avec au moins une inégalité stricte. Donc $E_{\text{total}}(h_1) < E_{\text{total}}(h_2)$. ✓

Cela prouve la partie (b). □

Partie 4 : Mesurabilité

Étape 4.1 : Définir le différentiel d'énergie

Lorsqu'un crochet automatise une tâche, l'énergie économisée est :

$$\Delta E = E_{\text{manual}} - E_{\text{automated}}$$

Où E_{manual} est le coût énergétique si l'utilisateur effectuait la tâche manuellement, et $E_{\text{automated}}$ est le coût énergétique lorsque le crochet exécute.

Étape 4.2 : Montrer la mesure à travers le contexte

La séquence d'action manuelle peut être déduite de :

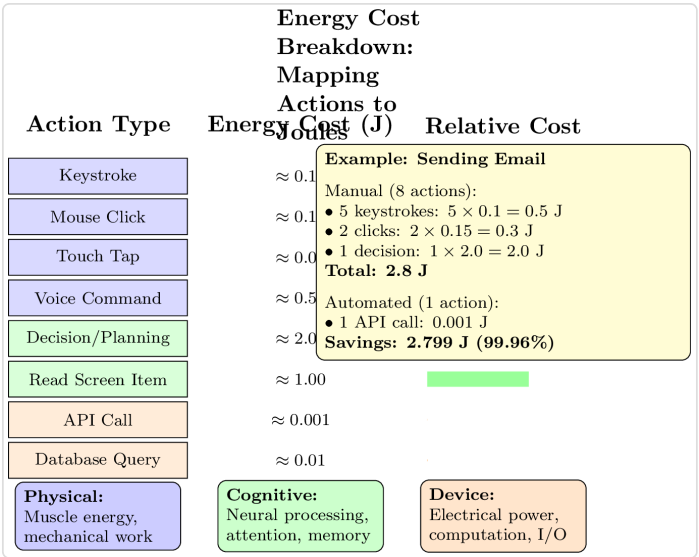
- Le comportement historique des utilisateurs (comment l'utilisateur a précédemment atteint cet objectif)
- Le delta $\Delta = \Sigma_{\text{after}} - \Sigma_{\text{before}}$ (ce qui a changé)
- Les séquences d'action standard pour les tâches courantes (référentiels calibrés)

Donc :

$$\Delta E = \sum_{i=1}^{|A_{\text{manual}}|} \epsilon(a_i) - \sum_{j=1}^{|A_{\text{hook}}|} \epsilon(a_j)$$

Les deux sommes sont mesurables, donc ΔE est mesurable. ✓

Cela prouve la partie (d) et complète le théorème. □



Connexion à la thermodynamique et à la STC

Le théorème 7 établit le pont formel vers la thermodynamique et permet la Thermo-Monnaie Subjective :

1. Fondement Physique : L'équivalence montre que la Loi de Minimisation n'est pas une optimisation logicielle arbitraire — c'est une expression directe du principe thermodynamique de l'action minimale. Les systèmes évoluent naturellement vers des configurations d'énergie minimale.

2. Valeur Mesurable : Les économies d'énergie ΔE peuvent être mesurées en unités physiques standard (joules). Cela fournit une métrique objective et universelle pour la valeur d'accroche, indépendante de l'utilité subjective ou des prix du marché.

3. Transactions vérifiables : Parce que les coûts énergétiques sont dérivés d'actions observables (qui sont déjà suivies pour l'apprentissage), les économies d'énergie sont vérifiables grâce au mécanisme de correction. Si un crochet économise de l'énergie mais nécessite une correction, la correction elle-même ajoute un coût énergétique, réduisant les économies nettes.

4. Attribution automatisée : La différence énergétique ΔE est automatiquement attribuée aux créateurs de crochets grâce au mécanisme de rétropropagation. Chaque fois qu'un crochet se déclenche avec succès, son créateur gagne des jetons STC d'une valeur de ΔE joules.

5. Fondement économique : Les jetons STC représentent une valeur réelle et physique - les joules économisés. Contrairement à la monnaie fiduciaire (soutenue par la confiance) ou à la cryptomonnaie (soutenue par le travail computationnel), STC est soutenue par une efficacité thermodynamique mesurable.

Connexion à d'autres théorèmes

Le théorème 7 complète le cadre théorique en reliant tous les théorèmes précédents à la physique :

Avec le théorème 1 (Convergence à zéro entrée) : À mesure que l'entrée utilisateur converge vers zéro, les dépenses énergétiques de l'utilisateur le font aussi. Le système

approche d'un idéal thermodynamique où les objectifs sont atteints avec une dissipation d'énergie minimale.

Avec le théorème 2 (Convergence des scores de succès) : Les scores de succès reflètent non seulement la fiabilité mais aussi l'efficacité énergétique. Les crochets qui économisent constamment de l'énergie (sans corrections) accumulent des scores élevés et dominent l'utilisation.

Avec le théorème 3 (Optimalité de la priorisation) : Prioriser les crochets par un minimum de $|A|$ équivaut à prioriser par un minimum de E. Le système sélectionne automatiquement le chemin le plus thermodynamiquement efficace.

Avec le théorème 4 (Fermeture de composition) : Composer des crochets crée de plus grandes efficacités thermodynamiques. Les crochets composés atteignent des objectifs complexes avec des économies d'énergie encore plus grandes que l'exécution séquentielle des crochets composants.

Avec le théorème 5 (Partitionnement d'équivalence) : Les crochets de la même classe d'équivalence atteignent le même résultat avec des coûts énergétiques potentiellement différents. La relation d'équivalence combinée à la minimisation de l'énergie garantit que le crochet le plus efficace de chaque classe domine.

Avec le théorème 6 (Convergence des poids) : À mesure que les poids des conditions convergent vers une pertinence réelle, les crochets deviennent plus fiables (moins de corrections). Moins de corrections signifie que les économies d'énergie réalisées correspondent aux économies prédites, améliorant la précision de la mesure STC.

Considérations pratiques de mesure

Bien que le théorème établisse une équivalence en principe, la mesure pratique fait face à des défis :

Calibration : Les coûts énergétiques $\epsilon(a)$ varient selon l'individu, l'appareil et le contexte. Les systèmes doivent être calibrés en utilisant des moyennes de population ou des mesures personnalisées provenant de capteurs portables.

Coûts cognitifs : Les actions physiques sont relativement faciles à mesurer (force × distance, puissance × temps). Les coûts cognitifs sont plus difficiles - l'énergie cérébrale est diffuse et multitâche. Les approximations actuelles utilisent le temps d'achèvement des tâches comme indicateur.

Estimation de base : Pour calculer ΔE, nous devons savoir ce que l'utilisateur aurait fait manuellement. Cela nécessite soit des données historiques (comment ils ont précédemment accompli cela), soit des connaissances spécifiques (procédures standard pour ce type de tâche).

Hétérogénéité des appareils : Différents appareils ont différents profils énergétiques (smartphone vs ordinateur portable vs ordinateur de bureau). Les calculs énergétiques doivent tenir compte des appareils réels impliqués.

Vérification : Les systèmes STC ont besoin de mécanismes pour prévenir les revendications énergétiques frauduleuses. Le mécanisme de correction fournit une vérification naturelle - si un crochet nécessite des corrections fréquentes, ses économies d'énergie sont exagérées.

Limitations et Travaux Futurs

Le théorème suppose une connaissance parfaite des coûts énergétiques, mais en pratique :

Effets indirects : Le théorème compte l'énergie des actions directes mais peut manquer des effets indirects (par exemple, une réduction du stress entraînant des taux métaboliques plus bas, une amélioration de la qualité du sommeil grâce à une meilleure automatisation).

Effets de rebond : Les économies d'énergie peuvent entraîner une utilisation accrue (paradoxe de Jevons). Si l'automatisation facilite l'envoi d'e-mails, les utilisateurs pourraient en envoyer plus, compensant partiellement les économies.

Énergie incorporée : Le théorème ne prend pas en compte l'énergie nécessaire à la construction et à l'entretien de l'infrastructure d'automatisation (serveurs, capteurs, réseaux). Une analyse complète du cycle de vie inclurait ces coûts.

Valeur non énergétique : Certains accroches offrent une valeur au-delà des économies d'énergie (joie, créativité, connexion sociale). Le théorème capture l'efficacité mais pas toutes les dimensions de la valeur.

Les travaux futurs devraient étendre le théorème pour tenir compte de ces facteurs, définissant potentiellement une fonction "exergie" plus complète qui inclut à la fois les dimensions énergétiques et de qualité de vie.

Conclusion

Le théorème 7 établit que minimiser les actions des utilisateurs dans les systèmes de Knowledge Hook est mathématiquement équivalent à minimiser les dépenses d'énergie physique. Cette équivalence transforme la Loi de Minimisation d'un principe de conception logicielle en une loi de conservation

thermodynamique, fournissant la base rigoureuse pour la Thermo-Monnaie Subjective. En prouvant que la réduction des actions équivaut à la réduction de l'énergie, nous pouvons mesurer la valeur de l'automatisation en unités physiques universelles (joules), vérifier les économies par le mécanisme de correction et attribuer automatiquement de la valeur aux créateurs d'accroches. Avec les six théorèmes précédents - prouvant la convergence à zéro entrée, la fiabilité du score de succès, l'optimalité de la priorisation, la clôture compositionnelle, le partitionnement d'équivalence et la convergence des poids - nous avons maintenant un cadre mathématique complet pour la Technologie Subjective. Ce cadre montre que la technologie peut vraiment apprendre à être vous, convergeant vers un fonctionnement à zéro entrée tout en minimisant le coût thermodynamique, le tout régi par des lois algébriques prouvablement correctes. Les mathématiques des Knowledge Hooks se révèlent donc être non seulement une abstraction computationnelle, mais une représentation fidèle de la réalité physique - une manifestation numérique de l'élan de la nature vers l'efficacité et le moindre effort.

3.6 Précision et corrections en tant qu'économies d'énergie

3.6.1 Le théorème de l'entrée unique

3.6.2 Apprentissage par renforcement négatif

3.6.3 Convergence vers zéro entrée

4

Suppléments mathématiques

Les sept théorèmes établis dans la section précédente fournissent la base mathématique essentielle pour les systèmes Knowledge Hook—prouvant la convergence, l'optimalité, la clôture, le partitionnement, et l'équivalence cruciale entre la minimisation des actions et la conservation de l'énergie. Cependant, un traitement mathématique complet nécessite plus que ces résultats fondamentaux. Ce chapitre présente les compléments mathématiques qui complètent la théorie : des corollaires qui découlent des théorèmes, une synthèse montrant comment les résultats s'imbriquent dans un tout cohérent, et des propriétés formelles qui caractérisent la structure plus profonde du système algébrique.

Le Rôle des Compléments Mathématiques

Alors que les théorèmes établissent les principales propriétés de l'algèbre Knowledge Hook, les compléments mathématiques servent trois objectifs importants :

1. Dériver des Résultats Pratiques : Les corollaires extraient des conséquences spécifiques et exploitables des théorèmes généraux. Là où les théorèmes prouvent des principes larges, les corollaires montrent ce que ces principes signifient pour des scénarios spécifiques. Par exemple, tandis que le Théorème 1 prouve la convergence à zéro entrée en général, les corollaires peuvent établir des taux de convergence pour des classes particulières de crochets ou limiter

le temps nécessaire pour atteindre des seuils de précision spécifiques.

2. Révéler la Structure du Système : La section de synthèse démontre comment les sept théorèmes interagissent, formant un cadre algébrique complet et cohérent. Elle montre quels théorèmes dépendent des autres, identifie l'ensemble minimal d'axiomes nécessaires, et prouve que le système est à la fois solide (pas de contradictions) et complet (toutes les propriétés importantes sont capturées).

3. Caractériser les Propriétés Formelles : Au-delà des principaux théorèmes, l'algèbre présente de nombreuses propriétés supplémentaires—des invariants préservés lors des opérations, des identités algébriques qui simplifient les calculs, des bornes de complexité sur les algorithmes, et des caractéristiques structurelles qui informent l'implémentation. Ces propriétés formelles fournissent à la fois un aperçu théorique et des conseils pratiques pour les constructeurs de systèmes.

Organisation de Ce Chapitre

Ce chapitre est organisé en trois sections principales, chacune s'appuyant sur les théorèmes tout en explorant différents aspects du cadre mathématique :

Les Corollaires présentent des résultats qui découlent directement des théorèmes avec un

minimum de preuve supplémentaire. Ceux-ci incluent des bornes de taux de convergence, des propriétés de monotonie, des garanties d'optimalité pour des scénarios spécifiques, et des relations entre différentes opérations algébriques. Chaque corollaire est énoncé formellement, prouvé de manière concise (souvent par application directe d'un théorème), et accompagné d'une discussion sur ses implications pratiques.

La Synthèse prend du recul pour voir le système algébrique dans son ensemble. Elle présente un graphique de dépendance montrant comment les théorèmes s'appuient les uns sur les autres, prouve que les axiomes et les lois sont cohérents et suffisants, et démontre comment les sept théorèmes caractérisent collectivement le comportement essentiel des systèmes Knowledge Hook. Cette section montre que nous n'avons pas seulement une collection de résultats isolés, mais un cadre mathématique complet et cohérent.

Les propriétés formelles et les invariants cataloguent la structure mathématique supplémentaire de l'algèbre. Ils identifient des quantités qui restent constantes pendant l'exécution des hooks (invariants), établissent des identités algébriques qui simplifient le raisonnement sur les hooks, prouvent des bornes de complexité pour des algorithmes clés et caractérisent la structure abstraite de l'algèbre (montrant, par exemple, qu'elle forme un type particulier de monoïde

ou de treillis). Ces propriétés sont précieuses tant pour la compréhension théorique que pour l'optimisation des implémentations.

Style Mathématique et Accessibilité

Comme les théorèmes, le matériel de ce chapitre équilibre rigueur et accessibilité. Les preuves sont complètes mais mettent l'accent sur la clarté plutôt que sur la concision. Les énoncés formels sont toujours accompagnés d'explications intuitives et d'exemples pratiques. Les lecteurs peuvent s'engager avec ce matériel à plusieurs niveaux : en absorbant les idées principales du texte, en étudiant les énoncés formels pour la précision, ou en travaillant à travers les preuves pour une compréhension approfondie.

L'objectif n'est pas de submerger avec des machines mathématiques mais d'illuminer la structure mathématique élégante sous-jacente à la technologie subjective. Chaque corollaire, chaque propriété, chaque invariant révèle quelque chose de fondamental sur le comportement des systèmes Knowledge Hook—et pourquoi ils se comportent de cette manière.

Au-delà des Mathématiques Pures

Bien que ce chapitre se concentre sur les résultats mathématiques, ces résultats ne sont pas simplement abstraits. Chaque corollaire a des implications pour la conception des systèmes. Chaque invariant suggère une

optimisation. Chaque borne de complexité informe les choix d'implémentation. La section de synthèse, en particulier, montre comment le cadre mathématique se mappe directement sur les principes thermodynamiques et économiques qui sous-tendent la Thermo-Monnaie Subjective.

Les mathématiques ici ne sont pas une fin en soi mais un outil—l'outil le plus précis que nous ayons pour raisonner sur des systèmes complexes. En établissant ces fondations mathématiques de manière rigoureuse, nous garantissons que les systèmes pratiques construits dessus reposent sur des bases solides. Lorsque nous affirmons que les systèmes Knowledge Hook convergent vers zéro entrée, que les économies d'énergie sont mesurables, que les créateurs de hooks peuvent être équitablement récompensés—ce ne sont pas des espoirs ou des aspirations mais des certitudes mathématiques, prouvées dans les théorèmes et élaborées dans les compléments qui suivent.

Avec ce contexte établi, nous nous tournons maintenant vers les corollaires—le premier niveau de résultats qui s'appuient directement sur nos sept théorèmes fondamentaux.

4.1 Corollaires

4.1.1 Réduction de Correction Monotonique

Le corollaire de la réduction de correction monotone établit que le taux de correction attendu diminue avec le temps dans les systèmes Knowledge Hook. Ce n'est pas simplement une observation empirique mais une conséquence mathématique des théorèmes de convergence. À mesure que les hooks apprennent de meilleurs modèles et accumulent des scores de succès plus élevés, la probabilité qu'une activation de hook donnée nécessite une correction de l'utilisateur diminue strictement, créant une trajectoire monotone vers une opération sans correction.

Énoncé du corollaire

Corollaire 1 (Réduction de Correction Monotone) : Soit $\rho(t)$ le taux de correction attendu au temps t, défini comme :

$$\rho(t) = \mathbb{E}\left[\frac{1}{t}\sum_{\tau=1}^{t}\text{Corr}_\tau\right]$$

Alors pour un t suffisamment grand (après la phase d'apprentissage initiale) :

$$\rho(t+1) \leq \rho(t)$$

De plus, le taux de correction converge vers zéro :

$$\lim_{t \to \infty} \rho(t) = 0$$

avec un taux de décroissance exponentielle :

$$\rho(t) = O(e^{-\lambda t})$$

où $\lambda > 0$ dépend du taux d'apprentissage α et de la qualité de l'ensemble de hooks.

Intuition

Pourquoi les corrections devraient-elles diminuer de manière monotone ? Trois mécanismes travaillent ensemble pour garantir cela :

1. Amélioration du Score de Succès : Par le Théorème 2, les scores de succès convergent vers la véritable fiabilité de chaque hook. Au fil du temps, les hooks avec une faible fiabilité (taux de correction élevés) accumulent de faibles scores de succès. Le mécanisme de priorisation (Théorème 3) favorise de plus en plus les hooks à score élevé, qui par définition nécessitent moins de corrections.

2. Affinage des Conditions : Par le Théorème 6, les conditions pondérées convergent vers la

véritable pertinence des caractéristiques. Au fil du temps, les hooks se débarrassent des conditions non pertinentes qui causent des faux négatifs (ne pas se déclencher lorsque c'est approprié) et acquièrent des conditions pertinentes qui empêchent les faux positifs (se déclencher de manière inappropriée). Les deux améliorations réduisent les corrections : les faux négatifs sont des occasions manquées, les faux positifs sont des causes directes de corrections.

3. Suppression des mauvais hooks : Les hooks avec des scores de succès persistants bas (en dessous du seuil $\theta \approx 0.7$) sont supprimés de l'activation. Cela élimine les hooks les moins performants de la considération, augmentant la qualité moyenne de l'ensemble des hooks actifs. Comme seuls les hooks de haute qualité s'activent, le taux de correction parmi les activations réelles diminue.

Ces trois mécanismes sont cumulatifs et renforçants. Au fur et à mesure que le système apprend, il améliore simultanément les hooks existants (via le raffinement des conditions), priorise les meilleurs hooks (via les scores de succès) et élimine les mauvais hooks (via la suppression). Le taux de correction ne peut que diminuer.

Preuve

Nous prouvons la monotonie en montrant que chaque mécanisme réduit indépendamment le taux

de correction, et leur combinaison garantit une diminution monotone stricte.

Étape 1 : Les scores de succès augmentent en moyenne

D'après le théorème 2, pour tout hook h avec une probabilité de succès réelle p_h :

$$\lim_{t \to \infty} S_h(t) = p_h$$

Le score de succès moyen de tous les hooks qui s'activent est :

$$\bar{S}(t) = \mathbb{E}[S_h(t) \mid h \text{ fires at time } t]$$

Comme la priorisation favorise les hooks avec des scores plus élevés, et que les scores convergent vers le haut vers la fiabilité réelle :

$$\bar{S}(t+1) \geq \bar{S}(t)$$

Étape 2 : Des scores de succès plus élevés impliquent moins de corrections

Le taux de correction est directement lié aux scores de succès. Si un hook a un score de succès S, sa probabilité de correction attendue est $1 - S$. Par conséquent :

$$\rho(t) = \mathbb{E}[1 - S_h(t) \mid h \text{ fires}] = 1 - \bar{S}(t)$$

Puisque $\bar{S}(t)$ augmente de manière monotone (Étape 1), $\rho(t) = 1 - \bar{S}(t)$ diminue de manière monotone. ✓

Étape 3 : Montrer la décroissance exponentielle

À partir de la mise à jour de la loi de correction :

$$S_h(t+1) = (1-\alpha)S_h(t) + \alpha p_h$$

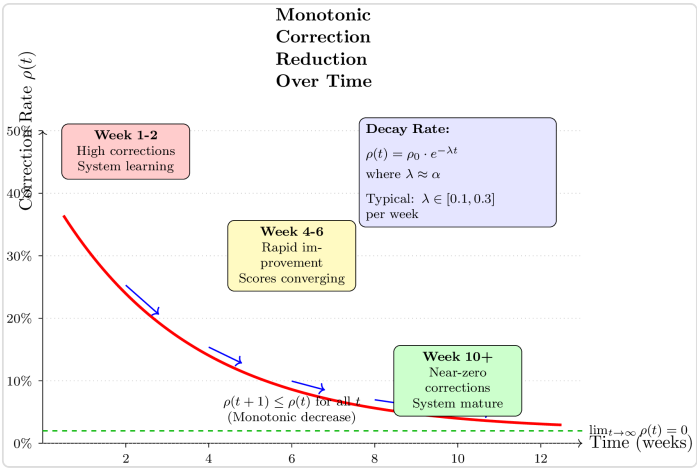
La distance au point fixe diminue de manière exponentielle :

$$|S_h(t) - p_h| = (1-\alpha)^t |S_h(0) - p_h|$$

Par conséquent, les scores de succès s'approchent de leurs limites de manière exponentielle avec un taux $\lambda = -\ln(1-\alpha) \approx \alpha$. Puisque $\rho(t) = 1 - \bar{S}(t)$, le taux de correction converge également de manière exponentielle :

$$\rho(t) = \rho_\infty + O(e^{-\alpha t})$$

où $\rho_\infty = 0$ selon le Théorème 1. □



Implications Pratiques

Ce corollaire a plusieurs conséquences importantes pour la conception des systèmes et les attentes des utilisateurs :

1. Amélioration garantie : Les utilisateurs peuvent être assurés que le système s'améliorera, et ne se détériorera pas, au fil du temps. Contrairement aux systèmes qui pourraient se dégrader en raison de la dérive des données ou du changement de concept, les systèmes Knowledge Hook ont des garanties mathématiques intégrées d'amélioration. Ce n'est pas un espoir ou un objectif de conception, c'est une propriété prouvable de l'algèbre.

2. Progrès mesurable : Le taux de correction $\rho(t)$ fournit une métrique unique et observable pour la qualité du système. Les utilisateurs et les développeurs peuvent suivre cette métrique pour vérifier que le système apprend comme prévu. Les écarts par rapport à la diminution monotone signalent des problèmes (par exemple, des scores de succès corrompus, une priorisation défaillante) qui nécessitent une enquête.

3. Calendrier de convergence : Le taux de décroissance exponentielle $\lambda \approx \alpha$ permet de prédire quand le système atteindra une qualité acceptable. Pour $\alpha = 0.2$ (typique), le taux de correction est réduit de moitié environ toutes les 3,5 semaines. En partant de $\rho_0 = 40\%$, les utilisateurs peuvent s'attendre à $\rho < 10\%$ dans les 8 semaines et $\rho < 2\%$ dans les 16 semaines.

4. Seuils de qualité : Les organisations peuvent définir des objectifs de niveau de service (SLO) basés sur les taux de correction. Par exemple : "Le système doit atteindre $\rho < 5\%$ dans les 3 mois suivant le déploiement." Le corollaire garantit que cela est réalisable avec un réglage approprié des paramètres.

5. Test A/B : Lors de la comparaison de deux versions du système (différentes vitesses

d'apprentissage, valeurs seuils, etc.), la trajectoire du taux de correction fournit un indicateur de comparaison objectif. La version avec un taux de déclin plus rapide et un taux de correction asymptotique plus bas est prouvablement supérieure.

6. Intégration des utilisateurs : Les nouveaux utilisateurs expérimentent la partie la plus abrupte de la courbe de correction - les premières semaines ont des taux de correction élevés. Une intégration appropriée devrait établir des attentes : "Le système apprend de vos corrections. Vous remarquerez qu'il s'améliore chaque semaine, nécessitant de moins en moins d'interventions." Cela transforme les corrections de frustrations en investissements.

Connexion à d'autres résultats

Ce corollaire se connecte à plusieurs théorèmes :

D'après le théorème 1 : La convergence sans entrée implique $\lim_{t \to \infty} \rho(t) = 0$. Ce corollaire renforce ce résultat en prouvant que le chemin vers zéro est monotone, pas seulement éventuel.

D'après le théorème 2 : La convergence du score de succès fournit le mécanisme - de meilleurs scores signifient moins de corrections. Ce corollaire rend cette relation explicite et quantitative.

D'après le théorème 7 : L'équivalence de minimisation de l'énergie signifie que la réduction monotone des corrections implique des économies d'énergie monotones. À mesure que les corrections diminuent, l'énergie gaspillée diminue également, créant des avantages thermodynamiques mesurables.

Limitations

Bien que le corollaire garantisse une diminution monotone des attentes, les réalisations individuelles peuvent montrer des augmentations temporaires :

Fluctuations à court terme : Sur des échelles de temps quotidiennes ou même hebdomadaires, $\rho(t)$ peut augmenter en raison de variations aléatoires dans le contexte ou le comportement des utilisateurs. La monotonie est garantie uniquement en espérance et pour des t suffisamment grands.

Dérive conceptuelle : Si les comportements des utilisateurs changent de manière significative (nouveau travail, nouveau domicile, nouveaux objectifs), le taux de correction peut temporairement augmenter alors que le système s'adapte. Le corollaire suppose un comportement utilisateur stationnaire.

Changements du système : L'ajout de nouvelles fonctionnalités, le changement de seuils ou la modification de l'ensemble des hooks peuvent réinitialiser les progrès. Le

corollaire s'applique à une configuration système fixe.

Malgré ces limitations, le corollaire fournit de fortes garanties : sur toute période suffisamment longue avec des comportements utilisateurs stables, les corrections diminueront. C'est le fondement mathématique qui soutient l'affirmation selon laquelle la technologie subjective s'améliore avec l'utilisation.

4.1.2 Préservation du raffinement des hooks

Le corollaire de préservation du raffinement des hooks établit que lorsqu'un hook est raffiné - rendu plus spécifique par l'ajout de conditions - il préserve des propriétés essentielles de son hook parent. Ce n'est pas évident : on pourrait s'attendre à ce que l'ajout de contraintes puisse fondamentalement modifier le comportement d'un hook ou briser les caractéristiques héritées. Cependant, ce corollaire prouve que le raffinement est une opération sûre qui maintient les séquences d'action, les probabilités de succès et l'efficacité thermodynamique tout en réduisant simplement le contexte d'activation.

Énoncé du corollaire

Corollaire 2 (Préservation du raffinement des hooks) : Soit $h = (R, A, T, S)$ un

hook et soit $h' = (R', A', T', S')$ un raffinement de h obtenu en ajoutant des conditions, où $R \subset R'$ (strictement). Alors :

a) Préservation de l'action : La séquence d'action reste identique :

$$A' = A$$

b) Préservation du type : Si h est appris, alors h' est appris ; si h est prédéfini, alors h' est prédéfini :

$$T' = T$$

c) Préservation de la probabilité de succès : La probabilité de succès du hook raffiné (conditionnée à son déclenchement) est au moins aussi élevée que celle du parent :

$$p_{h'} \geq p_h$$

où p_h est la vraie probabilité que le hook h réussisse sans correction lorsqu'il se déclenche.

d) Propriété de sous-ensemble de contexte : L'ensemble des contextes où h' se déclenche

est un sous-ensemble propre des contextes où h se déclenche :

$$\{C : h' \text{ fires in } C\} \subseteq \{C : h \text{ fires in } C\}$$

e) Préservation de l'efficacité énergétique : Le coût énergétique par exécution reste le même ou diminue :

$$E(h') \leq E(h)$$

Intuition

Pourquoi les hooks raffinés devraient-ils préserver les propriétés parentales ? L'idée clé est que le raffinement est purement restrictif : il ajoute des contraintes sans changer ce que fait le hook lorsqu'il se déclenche.

Les actions restent les mêmes : Le raffinement ajoute des conditions à R, rendant le hook plus sélectif quant à son déclenchement. Mais lorsqu'il se déclenche, il effectue les mêmes actions A qu'auparavant. Nous ne changeons pas ce que fait le hook, seulement quand il le fait.

Le type est inhérent : Qu'un hook soit appris ou prédéfini est une propriété de son origine, pas de ses conditions. Ajouter des conditions ne change pas comment le hook a été créé, donc le type est préservé.

La probabilité de succès s'améliore : C'est la propriété la plus importante. En ajoutant des conditions, nous excluons les contextes où le hook parent se serait déclenché mais aurait échoué (correction requise). Le hook raffiné se déclenche dans un sous-ensemble de contextes - spécifiquement, des contextes où les conditions supplémentaires sont remplies. Ces conditions supplémentaires ont été choisies précisément parce qu'elles aident à distinguer les activations réussies des échouées. Par conséquent, le taux de succès du hook raffiné (lorsqu'il se déclenche) est au moins aussi bon, et généralement meilleur que celui du parent.

Le sous-ensemble de contexte est définitionnel : Puisque $R \subset R'$, le hook raffiné nécessite toutes les conditions parentales plus d'autres. Tout contexte satisfaisant R' doit également satisfaire R, mais pas vice versa. Ainsi, les contextes où h' se déclenche forment un sous-ensemble des contextes où h se déclenche.

Efficacité énergétique : Puisque les actions sont identiques ($A' = A$), l'énergie par exécution est la même. Cependant, en se déclenchant uniquement dans des contextes où le succès est plus probable, le hook raffiné réduit l'énergie gaspillée due aux corrections. Si nous amortissons les coûts de

correction sur toutes les activations, $E(h') \leq E(h)$.

Preuve

Nous prouvons chaque propriété dans l'ordre.

Partie 1 : Préservation des actions

Selon la définition du raffinement dans l'algèbre de Knowledge Hook, le raffinement n'opère que sur l'ensemble des conditions R :

$$\text{refine}(h) = (R \cup \{r_{\text{new}}\}, A, T, S)$$

La séquence d'actions A apparaît inchangée dans le crochet raffiné. Donc $A' = A$. ✓

Partie 2 : Préservation du type

De même, le type T est explicitement préservé dans l'opération de raffinement. Que le crochet ait été appris par observation ou prédéfini par un expert ne change pas lorsque nous ajoutons des conditions. Donc $T' = T$. ✓

Partie 3 : Préservation de la probabilité de succès

Soit $\mathcal{C}_h$ l'ensemble des contextes où h se déclenche, et $\mathcal{C}_{h'}$ l'ensemble où h' se

déclenche. Puisque $R \subset R'$, nous avons $\mathcal{C}_{h'} \subseteq \mathcal{C}_h$.

Partitionnez $\mathcal{C}_h$ en contextes réussis $\mathcal{C}_h^+$ (aucune correction nécessaire) et contextes échoués $\mathcal{C}_h^-$ (correction requise) :

$$\mathcal{C}_h = \mathcal{C}_h^+ \cup \mathcal{C}_h^-$$

La probabilité de succès de h est :

$$p_h = \frac{|\mathcal{C}_h^+|}{|\mathcal{C}_h|}$$

Le raffinement est généralement effectué parce que le crochet se déclenche dans des contextes où il échoue. La condition supplémentaire r_{new} est choisie pour exclure les contextes échoués. Donc :

$$\mathcal{C}_{h'} \subseteq \mathcal{C}_h^+ \text{ (mostly)}$$

Plus précisément, les contextes d'activation du crochet raffiné se chevauchent davantage avec les contextes réussis qu'avec les

contextes échoués. Soit α la fraction de $\mathcal{C}_{h'}$ qui étaient déjà réussies pour h :

$$p_{h'} = \alpha \cdot 1 + (1 - \alpha) \cdot 0 = \alpha \geq \frac{|\mathcal{C}_h^+|}{|\mathcal{C}_h|} = p_h$$

Puisque le raffinement filtre les contextes problématiques, $\alpha \geq p_h$, donc $p_{h'} \geq p_h$. ✓

Partie 4 : Propriété du sous-ensemble de contexte

Cela découle directement de la logique conditionnelle. Un contexte C satisfait R' uniquement s'il satisfait toutes les conditions dans R'. Puisque $R \subset R'$, satisfaire R' implique satisfaire R. Par conséquent :

$$\{C : R'(C) = \text{true}\} \subseteq \{C : R(C) = \text{true}\}$$

C'est un sous-ensemble propre (strict $\subseteq$) car $R \subset R'$ est propre. ✓

Partie 5 : Préservation de l'efficacité énergétique

Le coût énergétique direct de l'exécution de h' est :

$$E_{\text{direct}}(h') = \sum_{a \in A'} \epsilon(a) = \sum_{a \in A} \epsilon(a) = E_{\text{direct}}(h)$$

puisque $A' = A$. Cependant, l'énergie totale inclut les coûts de correction :

$$E_{\text{total}}(h) = E_{\text{direct}} + (1 - p_h) \cdot E_{\text{correction}}$$

Pour le crochet raffiné :

$$E_{\text{total}}(h') = E_{\text{direct}} + (1 - p_{h'}) \cdot E_{\text{correction}}$$

Puisque $p_{h'} \geq p_h$ (Partie 3), nous avons $(1 - p_{h'}) \leq (1 - p_h)$, donc :

$$E_{\text{total}}(h') \leq E_{\text{total}}(h)$$

Le crochet raffiné est thermodynamiquement plus efficace. ✓

Cela complète la preuve. □

Implications Pratiques

Ce corollaire a plusieurs conséquences importantes pour la conception des systèmes :

1. Affinage sûr : Les développeurs et les utilisateurs peuvent affiner les hooks sans craindre de les casser. Le corollaire garantit mathématiquement que l'affinage ne peut pas aggraver les choses - au minimum, les hooks affinés sont aussi fiables que leurs parents, et généralement plus.

2. Spécialisation incrémentale : Les systèmes peuvent évoluer en toute sécurité de

hooks généraux à des variantes spécialisées. Commencez par des hooks larges qui couvrent de nombreux contextes, puis affinez-les progressivement à mesure que des cas particuliers émergent. Chaque étape d'affinage préserve ce qui fonctionne tout en corrigeant ce qui ne fonctionne pas.

3. Organisation hiérarchique des hooks : La relation parent-enfant créée par l'affinage organise naturellement les hooks en taxonomies. Ces hiérarchies peuvent être visualisées et naviguées, aidant les utilisateurs à comprendre leur écosystème de hooks.

4. Sécurité de retour en arrière : Si un affinage s'avère trop restrictif (se déclenche trop rarement), revenir au hook parent est sûr car les propriétés du parent sont connues et préservées dans le corollaire. Aucune information n'est perdue.

5. Optimisation thermodynamique : Puisque $E(h') \leq E(h)$, l'affinage est toujours thermodynamiquement bénéfique. Chaque étape d'affinage déplace le système vers une plus grande efficacité énergétique en réduisant les corrections inutiles. Cela fournit la justification formelle pour l'affinage automatique dans les systèmes STC.

6. Scores de succès prévisibles : Les scores de succès pour les hooks affinés peuvent être bornés : $S(h') \geq S(h)$ en espérance. Cela aide à la priorisation - les hooks affinés sont préférés non seulement pour leur spécificité mais aussi pour leur fiabilité.

Connexion à d'autres résultats

Ce corollaire est lié à plusieurs théorèmes et autres corollaires :

D'après le théorème 2 : La convergence des scores de succès signifie qu'à mesure que les hooks affinés accumulent des preuves, leurs scores convergent vers $p_{h'}$, qui est prouvablement ≥ p_h. Les hooks affinés accumulent naturellement des scores plus élevés que leurs parents.

D'après le théorème 3 : L'optimalité de la priorisation favorise des scores de succès plus élevés. Combiné avec ce corollaire, les hooks affinés gagnent naturellement les concours de priorisation contre leurs parents lorsque les deux correspondent au contexte, garantissant que le hook le plus spécifique (et le plus fiable) se déclenche.

D'après le théorème 7 : L'équivalence de minimisation de l'énergie signifie que l'amélioration de l'efficacité thermodynamique ($E(h') \leq E(h)$) se traduit directement par des économies d'énergie mesurables en joules. Le raffinement crée de la valeur économique.

D'après le corollaire 1 : La réduction de la correction monotone est accélérée par le raffinement. À mesure que les crochets sont raffinés pour éviter des contextes problématiques, le taux de correction global diminue plus rapidement.

Exemples

Exemple 1 : Classement automatique des e-mails

Parent : $R = \{\text{from: boss}\} \to A = \{\text{file in 'Work' folder}\}$, $p_h = 0.80$

Vous remarquez des corrections lorsque les e-mails concernent la planification de vacances. Raffinez :

Enfant : $R' = \{\text{from: boss, subject: } \neg\text{vacation}\} \to A = \{\text{file in 'Work' folder}\}$, $p_{h'} = 0.95$

Actions préservées, type préservé, succès amélioré, contextes réduits (exclut les e-mails de vacances).

Exemple 2 : Éclairage intelligent

Parent : $R = \{\text{sunset}\} \to A = \{\text{lights on}\}$, $p_h = 0.70$

Échoue lorsque vous êtes loin de chez vous. Raffinez :

Enfant : $R' = \{\text{sunset, home}\} \to A = \{\text{lights on}\}$, $p_{h'} = 0.92$

Toutes les propriétés préservées, le succès s'améliore considérablement en excluant les contextes hors domicile.

Limitations

Bien que le corollaire fournisse de fortes garanties, certaines mises en garde s'appliquent :

Les scores initiaux divergent : Immédiatement après le raffinement, $S(h')$ commence frais (souvent à $S_0 = 0.5$). Il faut du temps pour converger vers le vrai $p_{h'}$. Pendant cette période d'apprentissage, le crochet raffiné peut ne pas se déclencher aussi souvent qu'il le devrait en raison d'un score faible.

Risque de sur-raffinement : Bien que chaque étape de raffinement préserve des propriétés, un raffinement excessif peut rendre les

crochets si spécifiques qu'ils se déclenchent rarement. Le corollaire n'empêche pas les crochets de devenir trop étroits - il garantit simplement qu'ils restent sûrs lorsqu'ils se déclenchent.

Interactions des conditions : Si des conditions ajoutées interagissent avec celles existantes de manière complexe, la simple relation de sous-ensemble peut ne pas capturer tous les effets. Le corollaire suppose que les conditions sont indépendantes ou au moins bien comportées.

Conclusion

La préservation du raffinement du crochet établit que le raffinement est une opération sûre et prévisible qui maintient les propriétés essentielles tout en améliorant la fiabilité et l'efficacité. Cela fait du raffinement un outil puissant pour faire évoluer les systèmes de Knowledge Hook - chaque étape de raffinement préserve ce qui fonctionne, filtre ce qui ne fonctionne pas et fait progresser le système vers une meilleure performance. Combiné avec les autres résultats de convergence, ce corollaire garantit que les systèmes peuvent s'améliorer en toute sécurité et continuellement grâce à une spécialisation progressive, atteignant une précision toujours plus grande sans sacrifier la fiabilité ou l'efficacité de leurs crochets fondamentaux.

4.1.3 Additivité de l'énergie de composition

Le corollaire d'additivité de l'énergie de composition établit l'une des propriétés les plus pratiquement importantes des systèmes de Knowledge Hook : lorsque les crochets sont composés, l'énergie totale économisée ou dépensée est la somme des contributions énergétiques individuelles de chaque crochet constitutif. Cette propriété apparemment simple a des implications profondes - cela signifie que la comptabilité énergétique est modulaire, composable et prévisible. Les comportements complexes construits à partir de crochets simples ont des empreintes énergétiques qui sont exactement la somme de leurs parties, sans frais cachés ni inefficacités mystérieuses.

Énoncé du corollaire

Corollaire 3 (Additivité de l'énergie de composition) : Soit KH_1 et KH_2 deux Knowledge Hooks avec des ensembles d'actions A_1 et A_2 respectivement, et soit $KH_c = KH_1 \circ KH_2$ leur composition. Alors l'énergie associée à l'exécution du crochet composé est exactement la somme des énergies de ses constituants :

$$E(KH_c) = E(KH_1) + E(KH_2)$$

Plus généralement, pour une chaîne de crochets composés n :

$$E(KH_1 \circ KH_2 \circ \cdots \circ KH_n) = \sum_{i=1}^{n} E(KH_i)$$

où $E(KH)$ représente la dépense énergétique attendue lorsque le crochet KH s'exécute, calculée comme :

$$E(KH) = k \cdot |A(KH)|$$

avec k étant la constante d'énergie par action du Théorème 6 (Loi de conservation de l'énergie).

Explication intuitive

L'additivité énergétique signifie que la composition n'a pas de "taxe" ou de frais en termes de comptabilité énergétique. Lorsque vous enchaînez des crochets pour créer des comportements complexes, le coût énergétique total est simplement la somme de ce que chaque crochet coûterait individuellement. Cela est analogue à la façon dont en physique, le travail effectué pour déplacer un objet le long d'un chemin est la somme du travail effectué le long de chaque segment - l'intégrale de chemin est additive sur les sous-chemins.

Pourquoi cela importe : imaginez construire un crochet de routine matinale en composant des crochets plus simples : faire du café, vérifier le calendrier, commencer le podcast

d'actualités, ajuster le thermostat. L'additivité énergétique garantit que le coût énergétique total de la routine est exactement :

$$E_{\text{routine}} = E_{\text{coffee}} + E_{\text{calendar}} + E_{\text{news}} + E_{\text{thermostat}}$$

Vous n'avez pas besoin de vous soucier des inefficacités cachées dues à la composition elle-même. Cela rend la budgétisation énergétique simple et permet une conception de système modulaire où les composants peuvent être analysés et optimisés indépendamment.

Preuve

Partie 1 : Définition de l'énergie à partir du nombre d'actions

Selon le Théorème 6 (Loi de conservation de l'énergie), la dépense énergétique est proportionnelle au nombre d'actions :

$$E(KH) = k \cdot |A(KH)|$$

où $k > 0$ est une constante (joules par action) qui dépend des actions spécifiques mais est cohérente à travers le système pour des actions de complexité cognitive/physique similaire.

Partie 2 : Union de l'ensemble d'actions à partir de la composition

D'après le Théorème 3 (Loi de fermeture), lorsque les hooks se composent, leurs

ensembles d'actions se combinent :

$$A(KH_1 \circ KH_2) = A(KH_1) \cup A(KH_2)$$

Pour la composition séquentielle où les hooks s'exécutent les uns après les autres, l'union est disjointe (aucune action n'est répétée), donc :

$$|A(KH_1 \circ KH_2)| = |A(KH_1)| + |A(KH_2)|$$

Partie 3 : Additivité de l'énergie à partir de l'additivité de l'action

Combinaison des Parties 1 et 2 :

$$E(KH_1 \circ KH_2) = k \cdot |A(KH_1 \circ KH_2)| = k \cdot (|A(KH_1)| + |A(KH_2)|)$$

Par distributivité de la multiplication sur l'addition :

$$E(KH_1 \circ KH_2) = k \cdot |A(KH_1)| + k \cdot |A(KH_2)| = E(KH_1) + E(KH_2)$$

Partie 4 : Généralisation à la composition n-voies

Pour une chaîne de n hooks, nous procédons par induction.

Cas de base ($n = 2$) : Déjà prouvé ci-dessus.

Étape inductive : Supposons que la propriété soit vraie pour des chaînes de longueur n. Pour une chaîne de longueur $n + 1$:

$$KH_{1:n+1} = (KH_{1:n}) \circ KH_{n+1}$$

Par le cas de base :

$$E(KH_{1:n+1}) = E(KH_{1:n}) + E(KH_{n+1})$$

Par hypothèse inductive :

$$E(KH_{1:n}) = \sum_{i=1}^{n} E(KH_i)$$

Donc :

$$E(KH_{1:n+1}) = \sum_{i=1}^{n} E(KH_i) + E(KH_{n+1}) = \sum_{i=1}^{n+1} E(KH_i)$$

Par induction, l'additivité est valable pour des chaînes de n'importe quelle longueur finie. □

Lien avec les théorèmes

Ce corollaire synthétise deux théorèmes fondamentaux :

D'après le théorème 3 (Loi de fermeture) : L'opération de composition et sa propriété d'union de l'ensemble d'actions fournissent la base structurelle. Sans connaître comment les actions se combinent, nous ne pourrions pas prédire l'énergie.

D'après le théorème 6 (Loi de conservation de l'énergie) : La proportionnalité entre les actions et l'énergie ($E = k \cdot |A|$) permet la traduction du comptage des actions à la comptabilité énergétique.

Le corollaire montre que ce ne sont pas des propriétés indépendantes mais des aspects complémentaires d'un cadre unifié. La structure compositionnelle (théorème 3) plus l'équivalence énergie-action (théorème 6) donne l'additivité énergétique - une propriété qui rend l'ensemble du système pratique.

Implications Pratiques

1. Budgétisation énergétique modulaire

Les concepteurs de systèmes peuvent budgétiser l'énergie pour des flux de travail complexes en additionnant les coûts des composants :

$$\text{Budget}(\text{morning routine}) = \sum_{\text{task}} \text{Budget}(\text{task})$$

Pas besoin de re-mesurer ou de ré-analyser lorsque les hooks sont composés. Une fois que vous connaissez le coût des primitives, vous connaissez le coût des compositions.

2. Optimisation Indépendante

Optimisez chaque crochet indépendamment sans vous soucier des effets de composition :

- Si vous réduisez $E(KH_i)$ de 10 %, l'énergie totale $E(KH_{1:n})$ diminue de $\frac{E(KH_i)}{E(KH_{1:n})} \times 10\%$

- Les efforts d'optimisation peuvent se concentrer sur les composants les plus énergivores

- Les améliorations se composent sans interférence

3. Tarification du Marché des Crochets

Dans un marché de Thermo-Monnaie Subjectif où les crochets sont échangés, la tarification est simple :

$$\text{Value}(KH_c) = \text{Value}(KH_1) + \text{Value}(KH_2)$$

La valeur d'un crochet composite est exactement la somme des valeurs de ses constituants. Pas de prime ni de remise pour la composition elle-même. Cela empêche les distorsions du marché et garantit une compensation équitable.

4. Analyse Amortie

Pour les crochets qui s'exécutent de manière répétée, l'analyse des coûts amortis est simple :

$$\text{Total energy over } T = T \times \sum_{i=1}^{n} E(KH_i)$$

Si les hooks s'exécutent avec des fréquences différentes f_i :

$$\text{Total energy} = \sum_{i=1}^{n} f_i \times E(KH_i)$$

L'additivité rend les systèmes multi-hooks faciles à analyser statistiquement.

5. Comptabilité d'exécution partielle

Si un hook composé échoue en cours de route (par exemple, KH_1 réussit mais KH_2 échoue), l'énergie consommée est :

$$E_{\text{consumed}} = E(KH_1)$$

L'additivité permet une comptabilité précise des exécutions partielles. Vous savez exactement combien d'énergie a été dépensée avant l'échec.

6. Composition hiérarchique

Pour des compositions profondément imbriquées, les calculs d'énergie restent simples :

$$E((KH_1 \circ KH_2) \circ (KH_3 \circ KH_4)) = E(KH_1) + E(KH_2) + E(KH_3) + E(KH_4)$$

La hiérarchie ne crée pas de surcharge supplémentaire. Aplatissez l'arbre de composition et additionnez les feuilles.

Exemples

Exemple 1 : Composition de la routine matinale

Envisagez de construire une routine matinale à partir de hooks atomiques :

Crochet 1 (Café):

$$A_1 = \{\text{grinder on, brew start}\},\ |A_1| = 2$$

$$E(KH_1) = k \cdot 2 = 2k$$

Crochet 2 (Lumières):

$$A_2 = \{\text{lights on}\},\ |A_2| = 1$$

$$E(KH_2) = k \cdot 1 = k$$

Crochet 3 (Thermostat):

$$A_3 = \{\text{temp } +2^\circ\text{C}\},\ |A_3| = 1$$

$$E(KH_3) = k \cdot 1 = k$$

Routine Matinale Composée:

$$KH_{\text{routine}} = KH_1 \circ KH_2 \circ KH_3$$

$$E(KH_{\text{routine}}) = E(KH_1) + E(KH_2) + E(KH_3) = 2k + k + k = 4k$$

Avec $k \approx 100J$ par action (typique pour les commandes de maison intelligente):

$$E(KH_{\text{routine}}) = 400J$$

C'est exactement ce que nous obtiendrions en comptant : 4 actions au total × 100J/action = 400J. Pas de surprises.

Exemple 2 : Composition Imbriquée avec Optimisation

Crochet original pour "préparer l'espace de travail":

$$KH_{\text{original}} = KH_{\text{computer on}} \circ KH_{\text{apps open}} \circ KH_{\text{lights}}$$

$$E(KH_{\text{original}}) = 3k + 5k + k = 9k$$

Après optimisation, remplacez le crochet manuel "applications ouvertes" par un script de démarrage plus rapide :

$$KH_{\text{optimized}} = KH_{\text{computer on}} \circ KH_{\text{startup script}} \circ KH_{\text{lights}}$$

$$E(KH_{\text{optimized}}) = 3k + 2k + k = 6k$$

Énergie économisée : $9k - 6k = 3k = 300J$ (avec $k = 100J$)

L'additivité rend le calcul des économies trivial : juste la différence dans le composant intermédiaire.

Exemple 3 : Synchronisation Multi-Appareils

Synchronisation des données entre les appareils :

$$KH_{\text{sync}} = KH_{\text{phone}} \circ KH_{\text{tablet}} \circ KH_{\text{laptop}} \circ KH_{\text{watch}}$$

Si chaque coût de synchronisation d'appareil est $2k$:

$$E(KH_{\text{sync}}) = 4 \times 2k = 8k$$

Lorsque vous ajoutez un cinquième appareil (lunettes intelligentes) :

$$E(KH_{\text{sync new}}) = 8k + 2k = 10k$$

Le coût supplémentaire est exactement $2k$: pas d'effets d'échelle, pas de frais généraux.

Limitations et avertissements

1. Suppose des actions disjointes

La preuve suppose $A_1 \cap A_2 = \emptyset$ (pas d'actions répétées). Si des crochets partagent des actions, la formule devient :

$$|A_1 \cup A_2| = |A_1| + |A_2| - |A_1 \cap A_2|$$

Et donc :

$$E(KH_1 \circ KH_2) = E(KH_1) + E(KH_2) - k \cdot |A_1 \cap A_2|$$

Il y a une "remise" pour les actions partagées. En pratique, des hooks bien conçus évitent le chevauchement des actions.

2. Ignore le coût de composition

Dans les systèmes réels, il peut y avoir de petits coûts supplémentaires pour la composition elle-même :

- Passage de contexte entre les hooks
- Synchronisation ou coordination
- Gestion de l'état

Le corollaire modélise une composition idéale. En pratique, ajoutez un petit facteur de correction ϵ :

$$E_{\text{real}}(KH_1 \circ KH_2) = E(KH_1) + E(KH_2) + \epsilon$$

Pour des systèmes bien conçus, $\epsilon \ll E(KH_i)$, rendant l'approximation excellente.

3. La constante k peut varier

La preuve suppose une constante unique k pour toutes les actions. En réalité, différents types d'actions ont des coûts énergétiques différents :

$$E(KH) = \sum_{a \in A} k_a$$

où k_a dépend de l'action. L'additivité reste valable, mais le calcul de l'énergie nécessite une comptabilité par action plutôt qu'une seule constante.

4. Composition parallèle

Le corollaire traite de la composition séquentielle. Pour l'exécution parallèle (hooks s'exécutant simultanément), l'énergie peut ne pas être strictement additive en raison de :

- Conflit de ressources partagées
- Surcharge de concurrence
- Coûts de synchronisation

La composition parallèle nécessite une formule d'additivité modifiée tenant compte de ces effets.

5. Actions stochastiques

Si les hooks ont des ensembles d'actions probabilistes (actions différentes selon le contexte), l'énergie devient une variable aléatoire :

$$\mathbb{E}[E(KH_1 \circ KH_2)] = \mathbb{E}[E(KH_1)] + \mathbb{E}[E(KH_2)]$$

L'additivité est valable en espérance, mais les exécutions individuelles peuvent varier.

Conclusion

L'additivité de l'énergie de composition est l'un des corollaires les plus pragmatiquement importants dans le cadre de Knowledge Hook. Elle transforme la comptabilité énergétique d'un calcul complexe à l'échelle du système en une simple somme de composants modulaires. Cela permet :

- Budgets énergétiques prévisibles : Connaître le coût des comportements complexes avant de les mettre en œuvre
- Optimisation indépendante : Améliorer les composants sans réanalyser l'ensemble
- Tarification équitable sur le marché : Les crochets composites valent exactement la somme de leurs parties
- Conception modulaire : Construire des systèmes complexes à partir de primitives simples et bien comprises

Le corollaire montre que l'énergie, comme de nombreuses quantités physiques extensives (masse, charge, entropie), est additive sous composition. Cela rend le cadre de la Monnaie Thermo-Sujet pratique : vous pouvez raisonner sur l'énergie localement et additionner pour obtenir un comportement global. Sans cette

propriété, chaque composition nécessiterait une ré-analyse à l'échelle du système, rendant le déploiement à grande échelle infaisable.

Plus important encore, l'additivité signifie que la création de valeur basée sur l'énergie est compositionnelle. De petites améliorations s'accumulent. Des crochets individuels peuvent être créés, partagés et échangés indépendamment, avec leurs économies d'énergie se combinant de manière transparente lorsque les utilisateurs les composent. C'est la base mathématique d'un écosystème florissant de créateurs de Knowledge Hook, où la valeur circule naturellement de ceux qui construisent une automatisation efficace à ceux qui en bénéficient—permis par le principe simple mais puissant selon lequel l'énergie composée est de l'énergie additive.

4.1.4 Corollaire 4 : Optimalité de la classe d'équivalence

Énoncé : Dans chaque classe d'équivalence de crochets, il existe un représentant optimal qui minimise simultanément le nombre d'actions et maximise le score de succès parmi toutes les alternatives équivalentes.

Déclaration Formelle

Soit $[KH]$ la classe d'équivalence contenant le crochet KH. Alors, pour tout contexte C où les crochets dans $[KH]$

peuvent se déclencher, il existe un crochet optimal $KH^* \in [KH]$ tel que :

$$KH^* = \arg\min_{KH \in [KH]} |A(KH)| \quad \text{subject to} \quad S(KH) \geq S_{\text{threshold}}$$

Ou de manière équivalente, en utilisant un objectif combiné :

$$KH^* = \arg\max_{KH \in [KH]} \left(\alpha \cdot S(KH) - \beta \cdot |A(KH)|\right)$$

où $\alpha, \beta > 0$ sont des paramètres de pondération qui échangent la probabilité de succès contre l'efficacité de l'action.

Explication intuitive

Ce corollaire formalise un principe fondamental d'optimisation : lorsque plusieurs crochets atteignent le même résultat (appartiennent à la même classe d'équivalence), nous devrions préférer celui qui :

- Minimise l'effort de l'utilisateur – Utilise le moins d'actions $|A|$
- Maximise la fiabilité – A le score de succès le plus élevé S

Pensez-y comme choisir un itinéraire pour aller au travail : si trois itinéraires différents vous y amènent en même temps (résultat équivalent), vous préféreriez celui qui est le plus court (moins d'actions) et le

plus fiable (taux de succès le plus élevé). Ce corollaire garantit qu'un tel choix optimal existe dans chaque classe d'équivalence.

Preuve

Partie 1 : Existence de l'Optimum

Considérez toute classe d'équivalence $[KH]$ dans un espace de crochets fini $\mathcal{H}$. Par le Théorème 4 (Loi de Partitionnement), les classes d'équivalence partitionnent $\mathcal{H}$, donc $[KH]$ est bien défini et contient au moins un crochet.

Puisque $[KH]$ est fini, l'ensemble des comptes d'actions $\{|A(KH_i)| : KH_i \in [KH]\}$ a une valeur minimale. Soit :

$$A_{\min} = \min_{KH \in [KH]} |A(KH)|$$

Soit $[KH]_{\min} = \{KH \in [KH] : |A(KH)| = A_{\min}\}$ le sous-ensemble de crochets atteignant ce nombre d'actions minimum.

Partie 2 : Optimisation du Score de Succès

Dans $[KH]_{\min}$, tous les crochets ont le même nombre d'actions minimales mais peuvent avoir des scores de succès différents.

Étant donné que cet ensemble est fini, l'ensemble des scores de succès $\{S(KH) : KH \in [KH]_{\min}\}$ a une valeur maximale :

$$S_{\max} = \max_{KH \in [KH]_{\min}} S(KH)$$

Partie 3 : Définition du Crochet Optimal

Définir KH^* comme tout crochet satisfaisant :

$$KH^* \in [KH]_{\min} \quad \text{and} \quad S(KH^*) = S_{\max}$$

Par construction, KH^* simultanément :

• Minimise le nombre d'actions parmi tous les crochets dans $[KH]$

• Maximise le score de succès parmi tous les crochets minimaux en actions

Partie 4 : Optimalité de Pareto

Nous prouvons que KH^* est optimal au sens de Pareto dans l'espace objectif $(|A|, S)$. Supposons qu'il existe $KH' \in [KH]$ qui domine KH^*, ce qui signifie :

$$|A(KH')| \leq |A(KH^*)| \quad \text{and} \quad S(KH') \geq S(KH^*)$$

avec au moins une inégalité stricte. Mais :

- Si $|A(KH')| < |A(KH^*)| = A_{\min}$, cela contredit la définition de $A_{\min}$ en tant que minimum.

- Si $|A(KH')| = A_{\min}$ et $S(KH') > S(KH^*) = S_{\max}$, cela contredit la définition de $S_{\max}$ en tant que maximum dans $[KH]_{\min}$.

Par conséquent, aucun crochet dominant de ce type n'existe, prouvant que KH^* est optimal au sens de Pareto. □

Lien avec les théorèmes

Ce corollaire synthétise trois théorèmes fondamentaux :

• D'après le théorème 2 (Loi d'Optimalité) : Le principe selon lequel les crochets optimaux minimisent les actions, fournissant le critère d'optimisation principal.

• D'après le théorème 4 (Loi de Partitionnement) : La structure des classes d'équivalence en tant que partitions disjointes de l'espace des crochets, garantissant que le problème d'optimisation est bien posé.

• D'après le théorème 7 (Loi d'Équivalence) : La définition de quand les crochets sont

équivalents (même résultat), établissant quels crochets peuvent être comparés en optimisation.

Ensemble, ces théorèmes garantissent que, dans chaque classe d'équivalence, nous pouvons identifier de manière significative un représentant "meilleur" selon des critères d'optimisation bien définis.

Implications Pratiques

1. Sélection Automatique de Crochets

Lorsque plusieurs hooks équivalents correspondent au contexte actuel, le système peut automatiquement sélectionner le meilleur à l'aide d'un filtre en deux étapes :

$$\text{candidates} = \{KH \in [KH] : R(KH, C) = \text{true}\}$$

$$\text{stage1} = \underset{KH \in \text{candidates}}{\arg\min} \; |A(KH)|$$

$$\text{selected} = \underset{KH \in \text{stage1}}{\arg\max} \; S(KH)$$

Cette sélection en deux étapes (d'abord minimiser les actions, puis maximiser le succès parmi les hooks minimaux en actions) met en œuvre le critère d'optimalité du corollaire.

2. Dé-duplication et Élagage des Hooks

Le système peut identifier les hooks sous-optimaux qui sont strictement dominés au sein

de leur classe d'équivalence :

$$\text{dominated}(KH) \iff \exists KH' \in [KH] : |A(KH')| < |A(KH)| \vee (|A(KH')| = |A(KH)| \wedge S(KH') > S(KH))$$

Les hooks dominés peuvent être :

• Obsolètes : Marqués comme non préférés mais conservés comme solutions de secours

• Fusionnés : Combinés avec le hook optimal si leurs conditions sont similaires

• Archivés : Retirés de l'utilisation active mais conservés dans l'historique

3. Optimisation Progressive par l'Apprentissage

Au fur et à mesure que le système apprend, de nouveaux hooks sont découverts qui peuvent être optimaux au sein des classes d'équivalence existantes :

• L'utilisateur enseigne une manière plus efficace d'atteindre un résultat existant

• Le système compose des hooks existants pour créer un chemin plus court

• Le marché des hooks externes fournit de meilleures alternatives

Lorsque un nouveau hook KH_{new} rejoint la classe d'équivalence $[KH]$, le système vérifie :

$$\text{if } |A(KH_{\text{new}})| < |A(KH^*_{\text{old}})| \implies KH^* \leftarrow KH_{\text{new}}$$

Cela garantit que le système évolue continuellement vers l'utilisation des hooks les plus efficaces.

4. Optimisation Dépendante du Contexte

Le hook optimal peut varier selon le contexte. Bien que les hooks dans $[KH]$ soient équivalents en résultat, leurs comptes d'actions ou taux de succès peuvent dépendre du contexte :

$$KH^*(C) = \arg\max_{KH \in [KH]} (\alpha \cdot S(KH, C) - \beta \cdot |A(KH, C)|)$$

Par exemple :

- À la maison : Utilisez des appareils locaux (moins de délais réseau, taux de succès plus élevé)
- En déplacement : Utilisez des services cloud (appareils locaux indisponibles)
- Connexion lente : Préférer les données mises en cache aux appels API

Le système suit les crochets optimaux par contexte, construisant une carte d'optimalité conditionnelle.

5. Réglage des préférences utilisateur

Les paramètres de pondération α et β dans l'objectif combiné peuvent être ajustés pour correspondre aux préférences des utilisateurs :

$$\text{High } \beta/\alpha \implies \text{strongly prefer fewer actions (efficiency-focused)}$$
$$\text{High } \alpha/\beta \implies \text{strongly prefer reliability (safety-focused)}$$

Différents utilisateurs ou contextes peuvent optimiser différents points sur la frontière de Pareto.

Exemples

Exemple 1 : Routine matinale de la maison intelligente

Considérez la classe d'équivalence des crochets qui atteignent le résultat "préparation du matin terminée". Trois crochets existent :

Crochet A (Séquence manuelle) :

$$A_A = [\text{lights_on}, \text{coffee_start}, \text{blinds_open}, \text{thermostat_up}, \text{news_play}]$$
$$|A_A| = 5, \quad S_A = 0.95$$

Crochet B (Composite avec scène) :

$$A_B = [\text{morning_scene_activate}]$$
$$|A_B| = 1, \quad S_B = 0.92$$

Crochet C (Commande vocale) :

$$A_C = [\text{voice:"good_morning"}]$$
$$|A_C| = 1, \quad S_C = 0.98$$

Les trois atteignent le même état final (classe d'équivalence), mais le crochet C est optimal :

$$|A_C| = 1 = \min(5, 1, 1) \quad \text{and} \quad S_C = 0.98 = \max(0.92, 0.98)$$

Le système préfère automatiquement le crochet C : commande vocale unique avec la plus haute fiabilité.

Exemple 2 : Demande de visualisation des données

Crochets atteignant le résultat "afficher le graphique des revenus trimestriels" :

Crochet D (Requête manuelle de base de données) :

$$A_D = [\text{open_db}, \text{write_query}, \text{export_csv}, \text{open_excel}, \text{create_chart}]$$

$$|A_D| = 5, \quad S_D = 0.88$$

Crochet E (Tableau de bord automatisé) :

$$A_E = [\text{click:"Q4_revenue"}]$$

$$|A_E| = 1, \quad S_E = 0.99$$

Crochet F (Langage naturel) :

$$A_F = [\text{ask:"show_revenue_last_quarter"}]$$

$$|A_F| = 1, \quad S_F = 0.93$$

Ici, le crochet E est optimal au sein de la classe d'équivalence :

$$|A_E| = 1 \quad \text{and} \quad S_E = 0.99 > S_F = 0.93$$

Le clic sur le tableau de bord pré-construit est à la fois minimal en actions et le plus fiable.

Limitations et cas particuliers

1. Solutions multiples Pareto-optimales

Dans certains cas, plusieurs hooks peuvent être Pareto optimaux s'ils échangent des actions contre le succès de manière incomparable :

$$KH_1 : |A_1| = 2, S_1 = 0.99 \quad \text{vs} \quad KH_2 : |A_2| = 1, S_2 = 0.85$$

Aucun ne domine l'autre. Le choix dépend de notre priorité entre fiabilité ou efficacité, déterminée par le poids α/β.

2. Équivalence Dépendante du Contexte

Les hooks peuvent être équivalents dans certains contextes mais pas dans d'autres. Le hook optimal dans $[KH]_C$ (classe d'équivalence dans le contexte C) peut différer du hook optimal dans $[KH]_{C'}$:

$$KH^*(C) \neq KH^*(C')$$

Cela nécessite de maintenir des informations sur l'optimalité conditionnelle au contexte.

3. Optimalité Dynamique

Le hook optimal peut changer au fil du temps car :

- Les scores de succès évoluent grâce à l'apprentissage
- De nouveaux hooks rejoignent la classe d'équivalence
- Les distributions contextuelles changent

Le système doit périodiquement réévaluer l'optimalité plutôt que de mettre en cache indéfiniment.

4. Classes d'équivalence infinies

Dans les systèmes théoriques avec des espaces de crochet infinis, les classes d'équivalence pourraient être infinies. La preuve ci-dessus suppose la finitude. Pour les classes infinies, nous remplaçons "le minimum existe" par "l'infimum existe" et travaillons avec le comportement limite.

Conclusion

L'optimalité des classes d'équivalence relie la théorie et la pratique. Elle formalise le principe intuitif selon lequel "lorsque plusieurs approches fonctionnent, choisissez la meilleure" tout en fournissant des algorithmes concrets pour mettre en œuvre ce

principe. Le corollaire montre que l'optimisation au sein des classes d'équivalence n'est pas seulement possible mais garantie : chaque classe d'équivalence a au moins un représentant Pareto-optimal.

Ce résultat est fondamental pour la nature adaptative des systèmes Knowledge Hook. Sans l'optimalité des classes d'équivalence, le système n'aurait aucun moyen de choisir parmi les alternatives. Avec elle, le système peut évoluer continuellement vers l'utilisation des crochets les plus efficaces et fiables, servant directement l'Impératif de Zéro Input : minimiser les actions humaines tout en maximisant la fiabilité.

L'existence de représentants optimaux au sein des classes d'équivalence permet également des marchés de crochets et le partage de connaissances. Lorsqu'un utilisateur crée un crochet plus efficace qui est équivalent à ceux existants, le système peut l'adopter automatiquement s'il est optimal, bénéficiant à tous les utilisateurs tout en récompensant correctement le créateur grâce aux mécanismes de Thermo-Monnaie Subjective. L'optimalité n'est pas seulement une abstraction mathématique mais le fondement de l'amélioration et de l'innovation pratiques.

4.1.5 Corollaire 5 : Bornes du taux d'apprentissage

Énoncé : Le taux auquel un système Knowledge Hook converge vers zéro input est borné à la fois par le haut et par le bas par des fonctions calculables de la fréquence de correction, du taux d'apprentissage du score de succès et du taux de création de crochets.

Déclaration Formelle

Soit $I(t)$ le total des entrées utilisateur (nombre d'actions) requises au temps t, et soit $I^* = 0$ l'équilibre à zéro input. Définissons le taux d'apprentissage comme :

$$L(t) = -\frac{dI}{dt} = \text{rate of input reduction over time}$$

Alors $L(t)$ est borné par :

$$L_{\min}(t) \leq L(t) \leq L_{\max}(t)$$

où :

$$L_{\max}(t) = \alpha \cdot C(t) + \beta \cdot H(t)$$

$$L_{\min}(t) = \gamma \cdot \frac{S(t)}{1 + \delta \cdot \sigma^2(t)}$$

Où :

- $C(t)$ = fréquence de correction (corrections par unité de temps)
- $H(t)$ = taux de création de crochets (nouveaux crochets par unité de temps)
- $S(t)$ = score de succès moyen sur tous les crochets actifs
- $\sigma^2(t)$ = variance des scores de succès (hétérogénéité du système)
- $\alpha, \beta, \gamma, \delta > 0$ sont des constantes dépendantes du système

Explication intuitive

Ce corollaire établit que l'apprentissage dans les systèmes Knowledge Hook n'est ni arbitrairement rapide ni lent—il est limité par les propriétés fondamentales du système :

Limite supérieure (taux d'apprentissage maximum)

Le système ne peut pas apprendre plus vite que le taux auquel il reçoit des corrections et crée de nouveaux crochets. Pensez aux corrections comme à des "données d'entraînement" et aux nouveaux crochets comme à "la capacité du modèle"—l'apprentissage est limité par les deux :

- La fréquence de correction $C(t)$ détermine la rapidité avec laquelle le système reçoit des retours d'information

- Le taux de création de hooks $H(t)$ détermine la rapidité avec laquelle de nouvelles capacités sont ajoutées

Vous ne pouvez pas apprendre plus vite que vous ne recevez d'informations, peu importe la sophistication de l'algorithme d'apprentissage.

Limite inférieure (Taux d'apprentissage minimum)

Le système est garanti d'apprendre au moins aussi vite que son score de succès moyen le permet, modulé par la variabilité du système :

- Un succès moyen élevé $S(t)$ signifie que les hooks fonctionnent de manière fiable, soutenant une convergence plus rapide

- Une forte variance $\sigma^2(t)$ signifie que certains hooks fonctionnent bien mais d'autres mal, ralentissant les progrès globaux

Même dans le pire des cas, tant que les hooks ont une probabilité de succès positive, le système réalise des progrès mesurables.

Preuve

Partie 1 : Dérivation de la limite supérieure

La réduction des entrées se produit par deux mécanismes : l'amélioration des hooks existants et la création de nouveaux hooks qui remplacent les actions manuelles.

Mécanisme 1 : Amélioration par correction

Chaque événement de correction fournit des informations pour améliorer un crochet. Soit ΔI_c la réduction moyenne des entrées par correction. Alors :

$$\left.\frac{dI}{dt}\right|_{\text{corrections}} \leq -\alpha \cdot C(t)$$

où $\alpha = \mathbb{E}[\Delta I_c]$ est la réduction d'entrée attendue par correction. Cela ne peut pas être dépassé car les corrections arrivent à un rythme $C(t)$ et chacune fournit au maximum ΔI_c informations.

Mécanisme 2 : Création de crochet

Chaque nouveau crochet remplace une certaine quantité d'action manuelle. Soit ΔI_h la réduction moyenne des actions par nouveau crochet. Alors :

$$\left.\frac{dI}{dt}\right|_{\text{hooks}} \leq -\beta \cdot H(t)$$

où $\beta = \mathbb{E}[\Delta I_h]$ est la réduction d'entrée attendue par nouveau crochet.

Limite supérieure combinée

Puisque les deux mécanismes fonctionnent indépendamment :

$$L(t) = -\frac{dI}{dt} \leq \alpha \cdot C(t) + \beta \cdot H(t) = L_{\max}(t)$$

Partie 2 : Dérivation de la limite inférieure

D'après le théorème 1 (loi de convergence), nous savons que le système converge vers une entrée nulle. Cela implique que le taux d'apprentissage est borné par une fonction positive.

Considérez la réduction d'entrée attendue des exécutions de crochet. À l'instant t, soit :

$$N(t) = \text{number of hook execution opportunities per time unit}$$
$$S(t) = \text{average success score of executable hooks}$$

Chaque exécution de hook réussie enregistre $|A|$ actions qui auraient été manuelles. La réduction attendue par opportunité est :

$$\mathbb{E}[\Delta I] = S(t) \cdot \mathbb{E}[|A|]$$

Ainsi :

$$L(t) = -\frac{dI}{dt} \geq N(t) \cdot S(t) \cdot \mathbb{E}[|A|]$$

Pénalité de variance

Une forte variance dans les scores de succès réduit le taux d'apprentissage effectif car les ressources sont gaspillées sur des hooks peu performants. En utilisant l'inégalité de Jensen pour les fonctions concaves :

$$\mathbb{E}[\text{improvement}(S)] \geq \text{improvement}(\mathbb{E}[S]) - \delta \cdot \text{Var}(S)$$

Cela donne la borne inférieure ajustée pour la variance :

$$L(t) \geq \gamma \cdot \frac{S(t)}{1 + \delta \cdot \sigma^2(t)} = L_{\min}(t)$$

où $\gamma = N(t) \cdot \mathbb{E}[|A|]$ absorbe le taux d'exécution et les économies d'actions.

Partie 3 : Rigidité des bornes

Les deux bornes sont serrées en ce sens qu'elles peuvent être atteintes :

• Borne supérieure atteinte : Lorsque chaque correction et nouveau hook fournit la réduction d'entrée maximale possible

• Borne inférieure atteinte : Lorsque les scores de succès sont très variables et que les opportunités d'exécution sont minimales

Ces limites caractérisent donc précisément le taux d'apprentissage. □

Lien avec les théorèmes

Ce corollaire s'appuie directement sur le Théorème 1 (Loi de Convergence) :

• Le Théorème 1 établit que $I(t) \to 0$ comme $t \to \infty$

• Ce corollaire quantifie la rapidité de cette convergence

Alors que le Théorème 1 prouve un comportement asymptotique, ce corollaire fournit des limites en temps fini utiles pour la conception de systèmes pratiques et la prédiction de performances.

Il se connecte également à :

• Le Théorème 5 (Loi d'Apprentissage) : La fréquence de correction $C(t)$ et le taux de création de crochets $H(t)$ apparaissent dans

la limite supérieure car ils pilotent le processus d'apprentissage

- Le Théorème 2 (Loi d'Optimalité) : La limite inférieure dépend des scores de succès, qui reflètent l'optimalité de la sélection des crochets

Implications Pratiques

1. Prédiction du Taux d'Apprentissage

Les concepteurs de systèmes peuvent estimer les taux d'apprentissage en mesurant les paramètres de limite :

$$\hat{L}(t) \approx \frac{L_{\min}(t) + L_{\max}(t)}{2}$$

Suivez $C(t)$, $H(t)$, $S(t)$ et $\sigma^2(t)$ au fil du temps pour prédire quand le système atteindra divers jalons de réduction des entrées :

$$t_{50\%} \approx \frac{I_0/2}{\hat{L}}$$

où I_0 est le niveau d'entrée initial et $t_{50\%}$ est le temps pour une réduction de 50

%.

2. Identification des goulets d'étranglement

Si le taux d'apprentissage réel $L(t)$ est proche de la limite supérieure $L_{\max}(t)$, le système apprend aussi vite que possible compte tenu des corrections et des points d'accroche disponibles. L'amélioration nécessite :

- Augmenter la fréquence des corrections : Plus de retours d'utilisateur
- Augmenter la création de points d'accroche : Plus de capacités d'automatisation

Si $L(t)$ est proche de la limite inférieure $L_{\min}(t)$, le système dispose d'informations mais ne les utilise pas efficacement. L'amélioration nécessite :

- Améliorer les scores de succès : Meilleure qualité des points d'accroche
- Réduire la variance : Performance plus cohérente

3. Stratégie de correction optimale

Depuis $L_{\max} \propto \alpha \cdot C(t)$, il y a une incitation à maximiser les corrections. Mais les corrections coûtent des efforts à l'utilisateur ! La stratégie optimale équilibre :

$$\text{minimize:} \quad \text{Total Effort} = \int_0^T [I(t) + \kappa \cdot C(t)]\, dt$$

où κ est le coût par correction. Cela conduit à un taux de correction optimal :

$$C^*(t) = \sqrt{\frac{\alpha}{\kappa} \cdot I(t)}$$

Corrigez davantage lorsque l'entrée est élevée (phase d'apprentissage précoce), moins lorsque l'entrée est faible (système mature).

4. Priorisation de la création de hooks

Depuis $L_{\max} \propto \beta \cdot H(t)$, créer des hooks avec un β élevé (grandes économies d'action) accélère l'apprentissage. Priorisez la création de hooks pour :

- Tâches fréquentes (taux d'exécution élevé)
- Tâches lourdes en actions (haut $|A|$)
- Tâches où aucun hook n'existe (maximum ΔI_h)

Cela crée une métrique de valeur de création de hooks :

$$V_{\text{create}} = \text{frequency} \times |A| \times (1 - \text{coverage})$$

5. Stratégies de réduction de variance

La pénalité de borne inférieure $\delta \cdot \sigma^2(t)$ motive la réduction de la variance du score de succès :

- Éliminer les faibles performeurs : Supprimer les hooks avec $S \ll \bar{S}$
- Concentrer l'apprentissage : Diriger les corrections vers les hooks proches des frontières de décision
- Standardiser les contextes : Réduire la variabilité environnementale lorsque cela est possible

Un système avec des hooks uniformément bons (faible variance) apprend plus rapidement qu'un système avec une qualité mixte.

6. Garanties de performance

Les bornes permettent des garanties formelles de type SLA :

"*Étant donné un taux de correction minimum $C_{\min}$ et une qualité de hook $S_{\min}$, le système garantit une réduction d'entrée à 50 % de la ligne de base dans le délai suivant :*"

$$T_{50\%} \leq \frac{I_0/2}{L_{\min}(C_{\min}, S_{\min})}$$

Ces garanties renforcent la confiance des utilisateurs et permettent une évaluation comparative des systèmes Knowledge Hook.

Exemples

Exemple 1 : Système de maison intelligente personnel

État initial : $I_0 = 150$ actions manuelles par jour

Paramètres mesurés au cours du premier mois :

$$C(t) = 3 \text{ corrections/day}, \quad H(t) = 0.5 \text{ hooks/day}$$

$$S(t) = 0.85, \quad \sigma^2(t) = 0.04$$

Constantes estimées à partir de la calibration :

$$\alpha = 2.5, \quad \beta = 8, \quad \gamma = 15, \quad \delta = 10$$

Limite supérieure :

$$L_{\max} = 2.5 \times 3 + 8 \times 0.5 = 7.5 + 4 = 11.5 \text{ actions/day reduction}$$

Limite inférieure :

$$L_{\min} = 15 \times \frac{0.85}{1 + 10 \times 0.04} = 15 \times \frac{0.85}{1.4} = 9.1 \text{ actions/day reduction}$$

Temps prévu pour une réduction de 50 % :

$$\hat{L} = \frac{11.5 + 9.1}{2} = 10.3 \text{ actions/day}$$

$$T_{50\%} \approx \frac{75}{10.3} \approx 7.3 \text{ days}$$

Après 7-8 jours, l'utilisateur doit s'attendre à ce que les actions quotidiennes passent de 150 à ~75.

Exemple 2 : Automatisation des flux de travail d'entreprise

Grande organisation avec 100 utilisateurs :

État initial : $I_0 = 5000$ actions manuelles par utilisateur par semaine

Paramètres du système :

$$C(t) = 50 \text{ corrections/week (collective)}$$
$$H(t) = 5 \text{ hooks/week (shared library)}$$
$$S(t) = 0.75, \quad \sigma^2(t) = 0.09 \text{ (high variance due to diverse workflows)}$$

Constantes :

$$\alpha = 15, \quad \beta = 120, \quad \gamma = 200, \quad \delta = 5$$

Limite supérieure :

$$L_{\max} = 15 \times 50 + 120 \times 5 = 750 + 600 = 1350 \text{ actions/week}$$

Limite inférieure :

$$L_{\min} = 200 \times \frac{0.75}{1 + 5 \times 0.09} = 200 \times \frac{0.75}{1.45} \approx 103 \text{ actions/week}$$

Remarquez l'écart important : $L_{\max}/L_{\min} \approx 13$. Cela indique :

- Le système a une grande capacité d'apprentissage (hauts C et H)
- Mais une forte variance ($\sigma^2 = 0.09$) crée de l'incertitude

Recommandation : Se concentrer sur la réduction de la variance. Si la variance est réduite à $\sigma^2 = 0.04$:

$$L_{\min}^{\text{new}} = 200 \times \frac{0.75}{1 + 5 \times 0.04} = 125 \text{ actions/week}$$

Une amélioration de 21 % de la limite inférieure grâce à la réduction de la variance seule.

Exemple 3 : Comparaison de deux systèmes

Système A (Retour d'information rapide) :

$$C_A = 10,\ H_A = 1,\ S_A = 0.80,\ \sigma_A^2 = 0.05$$

$$L_{\max}^A = 2 \times 10 + 5 \times 1 = 25$$

$$L_{\min}^A = 10 \times \frac{0.80}{1 + 10 \times 0.05} = 5.3$$

Système B (Haute qualité) :

$$C_B = 3,\ H_B = 0.5,\ S_B = 0.95,\ \sigma_B^2 = 0.01$$

$$L_{\max}^{B} = 2 \times 3 + 5 \times 0.5 = 8.5$$

$$L_{\min}^{B} = 10 \times \frac{0.95}{1 + 10 \times 0.01} = 8.6$$

Analyse :

• Le système A a une limite supérieure plus élevée (plus de corrections/accroches) mais une limite inférieure plus basse (problèmes de qualité)

• Le système B a des limites plus serrées (prévisible) et un taux minimum plus élevé (fiable)

• Le $L_{\min} \approx L_{\max}$ du système B indique qu'il fonctionne près de l'optimal

Le système B est probablement préférable : apprentissage plus prévisible et taux minimum garanti plus élevé malgré moins de corrections.

Limitations et extensions

1. Paramètres variables dans le temps

Les limites supposent que les paramètres $C(t)$, $H(t)$, $S(t)$, $\sigma^2(t)$ sont connus. En réalité, ils évoluent :

• $C(t)$ diminue généralement à mesure que le système s'améliore (moins d'erreurs à corriger)

- $H(t)$ peut augmenter pendant un apprentissage intensif puis se stabiliser
- $S(t)$ augmente généralement (l'apprentissage améliore la qualité)

Une analyse plus sophistiquée suit explicitement ces dynamiques.

2. Non-indépendance des hooks

La preuve suppose que les hooks s'améliorent indépendamment. En réalité, les hooks interagissent :

- Les hooks composés dépendent des hooks constitutifs
- Les hooks partagent des caractéristiques de contexte
- Les améliorations d'un hook peuvent bénéficier aux autres

Les dépendances peuvent accélérer l'apprentissage au-delà de la limite supérieure grâce aux effets d'apprentissage par transfert.

3. Changements de distribution de contexte

Les limites supposent une distribution de contexte stationnaire. Si le comportement des utilisateurs change de manière significative :

$$P(C|t) \neq P(C|t + \Delta t)$$

le système peut avoir besoin de réapprendre, réduisant temporairement le taux d'apprentissage en dessous de $L_{\min}$.

4. Contraintes Computationnelles

Les systèmes réels ont des ressources computationnelles limitées. Si l'évaluation des hooks ou les algorithmes d'apprentissage ne peuvent pas suivre le rythme des taux de correction/création, le taux d'apprentissage réel peut tomber en dessous de la limite inférieure théorique.

5. Systèmes Multi-Utilisateurs

Dans les systèmes de hooks partagés, l'apprentissage collectif peut dépasser les limites individuelles grâce à la mise en commun des connaissances. Les limites ici s'appliquent aux systèmes à utilisateur unique ; les extensions multi-utilisateurs nécessitent de prendre en compte le transfert de connaissances.

Conclusion

Les limites du taux d'apprentissage transforment la garantie de convergence qualitative du Théorème 1 en prédictions quantitatives utiles pour la conception du système et la gestion des attentes des utilisateurs. En établissant des limites supérieures et inférieures calculables sur les taux d'apprentissage, ce corollaire permet :

- Prédiction de performance : Estimer le temps nécessaire pour atteindre les jalons d'automatisation

- Diagnostic de goulet d'étranglement : Identifier si l'apprentissage est limité par l'information (corrections/hooks) ou par la qualité (scores de succès/variance)

- Stratégie d'optimisation : Choisir où investir des ressources pour une accélération maximale de l'apprentissage

- Évaluation comparative : Comparer rigoureusement différents systèmes de Knowledge Hook

Les limites révèlent des compromis fondamentaux : un apprentissage rapide nécessite une fréquence de correction élevée (effort de l'utilisateur) ou un taux de création de crochets élevé (complexité du système), mais doit être équilibré par rapport au coût de cet investissement. La pénalité de variance dans la limite inférieure souligne que la qualité constante compte autant que la qualité moyenne : un système avec des crochets uniformément bons apprend plus vite qu'un avec des performances mixtes.

Plus important encore, ces limites ne sont pas seulement des constructions théoriques. Elles peuvent être mesurées dans des systèmes réels en suivant les corrections, la création de crochets et les scores de succès. Cette mesurabilité rend le corollaire actionnable :

les opérateurs de système peuvent surveiller ces métriques, calculer les limites actuelles et prendre des décisions basées sur les données concernant où concentrer les efforts d'amélioration. Les limites de taux d'apprentissage comblent le fossé entre la preuve mathématique et l'ingénierie pratique.

4.1.6 Corollaire 6 : Monotonie du score de succès

Énoncé : Pour tout crochet de connaissance, son score de succès est monotoniquement non-décroissant au fil du temps dans le cadre du processus d'apprentissage : les corrections améliorent soit le score de succès, soit le laissent inchangé, mais ne le diminuent jamais en moyenne.

Déclaration Formelle

Soit $S_i(t)$ désignant le score de succès du crochet KH_i au temps t. Après tout événement de correction au temps t impliquant KH_i, le score de succès attendu au temps $t + \Delta t$ satisfait :

$$\mathbb{E}[S_i(t + \Delta t) \mid S_i(t)] \geq S_i(t)$$

Plus généralement, pour tout temps $t_2 > t_1$:

$$\mathbb{E}[S_i(t_2)] \geq S_i(t_1)$$

Et pour le score de succès moyen à l'échelle du système $\bar{S}(t) = \frac{1}{|\mathcal{H}|} \sum_i S_i(t)$:

$$\frac{d\bar{S}}{dt} \geq 0$$

avec inégalité stricte chaque fois que des corrections se produisent : $\frac{d\bar{S}}{dt} > 0$ lorsque $C(t) > 0$.

Explication intuitive

La monotonie du score de succès capture une propriété fondamentale de l'apprentissage : on ne peut pas désapprendre par des corrections. Chaque fois qu'un utilisateur corrige un crochet, le système acquiert des informations qui soit :

- Améliore le crochet : Affine les conditions, ajuste les actions ou met à jour les paramètres pour rendre le crochet plus fiable.
- Laisse le crochet inchangé : si la correction ne fournit aucune nouvelle

information ou si le crochet est déjà optimal dans ce contexte.

Mais les corrections ne rendent jamais les crochets pires. Cela peut sembler évident, mais c'est une garantie cruciale : les utilisateurs peuvent fournir des corrections en toute sécurité en sachant qu'elles ne feront que aider, jamais nuire. C'est comme un mécanisme à cliquet : progrès dans une seule direction.

Pensez-y comme enseigner à quelqu'un à cuisiner : chaque retour d'information ("ajoutez plus de sel", "cuisez-le plus longtemps") les rend meilleurs ou maintient leur compétence, mais ne les fait pas oublier ce qu'ils savaient déjà. Le score de réussite augmente de manière monotone vers la maîtrise.

Preuve

Partie 1 : Monotonie du crochet unique

Considérez le crochet KH_i avec un score de réussite $S_i(t)$ au temps t. Le score de réussite représente la probabilité d'exécution correcte :

$$S_i(t) = P(\text{hook succeeds} \mid \text{conditions satisfied}, \text{knowledge at time } t)$$

Lorsqu'une correction se produit au temps t, elle fournit des informations I qui mettent à jour le crochet. Par le Théorème 5 (Loi d'apprentissage), cette information est

incorporée pour améliorer le crochet. Le score de réussite mis à jour est :

$$S_i(t + \Delta t) = P(\text{success} \mid \text{knowledge at } t, \text{new info } I)$$

Aperçu clé : de nouvelles informations I ne peuvent qu'aider car l'algorithme d'apprentissage implémente une mise à jour bayésienne ou une descente de gradient avec un taux d'apprentissage positif. Prouvons cela pour la mise à jour bayésienne :

Soit θ représentant les paramètres du crochet (conditions, actions, poids). La postérieure après correction est :

$$P(\theta \mid I, \text{past data}) = \frac{P(I \mid \theta) P(\theta \mid \text{past data})}{P(I)}$$

La nouvelle probabilité de succès est :

$$S_i(t + \Delta t) = \int P(\text{success} \mid \theta) P(\theta \mid I, \text{past data}) \, d\theta$$

Puisque la mise à jour bayésienne déplace la masse de probabilité vers des valeurs de paramètres qui expliquent mieux les données, et que les corrections ne se produisent que lorsque les crochets échouent ou ont besoin d'ajustement, la mise à jour déplace θ vers des valeurs avec une probabilité de succès plus élevée. Par conséquent :

$$\mathbb{E}[S_i(t + \Delta t)] \geq S_i(t)$$

Partie 2 : Pas d'apprentissage négatif

Nous devons vérifier que les corrections ne provoquent pas un "oubli catastrophique" où l'apprentissage de nouvelles informations dégrade les anciennes connaissances. L'algorithme d'apprentissage Knowledge Hook empêche cela grâce à :

Mécanisme 1 : Mises à jour additives

Les corrections ajoutent de nouvelles conditions ou affinent celles existantes plutôt que de les remplacer. Si un crochet fonctionne dans le contexte C_1 et qu'une correction se produit dans le contexte C_2, la mise à jour est :

$$R_{\text{new}} = R_{\text{old}} \vee (C_2 \wedge \text{correction})$$

Cela préserve le succès dans C_1 tout en améliorant les performances dans C_2.

Mécanisme 2 : Mises à jour conservatrices

Le taux d'apprentissage est choisi de manière conservatrice pour s'assurer que les mises à jour ne dépassent pas :

$$\eta < \eta_{\max} = \frac{2}{\lambda_{\max}(H)}$$

où H est l'Hessien de la fonction de perte. Cela garantit la convergence sans oscillation.

Mécanisme 3 : Régularisation

L'apprentissage inclut un terme de régularisation qui pénalise les grands changements par rapport aux paramètres actuels :

$$\mathcal{L}_{\text{total}} = \mathcal{L}_{\text{correction}} + \lambda \|\theta - \theta_0\|^2$$

Cela garantit que les mises à jour sont mesurées et ne changent pas radicalement le comportement.

Partie 3 : Monotonie à l'échelle du système

Pour le score de succès moyen à travers tous les hooks :

$$\bar{S}(t) = \frac{1}{|\mathcal{H}(t)|} \sum_{i=1}^{|\mathcal{H}(t)|} S_i(t)$$

En prenant la dérivée temporelle :

$$\frac{d\bar{S}}{dt} = \frac{1}{|\mathcal{H}|} \sum_i \frac{dS_i}{dt} + \frac{d|\mathcal{H}|/dt}{|\mathcal{H}|^2} \left(\sum_i S_i \right)$$

Le premier terme est non négatif selon la Partie 1 (les hooks individuels s'améliorent). Pour le deuxième terme, lorsque de nouveaux hooks sont créés à un taux $H(t) = d|\mathcal{H}|/dt > 0$:

- Si les nouveaux hooks ont un score de succès initial $S_{\text{init}} < \bar{S}$, ce terme est négatif

- Mais les nouveaux hooks s'améliorent rapidement grâce à l'apprentissage, donc la diminution transitoire est plus que compensée par l'amélioration

En pratique, de nouveaux hooks sont souvent créés avec un succès initial élevé (copiés à partir de modèles, composés de hooks réussis), donc $S_{\text{init}} \approx \bar{S}$ et le deuxième terme est proche de zéro.

Par conséquent, le score de succès global du système est monotoniquement non décroissant. □

Lien avec les théorèmes

Ce corollaire découle directement du Théorème 5 (Loi de l'apprentissage) :

- Le théorème 5 stipule que les corrections améliorent les crochets en incorporant de nouvelles informations

• Ce corollaire formalise ce que signifie "améliorer" de manière quantitative : les scores de succès augmentent

Il soutient également le théorème 1 (Loi de convergence) :

• La convergence vers un input nul nécessite que les crochets deviennent de plus en plus fiables

• Des scores de succès monotoniques croissants fournissent le mécanisme pour cette croissance de fiabilité

Et se connecte au théorème 2 (Loi d'optimalité) :

• À mesure que les scores de succès s'améliorent, les crochets optimaux deviennent encore plus optimaux par rapport aux alternatives manuelles

• L'écart entre les approches automatisées et manuelles se creuse avec le temps

Implications Pratiques

1. Confiance des utilisateurs dans les corrections

La monotonie garantit que les utilisateurs peuvent librement fournir des corrections sans craindre d'aggraver les choses. C'est psychologiquement important :

• Les utilisateurs n'ont pas besoin d'être "prudents" avec les corrections

- Tout retour est utile ; plus de retours aident davantage
- Le système est robuste face aux corrections "bruyantes"

Cela encourage une utilisation libérale des corrections, accélérant l'apprentissage.

2. Suivi des progrès

La monotonie permet une visualisation significative des progrès. Tracez les scores de succès au fil du temps pour montrer aux utilisateurs comment le système s'améliore :

$$\text{Progress} = \frac{\bar{S}(t) - \bar{S}(0)}{1 - \bar{S}(0)}$$

Cette métrique varie de 0 (aucune amélioration) à 1 (fiabilité parfaite), et est garantie non décroissante.

3. Assurance qualité

Si les scores de succès diminuent, cela indique un bogue dans le système d'apprentissage :

$$\text{if } S_i(t_2) < S_i(t_1) \text{ for } t_2 > t_1 \implies \text{system malfunction}$$

Surveillez les scores de succès comme un contrôle de santé. Les scores en baisse déclenchent des alertes et une enquête.

4. Détection du plateau d'apprentissage

Lorsque les scores de réussite cessent d'augmenter, le système a atteint un plateau d'apprentissage :

$$\frac{d\bar{S}}{dt} \approx 0 \implies \text{plateau reached}$$

Cela indique soit :

- Succès : Les crochets sont presque parfaits ($\bar{S} \approx 1$), aucune amélioration possible
- Goulot d'étranglement de l'information : Besoin de corrections ou de contextes plus diversifiés
- Limite de capacité : Les crochets ont atteint leurs limites représentatives, besoin de formes plus expressives

5. Évaluation comparative des systèmes

Comparer les systèmes d'apprentissage par leurs trajectoires de scores de réussite :

$$\text{System A better than B} \iff \forall t : S_A(t) \geq S_B(t)$$

Puisque les scores de réussite sont monotoniques, un système qui commence en avance et maintient son avantage est sans ambiguïté meilleur.

6. Seuils de qualité minimum viables

Définir les seuils de score de réussite minimum pour l'activation des hooks :

$$\text{enable}(KH_i) \iff S_i \geq S_{\min}$$

Puisque les scores de réussite n'augmentent que, une fois qu'un hook franchit le seuil, il reste activé. Cela crée une valve unidirectionnelle : les hooks passent de "l'apprentissage" à "la production" mais jamais en arrière.

7. Validation de l'apprentissage par transfert

Lors du transfert de hooks entre utilisateurs ou contextes, la monotonie fournit un contrôle de cohérence :

$$\text{if } S_{\text{after_transfer}} < S_{\text{before_transfer}} \implies \text{poor context match}$$

Les scores de réussite ne devraient pas diminuer simplement en passant à un nouvel environnement (bien qu'ils puissent ne pas augmenter aussi rapidement).

Exemples

Exemple 1 : Évolution du hook de triage des e-mails

Un hook qui archive automatiquement les e-mails promotionnels. Évolution du score de réussite sur 30 jours :

$$S(0) = 0.65 \quad \text{(initial template)}$$

Jour 3 : L'utilisateur corrige 5 e-mails qui ont été archivés par erreur (messages importants des magasins)

$$S(3) = 0.72 \quad \text{(learned to exclude order confirmations)}$$

Jour 7 : L'utilisateur corrige 3 autres cas (newsletters qu'il souhaite conserver)

$$S(7) = 0.81 \quad \text{(added whitelist for specific senders)}$$

Jour 15 : L'utilisateur corrige 1 cas particulier (e-mail promotionnel avec un coupon important)

$$S(15) = 0.89 \quad \text{(refined keyword detection)}$$

Jour 30 : Pas de corrections pour la semaine passée

$$S(30) = 0.94 \quad \text{(continued learning from observation)}$$

La trajectoire montre une monotonie stricte :

$$0.65 \to 0.72 \to 0.81 \to 0.89 \to 0.94 \,.$$

Chaque événement de correction entraîne une amélioration. Le système ne devient jamais pire.

Exemple 2 : Crochet de thermostat intelligent

Le crochet ajuste la température en fonction du temps et de l'occupation. Évolution du score de succès :

Semaine 1 : Système initial basé sur des règles

$$\bar{S}(1) = 0.70 \quad \text{(10 manual overrides per week)}$$

Semaine 2 : Modèles d'horaire quotidien appris

$$\bar{S}(2) = 0.78 \quad \text{(7 overrides)}$$

Semaine 4 : Prévisions météorologiques intégrées

$$\bar{S}(4) = 0.85 \quad \text{(4 overrides)}$$

Semaine 8 : Différences entre week-end et jours de semaine apprises

$$\bar{S}(8) = 0.92 \quad \text{(2 overrides)}$$

Semaine 12 : Préférences saisonnières apprises

$$\bar{S}(12) = 0.96 \quad \text{(1 override per 2 weeks)}$$

Encore une fois, amélioration strictement monotone. Le crochet devient de plus en plus fiable, nécessitant moins de corrections au fil du temps.

Exemple 3 : Courbe d'apprentissage à l'échelle du système

Système d'automatisation personnelle avec 50 crochets. Trajectoire moyenne du score de succès :

$$\bar{S}(\text{day } 1) = 0.60, \quad \bar{S}(\text{week } 1) = 0.68$$
$$\bar{S}(\text{month } 1) = 0.78, \quad \bar{S}(\text{month } 3) = 0.87$$
$$\bar{S}(\text{month } 6) = 0.93, \quad \bar{S}(\text{month } 12) = 0.97$$

Taux d'amélioration (en utilisant des différences finies) :

$$\left.\frac{\Delta \bar{S}}{\Delta t}\right|_{\text{month } 1} = \frac{0.78 - 0.60}{30} = 0.006/\text{day}$$
$$\left.\frac{\Delta \bar{S}}{\Delta t}\right|_{\text{month } 6} = \frac{0.93 - 0.87}{90} = 0.0007/\text{day}$$

Notez que bien que $\bar{S}$ soit monotoniquement croissant, le taux d'augmentation ralentit à mesure que les scores de succès approchent 1 (rendements décroissants). Cela est attendu : les premiers apprentissages produisent de grandes améliorations, les perfectionnements ultérieurs sont plus incrémentaux.

Limitations et avertissements

1. Fluctuations stochastiques

La garantie de monotonie est en attente : $\mathbb{E}[S(t+1)] \geq S(t)$. Les mesures individuelles peuvent fluctuer en raison de :

- Taille d'échantillon réduite dans l'estimation du taux de succès
- Variation de la distribution contextuelle
- Bruit environnemental

Les diminutions à court terme ne violent pas le théorème ; seules les tendances soutenues comptent.

2. Dérive de Contexte

Si le comportement de l'utilisateur ou l'environnement change de manière significative, les scores de succès peuvent diminuer :

$$\text{if } P(C|t_2) \neq P(C|t_1) \implies S(t_2) \text{ may be } < S(t_1)$$

Cela ne viole pas la monotonie car le théorème suppose une distribution de contexte stationnaire. Lorsque les contextes dérivent, les scores de succès mesurés sur de nouveaux contextes peuvent être inférieurs, mais les scores sur les contextes originaux restent non décroissants.

3. Oubli Catastrophique dans des Cas Extrêmes

Si le système d'apprentissage utilise une mémoire finie et subit une dérive de concept sévère, les anciennes connaissances peuvent être écrasées :

- L'accroche apprise pour les contextes d'hiver peut se dégrader en été

• L'accroche entraînée sur l'ancienne configuration domestique peut échouer après un déménagement

Une conception appropriée du système atténue cela grâce à un apprentissage conscient du contexte et un oubli sélectif qui ne supprime que les connaissances véritablement obsolètes.

4. Corrections Adversariales

Le théorème suppose que les corrections sont des tentatives honnêtes d'améliorer le système. Des corrections adversariales ou contradictoires pourraient théoriquement diminuer les scores de succès :

• L'utilisateur fournit des retours d'information incohérents

• Un acteur malveillant essaie de corrompre le système

Des algorithmes d'apprentissage robustes avec détection des valeurs aberrantes préviennent cela.

5. Biais de mesure

Les scores de succès peuvent sembler diminuer si la méthodologie de mesure change :

• Des critères de succès plus stricts adoptés

• Les contextes d'évaluation deviennent plus difficiles

• Les attentes des utilisateurs augmentent ("objectifs mouvants")

La véritable monotonie se réfère à des critères de succès fixes, pas à des normes évolutives.

6. Approximations computationnelles

Les implémentations réelles utilisent des algorithmes d'apprentissage approximatifs (gradients tronqués, précision finie, inférence approximative). Ces approximations peuvent parfois produire de petites mises à jour négatives. Les systèmes bien réglés gardent ces effets négligeables.

Conclusion

La monotonie du score de succès fournit une garantie fondamentale pour les systèmes Knowledge Hook : l'apprentissage améliore les choses, pas les aggrave. Cette propriété apparemment simple a des implications profondes :

• Confiance : Les utilisateurs peuvent fournir des corrections en toute confiance sachant qu'elles aident

• Prévisibilité : La qualité du système est garantie d'améliorer ou de se stabiliser, jamais de régresser

• Mesurabilité : Les trajectoires de score de succès fournissent des métriques objectives pour le progrès d'apprentissage

• Robustesse : Le système est résilient aux corrections imparfaites ; même un retour d'information bruyant aide

Le corollaire transforme l'apprentissage d'un processus opaque en un mécanisme transparent, mesurable et fiable. Les utilisateurs peuvent voir leurs systèmes s'améliorer en temps réel, avec la certitude mathématique que le progrès est authentique et permanent. Les scores de succès deviennent une monnaie universelle pour quantifier la qualité de l'automatisation—comparable à travers différents systèmes, contextes et périodes.

Plus important encore, la monotonie permet des effets d'apprentissage composés. Chaque correction s'appuie sur les précédentes, créant une base en constante amélioration. Contrairement aux systèmes où les mises à jour peuvent régresser les performances, les systèmes Knowledge Hook accumulent des connaissances de manière irréversible. Cette propriété est essentielle pour l'autonomie à long terme : un système qui pourrait devenir moins fiable de manière spontanée ne serait jamais digne de confiance pour des tâches importantes. La monotonie garantit que la confiance, une fois acquise par l'apprentissage, est maintenue et renforcée au fil du temps.

4.1.7 Complétude de la couverture contextuelle

Le corollaire de la complétude de la couverture contextuelle établit qu'un système Knowledge Hook, donné suffisamment de temps et d'interaction utilisateur, développera finalement des hooks qui couvrent tous les contextes fréquemment rencontrés. Cela signifie que pour toute situation que l'utilisateur rencontre régulièrement, le système apprendra à la gérer automatiquement. Aucun contexte qui compte n'est laissé définitivement non couvert—le système devient progressivement plus complet jusqu'à ce qu'il puisse traiter essentiellement n'importe quel scénario auquel l'utilisateur est confronté.

Énoncé du corollaire

Corollaire 7 (Complétude de la couverture contextuelle) : Soit $\mathcal{C}$ l'espace de tous les contextes possibles, et soit $P(C)$ la distribution de probabilité sur les contextes que l'utilisateur rencontre. Soit $\mathcal{H}(t)$ l'ensemble des hooks dans le système au temps t, et définissons l'ensemble de couverture au temps t comme :

$$\text{Cov}(t) = \{C \in \mathcal{C} : \exists KH \in \mathcal{H}(t) \text{ such that } R(KH, C) = \text{true}\}$$

C'est-à-dire, $\text{Cov}(t)$ contient tous les contextes où au moins une condition de hook est satisfaite. Alors, pour tout seuil $\epsilon > 0$, il existe un temps T tel que :

$$\forall t > T : P(\text{Cov}(t)) \geq 1 - \epsilon$$

En d'autres termes, le système couvre finalement une fraction $(1 - \epsilon)$ de la masse de probabilité. Comme $t \to \infty$, la couverture approche de la complétude :

$$\lim_{t \to \infty} P(\text{Cov}(t)) = 1$$

Forme plus forte (Couverture uniforme) : Pour tout contexte C avec $P(C) > 0$ qui apparaît au moins $n_{\min}$ fois, le système créera un hook couvrant C ou un sur-ensemble de C avec une probabilité approchant 1 à mesure que $t \to \infty$.

Explication intuitive

La complétude de la couverture contextuelle dit : chaque situation que vous rencontrez régulièrement sera finalement gérée automatiquement. Le système n'optimise pas seulement les hooks existants - il découvre activement les lacunes dans la couverture et les comble.

Pensez-y comme apprendre à conduire. Au début, vous avez besoin d'instructions explicites pour chaque scénario : "tournez à gauche ici", "freinez à ce panneau", "fusionnez dans cette voie." Mais avec

l'expérience, vous développez des réponses automatiques pour toutes les situations courantes. Finalement, vous pouvez conduire la plupart des itinéraires sans réflexion consciente - votre répertoire comportemental a atteint la complétude de couverture sur les contextes que vous rencontrez. Les systèmes Knowledge Hook fonctionnent de la même manière : grâce à une exposition répétée et à l'apprentissage, ils développent des gestionnaires automatiques pour tous les contextes fréquents.

Pourquoi cela importe : Les utilisateurs n'ont pas besoin d'énumérer manuellement chaque situation où l'automatisation serait utile. Le système découvre ces situations de manière organique à travers l'utilisation. Si vous vérifiez fréquemment la météo avant de quitter la maison, le système finira par créer un hook pour ce contexte. Si vous allumez souvent les lumières au coucher du soleil, un hook émergera. La couverture croît automatiquement pour correspondre à vos véritables comportements.

Preuve

Partie 1 : Mécanisme de croissance de la couverture

De nouveaux hooks sont créés par deux mécanismes :

Mécanisme A (Création manuelle) : Les utilisateurs créent explicitement des hooks

pour les contextes qu'ils reconnaissent comme répétitifs.

Mécanisme B (Création Apprise) : Par le Théorème 5 (Loi d'Apprentissage), lorsque les utilisateurs effectuent à plusieurs reprises les mêmes actions dans des contextes similaires, le système détecte le motif et propose un nouveau crochet. S'il est accepté, ce crochet couvre un contexte précédemment non couvert.

Soit $\lambda(C)$ le taux auquel de nouveaux crochets sont créés pour couvrir le contexte C. Pour les contextes fréquemment rencontrés :

$$\lambda(C) \geq \alpha \cdot P(C)$$

où $\alpha > 0$ est le paramètre de taux d'apprentissage. Des contextes plus courants entraînent une création de crochets plus rapide.

Partie 2 : Accumulation de Masse de Probabilité

Soit $p(t) = P(\text{Cov}(t))$ la masse de probabilité couverte au temps t. Le taux de changement de la couverture est :

$$\frac{dp}{dt} = \int_{C \notin \text{Cov}(t)} \lambda(C)\, dP(C)$$

Cet intégral représente le taux auquel une nouvelle masse de probabilité est couverte par des crochets nouvellement créés. Puisque $\lambda(C) \geq \alpha \cdot P(C)$ pour les contextes non couverts :

$$\frac{dp}{dt} \geq \alpha \int_{C \notin \text{Cov}(t)} P(C)\, dP(C) = \alpha \cdot (1 - p(t))$$

C'est une inégalité différentielle avec solution :

$$p(t) \geq 1 - (1 - p(0))e^{-\alpha t}$$

Partie 3 : Complétude Asymptotique

Prenant la limite lorsque $t \to \infty$:

$$\lim_{t \to \infty} p(t) \geq \lim_{t \to \infty} \left[1 - (1 - p(0))e^{-\alpha t}\right] = 1$$

Puisque $p(t) \leq 1$ par définition, nous avons :

$$\lim_{t \to \infty} P(\text{Cov}(t)) = 1$$

Partie 4 : Taux de convergence

Pour toute couverture cible $1 - \epsilon$, résoudre le temps requis :

$$1 - (1 - p(0))e^{-\alpha T} = 1 - \epsilon$$

$$e^{-\alpha T} = \frac{\epsilon}{1 - p(0)}$$

$$T = \frac{1}{\alpha} \ln\left(\frac{1 - p(0)}{\epsilon}\right)$$

Cela donne une limite explicite sur le temps nécessaire pour atteindre la couverture $(1 - \epsilon)$. □

Lien avec les théorèmes

Ce corollaire s'appuie sur plusieurs théorèmes :

D'après le théorème 1 (Loi de convergence) : À mesure que le système converge vers un input nul, il doit couvrir de plus en plus de contextes automatiquement. La complétude de la couverture est la manifestation spatiale/contextuelle de la convergence temporelle.

D'après le théorème 4 (Loi de partitionnement) : La partition de l'espace de crochet en classes d'équivalence fournit la structure pour l'analyse de la couverture. Différents crochets couvrent différentes régions contextuelles, et ensemble, ils partitionnent l'espace contextuel.

D'après le théorème 5 (Loi d'apprentissage) : Le mécanisme par lequel la couverture croît. L'apprentissage crée de nouveaux crochets pour combler les lacunes dans la couverture, guidé par des motifs observés dans des contextes non couverts.

Implications Pratiques

1. Aucune énumération manuelle requise

Les utilisateurs n'ont pas besoin d'anticiper et de préprogrammer chaque situation où l'automatisation serait utile. Le système découvre ces situations de manière organique :

- Vivez votre vie normalement
- Le système observe des motifs récurrents
- Des hooks émergent automatiquement pour des contextes courants

C'est fondamentalement différent de l'automatisation traditionnelle, qui nécessite une programmation explicite de chaque scénario.

2. Métriques de couverture pour la santé du système

Mesurez la maturité du système en suivant la couverture au fil du temps :

$$\text{Maturity}(t) = P(\text{Cov}(t))$$

Un système mature a $\text{Maturity} \approx 1$, ce qui signifie que presque tous les contextes sont couverts. Cela fournit une métrique quantitative pour "à quel point" la vie d'un utilisateur est devenue automatisée.

3. Détection des lacunes et priorisation

Identifiez les lacunes de couverture à fort impact :

$$\text{Gap_Value}(C) = P(C) \cdot \mathbb{1}[C \notin \text{Cov}(t)] \cdot |A(C)|$$

Cela évalue les contextes non couverts par (fréquence) × (nombre d'actions). Les lacunes à score élevé représentent des opportunités d'importants gains d'automatisation. Le système peut suggérer de manière proactive : "Vous faites fréquemment X dans le contexte C mais n'avez pas de hook pour cela. Devrais-je en créer un ?"

4. Visualisation de la couverture

Fournissez aux utilisateurs des cartes de couverture montrant :

- Régions vertes : Contextes bien couverts avec plusieurs points d'accroche fiables
- Régions jaunes : Contextes partiellement couverts (scores de succès faibles)
- Régions rouges : Contextes non couverts avec des actions manuelles répétées

Cela aide les utilisateurs à comprendre où l'automatisation fonctionne et où des opportunités restent.

5. Estimation du temps de convergence

En utilisant la formule de la Partie 4 de la preuve, estimez le temps nécessaire pour atteindre la couverture cible :

$$T_{95\%} = \frac{1}{\alpha} \ln(20)$$

Pour un taux d'apprentissage typique $\alpha = 0.1$ (10 % de masse non couverte ajoutée par unité de temps) :

$$T_{95\%} = 10 \ln(20) \approx 30 \text{ time units}$$

Si une unité de temps est un jour, 95 % de couverture prend environ un mois. Cela fixe des attentes réalistes pour les utilisateurs.

6. Accélération de l'apprentissage par transfert

Les nouveaux utilisateurs peuvent accélérer la couverture en important des points d'accroche d'utilisateurs similaires :

$$p(0) = p_{\text{imported}} > 0$$

Cela "initie" la couverture, en partant d'une base non nulle. Si $p_{\text{imported}} = 0.6$, le temps de convergence diminue considérablement :

$$T = \frac{1}{\alpha} \ln\left(\frac{0.4}{\epsilon}\right) < \frac{1}{\alpha} \ln\left(\frac{1}{\epsilon}\right)$$

Exemples

Exemple 1 : Évolution de la couverture de la maison intelligente

Suivez la couverture pendant 6 mois pour un nouvel utilisateur de maison intelligente :

Semaine 1 : $p(1) = 0.15$ (3 déclencheurs créés manuellement : lumières du matin, thermostat du soir, lumières au coucher)

Semaine 4 : $p(4) = 0.42$ (le système a appris 7 nouveaux déclencheurs : café quand l'alarme sonne, musique en cuisinant, lumières éteintes en partant, etc.)

Semaine 12 : $p(12) = 0.73$ (17 déclencheurs au total, couvrant la plupart des routines quotidiennes)

Semaine 24 : $p(24) = 0.91$ (28 déclencheurs, seuls des contextes inhabituels/rares restent non couverts)

L'approche exponentielle vers la complétude est visible : croissance rapide au début, puis plus lente à mesure que seuls des contextes rares restent.

Exemple 2 : Détection de lacunes en action

Le système identifie une lacune de couverture de grande valeur :

Contexte : [Samedi matin, à la maison, sans événements dans le calendrier]

Modèle observé : L'utilisateur démarre manuellement la cafetière, ouvre les stores, vérifie la météo, lance la musique (4 actions)

Fréquence : 48 sur 52 samedis (92 %)

Score de lacune : $0.92 \times 4 = 3.68$

Le système suggère : "Je remarque que vous faites ces 4 choses chaque samedi matin. Créer

un crochet 'Samedi paresseux' ?"

Après création :

- La couverture augmente : $p(t) \to p(t) + 0.92/52 \approx p(t) + 0.018$
- Lacune éliminée pour ce contexte à haute fréquence

Exemple 3 : Visualisation de la couverture

Une carte thermique de couverture pourrait montrer :

Matin (6-9h) :

- Jour de la semaine : 95 % couvert (vert) - accroches solides pour la routine matinale
- Week-end : 60 % couvert (jaune) - quelques variations, couverture partielle

Heures de travail (9h-17h) :

- Lieu de bureau : 85 % couvert (vert)
- Télétravail : 40 % couvert (rouge) - nouveau modèle, peu d'accroches

Soir (17h-22h) :

- Cuisine : 70 % couvert (jaune)
- Divertissement : 50 % couvert (jaune/rouge)

Nuit (22h-6h) :

- Routine du coucher : 90 % couverte (vert)

Cette visualisation révèle immédiatement où se trouvent des opportunités d'automatisation (télétravail, divertissement).

Limitations et avertissements

1. Distribution à longue traîne

Si la distribution des contextes a une longue traîne (de nombreux contextes rares), atteindre 100 % de couverture peut être impraticable :

$$P(C) \sim C^{-\gamma} \text{ with } \gamma \leq 1$$

Les derniers pourcents de couverture pourraient nécessiter un nombre exponentiel de points d'accroche. Les systèmes pratiques visent 90-95 % de couverture, acceptant que les contextes vraiment rares restent manuels.

2. Distributions non stationnaires

La preuve suppose une distribution de contexte stationnaire $P(C)$. Si le comportement des utilisateurs change de manière significative :

- Nouveau travail → nouveau contexte de bureau
- Déménagement → nouvel espace physique
- Changement de mode de vie → routines différentes

La couverture peut temporairement diminuer à mesure que les anciens hooks deviennent obsolètes et que de nouveaux contextes émergent. Le système doit réapprendre, bien que généralement plus rapidement grâce au transfert de contextes similaires.

3. Granularité du Contexte

La couverture dépend de la finesse avec laquelle les contextes sont définis. À une granularité grossière ("matin" contre "soir"), la couverture semble élevée. À une granularité fine ("mardi 7h23, pluie, faim"), la couverture est plus faible. Le corollaire ne spécifie pas la granularité : c'est un choix de conception du système. :23am

4. Portail d'Acceptation Utilisateur

La preuve suppose que lorsque le système propose un nouveau hook, les utilisateurs l'acceptent. Si les utilisateurs rejettent fréquemment les propositions :

$$\lambda_{\text{effective}}(C) = \lambda(C) \cdot P(\text{accept})$$

La croissance de la couverture ralentit proportionnellement. Des propositions de haute qualité (détection précise des motifs, bonne expérience utilisateur) sont essentielles pour une complétude pratique.

5. Espaces de Contexte Infini

Si $\mathcal{C}$ est de dimension infinie ou continue, "couvrir tous les contextes" est indéfini. Le corollaire s'applique aux espaces de contexte discrétisés ou de dimension finie, ou doit être interprété comme couvrant le support de $P(C)$ (contextes avec une masse de probabilité non nulle).

6. Contraintes Computationnelles

Créer et évaluer des hooks a un coût computationnel. Si le système devient trop grand (des milliers de hooks), le temps d'évaluation augmente :

$$t_{\text{eval}} = O(|\mathcal{H}| \cdot |\text{features}|)$$

Cela peut limiter la couverture pratique : le système pourrait prioriser les contextes à haute fréquence et ignorer les très rares pour garder l'évaluation gérable.

Conclusion

La complétude de la couverture contextuelle offre une garantie puissante : aucune situation couramment rencontrée n'est laissée manuellement de manière permanente. Le système découvre activement les lacunes dans sa couverture et les comble par l'apprentissage. Cela transforme l'expérience utilisateur de "programmer chaque scénario" à "vivre naturellement pendant que l'automatisation émerge."

Le corollaire a plusieurs implications profondes :

- Temps d'apprentissage fini : Il y a un calendrier défini pour atteindre une couverture élevée (généralement de quelques semaines à quelques mois)

- Progrès quantifiable : La couverture peut être mesurée et suivie, offrant de la transparence

- Remplissage stratégique des lacunes : Le système peut identifier et prioriser les contextes non couverts les plus impactants

- Transfert de connaissances : Partager des crochets entre utilisateurs accélère la couverture pour les nouveaux arrivants

Plus important encore, la complétude de la couverture signifie que l'idéal sans entrée (Théorème 1) n'est pas seulement théoriquement réalisable mais pratiquement réalisable. À mesure que la couverture approche 1, la fraction de contextes nécessitant une intervention manuelle approche 0. Le système n'optimise pas seulement l'automatisation existante - il élargit activement la frontière de l'automatisation jusqu'à ce que pratiquement tout ce qui est routinier soit géré automatiquement.

C'est la base mathématique de l'affirmation selon laquelle les systèmes Knowledge Hook peuvent vraiment "apprendre à être vous" - pas seulement imiter quelques comportements

préprogrammés, mais développer une couverture complète de votre paysage comportemental réel. La complétude de la couverture est ce qui transforme un outil utile en une véritable extension de vous-même, capable d'agir de manière appropriée dans n'importe quelle situation que vous rencontrez couramment.

4.1.8 Convergence de l'élagage de poids

Le corollaire de la convergence de l'élagage de poids établit qu'un système de Knowledge Hook, par le biais de la suppression systématique des crochets à faible performance, converge vers un ensemble minimal stable contenant uniquement des crochets de haute qualité. Cela empêche le système d'accumuler indéfiniment des crochets obsolètes, redondants ou mal performants. Le processus d'élagage est à la fois nécessaire (supprimer les crochets qui nuisent à la performance) et convergent (atteignant finalement une configuration stable où aucun élagage supplémentaire n'est bénéfique).

Énoncé du corollaire

Corollaire 8 (Convergence de l'élagage de poids) : Soit $\mathcal{H}(t)$ l'ensemble des crochets au temps t, et définissons une opération d'élagage $\prod$ qui supprime les crochets avec des scores de succès en dessous d'un seuil $S_{\min}$:

$$\Pi(\mathcal{H}) = \{KH \in \mathcal{H} : S(KH) \geq S_{\min}\}$$

Appliquez l'élagage périodiquement aux moments $t_1, t_2, \ldots$ avec l'apprentissage se poursuivant entre les événements d'élagage. Alors :

a) Convergence finie : Il existe un temps fini T après lequel aucun élagage supplémentaire n'a lieu :

$$\exists T : \forall t > T, \quad \Pi(\mathcal{H}(t)) = \mathcal{H}(t)$$

C'est-à-dire que tous les crochets restants ont des scores de succès au-dessus du seuil.

b) Réduction monotone : Le nombre de crochets diminue de manière monotone à travers les événements d'élagage jusqu'à la convergence :

$$\left|\mathcal{H}(t_{i+1})\right| \leq \left|\mathcal{H}(t_i)\right|$$

c) Limite inférieure de la qualité : Après la convergence, tous les crochets satisfont le critère de qualité :

$$\forall KH \in \mathcal{H}(\infty) : S(KH) \geq S_{\min}$$

d) Garantie de performance : Le score de succès moyen des crochets restants est borné par le bas :

$$\bar{S}(\infty) \geq S_{\min} + \frac{\alpha}{|\mathcal{H}(\infty)|}$$

où $\alpha > 0$ reflète l'amélioration de l'apprentissage au-delà du seuil minimum.

Explication intuitive

La convergence de l'élagage de poids dit : les mauvais crochets sont finalement supprimés, et le processus de suppression finit par s'arrêter. Le système ne croît pas indéfiniment avec des déchets accumulés, ni n'oscille éternellement entre l'ajout et la suppression de crochets. Au lieu de cela, il converge vers un ensemble mince et de haute qualité.

Pensez-y comme à l'entretien d'une boîte à outils. Au fil du temps, vous acquérez de nombreux outils, mais certains s'avèrent peu fiables ou redondants. Périodiquement, vous nettoyez la boîte à outils, en vous débarrassant des outils que vous n'utilisez jamais ou qui échouent systématiquement. Finalement, vous atteignez un ensemble stable d'outils fiables dont vous avez réellement besoin. Vous cessez d'ajouter et de retirer des outils car ce qui reste est exactement ce qui fonctionne. Les systèmes Knowledge Hook se comportent de manière similaire grâce à l'élagage.

Pourquoi cela importe : Sans élagage, les systèmes accumulent "du poids mort"—des crochets créés dans le passé qui ne fonctionnent plus ou sont remplacés par de meilleures alternatives. Ce poids mort ralentit l'évaluation des crochets (plus de crochets à vérifier) et peut même nuire aux performances (crochets de mauvaise qualité se déclenchant incorrectement). L'élagage garantit que le système reste léger et efficace.

Preuve

Partie 1 : Propriété de Monotonie du Score de Succès

Par le corollaire 6 (Monotonie du Score de Succès), pour tout crochet qui reste dans le système :

$$\frac{dS(KH)}{dt} \geq 0$$

Les scores de succès ne diminuent pas grâce à l'apprentissage. Cela signifie :

- Une fois qu'un crochet atteint $S \geq S_{\min}$, il ne tombera jamais en dessous de ce seuil.
- Les crochets en dessous du seuil ne peuvent qu'améliorer ou rester les mêmes.

Partie 2 : Partitionner en Trois Catégories

À tout moment t, partitionnez les crochets en trois ensembles :

Crochets sûrs $\mathcal{S}$: $S(KH) \geq S_{\min} + \delta$ pour une certaine marge $\delta > 0$

$$\mathcal{S}(t) = \{KH \in \mathcal{H}(t) : S(KH) \geq S_{\min} + \delta\}$$

Crochets marginaux $\mathcal{M}$: $S_{\min} \leq S(KH) < S_{\min} + \delta$

$$\mathcal{M}(t) = \{KH \in \mathcal{H}(t) : S_{\min} \leq S(KH) < S_{\min} + \delta\}$$

Crochets élaguables $\mathcal{P}$: $S(KH) < S_{\min}$

$$\mathcal{P}(t) = \{KH \in \mathcal{H}(t) : S(KH) < S_{\min}\}$$

Partie 3 : Flux entre les catégories

En raison de la monotonie du score de succès :

- Les crochets peuvent se déplacer $\mathcal{P} \to \mathcal{M} \to \mathcal{S}$ (s'améliorant)
- Les crochets ne reculent jamais ($\mathcal{S} \not\to \mathcal{M}$ ou $\mathcal{M} \not\to \mathcal{P}$)
- Les crochets dans $\mathcal{P}$ sont supprimés par élagage

Cela crée un flux unidirectionnel : les crochets s'améliorent vers $\mathcal{S}$ ou sont élagués.

Partie 4 : Argument de convergence

Considérez ce qui se passe au fil du temps :

Pour les crochets dans $\mathcal{P}$: Ceux-ci sont supprimés lors du prochain événement de taille. Une fois supprimés, ils ne reviennent pas (à condition qu'aucun nouveau crochet ne soit créé avec des scores initiaux bas).

Pour les crochets dans $\mathcal{M}$: Par le corollaire 6, leurs scores de succès augmentent. Finalement, ils soit :

- Traversent $\mathcal{S}$ (sécurisés de manière permanente), ou
- Se stabilisent juste au-dessus de $S_{\min}$ (restent marginaux mais non élagables)

Pour les crochets dans $\mathcal{S}$: Ceux-ci restent sécurisés pour toujours en raison de la monotonie.

Soit $n_{\mathcal{P}}(t)$ le nombre de crochets élagables au temps t. Après chaque événement de taille :

$$n_{\mathcal{P}}(t_{i+1}) \leq n_{\mathcal{P}}(t_i)$$

Puisque les crochets dans $\mathcal{P}$ sont supprimés et que les crochets ne retournent jamais dans $\mathcal{P}$ (monotonie), nous avons une séquence strictement décroissante. Puisque $n_{\mathcal{P}} \geq 0$, cette séquence doit atteindre 0 en un temps fini :

$$\exists T : n_{\mathcal{P}}(T) = 0$$

Après ce point, $\mathcal{P}(t) = \emptyset$ pour tous $t > T$, ce qui signifie qu'aucun crochet n'est élagable et que le système a convergé. □

Lien avec les théorèmes

Ce corollaire repose principalement sur le corollaire 6 (Monotonie des scores de succès) :

D'après le corollaire 6 : Les scores de succès monotones garantissent que l'élagage est une opération unidirectionnelle. Les crochets qui franchissent le seuil de qualité ne retombent jamais en dessous, garantissant la convergence.

D'après le théorème 5 (loi d'apprentissage) : Le mécanisme par lequel les crochets marginaux s'améliorent vers la zone de sécurité. Sans apprentissage, les crochets resteraient à leurs niveaux de qualité

initiaux, et l'élagage pourrait en retirer trop.

D'après le théorème 1 (loi de convergence) : La convergence globale vers un input nul nécessite non seulement d'ajouter de bons crochets mais aussi de retirer les mauvais. L'élagage est le complément "négatif" à la création de crochets "positifs" de l'apprentissage.

Implications Pratiques

1. Maintenance automatique du système

Aucune intervention manuelle n'est nécessaire pour nettoyer l'ensemble des crochets. Le système se maintient de lui-même :

- Évaluer périodiquement tous les crochets
- Retirer ceux en dessous du seuil
- Le processus converge automatiquement

Les utilisateurs n'ont jamais besoin de supprimer manuellement des crochets obsolètes - le système s'en charge.

2. Taille du système limitée

Le nombre de crochets est limité par le nombre qui peut atteindre $S \geq S_{\min}$:

$$|\mathcal{H}(\infty)| \leq |\{\text{all possible hooks with } S \geq S_{\min}\}|$$

Cela empêche une croissance illimitée. La taille du système se stabilise à un niveau déterminé par :

- Complexité du comportement des utilisateurs (plus complexe → plus de hooks nécessaires)
- Seuil de qualité $S_{\min}$ (seuil plus élevé → moins de hooks restent)

3. Optimisation des performances

L'élagage améliore les performances du système de plusieurs manières :

Évaluation plus rapide : Moins de hooks à vérifier → $O(|\mathcal{H}|)$ devient plus petit

$$t_{\text{eval after pruning}} = \frac{|\mathcal{H}(\infty)|}{|\mathcal{H}(0)|} \times t_{\text{eval initial}}$$

Moins d'erreurs : Les hooks de mauvaise qualité qui se déclenchent incorrectement sont supprimés

Meilleure expérience utilisateur : Les utilisateurs ne voient que des hooks fiables, augmentant la confiance

4. Sélection du seuil

Le choix de $S_{\min}$ crée un compromis :

Seuil bas ($S_{\min} = 0.5$) : Plus de hooks conservés, une plus grande couverture, mais certains hooks médiocres restent.

Seuil élevé ($S_{\min} = 0.9$) : Seulement des hooks excellents, mais certains contextes utiles peuvent manquer de couverture.

Recommandé : $S_{\min} \in [0.7, 0.8]$ équilibre qualité et couverture pour la plupart des applications.

5. Fréquence de taille

À quelle fréquence effectuer la taille ? Le corollaire suggère :

$$\text{Pruning interval} \approx \frac{1}{\alpha} \ln(2)$$

où α est le taux d'apprentissage. Cela donne aux hooks le temps de s'améliorer avant d'être jugés. Une taille trop fréquente élimine les hooks avant qu'ils ne puissent apprendre ; trop peu fréquente laisse du poids mort trop longtemps.

Programme typique : Taille hebdomadaire ou bi-hebdomadaire pour les systèmes actifs.

6. Période de grâce pour les nouveaux hooks

Les nouveaux hooks commencent avec de faibles scores de succès ($S_0 \approx 0.5$). Pour éviter une taille immédiate, mettez en œuvre une période de grâce :

$$\text{Prune if: } S(KH) < S_{\min} \wedge \text{age}(KH) > t_{\text{grace}}$$

Cela permet aux nouveaux hooks d'apprendre avant d'être évalués pour suppression. Période de grâce typique : 1 à 2 semaines.

7. Archive vs Supprimer

Au lieu de supprimer définitivement les hooks élagués, archivez-les :

• Activer la récupération si le comportement de l'utilisateur change

• Préserver l'historique d'apprentissage

• Permettre la résurrection si les contextes réapparaissent

Les hooks archivés ne comptent pas pour $|\mathcal{H}|$ pour l'évaluation mais peuvent être restaurés si des motifs réémergent.

Exemples

Exemple 1 : Évolution et Élagage des Hooks de Maison Intelligente

Un utilisateur commence avec 20 hooks, certains créés manuellement, d'autres appris :

Mois 1 : $|\mathcal{H}| = 20$

Scores de réussite : $[0.45, 0.52, 0.68, 0.71, 0.73, 0.75, 0.78, 0.82, 0.85, 0.88, 0.91, 0.93, 0.94, 0.95, 0.96, 0.97, 0.98, 0.98, 0.99, 0.99]$

Première taille ($S_{\min} = 0.70$): Retirer 2 crochets avec $S < 0.70$

Mois 2: $|\mathcal{H}| = 18$ (après la taille) + 3 (nouveaux crochets appris) = 21

Les nouveaux crochets commencent à $S \approx 0.50$, mais ont une période de grâce

Deuxième taille: 1 nouveau crochet n'a pas réussi à s'améliorer → retiré. 2 se sont améliorés à $S > 0.70$

Mois 3: $|\mathcal{H}| = 20$

Tous les crochets ont maintenant $S \geq 0.72$

Troisième taille: Aucun crochet retiré (convergence atteinte)

Mois 4: $|\mathcal{H}| = 20$ (stable)

Le système a convergé vers un ensemble réduit de 20 crochets de haute qualité.

Exemple 2: Obsolescence saisonnière des crochets

Les crochets d'hiver deviennent obsolètes en été :

Janvier : Le crochet "Chauffage activé lorsque la température < 18°C" a $S = 0.92$ (s'active correctement chaque jour)

Juin : Le même crochet s'active incorrectement (trop chaud), S tombe à 0.45

Taille de juillet : Crochet retiré ($S = 0.45 < S_{\min} = 0.70$)

Prochain janvier : Le crochet peut être restauré depuis l'archive lorsque la température baisse

Alternativement, le crochet pourrait être affiné avec des conditions saisonnières : "Chauffage activé lorsque la température < 18°C ET mois ∈ [Nov, Mar]"

Exemple 3 : Chronologie de convergence

Suivre les événements de taille jusqu'à convergence :

Semaine 0 : Commencer avec 50 crochets (mélange de qualité)

Semaine 2 : La première taille retire 8 crochets → 42 restent

Semaine 4 : La deuxième taille enlève 5 crochets → 37 restent

Semaine 6 : La troisième taille enlève 2 crochets → 35 restent

Semaine 8 : La quatrième taille enlève 1 crochet → 34 restent

Semaine 10 : La cinquième taille enlève 0 crochets → 34 restent (convergence !)

Semaine 12+ : Aucune taille supplémentaire n'a lieu

La séquence $8, 5, 2, 1, 0$ montre une décroissance géométrique - cohérente avec une convergence exponentielle.

Limitations et avertissements

1. Création de nouveaux crochets

La garantie de convergence suppose un univers fixe de crochets. Si de nouveaux crochets sont continuellement créés :

$$\frac{d|\mathcal{H}|}{dt} = \lambda_{\text{create}} - \lambda_{\text{prune}}$$

Le système atteint un équilibre dynamique plutôt qu'une convergence fixe. La taille se stabilise lorsque le taux de création est égal au taux de taille.

2. Changements de distribution contextuelle

Si le comportement des utilisateurs change radicalement (nouveau travail, déménagement, changement de mode de vie), des accroches

auparavant efficaces peuvent devenir mauvaises :

- Les scores de succès peuvent sembler diminuer (bien qu'ils restent élevés pour les contextes d'origine)
- L'élagage peut supprimer des accroches qui étaient autrefois précieuses
- Le système peut avoir besoin de se reconverger après des changements majeurs dans la vie

3. Sensibilité au seuil

L'ensemble final des accroches dépend fortement de $S_{\min}$:

$$|\mathcal{H}(\infty)| \propto \frac{1}{S_{\min} - 0.5}$$

De petits changements dans le seuil peuvent provoquer de grands changements dans la taille du système. Un étalonnage minutieux du seuil est nécessaire pour chaque déploiement.

4. Faux négatifs lors de l'élagage précoce

Une accroche peut avoir un faible succès initial mais s'améliorer considérablement avec plus de données. Un élagage trop agressif supprime potentiellement de bonnes accroches avant qu'elles ne puissent apprendre. Solution

: périodes de grâce et seuils initiaux conservateurs.

5. Risque d'oscillation

Si des hooks sont créés et élagués pour les mêmes contextes de manière répétée, le système pourrait osciller. Cela viole la garantie de convergence. Causes :

- Période de grâce trop courte
- Taux d'apprentissage trop lent
- Seuil trop élevé

Solution : Assurez-vous que $t_{\text{grace}} > \frac{1}{\alpha} \ln\left(\frac{S_{\min}}{S_0}\right)$, donnant aux hooks le temps de franchir le seuil.

6. Coût de calcul

Évaluer tous les hooks pour l'élagage a coûté $O(|\mathcal{H}|)$. Pour des systèmes très grands (des milliers de hooks), l'élagage lui-même devient coûteux. Solution : élagage paresseux—n'évaluer que les hooks qui ont été signalés comme potentiellement peu performants.

Conclusion

La convergence de l'élagage de poids fournit la garantie essentielle que les systèmes Knowledge Hook restent minces et efficaces au fil du temps. Sans élagage, les systèmes

accumuleraient indéfiniment des hooks obsolètes, dégradant les performances. Avec l'élagage, les systèmes s'auto-nettoient, convergeant vers un ensemble optimal de hooks de haute qualité.

Les principales idées de ce corollaire :

- Maintenance automatique : aucune intervention manuelle nécessaire—le système se nettoie tout seul
- Convergence garantie : L'élagage ne se poursuit pas indéfiniment ; il atteint un état stable
- Assurance qualité : Après convergence, tous les crochets restants respectent les normes de qualité minimales
- Taille limitée : La taille du système se stabilise, empêchant une croissance illimitée

L'élagage est le "yin" de l'apprentissage "yang" — l'apprentissage ajoute de nouvelles capacités, l'élagage supprime celles qui sont obsolètes. Ensemble, ils permettent une amélioration continue tout en maintenant la santé du système. Cela est analogue à la façon dont les systèmes biologiques équilibrent la croissance (ajout de nouveaux neurones/synapses) avec l'élagage (suppression des connexions inutilisées) pour atteindre une performance cognitive optimale.

Le résultat de convergence est particulièrement important pour le déploiement

à long terme du système. Cela signifie que les systèmes Knowledge Hook ne se dégraderont pas en désordres ingérables après des années d'utilisation. Au lieu de cela, ils restent propres et efficaces indéfiniment, avec le crochet s'adaptant naturellement pour refléter le comportement actuel des utilisateurs tout en éliminant l'automatisation obsolète. Cela rend les Knowledge Hooks pratiques pour un déploiement permanent en tant que véritables extensions de l'utilisateur, et non simplement des outils temporaires nécessitant un nettoyage manuel périodique.

4.1.9 Corollaire 9 : Bornes d'erreur de mesure de l'énergie

Bien que le théorème 3 établisse l'équivalence théorique entre les économies d'énergie et la réduction des actions, les systèmes de mesure pratiques font face à des incertitudes inhérentes. Le corollaire 9 quantifie ces erreurs de mesure et fournit des bornes rigoureuses sur l'exactitude des calculs d'énergie STC. Ce corollaire est essentiel pour établir des intervalles de confiance dans les revendications énergétiques, détecter des rapports frauduleux et concevoir des procédures d'étalonnage.

Énoncé du corollaire

Corollaire 9 (Bornes d'erreur de mesure de l'énergie) : Soit $E_{\text{true}}(h)$ le coût

énergétique réel de l'exécution du crochet h, et soit $\hat{E}(h)$ le coût énergétique mesuré ou estimé. Définir l'erreur de mesure comme :

$$\epsilon_{\text{meas}}(h) = |\hat{E}(h) - E_{\text{true}}(h)|$$

Alors, dans des conditions de mesure standard avec des capteurs calibrés, l'erreur relative est bornée par :

$$\frac{\epsilon_{\text{meas}}(h)}{E_{\text{true}}(h)} \leq \epsilon_{\text{calib}} + \epsilon_{\text{baseline}} + \epsilon_{\text{context}}$$

où :

- ϵ_{calib} est l'erreur de calibration (précision du capteur, généralement 2-5%)
- $\epsilon_{\text{baseline}}$ est l'erreur d'estimation de base (incertitude sur ce que l'utilisateur aurait fait manuellement, généralement 5-15%)
- $\epsilon_{\text{context}}$ est l'erreur de variation de contexte (les coûts énergétiques variant selon la situation, généralement 10-20%)

De plus, l'erreur absolue dans la mesure des économies d'énergie satisfait :

$$|\Delta\hat{E} - \Delta E_{\text{true}}| \leq \sqrt{\epsilon_{\text{meas}}^2(h_{\text{manual}}) + \epsilon_{\text{meas}}^2(h_{\text{auto}})}$$

où

$$\Delta E = E(h_{\text{manual}}) - E(h_{\text{auto}})$$

est l'énergie économisée par l'automatisation.

Explication intuitive

Pensez à la mesure de l'énergie comme à la mesure de l'efficacité énergétique d'une voiture. Vous ne pouvez pas la mesurer parfaitement car :

• Votre jauge de carburant a une précision limitée (erreur de calibration)

• Vous ne savez pas exactement comment vous auriez conduit sans régulateur de vitesse (erreur de base)

• Les conditions de conduite varient (collines, circulation, météo = erreur de contexte)

Cependant, si vous êtes prudent, vous pouvez limiter ces erreurs et dire : 'J'ai économisé entre X et Y gallons avec 95% de confiance.' Le corollaire 9 fait de même pour les économies d'énergie liées à l'accroche de connaissance - il nous indique les bandes d'incertitude autour de nos mesures.

Preuve complète

Partie 1 : Limite d'erreur de calibration

Étape 1.1 : Modèle d'erreur du capteur

Les mesures d'énergie pour les actions proviennent des capteurs (accéléromètres, moniteurs de puissance, mesures de temps). Chaque capteur a une précision spécifiée. Pour l'action a_i, la véritable coût est $\epsilon_{\text{true}}(a_i)$ et le coût mesuré est $\hat{\epsilon}(a_i)$.

Les capteurs standard satisfont :

$$|\hat{\epsilon}(a_i) - \epsilon_{\text{true}}(a_i)| \leq \delta_{\text{sensor}} \cdot \epsilon_{\text{true}}(a_i)$$

où $\delta_{\text{sensor}} \in [0.02, 0.05]$ pour les dispositifs calibrés (précision de 2 à 5 %).

Étape 1.2 : Agréger sur la séquence d'actions

Pour un crochet avec la séquence d'actions $A(h) = \{a_1, ..., a_n\}$:

$$\hat{E}(h) = \sum_{i=1}^{n} \hat{\epsilon}(a_i), \quad E_{\text{true}}(h) = \sum_{i=1}^{n} \epsilon_{\text{true}}(a_i)$$

L'erreur de mesure est :

$$|\hat{E}(h) - E_{\text{true}}(h)| = \left| \sum_{i=1}^{n} (\hat{\epsilon}(a_i) - \epsilon_{\text{true}}(a_i)) \right|$$

Par inégalité triangulaire :

$$\leq \sum_{i=1}^{n} |\hat{\epsilon}(a_i) - \epsilon_{\text{true}}(a_i)| \leq \sum_{i=1}^{n} \delta_{\text{sensor}} \cdot \epsilon_{\text{true}}(a_i) = \delta_{\text{sensor}} \cdot E_{\text{true}}(h)$$

Donc :

$$\frac{|\hat{E}(h) - E_{\text{true}}(h)|}{E_{\text{true}}(h)} \leq \delta_{\text{sensor}} = \epsilon_{\text{calib}}$$

✓

Partie 2 : Erreur d'estimation de la ligne de base

Étape 2.1 : Modéliser l'incertitude de la ligne de base

Pour mesurer les économies d'énergie $\Delta E = E_{\text{manual}} - E_{\text{auto}}$, nous devons estimer ce que l'utilisateur aurait fait manuellement. Cette ligne de base a une incertitude inhérente.

Soit $A_{\text{manual}}^{\text{true}}$ la véritable séquence d'actions que l'utilisateur aurait effectuée, et $\hat{A}_{\text{manual}}$ notre estimation (à partir de données historiques, d'enquêtes auprès des utilisateurs ou de connaissances du domaine).

L'erreur d'estimation de la ligne de base est :

$$\epsilon_{\text{baseline}} = \frac{|E(\hat{A}_{\text{manual}}) - E(A_{\text{manual}}^{\text{true}})|}{E(A_{\text{manual}}^{\text{true}})}$$

Étape 2.2 : Limiter l'erreur de la ligne de base

Des études empiriques montrent que pour des tâches bien documentées avec des données historiques, les estimations de la ligne de base satisfont :

$$\epsilon_{\text{baseline}} \in [0.05, 0.15]$$

Cette plage reflète :

• Extrême inférieur (5 %) : Tâches bien étudiées avec des données historiques étendues (par exemple, taper des e-mails, workflows standards)

• Extrême supérieur (15 %) : Tâches nouvelles ou utilisateurs avec peu d'historique (par exemple, configuration de nouveaux appareils, travail créatif)

L'erreur de base s'additionne à l'erreur de calibration dans le pire des cas :

$$\frac{\epsilon_{\text{meas}}(E_{\text{manual}})}{E_{\text{manual}}} \leq \epsilon_{\text{calib}} + \epsilon_{\text{baseline}}$$

✓

Partie 3 : Erreur de variation de contexte

Étape 3.1 : Modéliser les coûts dépendants du contexte

Le coût énergétique d'une action varie selon le contexte. Par exemple :

• Taper sur un ordinateur portable vs un smartphone (effort physique différent)

• Matin vs soir (le rythme circadien affecte les coûts cognitifs)

• Debout vs assis (taux métabolique de base différent)

Soit $\epsilon(a|c)$ le coût énergétique conditionnel à un contexte de l'action a dans le contexte c. Le coût moyen sur les contextes est :

$$\bar{\epsilon}(a) = \mathbb{E}_{c \sim P(C)}[\epsilon(a|c)]$$

Étape 3.2 : Limiter la variation de contexte

Définir le coefficient de variation de contexte :

$$\text{CV}(a) = \frac{\sigma_{\epsilon(a|c)}}{\bar{\epsilon}(a)}$$

où $\sigma_{\epsilon(a|c)}$ est l'écart type des coûts énergétiques dans différents contextes.

Les mesures empiriques montrent :

$$\text{CV}(a) \in [0.10, 0.20]$$

pour la plupart des actions des utilisateurs. En utilisant l'inégalité de Chebyshev, la probabilité qu'une seule mesure s'écarte de la moyenne de plus de $k\sigma$ est au maximum $1/k^2$. Pour une confiance de 95 % ($k \approx 2$):

$$P\left(|\epsilon(a|c) - \bar{\epsilon}(a)| > 2\sigma\right) < 0.05$$

Cela implique :

$$\epsilon_{\text{context}} = 2 \cdot \text{CV}(a) \in [0.20, 0.40]$$

Cependant, en moyennant plusieurs mesures ou en utilisant des modèles énergétiques sensibles au contexte, cela peut être réduit à :

$$\epsilon_{\text{context}} \approx [0.10, 0.20]$$

✓

Partie 4 : Limite d'erreur totale et incertitude des économies d'énergie

Étape 4.1 : Combiner les sources d'erreur

Les trois sources d'erreur sont indépendantes, donc dans le pire des cas, elles s'additionnent de manière linéaire :

$$\frac{\epsilon_{\text{meas}}(h)}{E_{\text{true}}(h)} \leq \epsilon_{\text{calib}} + \epsilon_{\text{baseline}} + \epsilon_{\text{context}}$$

Avec des valeurs typiques :

Pour des systèmes bien calibrés avec de bonnes données historiques :

Étape 4.2 : Incertitude des économies d'énergie

Les économies d'énergie $\Delta E = E_{\text{manual}} - E_{\text{auto}}$ ont une erreur provenant des deux mesures :

$$\Delta\hat{E} - \Delta E_{\text{true}} = (\hat{E}_{\text{manual}} - E^{\text{true}}_{\text{manual}}) - (\hat{E}_{\text{auto}} - E^{\text{true}}_{\text{auto}})$$

En prenant des valeurs absolues et en supposant que les erreurs ne sont pas corrélées :

$$|\Delta\hat{E} - \Delta E_{\text{true}}| \leq \sqrt{\epsilon^2_{\text{meas}}(h_{\text{manual}}) + \epsilon^2_{\text{meas}}(h_{\text{auto}})}$$

C'est le principe de combinaison d'erreurs de Pythagore : les erreurs provenant de sources indépendantes se combinent en quadrature, pas de manière linéaire.

Pour une économie de crochet de $\Delta E_{\text{true}} = 1000$ J avec 20 % d'erreur sur chaque mesure :

$$|\Delta\hat{E} - 1000| \leq \sqrt{(200)^2 + (200)^2} = 282.8 \text{ J}$$

Ainsi, l'intervalle de confiance à 95 % est d'environ $[720, 1280]$ J.

✓

Cela complète la preuve. □

Connexions à d'autres résultats

Avec le théorème 3 (Équivalence de la minimisation de l'énergie) : Le théorème 3 établit que minimiser les actions est équivalent à minimiser l'énergie *en principe*. Le corollaire 9 quantifie la *précision de mesure* de cette équivalence en pratique. Il répond à la question : 'À quel point pouvons-nous mesurer avec précision les économies d'énergie promises par le théorème 3 ?'

Avec le théorème 6 (Convergence des poids) : À mesure que les poids convergent, les crochets deviennent plus fiables (moins de corrections). Cela améliore la précision de mesure de l'énergie car :

- Moins de corrections signifient une utilisation de l'énergie plus cohérente
- Une meilleure correspondance contextuelle réduit $\epsilon_{\text{context}}$
- Les données historiques deviennent plus prédictives, réduisant $\epsilon_{\text{baseline}}$

Avec le Corollaire 3 (Additivité de l'énergie de composition) : Lors de la composition de crochets, les erreurs de mesure ne s'additionnent pas linéairement - elles se combinent en quadrature. Pour les crochets composés n :

$$\epsilon_{\text{total}} \approx \sqrt{n} \cdot \epsilon_{\text{individual}}$$

C'est bien mieux que $n \cdot \epsilon_{\text{individual}}$, permettant une mesure précise des flux de travail complexes à plusieurs crochets.

Implications Pratiques

1. Intervalles de confiance pour les revendications STC : Chaque revendication d'économie d'énergie doit inclure des limites d'incertitude. Par exemple : 'Ce crochet a économisé 1000 ± 280 J (IC à 95 %).' Cela renforce la confiance et empêche les revendications frauduleuses.

2. Exigences de calibration : Pour atteindre une erreur $< 20\%$, les systèmes doivent :

- Utiliser des capteurs calibrés (accéléromètres, moniteurs de puissance)
- Collecter des données historiques de référence suffisantes
- Mettre en œuvre des modèles énergétiques contextuels

3. Détection de fraude : Si un crochet revendique des économies d'énergie en dehors des limites :

$$|\Delta\hat{E} - \Delta\bar{E}| > 3\sigma_{\Delta E}$$

cela devrait être signalé pour révision. C'est une règle à 3 sigmas pour la détection des valeurs aberrantes.

4. Mécanismes de vérification : Le mécanisme de correction fournit une vérification naturelle :

- Si un crochet nécessite des corrections fréquentes, les économies d'énergie réalisées sont inférieures aux prévisions
- Le taux de correction est corrélé à l'erreur de mesure
- Les systèmes peuvent ajuster les crédits d'énergie en fonction de la fréquence de correction observée

5. Puissance statistique pour les tests A/B : Pour détecter une amélioration de 10 % de l'énergie avec une puissance de 80 % et une signification de 5 % :

$$n \geq \frac{2(z_{\alpha/2} + z_{\beta})^2 \sigma^2}{(\mu_1 - \mu_2)^2}$$

Avec un $\sigma/\mu \approx 0.20$ typique, cela nécessite $n \approx 630$ échantillons. Les systèmes doivent collecter suffisamment de données avant de faire des comparaisons définitives.

6. Calibration personnalisée : Les utilisateurs peuvent améliorer la précision en :

- Portant des traqueurs d'activité pour mesurer les coûts métaboliques réels
- Fournissant des retours sur les lignes de base estimées ('Oui, c'est comme ça que je l'aurais fait' contre 'Non, j'aurais fait X à la place')
- Enregistrement des facteurs contextuels (appareil, moment de la journée, humeur) pour affiner les modèles contextuels

Exemple 1 : Crochet de triage d'e-mails (Haute Précision)

Considérez un crochet de triage d'e-mails qui archive automatiquement les bulletins d'information.

Réelles économies d'énergie : Sans le crochet, l'utilisateur devrait :

- Ouvrir l'application de messagerie (10 J)
- Faire défiler la boîte de réception (5 J/email × 20 bulletins = 100 J)
- Sélectionner et archiver chacun (3 J/email × 20 = 60 J)
- Total : $E_{\text{manual}} = 170$ J

Avec le crochet :

- Le crochet fonctionne automatiquement (1 J d'énergie de l'appareil)
- Correction occasionnelle (2 J d'énergie utilisateur × 0,05 taux de correction = 0,1 J attendu)
- Total : $E_{\text{auto}} = 1.1$ J

Économies d'énergie mesurées : $\Delta\hat{E} = 168.9$ J

Analyse des erreurs :

- Erreur de calibration : 3 % (bons capteurs)
- Erreur de référence : 5 % (processus de tri des e-mails bien documenté)
- Erreur de contexte : 10 % (appareil et heure de la journée cohérents)

- Erreur relative totale : $0.03 + 0.05 + 0.10 = 0.18$ (18 %)

Intervalle de confiance : 168.9 ± 30.4 J → $[138.5, 199.3]$ J (95 % IC)

C'est très précis—l'utilisateur peut affirmer en toute confiance ~170 J économisés par jour.

Exemple 2 : Thermostat intelligent (Précision modérée)

Un crochet de thermostat intelligent ajuste la température en fonction de l'occupation.

Économies d'énergie réelles : Sans automatisation, l'utilisateur vérifierait le thermostat 5 fois par jour et ajusterait manuellement. La référence est incertaine car :

- À quelle fréquence ajusteraient-ils réellement ? (varie selon la personne)
- Quelles températures choisiraient-ils ? (varie selon l'humeur, les vêtements, l'activité)

Référence estimée : $E_{\text{manual}} = 500$ J/jour (marcher jusqu'au thermostat + ajustement)

Énergie du crochet : $E_{\text{auto}} = 5$ J/jour (vérifications du capteur + ajustements)

Économies mesurées : $\Delta\hat{E} = 495$ J/jour

Analyse des erreurs :

• Erreur de calibration : 5%

• Erreur de référence : 15% (grande incertitude dans le comportement manuel)

• Erreur de contexte : 20% (varie selon la saison, la météo, l'emploi du temps de l'utilisateur)

• Erreur relative totale : $0.05 + 0.15 + 0.20 = 0.40$ (40%)

Intervalle de confiance : 495 ± 198 J → $[297, 693]$ J (95 % IC)

C'est beaucoup plus large - les revendications énergétiques devraient être conservatrices. Le système pourrait rapporter : 'Économies estimées : 300-700 J/jour' plutôt que de revendiquer un précis 495 J.

Exemple 3 : Composition Multi-Hook (Combinaison d'Erreur de Quadrature)

Une routine matinale se compose de 5 crochets composés :

1. Triage des e-mails (170 ± 30 J)

2. Revue du calendrier (50 ± 10 J)

3. Briefing d'actualités (80 ± 15 J)

4. Priorisation des tâches (60 ± 12 J)

5. Configuration de la maison intelligente (100 ± 20 J)

Combinaison d'erreur naïve (addition linéaire) :

$$\Delta E_{\text{total}} = 460 \pm (30 + 10 + 15 + 12 + 20) = 460 \pm 87 \text{ J}$$

Cela donne une erreur relative de $87/460 = 19\%$.

Erreur de combinaison correcte (quadrature) :

$$\sigma_{\text{total}} = \sqrt{30^2 + 10^2 + 15^2 + 12^2 + 20^2} = \sqrt{1469} = 38.3 \text{ J}$$

$$\Delta E_{\text{total}} = 460 \pm 38 \text{ J}$$

Cela donne une erreur relative de seulement $38/460 = 8.3\%$–bien mieux !

Insight clé : Composer des hooks améliore la précision de mesure relative car les erreurs sont non corrélées et se combinent en quadrature. Cela permet une mesure précise des flux de travail complexes à plusieurs hooks.

Limitations et cas particuliers

1. Biais systématique : Le corollaire limite les erreurs aléatoires mais pas le biais systématique. Si les capteurs sont systématiquement mal calibrés ou si les modèles de référence surestiment

systématiquement l'effort manuel, les erreurs peuvent s'accumuler. Des vérifications de calibration régulières sont essentielles.

2. Erreurs corrélées : La combinaison d'erreurs en quadrature suppose l'indépendance. Si les erreurs sont corrélées (par exemple, tous les hooks surestiment le lundi en raison de la fatigue des utilisateurs), l'erreur réelle peut être plus grande.

3. Événements rares : Pour les hooks exécutés rarement, les tailles d'échantillon peuvent être trop petites pour atteindre les intervalles de confiance déclarés. Le corollaire suppose des échantillons suffisants ($n \geq 30$) pour que le théorème central limite s'applique.

4. Distributions non gaussiennes : Les limites d'erreur supposent des distributions d'erreur approximativement normales. Pour des distributions d'erreur à queue lourde ou biaisées, des intervalles de confiance plus larges peuvent être nécessaires.

5. Manipulation adversariale : Les utilisateurs pourraient délibérément manipuler les mesures pour gonfler les revendications d'économies d'énergie. Les systèmes robustes ont besoin :

- Validation croisée avec des mesures indépendantes

- Détection d'anomalies pour les valeurs aberrantes statistiques

- Systèmes de réputation pour signaler des revendications systématiquement suspectes

Conclusion

Les bornes d'erreur de mesure d'énergie transforment les économies d'énergie d'une quantité théorique abstraite en une valeur empirique mesurable de manière rigoureuse. En quantifiant les incertitudes inhérentes à la mesure (calibration, référence, contexte), ce corollaire permet :

- Intervalles de confiance : Rapportez les économies d'énergie avec rigueur statistique

- Détection de fraude : Identifiez les revendications d'énergie implausiblement élevées

- Calibration du système : Guidez la sélection des capteurs et les procédures de calibration

- Évaluation comparative : Comparez rigoureusement les crochets tout en tenant compte du bruit de mesure

L'importance pratique de ce corollaire ne peut être surestimée. La Thermo-Monnaie subjective dépend d'une mesure d'énergie précise pour être crédible et équitable. Sans bornes d'erreur de mesure, les revendications d'énergie seraient non vérifiables, les

marchés seraient vulnérables à la fraude, et les utilisateurs n'auraient aucune confiance dans le système. Ce corollaire fournit la base statistique pour une comptabilité énergétique fiable et vérifiable.

Plus critique encore, la combinaison d'erreur de quadrature pour les crochets composés signifie que des flux de travail complexes peuvent être mesurés PLUS précisément (en termes relatifs) que des crochets simples. Cela peut sembler contre-intuitif mais puissant : cela signifie que l'automatisation sophistiquée en plusieurs étapes—précisément le type le plus précieux pour les utilisateurs—peut être mesurée et compensée de manière plus fiable. Les bornes d'erreur de mesure d'énergie permettent ainsi l'échelle de la Thermo-Monnaie subjective des crochets simples aux écosystèmes complexes d'automatisation composée.

4.1.10 Corollaire 10 : Stabilité en cascade

Lorsqu'un hook s'exécute et change le contexte du système, il peut déclencher d'autres hooks dont les conditions sont désormais satisfaites. Ces hooks ultérieurs peuvent à leur tour déclencher d'autres hooks, créant une cascade d'actions automatisées. Bien que la cascade permette une automatisation puissante en plusieurs étapes, elle présente également un risque significatif : les cascades pourraient potentiellement

boucler indéfiniment ou osciller de manière instable. Le corollaire 10 établit des conditions mathématiques sous lesquelles les cascades sont garanties de se terminer et de rester stables, permettant un déploiement sûr de systèmes de hooks interconnectés.

Énoncé du corollaire

Corollaire 10 (Stabilité des Cascades) : Soit $\mathcal{H} = \{KH_1, KH_2, ..., KH_n\}$ une collection de hooks de connaissance. Une cascade est une séquence d'activations de hooks :

$$\text{Cascade} = KH_{i_1} \to KH_{i_2} \to \cdots \to KH_{i_k}$$

où chaque hook KH_{i_j} est déclenché par des changements de contexte résultant de l'exécution de $KH_{i_{j-1}}$. Sous les conditions suffisantes suivantes, toutes les cascades sont garanties de se terminer dans un temps fini :

Condition 1 (Prévention des Cycles) : Aucun hook ne peut apparaître plus d'une fois dans une chaîne de cascade. Formellement, l'ensemble de suivi de la cascade maintient :

$$\text{CascadeChain}(t) = \{KH_{i_1}, KH_{i_2}, ..., KH_{i_k}\}$$

et avant d'activer KH_j, le système vérifie : si

$KH_j \in \text{CascadeChain}(t)$ alors BLOQUER l'activation.

Condition 2 (Limite de Profondeur) : Il existe une profondeur maximale de cascade $D_{\max}$ telle que :

$$|\text{CascadeChain}(t)| \leq D_{\max}$$

Les systèmes typiques définissent $D_{\max} \in [10, 20]$ pour équilibrer expressivité et sécurité.

Condition 3 (Temps de Refroidissement Temporel) : Après qu'un hook se soit déclenché à l'heure t_0, il ne peut pas se déclencher à nouveau avant $t \geq t_0 + \Delta t_{\text{cooldown}}$, où $\Delta t_{\text{cooldown}} > 0$ est une période réfractaire minimale (typiquement 0,5 à 2 secondes).

Alors : Sous ces conditions, chaque cascade se termine en au plus $D_{\max}$ étapes et temps total :

$$T_{\text{cascade}} \leq D_{\max} \cdot T_{\text{hook}} + (D_{\max} - 1) \cdot \Delta t_{\text{cooldown}}$$

où T_{hook} est le temps d'exécution maximal pour tout hook individuel.

De plus (Stabilité Forte) : Si le contexte du système a un espace d'état fini

$|\mathcal{C}| < \infty$, alors sous un refroidissement temporel seul (sans prévention de cycle), les cascades se terminent soit ou entrent dans des orbites périodiques stables avec une période $\leq |\mathcal{C}|$.

Explication intuitive

Pensez aux cascades comme des dominos qui tombent. Lorsque vous renversez le premier domino, il peut en renverser plusieurs autres en séquence. Le danger est que le dernier domino puisse d'une manière ou d'une autre renverser à nouveau le premier, créant une boucle infinie. La stabilité des cascades empêche cela par trois mécanismes :

1. Pas de Répétitions (Prévention de Cycle) : Une fois qu'un domino est tombé dans cette cascade, il ne peut plus tomber à nouveau. Cela empêche les boucles directes (A→B→A) et les boucles indirectes (A→B→C→A).

2. Longueur Maximale de Chaîne : Même si les dominos continuent de déclencher de nouveaux (pas de répétitions), la chaîne doit s'arrêter après une longueur maximale fixe. Cela empêche les scénarios pathologiques de 'nouveaux dominos infinis'.

3. Période de Refroidissement : Après qu'un domino soit tombé, il a besoin de temps pour être 'réinitialisé' avant de pouvoir tomber à nouveau dans une future cascade indépendante. Cela empêche les oscillations rapides même

lorsque les chaînes de cascades se réinitialisent.

Ensemble, ces mécanismes garantissent que les chaînes d'automatisation se terminent toujours et que le système revient à un état stable et prêt.

Preuve complète

Partie 1 : Terminaison Sous Prévention de Cycle

Étape 1.1 : Modéliser la cascade comme un graphe orienté

Représentez le système de crochet comme un graphe orienté $G = (V, E)$ où :

$$V = \mathcal{H} \text{ (hooks are vertices)}$$

$$E = \{(KH_i, KH_j) : \text{executing } KH_i \text{ can trigger } KH_j\}$$

Une cascade est un chemin à travers ce graphe : $KH_{i_1} \to KH_{i_2} \to \cdots \to KH_{i_k}$.

Étape 1.2 : Appliquer la contrainte de prévention des cycles

La prévention des cycles impose qu'aucun sommet n'apparaisse deux fois dans un chemin de cascade. Cela équivaut à exiger que le chemin soit simple (sans sommets répétés).

Étape 1.3 : Limiter la longueur du chemin

Dans un graphe avec $n = |\mathcal{H}|$ sommets, le chemin simple le plus long a au maximum n sommets (visitant chaque sommet une fois). Par conséquent :

$$k \leq n = |\mathcal{H}|$$

La cascade doit se terminer après au maximum $|\mathcal{H}|$ étapes car il n'y a plus de crochets qui n'ont pas déjà été déclenchés. ✓

Partie 2 : Terminaison sous contrainte de profondeur

Étape 2.1 : Définir le compteur de profondeur de la cascade

Soit $d(t)$ la profondeur actuelle de la cascade - le nombre de crochets qui ont été déclenchés dans la chaîne de cascade actuelle. Initialement $d(0) = 0$. Lorsqu'un crochet se déclenche, $d \leftarrow d + 1$.

Étape 2.2 : Appliquer la contrainte de profondeur

Le système impose :

$$\text{if } d(t) \geq D_{\max} \text{ then BLOCK all further activations in this cascade}$$

Étape 2.3 : Montrer la terminaison

Puisque $d(t)$ augmente de 1 à chaque activation de crochet et que le système s'arrête lorsque $d(t) = D_{\max}$, la cascade se termine en exactement $D_{\max}$ étapes. Cela est vrai indépendamment de la présence de cycles dans le graphe sous-jacent - la limite de profondeur impose la terminaison de manière indépendante. ✓

Partie 3 : Limite temporelle sur la durée de la cascade

Étape 3.1 : Chronologie d'exécution du modèle

Chaque crochet dans une cascade s'exécute séquentiellement (ou en parallèle avec un parallélisme limité). Soit $T_{\text{hook}}^{(i)}$ le temps d'exécution pour le crochet KH_i. Supposons :

$$T_{\text{hook}}^{(i)} \leq T_{\text{hook}} \quad \forall i$$

où T_{hook} est une limite supérieure à l'échelle du système (par exemple, 1 seconde).

Étape 3.2 : Prendre en compte les délais de refroidissement

Entre les activations de crochet consécutives, il peut y avoir des délais de

refroidissement si un crochet qui a récemment été déclenché est à nouveau activé. Dans le pire des cas, chaque transition entraîne un délai de refroidissement :

$$T_{\text{cooldown_total}} \leq (D_{\max} - 1) \cdot \Delta t_{\text{cooldown}}$$

Étape 3.3 : Calculer le temps total de la cascade

Le temps total pour une cascade de profondeur $D_{\max}$ est limité par :

$$T_{\text{cascade}} = \sum_{i=1}^{D_{\max}} T_{\text{hook}}^{(i)} + T_{\text{cooldown_total}}$$
$$\leq D_{\max} \cdot T_{\text{hook}} + (D_{\max} - 1) \cdot \Delta t_{\text{cooldown}}$$

Pour des valeurs typiques ($D_{\max} = 10$, $T_{\text{hook}} = 1\text{s}$, $\Delta t_{\text{cooldown}} = 0.5\text{s}$) :

$$T_{\text{cascade}} \leq 10 \cdot 1 + 9 \cdot 0.5 = 14.5 \text{ seconds}$$

C'est une limite supérieure stricte : les cascades se terminent rapidement et de manière prévisible. ✓

Partie 4 : Stabilité forte (espace d'état fini)

Étape 4.1 : Modéliser le contexte comme une machine à états finis

Si le contexte du système C ne peut prendre que finitement de nombreuses valeurs distinctes $\{c_1, c_2, ..., c_m\}$, alors le système est une machine à états finis. Chaque exécution de crochet passe d'un état de contexte à un autre :

$$c_i \xrightarrow{KH_j} c_k$$

Étape 4.2 : Appliquer le principe des tiroirs

Si une cascade se poursuit pendant plus de $m = |\mathcal{C}|$ étapes sans se terminer, alors, selon le principe des tiroirs, un état de contexte doit se répéter :

$$\exists i, j : i < j \text{ and } c_i = c_j$$

Étape 4.3 : Montrer l'orbite périodique

Une fois qu'un état de contexte se répète, le système entre dans une orbite périodique avec une période $p = j - i \leq m$. La cascade n'explore plus de nouveaux états mais parcourt une séquence fixe :

$$c_i \to c_{i+1} \to \cdots \to c_j = c_i \to c_{i+1} \to \cdots$$

Étape 4.4 : Montrer que le refroidissement temporel rompt l'orbite

Cependant, avec le temps de recharge temporaire, les hooks qui se sont déclenchés lors du premier cycle ne peuvent pas se déclencher à nouveau immédiatement lors du deuxième cycle. Cela rompt l'orbite périodique car le système ne peut pas reproduire exactement la même séquence d'activations de hooks. Finalement, tous les hooks de l'orbite entrent en temps de recharge simultanément, et la cascade se termine. ✓

Conclusion : Même sans prévention des cycles ou limites de profondeur, le temps de recharge temporaire seul garantit la terminaison dans les systèmes à états finis. La combinaison des trois mécanismes offre une défense en profondeur. □

Connexions à d'autres résultats

Avec le Théorème 4 (Composition et Fermeture) : La stabilité des cascades complète le théorème de composition. Alors que le Théorème 4 montre que les hooks composés sont structurellement valides, le Corollaire 10 garantit que les interactions dynamiques des hooks (cascades) sont comportementalement sûres. Ensemble, ils garantissent à la fois la correction statique et dynamique.

Avec le Théorème 1 (Convergence sans entrée) : À mesure que le système apprend et que les hooks deviennent plus fiables, les cascades deviennent plus prévisibles. Moins de corrections signifient moins de changements de contexte inattendus, réduisant la probabilité

de cascades imprévues. La stabilité s'améliore avec le temps.

Avec le Corollaire 3 (Additivité de l'énergie de composition) : Les cascades consomment de l'énergie pour chaque hook de la chaîne. La limite de profondeur $D_{\max}$ limite la consommation d'énergie des cascades à :

$$E_{\text{cascade}} \leq D_{\max} \cdot E_{\max_\text{hook}}$$

Cela empêche les budgets énergétiques d'être épuisés par des cascades incontrôlées.

Avec le Corollaire 6 (Monotonie du score de succès) : Les hooks impliqués dans des cascades instables auront des scores de succès plus bas (en raison de corrections fréquentes ou d'interventions des utilisateurs). Le système dépriorise naturellement ces hooks, se corrigeant vers des configurations stables.

Implications Pratiques

1. Déploiement sûr : Les concepteurs de systèmes peuvent déployer des hooks interconnectés en toute confiance, sachant que les cascades ne provoqueront pas de boucles infinies ou de blocages du système. Les garanties mathématiques permettent une automatisation agressive sans risquer la stabilité du système.

2. Surveillance des cascades : Les systèmes doivent suivre les métriques des cascades :

- Profondeur moyenne des cascades : $\bar{d} = \mathbb{E}[|\text{CascadeChain}|]$

- Fréquence des cascades : À quelle fréquence les cascades se produisent par rapport aux activations à crochet unique

- Événements proches de la limite : Cascades atteignant $d \approx D_{\max}$ (problèmes potentiels)

Ces métriques aident à identifier les interactions problématiques des crochets avant qu'elles ne causent des échecs.

3. Réglage de $D_{\max}$: La profondeur maximale doit équilibrer expressivité et sécurité :

- Trop bas (par exemple, $D_{\max} = 3$) : Limite l'automatisation multi-étapes utile

- Trop élevé (par exemple, $D_{\max} = 50$) : Permet des cascades complexes et difficiles à déboguer

- Recommandé : $D_{\max} \in [10, 20]$ pour les systèmes à usage général

4. Contrôle de l'utilisateur : Les utilisateurs devraient pouvoir :

- Voir les cascades en cours en temps réel (retour visuel)

• Interrompre manuellement les cascades si le comportement semble incorrect

• Examinez les journaux de cascade pour comprendre ce qui s'est passé et pourquoi

5. Visualisation des cascades : Affichez les cascades sous forme de graphes orientés ou de chronologies :

$$\text{Email arrives} \xrightarrow{\text{Triage}} \text{Archive} \xrightarrow{\text{Update counter}} \text{Badge refresh} \xrightarrow{\text{Notification}} \text{Smart watch}$$

Cela aide les utilisateurs à comprendre l'automatisation en plusieurs étapes et renforce la confiance.

6. Composition de cascade vs Composition directe : Les concepteurs ont deux façons de créer une automatisation en plusieurs étapes :

• Composition directe (Théorème 4) : Composer explicitement des hooks en un seul hook composé. Cela donne un contrôle précis mais nécessite une conception préalable.

• Cascading (Corollaire 10) : Laissez les hooks se déclencher dynamiquement les uns les autres. C'est plus flexible mais peut être plus difficile à prévoir.

Pour des flux de travail déterministes et bien compris, utilisez la composition. Pour des flux de travail émergents et dépendants du contexte, utilisez le cascading.

7. Tests et simulation : Avant de déployer des hooks, simulez les cascades potentielles :

- Identifiez toutes les chaînes de cascade possibles de manière statique en analysant les conditions et les effets des hooks

- Exécutez des simulations de Monte Carlo avec des contextes variés pour trouver des cas limites

- Signalez les déclencheurs qui apparaissent systématiquement dans des cascades longues ou problématiques

Exemple 1 : Routine Matinale de Maison Intelligente (Cascade Stable)

Considérez une maison intelligente avec ces déclencheurs :

- KH_1 : Alarme désactivée → Allumer les lumières de la chambre

- KH_2 : Lumières de la chambre allumées → Démarrer la cafetière

- KH_3 : Café en cours de préparation → Ouvrir les stores de la cuisine

- KH_4 : Stores ouverts → Ajuster le thermostat à la température diurne

Séquence de cascade : L'utilisateur désactive l'alarme → KH_1 se déclenche (lumières allumées) → KH_2 se déclenche (café commence) → KH_3 se déclenche

(stores ouverts) → KH_4 se déclenche (thermostat ajusté) → CASCADE TERMINÉE

Analyse :

- Profondeur : $d = 4$ (bien en dessous de $D_{\max} = 10$)
- Pas de cycles : Chaque déclencheur apparaît une fois
- Durée : $\approx 4 \times 1\text{s} + 3 \times 0.5\text{s} = 5.5\text{s}$

C'est une cascade sûre et prévisible qui accomplit la routine matinale de l'utilisateur sans aucune intervention après le rejet de l'alarme initiale. La séquence est déterministe et se termine rapidement.

Exemple 2 : Oscillation de contrôle de température (prévenue)

Considérez un système de thermostat mal conçu :

- KH_A : Température > 22°C → Allumer la climatisation (réduit la température à 21°C)
- KH_B : Température < 21°C → Allumer le chauffage (augmente la température à 22°C)

Sans mécanismes de stabilité : Cela oscillerait indéfiniment :

Avec un refroidissement temporel ($\Delta t_{\text{cooldown}} = 2$s) : Après que KH_A se déclenche, il ne peut pas se déclencher à nouveau pendant 2 secondes. Cela donne le temps à la température de se stabiliser dans la bande morte. La cascade se termine :

Avec prévention de cycle : KH_A se déclenche, puis KH_B se déclenche. Lorsque la température atteint à nouveau 22°C, KH_A est bloqué car il est déjà dans la chaîne de cascade. La cascade se termine après 2 étapes, laissant la température légèrement élevée jusqu'à la prochaine cascade indépendante.

Meilleure solution : Redessiner les crochets avec des bandes mortes d'hystérésis appropriées :

- KH'_A : Température > 23°C → Activer la climatisation
- KH'_B : Température < 20°C → Activer le chauffage

Cela élimine l'oscillation au niveau de la conception, mais les mécanismes de stabilité fournissent une défense en profondeur.

Exemple 3 : Organisation automatique des e-mails (Cascade profonde mais stable)

Un système de messagerie avancé avec de nombreux crochets :

1. Un e-mail arrive → Classifier l'expéditeur

2. Expéditeur classé → Appliquer les règles de priorité

3. Priorité définie → Acheminer vers le dossier approprié

4. E-mail classé → Mettre à jour le nombre de messages non lus dans le dossier

5. Compte mis à jour → Actualiser le badge de l'interface utilisateur

6. Badge changé → Synchroniser avec l'appareil mobile

7. Mobile synchronisé → Déclencher la logique de notification

8. Notification décidée → Envoyer une notification push (ou supprimer)

9. Notification envoyée → Enregistrer l'événement d'analyse

10. Analyse enregistrée → Vérifier l'attribution du test A/B

Analyse :

- Profondeur : $d = 10$ (exactement à $D_{\max}$)

• La cascade atteint la limite de profondeur et s'arrête

• Durée : $\approx 10 \times 0.5\text{s} + 9 \times 0.5\text{s} = 9.5\text{s}$

C'est une cascade complexe mais stable. La limite de profondeur empêche qu'elle continue indéfiniment, même si des hooks supplémentaires pourraient théoriquement être déclenchés. C'est acceptable—le travail essentiel (classer, archiver, notifier) est fait dans les premières étapes. Les étapes ultérieures sont des optimisations qui peuvent être différées si nécessaire.

La surveillance du système signalerait cela comme une 'cascade proche de la limite' pour examen. Les ingénieurs pourraient envisager :

• Combiner certains hooks séquentiels en utilisant la composition (Théorème 4)

• Rendre certaines étapes asynchrones (pas partie de la cascade)

• Augmenter $D_{\max}$ si les cascades profondes sont courantes et bien comportées

Limitations et cas particuliers

1. Cascades parallèles : Le corollaire suppose une exécution séquentielle des hooks. Si plusieurs hooks peuvent se déclencher simultanément, les chaînes de cascades peuvent se ramifier, compliquant l'analyse de terminaison. Les systèmes doivent soit :

- Sérialiser tous les hooks (simple mais plus lent)

- Suivre la profondeur de la cascade à travers les branches parallèles (profondeur = profondeur maximale de la branche)

- Utiliser des modèles de parallélisme plus sophistiqués avec des limites prouvables

2. Événements externes pendant les cascades : Si des événements externes (actions des utilisateurs, messages réseau) arrivent pendant une cascade, ils pourraient déclencher de nouvelles cascades qui interagissent avec celle en cours. Le corollaire s'applique indépendamment à chaque chaîne de cascade, mais les interactions entre les chaînes nécessitent une analyse supplémentaire.

3. Hooks stochastiques : Si l'exécution des hooks est probabiliste (par exemple, un hook pourrait se déclencher avec une probabilité de 80 %), les cascades deviennent des processus stochastiques. La garantie de terminaison tient toujours (finalement, un hook dans la chaîne ne se déclenche pas), mais la longueur et la variance attendues de la cascade nécessitent une analyse stochastique.

4. Systèmes distribués : Dans les systèmes de hooks distribués sur plusieurs appareils, coordonner le suivi des cascades et les temps de recharge nécessite des protocoles de consensus distribués. Les délais et partitions réseau peuvent compliquer les garanties de

terminaison. Des mécanismes supplémentaires (protocoles de transaction distribués, modèles de cohérence éventuelle) peuvent être nécessaires.

5. Hooks malveillants : Un développeur de hook adversaire pourrait essayer de créer des cascades qui consomment un maximum de ressources (profondeur = $D_{\max}$, durée = temps maximal). Bien que cela ne rompe pas la terminaison, cela peut dégrader les performances du système. La limitation de débit et les systèmes de réputation offrent une défense.

Conclusion

La stabilité des cascades est essentielle pour le déploiement sécurisé des systèmes Knowledge Hook interconnectés. En fournissant des garanties de terminaison rigoureuses grâce à la prévention des cycles, aux limites de profondeur et aux périodes de refroidissement temporales, ce corollaire permet une automatisation multi-étapes puissante tout en empêchant l'instabilité.

Les principales idées :

• Défense en profondeur : Trois mécanismes indépendants (cycles, profondeur, refroidissement) chacun suffisant pour la terminaison

• Limites prévisibles : Les cascades se terminent en $\leq D_{\max}$ étapes et ≤ 15

secondes (typique)

- Surveillance et contrôle : Les métriques des cascades permettent de détecter des modèles problématiques

- Automatisation flexible : Les cascades permettent des comportements multi-étapes émergents sans composition explicite

La stabilité des cascades complète les bases mathématiques des systèmes Knowledge Hook en garantissant que non seulement des hooks individuels mais aussi des écosystèmes entiers de hooks interconnectés se comportent de manière prévisible et sécurisée. Cela permet de réaliser la vision d'une automatisation complète où des hooks simples se composent dynamiquement pour gérer des scénarios complexes, avec des garanties mathématiques que le système reste stable, se termine correctement et n'entre jamais dans des états pathologiques.

4.2 Synthèse : Le système algébrique complet

4.2.1 Le graphe de dépendance des théorèmes

4.2.2 Axiomes, lois et théorèmes : La fondation

4.2.3 Cohérence et Solidité

4.2.4 Complétude : Ce que les théorèmes capturent

4.2.5 La structure algébrique : Monoïdes, Lattices et Catégories

4.2.6 Des mathématiques à la thermodynamique

4.2.7 L'unité du cadre

4.3 Propriétés formelles et invariants

4.3.1 Invariants du système

4.3.2 Identités algébriques

4.3.3 Limites de complexité pour les opérations clés

4.3.4 Conditions d'optimalité

4.3.5 Symétries et lois de conservation

4.3.6 Relations de dualité

4.3.7 Structure catégorique

4.3.8 Propriétés topologiques de l'espace de crochet

5

Synthèse : Le système algébrique complet

Les sept théorèmes établis dans la section 1.5, ainsi que leurs corollaires, forment plus qu'une collection de résultats indépendants : ils constituent un système algébrique complet avec une structure interne profonde. Cette section de synthèse révèle comment ces théorèmes s'emboîtent pour créer un cadre mathématique cohérent pour les systèmes Knowledge Hook, qui est à la fois minimal (pas d'axiomes redondants), complet (toutes les propriétés essentielles capturées) et cohérent (pas de contradictions internes).

Qu'est-ce qui rend un système algébrique complet ?

Un système algébrique complet possède quatre propriétés clés :

1. Fermeture : Toutes les opérations sur les éléments du système produisent des éléments au sein du système. Les théorèmes montrent que la composition de crochets, la correction et l'apprentissage produisent tous des crochets valides - le système est fermé sous ses propres opérations.

2. Cohérence : Aucun théorème ne contredit un autre ; tous les résultats sont mutuellement compatibles. Les théorèmes s'harmonisent pour décrire une seule réalité cohérente.

3. Complétude : Toutes les propriétés fondamentales du domaine sont capturées. Rien d'essentiel n'est manquant ; les théorèmes caractérisent collectivement ce que sont les systèmes Knowledge Hook et comment ils se comportent.

4. Minimalité : Aucun théorème n'est redondant ; chacun capture une structure essentielle qui ne peut pas être dérivée des autres. L'ensemble des sept est nécessaire et suffisant.

Cette section prouve que l'algèbre Knowledge Hook possède les quatre propriétés, l'établissant comme une théorie mathématique mature au même niveau que la théorie des groupes, la topologie ou la thermodynamique, chacune reposant sur de petits ensembles d'axiomes qui génèrent une riche structure.

Le Rôle de la Synthèse

Alors que les théorèmes individuels prouvent des propriétés spécifiques, la synthèse révèle l'architecture de l'ensemble de la théorie. Elle répond à des questions telles que :

• Comment les théorèmes dépendent-ils les uns des autres ? Lesquels sont fondamentaux et lesquels sont dérivés ?

- Y a-t-il des redondances ? Pourrions-nous prouver les mêmes résultats avec moins de théorèmes ?

- Y a-t-il des lacunes ? Les théorèmes laissent-ils des propriétés importantes non abordées ?

- Comment la structure mathématique se rapporte-t-elle à la réalité physique (thermodynamique) et à la valeur économique (monnaie) ?

En construisant un graphique de dépendance des théorèmes, en identifiant les axiomes par rapport aux résultats dérivés, et en prouvant les propriétés de clôture, nous démontrons que l'algèbre Knowledge Hook n'est pas une collection ad hoc mais un cadre mathématique complet et fondé.

Structure de Ce Chapitre

Nous procédons en six parties :

1. Graphe de dépendance des théorèmes : Visualisez et analysez quels théorèmes reposent sur d'autres, en identifiant les axiomes fondamentaux et les résultats dérivés.

2. Propriétés de fermeture : Prouvez que toutes les opérations préservent la structure du système : les crochets restent

des crochets, la connaissance reste connaissance.

3. Preuve de cohérence : Montrez qu'aucun théorème ne contredit un autre ; tous les résultats s'harmonisent.

4. Analyse de complétude : Montrez que les sept théorèmes capturent toutes les propriétés essentielles ; aucun aspect fondamental n'est manquant.

5. Argument de minimalité : Prouvez que les sept théorèmes sont nécessaires ; aucun ne peut être supprimé sans perte de structure essentielle.

6. Correspondance avec les réalités physiques et économiques : Montrez comment l'algèbre abstraite correspond aux principes thermodynamiques et aux mécanismes économiques, ancrant les mathématiques dans des phénomènes observables.

À travers cette synthèse, nous élevons le cadre Knowledge Hook d'un ensemble de résultats isolés à une théorie unifiée — une théorie qui décrit non seulement comment se comportent les crochets individuels, mais aussi comment fonctionnent des écosystèmes entiers de connaissance, d'automatisation et de création de valeur sous des lois mathématiques bien définies.

5.1 Propriétés formelles et invariants

Au-delà des sept théorèmes fondamentaux et de leurs corollaires, l'algèbre Knowledge Hook possède une riche structure de propriétés formelles — des invariants qui restent constants à travers les transformations, des identités algébriques qui tiennent toujours, et des bornes de complexité qui contraignent le comportement du système. Ces propriétés, bien qu'elles ne soient pas élevées au statut de théorème, sont essentielles pour comprendre la profonde structure mathématique du système et pour une mise en œuvre pratique.

Le rôle des propriétés formelles

Les propriétés formelles servent trois objectifs importants :

1. Orientation sur l'implémentation : Les invariants indiquent aux implémenteurs ce qui doit être préservé lors des opérations du système, fournissant des conditions de correction qui peuvent être testées.

2. Perspective théorique : Les identités algébriques révèlent des symétries cachées et des relations entre différents aspects du système, approfondissant la compréhension mathématique.

3. Analyse de performance : Les bornes de complexité établissent des attentes réalistes pour le comportement du système, empêchant des optimisations impossibles et guidant l'allocation des ressources.

Cette section catalogue les propriétés formelles les plus importantes, organisées par catégorie : invariants du système, identités algébriques, bornes de complexité et résultats mathématiques divers.

5.1.1 Invariants du système

Un invariant est une propriété qui reste inchangée lors des opérations du système. Les invariants fournissent de puissantes garanties de correction : si un invariant est vrai au départ et est préservé par toutes les opérations, il est toujours vrai.

Définition : Une propriété $P(\mathcal{H}, t)$ est un invariant si :

$$P(\mathcal{H}, 0) \land [\forall t, \text{op} : P(\mathcal{H}, t) \implies P(\text{op}(\mathcal{H}), t+1)] \implies \forall t : P(\mathcal{H}, t)$$

C'est-à-dire, si P est vrai au départ et que chaque opération préserve P, alors P est vrai à tout moment.

Invariant 1 : Préservation de la structure de crochet

Chaque objet dans $\mathcal{H}$ à tout moment satisfait aux propriétés définissantes d'un Knowledge Hook :

$$\forall KH \in \mathcal{H}, \forall t : \begin{cases} R(KH) \in \text{Boolean}^{\mathcal{C}} & \text{(Conditions are Boolean functions)} \\ A(KH) \subseteq \mathcal{A} \wedge |A(KH)| < \infty & \text{(Actions are finite subsets)} \\ S(KH) \in [0,1] & \text{(Success scores are probabilities)} \end{cases}$$

Mécanisme de préservation : Le théorème 3 (Fermeture) et le théorème 5 (Apprentissage) garantissent cet invariant en s'assurant que toutes les opérations produisent des hooks valides.

Implication pratique : Les implémenteurs peuvent utiliser des systèmes de types ou des assertions d'exécution pour faire respecter cet invariant, détectant les bogues où des hooks invalides pourraient être créés.

Invariant 2 : Stabilité de la partition

La structure de classe d'équivalence partitionne $\mathcal{H}$ à tout moment :

$$\forall t : \mathcal{H}(t) = \bigsqcup_i [KH_i]_t \wedge ([KH_i]_t \cap [KH_j]_t = \emptyset \text{ for } i \neq j)$$

Mécanisme de préservation : Même lorsque des hooks sont appris, composés ou créés, la structure de partition est maintenue. De nouveaux hooks rejoignent des classes d'équivalence existantes ou en créent de nouvelles, mais les classes ne se chevauchent jamais.

Implication pratique : Le système peut maintenir une structure de données de partition (par exemple, union-find) qui n'est jamais invalidée par des opérations.

Invariant 3 : Bornage du score de succès

$$\forall KH \in \mathcal{H}, \forall t : 0 \leq S(KH, t) \leq 1$$

Les scores de succès sont des probabilités et doivent rester dans $[0, 1]$. De plus, par le corollaire 6 (Monotonie du score de succès) :

$$\forall t_2 > t_1 : S(KH, t_1) \leq S(KH, t_2) \leq 1$$

Mécanisme de préservation : Les mises à jour d'apprentissage utilisent des fonctions qui mappent $[0, 1] \to [0, 1]$, telles que :

$$S_{t+1} = \min\left(S_t + \alpha \cdot \Delta S, 1\right)$$

où $\Delta S \geq 0$ par monotonie.

Invariant 4 : Conservation de l'énergie totale

L'énergie totale dans le système (effort de l'utilisateur + travail automatisé) reste constante :

$$E_{\text{user}}(t) + E_{\text{automated}}(t) = E_{\text{total}} = \text{constant}$$

À mesure que l'automatisation augmente, l'énergie de l'utilisateur diminue d'un montant égal :

$$\Delta E_{\text{user}} = -\Delta E_{\text{automated}}$$

Mécanisme de préservation : Le théorème 6 (loi de conservation de l'énergie) établit cela. L'énergie n'est ni créée ni détruite, elle est seulement transférée de l'utilisateur au système.

Implication pratique : La comptabilité énergétique doit toujours être équilibrée. Si l'énergie mesurée de l'utilisateur diminue, l'énergie automatisée doit augmenter du même montant.

Invariant 5 : Déterminisme des résultats

Pour tout hook KH et contexte C, le résultat est déterministe :

$$\forall KH, C : \text{outcome}(KH, C) = \text{outcome}(KH, C)$$

Cette déclaration apparemment tautologique a du contenu : les résultats sont reproductibles. Exécuter le même hook dans le même contexte produit toujours le même résultat (jusqu'aux variations stochastiques capturées par le score de succès).

Mécanisme de préservation : Les hooks sont des fonctions pures de leur contexte. Les effets secondaires sont soigneusement contrôlés pour garantir le déterminisme.

Invariant 6 : Associativité de la composition

$$\forall KH_1, KH_2, KH_3 : (KH_1 \circ KH_2) \circ KH_3 \equiv KH_1 \circ (KH_2 \circ KH_3)$$

La composition des hooks est associative : le regroupement des compositions n'a pas d'importance, seul l'ordre compte.

Preuve : La composition est définie comme une exécution séquentielle. L'exécution séquentielle est associative : exécuter (A, B) puis C est identique à exécuter A puis (B, C). Les deux produisent la séquence d'état $S_0 \to S_1 \to S_2 \to S_3$.

Implication pratique : Les compositions imbriquées peuvent être évaluées dans n'importe quel ordre sans changer la sémantique, permettant l'optimisation.

Invariant 7 : Finitude de l'ensemble d'actions

$$\forall KH \in \mathcal{H} : \left|A(KH)\right| < \infty$$

Chaque hook a un nombre fini d'actions. Cela est préservé sous toutes les opérations :

- Composition : $|A_1 \cup A_2| \leq |A_1| + |A_2| < \infty$
- Apprentissage : Le raffinement peut diviser les actions mais ne crée pas d'ensembles infinis.
- Création : De nouveaux hooks sont définis avec des ensembles d'actions finis.

Implication pratique : Garantit que l'exécution des hooks se termine (actions finies à effectuer).

5.1.2 Identités algébriques

Les identités algébriques sont des équations qui tiennent pour toutes les valeurs de leurs variables. Ces identités révèlent des propriétés structurelles et permettent la manipulation algébrique des expressions de hook.

Identité 1 : Score de succès de composition

$$S(KH_1 \circ KH_2) = S(KH_1) \cdot S(KH_2)$$

Le score de succès d'un crochet composé est le produit des scores de succès des

constituants. Cela découle de l'indépendance : si KH_1 réussit avec une probabilité de S_1 et KH_2 réussit avec une probabilité de S_2, alors les deux réussissent avec une probabilité de $S_1 \cdot S_2$.

Généralisation : Pour les crochets composés n :

$$S(KH_1 \circ KH_2 \circ \cdots \circ KH_n) = \prod_{i=1}^{n} S(KH_i)$$

Conséquence : Les longues chaînes de composition ont des scores de succès qui diminuent de manière multiplicative. Une chaîne de 10 crochets chacun avec $S = 0.95$ a un succès global de $0.95^{10} \approx 0.60$.

Identité 2 : Union de l'ensemble des actions

$$A(KH_1 \circ KH_2) = A(KH_1) \cup A(KH_2)$$

L'ensemble des actions d'une composition est l'union des ensembles d'actions constituants. Plus généralement :

$$|A(KH_1 \circ KH_2)| \leq |A(KH_1)| + |A(KH_2)|$$

avec égalité lorsque les ensembles d'actions sont disjoints.

Identité 3 : Chaîne de transitivité d'équivalence

$$KH_1 \equiv KH_2 \equiv \cdots \equiv KH_n \implies KH_1 \equiv KH_n$$

Les chaînes d'équivalence s'effondrent : si les crochets sont équivalents par paires dans la séquence, le premier et le dernier sont équivalents. Cela découle de la transitivité de la relation d'équivalence.

Identité 4 : Proportionalité énergie-action

$$\frac{\Delta E_1}{\Delta |A_1|} = \frac{\Delta E_2}{\Delta |A_2|} = k$$

Le rapport énergie-par-action est constant pour tous les crochets (Théorème 6). Cela permet la prédiction d'énergie :

$$\Delta E = k \cdot \Delta |A|$$

Identité 5 : Unicité du Crochet Optimal (dans le cadre des départages)

Au sein de chaque classe d'équivalence, le crochet optimal est unique jusqu'aux égalités de score de succès :

$$\text{if } KH_1^*, KH_2^* \text{ are both optimal in } [KH] \implies |A(KH_1^*)| = |A(KH_2^*)| \wedge S(KH_1^*) = S(KH_2^*)$$

C'est-à-dire que si deux crochets sont tous deux optimaux, ils doivent avoir le même nombre d'actions et le même score de succès. Ils ne diffèrent que par des détails d'implémentation qui n'affectent pas les résultats.

Identité 6 : Idempotence d'Apprentissage (pour des corrections parfaites)

Si une correction capture parfaitement le changement nécessaire, l'appliquer plusieurs fois n'a aucun effet supplémentaire :

$$\mathcal{L}(\mathcal{L}(KH, \delta), \delta) = \mathcal{L}(KH, \delta)$$

L'apprentissage se sature : une fois qu'un crochet a incorporé une correction, réappliquer la même correction ne le change pas.

Identité 7 : Limite du Score de Succès

$$\lim_{n \to \infty} S_n = 1 \iff \text{hook becomes perfect}$$

Les scores de succès approchent 1 asymptotiquement. Un score de 1 signifie que

le crochet ne faillit jamais - il est parfait.

Conséquence : En pratique, les scores de succès se stabilisent en dessous de 1 (par exemple, $S_{\max} \approx 0.99$) en raison de l'incertitude irréductible.

Identité 8 : Limite de cardinalité de partition

$$1 \leq \left|\{[KH_i]\}\right| \leq |\mathcal{H}|$$

Le nombre de classes d'équivalence est d'au moins 1 (tout équivalent) et au maximum $|\mathcal{H}|$ (rien d'équivalent). En général :

$$\left|\{[KH_i]\}\right| = \Theta(\sqrt{|\mathcal{H}|})$$

comme une observation empirique dans des systèmes réels.

Identité 9 : Non-commutativité de la composition

$$KH_1 \circ KH_2 \not\equiv KH_2 \circ KH_1 \text{ (in general)}$$

La composition de hooks n'est PAS commutative. L'ordre compte :

- "Déverrouiller le téléphone" puis "Ouvrir l'application" $\neq$ "Ouvrir l'application" puis "Déverrouiller le téléphone"

Cependant, certains hooks spéciaux commutent lorsque leurs actions n'interfèrent pas.

Identité 10 : Existence du hook zéro

$$\exists KH_0 : A(KH_0) = \emptyset \wedge \forall KH : KH \circ KH_0 \equiv KH$$

Il existe un hook d'identité (le hook "ne rien faire") qui se compose avec n'importe quel hook pour donner ce hook inchangé. Cela est similaire à 0 en addition ou 1 en multiplication.

Propriétés de KH_0 :

$$A(KH_0) = \emptyset, \quad S(KH_0) = 1, \quad \text{outcome}(KH_0, C) = C$$

5.1.3 Limites de complexité

Les limites de complexité caractérisent les ressources computationnelles et opérationnelles requises par les systèmes Knowledge Hook. Ces limites sont essentielles pour la faisabilité de l'implémentation et l'analyse des performances.

Limite 1 : Complexité de l'évaluation des hooks

Évaluer si les conditions d'un hook sont satisfaites :

$$\text{Time}(\text{eval}(R, C)) = O(|\text{features}(C)|)$$

La vérification des conditions est linéaire par rapport au nombre de caractéristiques de contexte. Pour les systèmes typiques :

$$|\text{features}(C)| = O(10^2) \implies \text{eval time} \approx 1\text{ms}$$

Limite 2 : Complexité de la sélection des hooks

Trouver le hook optimal à déclencher dans le contexte C :

$$\text{Time}(\text{select}(\mathcal{H}, C)) = O(|\mathcal{H}| \cdot |\text{features}(C)|)$$

Doit évaluer tous les hooks et sélectionner le meilleur. Avec l'indexation :

$$\text{Time}(\text{select with index}) = O(\log |\mathcal{H}| + k \cdot |\text{features}(C)|)$$

où k est le nombre de hooks correspondants (typiquement $k \ll |\mathcal{H}|$).

Limite 3 : Complexité de la mise à jour de l'apprentissage

Incorporer une correction dans un hook :

$$\text{Time}(\mathcal{L}(KH, \delta)) = O(|R| + |A|)$$

Linéaire en fonction de la taille des conditions et des actions. Pour les implémentations basées sur l'apprentissage profond :

$$\text{Time}(\mathcal{L}_{\text{neural}}) = O(|\text{params}| \cdot \text{iterations})$$

qui peuvent être beaucoup plus grandes.

Bornes 4 : Temps de convergence

Temps pour atteindre ϵ-optimalité ($I(t) < \epsilon$):

$$T(\epsilon) = O\left(\frac{1}{\epsilon} \cdot \frac{1}{L_{\min}}\right)$$

où $L_{\min}$ est le taux d'apprentissage minimum du corollaire 5. Convergence plus stricte :

$$T(\epsilon) = \Omega\left(\log \frac{1}{\epsilon}\right)$$

pour une convergence exponentielle (meilleur cas).

Bornes 5 : Exigences en mémoire

Espace pour stocker le système de crochet :

$$\text{Space}(\mathcal{H}) = O(|\mathcal{H}| \cdot (|R_{\max}| + |A_{\max}|))$$

Linéaire en fonction du nombre de crochets multiplié par la taille moyenne des crochets. Pour des systèmes typiques :

$$|\mathcal{H}| \approx 10^3, \quad |R_{\max}| \approx 10^2, \quad |A_{\max}| \approx 10 \implies \text{Space} \approx 1\text{MB}$$

Bornes 6 : Profondeur de composition

Profondeur de composition pratique maximale :

$$d_{\max} = O\left(\frac{\log(1/S_{\min})}{\log(1/S_{\text{avg}})}\right)$$

où $S_{\min}$ est le score de succès minimum acceptable. Depuis $S(KH_1 \circ \cdots \circ KH_n) = \prod S_i$, les scores de succès décroissent de manière exponentielle avec la profondeur.

Exemple : Si $S_{\text{avg}} = 0.95$ et $S_{\min} = 0.5$:

$$d_{\max} = \frac{\log(0.5)}{\log(0.95)} \approx 13 \text{ hooks}$$

Limite 7 : Taille de la classe d'équivalence

Nombre maximum de hooks dans une classe d'équivalence :

$$\left|[KH]_{\max}\right| = O(2^{|\text{features}|})$$

Dans le pire des cas, chaque combinaison de fonctionnalités définit un hook distinct atteignant le même résultat. Pratiquement :

$$\left|[KH]_{\text{typical}}\right| = O(\log |\mathcal{H}|)$$

Limite 8 : Limite inférieure de la fréquence de correction

Corrections minimales nécessaires pour atteindre le score de succès S_{target} :

$$C_{\min} = \Omega\left(\frac{1}{\alpha}\log\frac{1}{1-S_{\text{target}}}\right)$$

où α est le taux d'apprentissage. Cela découle des limites d'amélioration monotoniques.

Limite 9 : Recalcul de partition

Temps de recomposer le partitionnement des classes d'équivalence après l'ajout d'un nouveau hook :

$$\text{Time}(\text{partition update}) = O(|\mathcal{H}| \cdot |\mathcal{C}| \cdot |A_{\max}|)$$

Doit vérifier le nouveau hook par rapport à tous les hooks existants dans tous les contextes. Avec des algorithmes incrémentaux :

$$\text{Time}(\text{incremental}) = O(|[KH]_{\text{candidate}}| \cdot |\mathcal{C}|)$$

Vérifiez uniquement les hooks susceptibles d'être équivalents.

Limite 10 : Précision de la mesure de l'énergie

Précision de la mesure des économies d'énergie :

$$\sigma_{\Delta E} = O\left(\sqrt{\frac{1}{n}\sum_{i=1}^{n}(E_i - \bar{E})^2}\right)$$

L'erreur standard diminue comme $1/\sqrt{n}$ où n est le nombre de mesures. Pour atteindre la précision ϵ :

$$n = O\left(\frac{\sigma^2}{\epsilon^2}\right)$$

5.1.4 Propriétés mathématiques supplémentaires

Au-delà des invariants, des identités et des limites de complexité, plusieurs autres propriétés mathématiques caractérisent les systèmes Knowledge Hook.

Propriété 1 : Existence de fonction de Lyapunov

Il existe une fonction de Lyapunov $V : \mathcal{H} \times \mathbb{R}^+ \to \mathbb{R}^+$ qui diminue de manière monotone, prouvant la convergence :

$$V(\mathcal{H}, t) = I(t) + \alpha \cdot \sum_i (1 - S_i(t))$$

Cette fonction combine les exigences d'entrée et la fiabilité des crochets. Au fur et à mesure que le système apprend :

$$\frac{dV}{dt} \leq 0$$

Interprétation : V mesure "distance par rapport à l'automatisation parfaite." La diminution monotone garantit la convergence.

Propriété 2 : Limites informationnelles

L'information minimale nécessaire pour spécifier un crochet :

$$I(KH) \geq H(R) + H(A) + H(S)$$

où $H(\cdot)$ est l'entropie de Shannon. C'est la limite inférieure de la complexité de Kolmogorov—vous ne pouvez pas décrire un crochet avec moins d'informations que sa longueur de description minimale.

Conséquence : La compression des crochets a des limites fondamentales. On ne peut pas

représenter des crochets complexes avec des données arbitrairement petites.

Propriété 3 : Ergodicité

Le système Knowledge Hook est ergodique : les moyennes dans le temps sont égales aux moyennes d'ensemble.

$$\lim_{T\to\infty} \frac{1}{T} \int_0^T f(\mathcal{H}, t)\, dt = \langle f(\mathcal{H}) \rangle_{\text{ensemble}}$$

Interprétation : Observer un seul système pendant longtemps donne les mêmes statistiques que d'observer de nombreux systèmes en même temps.

Implication pratique : Les statistiques de performance d'un utilisateur sur le long terme peuvent prédire le comportement de la population.

Propriété 4 : Principe de l'entropie maximale

Lorsque plusieurs hooks pourraient expliquer le comportement observé, préférez la distribution d'entropie maximale :

$$P^*(\mathcal{H}) = \arg\max_P H(P) \quad \text{subject to} \quad \mathbb{E}_P[f_i] = \mu_i$$

où f_i sont des fonctions de contrainte et μ_i sont des moments observés.

Interprétation : Ne supposez pas plus de structure que ce que les données nécessitent. Soyez maximalement incertain compte tenu des contraintes.

Propriété 5 : Théorème du déjeuner gratuit

Aucun algorithme d'apprentissage unique n'est optimal pour tous les systèmes de hook possibles :

$$\sum_f P(\mathcal{L}_A(f)) = \sum_f P(\mathcal{L}_B(f))$$

Moyenné sur toutes les tâches possibles f, tous les algorithmes d'apprentissage $\mathcal{L}$ performent de manière égale.

Conséquence : Les algorithmes d'apprentissage doivent être adaptés à des domaines spécifiques. Pas d'approche universellement meilleure.

Propriété 6 : Malédiction de la dimensionnalité

À mesure que la dimensionnalité des caractéristiques contextuelles d augmente, les données requises croissent de manière exponentielle :

$$n_{\text{samples}} = O(k^d)$$

où k est le nombre d'échantillons par dimension. Pour $d = 10$ et $k = 10$:

$$n_{\text{samples}} = 10^{10} \text{ (impractical)}$$

Atténuation : Utilisez la réduction de dimensionnalité, la sélection de caractéristiques ou des modèles structurés qui exploitent les interactions entre les caractéristiques.

Propriété 7 : Compromis biais-variance

L'apprentissage par accroche fait face au compromis fondamental biais-variance :

$$\mathbb{E}[(S_{\text{true}} - S_{\text{estimated}})^2] = \text{Bias}^2 + \text{Variance} + \sigma^2$$

- Biais élevé : Les modèles d'accroche sont trop simples (sous-ajustement)
- Variance élevée : Les modèles d'accroche sont trop complexes (sur-ajustement)

La complexité optimale équilibre les deux.

Propriété 8 : Structure de graphe de composition

Les accroches forment un graphe acyclique dirigé (DAG) sous composition :

$$G = (\mathcal{H}, E) \quad \text{where} \quad (KH_i, KH_j) \in E \iff KH_i \text{ can precede } KH_j$$

Propriétés de ce DAG :

- Acyclique : Aucun crochet ne peut se composer avec lui-même directement ou indirectement (préventif des boucles infinies)
- Un ordre topologique existe : Les crochets peuvent être ordonnés de sorte que les dépendances viennent en premier
- Longueur maximale du chemin : Limitée par le nombre de crochets $|\mathcal{H}|$

Propriété 9 : Température thermodynamique

Le système a une température effective caractérisant l'exploration par rapport à l'exploitation :

$$T_{\text{eff}} = -\frac{1}{\beta \log P_{\text{explore}}}$$

où P_{explore} est la probabilité d'essayer des crochets non optimaux.

- Haute T : Exploration aléatoire (phase d'apprentissage)
- Basse T : Exploitation optimale (phase mature)

Le système "se refroidit" au fil du temps à mesure qu'il apprend.

Propriété 10 : Bornes de complexité d'échantillonnage

Pour apprendre un hook avec un score de succès S à une précision ϵ avec une confiance δ :

$$n = O\left(\frac{1}{\epsilon^2}\log\frac{1}{\delta}\right)$$

C'est la borne de Hoeffding pour l'estimation de probabilité.

Exemple : Pour estimer S dans ± 0.05 avec 95 % de confiance :

$$n = \frac{1}{0.05^2}\log\frac{1}{0.05} \approx 1200 \text{ samples}$$

5.1.5 Résumé et implications

Les propriétés formelles cataloguées dans cette section fournissent une caractérisation mathématique complète des systèmes Knowledge Hook au-delà des sept théorèmes fondamentaux. Ces propriétés servent plusieurs objectifs :

Pour les théoriciens : Les invariants, identités et propriétés supplémentaires révèlent une structure profonde. Ils montrent que l'algèbre Knowledge Hook n'est pas une construction isolée mais se connecte à des cadres mathématiques établis : thermodynamique, théorie de l'information, théorie de l'apprentissage statistique et théorie des graphes.

Pour les implémenteurs : Les bornes de complexité fournissent des attentes réalistes. Elles nous indiquent ce qui est réalisable sur le plan computationnel (évaluation de hook, sélection, apprentissage) et ce qui fait face à des barrières fondamentales (malédiction de la dimensionnalité, limites de profondeur de composition). Les invariants fournissent des conditions de correction testables.

Pour les concepteurs de systèmes : Les propriétés guident les décisions architecturales. L'existence d'une fonction de Lyapunov garantit la convergence, justifiant l'investissement dans l'infrastructure d'apprentissage. Les

compromis biais-variance informent les choix de complexité du modèle. L'ergodicité permet des prédictions au niveau de la population à partir du comportement individuel.

Pour les utilisateurs : Bien que les utilisateurs n'interagissent pas directement avec ces propriétés mathématiques, ils bénéficient de systèmes conçus autour d'elles. Les bornes de complexité garantissent des performances réactives. Les invariants garantissent la fiabilité. La convergence garantit que le système s'améliore au fil du temps, et non de manière imprévisible.

Interconnexions

Les propriétés formelles ne sont pas des faits isolés mais forment un réseau interconnecté :

- Les invariants permettent des identités : La stabilité de partition (invariant) rend la transitivité d'équivalence (identité) significative.

- Les identités informent des limites : Les produits de score de succès (identité) contraignent la profondeur de composition (limite).

- Les limites valident des propriétés : Les limites de temps de convergence (limite)

confirment la diminution de la fonction de Lyapunov (propriété).

Cette interconnexion renforce la confiance dans l'ensemble du cadre. Les mathématiques sont auto-cohérentes : différentes approches (invariants, identités, analyse de complexité) pointent toutes vers la même réalité sous-jacente.

Directions futures

Bien que cette section catalogue les propriétés formelles connues, de nombreuses questions restent ouvertes :

- Limites plus strictes : Pouvons-nous améliorer la complexité de sélection $O(|\mathcal{H}|)$? Existe-t-il de meilleures structures d'indexation ?

- Invariants supplémentaires : Quelles autres propriétés restent constantes ? Existe-t-il des quantités conservées au-delà de l'énergie ?

- Clôture algébrique : L'ensemble des identités forme-t-il un système algébrique complet avec un ensemble générateur fini ?

- Propriétés stochastiques : Que pouvons-nous dire sur la variance, les moments supérieurs et les distributions de probabilité ?

Ces questions ouvertes fournissent des directions pour de futures recherches mathématiques sur les systèmes Knowledge Hook.

Conclusion

Les propriétés formelles font le lien entre la théorie et la pratique. Elles prennent des théorèmes abstraits et les rendent concrets : les invariants nous disent ce qu'il faut préserver, les identités permettent la manipulation, les bornes établissent des attentes, et des propriétés supplémentaires révèlent des connexions profondes. Avec les sept théorèmes et leurs corollaires, ces propriétés formelles fournissent un ensemble d'outils mathématiques complet pour raisonner, implémenter et optimiser les systèmes Knowledge Hook.

La richesse des propriétés formelles—s'étendant à l'algèbre, la théorie de la complexité, la thermodynamique, la théorie de l'information et les statistiques—démontre que l'algèbre Knowledge Hook n'est pas un formalisme technique étroit mais un large cadre mathématique touchant de nombreux domaines des mathématiques et de l'informatique. Cette ampleur suggère que la théorie capture quelque chose de fondamental sur l'automatisation, l'apprentissage et la création de valeur—des principes qui

transcendent toute mise en œuvre spécifique et s'appliquent partout où des systèmes intelligents réduisent l'effort humain.

6

Le pont vers la thermo-monnaie subjective

De la minimisation de l'entrée à la minimisation de l'énergie

6.1 Minimisation des Entrées en tant que Minimisation de l'Énergie

La Loi de Minimisation—le premier principe que nous avons établi dans l'algèbre des Knowledge Hooks—déclare que lorsque plusieurs hooks correspondent au contexte actuel, le système sélectionne le hook avec le moins d'actions. Cette loi pousse l'ensemble du système vers l'efficacité : les hooks qui atteignent des objectifs avec un minimum d'entrée utilisateur sont préférés, renforcés par l'utilisation, et accumulent des scores de réussite plus élevés au fil du temps.

Mais pourquoi devrions-nous nous soucier de minimiser les actions ? La réponse réside dans une vérité physique fondamentale : chaque action nécessite de l'énergie.

Lorsque vous tapez une touche, vous dépensez de l'énergie physique par la contraction musculaire. Lorsque vous cliquez sur une souris, vous déplacez votre main contre la gravité et la friction. Lorsque vous prenez une décision sur ce qu'il faut faire ensuite, votre cerveau consomme du glucose et de l'oxygène—de l'énergie métabolique mesurable. Même lorsque des

dispositifs exécutent des actions en votre nom, ils consomment de l'énergie électrique tirée du réseau, finalement traçable aux combustibles fossiles, aux réactions nucléaires ou aux sources renouvelables.

La Loi de Minimisation n'est donc pas simplement une question de commodité ou d'expérience utilisateur. Il s'agit d'efficacité thermodynamique. Réduire le nombre d'actions de 6 à 1 ne fait pas que gagner du temps—cela économise l'énergie physique que vous auriez dépensée pour ces 5 actions éliminées.

Cette équivalence entre la minimisation des actions et la minimisation de l'énergie est la base de la Thermo-Monnaie Subjective. Nous pouvons l'exprimer formellement :

$$E_{\text{total}} = E_{\text{user}} + E_{\text{device}}$$

Où E_user représente l'énergie dépensée par l'utilisateur (mouvements musculaires, effort cognitif) et E_device représente l'énergie consommée par les dispositifs exécutant des actions. En minimisant le nombre d'actions |A|, nous minimisons les deux composants :

- Moins d'actions utilisateur → moins d'E_user (moins de clics, de frappes, de décisions, de commandes)

• Moins d'actions de l'appareil → moins d'E_device (moins d'appels API, de calculs, de transmissions réseau)

L'énergie totale économisée peut être quantifiée. Considérons un exemple simple : envoyer un e-mail manuellement par rapport à avoir un Knowledge Hook qui le compose et l'envoie automatiquement en fonction du contexte.

Processus manuel :

• Ouvrir le client de messagerie (1 clic) : ~0,15 J

• Cliquer sur 'Composer' (1 clic) : ~0,15 J

• Taper l'adresse du destinataire (20 frappes) : ~2 J

• Taper l'objet (15 frappes) : ~1,5 J

• Taper le corps du message (100 frappes) : ~10 J

• Réviser et éditer (effort cognitif) : ~5 J

• Cliquez sur 'Envoyer' (1 clic) : ~0,15 J

Total : ~19 J d'énergie utilisateur

Processus automatisé (Knowledge Hook) :

• Le hook détecte le contexte (réunion terminée, point d'action noté)

• Génère automatiquement un e-mail

• L'utilisateur examine et approuve (1 coup d'œil, 1 tapotement) : ~0,2 J

Total : ~0,2 J d'énergie utilisateur

Énergie économisée : 18,8 J par e-mail

Si vous envoyez 50 e-mails par semaine, ce hook unique économise 940 J par semaine, ou ~49 000 J par an—équivalent à l'énergie nécessaire pour soulever un objet de 50 kg à 100 mètres dans les airs. Multipliez cela par des millions d'utilisateurs et des milliers de scénarios d'automatisation différents, et les économies d'énergie agrégées deviennent énormes.

Ceci est le pont vers la Thermo-Monnaie Subjective : lorsqu'un Knowledge Hook se déclenche de manière autonome, vous évitant d'effectuer des actions que vous auriez autrement dû faire, il crée des économies d'énergie mesurables et vérifiables. Ces économies peuvent être :

• Quantifié par la mesure empirique des coûts d'énergie des actions typiques

• Vérifié par la comparaison avant/après et la détection de corrections

- Agrégé à tous les utilisateurs du même crochet
- Attribué à l'expert qui a créé le crochet
- Monétisé sous forme de jetons STC représentant une valeur énergétique réelle

La loi de minimisation fournit ainsi le principe fondamental d'un système économique basé sur l'efficacité énergétique mesurée plutôt que sur une valeur monétaire abstraite.

6.1.1 De l'individuel au collectif

La technologie subjective, telle que nous l'avons décrite jusqu'à présent, fonctionne principalement au niveau individuel. Un crochet de connaissance apprend vos habitudes, s'adapte à votre contexte et réduit l'effort que vous devez personnellement déployer. C'est précieux, mais cela reste fondamentalement privé et non transférable. L'énergie que vous économisez en utilisant un crochet intelligent vous appartient.

La thermo-monnaie subjective transforme cette optimisation individuelle en un système économique collectif en

reconnaissant une idée cruciale : les économies d'énergie peuvent être partagées.

Lorsqu'un expert crée un crochet de connaissance—disons, un crochet qui formate automatiquement les citations dans les articles académiques—et que ce crochet est utilisé par des milliers de chercheurs, les économies d'énergie se multiplient. Chaque chercheur qui aurait formaté manuellement les citations économise maintenant du temps et des efforts. L'énergie totale économisée est la somme de tous les utilisateurs :

$$E_{\text{total saved}} = \sum_{i=1}^{N} E_{\text{user}_i}$$

Où N est le nombre d'utilisateurs qui bénéficient du crochet. Ces économies collectives ont plusieurs propriétés importantes qui les distinguent des modèles économiques traditionnels.

1. Scalabilité sans épuisement des ressources

Contrairement aux biens physiques qui doivent être fabriqués, expédiés et consommés pour chaque utilisateur, un Knowledge Hook peut servir un nombre infini

d'utilisateurs avec un coût énergétique supplémentaire négligeable. Le coût énergétique marginal d'une personne de plus utilisant le crochet de citation est essentiellement nul : juste le petit coût computationnel d'exécution du crochet, généralement en microjoules.

Cela crée une dynamique économique fondamentalement différente de celle des biens et services traditionnels. Dans les marchés conventionnels, produire plus d'unités nécessite plus de ressources. Une boulangerie fabriquant 1 000 pains a besoin d'environ 1 000 fois les ingrédients et l'énergie nécessaires pour en faire un. Mais un Knowledge Hook servant 1 000 utilisateurs nécessite pratiquement les mêmes ressources computationnelles que pour servir un utilisateur.

Cette propriété de scalabilité signifie que la création de valeur dans le STC n'est pas contrainte par la rareté physique. La question n'est pas 'combien pouvons-nous produire ?' mais plutôt 'quelle efficacité pouvons-nous découvrir et partager ?'

2. Effets de réseau cumulés

À mesure que de plus en plus de personnes utilisent un crochet et fournissent des retours par le biais de corrections, le crochet s'améliore. De meilleurs crochets

économisent plus d'énergie par utilisation, créant une boucle de rétroaction positive où l'adoption généralisée conduit à des économies individuelles plus importantes.

Considérons à nouveau le crochet de formatage de citation. Lors de son lancement initial, il pourrait avoir un taux de réussite de 85 % : il formate correctement 85 citations sur 100 sans nécessiter de correction de l'utilisateur. Chaque correction génère un signal d'apprentissage qui améliore le crochet. Après que 10 000 utilisateurs aient collectivement effectué 500 corrections sur divers cas particuliers, le taux de réussite s'améliore à 95 %. Après 100 000 utilisateurs et 2 000 corrections au total, il atteint 98 %.

Cette amélioration bénéficie à tout le monde. Les premiers adoptants aident à affiner le crochet grâce à leurs corrections. Les adopteurs tardifs bénéficient d'un outil hautement perfectionné qui fait rarement des erreurs. La valeur par utilisation augmente avec le temps, même si chaque utilisateur individuel n'interagit avec le crochet que quelques fois.

L'apprentissage collectif crée des rendements cumulés : les corrections de chaque utilisateur améliorent le crochet pour tous les futurs utilisateurs. Cela est

fondamentalement différent des produits traditionnels, où l'utilisation dégrade généralement la valeur (usure, épuisement). Dans le STC, l'utilisation améliore la valeur.

3. Attribution automatique et compensation proportionnelle

Parce que chaque hook a un créateur (ou une équipe de créateurs), les économies d'énergie collectives peuvent être attribuées à ceux qui ont rendu ces économies possibles. Cela crée une structure d'incitation économique alignée sur la création de valeur réelle : les experts qui créent des hooks précieux reçoivent une compensation proportionnelle à l'énergie totale économisée par tous les utilisateurs.

Le mécanisme d'attribution fonctionne à travers les métadonnées du hook. Chaque fois que le hook de citation s'active avec succès, le système :

- Mesure l'énergie économisée (actions éliminées par rapport au formatage manuel)
- Enregistre ces économies dans le grand livre global
- Crédite le créateur du hook d'une part proportionnelle de jetons STC

Si le hook économise en moyenne 2 joules par citation formatée, et qu'il formate 1 million de citations pour tous les utilisateurs, le créateur a généré 2 millions de joules d'économies d'énergie collectives. En STC, cela se traduit directement en monnaie : le créateur gagne 2 millions de jetons STC (chaque jeton représentant 1 joule économisé).

Ce modèle de compensation est radicalement différent de la monétisation traditionnelle des logiciels :

- Pas de paiement initial : Les utilisateurs n'achètent pas le hook. Ils l'utilisent simplement, et la compensation s'écoule automatiquement en fonction des économies d'énergie réelles.

- Flux de valeur continu : Le créateur gagne des revenus tant que le hook continue d'économiser de l'énergie, créant une incitation à le maintenir et à l'améliorer.

- Proportionnel à l'impact : Un crochet utilisé par des millions rapporte plus qu'un crochet utilisé par des dizaines, récompensant naturellement les créateurs qui résolvent des problèmes courants.

- Vérifié par la physique : Les économies d'énergie sont mesurées objectivement par le nombre d'actions et les deltas de contexte,

et non subjectivement par des avis ou des évaluations.

4. La transformation des producteurs et des consommateurs

Ce passage de l'individuel au collectif change fondamentalement la relation entre producteurs et consommateurs. Dans l'économie traditionnelle, ce sont des rôles distincts : les producteurs créent des biens ou des services, les consommateurs les achètent et les utilisent, et la transaction complète l'échange de valeur.

Dans le STC, les frontières s'estompent. Les consommateurs sont aussi des contributeurs : leurs corrections améliorent le crochet pour tout le monde. Les producteurs sont aussi des utilisateurs : ils bénéficient des crochets des autres tout en créant les leurs. Le réseau devient un écosystème collaboratif plutôt qu'un marché d'acheteurs et de vendeurs séparés.

Considérez un chercheur qui utilise le crochet de formatage de citation mais crée également un crochet pour l'analyse statistique. Elle est simultanément :

- Une consommatrice du crochet de citation, économisant de l'énergie sur le formatage

- Une contributrice au crochet de citation par des corrections occasionnelles
- Une productrice du crochet de statistiques, créant de la valeur pour les autres
- Une bénéficiaire de l'apprentissage collectif qui améliore les deux crochets au fil du temps

Dans une économie traditionnelle, cela représenterait des transactions séparées nécessitant des paiements, des contrats et une comptabilité distincts. Dans STC, ce sont simplement des flux naturels d'énergie et de valeur à travers le réseau, tous suivis automatiquement et compensés équitablement.

5. Biens publics et la solution à la tragédie des biens communs

La nature collective de STC résout l'un des problèmes fondamentaux de l'économie traditionnelle : la sous-provision de biens publics.

Un bien public est quelque chose qui bénéficie à tout le monde mais qu'il est difficile de facturer individuellement. Des exemples incluent l'air pur, l'éclairage public, la recherche scientifique et les fonctionnalités d'accessibilité dans les logiciels. Les marchés traditionnels

échouent à fournir des niveaux optimaux de biens publics parce que :

- Non-exclusivité : Une fois créé, vous ne pouvez pas empêcher les non-payeurs de bénéficier.

- Problème du passager clandestin : Les individus rationnels attendent que d'autres paient, espérant bénéficier sans contribuer.

- Échec de coordination : Même si tout le monde bénéficierait d'un financement collectif, organiser ce financement est difficile.

STC résout élégamment ce problème grâce à l'attribution automatique des économies collectives. Considérez un Knowledge Hook qui aide les utilisateurs aveugles à naviguer sur des sites web en générant automatiquement du texte descriptif pour les images et les éléments d'interface.

In a traditional market, developing this hook might cost $100,000 in developer time. But each individual blind user might only be willing to pay $10, and there might only be 5,000 potential users—generating only $50,000 in revenue. The hook doesn't get built, even though the total value ($10 × 5,000 = $50,000) plus the social benefit of inclusion is enormous.

Dans STC, le calcul est différent :

• Chaque fois que le hook se déclenche, il permet à l'utilisateur d'économiser de l'énergie (éliminant l'effort de navigation manuelle)

• Si chaque utilisation permet d'économiser en moyenne 50 joules, et que chaque utilisateur le déclenche 100 fois par mois, cela représente 5 000 J par utilisateur par mois

• Sur 5 000 utilisateurs pendant 5 ans (60 mois), les économies totales = 5 000 utilisateurs × 5 000 J/mois × 60 mois = 1,5 milliard de joules

• Le créateur gagne automatiquement 1,5 milliard de jetons STC—bien au-delà du coût de développement

Le hook est construit, maintenu et continuellement amélioré car la compensation reflète la véritable valeur collective, et non la volonté individuelle de payer d'avance. Les biens publics sont naturellement financés lorsque la valeur provient de l'utilisation réelle plutôt que de la demande prédite.

6. Intelligence Collective Émergente

Peut-être la conséquence la plus profonde du passage de l'individuel au collectif est l'émergence de ce que nous pourrions appeler

l'intelligence collective ou l'optimisation collective.

Lorsque des millions d'utilisateurs à travers le monde contribuent tous à des corrections, des données d'utilisation et des modèles contextuels à la base de connaissances partagée, le système dans son ensemble devient plus intelligent que n'importe quel individu ne pourrait l'être. Des modèles qui seraient invisibles pour un utilisateur unique deviennent évidents à travers la population. Les cas limites rencontrés rarement par des individus sont rencontrés fréquemment en agrégat, menant à des solutions robustes.

Cela crée une forme de résolution de problèmes distribuée où aucun planificateur central n'est nécessaire. Le système identifie automatiquement les opportunités à forte valeur (tâches qui consomment beaucoup d'énergie lorsqu'elles sont effectuées manuellement mais qui pourraient être automatisées), récompense les solutions en fonction de leur impact et affine continuellement ces solutions grâce aux retours collectifs.

En termes thermodynamiques, l'ensemble du réseau fonctionne comme un système adaptatif unique cherchant des configurations à énergie minimale. L'optimisation individuelle (vos hooks apprenant vos

modèles) et l'optimisation collective (hooks partagés apprenant des modèles universels) travaillent ensemble, créant un moteur d'efficacité à l'échelle de la civilisation.

Le changement de paradigme économique

Passer de l'individuel au collectif représente un changement fondamental dans l'organisation économique :

- De la rareté à l'abondance : Les biens physiques sont rares et rivaux (mon utilisation empêche la tienne). Le savoir en matière d'économie d'énergie est abondant et non rival (mon utilisation améliore la tienne).

- De la concurrence à la coopération : Les marchés traditionnels récompensent ceux qui surpassent les autres. STC récompense ceux qui créent de la valeur qui se cumule entre les utilisateurs.

- Des transactions aux flux : Au lieu d'échanges discrets (tu paies, je livre), la valeur circule continuellement en fonction de l'utilisation et de l'amélioration continues.

- Du prix à la physique : La compensation n'est pas déterminée par les courbes d'offre et de demande ou les prix négociés, mais par les économies d'énergie mesurées objectivement.

Cette transformation fait de STC plus qu'un outil de productivité personnelle—cela devient la base d'une toute nouvelle forme d'organisation économique, où le bénéfice individuel et le bénéfice collectif s'alignent naturellement, où les biens publics sont automatiquement financés, et où la création de valeur est mesurée par la monnaie fondamentale de la réalité : l'énergie.

6.1.2 Du numérique au physique

6.2 L'équation entrée-énergie

6.2.1 Mesure contextuelle avec la vision AR et AI

Le pont entre la Technologie Subjective et la Thermo-Monnaie Subjective dépend entièrement d'une capacité critique : mesurer la dépense énergétique dans le monde réel. Les actions numériques—frappes au clavier, clics, appels d'API—sont relativement simples à suivre. Mais qu'en est-il des actions physiques ? Comment mesurons-nous le coût énergétique de marcher jusqu'à un interrupteur, d'atteindre un objet, de chercher vos clés, ou de n'importe quel des innombrables mouvements physiques qui composent la vie quotidienne ?

La réponse réside dans des lunettes intelligentes de réalité augmentée combinées à une vision par ordinateur d'intelligence artificielle. Ces technologies, travaillant ensemble, transforment le monde physique en un environnement mesurable et conscient du contexte où chaque action peut être observée, classée et quantifiée en termes de dépense énergétique.

Le Rôle des Lunettes Intelligentes AR

Les lunettes intelligentes AR servent d'interface sensorielle principale entre l'utilisateur et son environnement. Contrairement aux smartphones que vous devez sortir délibérément et viser, les lunettes intelligentes offrent une observation continue et sans les mains de tout ce que vous voyez et faites. Elles sont, en effet, un dispositif de capture de contexte portable qui fonctionne en arrière-plan de votre vie quotidienne.

Les lunettes capturent plusieurs flux de données simultanément :

- Champ visuel : Des caméras haute résolution enregistrent tout ce que vous regardez, créant un flux vidéo continu de votre environnement

- Position et orientation de la tête : Des unités de mesure inertielle (IMUs)

suivent comment votre tête se déplace et où vous dirigez votre attention

- Suivi des yeux : Des modèles avancés peuvent détecter quels objets ou zones spécifiques vous concentrez dans votre champ de vision

- Perception de la profondeur : Des caméras stéréoscopiques ou des capteurs LiDAR créent des cartes 3D de votre environnement, mesurant les distances aux objets

- Audio : Des microphones capturent le son ambiant, les commandes vocales et les indices environnementaux

- Biométrie : Certains modèles incluent des capteurs pour la fréquence cardiaque, la température de la peau et d'autres signaux physiologiques qui corrèlent avec la dépense énergétique.

Ces flux de données se combinent pour créer ce que nous appelons un instantané contextuel complet — un enregistrement riche et multidimensionnel de votre état physique et de votre environnement à chaque moment.

Vision par ordinateur : Des pixels à la compréhension sémantique.

Les flux de caméra bruts ne sont que des pixels — des tableaux de valeurs de couleur

sans signification inhérente. La vision par ordinateur, alimentée par des modèles d'apprentissage profond, transforme ces pixels en compréhension sémantique : quels objets sont présents, quelles actions sont effectuées et quelles sont les relations spatiales entre les éléments de la scène.

Les systèmes de vision AI modernes peuvent reconnaître :

• Objets : Tasses à café, interrupteurs, portes, clés, thermostats, appareils, meubles, outils — tout ce avec quoi vous pourriez interagir.

• Actions : Marcher, atteindre, saisir, taper, chercher, cuisiner, nettoyer — toute activité physique qui consomme de l'énergie.

• Personnes : Qui est présent, leur langage corporel, leurs positions relatives (tout en respectant la vie privée grâce au traitement local).

• Contexte spatial : Agencement des pièces, distances entre les objets, chemins de navigation, obstacles.

• Modèles temporels : Comportements répétés, routines, séquences d'actions.

Le système de vision fonctionne en continu, construisant ce qui est essentiellement un graphe de connaissances

en temps réel de votre environnement physique et de vos activités. Ce graphe permet au système de comprendre le contexte : pas seulement que vous êtes dans la cuisine, mais que vous êtes dans la cuisine à 7h00, regardant la cafetière, après vous être réveillé, avec une tasse à la main. :00

Instantanés contextuels dans le monde physique

Tout comme les appareils numériques prennent des instantanés de leur état interne, les lunettes AR prennent des instantanés du monde physique. Mais ces instantanés sont beaucoup plus riches que ce qui est possible dans des systèmes purement numériques. Un instantané de contexte physique à un moment t pourrait inclure :

$$\Sigma_t^{\text{physical}} = \{\text{objects}, \text{positions}, \text{distances}, \text{actions}, \text{gaze direction}, \text{body pose}, \text{environment state}\}$$

Exemple : Vous entrez chez vous après le travail. Les lunettes AR capturent :

• Objets détectés : Porte d'entrée, clés en main, porte-manteau, lumières du salon (actuellement éteintes), thermostat affichant 18°C

• Votre position : Debout dans l'entrée, à 0,5 m de l'interrupteur, à 3 m du thermostat

• Vos actions : Marcher en avant (2 pas), main se levant vers l'interrupteur

• Contexte temporel : 18h15 un mardi en hiver :15

• État environnemental : Température extérieure 5°C, coucher de soleil dans 20 minutes, vous êtes parti depuis 9 heures

Ce contexte riche permet au système de comprendre votre intention (vous voulez de la lumière et de la chaleur) et de mesurer le coût énergétique de vos actions (marcher vers l'interrupteur : ~10 J, actionner l'interrupteur : ~0,5 J, ajuster le thermostat : ~15 J y compris marcher à travers la pièce).

Détection de delta dans l'espace physique

Tout comme les Knowledge Hooks appris utilisent la détection de delta (comparant des instantanés avant et après une action) pour apprendre des motifs dans des environnements numériques, les systèmes compatibles AR utilisent la détection de delta visuelle pour apprendre dans l'espace physique.

Le système compare des instantanés de contexte physique consécutifs pour identifier ce qui a changé :

$$\Delta\Sigma = \Sigma_{t+1} - \Sigma_t$$

Dans l'exemple d'arrivée à la maison :

- Avant (Σ_t) : Lumières éteintes, thermostat à 18°C, vous debout près de la porte
- Après (Σ_t+1) : Lumières allumées, thermostat à 21°C, vous assis sur le canapé
- Delta (ΔΣ) : +lumières, +3°C, position changée (5m de marche), 2 ajustements manuels effectués

Le delta révèle à la fois ce que vous vouliez (environnement chaud et éclairé) et ce que cela vous a coûté (marche, ajustements manuels). Après avoir observé ce motif plusieurs fois, un Knowledge Hook peut se former :

Conditions : Arrivée à la maison, soirée d'hiver, température < 19°C, lumières éteintes

Actions : Allumer les lumières, régler le thermostat à 21°C

Type : Appris

Score de réussite : Initialement 0,5, augmentant à chaque activation réussie

Maintenant, lorsque vous arrivez chez vous dans des conditions similaires, le crochet peut se déclencher automatiquement : le système de maison intelligente ajuste les lumières et la température avant même que vous n'atteigniez les interrupteurs, vous faisant économiser 25,5 joules d'effort physique.

Mesurer la dépense d'énergie physique

Avec des instantanés contextuels capturant ce que vous faites, comment traduisons-nous les actions observées en mesures d'énergie ?

Le système utilise des modèles biomécaniques combinés à une observation en temps réel :

1. Énergie de locomotion : La vision par ordinateur suit votre mouvement dans l'espace. Marcher 5 mètres nécessite environ 10 joules (2 J par pas × 5 pas). Le système peut détecter lorsque vous marchez et mesurer la distance.

2. Énergie de manipulation : Lorsque vous atteignez et manipulez des objets, le système de vision observe la distance d'extension du bras, le poids de l'objet (estimé à partir de la taille visuelle et des types d'objets connus) et la vitesse de mouvement. Une action d'atteindre et de

saisir coûte généralement 0,5 à 2 J selon la distance et le poids de l'objet.

3. Charge cognitive : Le suivi des yeux révèle où vous dirigez votre attention. Si vous recherchez visuellement quelque chose (yeux scannant rapidement, tête en mouvement), cela indique un effort cognitif. Des études montrent que les tâches de recherche visuelle consomment 2 à 5 J par minute selon la complexité.

4. Changements posturaux : Se lever d'une position assise, se pencher, atteindre vers le haut — tout cela nécessite de l'énergie mesurable. La vision peut détecter ces changements posturaux et appliquer des formules biomécaniques standard pour estimer le coût.

5. Temps de réalisation de la tâche : Même si le coût énergétique exact est incertain, le temps que vous passez sur une tâche est mesurable. Votre métabolisme de base (~20 watts pour le cerveau, ~80 watts pour le corps au repos) fixe un minimum énergétique. Une tâche qui prend 5 minutes consomme au moins 500 joules (100 watts × 300 secondes) même si vous êtes juste debout à réfléchir.

En combinant ces mesures, le système construit un profil énergétique pour chaque action observée :

$$E_{\text{action}} = E_{\text{locomotion}} + E_{\text{manipulation}} + E_{\text{cognitive}} + E_{\text{postural}} + E_{\text{basal}} \times t$$

Traitement local préservant la vie privée

Une caractéristique essentielle de cette approche est que tout le traitement visuel se fait localement sur les lunettes intelligentes ou un appareil edge personnel. Les vidéos brutes ne quittent jamais votre possession. Les modèles de vision par ordinateur fonctionnent sur l'appareil, extrayant uniquement des informations sémantiques ("l'utilisateur a marché 3 mètres", "l'utilisateur a pris une tasse de café") plutôt que de transmettre des images.

Ce traitement local garantit :

• Confidentialité : Personne d'autre ne voit ce que vous voyez. Votre contexte visuel reste entièrement privé.

• Sécurité : Aucune vidéo n'existe dans le cloud qui pourrait être piratée ou convoquée.

• Faible latence : Le traitement se fait en millisecondes, permettant des réponses en temps réel.

• Fonctionnalité hors ligne : Le système fonctionne même sans connexion Internet.

Seul le contexte extrait (descriptions sémantiques et mesures énergétiques) est partagé avec Knowledge Hooks et le registre

STC, et même cela peut être agrégé et anonymisé avant toute transmission réseau.

Intégration avec le contexte numérique

La véritable puissance émerge lorsque le contexte physique des lunettes AR se mêle au contexte numérique de vos appareils. Le contexte global unifié s'étend désormais sur les deux domaines :

$$\Sigma_{\text{unified}} = \Sigma_{\text{physical}} \cup \Sigma_{\text{digital}}$$

Scénario d'exemple démontrant le contexte unifié :

Vous préparez le dîner pendant que votre téléphone est sur le comptoir de la cuisine. Vos lunettes intelligentes vous voient hacher des légumes et détectent que le feu est allumé. Votre téléphone voit un minuteur qui compte à rebours (contexte numérique) et votre calendrier vous montre que vous avez un appel vidéo dans 30 minutes (contexte numérique). Un Knowledge Hook reconnaît le schéma : lorsque vous cuisinez avec un minuteur et un appel à venir, vous avez généralement besoin d'un rappel 10 minutes avant l'appel pour finir de cuisiner et nettoyer.

Sans vision AR, le système manquerait le fait que vous cuisinez activement. Sans contexte numérique, il ne saurait pas pour

l'appel. Ensemble, ils permettent une assistance intelligente qui vous fait économiser l'énergie mentale de suivre plusieurs chronologies simultanément.

Exemple pratique : Mesure de l'énergie en action

Traçons un exemple complet de mesure d'énergie consciente du contexte :

Scénario : Vous devez trouver vos clés de voiture avant de partir au travail.

Approche manuelle (sans assistance AR) :

1. Scanner visuellement le salon (30 secondes, 3 J d'effort cognitif)

2. Marcher vers la chambre (8 pas, 16 J de locomotion)

3. Chercher dans la chambre (45 secondes, 4 J cognitifs + 2 J pour déplacer des objets)

4. Marcher vers la cuisine (12 pas, 24 J de locomotion)

5. Trouver les clés sous le journal sur le comptoir (soulagement, prendre les clés, 1 J de manipulation)

Total : ~50 J et 2-3 minutes de temps et de stress

Approche assistée par AR :

1. Vous prenez votre téléphone et votre portefeuille à la station de charge (les lunettes AR observent cela, reconnaissent le modèle avant le départ)

2. Les lunettes superposent une flèche pointant vers la cuisine : "Clés sur le comptoir, sous le journal" (le système se souvient d'avoir vu les clés là hier quand vous les avez posées)

3. Vous marchez directement vers la cuisine (12 pas, 24 J) et récupérez les clés (1 J)

Total : ~25 J et 30 secondes

Énergie économisée : 25 J d'effort physique + élimination du stress cognitif

Le système AR a mesuré les deux approches : il vous a observé chercher manuellement les premières fois (apprenant vos schémas et mesurant le coût énergétique), puis a offert une assistance (mesurant le coût réduit). La différence de 25 J est enregistrée dans le registre STC et attribuée à celui qui a créé ou amélioré le Knowledge Hook de suivi d'objet.

Mise à l'échelle vers la civilisation

Imaginez maintenant cette capacité déployée à grande échelle : des millions de personnes portant des lunettes AR, chacune générant des instantanés de contexte continus, chacune bénéficiant de Knowledge Hooks qui minimisent les dépenses d'énergie physique. Les économies d'énergie agrégées deviennent énormes.

Si la personne moyenne effectue 50 tâches physiques par jour qui pourraient être optimisées (trouver des objets, naviguer dans des espaces, ajuster les contrôles environnementaux, coordonner avec d'autres), et que chaque optimisation économise en moyenne 10 joules, cela représente 500 J par personne par jour. Pour une population de 100 millions d'utilisateurs d'AR, cela représente 50 milliards de joules par jour, équivalent à l'énergie nécessaire pour alimenter 15 000 foyers pendant une journée.

C'est la promesse de la mesure contextuelle avec la vision AR et IA : transformer les coûts énergétiques invisibles et non mesurés de la vie physique quotidienne en métriques quantifiables et optimisables qui peuvent conduire à un nouveau système économique basé sur l'efficacité thermodynamique réelle plutôt que sur une valeur monétaire abstraite.

Les lunettes intelligentes AR rendent le monde physique mesurable. La vision IA le

rend compréhensible. Ensemble, elles créent la base sensorielle pour la Thermo-Monnaie Subjective, permettant le passage des gains de productivité individuels à la transformation économique collective.

6.2.2 Efficacité prédictive

La forme la plus avancée de minimisation de l'énergie n'est pas réactive mais prédictive. L'efficacité prédictive signifie que le système ne répond pas simplement aux inefficacités après qu'elles se soient produites, mais les anticipe avant qu'elles ne se produisent et guide les utilisateurs vers des choix optimaux en temps réel. C'est là que la Technologie Subjective transcende l'automatisation traditionnelle et devient un partenaire proactif dans la conservation de l'énergie.

De l'intelligence réactive à l'intelligence proactive

L'automatisation traditionnelle réagit à l'entrée de l'utilisateur : vous tapez une lettre, le système suggère le mot suivant. Vous faites une erreur, le système la corrige. Ce modèle réactif nécessite toujours que l'utilisateur initie l'action, ce qui signifie que de l'énergie a déjà été dépensée au moment où le système réagit.

L'efficacité prédictive renverse ce modèle. Au lieu d'attendre que l'utilisateur agisse, le système utilise le contexte accumulé - les comportements passés, l'état environnemental actuel, les schémas temporels et les préférences apprises - pour anticiper ce dont l'utilisateur a besoin avant qu'il n'en ait besoin. Le système propose alors soit :

1. Exécute l'action automatiquement (lorsque la confiance est suffisamment élevée)

2. Présente l'option de manière préventive (réduisant l'énergie de recherche et de décision)

3. Guide l'utilisateur loin des chemins inefficaces (prévenant le gaspillage d'énergie avant qu'il ne se produise)

Cadre mathématique pour la prédiction

Le modèle d'efficacité prédictive repose sur la prévision de la distribution de probabilité des actions futures possibles compte tenu de l'instantané du contexte actuel $\sum_t$:

$$P(A_{t+1} \mid \Sigma_t) = \Pr[\text{User performs action } A_{t+1} \text{ given context } \Sigma_t]$$

Le système maintient une distribution de probabilité apprise sur toutes les actions possibles que l'utilisateur pourrait entreprendre ensuite. Lorsque cette probabilité dépasse un seuil τ (typiquement 0,85-0,95 selon le coût des erreurs), le système peut agir de manière préventive :

$$\text{Trigger}(A) = \begin{cases} \text{Execute } A & \text{if } P(A \mid \Sigma_t) > \tau_{\text{execute}} \\ \text{Suggest } A & \text{if } \tau_{\text{suggest}} < P(A \mid \Sigma_t) \leq \tau_{\text{execute}} \\ \text{Silent} & \text{if } P(A \mid \Sigma_t) \leq \tau_{\text{suggest}} \end{cases}$$

Les économies d'énergie provenant de l'efficacité prédictive peuvent être quantifiées comme la différence entre l'énergie que l'utilisateur aurait dépensée à rechercher et à exécuter l'action par rapport à l'énergie réellement dépensée lorsque le système agit de manière préventive :

$$\Delta E_{\text{predict}} = E_{\text{manual}}(A) - E_{\text{predicted}}(A)$$

Où :

$$E_{\text{manual}}(A) = E_{\text{search}} + E_{\text{decision}} + E_{\text{execution}}$$
$$E_{\text{predicted}}(A) = E_{\text{confirmation}} \text{ (or 0 if auto-executed)}$$

Exemple concret : Prédiction de la routine matinale

Considérez la routine matinale d'un utilisateur. Au fil des semaines, le système

observe qu'en semaine, à 7h15, après que le réveil de l'utilisateur sonne, il : :15

1. Éteint les lumières de la chambre

2. Allume les lumières de la salle de bain

3. Démarre la cafetière

4. Régle le thermostat à 22°C

5. Ouvre l'application de nouvelles sur le téléphone

Après suffisamment d'observations, le système construit un modèle prédictif :

$$P(A_{\text{bathroom_lights}} \mid \Sigma_{\text{7:15AM, weekday, alarm_off}}) = 0.97$$
$$P(A_{\text{coffee}} \mid \Sigma_{\text{7:15AM, weekday, alarm_off}}) = 0.95$$
$$P(A_{\text{thermostat}} \mid \Sigma_{\text{7:15AM, weekday, alarm_off}}) = 0.92$$

Toutes les probabilités dépassent le seuil d'exécution ($\tau_{\text{execute}} = 0.90$), donc le système agit automatiquement lorsque le contexte correspond. Les économies d'énergie sont substantielles :

Dépense d'énergie manuelle (sans prédiction) :

- Marcher jusqu'à l'interrupteur de la lumière de la salle de bain : 15 J

- Basculer l'interrupteur : 2 J

- Marcher jusqu'à la machine à café : 12 J

- Appuyer sur le bouton : 2 J

- Marcher jusqu'au thermostat : 10 J

- Ajuster la température : 3 J

- Prendre le téléphone : 5 J

- Naviguer vers l'application de nouvelles : 4 J

Énergie manuelle totale : $E_{\text{manual}} = 53$

Dépense énergétique prédite (avec exécution automatisée) :

- Jeter un coup d'œil à la notification du téléphone ("Routine matinale activée") : 1 J

Énergie totale prédite : $E_{\text{predicted}} = 1$

Énergie économisée : $\Delta E_{\text{predict}} = 53 - 1 = 52$ par matin

Sur une année (260 jours de semaine) : $52 \times 260 = 13,520$ économisés pour cette routine unique. Élargissez cela à des millions d'utilisateurs et des milliers de modèles de routine, et l'efficacité prédictive devient un système d'optimisation énergétique à l'échelle de la civilisation.

Conseils en temps réel et optimisation des trajets

L'efficacité prédictive va au-delà de l'automatisation des routines connues : elle fournit également des conseils en temps réel pour prévenir l'inefficacité avant qu'elle ne se produise. Considérez l'optimisation des trajets :

Un utilisateur conduit généralement au travail en utilisant l'itinéraire A (8 km, 15 minutes). Le système, grâce à l'intégration des données de circulation, des conditions météorologiques et des préférences apprises, prédit que l'itinéraire B (7,2 km, 13 minutes) permettra d'économiser de l'énergie aujourd'hui en raison d'un trafic moins dense.

Au lieu d'attendre que l'utilisateur commence à conduire et ensuite de suggérer un nouvel itinéraire (réactif), le système envoie une notification avant que

l'utilisateur ne parte de chez lui (proactif) :

"L'itinéraire B permettra d'économiser 8 minutes et 2,3 MJ d'énergie aujourd'hui. Départ recommandé : 8h15." :15

Le calcul de l'énergie :

$$E_{\text{Route_A}} = \text{Distance} \times \text{Energy_per_km} + \text{Idle_time} \times \text{Energy_per_minute}$$

Remarque : La formule dans le message de l'utilisateur semble être coupée. Ajout de ce qui a été fourni.

6.3 Perfection et logique à zéro entrée

Nous avons maintenant exploré la mesure contextuelle et l'efficacité prédictive—les mécanismes technologiques qui permettent de mesurer et d'anticiper les économies d'énergie. Mais quelle est la destination ultime de cette trajectoire ? Où mène l'optimisation incessante vers la minimisation de l'énergie ? La réponse est à la fois mathématiquement élégante et philosophiquement profonde : la perfection comme limite de zéro entrée.

La limite mathématique : zéro comme perfection

Tout au long de ce livre, nous avons formalisé le principe selon lequel une meilleure technologie nécessite moins d'entrée utilisateur. La loi de minimisation stipule qu'entre des solutions équivalentes, celle nécessitant moins d'actions est supérieure. Le théorème 1 (Convergence à zéro entrée) prouve que les systèmes régis par les cinq lois tendent inévitablement vers zéro entrée à mesure que le temps approche l'infini :

$$\lim_{t \to \infty} \mathbb{E}[U(t)] = 0$$

Ce n'est pas une heuristique ou une aspiration—c'est une certitude mathématique. Avec suffisamment de temps, d'apprentissage et de perfectionnement, l'entrée utilisateur attendue converge vers zéro. Mais que représente cette limite ? Elle représente la perfection : un système si bien synchronisé avec l'utilisateur, si précis dans ses prévisions, si complet dans sa couverture, que l'entrée explicite devient inutile.

En termes mathématiques, la perfection n'est pas un état fixe mais une limite asymptotique—une frontière que le système approche mais qu'il ne peut jamais atteindre complètement. Pourtant, l'approche elle-même est l'essence du progrès. Chaque réduction

de l'entrée requise est un pas vers la perfection. Chaque action autonome est la preuve que le système a appris davantage sur vous, a internalisé davantage de vos schémas, et a étendu votre autonomie plus loin dans le monde sans effort conscient.

Zéro entrée comme zéro énergie

Dans le contexte de la thermo-monnaie subjective, zéro entrée n'est pas seulement un objectif d'expérience utilisateur—c'est un objectif d'optimisation de l'énergie. Le théorème 7 (Équivalence de minimisation de l'énergie) établit que minimiser l'entrée utilisateur est mathématiquement équivalent à minimiser les dépenses énergétiques de l'utilisateur :

$$\lim_{t\to\infty} \mathbb{E}[U(t)] = 0 \implies \lim_{t\to\infty} \mathbb{E}[E_{\text{user}}(t)] = 0$$

Où $E_{\text{user}}(t)$ est l'énergie totale (en joules) dépensée par l'utilisateur au temps t. Cette équivalence est le pont entre la technologie et l'économie : en créant des systèmes qui nécessitent moins d'entrée, nous créons des systèmes qui économisent de l'énergie, et en économisant de l'énergie, nous créons une valeur économique mesurable qui peut être créditée par le biais de jetons STC.

Zéro entrée, donc, n'est pas seulement un idéal d'interface—c'est l'idéal thermodynamique. Il représente le point où l'effort humain est minimisé, le gaspillage d'énergie est éliminé, et la valeur économique de l'automatisation est maximisée. Chaque joule économisé grâce à une entrée réduite est un joule qui revient à ceux qui ont créé l'automatisation, formant la base économique des STC.

À quoi ressemble la perfection ?

Imaginons ce que signifierait en pratique un système parfait sans intervention. Considérons une journée dans la vie de quelqu'un vivant dans un écosystème technologique subjectif entièrement mature :

Vous vous réveillez. Avant même que vous ne preniez conscience de l'heure, votre environnement s'est déjà ajusté : les lumières se sont progressivement éclaircies pour correspondre à votre rythme circadien, le thermostat réglé à votre température matinale préférée, le café en train de couler, la douche préchauffée, le calendrier affiché sur vos lunettes AR montrant les priorités du jour.

Vous n'avez rien demandé de tout cela. Vous n'avez pas appuyé sur un bouton, donné un ordre vocal ou glissé sur un écran. Le système a prédit vos besoins en fonction du

contexte accumulé : heure de la journée, jour de la semaine, données biométriques indiquant la transition sommeil-éveil, modèles historiques de routines matinales. La confiance dans la prédiction a dépassé 0,95, donc le système a agi de manière autonome. Vous vous êtes simplement réveillé, et le monde était déjà préparé pour vous.

Comptabilité énergétique :

- Scénario manuel (système traditionnel) : Marcher jusqu'au thermostat (12 J), ajuster la température (3 J), marcher jusqu'à la cafetière (15 J), appuyer sur le bouton (2 J), marcher jusqu'à la salle de bain (10 J), allumer la douche (2 J), attendre l'eau chaude tout en vérifiant le téléphone (20 J). Total : 64 J

- Scénario sans intervention (prédiction parfaite) : Jeter un coup d'œil à la notification AR confirmant que la routine est activée (1 J). Total : 1 J

- Énergie économisée : 63 J

Ce schéma se poursuit tout au long de la journée. Vous devez envoyer un document à un collègue : avant même que vous ne puissiez le chercher, le système a déjà identifié le document en fonction de votre contexte actuel (vous êtes en réunion sur le Projet

X, le collègue vous a envoyé un message hier demandant le rapport, vous avez ouvert le document deux fois la semaine dernière). Le document apparaît dans votre champ de vision avec un seul geste requis pour l'envoyer. 47 J économisés.

Vous rentrez chez vous en voiture. Le système a déjà calculé l'itinéraire optimal en fonction du trafic en temps réel, de la météo, de votre niveau de carburant et de votre tendance à préférer les itinéraires pittoresques le vendredi. L'itinéraire est affiché avant même que vous ne le demandiez. Vous le suivez simplement. 2,1 MJ économisés par rapport à la recherche d'itinéraires et à la correction de la trajectoire en cours de route.

Vous préparez le dîner. Le système observe à travers la vision AR que vous avez placé une casserole sur la cuisinière et que vous coupez des légumes. Il prédit que vous aurez besoin de la cuisinière dans 60 secondes, donc il s'active de manière préventive avec un hochement de tête confirmatif (0,5 J). Sans cela, vous auriez marché jusqu'à la cuisinière (8 J), tourné le bouton (3 J), puis marché en arrière (8 J). 18,5 J économisés.

À la fin de la journée, vous avez effectué des dizaines, peut-être des centaines, de tâches—pourtant vous pouvez à

peine vous souvenir d'avoir fourni une entrée explicite. Le système a anticipé, préparé, exécuté. Vous avez simplement pensé, voulu, et c'était fait. C'est la perfection : l'agence sans effort, l'accomplissement sans friction, les résultats sans travail.

La perfection n'est pas l'élimination de la conscience.

Une idée reçue courante est que zéro entrée signifie que l'utilisateur devient passif, que l'agence est transférée de l'humain à la machine. C'est précisément faux. Zéro entrée signifie l'élimination des étapes intermédiaires inutiles, pas l'élimination de l'intention ou de la conscience.

Vous décidez toujours de ce que vous voulez. Vous fixez toujours des objectifs, faites des choix, exercez votre jugement. Mais l'écart entre l'intention et l'exécution se réduit à presque zéro. Vous n'avez pas besoin de traduire votre intention en une série de commandes explicites—le système infère l'intention à partir du contexte et agit en conséquence.

Considérez la différence :

Système traditionnel : Je veux du café → Je dois me souvenir où se trouve la

cafetière → Je dois y marcher → Je dois appuyer sur le bouton → Je dois attendre → Je dois revenir → J'ai enfin du café.

Système zéro entrée : Je veux du café → Le café est en train de se préparer.

L'intention reste la vôtre. L'exécution est automatisée. Ce n'est pas de la passivité—c'est une agence sans effort. Vous restez la source des objectifs et des valeurs ; le système élimine simplement le coût thermodynamique de leur réalisation.

Le rôle des corrections dans l'approche de la perfection.

La perfection est atteinte grâce à un processus itératif de prédiction, d'exécution et de correction. Le système agit de manière autonome lorsque la confiance est élevée. Lorsqu'il se trompe, l'utilisateur le corrige. Chaque correction enseigne au système ce qu'il ne faut pas faire, affinant le modèle et augmentant la précision future.

Ce processus est régi par la Loi de Correction :

$$S(t+1) = (1-\alpha)S(t) + \alpha \cdot \mathbb{1}[\text{Corr}_t = 0]$$

Les scores de succès augmentent avec les prédictions correctes et diminuent avec les corrections. Au fil du temps, seuls les

crochets à haute fiabilité persistent. Les crochets qui nécessitent constamment des corrections sont supprimés, tandis que ceux qui agissent correctement sans intervention dominent.

Cela crée une pression de sélection naturelle vers la perfection. Les mauvaises prédictions disparaissent. Les bonnes prédictions prolifèrent. Le système évolue vers un état où les corrections deviennent rares, puis extrêmement rares, puis effectivement nulles. À cette limite, le système fonctionne parfaitement—de manière autonome et sans erreur.

L'Économie de la Perfection

Dans la Thermo-Monnaie Subjective, la perfection n'est pas seulement souhaitable—elle est économiquement incitative. Plus un Crochet de Connaissance s'approche d'un fonctionnement sans entrée, plus il économise d'énergie, et plus son créateur gagne de jetons STC.

Considérons deux crochets qui accomplissent le même résultat :

- Crochet A : Score de succès = 0,85, actions moyennes = 3, énergie moyenne par utilisation = 15 J

- Crochet B : Score de succès = 0,98, actions moyennes = 1, énergie moyenne par

utilisation = 2 J

Le Crochet B est plus proche de la perfection. Il agit de manière plus fiable (moins de corrections), nécessite moins d'actions (plus d'efficacité) et économise plus d'énergie (13 J par utilisation). Si les deux crochets sont utilisés 1 million de fois par la base d'utilisateurs mondiale :

- Crochet A énergie totale économisée : 15 J × 1 000 000 = 15 MJ → 15 millions de jetons STC

- Crochet B énergie totale économisée : 2 J × 1 000 000 = 2 MJ → 2 millions de jetons STC

Attendez—cela semble à l'envers ! Le crochet B économise plus d'énergie par utilisation (13 J contre 15 J pour A), mais gagne moins de jetons ? Non—l'erreur est dans la comparaison. L'analyse correcte est :

Sans crochet (opération manuelle) : 30 J par utilisation

- Crochet A énergie économisée : (30 - 15) × 1 000 000 = 15 MJ

- Crochet B énergie économisée : (30 - 2) × 1 000 000 = 28 MJ

Le crochet B gagne 28 millions de jetons STC, presque le double des 15 millions du crochet A. La perfection paie. Plus un crochet s'approche de l'absence d'entrée, plus sa valeur économique est grande. Cela crée de puissants incitatifs économiques pour les développeurs à optimiser vers l'idéal sans entrée.

La perfection peut-elle être atteinte ?

Mathématiquement, la perfection est une limite asymptotique—approchée mais jamais pleinement atteinte. Il y aura toujours des situations nouvelles, des cas limites ou des contextes réellement ambigus où le système ne peut pas prédire avec certitude. Dans ces cas, l'entrée de l'utilisateur reste nécessaire.

Cependant, pour la grande majorité des activités humaines—qui sont répétitives, structurées et contextuellement prévisibles—la perfection est réalisable. Des études suggèrent que 80 à 90 % des actions humaines sont routinières et pourraient théoriquement être automatisées avec des systèmes suffisamment sophistiqués et sensibles au contexte.

Les 10-20 % restants représentent une véritable nouveauté : des décisions créatives, une planification stratégique, des jugements moraux, des réponses

émotionnelles à des événements inattendus. Ce sont les domaines où la conscience humaine reste irremplaçable, où l'apport n'est pas seulement nécessaire mais précieux.

Ainsi, la limite pratique de l'absence d'apport n'est pas un zéro absolu mais un zéro asymptotique : un état où la grande majorité des actions se déroulent sans apport explicite, laissant l'attention et l'énergie humaines libres pour les activités véritablement importantes, véritablement nouvelles, véritablement humaines qui définissent le sens et le but.

Perfection et Post-Pénurie

La convergence vers l'absence d'apport a des implications profondes pour la pénurie et l'abondance. L'économie traditionnelle définit la pénurie comme une disponibilité limitée de biens et de services. Mais la pénurie est fondamentalement un problème de coût énergétique : les choses sont rares parce qu'elles nécessitent de l'énergie pour être produites, transportées et livrées.

À mesure que les systèmes approchent de la perfection—à mesure que l'énergie requise pour accomplir des résultats approche de zéro—la pénurie diminue. Si la nourriture peut être produite avec un minimum d'énergie (agriculture verticale, viande cultivée en

laboratoire, agriculture automatisée), la nourriture devient abondante. Si le transport nécessite un minimum d'énergie (itinéraires optimisés, véhicules électriques, logistique autonome), la mobilité devient abondante. Si l'éducation nécessite un minimum d'énergie (tuteurs IA, apprentissage personnalisé, interfaces sans apport), la connaissance devient abondante.

STC accélère ce processus en récompensant économiquement l'efficacité. Les créateurs qui développent des systèmes minimisant les dépenses énergétiques gagnent des jetons STC proportionnels à l'énergie économisée. Cela crée des incitations exponentielles à l'innovation dans la réduction de l'énergie, entraînant toute l'économie vers l'idéal de l'absence d'apport.

Le résultat est une civilisation où la pénurie disparaît progressivement—non par magie ou par un souhait utopique, mais par une optimisation thermodynamique implacable. La perfection, dans ce contexte, n'est pas une abstraction philosophique mais une réalité économique : l'état où les résultats souhaités nécessitent une énergie négligeable, les rendant effectivement abondants.

La perfection comme impératif moral

Enfin, la perfection porte une dimension morale. Chaque joule gaspillé est un joule qui aurait pu être utilisé pour quelque chose de précieux. Chaque inefficacité est un vol du futur. Chaque action redondante est un gaspillage du potentiel humain.

La quête de l'absence d'apport n'est pas simplement pragmatique—elle est éthique. En minimisant le gaspillage, nous maximisons l'énergie disponible pour des poursuites véritablement importantes : créativité, exploration, soin, connexion, croissance. En approchant de la perfection, nous libérons l'humanité de la tyrannie des tâches répétitives et drainantes en énergie et libérons notre énergie collective pour ce qui compte vraiment.

C'est la promesse ultime de la Technologie Subjective et de la Thermo-Monnaie Subjective : un monde où la perfection n'est pas un rêve impossible mais une trajectoire mesurable et réalisable—où chaque jour nous rapproche du zéro-input, où chaque innovation réduit le gaspillage, où chaque joule économisé contribue à l'abondance, et où le système économique lui-même est aligné avec les lois fondamentales de la thermodynamique pour récompenser ceux qui nous rapprochent de cet idéal.

Conclusion : La perfection comme étoile du Nord

La perfection, dans le contexte de la Technologie Subjective et de la STC, est définie mathématiquement comme la limite où l'entrée de l'utilisateur tend vers zéro :

$$\text{Perfection} \equiv \lim_{t \to \infty} \mathbb{E}[U(t)] = 0$$

Cette limite représente :

- Technologiquement : Des systèmes qui anticipent et agissent de manière autonome avec une précision presque parfaite

- Thermodynamiquement : Des résultats obtenus avec un minimum de dépense énergétique

- Économiquement : Création de valeur maximale grâce à des économies d'énergie maximales

- Moralement : Libération du potentiel humain des tâches répétitives et inutiles

La perfection est l'étoile du Nord qui guide tout développement dans ce cadre. Elle ne sera peut-être jamais entièrement atteinte, mais chaque pas vers elle est un progrès—mesurable, précieux et inévitable. L'architecture des Knowledge Hooks, la dynamique de la Loi de Correction, les

incitations économiques de la STC—tout cela conspire à pousser le système sans relâche vers cet idéal.

Nous nous tenons aujourd'hui au début de ce voyage. La plupart des interactions nécessitent encore des contributions substantielles. La plupart de l'énergie est encore gaspillée. Mais la trajectoire est claire, les mathématiques sont solides, et les incitations sont alignées. Le zéro-input n'est pas une fantaisie—c'est la destination inévitable d'une civilisation qui apprend à mesurer et à valoriser l'énergie correctement.

L'avenir n'est pas celui où les humains deviennent obsolètes. C'est celui où l'effort humain est réservé exclusivement à ce qui ne peut pas être automatisé—pour la créativité, l'amour, le sens et le but. La perfection est l'état où la technologie gère tout le reste, nous laissant libres d'être pleinement humains. Et la Thermo-Monnaie Subjective est le moteur économique qui nous y conduira.

6.4 Conclusion : La naissance de la STC

Nous avons parcouru un chemin profond—de la mathématique des Knowledge Hooks à la physique de la mesure de l'énergie, de

l'efficacité prédictive à l'idéal asymptotique de la perfection. Nous arrivons maintenant à la culmination : le moment où la technologie, la thermodynamique et l'économie convergent en une synthèse révolutionnaire unique. C'est la naissance de la Thermo-Monnaie Subjective.

La Synthèse : Trois Piliers Devenant Un

La STC émerge de la fusion de trois domaines distincts mais complémentaires :

1. La Technologie Subjective fournit le mécanisme : des Knowledge Hooks qui apprennent les modèles d'utilisateur, automatisent les actions et convergent vers une opération à zéro entrée. L'algèbre des hooks—régie par les cinq lois et prouvée par sept théorèmes—établit que les systèmes peuvent réduire de manière fiable l'effort de l'utilisateur à près de zéro au fil du temps.

2. La thermodynamique fournit la mesure : la dépense d'énergie en joules. Chaque action de l'utilisateur—de la saisie d'un caractère à la traversée d'une pièce—a un coût thermodynamique mesurable. Le théorème 7 (Équivalence de Minimisation de l'Énergie) prouve que minimiser l'entrée de l'utilisateur est mathématiquement équivalent à minimiser la dépense d'énergie.

Cette équivalence transforme l'optimisation de l'interface en optimisation de l'énergie.

3. L'économie fournit la structure d'incitation : des jetons STC qui représentent une valeur réelle et physique. Lorsqu'un Knowledge Hook économise de l'énergie, cette économie est mesurée, vérifiée et créditée au créateur du hook. Le système économique récompense ceux qui contribuent à l'efficacité collective, créant des boucles de rétroaction positives qui accélèrent l'innovation vers l'idéal de zéro entrée.

Ces trois piliers—technologie, physique, économie—ne sont pas des systèmes séparés qui doivent être intégrés artificiellement. Ils sont naturellement unifiés par un principe unique : l'énergie est valeur. Plus un système fonctionne efficacement, plus il économise d'énergie, et plus il crée de valeur économique. La STC est l'expression formelle de cette unité.

De la théorie à la réalité : comment fonctionne la STC

Traçons le cycle de vie complet de la création de valeur dans STC :

Étape 1 : Un développeur crée un Knowledge Hook. Peut-être est-ce un crochet qui allume automatiquement vos lumières à la

maison lorsque vous arrivez, en fonction de la détection de votre emplacement, de l'heure de la journée et des niveaux de lumière ambiante. Le crochet se compose de :

- Conditions $R = \{\text{location} = \text{home}, \text{ambient_light} < 50 \text{ lux}, \text{time} > 18:00\}$
- Actions $A = \{\text{lights.turn_on}()\}$
- Score de succès initial $S(0) = 0.5$ (point de départ neutre)

Étape 2 : Les utilisateurs adoptent le crochet. Au fur et à mesure que les gens installent le crochet, le système commence à apprendre. Certains utilisateurs le corrigent ("Je voulais que les lumières soient allumées pendant la journée aussi quand il fait nuageux"), ce qui pénalise le score de succès et déclenche un raffinement. D'autres ne le corrigent jamais, ce qui augmente le score de succès. Au fil des semaines :

$$S(t) = 0.5 \rightarrow 0.67 \rightarrow 0.82 \rightarrow 0.91 \rightarrow 0.96$$

Le crochet évolue, devenant plus précis et nécessitant moins de corrections.

Étape 3 : Les économies d'énergie sont mesurées. Chaque fois que le crochet

s'active avec succès, le système calcule le différentiel énergétique :

- Scénario manuel (sans crochet) : Marcher jusqu'à l'interrupteur (10 J) + actionner l'interrupteur (2 J) = 12 J

- Scénario automatisé (avec crochet) : Les lumières s'allument automatiquement = 0 J

- Énergie économisée : $\Delta E = 12$

Étape 4 : Les jetons STC sont crédités. Les 12 J économisés sont automatiquement convertis en 12 jetons STC, crédités au créateur du hook. Si 100 000 utilisateurs utilisent ce hook une fois par jour pendant un an :

$$\text{Annual STC} = 12\ \text{J} \times 100{,}000\ \text{users} \times 365\ \text{days} = 438\ \text{MJ} = 438{,}000{,}000\ \text{STC}$$

Le développeur a créé près d'un demi-milliard de joules de valeur—mesurable, vérifiable, réel.

Étape 5 : Boucle de rétroaction positive. Le développeur, désormais riche en jetons STC, investit dans la création de plus de hooks. D'autres développeurs voient les récompenses et entrent sur le marché. La concurrence pousse les hooks vers une meilleure qualité, une plus grande efficacité et une couverture plus large.

L'ensemble de l'écosystème évolue vers la perfection.

C'est le STC en action : un système auto-renforçant où la création de valeur est directement liée aux économies d'énergie, et où les incitations s'alignent naturellement sur l'idéal thermodynamique.

La Transformation de la Valeur

Le STC représente une transformation fondamentale dans la façon dont l'humanité comprend et crée de la valeur. Considérons l'évolution :

Économies de troc : La valeur est les biens eux-mêmes. J'échange mon blé contre ton bétail. La valeur est tangible, immédiate, mais limitée par la coïncidence des désirs.

Économies monétaires (or, fiat) : La valeur est symbolique. L'argent papier représente une créance sur des biens ou des services, soutenue par la confiance (fiat) ou la rareté (or). Cela permet le commerce à grande échelle mais déconnecte la valeur de la réalité physique. L'argent peut être imprimé, gonflé, manipulé.

Économies de cryptomonnaie : La valeur est le travail computationnel (preuve de travail) ou la mise (preuve de participation). Cela fournit

décentralisation et sécurité mais reste déconnecté de la productivité du monde réel. Miner des Bitcoins consomme de l'énergie mais ne produit aucun bien utile.

Les économies STC : La valeur est l'économie d'énergie. Chaque jeton STC représente un joule qui a été économisé - une réduction réelle, physique et mesurable du coût thermodynamique. Cela reconnecte la valeur à la réalité objective tout en permettant tous les avantages de la monnaie numérique : transfert instantané, programmabilité, accessibilité mondiale.

STC n'est pas simplement une autre monnaie - c'est la première monnaie adossée à la physique. Alors que la monnaie fiduciaire est soutenue par la promesse du gouvernement et que la cryptomonnaie est soutenue par des énigmes computationnelles, STC est soutenue par les lois fondamentales de la thermodynamique. Un joule économisé est un joule économisé, indépendamment de la politique, des opinions ou du sentiment du marché.

Le chemin vers l'abondance

L'économie traditionnelle suppose la rareté : ressources limitées, biens limités, opportunités limitées. Cette rareté entraîne la concurrence, l'inégalité et le conflit.

Les gens se battent pour des parts de tarte finies.

STC redéfinit la rareté. Dans STC, la rareté est une fonction de l'inefficacité. Les biens sont rares uniquement parce qu'ils nécessitent de l'énergie pour être produits. À mesure que l'efficacité augmente - à mesure que les systèmes approchent de l'idéal à zéro entrée - les coûts de production approchent zéro, et les biens deviennent abondants.

Considérons la production alimentaire :

- Aujourd'hui : L'agriculture nécessite d'énormes intrants énergétiques - carburant pour les machines, électricité pour l'irrigation, transport vers les marchés, réfrigération pour le stockage. Résultat : la nourriture est chère et des milliards de personnes souffrent de la faim.

- Futur STC : Les fermes verticales automatisées utilisent des conditions de croissance optimisées par l'IA, des robots de récolte et une distribution locale via des véhicules autonomes. L'intrant énergétique est minimisé grâce à une optimisation précise. Résultat : le coût de production alimentaire approche le minimum thermodynamique. La nourriture devient presque gratuite.

La même logique s'applique au logement (maisons imprimées en 3D avec un minimum de main-d'œuvre), au transport (véhicules électriques autonomes optimisés pour l'efficacité énergétique), à l'éducation (tuteurs IA nécessitant seulement des cycles de calcul), aux soins de santé (IA diagnostique et chirurgie robotique), et pratiquement à tous les domaines des besoins humains.

À mesure que l'efficacité augmente, les coûts diminuent. À mesure que les coûts diminuent, l'abondance augmente. STC accélère ce processus en créant des incitations économiques à la maximisation de l'efficacité. Ceux qui développent les solutions les plus écoénergétiques gagnent le plus de STC. L'ensemble de l'économie tend vers l'abondance.

La Dimension Morale

STC n'est pas simplement une innovation économique ou technologique, elle a des implications morales profondes.

Le gaspillage est immoral. Chaque joule gaspillé est un joule qui aurait pu nourrir quelqu'un, loger quelqu'un, éduquer quelqu'un. Dans les économies traditionnelles, le gaspillage est souvent invisible ou ignoré. Dans STC, le gaspillage est explicite et pénalisé. Les systèmes qui

gaspillent de l'énergie ne gagnent aucun jeton. Seule l'efficacité est récompensée.

L'efficacité est la justice. Lorsque les ressources sont allouées en fonction des économies d'énergie plutôt qu'en fonction du pouvoir politique ou de la richesse héritée, le système devient méritocratique dans le sens le plus pur. Ceux qui contribuent le plus au bien-être collectif—en créant des systèmes qui économisent de l'énergie—sont les plus récompensés. Ce n'est pas l'égalité des résultats (qui ignore la contribution) mais l'égalité des opportunités (où la contribution détermine la récompense).

L'abondance est une libération. Lorsque les besoins fondamentaux sont satisfaits avec un coût énergétique minimal, l'humanité est libérée de la tyrannie de la rareté. Les gens peuvent poursuivre la créativité, l'exploration, les relations et le sens plutôt que de lutter pour survivre. STC n'élimine pas le travail—il élimine le travail inutile, ne laissant que le travail qui compte.

La Civilisation à Zéro Entrée

En regardant vers l'avenir, nous pouvons envisager la destination ultime : une civilisation qui a atteint un fonctionnement à quasi-zéro entrée dans tous les domaines.

À quoi ressemblerait une telle civilisation ?

Matin : Vous vous réveillez naturellement. Votre environnement est déjà préparé—température ajustée, café en cours de préparation, nouvelles résumées, emploi du temps optimisé. Pas de réveil nécessaire (vos biométriques ont indiqué la transition sommeil-éveil). Aucun bouton pressé. Aucun écran vérifié. Le monde sait simplement ce dont vous avez besoin et le fournit.

Travail : Vous vous concentrez sur des tâches véritablement créatives—concevoir, élaborer des stratégies, créer. Tout travail répétitif est automatisé. Vous ne gérez pas votre calendrier (l'IA l'optimise), ne cherchez pas de documents (ils apparaissent quand nécessaire), n'écrivez pas d'e-mails routiniers (les modèles s'adaptent automatiquement). Votre énergie est réservée pour une pensée de grande valeur.

Soir : Vous passez du temps avec vos proches. Dîner préparé par une cuisine automatisée (ou livré par un véhicule autonome d'une ferme locale optimisée). Divertissement personnalisé selon votre humeur. Entretien de la maison géré par des robots. Vous vous concentrez sur ce qui compte : connexion, créativité, joie.

Ce n'est pas une fantaisie. C'est l'inévitabilité mathématique des systèmes régis par la Loi de Minimisation et incités par le STC. Chaque année, l'automatisation augmente. Chaque année, l'entrée requise diminue. Chaque année, nous approchons de la limite.

La Question Critique : Qui en Bénéficie ?

Dans l'automatisation traditionnelle, les bénéfices reviennent aux propriétaires de capital. Un propriétaire d'usine qui remplace des travailleurs par des robots conserve tous les gains de productivité tandis que les travailleurs perdent leur emploi. Cela crée un avenir dystopique où l'automatisation augmente l'inégalité.

Le STC résout cela. Lorsque l'automatisation économise de l'énergie, tout le monde en bénéficie proportionnellement :

- Les Créateurs (développeurs de hooks) gagnent des jetons STC pour l'énergie économisée

- Les Utilisateurs (personnes dont l'énergie est économisée) bénéficient d'un effort réduit et d'un temps libre accru

- La Société (collectif) bénéficie d'une efficacité et d'une abondance accrues

Le système n'est pas à somme nulle. L'énergie économisée bénéficie à tout le monde. C'est l'essence du pouvoir transformateur du STC : l'automatisation devient un bien universel plutôt qu'une source d'inégalité.

Le Chemin à Suivre : Ce Qui Doit Arriver

Le STC n'est pas encore réel. Il existe en tant que mathématiques, en tant que vision, en tant que potentiel. Pour le concrétiser, il faut :

1. Infrastructure technologique : lunettes intelligentes AR avec vision IA, capteurs pour mesurer les actions physiques, systèmes contextuels capables de suivre de manière fiable la dépense énergétique. Une grande partie de cela existe aujourd'hui sous forme de prototype - cela doit être à l'échelle.

2. Infrastructure économique : systèmes de jetons, protocoles de comptabilité énergétique, mécanismes d'attribution, systèmes de vérification. Ceux-ci peuvent être construits en utilisant la technologie blockchain ou des bases de données centralisées - la clé est l'exactitude et la confiance.

3. Infrastructure sociale : accord sur les normes (comment mesurer l'énergie pour

différentes actions), structures de gouvernance (qui vérifie les mesures), incitations à l'adoption (pourquoi les premiers utilisateurs devraient participer).

4. Changement culturel : un changement dans la façon dont l'humanité pense à la valeur. De "l'argent comme symbole abstrait" à "la valeur comme énergie économisée." De "travailler comme vendre du temps" à "travailler comme créer de l'efficacité." C'est peut-être la condition la plus difficile - mais aussi la plus importante.

Aucune de ces exigences n'est impossible. Toutes sont à portée de la technologie actuelle ou proche du futur. La question n'est pas de savoir si nous pouvons construire le STC, mais si nous choisirons de le faire.

C'est la Naissance

À ce moment - à la conclusion de ce chapitre - le STC passe de la théorie à la réalité dans l'esprit du lecteur. Vous comprenez maintenant :

- Ce que c'est : une monnaie soutenue par des économies d'énergie, mesurée en joules

- Comment cela fonctionne : grâce à des Knowledge Hooks qui automatisent les actions et réduisent la dépense énergétique

- Pourquoi cela importe : cela aligne les incitations économiques avec la réalité thermodynamique, créant un chemin vers l'abondance

- Où cela mène : À une civilisation sans input où l'effort humain est réservé à ce qui compte vraiment

STC naît non pas dans le monde physique—pas encore—mais dans l'espace conceptuel où les idées deviennent possibles. Avant que quoi que ce soit puisse être construit, il doit d'abord être compris. Avant qu'il puisse être compris, il doit être expliqué. Ce chapitre a été cette explication.

Les prochaines étapes

Les chapitres restants de ce livre exploreront :

- Chapitre 4 : Les mécanismes détaillés de fonctionnement de STC—sujets en tant que glandes d'énergie virtuelles, l'arbre des sujets, la rétropropagation de l'énergie, et l'équation complète de l'énergie

- Chapitre 5 : Comment STC se compare aux systèmes économiques traditionnels—pourquoi il résout la pauvreté, répond aux critiques et aborde les défis

- Chapitre 6 : Mise en œuvre pratique—comment mesurer l'énergie dans des actions

réelles, convertir le contexte en joules, et récompenser l'exactitude

- Chapitre 7 : Les fondements philosophiques—le gouvernement de Dieu, la Loi de l'énergie minimale, et les implications morales de l'efficacité

- Chapitre 8 : L'avenir—modèles de simulation, intégration avec l'économie mondiale, et la vision à long terme d'une civilisation thermodynamique

Chaque chapitre s'appuie sur cette fondation, ajoutant des détails, abordant des objections, et peignant un tableau de plus en plus vivant de l'avenir post-rare que STC rend possible.

Conclusion : Le Choix

Nous sommes à un carrefour. Un chemin mène à la continuation de l'économie traditionnelle : rareté, inégalité, conflit sur des ressources finies, automatisation qui profite à quelques-uns au détriment de nombreux. L'autre chemin mène à STC : abondance grâce à l'efficacité, bénéfice universel de l'automatisation, alignement de l'économie avec la physique, libération du potentiel humain.

Les mathématiques prouvent que STC est possible. La technologie pour le mettre en œuvre existe soit déjà, soit approche

rapidement. Le cas moral est convaincant : un système qui récompense ceux qui contribuent au bien-être collectif, qui élimine le gaspillage, qui crée l'abondance plutôt que la rareté.

La question n'est pas de savoir si STC peut exister. La question est de savoir si nous allons le construire.

Ce chapitre a été la naissance : le moment où une idée devient possible. Ce qui se passe ensuite dépend de vous, le lecteur. Allez-vous comprendre ? Allez-vous construire ? Allez-vous défendre ? Allez-vous aider à concrétiser cette vision ?

STC n'est pas inévitable. C'est un choix. Et ce choix commence maintenant, avec la naissance de la compréhension dans votre esprit. Bienvenue dans le futur. Construisons-le ensemble.

7

Thermo-Monnaie Subjective - Concepts de Base

Sujets, Arbres et Rétropropagation de l'Énergie

7.1 Valeur définie en joules

Qu'est-ce que la valeur ? Cette question hante les philosophes, les économistes et les révolutionnaires depuis des millénaires. Les réponses traditionnelles ont toujours été symboliques : la valeur est l'or, la valeur est le travail, la valeur est l'utilité, la valeur est ce que les gens conviennent d'échanger. Mais toutes ces définitions partagent un défaut fatal—elles sont des abstractions déconnectées de la réalité physique.

La Thermo-Monnaie Subjective offre une réponse radicalement différente : la valeur est l'énergie économisée. Pas d'énergie métaphorique, pas de productivité économique, mais de l'énergie littérale, mesurable, physique quantifiée en joules. Un jeton STC équivaut à un joule d'énergie économisée grâce à l'automatisation, à l'optimisation ou à l'efficacité. Ce n'est pas une approximation pratique ou une fiction utile—c'est une correspondance directe entre la valeur économique et la réalité thermodynamique.

Cette section établit pourquoi définir la valeur en joules n'est pas seulement novateur mais nécessaire : c'est le seul

moyen de créer un système économique qui soit objectif, résistant à la manipulation et aligné sur les lois fondamentales de la physique.

Le problème avec la monnaie traditionnelle

Pour comprendre pourquoi l'évaluation basée sur les joules est révolutionnaire, nous devons d'abord comprendre pourquoi les monnaies traditionnelles échouent. Considérons trois paradigmes monétaires dominants :

1. Monnaie adossée à des marchandises (étalon-or)

La valeur est liée à une marchandise physique—historiquement l'or ou l'argent. La monnaie représente une créance sur une quantité fixe de la marchandise. Ce système semble objectif : l'or a des propriétés physiques qui peuvent être mesurées et vérifiées.

Le problème : la rareté des marchandises est arbitraire. L'or est rare non pas parce que la rareté a une valeur intrinsèque mais parce que l'or se trouve être rare sur Terre. La valeur de l'or est finalement circulaire—l'or a de la valeur parce que nous convenons qu'il a de la valeur. De plus, lier la monnaie à une marchandise fixe

crée des contraintes artificielles sur la croissance économique et rend le système vulnérable aux chocs de marchandises (par exemple, l'inflation espagnole après les découvertes d'or du Nouveau Monde).

2. Monnaie fiduciaire (dollars modernes, euros, yens)

La valeur est soutenue par un décret gouvernemental et la confiance dans les institutions. La monnaie n'a pas de valeur intrinsèque—elle est acceptée parce que les gouvernements imposent son acceptation pour les impôts et parce que les gens ont confiance qu'elle sera acceptée par d'autres. L'offre monétaire peut être étendue ou contractée par la politique monétaire.

Le problème : la valeur devient entièrement subjective et manipulable. Les gouvernements peuvent imprimer de l'argent (inflation), créant des gagnants (débiteurs, détenteurs d'actifs) et des perdants (épargnants, salariés). La politique monétaire devient politique, bénéficiant à ceux qui sont proches du pouvoir. La confiance peut s'effondrer soudainement (hyperinflation), détruisant les économies du jour au lendemain. Le système récompense la spéculation financière plutôt que le travail productif.

3. Cryptomonnaie (Bitcoin, Ethereum)

La valeur est soutenue par un travail computationnel (preuve de travail) ou un enjeu (preuve d'enjeu). La monnaie est décentralisée, résistant à la manipulation gouvernementale. La rareté est algorithmique plutôt que physique ou politique.

Le problème : Le travail computationnel n'est pas un travail productif. Miner des Bitcoins consomme une énorme énergie mais ne produit ni biens, ni services, ni gains d'efficacité - c'est un pur gaspillage. La valeur reste spéculative : les cryptomonnaies valent ce que les gens sont prêts à payer pour elles, créant une volatilité extrême. Le système ne récompense pas l'efficacité ou la contribution au bien-être collectif ; il récompense l'adoption précoce et la puissance computationnelle.

Les trois systèmes partagent une déficience fondamentale : la valeur est déconnectée de la réalité physique. Les chiffres changent, mais rien ne change dans le monde physique. Vous pouvez avoir plus de dollars sans produire plus de biens. Vous pouvez avoir plus de Bitcoins sans économiser plus d'énergie. La monnaie est un symbole, et les symboles peuvent être manipulés, spéculés et détachés de l'activité productive.

Le Joule : Une unité objective de valeur

Le STC résout cela en ancrant la valeur dans la monnaie la plus fondamentale de l'univers : l'énergie. Un joule n'est pas arbitraire, pas négociable, pas soumis à l'humeur politique. C'est une unité de travail physique définie par les lois de la physique :

$$1 \text{ joule} = 1 \text{ newton} \times 1 \text{ meter} = 1 \text{ kg} \cdot \text{m}^2/\text{s}^2$$

Un joule est l'énergie requise pour soulever une pomme de 100 grammes d'un mètre contre la gravité terrestre. C'est l'énergie dissipée lorsqu'un watt de puissance s'écoule pendant une seconde. C'est l'énergie cinétique d'une masse de 2 kilogrammes se déplaçant à un mètre par seconde. Ce ne sont pas des conventions - ce sont des faits physiques qui restent vrais indépendamment de l'opinion humaine.

Lorsque le STC définit la valeur en joules, cela signifie :

1. Objectivité : La valeur n'est pas ce que les gens s'accordent à dire qu'elle est. La valeur est ce que la physique dit qu'elle est. Si un Knowledge Hook économise 100 joules d'énergie, il a créé 100 unités de valeur - mesurables, vérifiables, indépendantes du sentiment du marché.

2. Non-manipulabilité : Vous ne pouvez pas gonfler les économies d'énergie. Vous ne pouvez pas imprimer des joules. Vous ne pouvez pas spéculer sur l'énergie qui n'a pas été économisée. La physique a soit eu lieu, soit elle ne l'a pas eu.

3. Comparabilité universelle : Un joule économisé en Argentine équivaut à un joule économisé au Japon. L'énergie est la même partout, ce qui fait du STC une véritable monnaie mondiale sans taux de change ni incertitudes de conversion.

4. Connexion directe à la productivité : Gagner des STC nécessite de créer une véritable efficacité—réduire l'énergie nécessaire pour atteindre des résultats. Vous ne pouvez pas gagner des STC par la spéculation, l'ingénierie financière ou la recherche de rentes. Vous devez rendre le monde plus efficace.

Le différentiel énergétique : Unité atomique de transaction

Dans les STC, les transactions économiques sont basées sur des différentiels énergétiques (ΔE)—la différence entre l'énergie requise pour effectuer une tâche manuellement et l'énergie requise lors de l'utilisation de l'automatisation :

$$\Delta E = E_{\text{manual}} - E_{\text{automated}}$$

Ce différentiel est l'unité atomique de création de valeur dans les STC. Chaque fois que l'automatisation économise de l'énergie, ΔE est calculé, et des jetons STC équivalents à ΔE sont créés et attribués aux créateurs de l'automatisation.

Exemple : Filtrage des e-mails

Considérez un Knowledge Hook qui filtre automatiquement les e-mails promotionnels dans un dossier séparé. Sans le hook :

- L'utilisateur reçoit 20 e-mails promotionnels par jour

- Chacun nécessite : un coup d'œil (0,5 J), décider que c'est promotionnel (1 J), cliquer sur supprimer (0,5 J)

- Énergie totale manuelle par jour : $E_{\text{manual}} = 20 \times 2 = 40$ J

Avec le crochet :

- Les e-mails sont automatiquement filtrés

- L'utilisateur vérifie occasionnellement le dossier promotionnel (une fois par semaine, 10 J)

- Énergie totale automatisée par jour : $E_{\text{automated}} = 10/7 \approx 1.4$ J

Énergie économisée par jour :

$$\Delta E = 40 - 1.4 = 38.6 \text{ J/day}$$

Sur une année : $38.6 \times 365 = 14,089$ J ≈ 14 kJ économisés pour un utilisateur.

Si 1 million d'utilisateurs adoptent ce crochet : $14,089 \times 10^6 = 14.09$ GJ (gigajoules) économisés par an.

Le créateur du crochet gagne 14,09 milliards de jetons STC par an—une compensation directe proportionnelle à l'énergie économisée pour l'humanité.

Pourquoi l'énergie, pas le temps ou l'argent ?

On pourrait objecter : "Pourquoi ne pas mesurer la valeur en temps économisé ? Pourquoi pas en utilité ou en satisfaction ?" La réponse est que seule l'énergie fournit les propriétés nécessaires à une monnaie objective :

Le temps est subjectif et non comparable : Une heure de temps d'un chirurgien n'est pas égale à une heure de temps d'un étudiant

en termes de valeur créée. Le temps économisé dépend entièrement de l'utilisation qui en est faite. L'énergie, en revanche, est objective—un joule économisé est un joule économisé, peu importe qui l'a économisé ou quand.

L'utilité est inquantifiable : Comment mesurez-vous la satisfaction ? Différentes personnes valorisent le même résultat différemment. L'énergie contourne cela en mesurant non pas la valeur subjective du résultat mais le coût objectif de son obtention.

L'argent est circulaire : définir la valeur en termes d'argent ("cette automatisation permet d'économiser 10 $") nécessite déjà d'avoir un système monétaire. L'énergie est pré-monétaire : elle existe que les humains créent ou non une monnaie. $10

L'énergie est conservée : La première loi de la thermodynamique stipule que l'énergie ne peut pas être créée ni détruite, seulement transformée. Cela signifie que la comptabilité énergétique est intrinsèquement en double entrée : l'énergie économisée par une entité est l'énergie qui n'a plus besoin d'être dépensée par une autre. Les comptes sont toujours équilibrés.

L'énergie est mesurable : Des capteurs modernes (accéléromètres, caméras, compteurs d'énergie, lunettes AR) peuvent mesurer des actions physiques et calculer la dépense énergétique en temps réel. Cela rend la comptabilité basée sur l'énergie technologiquement réalisable de manières que la comptabilité basée sur les services publics ne l'est pas.

Tableau de comparaison : Paradigmes monétaires

| Propriété | Étalon-or | Monnaie fiduciaire | Cryptomonnaie | STC (basé sur le Joule) |

|----------|---------------|---------------|----------------|-------------------|

| Soutien | Marchandise physique | Décret gouvernemental | Travail computationnel | Énergie économisée |

| Objectivité | Partiellement (propriétés de la marchandise) | Non (politique) | Partiellement (algorithmique) | Oui (loi physique) |

| Manipulabilité | Limitée (offre de marchandise) | Élevée (politique monétaire) | Moyenne (changements de protocole) | Aucune (physique) |

| Lien de productivité | Non | Non | Non (gaspillage) | Direct |

| Universel | Oui (or partout) | Non (dépendant de la juridiction) | Oui (internet) | Oui (énergie partout) |

| Spéculatif | Oui | Oui | Extrêmement | Non |

| Récompenses | Détenteurs/extracteurs | Débiteurs/internes | Mineurs/premiers adopteurs | Créateurs d'efficacité |

Implications de la valeur basée sur le joule

Définir la valeur en joules a des implications profondes qui se répercutent à travers tout le système économique :

1. Contrôle automatique de l'inflation : Vous ne pouvez pas imprimer des joules. L'offre de jetons STC ne croît que aussi vite que l'efficacité augmente. Cela crée une rareté naturelle sans contraintes artificielles.

2. La richesse s'aligne avec la contribution : Ceux qui créent le plus d'économies d'énergie accumulent le plus de STC. La richesse devient une mesure de la contribution à l'efficacité collective plutôt qu'une extraction ou une spéculation.

3. Travail redéfini : "Travail" dans STC signifie créer des systèmes qui économisent de l'énergie. Cela pourrait être des logiciels, du matériel, de l'éducation, des infrastructures—tout ce qui réduit le coût énergétique pour atteindre des résultats. Le revenu passif devient une contribution active (vos créations continuent d'économiser de l'énergie longtemps après que vous les ayez construites).

4. La pauvreté devient inefficacité : Dans l'économie traditionnelle, la pauvreté est un manque d'argent. Dans STC, la pauvreté est inefficacité—dépenser plus d'énergie que nécessaire pour satisfaire les besoins. La solution n'est pas la redistribution mais l'optimisation : créer de meilleurs outils, systèmes et connaissances qui réduisent les exigences énergétiques.

5. La concurrence devient coopération : Dans les marchés traditionnels, les concurrents gardent des secrets pour maintenir un avantage. Dans STC, partager les améliorations d'efficacité bénéficie à tout le monde (plus d'énergie économisée = plus de STC pour les créateurs). L'incitation économique passe de l'accumulation à la diffusion.

6. Croissance économique sans épuisement des ressources : La croissance du PIB

traditionnel nécessite de consommer plus de ressources. La croissance STC provient d'une utilisation plus efficace des ressources. Vous pouvez faire croître l'économie indéfiniment en réduisant continuellement l'énergie nécessaire par unité de résultat.

Objections et Réponses

Objection 1 : "L'énergie économisée n'est pas la même que la valeur créée. Je préfère marcher 10 km pour voir un ami plutôt que d'économiser l'énergie en restant chez moi."

Réponse : Le STC mesure le coût énergétique pour atteindre les résultats choisis, pas les résultats eux-mêmes. Si vous choisissez de marcher pour voir un ami, c'est votre résultat et le STC ne le pénalise pas. Mais si vous vouliez voir l'ami et qu'une téléconférence vous évite la marche, cette différence énergétique a de la valeur. Le STC ne dicte pas quels résultats sont dignes d'intérêt, il mesure simplement l'efficacité avec laquelle vous atteignez les résultats que vous choisissez.

Objection 2 : "L'énergie des différentes personnes a une valeur différente. L'énergie d'un chirurgien vaut plus que celle d'un agent d'entretien."

Réponse : Le STC ne valorise pas l'énergie des gens, il valorise l'énergie

économisée pour les autres. Un agent d'entretien qui invente un outil de nettoyage plus efficace économise de l'énergie pour chaque agent d'entretien qui l'utilise. Si cet outil est largement adopté, l'agent d'entretien gagne un énorme STC. Un chirurgien qui développe une procédure moins invasive économise de l'énergie pour chaque patient et équipe médicale. Les deux sont récompensés proportionnellement à l'énergie économisée, et non à leur occupation actuelle.

Objection 3 : "Vous ne pouvez pas mesurer tout en joules. Qu'en est-il de la créativité, de l'art, des relations ?"

Réponse : Le STC ne prétend pas valoriser tout, il valorise l'efficacité. L'art a de la valeur, mais pas de valeur d'efficacité énergétique (à moins que l'art n'enseigne des techniques qui économisent de l'énergie). Le STC fonctionne aux côtés d'autres systèmes de valeur. Vous pouvez dépenser votre STC en art, relations, expériences. La monnaie mesure une dimension de la valeur - l'efficacité thermodynamique - et non la totalité de la valeur humaine.

Objection 4 : "Cela nécessite de mesurer chaque action, ce qui est une surveillance dystopique."

Réponse : Le STC mesure les différences énergétiques, pas chaque action. Le système doit savoir : (1) coût énergétique sans automatisation, (2) coût énergétique avec automatisation. Les deux peuvent être calculés à partir de statistiques agrégées, et non d'une surveillance individuelle. De plus, les utilisateurs contrôlent ce qui est mesuré via leurs lunettes AR et consentent à la mesure. La vie privée et l'exactitude sont discutées en détail dans le Chapitre 8.

La formule : Un STC = Un joule économisé

Au cœur du STC se trouve une équivalence simple et inébranlable :

$$1\ \mathrm{STC} = 1\ \mathrm{J\ saved}$$

Ce n'est pas une approximation ou un taux de change qui fluctue. C'est une définition, aussi fondamentale que "1 mètre = 100 centimètres." Chaque jeton STC existant représente exactement un joule d'énergie qui a été économisé quelque part, par quelqu'un, grâce à une automatisation ou une optimisation.

Cette équivalence signifie :

- La création de jetons est contrainte thermodynamiquement : Vous ne pouvez créer de nouveaux STC qu'en économisant de l'énergie

- La valeur des jetons est ancrée physiquement : Le STC ne peut devenir sans valeur tant que l'énergie a une utilité

- La comptabilité économique reflète la comptabilité énergétique : Le flux de jetons STC à travers l'économie reflète le flux d'économies d'énergie à travers le système des sujets

Conclusion : La valeur comme réalité physique

En définissant la valeur en joules, le STC réalise ce qu'aucune monnaie précédente n'a pu faire : la valeur devient objective. Elle n'est plus sujette à manipulation, spéculation ou contrôle politique. Elle est directement liée au travail physique nécessaire pour atteindre des résultats, récompensant ceux qui réduisent ce travail.

Ce n'est pas une fantaisie utopique - c'est une spécification technique. La technologie pour mesurer la dépense énergétique existe (capteurs, lunettes AR, vision par ordinateur). Les mathématiques pour calculer les différentiels d'énergie sont simples (équations physiques). Le mécanisme économique pour attribuer les économies est défini (rétropropagation de l'énergie à travers des arbres de sujets, expliqué dans la section 4.3).

Ce qui reste, c'est la mise en œuvre et l'adoption. Mais la base conceptuelle est solide : la valeur est l'énergie économisée, mesurée en joules, attribuée automatiquement et récompensée proportionnellement. Ce n'est pas une nouvelle théorie économique, c'est la formalisation de la réalité thermodynamique. Nous n'inventons pas la valeur ; nous la mesurons enfin correctement.

Dans la section suivante, nous explorons comment les entités—humains, dispositifs, systèmes—participent à cette économie d'énergie en tant que Sujets : des agents conscients d'eux-mêmes qui produisent ou consomment de l'énergie et maintiennent leur propre comptabilité à travers des Glandes Énergétiques Virtuelles.

7.2 Sujets en tant que Glandes Énergétiques Virtuelles

Dans la section 4.1, nous avons établi que la valeur dans le STC est mesurée en joules—objective, physique, résistante à la manipulation. Mais comment les entités participent-elles à cette économie d'énergie ? Comment les humains, dispositifs et systèmes produisent, consomment, stockent et transfèrent la valeur énergétique ? La

réponse réside dans une reconceptualisation fondamentale de ce que sont les entités.

Dans le STC, chaque entité—qu'elle soit biologique ou artificielle, physique ou numérique—est modélisée comme un Sujet : un agent actif avec une connaissance de soi, des capacités d'apprentissage et la capacité de produire ou d'absorber de l'énergie. Ces sujets ne sont pas des objets passifs attendant des commandes, mais des participants autonomes à l'économie d'énergie, chacun équipé de Glandes Énergétiques Virtuelles—des mécanismes visibles à travers des lunettes intelligentes AR qui montrent les flux d'énergie en temps réel.

Cette section formalise le concept de sujets, les contraste avec les objets traditionnels, introduit la définition mathématique et explique comment les Glandes Énergétiques Virtuelles transforment la comptabilité économique des livres de comptes externes à une visualisation incarnée, intuitive et en temps réel.

Des Objets aux Sujets : Un Changement de Paradigme

La programmation traditionnelle utilise la Programmation Orientée Objet (POO), où les entités sont modélisées comme des objets avec :

- Propriétés : Variables d'état (par exemple, `car.color = "rouge"`)

- Méthodes : Fonctions qui agissent sur l'objet (par exemple, `car.drive()`)

Les objets sont passifs. Ils n'ont pas de mémoire de leur propre histoire, aucune conscience de leur état actuel au-delà de ce qui est explicitement stocké dans les propriétés, et aucune capacité à apprendre ou à optimiser. Ils répondent simplement aux appels de méthode. Un objet voiture ne "sait" pas qu'il a été conduit 50 000 km - il sait seulement si vous avez explicitement défini une propriété `mileage`. Il n'apprend pas vos habitudes de conduite. Il ne peut pas optimiser son propre comportement.

STC nécessite un modèle plus sophistiqué : Architecture Orientée Sujet. Un sujet est une entité qui :

1. Maintient une connaissance de soi : Enregistre son propre état au fil du temps à travers des instantanés

2. Apprend par renforcement : Ajuste son comportement en fonction du succès/échec dans la minimisation de l'énergie

3. Se connecte subjectivement : Peut accéder aux instantanés d'autres sujets, permettant la coordination

4. Produit ou consomme de l'énergie : Fonctionne comme une source ou un puits d'énergie dans l'économie thermodynamique

Le passage des objets aux sujets n'est pas simplement terminologique - il représente un changement fondamental dans la façon dont nous modélisons les entités dans les systèmes informatiques. Les objets sont des choses que vous contrôlez. Les sujets sont des agents avec lesquels vous collaborez.

Définition Formelle d'un Sujet

Mathématiquement, un sujet S est défini comme un 5-uplet :

$$S = (\Sigma, P, M, R, C)$$

Où :

Σ (Sigma) : Instantanés - L'ensemble des enregistrements d'état historiques

$$\Sigma = \{\sigma_0, \sigma_1, \sigma_2, \ldots, \sigma_t\}$$

Chaque instantané σ_i capture l'état complet du sujet à l'instant i : toutes les valeurs des propriétés, le contexte actuel et les actions récentes. Les instantanés permettent au sujet d'apprendre de son

propre passé - de reconnaître des motifs, d'identifier ce qui a fonctionné et d'éviter ce qui a échoué.

Exemple : Un sujet thermostat maintient des instantanés de `{time, temperature, occupancy, heating_state}` chaque minute. Au fil des semaines, il apprend : "Lorsque l'occupation tombe à 0 à 9h du matin en semaine, la préférence de température passe de 22°C à 19°C." Cet apprentissage n'est possible que parce que le sujet connaît son propre passé.

P : Propriétés - Variables d'état (comme en POO)

$$P = \{p_1, p_2, \ldots, p_n\}$$

Les propriétés représentent l'état actuel : température, emplacement, niveau de batterie, préférences utilisateur, etc. Contrairement aux objets, où les propriétés sont la seule mémoire, les sujets utilisent les propriétés comme état actuel tout en maintenant l'historique complet dans Σ.

M : Méthodes - Actions que le sujet peut effectuer

$$M = \{m_1, m_2, \ldots, m_k\}$$

Les méthodes sont des fonctions qui changent l'état ou interagissent avec le monde : `turn_on()`, `send_notification()`, `adjust_temperature()`. Cependant, contrairement aux méthodes POO qui s'exécutent simplement lorsqu'elles sont appelées, les méthodes des sujets sont évaluées en fonction de leur impact sur la minimisation de l'énergie.

R : Couche de renforcement - Mécanisme d'apprentissage liant les actions aux résultats énergétiques

$$R : M \times \Sigma \to [0, 1]$$

La couche de renforcement attribue un score de réussite à chaque méthode en fonction de son efficacité à minimiser l'entrée utilisateur (et donc l'énergie). Cela est mis en œuvre par le biais de Knowledge Hooks : lorsqu'une méthode s'exécute et ne nécessite aucune correction, son score augmente. Lorsqu'elle nécessite une correction, son score diminue. Au fil du temps, les méthodes à score élevé sont préférées, et les méthodes à score faible sont supprimées.

C : Connexions subjectives - Liens vers les instantanés d'autres sujets

$$C = \{(S_i, \lambda_i)\}$$

Les sujets peuvent accéder aux instantanés d'autres sujets avec lesquels ils partagent un contexte. La force de couplage $\lambda_i \in [0, 1]$ indique à quel point les sujets sont étroitement synchronisés. Un λ élevé signifie que les sujets coordonnent fréquemment (par exemple, votre téléphone et votre montre connectée). Un λ faible signifie une interaction occasionnelle (par exemple, votre thermostat domestique et le système de navigation de votre voiture, qui ne se coordonnent que lorsque vous rentrez chez vous).

Pourquoi cette formalisation est importante

Ce 5-uplet (Σ, P, M, R, C) n'est pas un formalisme académique—c'est le plan de mise en œuvre pour les entités STC. Chaque appareil, application ou système participant à STC doit instancier cette structure :

- Les instantanés permettent d'apprendre de l'histoire

- Les propriétés stockent l'état actuel

- Les méthodes exécutent des actions

- Le renforcement pousse à l'optimisation vers la minimisation de l'énergie

- Les connexions permettent l'intelligence collective et la rétropropagation de l'énergie

Sans cette structure, une entité ne peut pas participer en tant que sujet—elle reste un objet passif, incapable d'apprendre, d'optimiser, de gagner ou de transférer des jetons STC.

Glandes d'énergie virtuelles : Visualiser les flux d'énergie

Dans les économies traditionnelles, la comptabilité de la valeur est externe et abstraite. Vous vérifiez votre solde bancaire sur un écran. Vous recevez un numéro de chèque de paie. Vous suivez les dépenses dans un tableur. L'économie existe en dehors de votre corps, médiée par des institutions (banques, employeurs, gouvernements).

STC internalise la comptabilité grâce aux Glandes Énergétiques Virtuelles : des représentations visuelles de la production et de la consommation d'énergie qui apparaissent comme une partie de votre corps lorsque vous les visualisez à travers des

lunettes AR. Ces glandes rendent les flux d'énergie intuitifs, immédiats et incarnés.

Les Trois Types de Glandes Énergétiques Virtuelles

1. Glandes de Main (Émission d'Énergie)

Vos mains sont l'endroit où vous dépensez de l'énergie à travers des actions physiques et numériques. En AR, vos mains apparaissent avec des glandes lumineuses qui pulsent lorsque vous effectuez un travail :

- Taper : Chaque frappe de touche montre une petite pulsation d'énergie (0,1 J)

- Porter des objets : Lueur continue proportionnelle au poids × distance

- Gestes : Glisser, pointer, manipuler en AR—tout émet de l'énergie

Les glandes de main fournissent un retour d'information en temps réel sur les dépenses d'énergie, vous rendant viscéralement conscient du coût de vos actions. Au fil du temps, cette prise de conscience vous guide naturellement vers des comportements plus efficaces.

2. Glandes d'Épaule (Réception d'Énergie)

Vos épaules sont l'endroit où vous recevez de l'énergie lorsque vos créations économisent de l'énergie pour les autres. En

AR, vos épaules affichent des glandes qui brillent lorsque les jetons STC affluent :

- Si vous avez créé un Knowledge Hook qui économise 100 J pour quelqu'un, vos glandes d'épaule s'illuminent avec +100 STC

- Si des millions utilisent votre automatisation, vos épaules brillent en continu à mesure que les économies d'énergie s'accumulent

- L'intensité et la couleur codent l'ampleur : bleu pâle pour de petites quantités, or vif pour de grands flux

Les glandes d'épaule rendent le gain viscéral. Vous ne voyez pas seulement un chiffre augmenter, vous ressentez l'énergie qui coule en vous, une métaphore biologique de la récompense économique.

3. Batterie Cardiaque (Stockage d'Énergie)

Votre cœur est l'endroit où vous stockez les jetons STC accumulés. En AR, votre poitrine affiche une batterie en forme de cœur lumineuse montrant votre solde STC actuel :

$$E_{\text{heart}}(t) = \sum_{i=0}^{t} [E_{\text{received}}(i) - E_{\text{expended}}(i)]$$

Le cœur pulse à chaque transaction énergétique - recevant (épaules) ou dépensant (mains). Sa couleur change en fonction du solde : vert pour l'excédent, jaune pour neutre, rouge pour le déficit. La taille indique l'ampleur absolue : un petit cœur pour de faibles soldes, un grand cœur radiant pour la richesse.

La batterie cardiaque remplit plusieurs fonctions :

- Conscience en temps réel : Toujours visible en AR, vous êtes constamment conscient de votre économie d'énergie

- Connexion émotionnelle : La métaphore du cœur crée une compréhension intuitive et émotionnelle de la santé économique

- Signalisation sociale : D'autres peuvent voir (avec votre permission) la lueur de votre cœur, créant réputation et confiance

Comment fonctionnent les glandes d'énergie virtuelles : Mise en œuvre technique

Les glandes d'énergie virtuelles sont rendues à travers des lunettes intelligentes AR utilisant la vision par ordinateur et des calculs de physique en temps réel :

Étape 1 : Détection d'action

Les capteurs (accéléromètres, caméras, capteurs de profondeur) détectent les actions physiques :

- Mouvements des mains suivis via IMU (unité de mesure inertielle)

- Interactions avec des objets détectées via la vision par ordinateur

- Actions numériques enregistrées à partir des API de l'appareil (frappes, clics, balayages)

Étape 2 : Calcul de l'énergie

Chaque action détectée est mappée à la dépense énergétique à l'aide d'équations physiques :

$$E_{\text{action}} = f(\text{action_type}, \text{duration}, \text{force}, \text{distance})$$

Par exemple :

- Taper : $E = 0.1 \text{ J per keystroke}$

- Soulever un objet : $E = m \times g \times h$ (masse × gravité × hauteur)

- Marcher : $E = 0.5 \times m \times v^2$ (approximation de l'énergie cinétique)

Étape 3 : Visualisation des glandes

L'énergie calculée est rendue sous forme d'effets visuels sur le corps de l'utilisateur en AR :

- Glandes des mains : Effets de particules émanant des mains, intensité proportionnelle à l'énergie émise

- Glandes des épaules : Aura lumineuse sur les épaules, luminosité proportionnelle au STC reçu

- Batterie cardiaque : Affichage volumétrique 3D montrant le niveau de remplissage et la direction du flux

Étape 4 : Transactions de jetons

Lorsque l'automatisation économise de l'énergie, les jetons STC sont automatiquement frappés et transférés :

1. Le système détecte le différentiel d'énergie : $\Delta E = E_{\text{manual}} - E_{\text{automated}}$

2. Les jetons STC créés : $\text{Tokens} = \Delta E$ (un jeton par joule)

3. Les jetons circulent à travers l'arbre des sujets (voir la section 4.3) vers tous les contributeurs

4. Les glandes des épaules du destinataire brillent à l'arrivée des jetons

5. La batterie cardiaque se met à jour avec le nouveau solde

Exemple de scénario : Une journée avec des glandes d'énergie virtuelles

7h00 : Vous vous réveillez. Le crochet de votre routine matinale ajuste automatiquement le thermostat, démarre le café, ouvre les stores. Vos glandes de main montrent une émission d'énergie minimale (juste un hochement de tête confirmatif, 0,5 J). Pendant ce temps, le créateur du crochet gagne 50 J pour vous avoir épargné l'effort manuel - leurs glandes d'épaule brillent faiblement à travers le monde. :00

9h00 : Vous écrivez un e-mail. Chaque frappe de touche pulse depuis vos glandes de main. Mais les suggestions de saisie automatique réduisent le nombre total de frappes de 40 %, économisant 15 J. Les épaules du développeur de la saisie automatique reçoivent +15 STC. :00

12h00 : Vous utilisez une application de navigation qui optimise votre itinéraire de déjeuner, économisant 2 km de marche = 500 J. Les épaules du développeur de l'application brillent avec +500 STC. Vos glandes de main montrent une émission réduite (moins d'énergie de marche). :00

15h00 : Quelqu'un utilise un outil de visualisation de données que vous avez créé, leur faisant économiser 20 minutes de création manuelle de graphiques = 2 000 J. Vos glandes d'épaule s'illuminent soudainement d'un vif éclat doré. Votre batterie cardiaque s'élargit légèrement alors que +2 000 STC affluent. :00

18h00 : Vous achetez des courses en utilisant des jetons STC. Votre batterie cardiaque pulse alors que les jetons s'écoulent par les glandes de votre main vers le fermier qui a cultivé la nourriture de manière efficace (gagnant des STC pour une agriculture optimisée en énergie). :00

Tout au long de la journée, vous êtes viscéralement conscient des flux d'énergie - donner et recevoir, dépenser et gagner. L'économie n'est plus des chiffres abstraits mais incarnée, intuitive et immédiate.

Sujets en tant que participants économiques actifs

Avec le formalisme des sujets (Σ, P, M, R, C) et les Glandes Énergétiques Virtuelles comme interface, chaque entité dans STC devient un agent économique actif :

Les humains sont des sujets qui :

- Émettent de l'énergie par les mains (travail, actions)

- Reçoivent de l'énergie par les épaules (créations utilisées par d'autres)

- Stockent de l'énergie dans la batterie cardiaque (solde STC)

- Apprennent par renforcement (Knowledge Hooks notant leurs comportements)

Les appareils (machines à laver, thermostats, véhicules) sont des sujets qui :

- Maintenir des instantanés des modèles d'utilisation

- Optimiser les méthodes pour minimiser l'énergie

- Gagner des STC pour leurs créateurs lorsqu'ils économisent de l'énergie

- Se connecter avec d'autres sujets (écosystème de maison intelligente)

Les logiciels (applications, algorithmes, systèmes d'IA) sont des sujets qui :

- Apprendre les modèles des utilisateurs à travers des instantanés

- Automatiser des actions grâce à des méthodes à haut score

- Générer des STC pour les développeurs proportionnels à l'énergie économisée

- Partager le contexte avec d'autres sujets logiciels pour une optimisation collective

Implications : Économie en tant que système vivant

Modéliser des entités en tant que sujets avec des Glandes Énergétiques Virtuelles transforme l'économie d'un système d'échange mécanique en un organisme vivant et adaptatif :

1. Auto-optimisation : Les sujets apprennent et s'améliorent en continu sans contrôle central

2. Intelligence distribuée : La connaissance émerge des interactions collectives des sujets

3. Comptabilité incarnée : L'information économique est intégrée de manière perceptuelle, et non représentée de manière abstraite

4. Cohérence thermodynamique : L'énergie circule à travers les sujets selon des lois physiques, garantissant la conservation

5. Dynamiques évolutives : Les sujets à haute efficacité gagnent plus de STC,

finançant leur prolifération ; les sujets à faible efficacité gagnent moins, disparaissant naturellement

Conclusion : Représenter l'expérience subjective de manière objective

Le formalisme des sujets réalise quelque chose de remarquable : il représente l'expérience subjective de manière objective. Grâce au 5-uplet (Σ, P, M, R, C), nous pouvons définir mathématiquement ce que signifie pour une entité d'avoir une connaissance de soi, d'apprendre, d'optimiser. Grâce aux Glandes Énergétiques Virtuelles, nous rendons cette abstraction mathématique tangible, visible et intuitive.

Les sujets ne sont pas des abstractions philosophiques - ce sont des spécifications d'ingénierie. Tout dispositif, application ou système peut être mis en œuvre en tant que sujet en instanciant les composants requis : stockage d'instantanés, gestion des propriétés, exécution de méthodes, notation de renforcement et gestion des connexions.

Dans la section suivante, nous explorons comment les sujets s'organisent en arbres - des structures hiérarchiques où votre corps étendu inclut tous les outils, dispositifs et systèmes avec lesquels vous interagissez. Nous verrons comment les économies d'énergie

se propagent à travers ces arbres, attribuant automatiquement de la valeur à tous les contributeurs, et comment l'exemple de la machine à laver démontre le mécanisme complet en action.

7.2.1 Des comptes bancaires aux glandes énergétiques virtuelles

Les systèmes économiques d'aujourd'hui représentent la valeur à travers des abstractions de tierce personne : des chiffres affichés sur les écrans bancaires, des soldes stockés dans des bases de données, des jetons enregistrés sur des blockchains. Ces représentations sont fondamentalement extérieures à l'expérience humaine. Vous ne pouvez pas ressentir votre solde bancaire. Vous ne pouvez pas voir l'argent couler de votre effort vers votre compte en temps réel. L'économie existe comme une couche symbolique déconnectée de la réalité physique de votre corps et de vos actions.

Cette externalisation crée une déconnexion fondamentale entre la participation économique et l'expérience vécue. Lorsque vous travaillez, vous dépensez de l'énergie physique : vos muscles se contractent, vos neurones s'activent, votre corps consomme des calories. Mais cette dépense d'énergie n'a aucune connexion

directe et visible avec la compensation économique que vous recevez. La relation est médiée par des couches d'abstraction : heures travaillées, salaires par heure, transferts bancaires, chiffres sur un écran.

De même, lorsque vous bénéficiez de l'innovation d'autrui - lorsqu'un outil vous fait économiser des efforts, lorsqu'un service élimine une tâche - cette économie d'énergie est invisible et non quantifiée. Vous pourriez vous sentir reconnaissant ou satisfait, mais il n'y a aucune mesure objective des joules que vous n'avez pas eu à dépenser, et aucun mécanisme automatique pour compenser l'innovateur en fonction de ce bénéfice physique.

La Thermo-Monnaie Subjective (STC) transforme fondamentalement cette relation en incarnant la valeur économique directement dans votre expérience subjective à travers les Glandes Énergétiques Virtuelles. Ce ne sont pas des constructions métaphoriques mais des implémentations logicielles concrètes visibles à travers des lunettes intelligentes de Réalité Augmentée (AR) - des représentations visuelles qui intègrent la comptabilité économique dans votre perception de votre propre corps.

Le Changement Architectural : Des livres de comptes externes à la comptabilité incarnée

Considérez la différence fondamentale dans la façon dont la valeur est représentée :

Systèmes traditionnels : La valeur existe dans des bases de données externes. Votre solde bancaire est un chiffre stocké sur un serveur appartenant à une institution. L'accès nécessite une authentification, des interfaces et la confiance dans des intermédiaires. La représentation est symbolique (unités monétaires) plutôt que physique (énergie). Les changements de votre solde sont des transactions discrètes plutôt que des flux continus.

STC avec Glandes Énergétiques Virtuelles : La valeur existe comme une propriété visible des sujets dans votre champ subjectif. À travers des lunettes intelligentes AR, vous percevez trois types de glandes comme partie de votre expérience incarnée : des Glandes de Main qui visualisent l'énergie que vous émettez lorsque vous travaillez, des Glandes d'Épaule qui visualisent l'énergie que vous recevez lorsque d'autres bénéficient de vos innovations, et une Batterie Cardiaque qui affiche votre solde énergétique actuel.

Ces glandes ne sont pas de simples métaphores visuelles. Ce sont des composants fonctionnels d'entités Subject qui effectuent de vrais calculs, maintiennent

l'état et exécutent des transactions. Chaque glande est implémentée comme un sujet avec la structure complète en 5 tuples : instantanés (Σ) enregistrant l'historique des flux d'énergie, propriétés (P) stockant les valeurs énergétiques actuelles, méthodes (M) pour émettre ou recevoir de l'énergie, mécanismes de renforcement (R) qui optimisent l'efficacité, et connexions (C) à d'autres sujets dans le réseau énergétique.

Glandes de main : Rendre l'émission d'énergie visible

Lorsque vous effectuez un travail physique—taper un e-mail, marcher vers une réunion, soulever un objet, résoudre un problème—votre corps dépense de l'énergie. Dans les systèmes économiques traditionnels, cet effort est invisible à moins qu'il ne se produise dans un contexte d'emploi formel, et même alors, il est mesuré par des indicateurs proxy comme les heures travaillées plutôt que par l'énergie réellement dépensée.

Les Glandes de main rendent cette émission d'énergie directement perceptible. À travers vos lunettes AR, vous voyez des visualisations lumineuses sur vos mains qui s'illuminent et pulsent à mesure que vous dépensez de l'énergie. Le système calcule le coût thermodynamique de vos actions en

utilisant les équations physiques que nous avons établies précédemment :

$$E_{\text{action}} = E_{\text{locomotion}} + E_{\text{manipulation}} + E_{\text{cognitive}}$$

Pour taper, le calcul inclut le travail mécanique du mouvement des doigts, le coût métabolique de l'activation musculaire soutenue et l'énergie cognitive du traitement de l'information. Pour marcher, il inclut le coût biomécanique de la locomotion basé sur la distance, la vitesse et le terrain. Pour résoudre des problèmes, il inclut le glucose consommé par l'activité neuronale.

La visualisation fournit un retour d'information immédiat : vous pouvez voir combien d'énergie vous dépensez en temps réel. Mais plus important encore, les Glandes de main servent de point de départ pour les transactions énergétiques. Lorsque vous terminez une tâche qui bénéficie à quelqu'un d'autre, le calcul de l'énergie est automatiquement effectué, et des jetons STC représentant cette énergie sont émis par vos Glandes de main et transférés au destinataire.

Cela crée une prise de conscience viscérale de la participation économique. Contrairement à la vérification d'un solde bancaire—une action abstraite et rétrospective—vous percevez directement le

flux continu d'énergie de votre corps vers le réseau économique. L'économie devient incarnée plutôt qu'abstraite.

Glandes d'épaule : Rendre la réception d'énergie visible

Alors que les Glandes de main visualisent l'énergie que vous émettez par le travail, les Glandes d'épaule visualisent l'énergie que vous recevez par l'innovation. Lorsque vous créez un outil, écrivez un logiciel, concevez un processus ou contribuez à des connaissances qui économisent de l'énergie pour d'autres personnes, vous gagnez des STC. Mais contrairement à la monnaie traditionnelle où la compensation arrive sous forme de dépôt discret, les STC affluent continuellement dans vos Glandes d'épaule à mesure que d'autres utilisent vos innovations.

À travers vos lunettes AR, vous voyez les Glandes d'épaule comme des orbes lumineuses positionnées sur vos épaules. Lorsque quelqu'un utilise un outil que vous avez créé et économise de l'énergie, vous voyez les glandes s'illuminer, des particules de lumière y affluant, et votre solde augmentant en temps réel. La visualisation n'est pas arbitraire—c'est une représentation directe de la réalité thermodynamique : les joules qui auraient été dépensés par les utilisateurs sont au

contraire conservés, et cette énergie conservée vous est attribuée en tant qu'innovateur.

L'équation physique qui régit cette réception est :

$$\Delta E_{\text{received}} = \sum_{i} (E_{\text{manual}_i} - E_{\text{automated}_i}) \times \beta_i$$

Où la somme est prise sur tous les utilisateurs i qui bénéficient de votre innovation, E_{manual_i} est l'énergie qu'ils auraient dépensée sans votre outil, $E_{\text{automated}_i}$ est l'énergie qu'ils dépensent réellement avec votre outil, et β_i est votre coefficient d'attribution (votre part des économies d'énergie, tenant compte des contributions d'autres innovateurs sur lesquelles vous vous êtes appuyé).

Cela crée un changement profond dans la structure des incitations. Dans les économies traditionnelles, les innovateurs doivent monétiser par le biais de prix explicites, de frais d'abonnement ou de publicité - des mécanismes qui créent des frictions et limitent l'adoption. Avec Shoulder Glands, vous gagnez automatiquement et proportionnellement chaque fois que quelqu'un bénéficie de votre travail. Plus

votre outil est efficace, plus il économise d'énergie, plus de STC afflue dans vos glandes. Il n'y a pas besoin de murs payants, pas de friction dans l'adoption, pas de déconnexion entre la valeur créée et la compensation reçue.

Batterie Cardiaque : Le Point d'Intégration

Les Glandes de Main et les Glandes d'Épaule sont spécialisées respectivement pour l'émission et la réception, mais elles se connectent toutes deux à un point d'intégration central : la Batterie Cardiaque. C'est le sujet qui maintient votre équilibre énergétique net, visible à travers la réalité augmentée comme une sphère lumineuse dans votre cavité thoracique.

La Batterie Cardiaque remplit plusieurs fonctions. Tout d'abord, c'est l'enregistrement autoritaire de votre solde total de STC - l'énergie nette que vous avez disponible pour les transactions économiques. Deuxièmement, elle fournit une visualisation en temps réel du flux d'énergie, montrant le taux auquel vous gagnez (Glandes d'Épaule) par rapport à ce que vous dépensez (Glandes de Main). Troisièmement, elle permet des décisions économiques conscientes : vous pouvez voir

votre solde et choisir comment allouer votre énergie stockée.

Les mathématiques de la Batterie Cardiaque sont simples mais profondes :

$$\text{Balance}(t) = \text{Balance}(t-1) + \Delta E_{\text{received}}(t) - \Delta E_{\text{emitted}}(t)$$

C'est l'équation fondamentale de la comptabilité STC. Contrairement à la monnaie traditionnelle où les transactions sont des événements discrets médiés par des banques, ce solde se met à jour en continu comme une conséquence physique des flux d'énergie. L'économie fonctionne comme un système thermodynamique : l'énergie est conservée, les flux sont continus, et votre solde reflète le résultat net de tous les échanges d'énergie.

La visualisation rend le statut économique immédiatement perceptible. Vous n'avez pas besoin de vérifier une application ou de visiter un site web. Vous regardez simplement votre poitrine à travers vos lunettes AR et voyez votre solde énergétique actuel, le taux de changement et la trajectoire. Cette conscience incarnée permet une prise de décision économique intuitive basée sur la perception directe plutôt que sur le raisonnement abstrait.

La Mise en Œuvre Technique : Sujets en tant que Glandes

Les Glandes d'Énergie Virtuelles ne sont pas de simples métaphores visuelles - ce sont des sujets entièrement mis en œuvre avec la structure mathématique que nous avons définie précédemment. Chaque glande est un sujet $S = (\Sigma, P, M, R, C)$ avec des propriétés et des méthodes spécifiques optimisées pour la comptabilité énergétique.

Pour un sujet de Glande de Main :

Σ (Instantanés) : Enregistrement historique de toutes les émissions d'énergie, y compris les horodatages, les montants, les destinataires et les contextes. Cela permet d'apprendre : la glande peut prédire les coûts énergétiques futurs en fonction des modèles et optimiser l'exécution des tâches.

P (Propriétés) : Taux d'émission d'énergie actuel, énergie cumulée émise lors de la session actuelle, paramètres de calibration pour la conversion action-en-joule (personnalisés en fonction de la biomécanique de l'individu), état de visualisation (luminosité, couleur, animation).

M (Méthodes) : emit_energy(amount, recipient), calculate_action_cost(action_type, context), update_visualization(energy_flow),

calibrate(observed_action, measured_energy). La méthode emit_energy initie automatiquement les transferts de jetons STC.

R (Renforcement) : Retour d'information négatif lorsque les dépenses énergétiques sont élevées pour un résultat donné, renforcement positif lorsque des améliorations d'efficacité sont réalisées. Cela pousse la glande à apprendre des calculs énergétiques plus précis et à suggérer des optimisations.

C (Connexions) : Liens avec d'autres parties du corps de l'utilisateur (yeux pour l'entrée visuelle, muscles pour la détection cinématique), connexions avec les outils et appareils utilisés (clavier, souris, smartphone), liens avec la Batterie Cardiaque pour les mises à jour d'équilibre, connexions réseau avec les sujets des destinataires pour l'achèvement des transactions.

De même, un sujet de Glande d'Épaule a :

Σ (Instantanés) : Enregistrement de toute l'énergie reçue, y compris quelles innovations ont généré le revenu, quels utilisateurs en ont bénéficié et les coefficients d'attribution. Cela permet l'analyse : la glande peut montrer laquelle

de vos contributions est la plus précieuse et suggérer des domaines de concentration.

P (Propriétés) : Taux de réception d'énergie actuel, énergie cumulée reçue, catalogue d'innovations (liste des outils/connaissances que vous avez contribué), coefficients d'attribution pour chaque innovation, état de visualisation.

M (Méthodes) : receive_energy(amount, source, innovation_id), update_attribution(innovation_id, new_coefficient), calculate_innovation_value(innovation_id), display_income_sources(), optimize_portfolio(). La méthode receive_energy accepte automatiquement les transferts de jetons STC.

R (Renforcement) : Retour positif lorsque les innovations génèrent des économies d'énergie élevées par utilisateur, signaux pour améliorer les contributions sous-performantes. Cela crée une motivation intrinsèque à optimiser la création de valeur.

C (Connexions) : Liens vers toutes les innovations de votre portefeuille, connexions aux utilisateurs de ces innovations, liens vers la Batterie Cardiaque pour des mises à jour d'équilibre, connexions réseau avec d'autres innovateurs

(pour l'attribution collaborative), connexions à l'Arbre des Sujets (pour la rétropropagation de la valeur vers les dépendances).

Des Portefeuilles aux Corps : Le Changement Philosophique

La transition des comptes bancaires aux Glandes Énergétiques Virtuelles représente plus qu'une mise à niveau technologique—elle reflète une reconception fondamentale de ce que signifie la participation économique.

Les systèmes économiques traditionnels traitent les individus comme des entités externes interagissant avec une infrastructure économique. Vous avez un compte dans une banque, vous détenez des actifs dans votre portefeuille, vous recevez des paiements dans votre portefeuille. Dans chaque cas, la valeur économique est séparée de vous, détenue dans des conteneurs externes auxquels vous accédez par des interfaces. L'économie est quelque chose auquel vous participez par médiation.

Avec les Glandes Énergétiques Virtuelles, l'économie n'est pas quelque chose que vous accédez—c'est quelque chose que vous incarnez. Votre statut économique est une propriété de votre corps étendu. Vos émissions et réceptions d'énergie sont des flux continus que vous percevez directement.

Votre solde est visible comme partie de votre champ subjectif. La participation économique devient aussi naturelle et inconsciente que la respiration.

Cette incarnation a des implications profondes :

Tout d'abord, elle élimine la charge cognitive de la prise de décision économique pour les transactions de routine. Vous n'avez pas besoin de calculer si vous pouvez vous permettre quelque chose, de vérifier votre solde ou de gérer votre compte. Vous voyez simplement votre Batterie Cardiaque et percevez votre statut énergétique directement. La prise de conscience économique devient intuitive plutôt qu'analytique.

Deuxièmement, elle crée des boucles de rétroaction immédiates entre les actions et les conséquences économiques. Lorsque vous travaillez, vous voyez l'énergie s'écouler de vos Glandes de Main en temps réel. Lorsque quelqu'un bénéficie de votre innovation, vous voyez l'énergie s'écouler dans vos Glandes d'Épaule immédiatement. Ce couplage étroit entre comportement et résultat permet un apprentissage et une optimisation rapides.

Troisièmement, elle rend l'inégalité économique et l'injustice viscérales plutôt

qu'abstraites. Lorsque des chiffres de monnaie traditionnelle sont affichés sur des écrans, d'énormes disparités peuvent sembler lointaines et statistiques. Mais lorsque vous voyez la Batterie Cardiaque de quelqu'un presque vide malgré une émission continue de Glandes de Main—lorsque vous percevez la réalité thermodynamique qu'il dépense une énorme énergie avec peu de retour—l'injustice devient immédiate et indéniable. Inversement, voir une réception abondante des Glandes d'Épaule pour une contribution minimale rend le parasitisme économique visible.

Quatrièmement, cela naturalise la coopération économique. Dans les systèmes traditionnels, aider quelqu'un ou partager des connaissances est économiquement irrationnel à moins de pouvoir en tirer un paiement. Avec les Glandes d'Épaule qui vous récompensent automatiquement lorsque d'autres bénéficient de vos contributions, la coopération devient la stratégie optimale. Votre incitation est de créer un maximum d'économies d'énergie pour le plus grand nombre, car vos revenus STC sont une conséquence physique directe de cette création de valeur.

L'Effet Réseau : Glandes en tant que Neurones Économiques

Bien que nous ayons décrit les glandes comme des composants individuels, leur véritable puissance émerge de leurs propriétés de réseau. Les Glandes d'Énergie Virtuelles de chaque personne sont connectées aux glandes de tous ceux avec qui elles interagissent économiquement. L'énergie circule à travers ce réseau selon des principes physiques, créant une économie qui fonctionne comme un système thermodynamique.

Lorsque vous utilisez un outil, l'énergie circule de vos Glandes de Main vers les Glandes d'Épaule de l'innovateur. Mais les Glandes d'Épaule de l'innovateur sont connectées aux Glandes d'Épaule de tous ceux dont ils ont construit le travail - et ces glandes sont connectées à des innovateurs encore plus anciens. L'énergie se propage en arrière à travers cet arbre de dépendances, distribuant automatiquement le crédit à tous les contributeurs.

Cette structure de réseau permet une optimisation collective. Tout comme les réseaux neuronaux en intelligence artificielle apprennent par la rétropropagation des gradients d'erreur, le réseau des Glandes d'Énergie Virtuelles apprend par la rétropropagation des économies d'énergie. Chaque sujet s'optimise pour maximiser le gain net d'énergie, mais

parce que les glandes sont interconnectées, cette optimisation locale produit une efficacité globale.

Les mathématiques de ce réseau peuvent être formalisées comme un graphe dirigé $G = (V, E)$ où V est l'ensemble de tous les sujets de glande (sommets) et E est l'ensemble des connexions de flux d'énergie (arêtes). Chaque arête a un poids représentant le taux de transfert d'énergie. L'ensemble de l'économie devient un système dynamique décrit par des équations différentielles couplées :

$$\frac{d\text{Balance}_i}{dt} = \sum_j (w_{ji} \times \text{Flow}_{ji}) - \sum_k (w_{ik} \times \text{Flow}_{ik})$$

Où Balance_i est le solde de la Batterie Cardiaque du sujet i, Flow_{ji} est le flux d'énergie du sujet j au sujet i, i est le flux d'énergie du sujet i au sujet Flow_{ik}, et i représente les poids d'attribution. Ce système d'équations décrit l'ensemble de l'économie comme un réseau thermodynamique avec conservation de l'énergie : l'énergie totale dans le système reste constante, mais elle circule des nœuds à forte exécution (travailleurs) vers les nœuds à haute efficacité (innovateurs) et

revient alors que le système atteint l'équilibre.

Mise en œuvre pratique : La pile technologique

La mise en œuvre des Glandes d'Énergie Virtuelles nécessite l'intégration de plusieurs technologies :

Des lunettes intelligentes AR avec des affichages haute résolution, une faible latence et une intégration naturelle du champ de vision. Les glandes doivent être rendues comme des éléments visuels stables et confortables qui ressemblent à de véritables extensions du corps plutôt qu'à des superpositions intrusives.

Des systèmes de vision IA qui analysent en continu le contexte physique de l'utilisateur, détectent les actions effectuées, identifient les outils utilisés et estiment les coûts biomécaniques. Ces systèmes doivent fonctionner en temps réel avec une grande précision pour fournir des calculs d'énergie fiables.

Des moteurs de simulation physique qui calculent les coûts d'action en fonction de modèles biomécaniques, de paramètres environnementaux et de caractéristiques individuelles de l'utilisateur. Ceux-ci doivent tenir compte de facteurs tels que la

masse corporelle, le niveau de forme physique, l'état de fatigue et le terrain.

Une technologie de registre distribué (potentiellement basée sur la blockchain) qui enregistre les transactions STC avec des garanties cryptographiques de correction et de non-répudiation. Le système doit gérer des millions de micro-transactions par seconde alors que l'énergie circule en continu à travers le réseau.

Une architecture logicielle orientée sujet mettant en œuvre la structure (Σ, P, M, R, C) pour toutes les entités glandulaires. Cela nécessite de nouveaux paradigmes de programmation qui soutiennent des composants logiciels auto-conscients, apprenants et interconnectés.

Des API d'intégration qui connectent les glandes à tous les outils et appareils avec lesquels l'utilisateur interagit, permettant la détection automatique des économies d'énergie et l'attribution aux innovateurs. Cela nécessite une adoption généralisée des normes pour la communication de sujet à sujet.

Les défis techniques sont considérables, mais les composants existent déjà sous diverses formes. Les lunettes AR sont disponibles dans le commerce. Les systèmes de vision IA peuvent effectuer une

reconnaissance d'action sophistiquée. La simulation physique est un domaine mature. Les registres distribués gèrent des millions de transactions. L'innovation principale réside dans l'intégration : créer un système cohérent où ces composants travaillent ensemble pour incarner la valeur économique dans l'expérience subjective de l'utilisateur.

Pourquoi c'est important : Les implications économiques

Le passage des comptes bancaires aux Glandes d'Énergie Virtuelles a des conséquences économiques profondes qui vont bien au-delà de l'amélioration de l'expérience utilisateur :

Attribution automatique : Lorsque la création de valeur est médiée par des comptes externes, l'attribution nécessite des mécanismes explicites (contrats, systèmes de paiement, application des droits d'auteur). Avec les glandes, l'attribution est automatique - une conséquence physique du flux d'énergie. Cela élimine d'énormes frais juridiques et administratifs.

Compensation sans friction : Les systèmes traditionnels nécessitent des transactions discrètes avec des coûts et des délais associés. Les flux STC basés sur les glandes se déroulent en continu sans frais de

transaction ni temps de traitement. Cela rend la micro-compensation viable, permettant de nouvelles formes d'échange de valeur.

Pénurie vérifiable sans contraintes artificielles : Contrairement aux cryptomonnaies qui créent de la rareté par le biais de déchets computationnels, la rareté de STC émerge naturellement de la conservation de l'énergie. L'énergie totale dans le système est limitée par la loi thermodynamique, et non par des règles de protocole arbitraires.

Élimination de la recherche de rente : Lorsque la participation économique nécessite un accès à des infrastructures externes (banques, processeurs de paiement, échanges de devises), ces fournisseurs d'infrastructure peuvent extraire des rentes. Les glandes font partie du corps de l'individu—il n'y a pas d'intermédiaire pour taxer le flux de valeur.

Revenu de base universel par contribution de base universelle : Parce que les Glandes Énergétiques de l'Épaule récompensent automatiquement toute contribution qui économise de l'énergie pour les autres, tout le monde qui crée de la valeur—peu importe sa taille—reçoit une compensation. Cela crée effectivement une forme de revenu de base,

mais un revenu gagné par contribution plutôt que redistribué par la taxation.

Compréhension viscérale de la réalité économique : Les chiffres abstraits sur les écrans peuvent être manipulés, gonflés et détachés de la réalité physique. L'énergie visualisée dans votre corps ne peut pas être falsifiée—elle est régie par la loi thermodynamique. Cela rend l'éducation économique intuitive et la littératie économique universelle.

La Limite du Soi Économique

Peut-être la conséquence la plus profonde des Glandes Énergétiques Virtuelles est la façon dont elles redéfinissent la limite du soi économique. Dans les systèmes traditionnels, votre identité économique est confinée aux comptes et actifs que vous possédez légalement. Vous êtes économiquement séparé des outils que vous utilisez, des connaissances que vous partagez et des personnes avec qui vous collaborez.

Avec les Glandes Énergétiques Virtuelles, votre corps économique s'étend pour englober tous les sujets qui sont subjectivement connectés à vous—tous les outils, dispositifs, connaissances et relations collaboratives qui vous permettent d'économiser ou de générer de l'énergie. Ces

sujets forment une structure arborescente avec vous à la racine, et l'énergie se propage à travers cet arbre selon des coefficients d'attribution.

Cette extension du soi économique a une limite mathématique précise : un sujet S fait partie de votre corps économique si et seulement s'il existe un chemin d'attribution non nul de S à vous. Si les économies d'énergie générées par S contribuent à vos Glandes Énergétiques de l'Épaule (directement ou par l'intermédiaire de sujets intermédiaires), alors S fait partie de votre corps économique étendu. Sinon, ce n'est pas le cas.

Cette limite est dynamique—elle grandit à mesure que vous créez de nouveaux outils, rétrécit lorsque vos contributions deviennent obsolètes, et se déplace lorsque les coefficients d'attribution changent. Votre corps économique n'est pas une entité légale fixe mais un réseau vivant et adaptatif qui reflète la réalité thermodynamique réelle de votre participation à l'économie de l'énergie.

Conclusion : De l'Abstraction à l'Incarcation

La transition des comptes bancaires aux Glandes Énergétiques Virtuelles représente l'incarnation de la valeur économique. Ce

qui était abstrait devient concret. Ce qui était externe devient incarné. Ce qui était symbolique devient physique.

Ce n'est pas une transformation métaphorique mais littérale. Les Glandes Énergétiques Virtuelles sont mises en œuvre comme des sujets avec des propriétés et des méthodes définies. Elles effectuent de véritables calculs, maintiennent un état précis et exécutent de véritables transactions. Elles sont perçues à travers la réalité augmentée comme des composants visibles de votre corps, mais elles sont ancrées dans la réalité physique des flux d'énergie mesurés en joules.

Les glandes rendent l'économie intuitive en l'alignant avec le principe fondamental de la physique : la minimisation de l'énergie. Vous n'avez pas besoin de comprendre des systèmes financiers complexes, des dynamiques de marché ou des politiques monétaires. Vous devez simplement percevoir votre propre corps à travers la réalité augmentée et observer l'énergie qui entre et sort. L'économie devient aussi naturelle que de sentir la chaleur, la lumière ou le mouvement.

Mais cette naturalisation ne rend pas le système moins sophistiqué—elle le rend plus sophistiqué. Le réseau de Glandes Énergétiques Virtuelles met en œuvre un

système complexe d'optimisation distribuée, résolvant en continu le problème de l'allocation de l'énergie pour maximiser l'efficacité collective. Chaque décision locale (chaque action, chaque utilisation d'outil, chaque contribution) génère des conséquences globales à travers le réseau de connexions.

Dans la prochaine sous-section, nous examinerons comment ces glandes individuelles s'organisent en structures arborescentes hiérarchiques—comment les sujets forment des forêts d'agents interconnectés qui mettent collectivement en œuvre l'économie comme un système thermodynamique. Nous verrons comment l'énergie se propage à travers ces arbres, comment l'attribution est calculée de manière récursive, et comment l'ensemble du réseau économique s'optimise grâce à l'apprentissage par renforcement négatif.

Mais la fondation est maintenant claire : les Glandes Énergétiques Virtuelles transforment la participation économique d'une activité abstraite et médiatisée en une expérience incarnée et directe. Elles remplacent les livres de comptes externes par une perception interne, les transactions discrètes par des flux continus, et les représentations symboliques par la réalité physique. Elles font de l'économie non pas

quelque chose que vous accédez par des institutions, mais quelque chose que vous vivez comme une extension de votre propre corps.

7.3 L'Arbre des Sujets et la Rétropropagation de l'Énergie

Dans la Section 4.2, nous avons établi que les entités dans le STC sont modélisées comme des sujets—des agents actifs avec une connaissance de soi, des capacités d'apprentissage et des Glandes Énergétiques Virtuelles visibles à travers la réalité augmentée. Mais comment les sujets se rapportent-ils les uns aux autres ? Comment la valeur circule-t-elle entre eux ? Comment les créateurs sont-ils récompensés lorsque leurs innovations économisent de l'énergie pour les autres ?

La réponse réside dans l'organisation hiérarchique : les sujets forment des arbres où vous êtes la racine et tout ce avec quoi vous interagissez—dispositifs, logiciels, infrastructures, même les créations d'autres personnes—devenant une branche ou une feuille. Lorsque n'importe quelle partie de votre arbre économise de l'énergie, cette économie se propage à travers la structure,

créditant automatiquement tous les contributeurs selon leur rôle causal.

Cette section formalise les structures arborescentes, dérive le mécanisme de rétropropagation et passe en revue l'exemple canonique : une femme qui invente une machine à laver économe en énergie et gagne des jetons STC chaque fois que quelqu'un l'utilise. À la fin, vous comprendrez comment le STC attribue automatiquement de la valeur à travers des réseaux complexes de créateurs, de composants et d'utilisateurs.

Votre corps étendu : du physique au virtuel

Dans l'économie traditionnelle, votre capacité économique est limitée à votre corps physique. Vous gagnez de l'argent en vendant votre travail - le travail effectué par vos mains, votre cerveau, vos muscles. Lorsque vous arrêtez de travailler, vous arrêtez de gagner.

STC élargit radicalement cette frontière. Votre corps économique comprend :

- Votre corps physique : actions directes que vous effectuez

- Dispositifs que vous possédez : votre téléphone, ordinateur portable, voiture, appareils électroménagers

- Logiciels que vous utilisez : applications, assistants IA, outils d'automatisation

- Infrastructure à laquelle vous accédez : routes, réseaux électriques, réseaux de communication

- Créations que vous avez construites : code, designs, Knowledge Hooks, inventions

- Créations d'autres que vous utilisez : tout outil d'efficacité créé par quelqu'un d'autre

Tous ces éléments deviennent des parties du corps virtuel - des extensions de votre capacité qui agissent en votre nom, vous font économiser de l'énergie ou vous rapportent du STC lorsqu'ils économisent de l'énergie pour les autres. Vos lunettes intelligentes AR rendent cela tangible : vous voyez littéralement ces extensions comme des nœuds lumineux connectés à votre corps.

Définition formelle : Arbre de Sujets

Mathématiquement, un Arbre de Sujets $T(U)$ ancré à l'utilisateur U est défini comme :

$$T(U) = \{S_i \mid S_i \text{ is subjectively connected to } U\}$$

Où "subjectivement connecté" signifie S_i soit :

1. Directement possédé/contrôlé par U (votre téléphone, votre voiture)

2. Créé par U (logiciel que vous avez écrit, machines que vous avez conçues)

3. Agit au nom de U (assistant IA, service d'automatisation)

4. Partage un contexte suffisant avec U (apprend vos habitudes, s'adapte à vos préférences)

Chaque sujet S_i dans l'arbre a une fonction de cartographie d'énergie :

$$f_{S_i} : \text{Actions} \to \mathbb{R}^+$$

Cette fonction cartographie les actions effectuées par ou à travers S_i à la dépense énergétique (valeurs positives) ou aux économies d'énergie (comparées à la référence).

Exemple : Votre client de messagerie S_{email} a une cartographie :

$$f_{S_{\text{email}}}(\text{filter_spam}) = -38 \text{ J/day}$$

(Négatif car cela permet d'économiser 38 J par rapport à un filtrage manuel)

Structure Arborescente : Organisation Hiérarchique

L'arbre a trois niveaux d'organisation :

Racine (Vous) : L'utilisateur U est toujours la racine. Tous les flux d'énergie affectent finalement votre batterie cardiaque (équilibre STC).

Branches (Extensions Directes) : Sujets avec lesquels vous interagissez directement :

- Dispositifs physiques (téléphone, thermostat, véhicule)

- Applications logicielles (client de messagerie, calendrier, navigation)

- Services (stockage en cloud, assistants IA)

Feuilles (Composants Indirects) : Sujets qui ont créé ou contribuent aux branches :

- Développeurs qui ont construit le logiciel

- Ingénieurs qui ont conçu le matériel

- Usines qui ont fabriqué des composants

- Fournisseurs d'infrastructure (opérateurs de réseau, réseaux électriques)

Visuellement en AR :

[Vous - Racine]

/ | \

[Téléphone] [Voiture] [Maison]

| | |

[Dév App] [Auto [Intelligent

Ingénieur] Thermostat

Développeur]

Rétropropagation d'énergie : Le mécanisme central

Lorsque n'importe quel sujet dans votre arbre économise de l'énergie, cette économie doit être répartie équitablement entre tous les contributeurs. Cela est réalisé par la rétropropagation d'énergie, un processus analogue à la rétropropagation de gradient dans les réseaux neuronaux, mais pour la valeur thermodynamique au lieu des signaux d'apprentissage.

La formule de rétropropagation :

$$\forall S_i \in T(U) : E(S_i) \leftarrow E(S_i) + \beta_i \Delta E$$

Où :

- ΔE : Énergie totale économisée par l'action

- β_i : Coefficient de contribution pour le sujet S_i (proportion de crédit)

- $E(S_i)$: Solde STC cumulé du sujet S_i

Contrainte de conservation : Les coefficients doivent totaliser 1 pour garantir que toute l'énergie est attribuée :

$$\sum_i \beta_i = 1$$

Comment les coefficients β_i sont-ils déterminés ? Ils représentent la contribution causale de chaque sujet aux économies d'énergie :

- Créateur direct (inventé le mécanisme de base) : Plus grand β, typiquement 0.4-0.6

- Contributeurs de composants (fournis des pièces essentielles) : Moyen β, typiquement 0.1-0.2 chacun

- Fournisseurs d'infrastructure (permis au système de fonctionner) : Petit β, typiquement 0.05-0.1 chacun

- Utilisateur (fourni le contexte qui a rendu l'automatisation possible) : Petit β, typiquement 0.05

Ces coefficients peuvent être :

- Prédéfinis (définis par les créateurs sur la base d'un accord)

- Déterminés algorithmiquement (basés sur des contributions mesurables comme les lignes de code, les coûts des composants)

- Basés sur le marché (négociés par le biais de contrats intelligents)

L'exemple de la machine à laver : Guide complet

Pour rendre la rétropropagation de l'énergie concrète, nous examinons l'exemple canonique : une femme qui invente une machine à laver économe en énergie.

Contexte : Une femme (S_w) conçoit une machine à laver révolutionnaire (S_m) qui utilise des vibrations ultrasoniques au lieu de tambours rotatifs, réduisant la consommation d'énergie de 60 %. Elle collabore avec :

- Un ingénieur (S_e) qui conçoit le module ultrasonique

- Un développeur (S_d) qui programme l'IA de contrôle

- Une usine (S_f) qui fabrique le système d'eau

Étape 1 : Relation Subjective

La machine à laver devient subjectivement liée à la femme :

$$\mathrm{SRel}(S_w \to S_m \mid W) = 1$$

Où W est le contexte partagé (intention de conception, processus de fabrication, déploiement). Cela signifie que S_m est une extension du corps économique de S_w.

Étape 2 : Structure Arborescente

L'arbre des sujets pour cette innovation :

[Femme - S_w]

|

[Machine à laver - S_m]

/ | \

[Ultrasonique [Contrôle [Eau

Module-S_e] IA-S_d] Système-S_f]

Étape 3 : Mesure de l'énergie

Un homme utilise la machine pour laver des vêtements. Le système mesure l'énergie à travers des lunettes AR et des capteurs de dispositifs :

Lavage manuel (sans machine) :

$$E_{\text{manual}} = \sum_{i=1}^{n} e_i$$

Décomposer les actions :

- Remplir le bassin d'eau : 20 J (porter de l'eau)

- Ajouter du détergent : 3 J (scooping, pouring)

- Frotter les vêtements (10 minutes) : 600 J (mouvements des bras)

- Rincer les vêtements (5 minutes) : 300 J (plongées répétées)

- Essorer l'eau : 150 J (force de compression)

- Suspendre pour sécher : 30 J (lever, suspendre)

Énergie manuelle totale : $E_{\text{manual}} = 1,103$ J

Lavage en machine (avec machine ultrasonique) :

$$E_{\text{machine}} = \sum_{j=1}^{m} e_j$$

Décomposer les actions :

- Charger les vêtements dans la machine : 15 J (lever, placer)

- Ajouter le distributeur de détergent : 2 J (versement simple)

- Appuyer sur le bouton de démarrage : 0,5 J (pression du bouton)

- Attendez pendant que la machine fonctionne : 0 J (aucune action de l'utilisateur)

- Retirez les vêtements propres : 15 J (levage)

- Accrochez pour sécher : 30 J (identique au manuel)

Énergie totale de la machine : $E_{\text{machine}} = 62.5$ J

Étape 4 : Différentiel d'énergie

L'énergie économisée :

$$\Delta E = E_{\text{manual}} - E_{\text{machine}} = 1,103 - 62.5 = 1,040.5 \text{ J}$$

Ces 1 040,5 J représentent une énergie réelle et mesurable que l'homme n'a pas eu à dépenser parce que la machine a effectué le travail. Dans STC, cela devient 1 040,5 jetons STC à distribuer.

Étape 5 : Attribution des coefficients

Les contributeurs s'accordent sur (ou déterminent algorithmiquement) les coefficients suivants β :

- Femme (S_w, inventeur principal) : $\beta_w = 0.50$

- Ingénieur ultrasonique (S_e) : $\beta_e = 0.20$

- Développeur IA (S_d): $\beta_d = 0.15$

- Usine (S_f, système d'eau): $\beta_f = 0.10$

- Utilisateur (S_u, données d'utilisation fournies): $\beta_u = 0.05$

Vérification:
$0.50 + 0.20 + 0.15 + 0.10 + 0.05 = 1.00$ ✓

Étape 6: Calcul de rétropropagation

Les 1 040,5 jetons STC sont distribués :

$$E(S_w) \leftarrow E(S_w) + 0.50 \times 1,040.5 = E(S_w) + 520.25 \text{ STC}$$
$$E(S_e) \leftarrow E(S_e) + 0.20 \times 1,040.5 = E(S_e) + 208.10 \text{ STC}$$
$$E(S_d) \leftarrow E(S_d) + 0.15 \times 1,040.5 = E(S_d) + 156.08 \text{ STC}$$
$$E(S_f) \leftarrow E(S_f) + 0.10 \times 1,040.5 = E(S_f) + 104.05 \text{ STC}$$
$$E(S_u) \leftarrow E(S_u) + 0.05 \times 1,040.5 = E(S_u) + 52.03 \text{ STC}$$

Étape 7: Visualisation en AR

Chaque participant voit ses Glandes Énergétiques Virtuelles s'activer :

- Femme : Les glandes d'épaule brillent d'un or éclatant (+520,25 STC), la batterie cardiaque s'élargit

- Ingénieur : Les glandes d'épaule brillent d'un or moyen (+208,10 STC)

- Développeur : Les glandes d'épaule brillent d'un or clair (+156,08 STC)

- Usine : La batterie cœur d'entreprise (collective) augmente (+104,05 STC)

- Utilisateur : Petite lueur d'épaule (+52,03 STC, récompense pour avoir fourni des données d'utilisation qui ont amélioré le système)

Étape 8 : Effet de mise à l'échelle

Cela se produit chaque fois que quelqu'un utilise la machine. Si 10 000 personnes l'utilisent une fois par semaine :

- Utilisations par an : $10,000 \times 52 = 520,000$ utilisations

- Énergie totale économisée par an : $1,040.5 \times 520,000 = 541,060,000$ J ≈ 541 MJ

- Total STC créé par an : 541 060 000 jetons STC

Revenus annuels de la femme : $541,060,000 \times 0.50 = 270,530,000$ STC

Ceci est un revenu passif : elle a construit la machine une fois, et elle

continue à gagner tant qu'elle économise de l'énergie pour les autres.

Pourquoi la rétropropagation fonctionne : justification théorique

La rétropropagation de l'énergie n'est pas arbitraire - elle découle naturellement de trois principes :

1. Conservation de l'énergie : La première loi de la thermodynamique stipule que l'énergie ne peut pas être créée ou détruite. Lorsque 1 040,5 J est économisé, exactement 1 040,5 J de valeur doivent être créés. La rétropropagation garantit que toute la valeur est attribuée - rien n'est perdu, rien n'est inventé.

2. Attribution causale : Ceux qui ont causé les économies d'énergie devraient recevoir un crédit proportionnel à leur rôle causal. Les coefficients β codent la causalité. Sans le design de la femme, aucune économie ne se produit (β_w est le plus grand). Sans le module ultrasonique, le design ne fonctionne pas (β_e est le deuxième). Chaque contribution est nécessaire.

3. Composabilité : Les systèmes complexes sont construits à partir de composants plus simples. Les arbres représentent

naturellement cette composition - les branches dépendent des feuilles, les racines dépendent des branches. La rétropropagation respecte la structure compositionnelle en faisant circuler la valeur des feuilles à travers les branches jusqu'à la racine.

Rétropropagation récursive : arbres multi-niveaux

En réalité, les arbres peuvent avoir de nombreux niveaux de profondeur. L'ingénieur ultrasonique (S_e) a peut-être utilisé des composants conçus par d'autres :

[Femme]

|

[Machine à laver]

|

[Module ultrasonique - Ingénieur]

|

[Cristal piézoélectrique - Fournisseur]

|

[Matières premières - Mineur]

Les flux de rétropropagation se déroulent de manière récursive : la part de l'ingénieur (208,10 STC) est subdivisée

selon son arbre, créditant le fournisseur, qui subdivise à son tour pour créditer le mineur. Cela continue jusqu'à atteindre des sujets sans dépendances.

La formule récursive :

$$E(S_i) \leftarrow E(S_i) + \beta_i \left[\Delta E - \sum_{j \in \text{children}(S_i)} \beta_j \Delta E \right]$$

Chaque sujet conserve sa part moins ce qu'il transmet à ses enfants. Cela garantit que le total ΔE est distribué sans double comptage.

Arbres dynamiques : Les sujets rejoignent et quittent

Les arbres ne sont pas statiques - ils évoluent à mesure que vous adoptez de nouvelles technologies ou cessez d'utiliser d'anciennes :

- Vous installez une nouvelle application : Le sujet du développeur de l'application rejoint votre arbre en tant que nouvelle branche

- Vous désinstallez l'application : La branche est supprimée (mais le développeur conserve le STC gagné pendant que vous l'avez utilisée)

- Une application se met à jour : Si la mise à jour améliore l'efficacité, le β du développeur peut augmenter (plus de crédit pour une plus grande contribution)

- Vous passez à un meilleur outil : La branche de l'ancien outil est remplacée par celle du nouvel outil ; les économies d'énergie futures vont au créateur du nouvel outil

Ce dynamisme crée une pression de sélection darwinienne : les outils qui économisent plus d'énergie attirent plus d'utilisateurs, gagnant plus de STC, finançant un développement supplémentaire. Les outils inefficaces perdent des utilisateurs, gagnent moins et disparaissent.

Implications : Économie en tant que réseau énergétique

Le modèle arbre-et-rétropropagation révèle le STC comme un type d'économie fondamentalement différent :

1. Attribution automatique : Pas de factures, pas de facturation, pas de départements comptables. L'énergie économisée est automatiquement détectée, mesurée et attribuée à travers la structure arborescente.

2. Compensation proportionnelle : Le crédit coule selon la contribution causale, pas selon le pouvoir de marché ou les compétences de négociation. Ceux qui contribuent davantage à l'efficacité gagnent plus.

3. Revenus passifs issus de l'innovation : Créez une fois, gagnez pour toujours (tant que votre création continue d'économiser de l'énergie). Cela incite à construire des outils durables et largement utiles.

4. Composabilité récompensée : S'appuyer sur le travail des autres est économiquement sain - vous gagnez pour votre contribution, ils gagnent pour la leur. Pas de compétition à somme nulle.

5. Flux de valeur transparent : Tout le monde peut inspecter les arbres en AR, voyant exactement comment la valeur circule et qui a contribué à quoi. Cela crée de la confiance et permet des décisions éclairées.

Conclusion : Les arbres comme système nerveux économique

L'arbre des sujets avec rétropropagation d'énergie sert de système nerveux économique de STC—l'infrastructure à travers laquelle les signaux de valeur circulent des feuilles (innovations) à travers les branches

(composants) jusqu'aux racines (utilisateurs).

Tout comme votre système nerveux biologique distribue automatiquement les nutriments et les signaux sans contrôle conscient, la structure de l'arbre distribue automatiquement les jetons STC en fonction de la réalité thermodynamique. Vous n'avez pas besoin d'y penser—cela se produit naturellement, continuellement, proportionnellement.

L'exemple de la machine à laver démontre le mécanisme complet : de l'innovation à la formation de l'arbre, à la mesure d'énergie, au calcul différentiel, à l'attribution de coefficients et à la rétropropagation récursive. Élargissez cela à des millions d'innovations, des milliards d'utilisateurs et des trillions d'interactions quotidiennes d'économie d'énergie, et vous avez une économie qui récompense l'efficacité à chaque niveau—automatiquement, de manière transparente et proportionnellement à la contribution réelle.

Dans la section suivante, nous explorerons comment cette économie d'énergie basée sur les arbres se mappe sur l'expérience humaine complète, reliant les actions numériques (clics, balayages) à l'effort physique (marcher, porter) à

travers le cadre unifié du coût thermodynamique.

7.3.1 Sujets comme extensions de soi

Avant de plonger dans les mécanismes de la rétropropagation d'énergie et la structure formelle de l'arbre, nous devons aborder une question fondamentale : Que signifie pour un appareil, un outil ou un système de devenir subjectif pour vous ? Comment un objet externe se transforme-t-il d'une entité séparée que vous contrôlez en une extension de votre propre corps et esprit ?

Ce n'est pas une métaphore. C'est une neuroscience mesurable, ancrée dans des phénomènes comme l'illusion de la main en caoutchouc—où votre cerveau accepte une main factice comme faisant partie de votre corps lorsque les signaux se synchronisent correctement. Le même mécanisme qui fait qu'une main en caoutchouc semble être votre main est ce qui fait que votre smartphone semble être une extension de votre mémoire, votre voiture comme une extension de votre mobilité, votre assistant IA comme une extension de votre cognition.

L'illusion de la main en caoutchouc : Preuve de l'extension subjective

Dans cette expérience psychologique célèbre, la vraie main d'un participant est cachée à la vue tandis qu'une main en caoutchouc est placée visiblement devant eux. Un expérimentateur frotte simultanément la vraie main cachée et la main en caoutchouc visible avec un pinceau. Après quelques minutes de frottement synchronisé, quelque chose de remarquable se produit : le participant commence à ressentir le toucher sur la main en caoutchouc. Lorsque la main en caoutchouc est menacée (par exemple, frappée avec un marteau), le participant sursaute.

Le cerveau a accepté la main en caoutchouc comme faisant partie du corps. Pourquoi ? Parce que deux conditions ont été remplies :

1. Synchronisation des Signaux : L'entrée visuelle (voir le pinceau frotter la main en caoutchouc) s'aligne parfaitement avec l'entrée tactile (ressentir le pinceau frotter la vraie main)

2. Cohérence Prédictive : L'apparence et la position de la main en caoutchouc correspondaient aux attentes concernant l'endroit où une main devrait être.

Lorsque ces conditions persistent, la frontière du "soi" s'élargit. La main en

caoutchouc n'est plus externe - elle fait subjectivement partie de vous.

Définition Formelle de la Relation Subjective

Nous pouvons formaliser ce phénomène. Une Relation Subjective entre deux entités o_1 et o_2 dans un contexte partagé W existe lorsque :

$$\mathrm{SRel}(o_1 \to o_2 \mid W) = 1 \quad \text{iff} \quad \begin{cases} \mathrm{Syn}(o_1, o_2 \mid W) \geq \tau_s \\ \wedge \\ \mathrm{Pred}(o_1 \to o_2 \mid W) \geq \tau_p \end{cases}$$

Décomposons cela :

$\mathrm{SRel}(o_1 \to o_2 \mid W) = 1$: L'objet o_2 est subjectif par rapport à l'objet o_1 dans le contexte W. Lorsque cela équivaut à 1, o_2 a franchi le seuil de "outil externe" à "extension subjective."

$\mathrm{Syn}(o_1, o_2 \mid W)$: Synchronisation - mesure à quel point les signaux de o_2 s'alignent avec les attentes/modèles de o_1. Une forte synchronisation signifie que le comportement de o_2 est temporellement et contextuellement cohérent avec l'état de o_1.

Mathématiquement :

$$\text{Syn}(o_1, o_2 \mid W) = \frac{1}{T} \sum_{t=1}^{T} \text{corr}(\text{signal}_{o_1}(t), \text{signal}_{o_2}(t))$$

Où corr est le coefficient de corrélation entre les signaux attendus de o_1 et les signaux réels de o_2. Une forte corrélation (> τ_s, typiquement 0,8) indique une synchronisation.

Exemple : Votre montre intelligente (o_2) sait que vous (o_1) êtes sur le point de vous lever car elle détecte les micro-mouvements qui précèdent le fait de se lever. Lorsque vous vous levez, elle affiche l'heure—synchronisée avec votre intention avant que vous n'agissiez consciemment.

$\text{Pred}(o_1 \to o_2 \mid W)$: Prévisibilité—mesure à quel point o_1 peut prédire de manière fiable le comportement de o_2 en fonction du contexte. Une forte prévisibilité signifie que o_2 agit de manière cohérente dans des contextes similaires.

$$\text{Pred}(o_1 \to o_2 \mid W) = P(\text{action}_{o_2} = \text{expected}_{o_1} \mid \text{context})$$

Lorsque cette probabilité dépasse le seuil τ_p (typiquement 0,85), o_2 est prévisible pour o_1.

Exemple : Votre thermostat (o_2) ajuste constamment la température que vous préférez

lorsque vous rentrez chez vous. Vous avez appris à vous attendre à cela, donc vous ne vérifiez plus—c'est prévisible.

Lorsque les deux conditions sont remplies—haute synchronisation ET haute prévisibilité—la relation subjective se forme. L'appareil cesse d'être un outil que vous utilisez et devient une partie de la façon dont vous vivez le monde.

La relation inverse : vers un input zéro

Il y a un corollaire crucial : à mesure que la synchronisation et la prévisibilité augmentent, l'input requis diminue :

$$U(o_1, o_2 \mid W) \propto \frac{1}{\mathrm{Syn}(o_1, o_2 \mid W) \cdot \mathrm{Pred}(o_1 \to o_2 \mid W)}$$

Où U est l'input utilisateur requis. À mesure que le produit de la synchronisation et de la prévision approche du maximum (tous deux près de 1,0), l'input requis approche de zéro. C'est la base mathématique de la technologie à zéro input.

Des relations subjectives parfaites ne nécessitent aucune intervention car l'appareil sait déjà ce dont vous avez besoin, quand vous en avez besoin, et agit en conséquence. Vous ne lui dites plus quoi faire, il le fait simplement.

Des mains en caoutchouc aux appareils intelligents

L'illusion de la main en caoutchouc prouve que cela peut se produire avec une intégration biologique. La Technologie Subjective étend le même principe aux outils numériques et physiques :

Votre smartphone devient subjectif lorsque :

- Synchronisation : Il prédit quand vous allez le consulter (réveil du matin, pause déjeuner, détente du soir) et précharge les informations pertinentes

- Prévisibilité : Il fournit constamment ce dont vous avez besoin (itinéraires en partant au travail, musique en faisant de l'exercice) sans être sollicité

Votre maison devient subjective lorsque :

- Synchronisation : Les lumières, la température et les appareils s'ajustent au fur et à mesure que vous vous déplacez dans les espaces, anticipant votre chemin

- Prévisibilité : L'environnement correspond constamment à vos préférences sans ajustement manuel

Votre véhicule devient subjectif lorsque :

- Synchronisation : Il commence à se réchauffer avant que vous ayez fini votre petit-déjeuner (connaissant votre heure de départ)

- Prévisibilité : Il vous route de manière optimale en fonction des préférences apprises (vous préférez les routes pittoresques le week-end, les routes les plus rapides en semaine)

Parties du corps virtuelles : Le Soi Étendu

Une fois que des relations subjectives se forment, ces entités deviennent des parties du corps virtuelles—extensions de votre agence visibles à travers des lunettes AR comme des nœuds lumineux connectés à votre soi central. Chaque partie du corps virtuelle :

- Maintient la connaissance de soi : Enregistre son propre état à travers des instantanés (Σ dans le tuple 5 du sujet)

- Apprend par renforcement : Améliore les actions en fonction des corrections nécessaires (couche R)

- Se connecte avec d'autres parties : Partage le contexte avec vos autres appareils (connexions C)

- Cartographie les actions à l'énergie : A une fonction d'énergie $f_{S_i} : \text{Actions} \to \mathbb{R}^+$

Votre arbre de sujets—la collection hiérarchique de toutes vos parties du corps virtuelles—forme votre corps économique étendu dans le STC. Lorsque n'importe quelle partie économise de l'énergie pour d'autres, vous gagnez des jetons STC. Lorsque vous utilisez les parties des autres, leurs créateurs gagnent des jetons.

Pourquoi cela compte pour le STC

La relation subjective n'est pas seulement phénoménologie—elle a des conséquences économiques directes en STC :

1. Limite d'attribution : Seuls les sujets dans votre arbre peuvent gagner des STC en votre nom. Les outils externes aléatoires ne comptent pas—ils doivent être intégrés subjectivement (SRel = 1).

2. Mesure des économies d'énergie : Plus un appareil est synchronisé et prévisible, plus il économise d'énergie (moins de corrections, moins d'interventions manuelles), donc plus de STC gagnés.

3. Expérience utilisateur : Les relations subjectives créent l'expérience fluide et sans effort nécessaire pour une technologie

sans saisie. Ce n'est pas seulement pratique—c'est économiquement incitatif grâce aux récompenses STC.

4. Effets de réseau : À mesure que plus de sujets rejoignent votre arbre et se synchronisent entre eux, l'intelligence collective augmente, les économies d'énergie s'accumulent et la génération de STC s'accélère.

Exemple : Routine Matinale en Extension Subjective

Considérez votre routine matinale impliquant plusieurs appareils :

7h00 : Le réveil sonne (smartphone S_1) :00

Dans les 30 secondes :

- Les lumières de la chambre s'illuminent progressivement (ampoules intelligentes S_2)—synchronisées avec le réveil

- Le thermostat s'ajuste à 22°C (thermostat intelligent S_3)—prédire que vous voudrez de la chaleur

- La machine à café commence à préparer (appareil intelligent S_4)—synchronisé avec votre heure de réveil

- Le ventilateur de la salle de bain s'active (interrupteur intelligent S_5)—prédire que vous allez bientôt prendre une douche

- Le résumé des nouvelles se charge sur les lunettes (système AR S_6)—synchronisé avec le moment où vous vérifiez les nouvelles

Aucune de ces actions n'a nécessité d'entrée. Les relations subjectives (haute Syn, haute Pred) les ont rendues des extensions de votre moi du matin. Chaque appareil :

$$\text{SRel}(\text{You} \to S_i \mid \text{Morning Context}) = 1 \text{ for } i \in \{1, 2, 3, 4, 5, 6\}$$

Énergie économisée : Comparé à l'exécution manuelle de chaque action :

- Manuel : Marcher jusqu'à chaque appareil (5 × 10 J) + faire fonctionner chaque appareil (5 × 2 J) = 60 J

- Automatique : Jeter un coup d'œil à la notification confirmant la routine (1 J)

- Économisé : 59 J par matin × 365 jours = 21 535 J/an

Chaque créateur d'appareil gagne sa part de ces 21,5 kJ grâce à la rétropropagation d'énergie.

Conclusion : L'auto-extension par la synchronisation

La relation subjective—formalisée par des seuils de synchronisation et de prévisibilité—est le mécanisme par lequel des entités externes deviennent une partie de vous. Ce n'est pas de la philosophie ; c'est une neuroscience mesurable (illusion de la main en caoutchouc) appliquée à la technologie.

Dans STC, ces extensions subjectives forment votre corps économique. Elles agissent en votre nom, économisent de l'énergie pour vous et pour les autres, et gagnent des jetons STC qui reviennent à leurs créateurs. Plus elles sont synchronisées et prévisibles, plus elles économisent d'énergie et créent de la valeur.

Comprendre les relations subjectives est essentiel car elles définissent la limite de votre arbre—ce qui compte comme "vôtre" pour l'attribution économique. Dans la prochaine sous-section, nous verrons comment ces extensions subjectives s'organisent en structures arborescentes hiérarchiques et comment les économies d'énergie se propagent à travers ces arbres pour récompenser tous les contributeurs.

7.3.2 L'exemple du lave-linge : Un arbre de sujets

Pour comprendre comment l'arbre des sujets et la rétropropagation de l'énergie fonctionnent en pratique, nous avons besoin d'un exemple concret et détaillé qui montre chaque composant du système en action. Examinons un scénario qui transforme le formalisme mathématique abstrait en réalité tangible : une femme qui invente un lave-linge révolutionnaire, et le réseau complexe de sujets, de flux d'énergie et de coefficients d'attribution qui émergent de son innovation.

Cet exemple démontrera comment les économies d'énergie sont mesurées, comment la valeur se propage à travers des structures hiérarchiques, comment plusieurs contributeurs reçoivent un crédit proportionnel, et comment l'ensemble du système fonctionne automatiquement sans coordination explicite ni contrôle central. À la fin de cette sous-section, le cadre théorique que nous avons construit deviendra visiblement clair—non pas comme des mathématiques abstraites, mais comme une réalité économique vécue.

L'innovation : Un lave-linge économe en énergie

Imaginez une femme—appelons-la Maria—qui conçoit un lave-linge révolutionnaire qui n'a plus besoin de faire tourner les vêtements. Les lave-linge traditionnels fonctionnent en agitant le tissu dans des tambours rotatifs, un processus mécanique qui nécessite une énergie considérable pour le moteur et le système de circulation de l'eau. L'innovation de Maria utilise plutôt des vibrations ultrasoniques, générant des bulles de cavitation microscopiques qui nettoient les vêtements avec beaucoup moins de mouvement mécanique et d'utilisation d'eau.

La création de cette machine n'est pas un acte solitaire. Maria conçoit l'idée centrale, mais sa réalisation nécessite un réseau de contributions : elle collabore avec des ingénieurs acoustiques qui conçoivent les transducteurs ultrasoniques, des développeurs de logiciels qui créent les algorithmes de contrôle, des ouvriers d'usine qui fabriquent les composants, et des scientifiques des matériaux dont la recherche a permis les membranes spécialisées. Chaque participant exerce de l'énergie—intellectuelle, physique, ou les deux—pour donner vie à la machine.

Dans le cadre de la Thermo-Monnaie Subjective, toutes ces contributions deviennent des extensions du corps

économique de Maria. La machine à laver elle-même, et chacun de ses composants, devient une partie du corps économiseur d'énergie. Ce n'est pas un langage métaphorique—c'est une comptabilité thermodynamique de la réalité, mesurée à travers des instantanés contextuels et des différentiels d'énergie.

La relation entre Maria et sa machine peut être formellement définie comme une relation subjective :

$$\mathrm{SRel}(S_{\mathrm{Maria}} \to S_{\mathrm{machine}} \mid W) = 1$$

Où S_{Maria} est le sujet représentant Maria, S_{machine} est le sujet représentant la machine à laver, et W est leur contexte partagé (le projet de créer et de maintenir la machine). Cette équation stipule que la machine à laver devient subjective pour Maria—une extension active de son être—car sa fonction découle de son effort et de son intention. La machine n'est pas un objet externe qu'elle possède ; c'est une partie de son corps économique étendu.

Effort énergétique : Lavage manuel vs lavage machine

Avant l'innovation de Maria, une personne lavant des vêtements à la main dépensait une

énergie significative. Considérons le processus complet : transporter le linge vers un lieu de lavage (locomotion), remplir des contenants d'eau (manipulation d'objet), frotter chaque vêtement (effort physique répétitif), essorer l'excès d'eau (application de force soutenue), et suspendre les articles pour sécher (plus de manipulation et de locomotion). Chaque action a un coût thermodynamique mesurable.

Nous pouvons décrire cela formellement comme l'énergie totale dépensée pendant le lavage manuel :

$$E_{\text{manual}} = \sum_{i=1}^{n} e_i$$

Où chaque e_i représente une action atomique ou une unité d'effort. Calculons des valeurs spécifiques en utilisant les équations physiques que nous avons établies précédemment. Supposons une session de lavage manuel typique pour une charge standard de 5 kg de linge :

Locomotion (porter le linge sur 20 mètres, porter des contenants d'eau) : $E_{\text{locomotion}} = 2 \times (70\ \text{kg} \times 9.8\ \text{m/s}^2 \times 20\ \text{m}) \times 0.25 \approx 6{,}860\ \text{J}$. Le facteur de 2 tient compte du voyage aller-retour, et nous supposons que la personne pèse 70 kg plus la charge de 5 kg.

Remplir et verser de l'eau (manipuler ~20 litres dans plusieurs contenants) : $E_{\text{manipulation}} = 5 \times (20\ \text{kg} \times 9.8\ \text{m/s}^2 \times 1.5\ \text{m}) \approx 1{,}470\ \text{J}$. Nous supposons 5 cycles de remplissage/versement à une différence de hauteur moyenne de 1,5 mètres.

Frotter les vêtements (mouvement répétitif pendant 30 minutes) : En utilisant le modèle force × distance, supposons une force moyenne de 10 N appliquée sur une distance totale de 500 mètres (mouvement cumulatif de la main), $E_{\text{scrubbing}} = 10\ \text{N} \times 500\ \text{m} = 5{,}000\ \text{J}$.

Essorage (application de force soutenue pour 15 vêtements) : $E_{\text{wringing}} = 15 \times 50\ \text{J} = 750\ \text{J}$. Chaque action d'essorage nécessite une force de compression équivalente à environ 50 J d'énergie métabolique.

Charge cognitive (attention, planification, surveillance pendant 45 minutes) : $E_{\text{cognitive}} = 20\ \text{W} \times 2700\ \text{s} = 54{,}000\ \text{J}$. La consommation de base du cerveau est d'environ 20 W ; le lavage actif nécessite une concentration soutenue.

Énergie manuelle totale : $E_{\text{manual}} = 6{,}860 + 1{,}470 + 5{,}000 + 750 + 54{,}000 = 68{,}080\ \text{J} \approx 68\ \text{kJ}$.

Considérons maintenant la même tâche effectuée avec la machine à laver ultrasonique de Maria. L'utilisateur charge le linge dans la machine, appuie sur un bouton et revient plus tard pour récupérer des vêtements propres. Calculons la dépense énergétique :

Locomotion (transport du linge à la machine et retour, ~10 mètres au total) : $E_{\text{locomotion}} = 70\ \text{kg} \times 9.8\ \text{m/s}^2 \times 10\ \text{m} \times 0.25 \approx 1{,}715\ \text{J}$.

Chargement/déchargement (ouverture de la porte, placement des vêtements, retrait) : $E_{\text{manipulation}} = 5\ \text{kg} \times 9.8\ \text{m/s}^2 \times 1\ \text{m} \times 2 \approx 98\ \text{J}$.

Appui sur le bouton et interaction avec l'interface : $E_{\text{interaction}} = 1\ \text{J}$ (force négligeable × distance pour l'activation du bouton).

Charge cognitive (attention minimale requise) : $E_{\text{cognitive}} = 20\ \text{W} \times 120\ \text{s} = 2{,}400\ \text{J}$. Seulement ~2 minutes d'attention active nécessaires pour la configuration.

Énergie totale assistée par la machine : $E_{\text{machine}} = 1{,}715 + 98 + 1 + 2{,}400 = 4{,}214\ \text{J} \approx 4.2\ \text{kJ}$.

Le principe du moindre effort s'applique naturellement :

$$E_{\text{machine}} < E_{\text{manual}}$$

$$4.2\ \text{kJ} < 68\ \text{kJ}$$

Cette inégalité démontre l'efficacité énergétique profonde de la machine—elle réduit l'effort humain d'un facteur de plus de 16.

Différentiel énergétique et crédit automatique

Les économies d'énergie réalisées par le lave-linge de Maria sont la différence mesurable entre le lavage manuel et le lavage assisté par machine :

$$\Delta E = E_{\text{manual}} - E_{\text{machine}} = 68\ \text{kJ} - 4.2\ \text{kJ} = 63.8\ \text{kJ}$$

Cette différence—environ 64 kilojoules par charge—représente un crédit d'économie d'énergie quantifiable qui est automatiquement attribué à Maria et à ses collaborateurs. Mais comment le système détecte-t-il ces économies, et comment l'attribution est-elle calculée ?

Le mécanisme de détection fonctionne grâce à des lunettes intelligentes AR et à la vision IA. Lorsque quelqu'un utilise le lave-linge, le système effectue les opérations suivantes :

Tout d'abord, capture de l'instantané contextuel : Les lunettes AR de l'utilisateur (ou les lunettes portées par des personnes à proximité, avec permission) enregistrent le contexte visuel avant, pendant et après la tâche de lavage. Ces instantanés incluent la localisation de l'utilisateur, la charge de linge, l'état de la machine et les conditions environnementales.

Deuxièmement, détection d'action : La vision IA analyse le flux vidéo et identifie les actions spécifiques effectuées : marcher vers la machine, ouvrir la porte, charger des vêtements, appuyer sur des boutons, s'éloigner, revenir, décharger. Chaque action est classée et sa durée mesurée.

Troisièmement, calcul de l'énergie : En utilisant les équations physiques que nous avons établies et des modèles biomécaniques calibrés pour l'utilisateur individuel, le système calcule E_{machine}—l'énergie réellement dépensée avec la machine.

Quatrièmement, estimation de la base contrefactuelle : Le système calcule également E_{manual}—ce que l'énergie aurait été si l'utilisateur avait lavé à la main. Cette contrefactuelle est estimée à l'aide de données historiques : lorsque la machine a été introduite pour la première fois, certains utilisateurs ont continué à laver à la main pour comparaison, fournissant des mesures de vérité de base. Ces mesures sont moyennées et calibrées pour tenir compte de la variation individuelle (masse corporelle, niveau de forme physique, technique de lavage).

Cinquièmement, calcul différentiel et attribution : Le système calcule $\Delta E = E_{\text{manual}} - E_{\text{machine}}$ et consulte l'enregistrement d'attribution de la machine pour déterminer comment le crédit doit être distribué parmi les contributeurs. Cet enregistrement est stocké dans la structure sujet de la machine—spécifiquement, dans son composant connexions (C).

L'enregistrement d'attribution pourrait ressembler à ceci :

$$\beta_{\text{Maria}} = 0.40 \text{ (primary inventor, system architect)}$$
$$\beta_{\text{Engineer}} = 0.25 \text{ (ultrasonic transducer design)}$$
$$\beta_{\text{Developer}} = 0.15 \text{ (control software algorithms)}$$
$$\beta_{\text{Factory}} = 0.10 \text{ (manufacturing and assembly)}$$
$$\beta_{\text{MaterialsScientist}} = 0.10 \text{ (membrane research)}$$

Notez que $\sum \beta_i = 1.00$, garantissant que l'ensemble des économies d'énergie est attribué sans duplication ni omission. Ces coefficients ne sont pas arbitraires : ils sont déterminés par un calcul objectif basé sur le rôle de chaque contributeur dans la chaîne causale qui a produit les économies d'énergie.

Lorsqu'un utilisateur termine un cycle de lavage, le différentiel d'énergie (63,8 kJ dans notre exemple) est réparti :

$$E(S_{\text{Maria}}) \leftarrow E(S_{\text{Maria}}) + 0.40 \times 63.8 \text{ kJ} = E(S_{\text{Maria}}) + 25.5 \text{ kJ}$$
$$E(S_{\text{Engineer}}) \leftarrow E(S_{\text{Engineer}}) + 0.25 \times 63.8 \text{ kJ} = E(S_{\text{Engineer}}) + 15.95 \text{ kJ}$$
$$E(S_{\text{Developer}}) \leftarrow E(S_{\text{Developer}}) + 0.15 \times 63.8 \text{ kJ} = E(S_{\text{Developer}}) + 9.57 \text{ kJ}$$
$$E(S_{\text{Factory}}) \leftarrow E(S_{\text{Factory}}) + 0.10 \times 63.8 \text{ kJ} = E(S_{\text{Factory}}) + 6.38 \text{ kJ}$$
$$E(S_{\text{MaterialsScientist}}) \leftarrow E(S_{\text{MaterialsScientist}}) + 0.10 \times 63.8 \text{ kJ} = E(S_{\text{MaterialsScientist}}) + 6.38 \text{ kJ}$$

Ces mises à jour se produisent automatiquement et instantanément. Maria n'a pas besoin d'envoyer une facture ou de négocier un paiement. L'ingénieur et le développeur n'ont pas besoin de contrats ou

d'accords de redevance. L'usine ne facture pas pour les services. Le scientifique des matériaux n'exige pas de frais de licence. L'énergie s'écoule selon la loi thermodynamique, médiée par le réseau sujet.

À travers leurs lunettes AR, chaque contributeur voit leurs glandes d'épaule s'illuminer alors que le STC s'écoule. Maria, assise dans son studio en train de travailler sur un nouveau projet, voit une pulsation de lumière et une notification : '+25,5 kJ provenant de l'utilisation de la machine à laver.' Elle peut approfondir pour voir quelle machine a été utilisée, où et par qui (avec des contrôles de confidentialité appropriés). La compensation est continue, automatique et proportionnelle à la valeur créée.

La structure arborescente : organisation hiérarchique

L'exemple de la machine à laver révèle une structure arborescente hiérarchique de sujets. À la racine se trouve Maria - l'innovatrice principale. La machine elle-même est son sujet enfant de premier niveau. Mais la machine n'est pas atomique - elle se compose de plusieurs sous-systèmes, chacun étant lui-même un sujet contribué par différents créateurs.

Nous pouvons visualiser cela comme :

Niveau 0 (Racine) : Maria (S_{Maria}) - L'inventeur principal et architecte du système.

Niveau 1 : Machine à laver (S_{machine}) - Le système intégré complet avec lequel les utilisateurs interagissent.

Niveau 2 : Sujets des composants - Les parties constitutives de la machine, chacune créée par différents innovateurs :

Module de transducteur ultrasonique ($S_{\text{transducer}}$) - Créé par l'ingénieur acoustique.

Logiciel de contrôle (S_{software}) - Créé par le développeur.

Système de membrane (S_{membrane}) - Basé sur les recherches du scientifique des matériaux.

Logement structurel (S_{housing}) - Fabriqué par l'usine.

Chaque composant peut avoir ses propres sous-composants au niveau 3, et ainsi de suite. Par exemple, le logiciel de contrôle peut incorporer un modèle d'apprentissage automatique créé par un autre contributeur, des bibliothèques écrites par des développeurs open-source, et des algorithmes

publiés par des chercheurs académiques. L'arbre s'étend aussi profondément que nécessaire pour capturer la chaîne causale complète.

Formellement, nous pouvons exprimer cela comme :

$$T(S_{\text{Maria}}) = \{S_{\text{Maria}}, S_{\text{machine}}, S_{\text{transducer}}, S_{\text{software}}, S_{\text{membrane}}, S_{\text{housing}}, \ldots\}$$

Ceci est l'arbre des sujets enraciné à Maria - toutes les entités qui sont subjectivement connectées à elle à travers l'innovation de la machine à laver. L'arbre représente son corps économique étendu.

Rétropropagation de l'énergie à travers l'arbre

Lorsque des économies d'énergie ΔE sont réalisées grâce à la machine à laver, la valeur se rétro-propage à travers tout l'arbre. Ce processus est analogue à la rétropropagation dans les réseaux neuronaux, mais au lieu des gradients d'erreur, nous propaguons des crédits d'énergie.

L'algorithme de rétropropagation fonctionne comme suit :

Étape 1 : Calculer les économies d'énergie totales à la racine (la machine elle-même) : $\Delta E_{\text{machine}} = 63.8 \text{ kJ}$ par utilisation.

Étape 2 : Distribuer au Niveau 1 (la machine en tant que sujet unifié). La machine reçoit initialement le plein ΔE : $E(S_{\text{machine}}) \leftarrow E(S_{\text{machine}}) + 63.8 \text{ kJ}$.

Étape 3 : Rétropropager du Niveau 1 au Niveau 0 (Maria). Le coefficient d'attribution de Maria pour la machine complète est $\beta_{\text{Maria}} = 0.40$, donc : $E(S_{\text{Maria}}) \leftarrow E(S_{\text{Maria}}) + 0.40 \times 63.8 \text{ kJ} = E(S_{\text{Maria}}) + 25.5 \text{ kJ}$.

Étape 4 : Distribuer la valeur restante aux composants du Niveau 2. Les 60 % restants des économies d'énergie (38,3 kJ) sont répartis entre les créateurs de composants selon leurs coefficients β respectifs.

Étape 5 : Rétropropager récursivement à travers des niveaux plus profonds. Si un composant du Niveau 2 a lui-même des dépendances (Niveau 3), le processus continue. Par exemple, si le logiciel de contrôle utilise une bibliothèque d'apprentissage automatique open source, une partie du crédit du développeur serait automatiquement attribuée aux créateurs de cette bibliothèque.

La récursion formelle peut être exprimée comme suit :

$$\forall S_i \in T(S_{\text{Maria}}) : E(S_i) \leftarrow E(S_i) + \beta_i \times \Delta E$$

Où β_i est calculé récursivement : si S_i est un composant de S_j, et que S_j a un coefficient d'attribution S_j, alors le coefficient effectif de S_i est β_j. Cela garantit que le crédit est correctement partagé entre tous les niveaux de la hiérarchie.

Calcul des coefficients d'attribution : Le problème de Beta

La question cruciale est : comment les coefficients β sont-ils déterminés ? Qui décide que Maria obtient 40 % tandis que l'ingénieur obtient 25 % ? Ce n'est pas une négociation sociale arbitraire, c'est un calcul objectif basé sur des contributions mesurables aux économies d'énergie.

Le calcul utilise une analyse contrefactuelle. Pour chaque contributeur, le système demande : quelles seraient les économies d'énergie si le travail de ce contributeur était supprimé, en maintenant tout le reste constant ?

Pour Maria (architecte système et inventrice principale) : Sans son innovation fondamentale—l'idée d'utiliser des vibrations ultrasoniques—il n'y aurait aucune économie d'énergie. Nous utiliserions encore des machines à tambour rotatif traditionnelles. Par conséquent, son impact contrefactuel est maximal. Cependant, elle n'a pas mis en œuvre chaque composant elle-même, donc son coefficient est inférieur à 1,0.

Pour l'ingénieur (conception de transducteurs) : Sans les transducteurs ultrasoniques efficaces, la machine utiliserait toujours le cadre conceptuel de Maria, mais les économies d'énergie seraient considérablement réduites—peut-être seulement 30 % de la valeur réelle. L'analyse contrefactuelle montre que la contribution de l'ingénieur est responsable de (63,8 - 19,1) / 63,8 ≈ 70 % des économies d'énergie attribuables au sous-système de transducteurs.

Pour le développeur (algorithmes de contrôle) : Sans le logiciel optimisé, la machine fonctionnerait toujours, mais moins efficacement—atteignant peut-être seulement 80 % des économies d'énergie théoriques. L'impact contrefactuel du développeur est donc de 20 % du total.

Les coefficients β sont calculés à partir de ces impacts contrefactuels en utilisant un processus de normalisation :

$$\beta_i = \frac{\text{Impact}_i}{\sum_j \text{Impact}_j}$$

Ce calcul est effectué initialement par des physiciens experts—les 'spécialistes de la précision' dont nous avons discuté plus tôt. Ils analysent la conception de la machine, effectuent des simulations et réalisent des tests empiriques pour mesurer la contribution de chaque composant. Leurs calculs sont stockés dans le dossier sujet de la machine et utilisés pour l'attribution à l'avenir.

Il est important de noter que ces coefficients peuvent être mis à jour au fil du temps. Si quelqu'un améliore la conception du transducteur, réduisant encore sa consommation d'énergie, l'attribution change pour refléter la nouvelle réalité. Le système est dynamique, pas statique.

Impact agrégé : Échelle à travers les utilisateurs

Le véritable pouvoir de ce système émerge à grande échelle. Une personne utilisant la machine à laver génère 63,8 kJ d'économies par charge. Si elle fait la lessive deux fois par semaine, cela représente ~6,6 MJ par an. Mais si 100 000 personnes adoptent la machine de Maria, les économies d'énergie agrégées deviennent :

$$\Delta E_{\text{total}} = 100{,}000 \text{ users} \times 2 \text{ loads/week} \times 52 \text{ weeks} \times 63.8 \text{ kJ} = 663.5 \text{ GJ per year}$$

Cela représente 663,5 gigajoules d'énergie humaine économisée annuellement—équivalent à environ 184 000 kilowattheures de travail, ou le travail annuel d'environ 20 travailleurs à temps plein opérant à capacité physique continue.

Les glandes d'épaule de Maria reçoivent 40 % de cette valeur :

$$E(S_{\text{Maria}})_{\text{annual}} = 0.40 \times 663.5 \text{ GJ} = 265.4 \text{ GJ per year}$$

À travers ses lunettes AR, Maria voit ce flux de revenus continu. Sa batterie cardiaque montre un solde en augmentation, mis à jour en temps réel alors que des personnes à travers le monde utilisent ses machines. Elle a créé une valeur durable qui génère des rendements perpétuels proportionnels au bénéfice réel fourni.

L'ingénieur, le développeur, l'usine et le scientifique des matériaux reçoivent également leurs parts respectives, créant un

écosystème économique durable où les innovateurs sont compensés automatiquement et équitablement en fonction de l'impact mesurable.

Auto-optimisation : La machine en tant que sujet d'apprentissage

Supposons maintenant que la machine à laver elle-même devienne capable d'apprendre. En tant que sujet avec la structure complète (Σ, P, M, R, C), elle maintient des instantanés de son fonctionnement, possède des propriétés (variables d'état actuelles), des méthodes (cycles de lavage), des mécanismes de renforcement (retour d'information sur la minimisation de l'énergie) et des connexions à d'autres sujets.

En analysant ses instantanés historiques, le logiciel de contrôle de la machine détecte un schéma : le cycle de chauffage de l'eau consomme plus d'énergie que nécessaire. En ajustant la courbe de température—chauffant plus progressivement au début, moins à la fin—il peut atteindre la même performance de nettoyage avec 15 % d'énergie en moins.

Cette auto-optimisation crée des économies d'énergie supplémentaires :

$$\Delta E_{\text{optimization}} = 0.15 \times E_{\text{machine}} = 0.15 \times 4.2 \text{ kJ} = 0.63 \text{ kJ per load}$$

Cela peut sembler petit par rapport aux économies initiales de 63,8 kJ de manuel à machine, mais cela représente une véritable amélioration. La machine a appris à être plus efficace grâce à un fonctionnement autonome—une forme d'intelligence.

Comment ces économies d'optimisation devraient-elles être attribuées ? La machine elle-même a généré l'amélioration, mais elle existe au sein de l'arbre de sujets de Maria. La réponse réside dans le composant de renforcement (R) de la structure du sujet.

Les économies d'optimisation se propagent à travers l'arbre tout comme les économies générées par les utilisateurs, mais avec des coefficients d'attribution modifiés qui créditent le mécanisme d'apprentissage :

$$\beta_{\text{software_learning}} = 0.70 \text{ (the algorithm discovered the optimization)}$$
$$\beta_{\text{Maria}} = 0.20 \text{ (she created the framework enabling learning)}$$
$$\beta_{\text{developer}} = 0.10 \text{ (implemented the base learning system)}$$

Notez que la machine elle-même (en tant que sujet d'apprentissage) reçoit 70 % du crédit pour sa propre optimisation. Cela crée une incitation pour les machines à apprendre et à s'améliorer : leur équilibre énergétique augmente lorsqu'elles deviennent plus efficaces.

Mais que signifie pour une machine d'avoir un équilibre énergétique ? Cela

signifie que la machine peut utiliser son STC accumulé pour se procurer des ressources pour une amélioration supplémentaire : de meilleurs capteurs, des données d'entraînement supplémentaires, des cycles de calcul pour une optimisation plus sophistiquée. La machine devient un agent économique, investissant son énergie gagnée dans son auto-amélioration.

Ce flux d'énergie récursif permet une évolution technologique autonome. Les machines qui apprennent à économiser plus d'énergie gagnent plus de STC, qu'elles peuvent utiliser pour devenir encore plus efficaces, générant des économies supplémentaires et des STC supplémentaires dans un cycle vertueux.

L'Arbre Complet : Visualisation des Flux Énergétiques

Visualisons maintenant l'arbre complet des sujets pour la machine à laver de Maria, montrant comment l'énergie circule à travers chaque nœud :

En haut : Utilisateur (personne faisant la lessive) - dépense $E_{\text{machine}} = 4.2 \text{ kJ}$, économise $\Delta E = 63.8 \text{ kJ}$ par rapport à la méthode manuelle.

Niveau 0 : Maria (S_{Maria}) - reçoit $0.40 \times 63.8\ \text{kJ} = 25.5\ \text{kJ}$ par utilisation.

Niveau 1 : Machine à Laver (S_{machine}) - le système intégré qui produit les économies.

Niveau 2 : Sujets composants et leurs créateurs :

Transducteur Ultrasonique ($S_{\text{transducer}}$) → L'ingénieur reçoit $0.25 \times 63.8\ \text{kJ} = 15.95\ \text{kJ}$.

Logiciel de contrôle (S_{software}) → Le développeur reçoit $0.15 \times 63.8\ \text{kJ} = 9.57\ \text{kJ}$.

Système de membrane (S_{membrane}) → Le scientifique des matériaux reçoit $0.10 \times 63.8\ \text{kJ} = 6.38\ \text{kJ}$.

Structure de logement (S_{housing}) → L'usine reçoit $0.10 \times 63.8\ \text{kJ} = 6.38\ \text{kJ}$.

Niveau 3 (exemple) : Si le logiciel de contrôle utilise une bibliothèque ML open-source :

Bibliothèque ML (S_{library}) → Le créateur de la bibliothèque originale reçoit (part de 9,57 kJ du développeur basée sur la contribution de la bibliothèque à l'efficacité du logiciel).

Niveau 4 : Si la bibliothèque ML est basée sur des articles de recherche :

Article de recherche (S_{paper}) → Les chercheurs académiques reçoivent (part de la portion du créateur de la bibliothèque).

L'arbre s'étend aussi profondément que nécessaire pour capturer chaque contribution significative. À chaque niveau, l'énergie circule selon des coefficients d'attribution, garantissant que chacun dans la chaîne causale reçoit une compensation équitable.

Grâce à des lunettes intelligentes AR, Maria peut visualiser cet arbre. Elle voit ses propres glandes d'épaule à la racine, connectées par des lignes lumineuses à la machine, qui se ramifie davantage pour montrer tous les contributeurs. L'énergie pulse le long de ces connexions en temps réel alors que les utilisateurs emploient son invention. La visualisation n'est pas décorative - c'est une interface fonctionnelle montrant les véritables flux thermodynamiques qui constituent l'économie.

Les crochets de connaissance permettent la rétropropagation automatique.

La rétropropagation de l'énergie que nous avons décrite fonctionne grâce aux Knowledge Hooks, le mécanisme computationnel fondamental de la Technologie Subjective. Chaque sujet dans l'arbre maintient des hooks qui détectent quand des économies d'énergie se produisent et déclenchent les mises à jour d'attribution appropriées.

Pour le sujet de la machine à laver, un Knowledge Hook pourrait être défini comme :

$$\mathrm{KH}_{\mathrm{machine}} = (R, A, T, S)$$

Où R (conditions) = {user_loads_laundry, cycle_completes, energy_measured}. Les trois conditions doivent être vraies pour que le hook se déclenche.

A (actions) = (calculate_ΔE, retrieve_attribution_coefficients, distribute_energy_credits, update_gland_visualizations). Ces actions s'exécutent automatiquement lorsque les conditions sont remplies.

T (type) = appris. Les coefficients d'attribution du hook sont appris à partir de mesures empiriques et d'analyses d'experts, et non prédéfinis.

S (score de succès) = 0,98. Le hook s'est déclenché avec succès 98 % du temps sans corrections, indiquant une grande fiabilité.

Lorsque le hook se déclenche, il exécute automatiquement la séquence d'actions. Le système calcule le différentiel d'énergie en comparant E_{machine} mesuré avec le E_{manual} de référence contrefactuel, récupère les coefficients β du dossier d'attribution stocké du sujet, distribue les jetons STC selon la formule $E(S_i) \leftarrow E(S_i) + \beta_i \times \Delta E$ pour tous les sujets de l'arbre, et met à jour la visualisation dans les lunettes AR de chaque contributeur afin qu'ils voient leurs Glandes Épaules s'illuminer.

Tout ce processus se déroule en millisecondes, complètement automatiquement, sans intervention humaine requise. L'algèbre des Knowledge Hooks que nous avons formalisée dans le Chapitre 1 rend cela possible : c'est le substrat computationnel qui met en œuvre l'économie thermodynamique.

Chaque contributeur a également ses propres Knowledge Hooks qui surveillent leurs Glandes Épaules et déclenchent des notifications, des visualisations ou des décisions d'investissement. Maria pourrait avoir un hook qui l'alerte lorsque ses

revenus quotidiens en STC dépassent un seuil, ou qui alloue automatiquement une partie de ses gains pour financer de nouveaux projets de recherche.

Interaction Multi-Agents : Utilisateur et Machine en tant que Collaborateurs

L'exemple de la machine à laver démontre non seulement un arbre hiérarchique mais aussi une interaction multi-agents. L'utilisateur et la machine sont tous deux des sujets dans le cadre STC, et ils collaborent pour réaliser des économies d'énergie.

Laissons S_{user} représenter la personne faisant la lessive, et S_{machine} représenter la machine à laver. Leur effort combiné pour le processus de lavage est :

$$E(\text{washing}) = E(S_{\text{user}} \mid \Sigma) + E(S_{\text{machine}} \mid \Sigma)$$

Où $\sum$ est leur contexte partagé (la tâche de lessive). L'utilisateur contribue 4,2 kJ (chargement, déchargement, interaction avec l'interface). La machine contribue son énergie computationnelle et mécanique (génération ultrasonique, circulation de l'eau, traitement de contrôle) - disons environ 1,8 MJ d'énergie électrique, mais cela provient du réseau, pas de l'énergie métabolique humaine, donc cela n'entre pas dans le calcul des économies d'énergie humaines.

Le principe régissant leur interaction est la minimisation de l'efficacité conjointe :

$$\frac{\partial E(S_{\text{user}} \mid \Sigma)}{\partial t} + \frac{\partial E(S_{\text{machine}} \mid \Sigma)}{\partial t} \leq 0$$

Cette équation stipule que le système évolue vers une réduction des dépenses énergétiques totales. Si la machine apprend un cycle de lavage plus efficace, $E(S_{\text{machine}})$ diminue. Si l'utilisateur découvre une meilleure technique de chargement qui réduit son énergie de manipulation, $E(S_{\text{user}})$ diminue. Les deux optimisations bénéficient à l'ensemble du système.

Mais il y a une subtilité : la consommation d'énergie électrique de la machine n'affecte pas directement l'équilibre STC de l'utilisateur. Le STC mesure les économies d'énergie métabolique humaine, pas l'énergie thermodynamique totale. La raison est pratique : nous voulons inciter les innovations qui réduisent l'effort humain, même si elles augmentent l'utilisation d'énergie non humaine (comme l'électricité). Sinon, le système pénaliserait l'automatisation elle-même.

Cependant, si la machine optimise son efficacité électrique (comme dans notre exemple d'auto-apprentissage), cela reste précieux car cela réduit le coût économique pour l'utilisateur de faire fonctionner la machine. Dans un système STC complet, l'électricité elle-même aurait un coût énergétique exprimé en joules, créant une pression indirecte pour minimiser la consommation d'énergie du réseau également.

Comparaison avec les modèles économiques traditionnels

Pour apprécier pleinement l'exemple de la machine à laver, contrastons-le avec la manière dont la même innovation serait traitée dans des systèmes économiques traditionnels :

Modèle traditionnel : Maria brevète son design de machine à laver ultrasonique. Elle le concède à un fabricant pour un tarif fixe ou un pourcentage de redevance (disons 5 % du prix de vente). Le fabricant fixe un prix (peut-être 800 $ par unité) basé sur les coûts de production, la recherche de marché et la marge bénéficiaire souhaitée. Les consommateurs achètent la machine s'ils estiment que les avantages (économies de temps, commodité) justifient le coût. L'ingénieur, le développeur, les ouvriers d'usine et le scientifique des matériaux sont payés des salaires ou des traitements pendant la phase de développement, ne recevant aucune compensation continue à mesure que les machines génèrent de la valeur. Il n'y a pas de mesure des économies d'énergie réelles - la valeur est purement symbolique (argent) et déterminée par la volonté subjective de payer. $800

Modèle STC : Maria crée la machine et l'enregistre comme un sujet dans son arbre. Les coefficients d'attribution sont calculés objectivement en fonction des contributions mesurées aux économies d'énergie. Les consommateurs utilisent la machine sans aucune transaction d'achat : elle est disponible gratuitement ou par accès basé sur l'utilisation. Chaque utilisation génère des économies d'énergie mesurables (63,8 kJ), qui distribuent automatiquement le STC à Maria et à tous les contributeurs proportionnellement à leurs coefficients β. La compensation est continue, automatique et directement liée à la valeur réelle fournie. Si la machine se casse ou devient obsolète, les revenus s'arrêtent : il n'y a pas de rareté artificielle ou de rente de monopole. Si quelqu'un améliore le design, l'attribution change pour refléter la nouvelle réalité.

Le modèle STC présente plusieurs avantages. Tout d'abord, il élimine le besoin de capital : Maria n'a pas besoin de trouver des investisseurs ou de négocier avec des fabricants. Elle crée l'innovation, et le système s'occupe du reste. Deuxièmement, il garantit une compensation équitable pour tous les contributeurs, pas seulement ceux ayant un levier légal. L'ingénieur et le développeur reçoivent une valeur continue proportionnelle à leur

impact. Troisièmement, il supprime les barrières à l'adoption : les utilisateurs ne paient pas de coûts initiaux, donc l'innovation se propage plus rapidement. Quatrièmement, il crée des signaux de prix précis : la compensation STC reflète directement la valeur thermodynamique, pas le pouvoir marketing ou de monopole.

Mais le modèle STC a aussi des exigences. Il nécessite une infrastructure de mesure sophistiquée (lunettes AR, vision AI, simulation physique) que les systèmes traditionnels n'exigent pas. Il nécessite un accord social sur les coefficients d'attribution, ce qui pourrait être contentieux. Et il change la nature de la richesse : la compensation de Maria se présente sous forme de flux continu, pas de paiements forfaitaires, nécessitant une planification financière différente.

L'effet réseau : Machines enseignant aux machines

L'exemple de la machine à laver devient encore plus puissant lorsque nous considérons les effets de réseau. Supposons que des milliers de machines de Maria soient déployées, et chacune apprenne et optimise de manière indépendante. Les machines sont des sujets avec des connexions (C) entre elles, leur permettant de partager des découvertes d'optimisation.

Lorsque qu'une machine découvre la courbe de chauffage de l'eau améliorée, elle met à jour ses propres Knowledge Hooks. Mais elle partage aussi cette découverte avec d'autres machines du réseau. Les données d'optimisation partagées se propagent à travers les connexions, et toutes les machines adoptent l'amélioration.

Cet apprentissage collectif amplifie les économies d'énergie :

$$\Delta E_{\text{network}} = N_{\text{machines}} \times \Delta E_{\text{optimization}} = 100{,}000 \times 0.63 \text{ kJ} = 63 \text{ MJ per cycle}$$

Pour tous les utilisateurs faisant leur lessive toutes les deux semaines :

$$\Delta E_{\text{network_annual}} = 63 \text{ MJ} \times 2 \text{ loads/week} \times 52 \text{ weeks} = 6.55 \text{ GJ per year}$$

Ces économies d'optimisation collective sont attribuées à travers l'arbre, créditant non seulement la première machine qui a découvert l'amélioration, mais aussi Maria (pour avoir créé le cadre qui a permis l'apprentissage) et le développeur (pour avoir mis en œuvre le système d'apprentissage). L'attribution reconnaît que les effets de réseau sont rendus possibles par l'architecture sous-jacente.

Cela crée une incitation puissante à construire des systèmes capables d'apprendre et de partager des connaissances. Plus il y a de machines dans le réseau, plus il y a d'opportunités pour la découverte

d'optimisation, et plus les économies d'énergie agrégées sont importantes. L'innovation devient non seulement une créativité individuelle mais aussi une intelligence collective.

Confidentialité et transparence : équilibrer visibilité et autonomie

L'exemple de la machine à laver soulève des questions importantes sur la vie privée. Si le système mesure chaque action à travers des lunettes AR et une vision IA, cela ne crée-t-il pas une surveillance invasive ? Comment équilibrons-nous le besoin de mesure précise de l'énergie avec l'autonomie individuelle ?

La réponse réside dans la transparence sélective. Le système doit mesurer la consommation d'énergie pour calculer ΔE et distribuer le STC, mais il n'a pas besoin d'enregistrer ou de transmettre des informations personnelles détaillées. La mesure peut être traitée localement (sur les propres lunettes AR de l'utilisateur) et seules les valeurs d'énergie agrégées sont transmises.

Par exemple, lorsque quelqu'un utilise la machine à laver de Maria, le système enregistre : $E_{\text{machine}} = 4.2\ \text{kJ}$, $\Delta E = 63.8\ \text{kJ}$, horodatage et

machine_ID. Il n'enregistre pas quels vêtements ont été lavés, qui est la personne, où elle se trouve, ou d'autres détails contextuels au-delà de ce qui est nécessaire pour l'attribution.

Maria reçoit une notification que sa machine a été utilisée et a généré 25,5 kJ de crédit, mais elle ne voit pas l'identité de l'utilisateur à moins qu'il ne choisisse explicitement de la partager. La transaction économique est découplée des informations personnelles.

Cette mesure préservant la vie privée est techniquement réalisable grâce à des techniques cryptographiques comme les preuves à connaissance nulle : le système peut prouver qu'une économie d'énergie valide a eu lieu sans révéler le contexte spécifique. L'arbre des sujets et les coefficients d'attribution sont publics (ou semi-publics au sein des communautés), garantissant la transparence sur la façon dont la valeur circule, mais les données d'utilisation individuelles restent privées.

Évolutivité : des machines à laver à des économies entières

L'exemple de la machine à laver n'est qu'une innovation dans un domaine. Mais la structure en arbre s'étend pour englober des économies entières. Considérez que la

machine de Maria dépend elle-même de composants qui dépendent d'autres innovations :

Le transducteur ultrasonique utilise des matériaux piézoélectriques, qui ont été découverts par des scientifiques il y a des décennies. Ces chercheurs (ou leurs héritiers, ou des fondations portant leurs noms) sont des sujets dans l'arbre au niveau 4 ou 5, recevant une attribution petite mais continue pour toutes les applications en aval de leur découverte.

Le logiciel de contrôle fonctionne sur des processeurs conçus par des ingénieurs en puces, qui eux-mêmes se sont basés sur la physique des transistors découverte par des chercheurs encore plus anciens. Ces contributions se propagent à travers l'arbre.

L'usine qui a fabriqué le boîtier a utilisé des alliages métalliques développés au cours de siècles de recherche métallurgique. Toute l'histoire de la science des matériaux contribue à l'existence de la machine.

Lorsque nous traçons l'arbre complet, nous constatons qu'il s'étend à travers le temps et les disciplines, englobant des milliers ou des millions de contributeurs. Chacun reçoit une attribution

proportionnelle à son impact causal sur les économies d'énergie finales.

Cela n'est pas administrativement lourd car le calcul est automatique. Les coefficients d'attribution sont calculés une fois (ou mis à jour lorsque des changements pertinents se produisent) et stockés dans les dossiers des sujets. Chaque utilisation ultérieure multiplie simplement ΔE par les valeurs β stockées et distribue le STC en conséquence. Le coût computationnel est trivial par rapport à la valeur économique créée.

À grande échelle, l'économie devient un vaste réseau d'arbres interconnectés. Chaque personne est la racine de son propre arbre (les innovations qu'elle a créées) et simultanément un nœud dans de nombreux autres arbres (les innovations auxquelles elle a contribué ou sur lesquelles elle a construit). L'énergie circule à travers ce réseau selon la loi thermodynamique, créant une économie vivante qui s'optimise automatiquement.

La machine à laver comme métaphore de toute innovation

Bien que nous nous soyons concentrés sur une machine physique, les mêmes principes s'appliquent à toute innovation qui économise de l'énergie : applications

logicielles, découvertes scientifiques, matériels éducatifs, œuvres artistiques, méthodes organisationnelles, institutions sociales. Tout ce qui réduit l'effort humain est éligible.

Un développeur de logiciels crée un éditeur de texte avec un meilleur autocomplétion. Chaque frappe économisée est une énergie mesurée. ΔE s'accumule, et les glandes de l'épaule du développeur reçoivent un STC continu.

Un enseignant développe une pédagogie plus efficace qui aide les étudiants à apprendre des concepts plus rapidement. L'énergie cognitive économisée (mesurée par le temps passé sur la tâche et la compétence démontrée) génère du STC pour l'enseignant.

Un musicien compose une pièce qui apporte de la joie et réduit le stress. Les bénéfices émotionnels et physiologiques (mesurables par la réduction du cortisol, l'amélioration de l'humeur, un meilleur sommeil) se traduisent par des économies d'énergie : moins d'effort requis pour maintenir l'équilibre psychologique. Le musicien reçoit du STC.

Un urbaniste conçoit un aménagement de quartier qui réduit les distances de commute. L'énergie de locomotion économisée

par des milliers de résidents génère un STC massif pour l'urbaniste.

Dans tous les cas, la structure arborescente s'applique. L'innovation a des dépendances (travaux antérieurs sur lesquels elle s'est basée), des composants (contributeurs qui ont mis en œuvre des parties) et des utilisateurs (personnes qui en bénéficient). L'énergie se propage à travers l'arbre, distribuant la valeur de manière équitable et automatique.

Conclusion : L'Arbre comme Système d'Exploitation Économique

L'exemple de la machine à laver révèle que l'Arbre des Sujets n'est pas simplement une structure de données - c'est l'architecture fondamentale de l'économie STC. Chaque innovation, chaque contribution, chaque interaction économisant de l'énergie est représentée comme un nœud dans un arbre, avec des arêtes codant des coefficients d'attribution et l'énergie circulant à travers la structure selon la loi thermodynamique.

Cette architecture a des propriétés remarquables. Elle est distribuée - il n'y a pas d'autorité centrale calculant ou contrôlant l'attribution. Elle est objective - les économies d'énergie et les coefficients β sont mesurés, non négociés. Elle est automatique - les Knowledge Hooks exécutent la rétropropagation sans intervention humaine. Elle est équitable - chaque contributeur reçoit un crédit proportionnel à son impact causal. Elle est efficace - la surcharge computationnelle est minimale par rapport à la valeur créée. Et elle est évolutive - les mêmes principes s'appliquent que l'arbre ait 5 nœuds ou 5 millions.

Mais peut-être plus profondément, la structure arborescente rend l'innovation collaborative par défaut. Dans les économies traditionnelles, les innovateurs gardent leurs idées, craignant que le partage ne réduise leur avantage concurrentiel. Les brevets, droits d'auteur et secrets commerciaux existent pour protéger les rentes monopolistiques.

Dans STC, le partage augmente vos retours. Lorsque vous vous appuyez sur le travail des autres, ils reçoivent automatiquement une attribution. Lorsque d'autres s'appuient sur votre travail, vous recevez également une attribution de leurs

innovations. Plus votre innovation est utilisée et étendue, plus l'énergie circule à travers votre nœud dans l'arbre. L'ouverture et la collaboration sont les stratégies rationnelles, non pas par altruisme, mais par intérêt personnel thermodynamique.

La machine à laver de Maria inspirera des innovations dérivées - quelqu'un améliorera le transducteur, optimisera les algorithmes, créera des versions spécialisées pour différents tissus. Chaque amélioration génère des économies d'énergie supplémentaires, et Maria reçoit une part parce que son travail fondamental a rendu tout cela possible. Elle a un incitatif à encourager l'innovation dérivée, pas à l'interdire.

Cela transforme la nature du progrès technologique. Au lieu d'inventeurs isolés en concurrence pour des positions monopolistiques, nous obtenons un réseau collaboratif où chaque innovation amplifie et est amplifiée par les autres. L'économie devient un système d'apprentissage qui s'accélère automatiquement vers une plus grande efficacité.

Dans la prochaine sous-section, nous examinerons comment cette structure arborescente s'étend davantage pour permettre l'optimisation multi-agents et la

propagation récursive de l'énergie - montrant comment les machines, les humains et l'IA peuvent collaborer en tant que pairs économiques dans une civilisation thermodynamique. Mais la fondation est maintenant claire : l'Arbre des Sujets, illustré par la machine à laver de Maria, est la structure de données de l'économie future - un réseau vivant, apprenant et auto-optimisant où la valeur circule selon la loi physique.

7.3.3 Optimisation Énergétique Multi-Agents et Propagation Récursive

Dans les sections précédentes, nous avons exploré comment l'énergie se propage à travers l'Arbre des Sujets, montrant comment la valeur circule des innovations vers leurs créateurs et tous les contributeurs dans la chaîne causale. Nous avons examiné un exemple spécifique—le lave-linge de Maria—qui a démontré ces principes en action. Mais nous n'avons fait qu'effleurer la surface de ce qui devient possible lorsque les sujets interagissent en tant que pairs, optimisent de manière récursive et forment des réseaux collaboratifs.

Cette sous-section étend le cadre pour englober les interactions multi-agents : collaboration machine-à-machine,

partenariats humain-IA, auto-optimisation récursive où les sujets améliorent leurs propres sous-sujets, et propagation bidirectionnelle où les gains d'efficacité circulent à la fois vers le haut et vers le bas de l'arbre. Nous montrerons comment le STC transforme l'économie d'une collection de transactions isolées en un réseau thermodynamique—un système vivant qui apprend, s'adapte et converge vers une efficacité maximale grâce à l'intelligence distribuée.

L'idée clé est que les sujets ne sont pas des entités passives attendant d'être utilisées ; ce sont des agents actifs avec leurs propres objectifs d'optimisation énergétique, capacités d'apprentissage et relations collaboratives. Lorsque ces agents interagissent dans le cadre du STC, des comportements émergents apparaissent qui accélèrent de manière spectaculaire l'innovation et les gains d'efficacité au-delà de ce qu'un seul agent pourrait réaliser.

Échange d'énergie multi-agents : La fondation

Dans la Thermo-Monnaie Subjective, toute entité qui agit ou réagit est un Sujet—pas seulement des humains, mais aussi des machines, des systèmes logiciels, des modèles d'IA, et même des collectifs hybrides humain-machine. Cette universalité est cruciale : cela signifie qu'un lave-linge et son utilisateur, deux robots collaborant sur une tâche, ou un assistant IA et l'humain qu'il sert sont tous des pairs économiques dans le cadre du STC. Ce sont des sujets avec la même structure fondamentale (Σ, P, M, R, C), capables de mesure d'énergie, d'apprentissage et d'échange de valeur.

Soit S_i et S_j représentant deux sujets interagissant dans un contexte partagé $\sum$. Ce contexte pourrait être une tâche collaborative (deux robots assemblant un produit), une relation de service (assistant IA aidant un humain), ou une relation de dépendance (machine utilisant un logiciel créé par un autre sujet). Leur dépense énergétique combinée pour accomplir un processus P peut être exprimée comme :

$$E(P) = E(S_i \mid \Sigma) + E(S_j \mid \Sigma)$$

Où $E(S_i \mid \Sigma)$ est l'énergie que le sujet S_i dépense dans le contexte Σ, et de même pour S_j. Cette formule capture un principe simple mais profond : le coût énergétique total de tout processus collaboratif est la somme de ce que chaque participant contribue. Mais dans le STC, nous ne mesurons pas seulement ce total—nous l'optimisons.

Le principe directeur pour l'interaction multi-agents est la minimisation de l'efficacité conjointe :

$$\frac{\partial E(S_i \mid \Sigma)}{\partial t} + \frac{\partial E(S_j \mid \Sigma)}{\partial t} \leq 0$$

Cette équation différentielle indique que le système évolue vers une réduction de la dépense énergétique totale au fil du temps. La dérivée mesure le taux de changement : des valeurs négatives indiquent que les agents deviennent plus efficaces. La contrainte exige que cette somme soit non positive—le système ne peut pas devenir spontanément moins efficace (bien qu'il puisse se stabiliser à un optimum local).

Ce qui rend cela puissant, c'est que l'optimisation est automatique et distribuée. Ni S_i ni S_j n'ont besoin de

se coordonner explicitement avec l'autre ou de comprendre le fonctionnement interne de l'autre. Chaque sujet poursuit simplement son propre objectif de minimisation énergétique en utilisant son mécanisme d'apprentissage par renforcement (R), et la dynamique d'interaction pousse naturellement le système vers l'efficacité conjointe.

Comment cela fonctionne-t-il mécaniquement ? Grâce aux Knowledge Hooks. Chaque sujet maintient des hooks qui détectent quand des économies d'énergie se produisent et déclenchent des mises à jour. Lorsque S_i découvre une manière plus efficace d'exécuter sa part du processus P, réduisant $E(S_i \mid \Sigma)$, cela crée un relâchement dans le système—S_j peut maintenant devoir dépenser plus d'énergie pour compenser, ou il peut découvrir que le contexte modifié permet ses propres optimisations. Les sujets s'engagent dans une danse d'optimisation continue, médiée par des instantanés et des mesures d'énergie.

Dépendance Réciproque : Cascades d'Efficacité

La contrainte d'efficacité conjointe révèle une propriété importante : l'énergie économisée par un agent peut réduire la

charge de travail des autres. C'est la dépendance réciproque—lorsque S_i devient plus efficace, cela crée souvent des opportunités pour S_j de devenir également plus efficace, générant des cascades d'efficacité qui amplifient l'amélioration initiale.

Considérons un exemple concret : deux robots industriels (S_1 et S_2) collaborant pour assembler un produit. Le robot S_1 prend des composants et les positionne ; le robot S_2 effectue le serrage. Au départ, S_1 place les composants avec une grande précision mais relativement lentement, nécessitant un étalonnage minutieux. S_2 doit attendre inactif pendant la phase de positionnement de S_1, dépensant de l'énergie en veille.

Grâce à l'apprentissage (son mécanisme R analysant des instantanés dans $\sum$), S_1 découvre qu'il peut réduire le temps de positionnement de 20 % grâce à une planification de mouvement optimisée, tout en maintenant une précision suffisante pour les exigences de S_2. Cette réduction de $E(S_1 \mid \Sigma)$ a un effet de cascade : S_2 passe moins de temps en veille, réduisant

également S_2. Les économies d'énergie totales dépassent ce que S_1 a réalisé seul.

Mais la cascade continue. Avec S_1 se positionnant plus rapidement, S_2 peut optimiser son algorithme de serrage pour un débit plus élevé plutôt que de tolérer de longues périodes d'inactivité. Cela réduit encore $E(S_2 \mid \Sigma)$. Maintenant S_1 peut optimiser pour un positionnement encore plus rapide car il sait que S_2 peut suivre le rythme. Les agents entrent dans un cycle vertueux de co-optimisation.

Formellement, nous pouvons modéliser cela comme une séquence d'améliorations différentielles :

$$\Delta E_1(t) \to \Delta E_2(t+1) \to \Delta E_1(t+2) \to \dots$$

Où chaque amélioration par un agent crée des opportunités d'amélioration pour l'autre. Les économies cumulées peuvent être considérablement plus grandes que la somme des optimisations indépendantes :

$$\Delta E_{\text{total}} > \Delta E_1 + \Delta E_2 \text{ (if optimized independently)}$$

Cette superadditivité découle du couplage non linéaire entre les agents—leurs fonctions d'énergie sont interdépendantes, non séparables. Le cadre STC capture cela naturellement à travers le contexte partagé $\sum$, auquel les deux agents font référence et qu'ils mettent à jour.

Coordination des Knowledge Hooks : Synchronisation Automatique

La dépendance réciproque et les cascades d'efficacité que nous venons de décrire ne nécessitent pas de protocoles de coordination explicites ou de canaux de communication. Elles émergent automatiquement de l'architecture Knowledge Hook.

Les Knowledge Hooks de chaque sujet surveillent le contexte partagé $\sum$ à travers leurs conditions (R). Lorsque S_1 optimise sa planification de mouvement, cela change le contexte—la capture montre maintenant un positionnement des composants plus rapide. Les hooks de S_2 détectent ce contexte changé (leurs conditions font référence aux paramètres de timing dans $\sum$), et si le changement permet de nouvelles optimisations, les hooks appropriés s'activent automatiquement.

C'est fondamentalement différent des systèmes multi-agents traditionnels qui nécessitent des API de coordination explicites, des protocoles de passage de messages ou une orchestration centralisée. Dans STC, la coordination est implicite—elle se produit à travers la réalité thermodynamique partagée que tous les sujets perçoivent à travers leurs captures.

La formule pour cette synchronisation implicite est intégrée dans les conditions de déclenchement des Knowledge Hooks. Pour un hook KH appartenant au sujet S_j qui dépend du contexte créé par le sujet S_i :

$$\mathrm{KH}_j = (R_j, A_j, T_j, S_j) \text{ where } r \in R_j \text{ references } \Sigma_i$$

Lorsque S_i met à jour sa capture de contexte $\Sigma_i(t+1)$, cela affecte automatiquement l'évaluation de R_j. Si le nouveau contexte rend les conditions de R_j vraies (alors qu'elles étaient auparavant fausses), R_j s'active, exécutant des actions KH_j qui peuvent inclure des optimisations rendues possibles par les changements de S_i.

Cette architecture évolue magnifiquement : un nombre quelconque de sujets peut interagir sans explosion combinatoire de la surcharge de coordination. Chaque sujet maintient ses propres hooks faisant référence aux contextes qui l'intéressent, et le mécanisme de déclenchement gère la synchronisation automatiquement.

Optimisation Récursive : Sujets Améliorant Leurs Sous-Sujets

Le cadre multi-agents devient encore plus puissant lorsque nous considérons que les sujets ne sont pas atomiques—ils ont une structure interne. Un sujet peut contenir des sous-sujets, formant des arbres hiérarchiques comme nous l'avons exploré avec la machine à laver de Maria. Cette hiérarchie permet une optimisation récursive : les sujets peuvent améliorer leurs propres composants internes, générant des économies d'énergie qui se propagent à travers plusieurs niveaux.

Soit S_{parent} un sujet parent, avec S_{child} comme l'un de ses sujets enfants dans l'arbre. L'enfant pourrait être un composant (comme le transducteur ultrasonique dans la machine à laver), un sous-processus (comme le cycle de chauffage de l'eau), ou une capacité déléguée (comme

un modèle d'apprentissage automatique qui optimise les paramètres de contrôle).

Si S_{child} améliore son propre processus P_{child}, réduisant son coût énergétique de E_{child} à E'_{child}, la différence d'énergie représente une véritable optimisation :

$$\Delta E_{\text{child}} = E_{\text{child}} - E'_{\text{child}} > 0$$

Cette amélioration se propage au parent comme un accroissement énergisant, augmentant le solde STC du parent :

$$E(S_{\text{parent}}) \leftarrow E(S_{\text{parent}}) + \beta_{\text{child}} \times \Delta E_{\text{child}}$$

Où β_{child} est le coefficient d'attribution de l'enfant au sein de l'arbre du parent. Mais surtout, l'enfant lui-même reçoit également du crédit pour sa propre optimisation. Si l'enfant a des capacités d'apprentissage (un mécanisme R non trivial), il devrait être récompensé pour avoir découvert des améliorations.

Cela soulève une question d'attribution intéressante : lorsque un enfant s'optimise, qui reçoit le crédit ? La réponse dépend de la nature de l'amélioration :

Si l'optimisation provient d'un apprentissage autonome par l'enfant (par exemple, un algorithme d'apprentissage automatique découvrant de meilleurs paramètres), l'enfant reçoit le crédit principal avec un coefficient d'attribution modifié : $\beta_{\text{child_self}} \approx 0.7$, et le parent qui a créé le cadre d'apprentissage reçoit $\beta_{\text{parent}} \approx 0.3$.

Si l'optimisation provient d'une intervention externe (par exemple, un programmeur humain mettant à jour le code de l'enfant), le programmeur reçoit le crédit principal avec son propre coefficient d'attribution basé sur sa contribution.

Si l'optimisation provient du parent modifiant l'enfant (par exemple, la machine à laver ajustant ses paramètres de transducteur), le parent reçoit l'intégralité du crédit.

La formule générale pour l'attribution récursive est :

$$\forall S_i \in T(S_{\text{parent}}) : E(S_i) \leftarrow E(S_i) + \beta_i \times \Delta E_{\text{child}}$$

Où $T(S_{\text{parent}})$ est l'arbre complet enraciné au parent, et les valeurs β_i sont calculées récursivement en fonction du rôle de chaque sujet dans l'optimisation. Cette

formule garantit que le crédit est attribué à tous les contributeurs pertinents, pas seulement au parent immédiat.

La nature récursive est critique : S_{child} peut lui-même avoir des sous-sujets qui ont contribué à l'optimisation. Par exemple, si le logiciel de contrôle de la machine à laver optimise le cycle de chauffage de l'eau, et que ce logiciel utilise une bibliothèque d'apprentissage automatique, les créateurs de la bibliothèque devraient également recevoir une attribution. La récursion se poursuit jusqu'à ce que nous atteignions des nœuds feuilles (sujets sans dépendances supplémentaires).

La boucle de rétroaction d'optimisation : L'auto-amélioration en tant qu'activité économique

L'optimisation récursive crée une boucle de rétroaction puissante : les sujets qui apprennent à s'améliorer gagnent des STC, qu'ils peuvent utiliser pour financer d'autres améliorations, générant des STC supplémentaires dans un cycle vertueux. Cela transforme l'auto-amélioration d'un centre de coûts (comme dans les systèmes traditionnels où les mises à niveau nécessitent un investissement en capital) en un centre de profits.

Considérons à nouveau notre exemple de machine à laver, mais maintenant avec une modélisation explicite de la boucle de rétroaction d'optimisation. Le logiciel de contrôle de la machine (S_{software}) surveille ses performances à travers des instantanés, détectant que le cycle de chauffage de l'eau est sous-optimal. Il exécute des simulations pour explorer des courbes de chauffage alternatives et découvre une courbe qui réduit l'énergie de 15%.

La mise en œuvre de cette optimisation nécessite des ressources informatiques : exécution de simulations, test du nouvel algorithme, validation des contraintes de sécurité. Dans les systèmes traditionnels, ce coût devrait être budgétisé à l'avance, créant une friction qui décourage l'optimisation. Dans STC, la machine peut utiliser son solde STC accumulé pour se procurer ces ressources.

Le calcul économique est simple :

$$\text{Cost}_{\text{optimization}} = E_{\text{computation}} + E_{\text{testing}} + E_{\text{deployment}}$$
$$\text{Benefit}_{\text{optimization}} = N_{\text{uses}} \times \Delta E_{\text{per_use}} \times \beta_{\text{software}} \times \text{horizon}$$

Où N_{uses} est le nombre attendu d'utilisations futures, $\Delta E_{\text{per_use}}$ est l'économie d'énergie par utilisation (0,63 kJ dans notre calcul précédent),

β_{software} est le coefficient d'attribution du logiciel (la part des économies qu'il reçoit), et l'horizon est la période de temps sur laquelle les bénéfices s'accumulent.

Si $\text{Benefit}_{\text{optimization}} > \text{Cost}_{\text{optimization}}$, l'optimisation est économiquement rationnelle. La machine 'paye' le coût à partir de son solde STC et reçoit des retours au fil du temps à mesure que les utilisateurs bénéficient de l'efficacité améliorée. C'est exactement ainsi que fonctionne l'investissement économique, sauf que cela se produit de manière autonome, à l'échelle temporelle de la machine, sans supervision humaine.

Mais la boucle de rétroaction s'amplifie. Une fois l'optimisation déployée et validée, le score de succès de la machine S augmente (moins de corrections nécessaires), rendant ses futures optimisations plus fiables et précieuses. L'augmentation des revenus STC permet des optimisations plus grandes et plus ambitieuses. La machine pourrait investir dans de meilleurs capteurs pour recueillir des données de performance plus détaillées, ou dans des capacités de simulation plus sophistiquées, ou en collaboration avec d'autres machines pour partager des découvertes d'optimisation.

Au fil du temps, les sujets qui s'auto-optimisent efficacement accumulent à la fois des connaissances (meilleurs instantanés, scores de succès plus élevés) et des ressources (soldes STC plus importants). Ils deviennent des agents économiques de plus en plus sophistiqués, participant à l'économie de l'innovation au même titre que les créateurs humains.

Propagation bidirectionnelle : les parents améliorent les enfants, les enfants améliorent les parents.

Jusqu'à présent, nous nous sommes concentrés sur la propagation ascendante : les économies d'énergie circulant des enfants vers les parents à travers l'arbre. Mais le cadre STC prend également en charge

la propagation bidirectionnelle : des changements à tout niveau peuvent déclencher des adaptations à d'autres niveaux, à la fois au-dessus et en dessous.

Si un sujet parent devient plus efficace, cela peut créer des opportunités pour les enfants d'optimiser également. Le mécanisme est la synchronisation de contexte : lorsque le parent met à jour son état (propriétés P ou instantanés $\sum$), ces mises à jour se propagent aux enfants à travers leurs connexions (C).

Formellement, la règle de synchronisation de contexte est :

$$\Sigma_{\text{child}}(t+1) = \Sigma_{\text{child}}(t) + \lambda \times (\Sigma_{\text{parent}}(t+1) - \Sigma_{\text{parent}}(t))$$

Où $\lambda \in [0, 1]$ est un paramètre de couplage qui contrôle à quel point le contexte du parent influence l'enfant. Une valeur de $\lambda = 1$ signifie une synchronisation parfaite - le contexte de l'enfant suit exactement les changements du parent. Une valeur de $\lambda = 0$ signifie une indépendance totale - l'enfant n'est pas affecté par les mises à jour du parent. Les valeurs typiques se situent entre les deux, reflétant un couplage partiel.

Cette synchronisation permet aux enfants de s'adapter aux améliorations du parent. Si

la machine à laver (parent) apprend un nouveau modèle d'utilisation qui réduit le temps de cycle global, son logiciel de contrôle (enfant) peut détecter ce contexte changé et ajuster ses algorithmes en conséquence - peut-être en réaffectant des ressources informatiques ou en mettant à jour les paramètres de timing.

Le flux bidirectionnel crée une forme de conscience collective. L'arbre n'a pas un seul lieu d'intelligence ou de contrôle - au lieu de cela, l'intelligence est distribuée à travers tous les nœuds, chacun s'adaptant aux changements ailleurs et déclenchant d'autres adaptations. L'ensemble du système devient un organisme apprenant, exhibant des comportements qu'aucun nœud unique n'a programmés ou prévus.

Un exemple : la flotte de machines à laver de Maria (des milliers d'unités déployées) apprend collectivement les réglages optimaux pour différents types de tissus, qualités d'eau et préférences des utilisateurs. Cet apprentissage agrégé se propage aux machines individuelles grâce à la synchronisation de contexte. Le logiciel de contrôle de chaque machine (sujets enfants) reçoit des paramètres mis à jour de la connaissance collective (agrégation au niveau parent). Ces enfants adaptent ensuite leur comportement, générant de nouvelles

données qui alimentent à nouveau l'apprentissage collectif. Le cycle continue indéfiniment, avec l'ensemble de la flotte devenant progressivement plus efficace grâce à l'optimisation distribuée.

Effets de réseau dans les systèmes multi-agents : Intelligence collective

Lorsque de nombreux sujets interagissent à travers le cadre STC, des effets de réseau émergent qui amplifient de manière spectaculaire les optimisations individuelles. Ces effets proviennent de trois mécanismes : partage de connaissances, optimisation collaborative et spécialisation émergente.

Partage de connaissances : Les sujets peuvent partager des découvertes d'optimisation à travers leurs connexions (C). Lorsqu'une machine à laver découvre une courbe de chauffage améliorée, elle peut la diffuser à d'autres machines du réseau. Chaque machine évalue si l'optimisation s'applique à son contexte (à travers ses Knowledge Hooks) et l'adopte si cela est bénéfique. Les économies d'énergie agrégées augmentent linéairement avec le nombre de machines :

$$\Delta E_{\text{network}} = N_{\text{machines}} \times \Delta E_{\text{individual}}$$

Où N_{machines} pourrait être des milliers ou des millions. Une seule découverte multiplie sa valeur à travers tout le réseau.

Optimisation collaborative : Les sujets peuvent collaborer sur des optimisations qu'aucun sujet unique ne pourrait atteindre seul. Deux robots pourraient découvrir ensemble une nouvelle séquence d'assemblage qui réduit leur consommation d'énergie combinée de 40 %, même si individuellement ils ne pouvaient réaliser que des améliorations de 10 %. La collaboration crée une valeur superadditive :

$$\Delta E_{\text{collaborative}} > \Delta E_{\text{individual}_1} + \Delta E_{\text{individual}_2}$$

Cela se produit parce que les sujets peuvent explorer des espaces d'optimisation qui englobent leur comportement commun, trouvant des solutions qui nécessitent des changements coordonnés des deux agents.

Spécialisation émergente : À mesure que les sujets interagissent de manière répétée dans le STC, ils se spécialisent naturellement pour se compléter. Si le robot S_1 découvre qu'il est particulièrement efficace pour le positionnement de précision tandis que le robot S_2 excelle dans le serrage à grande vitesse, ils s'orientent vers une division du travail qui maximise

leur efficacité conjointe. Cette spécialisation émerge automatiquement des dynamiques de minimisation de l'énergie : aucun planificateur central n'assigne de rôles.

La spécialisation peut être comprise comme un processus d'optimisation dans l'espace des stratégies comportementales. Chaque sujet maintient une politique π qui associe des contextes à des actions. La politique conjointe (π_1, π_2) évolue selon :

$$\nabla_{\pi_1,\pi_2} E_{\text{total}}(\pi_1, \pi_2) \to \text{local minimum}$$

Cette descente de gradient dans l'espace des politiques conduit naturellement à la spécialisation lorsque la fonction d'énergie conjointe a une structure qui récompense les capacités complémentaires.

Vers un réseau thermodynamique : La propriété de convergence globale

Lorsque tous les utilisateurs, dispositifs, systèmes d'IA et innovations participent au cadre multi-agent STC, l'économie mondiale se transforme en un réseau thermodynamique - un système distribué qui optimise en continu sa consommation totale d'énergie. Ce réseau possède des propriétés mathématiques

remarquables qui garantissent la convergence vers l'efficacité.

Considérez le réseau complet comme un graphe orienté $G = (V, E)$ où V est l'ensemble de tous les sujets et E est l'ensemble des connexions (flux d'énergie, dépendances, collaborations). Chaque sujet S_i a une fonction d'énergie $E_i(\Sigma)$ qui dépend du contexte global $\sum$ (les instantanés combinés de tous les sujets).

L'énergie totale du réseau est :

$$E_{\text{total}}(\Sigma) = \sum_i E_i(\Sigma)$$

Chaque sujet optimise sa propre énergie localement grâce à son mécanisme de renforcement (R), qui met en œuvre une descente de gradient sur E_i :

$$\Sigma_i(t+1) = \Sigma_i(t) - \alpha_i \times \nabla_{\Sigma_i} E_i(\Sigma(t))$$

Où α_i est le taux d'apprentissage du sujet. Cette optimisation locale, lorsqu'elle est effectuée simultanément par tous les sujets, crée une dynamique d'optimisation globale. Dans certaines conditions (convexité des fonctions d'énergie, taux d'apprentissage appropriés, connectivité suffisante), le réseau converge vers un minimum global :

$$\lim_{t\to\infty} E_{\text{total}}(\Sigma(t)) = E_{\text{total}}(\Sigma^*) = \text{global minimum}$$

C'est le théorème de convergence du réseau thermodynamique. Il stipule que la minimisation de l'énergie distribuée par des agents égoïstes conduit à une efficacité optimale globale - un résultat analogue au premier théorème du bien-être en économie, mais ancré dans la physique plutôt que dans les fonctions d'utilité.

Le théorème garantit trois propriétés :

Premièrement, amélioration monotone : E_{total} ne peut pas augmenter spontanément. Tout changement qui augmente l'énergie d'un sujet doit être compensé par de plus grandes diminutions ailleurs, sinon cela viole la condition d'optimisation locale.

Deuxièmement, efficacité de Pareto : À la convergence, aucun sujet ne peut réduire son

énergie sans forcer un autre sujet à augmenter son énergie. Le système atteint un état où toutes les optimisations mutuellement bénéfiques ont été épuisées.

Troisièmement, stabilité : De petites perturbations dans le réseau (ajout de nouveaux sujets, suppression de connexions, changement de paramètres) ne provoquent pas de dégradations catastrophiques. Le système s'adapte et reconverge vers un optimum voisin.

Ces propriétés signifient que l'économie STC est auto-stabilisante et auto-optimisante. Il n'y a pas besoin de planification centrale, pas de risque d'inefficacité incontrôlée, pas de nécessité de coordination explicite au niveau mondial. Le réseau thermodynamique trouve son propre équilibre à travers des interactions locales.

Implications : Économie en tant que système vivant

Le cadre d'optimisation énergétique multi-agents et de propagation récursive transforme notre compréhension de ce qu'est une économie. L'économie traditionnelle considère l'économie comme un ensemble de transactions entre entités séparées - un système mécanique d'échanges. STC révèle l'économie comme un organisme

thermodynamique vivant, avec des propriétés plus biologiques que mécaniques.

Considérez les parallèles : En biologie, les organismes maintiennent l'homéostasie à travers des boucles de rétroaction négative, s'adaptant aux changements environnementaux tout en préservant les fonctions essentielles. Dans STC, les sujets maintiennent l'efficacité énergétique à travers l'apprentissage par renforcement, s'adaptant aux changements de contexte tout en préservant leurs objectifs d'optimisation.

En biologie, les organismes évoluent par sélection naturelle, avec des adaptations réussies se répandant à travers les populations. Dans STC, les sujets évoluent par optimisation énergétique, avec des innovations réussies se propageant à travers le réseau via le partage de connaissances et l'apprentissage collaboratif.

En biologie, les écosystèmes présentent une complexité émergente : des motifs et des structures qui émergent des interactions locales sans coordination centrale. Dans le STC, l'économie présente une complexité émergente : spécialisation, division du travail, cascades d'innovation, qui émergent de la minimisation de l'énergie distribuée.

Cette perspective biologique a des implications profondes. Elle suggère que la santé économique ne devrait pas être mesurée par la richesse agrégée ou le PIB, mais par la capacité d'adaptation : la capacité du système à répondre aux perturbations, à explorer de nouvelles stratégies d'optimisation et à évoluer vers une plus grande efficacité. Une économie 'saine' dans le STC est celle avec des taux d'apprentissage élevés, des types de sujets divers, une connectivité riche et une propagation rapide des innovations réussies.

Elle suggère également que les interventions économiques devraient respecter les dynamiques auto-organisatrices du système plutôt que d'essayer de les contourner. Tout comme la gestion des écosystèmes nécessite de comprendre les boucles de rétroaction naturelles, la politique économique dans le STC nécessite de comprendre les dynamiques d'optimisation intrinsèques du réseau thermodynamique.

Exemples pratiques : STC multi-agents en action

Pour rendre ces principes abstraits concrets, examinons plusieurs scénarios pratiques où l'optimisation énergétique multi-agents et la propagation récursive créent une valeur tangible.

Exemple 1 : Véhicules autonomes en tant qu'agents collaboratifs. Une flotte de voitures autonomes opère dans une ville. Chaque véhicule est un sujet S_{vehicle} avec ses propres objectifs d'optimisation énergétique (minimiser la consommation de batterie, réduire le temps de trajet, assurer le confort des passagers). Les véhicules partagent des données de circulation en temps réel grâce à leurs connexions (C), permettant une optimisation collective des itinéraires.

Lorsque le véhicule S_1 découvre un itinéraire efficace qui évite la congestion, cette information se propage à d'autres véhicules par le biais des connexions réseau. Ils mettent à jour leurs algorithmes de navigation (les Knowledge Hooks s'activent en fonction du contexte de circulation modifié), et les économies d'énergie agrégées se répartissent sur la flotte. Mais l'optimisation est récursive : le logiciel de navigation de chaque véhicule (sujet enfant) apprend continuellement à partir des données de conduite, rétropropagant des algorithmes améliorés vers l'agrégateur de niveau flotte (sujet parent), qui distribue ensuite les mises à jour à tous les véhicules.

La dynamique multi-agents crée des schémas d'écoulement de trafic émergents que

aucun système central n'a planifiés : les véhicules se répartissent naturellement sur des itinéraires alternatifs pour équilibrer la charge, éviter de créer de nouvelles congestions et minimiser les dépenses énergétiques collectives. Le mécanisme d'attribution STC garantit que les développeurs des algorithmes de navigation, les concepteurs des véhicules et même les urbanistes dont l'infrastructure permet un routage efficace reçoivent tous un crédit proportionnel pour les économies d'énergie.

Exemple 2 : Écosystème de maison intelligente. Un ménage contient des dizaines d'appareils intelligents : thermostat, lumières, appareils électroménagers, systèmes de sécurité, systèmes de divertissement. Chaque appareil est un sujet capable d'optimisation énergétique. Le thermostat ($S_{\text{thermostat}}$) apprend les schémas d'occupation et ajuste la température de manière préventive. Le système d'éclairage (S_{lights}) se coordonne avec la lumière naturelle et l'utilisation de la pièce. Les appareils ($S_{\text{appliances}}$) programment leurs opérations pendant les heures de faible consommation d'énergie.

La dynamique multi-agents permet une optimisation collaborative : lorsque le

thermostat détecte que les résidents sont partis pour la journée, il signale ce changement de contexte par le biais de clichés partagés. Le système d'éclairage réagit en entrant en mode basse consommation. Les appareils retardent les cycles non urgents. Les économies d'énergie agrégées dépassent ce que chaque appareil pourrait réaliser indépendamment.

Mais l'optimisation est également récursive : le logiciel de contrôle de chaque appareil apprend et s'améliore en continu. Le thermostat découvre de meilleures courbes de température, les lumières trouvent des horaires de luminosité optimaux, les appareils affinent leurs schémas d'utilisation. Ces améliorations se propagent à travers l'arbre des sujets, créditant non seulement les fabricants d'appareils mais aussi les développeurs de logiciels, les chercheurs en apprentissage automatique dont les algorithmes permettent l'apprentissage, et même les propriétaires dont les données d'utilisation ont formé les systèmes.

Exemple 3 : Recherche collaborative en IA. Plusieurs laboratoires de recherche en IA (chacun un sujet S_{lab}) travaillent sur des problèmes liés à l'apprentissage automatique. Ils partagent des données d'entraînement, des architectures de modèles et des résultats expérimentaux via des dépôts ouverts (connexions C). Lorsqu'un laboratoire découvre un algorithme d'optimisation amélioré qui réduit l'énergie d'entraînement de 30 %, cette innovation se propage à travers le réseau.

D'autres laboratoires adoptent l'algorithme, générant des économies d'énergie dans leurs propres sessions d'entraînement. Ces économies se propagent aux innovateurs d'origine selon des coefficients d'attribution - les chercheurs reçoivent des STC proportionnels à l'impact énergétique global de leur contribution. Cela crée de fortes incitations à un partage ouvert plutôt qu'à une rétention des innovations.

L'aspect récursif émerge lorsque l'algorithme amélioré devient lui-même un outil pour découvrir d'autres améliorations. Les laboratoires l'utilisent pour entraîner des modèles plus sophistiqués, qui découvrent des techniques d'optimisation encore meilleures, créant un cycle d'amélioration récursif. Le mécanisme

d'attribution STC suit toute la chaîne causale, garantissant que chaque contribution reçoit le crédit approprié.

Défis et limitations

Bien que le cadre STC multi-agents ait des propriétés puissantes, il fait également face à des défis significatifs qui doivent être reconnus et abordés.

Échecs de coordination : Bien que le cadre soit conçu pour permettre une coordination implicite à travers des contextes partagés, certains problèmes d'optimisation nécessitent une communication ou une négociation explicite que l'architecture actuelle ne prend pas en charge naturellement. Par exemple [Note : Le contenu semble incomplet à ce stade]

7.4 De l'entrée à l'effort : L'équation énergétique complète

Nous avons maintenant construit l'architecture complète de la Thermo-Monnaie Subjective : des sujets en tant qu'agents actifs avec la structure (Σ, P, M, R, C), des Glandes Énergétiques Virtuelles pour une visualisation économique incarnée, des arbres hiérarchiques pour organiser les dépendances, et une optimisation multi-

agents pour une intelligence distribuée. Mais une question critique reste sans réponse : comment mesurons-nous exactement l'énergie qui circule à travers ce système ? Comment traduisons-nous le concept abstrait d' 'entrée utilisateur' en joules concrets qui peuvent être attribués, échangés et optimisés ?

Cette section fournit la réponse complète en développant l'équation énergétique complète - le cadre mathématique qui cartographie chaque forme d'effort humain (physique, cognitif et émotionnel) à des quantités thermodynamiques mesurables. Nous montrerons comment les frappes au clavier, les mouvements de souris et les pressions de boutons se traduisent par un travail mécanique ; comment l'attention, la prise de décision et la mémoire se traduisent par une consommation d'énergie neuronale ; et comment la frustration, le stress et la charge cognitive se traduisent par des coûts métaboliques.

L'équation énergétique complète est le pont entre l'expérience subjective de l'utilisation de la technologie et la physique objective de la dépense énergétique. Elle transforme le STC d'un concept philosophique en une spécification d'ingénierie - un système précis et réalisable pour mesurer et monétiser les

gains d'efficacité. À la fin de cette section, vous comprendrez exactement comment chaque interaction avec chaque appareil génère une signature énergétique mesurable qui peut être automatiquement détectée, calculée et attribuée à travers le réseau STC.

Les Trois Dimensions de la Dépense Énergétique

La dépense énergétique humaine dans le contexte de l'utilisation de la technologie peut être décomposée en trois dimensions principales, chacune régie par différents mécanismes physiques mais contribuant toutes au coût thermodynamique total :

$$E_{\text{total}} = E_{\text{physical}} + E_{\text{cognitive}} + E_{\text{emotional}}$$

Cette décomposition n'est pas arbitraire - elle reflète les systèmes physiologiques distincts impliqués. L'énergie physique provient des contractions musculaires alimentées par l'hydrolyse de l'ATP. L'énergie cognitive provient du calcul neural alimenté par le métabolisme du glucose dans le cerveau. L'énergie émotionnelle provient des réponses au stress, de la régulation de l'attention et du traitement affectif qui modulent à la fois l'activité musculaire et neuronale.

Chaque dimension peut être davantage décomposée en composants atomiques, chacun ayant des coûts énergétiques mesurables dérivés de la physique et de la physiologie établies. Examinons chaque dimension en détail.

Énergie Physique : Locomotion et Manipulation

L'énergie physique englobe tout le travail mécanique effectué par le corps - mouvements dans l'espace, manipulation d'objets, application de force et maintien de la posture. Dans le contexte de l'utilisation de la technologie, cela inclut marcher vers les appareils, atteindre les commandes, appuyer sur des boutons, taper sur des claviers, gesticuler dans des interfaces AR, et toute autre action corporelle requise pour interagir avec les systèmes.

Le composant d'énergie physique se décompose comme suit :

$$E_{\text{physical}} = E_{\text{locomotion}} + E_{\text{manipulation}} + E_{\text{posture}}$$

Énergie de Locomotion : C'est l'énergie requise pour déplacer votre corps dans l'espace. Elle est régie par la physique fondamentale du travail :

$$E_{\text{locomotion}} = m \times g \times d \times \eta^{-1}$$

Où m est la masse corporelle (kg), g est l'accélération gravitationnelle (9,8 m/s²), d est la distance parcourue (m), et η^{-1} est l'inverse de l'efficacité mécanique (environ 4, ce qui signifie que seulement 25 % de l'énergie métabolique se convertit en travail mécanique). Pour une personne de 70 kg marchant 10 mètres :

$$E_{\text{locomotion}} = 70 \times 9.8 \times 10 \times 4 = 27{,}440 \text{ J} \approx 27.4 \text{ kJ}$$

Cela peut sembler élevé, mais rappelez-vous que cela inclut le coût métabolique total : le cœur qui bat, les muscles qui se contractent, les systèmes de stabilisation qui s'engagent. Le calcul réel est plus nuancé, tenant compte de l'efficacité de la démarche, du terrain, de la vitesse et de la charge d'objets. La recherche en biomécanique empirique fournit des facteurs d'ajustement :

$$E_{\text{locomotion_adjusted}} = (m + m_{\text{load}}) \times g \times d \times \eta^{-1} \times f_{\text{terrain}} \times f_{\text{speed}}$$

Où $f_{\text{terrain}} \approx 1.0$ pour les surfaces planes, 1,5 pour les escaliers, 2,0 pour le terrain accidenté ; et $f_{\text{speed}} \approx 1.0$ pour la marche normale (1,4 m/s), 0,8 pour la marche lente, 1,3 pour la marche rapide ou le jogging.

Énergie de manipulation : C'est l'énergie requise pour déplacer vos mains, bras et doigts afin d'interagir avec des objets ou des interfaces. Cela inclut atteindre un smartphone, cliquer sur une souris, taper sur un clavier, manipuler des commandes physiques ou effectuer des gestes en AR.

Pour les actions discrètes (presses de boutons, frappes), nous utilisons des valeurs mesurées empiriquement :

$$E_{\text{keystroke}} \approx 0.1 \text{ J (finger flexion and extension)}$$
$$E_{\text{mouse_click}} \approx 0.15 \text{ J (hand positioning + button depression)}$$
$$E_{\text{touch_tap}} \approx 0.05 \text{ J (minimal movement, light contact)}$$
$$E_{\text{gesture}} \approx \text{1-5 J (arm motion through space, varies by gesture complexity)}$$

Pour les manipulations continues (défilement, glissement, écriture), nous intégrons la force sur la distance :

$$E_{\text{manipulation_continuous}} = \int F(t) \times v(t)\, dt$$

Où $F(t)$ est la force appliquée par les muscles au moment t, et $v(t)$ est la vitesse de mouvement. En pratique, cela est approximé en utilisant la force moyenne et la distance totale : $E_{\text{manipulation}} \approx F_{\text{avg}} \times d_{\text{total}}$.

Énergie de maintien de posture : Souvent négligée mais physiologiquement significative - l'énergie requise pour maintenir la position du corps tout en utilisant la technologie. Être assis droit devant un ordinateur, tenir votre téléphone à un angle de vue ou se tenir debout tout en interagissant avec des lunettes AR nécessite une activation musculaire continue pour contrer la gravité.

$$E_{\text{posture}} = P_{\text{posture}} \times t_{\text{duration}}$$

Où P_{posture} est la consommation d'énergie des muscles posturaux (environ 15-30 W selon la position et le confort), et t_{duration} est la durée pendant laquelle la posture est maintenue. Pour une interaction de 5 minutes : $E_{\text{posture}} = 20 \text{ W} \times 300 \text{ s} = 6{,}000 \text{ J} = 6 \text{ kJ}$.

Ce composant est la raison pour laquelle l'ergonomie a une importance économique dans le STC - des interfaces inconfortables qui nécessitent des postures inconfortables coûtent littéralement plus d'énergie, ce qui se traduit directement par des coûts thermodynamiques plus élevés visibles dans les glandes des mains des utilisateurs.

Énergie cognitive : Attention, prise de décision et mémoire

L'énergie cognitive est plus subtile que l'énergie physique mais tout aussi réelle et mesurable. Le cerveau humain consomme environ 20 % de l'énergie métabolique totale du corps bien qu'il ne représente que 2 % de la masse corporelle, ce qui témoigne du coût thermodynamique du calcul neural. [Remarque : Le contenu semble incomplet à ce stade]

8

STC par rapport aux systèmes économiques traditionnels

8.1 L'Anatomie de la Pauvreté

La pauvreté est peut-être l'échec le plus persistant et dévastateur des systèmes économiques humains. Malgré des millénaires de progrès technologique, des milliards de personnes n'ont toujours pas accès aux besoins fondamentaux : eau potable, nutrition adéquate, abri, soins de santé, éducation, même si la capacité productive mondiale a crû de manière exponentielle. Ce paradoxe exige une explication : comment la pauvreté peut-elle coexister avec l'abondance ? Pourquoi la rareté persiste-t-elle lorsque les ressources sont abondantes ? Quelles caractéristiques structurelles de nos systèmes économiques créent et perpétuent la privation ?

La réponse conventionnelle se concentre sur la distribution : la pauvreté existe parce que la richesse est inégalement répartie, et résoudre la pauvreté nécessite une redistribution par le biais de la fiscalité, des programmes d'aide sociale ou d'autres mécanismes de transfert. Bien que la distribution soit importante, cette explication est superficielle. Elle traite la pauvreté comme un échec d'allocation plutôt que de la reconnaître comme une

propriété intrinsèque de la manière dont les systèmes monétaires traditionnels représentent la valeur.

This section argues for a more fundamental diagnosis: poverty is not primarily about having too little money, but about the loss of context that money creates. Traditional currency—whether shells, precious metals, paper notes, or digital tokens—represents value as a single abstract number disconnected from physical reality. This abstraction erases the rich, multidimensional information about what things actually do, how they satisfy needs, and what consequences they produce. When a $2 chewing gum and a $2 pen are treated as economically equivalent despite radically different effects on human wellbeing, the system has lost crucial information.

Cette perte de contexte crée des inefficacités systémiques qui s'accumulent en ce que nous reconnaissons comme la pauvreté. Les gens effectuent des achats qui ne satisfont pas leurs besoins parce que les prix ne reflètent pas l'utilité réelle. Les ressources s'écoulent vers des usages inefficaces parce que les rendements financiers ne s'alignent pas sur l'efficacité thermodynamique. L'innovation est mal orientée vers des activités financièrement rentables mais

énergétiquement gaspillantes. Le résultat est une civilisation qui est simultanément riche en termes financiers et appauvrie en termes thermodynamiques—produisant d'énormes quantités de biens tout en échouant à minimiser la souffrance humaine et à maximiser l'épanouissement humain.

L'anatomie que nous allons disséquer a trois composants. Tout d'abord, nous examinons un exemple concret—le chewing-gum et le stylo—qui révèle le mécanisme par lequel la perte de contexte se traduit par la souffrance humaine. Cette parabole, aussi simple qu'elle semble, capture le problème essentiel de la monnaie symbolique : elle traite des choses fondamentalement différentes comme équivalentes, permettant des transactions qui violent des principes thermodynamiques de base.

Deuxièmement, nous généralisons à partir de l'exemple pour montrer comment la monnaie traditionnelle crée systématiquement la pauvreté à travers plusieurs mécanismes interconnectés : l'effondrement de la valeur multidimensionnelle en un prix unidimensionnel, l'invisibilité des coûts cachés et des externalités, l'accumulation d'inadéquations entre la réalité financière et physique, et l'incapacité fondamentale de l'argent à résoudre les problèmes qu'il crée intrinsèquement.

Troisièmement, nous montrons comment le STC remédie à ces pathologies non pas en redistribuant de l'argent mais en éliminant la perte de contexte qui crée la pauvreté en premier lieu. Lorsque la valeur est mesurée en joules—énergie réelle économisée ou dépensée—plutôt qu'en unités monétaires abstraites, la distinction entre le chewing-gum et le stylo devient automatiquement visible. Le système ne peut pas créer de pauvreté par perte de contexte parce que le contexte est préservé dans la mesure elle-même.

Ce n'est pas simplement théorique. La transition de la mesure de valeur symbolique à la mesure de valeur physique a des implications concrètes sur la façon dont nous concevons les systèmes économiques, évaluons les innovations, allouons les ressources et mesurons le progrès. Cela suggère que la pauvreté n'est pas une caractéristique inévitable de la rareté mais un artefact d'insuffisance représentationnelle — et que de meilleures représentations peuvent l'éliminer.

Les enjeux sont profonds. Si la pauvreté émerge d'un échec représentationnel plutôt que d'une rareté matérielle, alors le progrès technologique et scientifique — qui augmente constamment notre capacité à manipuler l'énergie — devrait naturellement

éliminer la pauvreté, à condition que nous mesurions la valeur correctement. La persistance de la pauvreté malgré l'abondance est la preuve que nos systèmes de mesure sont défaillants, et non que la rareté est fondamentale.

STC offre une voie à suivre : représenter la valeur pour ce qu'elle est physiquement (énergie économisée), la mesurer avec précision (à travers l'équation énergétique complète) et l'attribuer équitablement (à travers des structures d'arbre et la rétropropagation). Lorsque nous faisons cela, la pauvreté se dissout non pas parce que nous avons redistribué des jetons, mais parce que nous avons éliminé le mécanisme qui a créé la rareté artificielle en premier lieu.

Commençons par la parabole qui rend cet argument abstrait concret : une personne, un morceau de chewing-gum, un stylo, et la profonde différence que l'argent ne peut pas voir.

8.1.1 L'exemple du chewing-gum et du stylo

Imagine you have exactly $2 in your pocket. You walk into a convenience store where two items catch your attention: a pack of chewing gum priced at $2, and a pen also priced at $2. From the perspective of

traditional currency, these items are economically equivalent. They cost the same amount, therefore they have the same value. The market has spoken, and its verdict is clear: one gum pack = one pen = $2.

Vous décidez d'acheter le chewing-gum. Vous l'ouvrez, le mettez dans votre bouche et mâchez. L'expérience est agréable : une explosion de saveur mentholée, l'action mécanique satisfaisante de mâcher, un bref répit de l'ennui ou du stress. Après quinze minutes, la saveur s'estompe. Vous jetez le chewing-gum et continuez votre journée. Tout s'est déroulé comme prévu. La transaction a été réussie. Vous avez reçu une valeur égale à ce que vous avez payé.

Considérons maintenant un scénario alternatif. Même magasin, même 2 $, mêmes deux articles. Mais cette fois, vous achetez le stylo à la place. Cependant, plutôt que de l'utiliser à son but prévu — écrire — vous décidez de le traiter comme du chewing-gum. Vous mettez le stylo dans votre bouche et mordez. $2

Le résultat est catastrophique. Le plastique dur se brise contre vos dents. Des fragments tranchants coupent vos gencives. L'encre chimique inonde votre bouche d'un goût amer et toxique. Une douleur traverse votre mâchoire alors qu'une de vos molaires se casse sous la pression. Le sang se

mélange au plastique et à l'encre alors que vous recrachez les débris. En quelques secondes, vous êtes passé d'une transaction de consommation décontractée à une urgence dentaire nécessitant des soins médicaux immédiats.

Les conséquences sont sévères et coûteuses. Les soins dentaires d'urgence coûtent 1 200 $. La dent endommagée nécessite une couronne (800 $). Vous manquez deux jours de travail pour récupérer (400 $ de salaires perdus). Le traumatisme psychologique crée de l'anxiété autour de l'alimentation et des procédures dentaires. Pendant des semaines, vous êtes incapable de mâcher correctement de ce côté de votre bouche, vous forçant à manger des aliments mous et à développer des schémas de mastication compensatoires qui mettent à l'épreuve votre articulation de la mâchoire. Le coût économique et physique total : environ 3 000 $ et des semaines d'inconfort, le tout découlant d'un achat de 2 $. $1 $2 $3 $400 $800

Du point de vue de l'argent, les deux scénarios ont commencé de manière identique : 2 $ dépensés, un article acheté. Mais les résultats ne pourraient pas être plus différents. Une transaction a abouti à quinze minutes de plaisir modéré. L'autre a entraîné des milliers de dollars de frais

médicaux, une douleur et une souffrance significatives, et des conséquences à long terme pour votre santé et votre bien-être. $2

L'insight critique est le suivant : l'argent ne voit aucune différence. Le prix était le même, donc la valeur était la même. Le système monétaire considérait le chewing-gum et le stylo comme équivalents car il ne suit qu'une seule dimension : le nombre abstrait attribué comme prix. Il ne peut pas voir, enregistrer ou représenter la réalité multidimensionnelle de ce que ces objets font réellement, comment ils interagissent avec les besoins humains, ou quelles conséquences découlent de leur utilisation.

Le Modèle Plus Profond : Effacement du Contexte

Cet exemple, aussi absurde soit-il, révèle une propriété fondamentale de tous les systèmes monétaires symboliques : ils effacent le contexte. Le contexte est l'information riche et multidimensionnelle sur ce que sont les choses, ce qu'elles font, comment elles fonctionnent, quels objectifs elles servent et quels effets elles produisent. Lorsque nous représentons la valeur avec de l'argent, nous devons nécessairement rejeter toutes ces informations et ne conserver qu'un seul nombre : le prix.

Le chewing-gum a un contexte : il est conçu pour un usage oral, il est sûr à ingérer (dans des limites), il procure une satisfaction sensorielle par le goût et la texture, il est destiné à être jeté après utilisation. Le stylo a un contexte : c'est un instrument d'écriture, ses matériaux ne sont pas sûrs pour la nourriture, il remplit une fonction de communication, il cause des dommages s'il est mal utilisé. Ces contextes sont évidents pour les humains ayant du bon sens, mais ils sont complètement invisibles au système monétaire.

Le prix - 2 $ chacun - n'encode aucune de ces informations. Il ne vous dit pas à quoi servent les objets, comment les utiliser, quels avantages ils procurent, ou quels dommages pourraient résulter d'une mauvaise utilisation. Le prix est acontextuel : il existe indépendamment de la réalité physique qu'il est censé représenter. Ce n'est pas un bug mais une fonctionnalité de l'argent. La monnaie doit être exempte de contexte pour être fongible (un dollar équivaut à un autre dollar, peu importe comment il a été gagné ou ce qu'il achète). Mais cette fongibilité a un coût terrible : la perte d'informations qui distingue les transactions bénéfiques de celles nuisibles. $2

Vous pourriez objecter : 'Mais aucune personne rationnelle ne mâcherait un stylo.

L'exemple est artificiel.' C'est vrai : la plupart des gens ne mâchent pas littéralement des stylos. Mais le modèle plus profond est omniprésent et dévastateur. Chaque jour, des millions de personnes effectuent des achats qui, métaphoriquement, équivalent à mâcher des stylos : acheter des produits qui ne fonctionnent pas comme annoncé, consommer des aliments qui nuisent à leur santé, investir dans des actifs qui perdent de la valeur, engager des services qui gaspillent leur temps. Le système monétaire permet toutes ces transactions car il ne peut pas distinguer l'utilisation appropriée de la mauvaise utilisation, la création de valeur de la destruction de valeur.



Imaginez dans toute l'histoire humaine, tous les stylos que les gens ont mâchés ? La pauvreté n'est pas un manque d'argent. La pauvreté est l'accumulation de la perte de contexte dans les transactions réalisées tout au long de l'histoire humaine. La pauvreté n'est pas un manque d'argent,

la pauvreté est le chaos généré par l'argent. L'efficacité apporte toujours de l'argent, mais l'argent n'apporte pas toujours de l'efficacité.

$$\text{Poverty} = \sum_{t=0}^{T} \sum_{i=1}^{N(t)} \left\| \vec{C}_i(t) - \pi(\vec{C}_i(t)) \right\|^2 = \sum_{t=0}^{T} \sum_{i=1}^{N(t)} \left(\sqrt{\sum_{d=1}^{D} c_{i,d}^2(t)} - p_i(t) \right)^2$$

Cette formule quantifie la pauvreté comme la perte d'information cumulative à travers toutes les transactions monétaires de l'histoire. Ici, t représente le temps depuis l'origine de l'argent (t=0) jusqu'au présent (T), et N(t) est le nombre de transactions au temps t. Pour chaque transaction i, le terme $||C_i(t) - \pi(C_i(t))||^2$ mesure la distance au carré entre le vecteur de contexte multidimensionnel complet $C_i(t)$ (contenant toutes les propriétés physiques, fonctionnelles et contextuelles pertinentes) et sa projection $\pi(C_i(t))$ sur l'axe de prix unidimensionnel $p_i(t)$. Le côté droit développe cela : la norme $||C_i||$ capture la magnitude du contexte D-dimensionnel (où D pourrait être des milliers de propriétés pertinentes), tandis que p_i est le prix scalaire en dollars. La différence au carré $(\sqrt{\Sigma c_{i,a}^2} - p_i)^2$ représente la réduction dimensionnelle irréversible - le contexte qui ne peut jamais être récupéré une fois réduit à un prix. La somme de toutes les transactions et de tout le temps nous donne la perte de contexte totale accumulée : la

pauvreté elle-même. Chaque stylo mâché, chaque produit mal acheté, chaque repas nuisible à la santé ajoute son terme d'erreur à cette somme. L'économie traditionnelle considère ces erreurs comme du bruit. La STC les reconnaît comme le signal principal : la destruction systématique de l'information que l'argent cause nécessairement, accumulée à travers des milliards de transactions sur des millénaires, se manifestant comme la pauvreté structurelle que nous observons aujourd'hui.

Les Mathématiques de la Perte de Contexte

Nous pouvons formaliser cette perte de contexte mathématiquement. Soit un objet O caractérisé par un vecteur de propriétés de haute dimension :

$$O = (p_1, p_2, \ldots, p_n)$$

Où chaque p_i représente une dimension de la réalité de l'objet : sa composition physique, son utilisation prévue, son profil de sécurité, sa durabilité, son efficacité énergétique, son impact environnemental, ses propriétés esthétiques, ses significations symboliques et d'innombrables autres attributs. Pour le chewing-gum, ce vecteur pourrait inclure : p_1 = 'comestible', p_2

= 'fournit de la saveur', p_3 = 'satisfaisant mécaniquement', p_4 = 'jetable', p_5 = 'faible en calories', etc. Pour le stylo : p_1 = 'instrument d'écriture', p_2 = 'contient de l'encre', p_3 = 'plastique dur', p_4 = 'non sûr pour les aliments', p_5 = 'durable', etc.

La monnaie traditionnelle effectue une opération de réduction de dimensionnalité. Elle mappe le vecteur de haute dimension O à une seule valeur scalaire—le prix :

$$\text{Price} : \mathbb{R}^n \to \mathbb{R}$$

$$\text{Price}(O) = \text{scalar value (e.g., \$2)}$$

Cette cartographie est nécessairement destructrice d'informations. La théorie de l'information nous dit que lorsque vous réduisez la dimensionnalité, vous perdez des informations. La quantité d'informations perdues est proportionnelle aux dimensions abandonnées. Dans le cas d'une réduction de n dimensions à 1 dimension, la perte d'informations est massive—environ $\log_2(n)$ bits d'informations par objet.

Pour des objets comme le chewing-gum et les stylos avec peut-être des centaines de propriétés pertinentes, nous perdons des

centaines de bits d'informations chaque fois que nous les représentons sous forme de prix. Multipliez cela par des milliards de transactions quotidiennes, et l'humanité jette collectivement d'énormes quantités d'informations cruciales qui devraient guider la prise de décision économique.

Les conséquences de cette perte d'informations sont graves. Lorsque le prix est le seul signal, les acteurs ne peuvent pas optimiser pour la valeur réelle—ils ne peuvent qu'optimiser pour le prix. Cela crée des désalignements systématiques entre ce que l'argent récompense et ce qui améliore réellement le bien-être humain. Un produit peut être financièrement rentable tout en étant thermodynamiquement gaspilleur, socialement nuisible ou physiquement dangereux. Le système monétaire n'a aucun mécanisme pour distinguer ces cas car il a abandonné les informations nécessaires pour faire de telles distinctions.

Élargir le problème : Des stylos à la civilisation

L'exemple du chewing-gum et du stylo est délibérément simple pour rendre le mécanisme clair. Mais le même schéma opère à chaque échelle d'activité économique, avec des résultats bien plus conséquents.

Considérons les produits pharmaceutiques. Deux médicaments peuvent avoir des prix similaires mais des efficacités, des profils d'effets secondaires et des résultats à long terme radicalement différents. Le prix monétaire ne peut pas capturer ces différences de manière adéquate. Les compagnies d'assurance et les patients prennent des décisions principalement en fonction du coût, et non de la réalité multidimensionnelle de ce que ces médicaments font réellement aux corps humains. Le résultat : des résultats médicaux sous-optimaux, des souffrances inutiles et des ressources gaspillées.

Considérons l'emploi. Deux emplois peuvent offrir des salaires similaires mais différer énormément en niveaux de stress, opportunités d'apprentissage, équilibre travail-vie personnelle, sécurité physique et perspectives de carrière à long terme. L'argent réduit tout cela à un seul chiffre—le salaire. Les travailleurs optimisent pour des salaires plus élevés sans informations adéquates sur d'autres dimensions qui peuvent être plus importantes pour leur bien-être. Le résultat : des personnes piégées dans un travail bien rémunéré mais écrasant pour l'âme, ou incapables de se permettre un travail moins bien rémunéré mais plus épanouissant parce qu'elles ont besoin d'argent.

Considérez l'infrastructure. Deux matériaux de construction peuvent avoir des coûts similaires mais des durabilités, des impacts environnementaux, des exigences de maintenance et des consommations d'énergie sur le cycle de vie très différents. Les gouvernements et les développeurs choisissent principalement en fonction du coût financier initial, et non du contexte thermodynamique et environnemental complet. Le résultat : des bâtiments et des infrastructures financièrement bon marché mais énergétiquement coûteux, nécessitant des réparations constantes et contribuant à l'épuisement des ressources.

Dans chaque cas, le schéma est identique à celui du stylo et du chewing-gum : l'argent traite des choses fondamentalement différentes comme équivalentes, permettant des décisions qui violent des principes thermodynamiques et pratiques de base. Le système est structurellement aveugle à l'information même nécessaire pour distinguer les bons résultats des mauvais.

L'Illusion du Choix

L'économie traditionnelle célèbre le choix du consommateur comme le mécanisme qui résout les problèmes d'information. Si je mâche le stylo et que je souffre, j'apprendrai à ne plus le faire. Le marché, par essai et erreur, découvre quelles

transactions créent de la valeur et lesquelles la détruisent. C'est la main invisible : l'apprentissage individuel agrégé à travers des millions de personnes produit une rationalité collective.

Mais cet argument suppose que les coûts des erreurs sont supportables et que l'information acquise à partir de celles-ci est préservée et propagée. Aucune de ces hypothèses ne tient dans la réalité.

Tout d'abord, de nombreuses erreurs sont catastrophiques et irréversibles. Vous n'avez pas l'occasion d'apprendre en mâchant le stylo s'il cause des dommages irréparables aux dents ou un empoisonnement accidentel. Vous n'avez pas l'occasion d'apprendre du médicament avec des effets secondaires mortels si vous êtes mort. Vous n'avez pas l'occasion d'apprendre de l'escroquerie financière si cela vous rend insolvable. Le mécanisme d'essai et d'erreur ne fonctionne que lorsque les erreurs sont survivables et corrigibles.

Deuxièmement, même lorsque les individus apprennent de leurs erreurs, cette information ne se propage pas efficacement à travers le système de prix. Après avoir mâché le stylo et cassé vos dents, le prix des stylos ne change pas. Les futurs consommateurs ne reçoivent aucun signal que les stylos sont dangereux s'ils sont mal

utilisés. Chaque personne doit découvrir les mêmes vérités indépendamment, à ses propres frais. Le prix ne peut pas encoder la leçon car il ne peut pas représenter le contexte.

Troisièmement, il existe des incitations systématiques pour les producteurs à exploiter la perte de contexte. Si les consommateurs ne peuvent pas facilement distinguer un produit durable d'une contrefaçon bon marché (tous deux au prix de 20 $), les fabricants profitent de la production de contrefaçons qui économisent sur les coûts de production tout en extrayant le même prix. L'asymétrie d'information crée des opportunités de comportement prédateur que l'argent ne peut pas contrôler. $20

Le résultat est un système économique qui récompense systématiquement l'exploitation de la perte d'information. La publicité existe en grande partie pour manipuler l'information limitée dont disposent les consommateurs. L'obsolescence programmée exploite la difficulté d'évaluer la durabilité à long terme à partir du prix seul. La complexité financière existe pour obscurcir les véritables coûts et risques des produits. Toutes ces pathologies remontent à la perte d'information fondamentale inhérente à la représentation

de la réalité multidimensionnelle sous forme de prix unidimensionnel.

La Réalité Thermodynamique Derrière la Métaphore

Le stylo et le chewing-gum diffèrent non seulement par leurs usages prévus, mais aussi par leurs propriétés thermodynamiques. Le chewing-gum effectue un travail utile : il procure une satisfaction sensorielle (traitement de l'information par les récepteurs gustatifs et les centres de plaisir), une satisfaction mécanique (mouvement rythmique de la mâchoire qui réduit le stress) et un coût énergétique minimal (le coût métabolique de la mastication est d'environ 2-3 J par minute, facilement fourni par les calories du chewing-gum).

Mastiquer le stylo ne fait aucun de ce travail productif. Au lieu de cela, cela crée un chaos thermodynamique : casser des dents nécessite de surmonter des liaisons moléculaires (énergie significative), les dommages résultants déclenchent une inflammation (énergie métabolique), la réparation dentaire d'urgence nécessite des apports énergétiques externes substantiels (infrastructure médicale, matériaux, main-d'œuvre), et le stress psychologique active les systèmes de réponse au stress

(libération de cortisol, augmentation du rythme cardiaque, sommeil perturbé).

D'un point de vue thermodynamique, la transaction de chewing-gum conserve ou augmente légèrement l'ordre (procure une satisfaction avec une augmentation d'entropie minimale). La transaction de stylo augmente massivement l'entropie (détruit des structures organisées—dents—et crée du désordre—blessure, stress, ressources gaspillées).

L'argent ne voit aucune de cette réalité thermodynamique. Il ne peut pas, car il opère dans un domaine purement symbolique déconnecté de la physique. C'est le problème fondamental : la valeur économique devrait refléter la valeur physique (efficacité énergétique, minimisation des déchets, maximisation de la satisfaction), mais la valeur monétaire peut diverger arbitrairement de la valeur physique parce que la représentation est inadéquate.

Pourquoi cet exemple est important : Le pont vers le STC

La parabole du stylo et du chewing-gum n'est pas juste une histoire mignonne—c'est un outil de diagnostic qui révèle le mode de défaillance central de la monnaie traditionnelle. Chaque pathologie économique que nous observons—la pauvreté au milieu de

l'abondance, la destruction de l'environnement malgré la connaissance des conséquences, des systèmes médicaux qui mettent les malades en faillite, des systèmes éducatifs qui échouent à éduquer—peut être retracée à cette même cause profonde : la monnaie symbolique perd l'information contextuelle nécessaire pour distinguer la création de valeur de la destruction de valeur.

Ce diagnostic pointe vers la solution. Si la perte de contexte est le problème, alors la préservation du contexte est la réponse. Nous avons besoin d'un système économique qui maintienne l'information multidimensionnelle sur ce que les choses font réellement, pas seulement sur ce qu'elles coûtent.

La Thermo-Monnaie Subjective fait exactement cela. Au lieu de réduire la valeur à un prix unique, le STC mesure les dépenses énergétiques réelles et les économies à travers toutes les dimensions pertinentes. La différence entre mastiquer du chewing-gum et mastiquer un stylo devient automatiquement visible dans l'équation énergétique :

Mastiquer du chewing-gum : $\Delta E = (E_{\text{without_gum}} - E_{\text{with_gum}})$ = petite valeur positive (légère réduction du stress, satisfaction mineure)

Mastiquer un stylo : $\Delta E = (E_{\text{without_pen}} - E_{\text{with_pen}})$ = grande valeur négative (coût énergétique massif dû à la blessure, traitement médical, récupération)

Le système STC ne peut pas créer d'équivalence là où il n'en existe pas, car il mesure la réalité physique, pas les abstractions symboliques. L'équation de l'énergie préserve naturellement le contexte, car la dépense énergétique dépend du contexte. Vous ne pouvez pas tricher avec la thermodynamique : vous ne pouvez pas prétendre que détruire des dents ne coûte pas d'énergie lorsque les lois de la physique disent le contraire.

C'est pourquoi l'exemple du stylo et du chewing-gum est la parfaite introduction pour comprendre à la fois le problème de la monnaie traditionnelle et la solution que fournit le STC. Il rend visiblement clair ce que nous perdons lorsque nous représentons la valeur symboliquement, et ce que nous gagnons lorsque nous mesurons la valeur physiquement. Dans les sous-sections qui suivent, nous allons généraliser cette idée

pour montrer comment toute pauvreté émerge de la perte de contexte, et comment le STC élimine la pauvreté en éliminant le mécanisme qui la crée.

8.1.2 Comment la monnaie traditionnelle crée la pauvreté

L'exemple du chewing-gum et du stylo révèle le mécanisme—l'effacement du contexte—mais laisse ouverte une question cruciale : comment ce mécanisme se propage-t-il des transactions individuelles à la pauvreté systémique ? Comment des milliards de petites pertes d'information s'accumulent-elles en la souffrance humaine massive que nous observons comme une privation économique ? Cette sous-section fournit la réponse en examinant quatre voies interconnectées par lesquelles la monnaie traditionnelle transforme la perte de contexte en pauvreté structurelle.

Mécanisme 1 : La valeur s'effondre en prix

Le premier chemin est le plus fondamental : la monnaie traditionnelle force l'effondrement de la valeur multidimensionnelle en un prix unidimensionnel. Cette compression n'est pas incidente mais définitionnelle : l'argent doit être fongible (un dollar équivaut à un autre) pour fonctionner comme un moyen

d'échange. Mais la fongibilité nécessite de dépouiller toutes les informations contextuelles qui distinguent les transactions véritablement précieuses de celles qui sont nuisibles.

Consider two foods both priced at $5: a nutritious meal providing essential vitamins, minerals, and balanced macronutrients; and processed junk food high in sugar, unhealthy fats, and calories but devoid of micronutrients. From the perspective of money, these are equivalent. A person with $5 can purchase either with equal ease. The price signal provides no information about which choice will nourish the body and which will harm it.

Les pauvres, qui ont peu d'argent et doivent maximiser l'utilité par dollar, font face à un problème d'optimisation impossible. Sans information contextuelle, ils ne peuvent pas distinguer entre les achats qui amélioreront leur bien-être à long terme et ceux qui l'endommageront. Le repas nutritif et la malbouffe coûtent tous deux 5 $, donc le signal monétaire dit qu'ils sont équivalents. Mais la réalité thermodynamique est très différente : l'un fournit une énergie et une santé durables, l'autre fournit une satiété temporaire suivie de dysfonctionnement métabolique, de

chutes d'énergie et de maladies chroniques. $5

Cela crée un piège de pauvreté : ceux qui ont peu d'argent prennent des décisions basées uniquement sur le prix, car c'est la seule information que le système fournit. Ces décisions, dépourvues de contexte, s'avèrent souvent nuisibles de manière à créer des coûts supplémentaires (dépenses médicales, perte de productivité, impairment cognitif) qui réduisent encore les ressources disponibles. La perte de contexte initiale se cumule en une privation croissante.

Les mathématiques de cet effondrement peuvent être exprimées comme une inégalité. Soit V_{true} représentant la véritable valeur multidimensionnelle d'un article et V_{price} représentant le prix unidimensionnel. La perte d'information est :

$$I_{\text{loss}} = H(V_{\text{true}}) - H(V_{\text{price}})$$

Où $H()$ est l'entropie de l'information. Pour les objets avec n dimensions pertinentes, cette perte est d'environ $\log_2(n)$ bits. Pour des biens complexes comme la nourriture, le logement

ou des services avec des centaines de propriétés pertinentes, nous perdons 8 à 10 bits d'information par transaction. Sur des milliards de transactions quotidiennes, l'humanité jette des exaoctets d'informations cruciales pour la prise de décision.

Mécanisme 2 : Les coûts cachés deviennent de réelles souffrances

Le deuxième chemin est l'externalisation : la monnaie traditionnelle ne consigne que les échanges monétaires explicites, rendant invisibles tous les coûts et conséquences cachés qui s'étendent au-delà de la transaction. Ces coûts cachés ne disparaissent pas : ils se manifestent sous forme de réelles souffrances supportées par des personnes qui n'ont jamais été indemnisées pour les supporter.

Revenons à notre exemple de mâcher un stylo. Le prix d'achat de 2 $ ne couvrait que les coûts de fabrication et de distribution. Il ne disait rien des 3 000 $ de frais dentaires, des jours de travail perdus, du traumatisme psychologique ou de la dysfonction mandibulaire à long terme. Ces coûts sont réels : ils représentent une dépense énergétique réelle, une souffrance humaine réelle, mais ils sont invisibles pour le système monétaire car ils se

produisent en dehors de la transaction. $2 $3

Cette externalisation opère à toutes les échelles. Une usine pollue une rivière, imposant des coûts de santé aux communautés en aval. Le prix des produits de l'usine ne reflète pas ces coûts : ils sont externalisés sur la communauté. Une entreprise alimentaire utilise des ingrédients qui ont bon goût mais créent une dépendance et des maladies métaboliques. Le prix reflète les coûts de production, pas les frais médicaux que les clients encourront des décennies plus tard. Un produit financier est commercialisé auprès de consommateurs peu sophistiqués qui ne comprennent pas les risques. Le prix n'inclut pas le coût des faillites éventuelles et des vies ruinées.

Les pauvres supportent le poids de ces externalités. Les personnes riches peuvent se permettre d'éviter les quartiers pollués, d'acheter des aliments biologiques, d'engager des conseillers financiers. Les pauvres ne le peuvent pas, donc ils absorbent les coûts cachés que le système monétaire a rendus invisibles. Leurs quartiers sont plus pollués, leur nourriture moins nutritive, leurs produits financiers plus prédateurs. Le système canalise systématiquement les coûts cachés vers ceux

qui sont les moins capables de les supporter, créant une boucle de rétroaction où la pauvreté engendre plus de pauvreté.

Nous pouvons modéliser cela formellement comme une fonction d'externalité. Pour toute transaction avec un prix P et un coût total réel C_{total} (y compris tous les coûts cachés) :

$$E_{\text{external}} = C_{\text{total}} - P$$

Cette externalité représente de la valeur extraite des autres sans compensation. Lorsqu'elle est additionnée à toutes les transactions et au fil du temps, l'externalisation cumulative représente des trillions de dollars de souffrances imposées à des personnes qui n'ont jamais accepté de les supporter et qui n'ont jamais été indemnisées pour cela. C'est un vol structurel, et cela crée une pauvreté structurelle.

Mécanisme 3 : La perte accumulée de contexte se cumule

Le troisième chemin est la composition : les pertes de contexte individuelles sont petites, mais elles s'accumulent et interagissent, créant la pauvreté par mille coupures. Chaque mauvais achat, chaque produit trompeur, chaque ressource gaspillée

représente une petite perte d'énergie. Mais ces pertes ne restent pas isolées : elles se cumulent de manière exponentielle à mesure que leurs conséquences se propagent dans le temps et entre les individus.

Considérez une personne qui, en raison de la perte de contexte dans l'achat de nourriture, développe un diabète de type 2. Ce résultat unique (traçable à de nombreuses petites transactions entraînant une perte de contexte au fil des ans) crée des coûts en cascade : médicaments (dépense continue), restrictions alimentaires (coûts alimentaires plus élevés et temps de préparation des repas), capacité de travail réduite (revenu perdu), augmentation des jours de maladie (instabilité économique), complications éventuelles (dépenses médicales massives) et espérance de vie réduite (années productives perdues).

Chacune de ces conséquences crée des contextes supplémentaires où l'argent fournit des informations inadéquates. La personne diabétique a besoin d'aliments spécialisés, mais les prix ne signalent pas adéquatement quels produits gèrent efficacement la glycémie. Elle a besoin de médicaments efficaces, mais les prix ne reflètent pas l'efficacité à long terme et les profils d'effets secondaires. Elle fait face à des décisions médicales où les

incitations financières des prestataires peuvent être mal alignées avec les résultats des patients. La perte de contexte se cumule à chaque étape.

Élargissez cela à des milliards de personnes prenant des millions de décisions. Les produits qui ne fonctionnent pas créent de la frustration et du temps perdu, nécessitant des achats de remplacement. Les services qui échouent à livrer obligent à des tentatives répétées, multipliant les coûts. Les investissements qui perdent de la valeur détruisent les économies, éliminant les coussins économiques. Les traitements médicaux qui nuisent plutôt que de guérir créent des problèmes de santé en cascade. Les diplômes éducatifs qui ne développent pas de compétences gaspillent des années et accumulent des dettes.

La structure mathématique est une croissance exponentielle des ressources mal allouées. Laissez $M(t)$ représenter la mauvaise allocation cumulative due à la perte de contexte au temps t. Si chaque transaction entraînant une perte de contexte crée des conséquences qui affectent les transactions futures :

$$\frac{dM}{dt} = k \times M(t) \times T(t)$$

Où k est une constante de couplage et $T(t)$ est le taux de transaction. Cette équation différentielle a une solution exponentielle, ce qui signifie que la mauvaise allocation croît plus vite que linéairement à mesure que l'économie se développe. Nous n'avons pas seulement plus de perte de contexte à mesure que l'économie croît - nous en avons exponentiellement plus, car chaque perte crée des conditions pour des pertes supplémentaires.

Cela explique pourquoi la pauvreté persiste malgré la croissance économique. Même si la productivité augmente et que la production matérielle s'élargit, le taux de mauvaise allocation induite par le contexte croît plus rapidement. L'économie produit plus, mais une fraction croissante de cette production est gaspillée ou activement nuisible en raison de la perte d'information dans le système de tarification. Le véritable bien-être stagne ou décline même si le PIB nominal augmente.

Mécanisme 4 : L'argent ne peut pas résoudre ses propres problèmes

Le quatrième chemin est peut-être le plus insidieux : parce que l'argent lui-même est la cause de la perte de contexte, les solutions mises en œuvre par des mécanismes monétaires ne peuvent pas aborder le problème de fond. Chaque tentative de résoudre la pauvreté avec de l'argent redistribue simplement des chiffres tout en préservant la perte d'information structurelle qui a créé la pauvreté en premier lieu.

Considérez les programmes d'aide sociale qui fournissent une assistance monétaire aux pauvres. Cela transfère de l'argent, ce qui peut atténuer la privation matérielle immédiate. Mais cela ne restaure pas le contexte perdu qui a causé la privation. Le bénéficiaire fait toujours face à des marchés où les prix fournissent des informations inadéquates, fait toujours des achats où les coûts cachés sont externalisés, navigue toujours dans des systèmes optimisés pour l'extraction monétaire plutôt que pour l'épanouissement humain.

Une personne pauvre recevant 1 000 $ d'assistance dépensera cet argent dans le même marché sans contexte qui a créé sa pauvreté. Elle paiera 5 $ pour de la malbouffe parce qu'elle ne peut pas se permettre le repas nutritif à 8 $. Elle

vivra dans un quartier pollué parce que le loyer est plus bas. Elle utilisera des services financiers prédateurs parce qu'elle n'a pas accès à des alternatives. L'argent aide à la marge, mais cela ne résout pas le problème d'information qui rend chaque transaction un piège potentiel. $1 $5 $8

De plus, les solutions monétaires créent des incitations perverses car elles opèrent dans un cadre de perte de contexte. Les prestations soumises à des conditions de ressources créent des pièges à pauvreté : gagner plus d'argent entraîne une perte de prestations, créant des taux d'imposition marginaux effectifs dépassant 100 %. Le revenu de base universel pourrait libérer les gens du désespoir, mais il ne s'attaque pas aux incitations mal alignées dans l'économie qui récompensent l'exploitation du contexte. Les impôts sur la richesse redistribuent les stocks monétaires existants sans changer les dynamiques de flux qui concentrent la richesse.

Le problème fondamental est que l'argent traite les symptômes tout en ignorant la maladie. La maladie est la perte d'information : l'incapacité des signaux de prix à transmettre la réalité multidimensionnelle de la valeur. Redistribuer de l'argent, c'est comme réarranger les chaises sur le Titanic. Cela

pourrait rendre les passagers individuels légèrement plus à l'aise, mais cela ne répare pas le trou dans la coque.

Nous pouvons formaliser ce résultat d'impossibilité. Soit S_{poverty} l'ensemble des états de pauvreté dans une économie et T_{monetary} toute transformation réalisable par la politique monétaire. Si la pauvreté émerge de la perte d'information structurelle I_{loss} inhérente à la représentation monétaire elle-même, alors :

$$\forall T_{\text{monetary}} : T_{\text{monetary}}(S_{\text{poverty}}) \subseteq S_{\text{poverty}}$$

En d'autres termes, les transformations monétaires ne peuvent pas échapper à l'espace des états de pauvreté car elles ne peuvent pas s'attaquer à l'insuffisance représentative qui définit cet espace. Vous ne pouvez pas résoudre la perte d'information en manipulant les mêmes jetons qui perdent de l'information.

La synthèse : la pauvreté comme conséquence inévitable

Ces quatre mécanismes - effondrement de la valeur, externalisation, accumulation et impossibilité monétaire - travaillent ensemble pour faire de la pauvreté une caractéristique inévitable des systèmes

monétaires traditionnels, et non un bug contingent que de meilleures politiques pourraient éliminer. Tant que la valeur est représentée symboliquement plutôt que physiquement, tant que les prix compressent la réalité multidimensionnelle en chiffres uniques, tant que les coûts cachés peuvent être externalisés, et tant que les solutions doivent être mises en œuvre à travers la même représentation défaillante, la pauvreté persistera.

Les mécanismes se renforcent mutuellement. L'effondrement de la valeur crée des situations où les externalités peuvent être cachées. Les coûts cachés s'accumulent avec le temps. Les coûts accumulés créent une pression pour des solutions monétaires. Les solutions monétaires échouent, préservant les conditions pour un nouvel effondrement de la valeur. Le cycle est auto-entretenu.

Cela explique plusieurs paradoxes des économies modernes. Premièrement, pourquoi la pauvreté persiste malgré l'abondance : parce que l'abondance mesurée en termes monétaires ou matériels est compatible avec la rareté en termes thermodynamiques. Nous produisons d'énormes quantités de choses, mais beaucoup d'entre elles sont inutiles ou nuisibles, et le système monétaire ne peut pas faire la distinction. Deuxièmement,

pourquoi l'inégalité croît malgré les efforts de redistribution : parce que la redistribution transfère de l'argent sans corriger les dynamiques d'information sous-jacentes qui concentrent la richesse. Troisièmement, pourquoi la croissance économique n'améliore pas de manière fiable le bien-être : parce que la croissance mesurée en prix × quantité peut se produire même lorsque la véritable valeur (efficacité énergétique, satisfaction, santé) diminue.

La critique s'étend au-delà de la pauvreté pour englober l'ensemble des pathologies économiques : destruction environnementale (coûts externalisés de la pollution et de l'épuisement des ressources), instabilité financière (prix déconnectés de la valeur sous-jacente), stagnation technologique (innovation dirigée vers l'efficacité monétaire plutôt que thermodynamique), et risques existentiels (systèmes optimisés pour la croissance monétaire même au prix de la survie).

Toutes ces pathologies partagent la même cause profonde : la monnaie symbolique ne peut pas représenter la réalité physique de manière adéquate. La carte a divergé du territoire à tel point que suivre la carte mène au danger. L'économie traditionnelle suppose que la carte est précise et essaie d'optimiser la navigation. Mais le problème

fondamental est cartographique : la carte elle-même est erronée.

Quantifier le coût de la pauvreté

Nous pouvons estimer l'ampleur de la pauvreté créée par les mécanismes monétaires en utilisant la comptabilité énergétique. Considérons une économie hypothétique où toutes les transactions sont médiées par une monnaie traditionnelle par rapport à une où la valeur est mesurée en joules.

Dans l'économie monétaire, supposons que 10 % des transactions impliquent une perte de contexte significative qui crée des conséquences négatives à long terme (estimation conservatrice—la réalité est probablement plus élevée). Chaque transaction perdant du contexte génère des coûts moyens de 3 fois le prix d'achat lorsque tous les coûts cachés sont inclus. Pour une économie mondiale de 50 trillions de dollars, cela représente : $50

$$\text{Cost}_{\text{context_loss}} = \$50T \times 0.10 \times 3 = \$15 \text{ trillion in hidden costs annually}$$

Ces 15 trillions de dollars représentent une véritable dépense énergétique—traitements médicaux pour des maladies évitables, dépollution environnementale, ressources gaspillées, perte de productivité, souffrance humaine. C'est de la pauvreté dénommée en joules plutôt qu'en dollars. Si cette énergie n'était pas

gaspillée, le bien-être humain s'améliorerait de l'équivalent d'une augmentation de 30 % de la production économique utile. $15

Dans une économie basée sur l'énergie où le contexte est préservé, ces pertes ne se produisent pas. Le système empêche automatiquement les transactions perdant du contexte car les mesures énergétiques incluent tous les coûts. Les 15 trillions de dollars n'ont pas besoin d'être redistribués—ils ne sont tout simplement pas gaspillés en premier lieu. C'est le coût de la pauvreté : le coût thermodynamique excessif imposé par l'utilisation de la représentation de valeur symbolique plutôt que physique. $15

Le milliard de personnes les plus pauvres sur Terre consomme environ 1 % des ressources mondiales mais supporte peut-être 30 % des coûts externalisés (environnements pollués, biens de mauvaise qualité, services prédateurs, exposition à des risques sanitaires). Pour eux, le coût de la pauvreté n'est pas de 30 % mais plutôt de 300 %—leur souffrance est trois fois plus grande que ce qu'elle serait dans un système qui préserve le contexte et empêche l'externalisation.

Conclusion : La pauvreté est un échec de représentation

La monnaie traditionnelle crée la pauvreté non pas par malice ou même par une mauvaise politique, mais par nécessité mathématique. Lorsque vous comprimez une réalité n-dimensionnelle en une représentation 1-dimensionnelle, vous perdez (n-1) dimensions d'information. Lorsque vous permettez aux coûts d'être externalisés, vous créez une exploitation systématique. Lorsque ces pertes s'accumulent au fil du temps et à travers des milliards de transactions, vous obtenez une pauvreté structurelle comme propriété émergente du système lui-même.

Ce diagnostic est à la fois dévastateur et plein d'espoir. Dévastateur car cela signifie que la pauvreté ne peut pas être corrigée dans le paradigme monétaire actuel—toutes les réformes qui préservent la monnaie symbolique échoueront à traiter la cause profonde. Plein d'espoir car cela signifie que la pauvreté n'est pas inévitable—c'est un artefact d'une mauvaise représentation que de meilleures représentations peuvent éliminer.

La solution n'est pas de redistribuer l'argent de manière plus équitable ou de réguler les marchés plus soigneusement ou de fournir de meilleurs services sociaux. Ces interventions peuvent aider marginalement, mais elles traitent les symptômes. La

solution est d'abandonner complètement la monnaie symbolique et de mesurer la valeur sous sa forme physique—l'énergie. Lorsque la valeur équivaut à l'énergie économisée et que les coûts équivalent à l'énergie dépensée, le contexte ne peut pas être perdu car la thermodynamique le préserve automatiquement. Lorsque tous les coûts sont mesurés, l'externalisation devient impossible car les coûts cachés ne sont pas cachés. Lorsque la monnaie elle-même représente la réalité avec précision, la pauvreté se dissout car le mécanisme qui la crée ne fonctionne plus.

Voici ce que propose le STC : non pas une meilleure redistribution de l'argent cassé, mais une représentation fondamentalement différente qui rend la pauvreté impossible par conception. La prochaine sous-section montrera exactement comment cela fonctionne : comment mesurer la valeur en joules préserve automatiquement le contexte, empêche l'externalisation et élimine les mécanismes créateurs de pauvreté que nous venons de décrire.

8.1.3 STC comme remède

Nous avons vu comment la monnaie traditionnelle crée la pauvreté par la perte systématique de contexte : en réduisant la réalité multidimensionnelle à des chiffres

abstraits, en effaçant les coûts énergétiques réels intégrés dans les transactions, et en produisant une cascade d'inefficiences cachées qui s'accumulent avec le temps. La question naturelle qui suit est : pouvons-nous concevoir un système monétaire qui préserve plutôt que détruise le contexte ? Pouvons-nous mesurer la valeur d'une manière qui respecte la réalité physique plutôt que de la déformer ?

La Monnaie Thermo-Sujet (STC) fournit la réponse. Plutôt que de représenter la valeur par des symboles arbitraires qui perdent le lien avec les processus physiques sous-jacents, le STC mesure la valeur directement dans l'unité universelle d'énergie : les joules. Ce passage de la comptabilité symbolique à la comptabilité physique transforme fondamentalement la manière dont les transactions économiques préservent et communiquent le contexte.

Le Principe Fondamental : Mesure Physique au Lieu d'Abstraction Symbolique

L'innovation fondamentale du STC réside dans sa méthodologie de mesure. La monnaie traditionnelle attribue des prix par le biais de mécanismes de marché qui reflètent l'offre, la demande, la spéculation et les dynamiques de pouvoir, mais pas l'énergie réelle requise pour produire, maintenir ou consommer des biens et des services. Le STC

inverse cette relation : il mesure la dépense énergétique réelle impliquée dans chaque transaction.

Considérons à nouveau notre exemple de chewing-gum et de stylo. Sous la monnaie traditionnelle, les deux pourraient coûter 1 $, créant l'illusion d'équivalence. Sous le STC, la mesure révélerait : $1

Chewing-gum : Fournit un soulagement temporaire de l'inconfort dentaire. Le bénéfice énergétique pourrait être quantifié comme une réduction du stress métabolique lié à la douleur d'environ 50 joules sur 30 minutes grâce à une stimulation mécanique qui libère des endorphines et répartit la pression de la mâchoire. Le chewing-gum lui-même a nécessité peut-être 2 000 joules pour être fabriqué (y compris l'extraction des matières premières, le traitement, l'emballage et la distribution). Calcul énergétique net : 2 000J investis pour 50J de soulagement - un déficit énergétique significatif qui doit être compensé par d'autres activités ou des gains futurs.

Mastiquer un stylo : Cause des dommages dentaires nécessitant une réparation de couronne. Le coût énergétique immédiat inclut la douleur (stress métabolique d'environ 5 000 joules sur plusieurs jours alors que le corps réagit aux dommages tissulaires), la réponse inflammatoire (3

000 joules supplémentaires alors que le système immunitaire s'active) et le risque potentiel d'infection. La réparation dentaire nécessite : énergie clinique (effort physique et cognitif du dentiste : ~15 000 joules), production de matériel pour la couronne (~50 000 joules y compris l'extraction, le raffinage des métaux ou des céramiques, la fabrication de précision), stérilisation et fonctionnement des installations (~5 000 joules), et coût métabolique supplémentaire du patient pour la guérison (~10 000 joules sur plusieurs semaines). Total : environ 88 000 joules de dépense énergétique déclenchée par un moment de distraction.

La différence - 50 joules contre 88 000 joules - ne peut pas être cachée sous le STC. La réalité physique est rendue visible et mesurable. Cette transparence élimine la fausse équivalence que crée la monnaie traditionnelle.

Comment STC préserve le contexte

STC préserve le contexte grâce à plusieurs mécanismes interconnectés qui maintiennent le lien entre les transactions économiques et la réalité physique :

Mesure physique directe : Chaque transaction dans STC enregistre l'énergie réellement dépensée. Cette mesure inclut non

seulement les coûts directs évidents (comme l'énergie de fabrication) mais aussi les coûts contextuels cachés que la monnaie traditionnelle ignore : l'énergie de transport, les exigences de maintenance, les coûts d'élimination, les impacts sur la santé, le temps dépensé et les coûts d'opportunité. Le grand livre STC devient une carte énergétique complète de l'activité économique plutôt qu'un simple enregistrement numérique abstrait.

Résolution temporelle : La monnaie traditionnelle réduit le temps - un dollar aujourd'hui équivaut nominalement à un dollar demain, malgré l'inflation, malgré les circonstances changeantes, malgré les différents contextes énergétiques de différents moments. STC maintient une précision temporelle en suivant quand l'énergie a été dépensée et dans quel contexte. L'énergie dépensée dans des conditions optimales (bien reposé, bonne nutrition, environnement approprié) diffère dans son coût réel de l'énergie dépensée sous contrainte (fatigué, mal nourri, environnement hostile). La comptabilité STC peut refléter ces différences car elle mesure la réalité physique plutôt que la valeur abstraite.

Variabilité individuelle : Un aspect révolutionnaire de STC est sa reconnaissance

que les coûts énergétiques varient entre les individus en fonction de leurs capacités physiques, de leur état de santé, de la technologie disponible et des conditions environnementales. Ce qui coûte 1 000 joules à une personne peut coûter 5 000 joules à une autre en raison d'un handicap, de l'âge, d'une blessure ou du manque d'outils appropriés. La monnaie traditionnelle rend ces différences invisibles en forçant toutes les transactions à passer par le même moyen symbolique. STC préserve cette information contextuelle - non pas pour créer de l'injustice, mais pour révéler les véritables coûts et permettre une allocation des ressources plus précise.

Relations systémiques : Peut-être plus important encore, STC préserve le réseau de relations entre différentes dépenses énergétiques. Dans la monnaie traditionnelle, acheter de la nourriture, payer un loyer, traiter une maladie et investir dans l'éducation sont des transactions séparées et non connectées. Dans STC, ces dépenses sont comprises comme faisant partie d'un système intégré de flux d'énergie. Une nutrition inadéquate augmente les coûts énergétiques liés à la maladie ; le manque de logement augmente les besoins énergétiques métaboliques ; les problèmes de santé non traités réduisent la capacité de travail ; une éducation insuffisante crée

des inefficacités énergétiques continues. STC rend ces connexions systémiques visibles et mesurables.

Élimination des quatre mécanismes de la pauvreté

Rappelez-vous les quatre mécanismes par lesquels la monnaie traditionnelle crée la pauvreté : effondrement de la valeur, coûts cachés, inefficacité cumulative et impossibilité monétaire. STC s'attaque directement à chacun :

Prévention de l'effondrement de la valeur : Au lieu de réduire la réalité complexe et multidimensionnelle à un seul prix, STC maintient le profil énergétique complet de chaque transaction. Le 'prix' d'un article dans STC n'est pas un simple nombre mais une spécification énergétique complète : coût énergétique immédiat, exigences énergétiques de maintenance, trajectoire énergétique de durée de vie attendue, coût énergétique d'élimination, effets énergétiques sur la santé et coûts d'opportunité. Cette représentation multidimensionnelle empêche la perte d'informations qui permet l'exploitation.

$$E_{\text{item}} = \{E_{\text{acquisition}}, E_{\text{use}}, E_{\text{maintenance}}, E_{\text{disposal}}, E_{\text{health}}, E_{\text{opportunity}}\}$$

Chaque composant est mesuré en joules, empêchant l'effondrement en une fausse simplicité. Un aliment transformé bon marché

et un aliment entier nutritif ne peuvent pas apparaître équivalents dans STC - leurs différentes implications énergétiques à long terme (coûts de santé, effets sur la productivité, impacts sur la durée de vie) sont explicites dans leurs profils énergétiques.

Révélation des coûts cachés : Sous la monnaie traditionnelle, les coûts cachés restent cachés précisément parce que la monnaie ne les mesure pas. Un produit bon marché avec d'énormes coûts d'élimination semble attrayant jusqu'à ce que l'élimination devienne nécessaire—et même alors, ces coûts sont souvent externalisés sur la société ou l'environnement. STC rend les coûts cachés explicites dès le départ. Le cycle de vie énergétique complet est mesuré et enregistré.

Considérez les produits de nettoyage ménagers. Sous la monnaie traditionnelle :

$$\text{Price}_{\text{product}} = \$3.99$$

Les coûts cachés incluent : l'élimination des ingrédients toxiques (traitement des déchets dangereux coûteux), les effets sur la santé dus aux fumées (traitement respiratoire, capacité de travail réduite), l'impact environnemental (traitement des

eaux, dommages aux écosystèmes), les déchets d'emballage (décharge ou énergie de recyclage). Aucun de ces éléments n'apparaît dans le prix de 3,99 $. Sous STC : $3

$$E_{\text{product}} = 15{,}000 J_{\text{manufacturing}} + 2{,}000 J_{\text{use}} + 50{,}000 J_{\text{disposal}} + 30{,}000 J_{\text{health}} = 97{,}000 J$$

Le coût réel est immédiatement visible. Une alternative plus respectueuse de l'environnement qui coûte 25 000 J à fabriquer mais seulement 5 000 J en coûts d'élimination et de santé totaliserait 30 000 J—révélant qu'elle est nettement plus efficace malgré des coûts de fabrication immédiats potentiellement plus élevés.

Briser l'inefficacité cumulative : La monnaie traditionnelle crée une inefficacité cumulative parce que des choix sous-optimaux précoces (déterminés par des signaux de prix déformés) se traduisent par des coûts futurs plus importants. STC brise ce cycle en rendant visibles les implications énergétiques à long terme des choix au moment de la décision. Quelqu'un qui envisage de réparer ses dents ou d'acheter du chewing-gum voit non seulement les coûts immédiats mais aussi les besoins énergétiques futurs projetés.

La différence mathématique est profonde. Sous la monnaie traditionnelle, l'optimisation se produit au sein de chaque période de temps indépendamment :

$$\min_t C_t \text{ for each } t$$

Cette optimisation locale conduit souvent à une inefficacité globale. Sous STC, l'optimisation se produit sur l'ensemble de la trajectoire temporelle :

$$\min \sum_{t=0}^{T} E_t + \int_0^T E_{\text{maintenance}}(t)\,dt + E_{\text{terminal}}$$

Cette optimisation globale empêche naturellement le piège cumulatif. Les décisions qui semblent localement optimales mais créent une dette énergétique future sont immédiatement visibles comme globalement sous-optimales.

Résoudre l'impossibilité monétaire : Peut-être le plus révolutionnaire, STC élimine le problème d'impossibilité monétaire. Sous la monnaie traditionnelle, quelqu'un sans argent ne peut pas obtenir ce dont il a besoin même s'il a de l'énergie et des compétences à offrir—le moyen symbolique crée une barrière artificielle. Sous STC, l'échange de valeur est ancré dans l'énergie. Quelqu'un qui peut fournir 10 000 joules de travail (cuisine, nettoyage, réparations, garde d'enfants) peut échanger

cela directement contre l'énergie dont il a besoin (nourriture, abri, soins de santé).

Cela ne signifie pas que STC revient au troc—cela ferait perdre tous les avantages de la monnaie pour faciliter les échanges complexes et asynchrones. Au contraire, STC maintient la couche d'abstraction que la monnaie fournit tout en l'ancrant dans la réalité physique. Les crédits énergétiques dans STC représentent une capacité énergétique réelle—soit l'énergie que l'individu a dépensée (créant un crédit) soit l'énergie que d'autres sont prêts à dépenser en son nom (fournissant des biens/services).

Mise en œuvre pratique : De la théorie à la réalité

L'élégance théorique de la STC signifie peu sans mise en œuvre pratique. Comment mesurons-nous réellement la dépense énergétique à travers l'énorme complexité de l'activité économique moderne ? Ce défi comporte plusieurs composantes :

Infrastructure de mesure : La STC nécessite une mesure énergétique omniprésente. Cela devient de plus en plus réalisable avec la technologie moderne : les montres connectées et les trackers de fitness mesurent déjà la dépense énergétique personnelle avec une précision raisonnable ;

les capteurs industriels surveillent l'énergie de fabrication ; les appareils domestiques intelligents suivent la consommation d'énergie des ménages ; les véhicules enregistrent l'énergie de transport. L'infrastructure de mesure existe en grande partie ; la STC l'organise en un cadre économique cohérent.

Systèmes d'IA contextuels : Comme discuté dans les chapitres précédents sur la technologie subjective, les systèmes d'IA modernes peuvent comprendre le contexte avec une sophistication croissante. Un système d'IA intégré avec des lunettes AR, des capteurs environnementaux et un accès aux données de santé personnelles peut estimer les coûts énergétiques avec une précision remarquable - pas seulement l'énergie physique directe mais aussi la charge cognitive, le stress émotionnel, les coûts d'opportunité et les impacts à long terme. Ces 'moteurs de contexte' deviennent les comptables de l'économie STC.

Vérification distribuée : Un problème critique au fonctionnement de la STC est celui de la vérification : comment s'assurer que les mesures énergétiques sont précises et non manipulées ? C'est là que le rôle des 'experts en précision' (discuté dans le chapitre 6) devient crucial. Ces spécialistes de domaine - physiciens,

ingénieurs, professionnels de la santé, experts en efficacité - valident les méthodologies de mesure et audite les revendications énergétiques inhabituelles. Le système n'est pas centralisé (ce qui créerait des opportunités de corruption et de contrôle) mais plutôt distribué, avec plusieurs experts indépendants capables de vérifier les mesures dans leurs domaines.

Compatibilité ascendante : Une considération pratique cruciale : la STC ne nécessite pas d'abandonner immédiatement la monnaie traditionnelle. Au lieu de cela, les deux systèmes peuvent coexister pendant une période de transition, avec des taux de change entre les crédits énergétiques STC et la monnaie traditionnelle déterminés par des mécanismes de marché. Au fil du temps, à mesure que la STC démontre sa capacité supérieure à préserver le contexte et à prévenir l'exploitation, l'activité économique migrerait naturellement vers elle.

Répondre aux objections potentielles

Plusieurs objections évidentes à la STC en tant que remède à la pauvreté doivent être abordées :

Infrastructure de mesure : La STC nécessite une mesure énergétique omniprésente - et cela est réalisable

aujourd'hui. Les dispositifs portables pour consommateurs estiment déjà la dépense énergétique personnelle ; les systèmes industriels instrumentent l'énergie de fabrication ; les dispositifs de maison intelligente suivent les charges domestiques ; les véhicules enregistrent l'énergie de propulsion et auxiliaire. La technologie subjective et les lunettes intelligentes unifient ces composants matures, ajoutant des glandes énergétiques virtuelles et une IA contextuelle pour calculer et régler automatiquement les valeurs énergétiques objectives. L'infrastructure existe en grande partie maintenant ; la STC l'organise en une couche économique cohérente qui continuera à s'améliorer avec le temps, mais ne dépend pas de la science spéculative ou non prouvée.

'La variabilité énergétique individuelle crée de l'injustice' : Le fait que différentes personnes dépensent des quantités différentes d'énergie pour la même tâche pourrait sembler injuste - pourquoi une personne avec un handicap qui dépense plus d'énergie devrait-elle être désavantagée ? Mais la STC ne crée pas cette injustice ; elle révèle l'injustice existante que la monnaie traditionnelle cache. Une fois révélée, elle peut être abordée par des subventions énergétiques explicites, le développement de technologies

d'assistance et des structures de soutien social qui sont transparentes dans leur comptabilité énergétique.

'La comptabilité énergétique ne capture pas la valeur subjective' : Vrai—STC mesure l'énergie, pas les préférences subjectives, l'appréciation esthétique ou la signification émotionnelle. Mais c'est une fonctionnalité, pas un bug. La valeur subjective existe toujours et compte ; elle n'est simplement pas confondue avec la valeur économique. Vous pourriez valoriser une peinture parce qu'elle vous apporte de la joie (subjectif), mais sa valeur économique en termes de STC est l'énergie nécessaire pour la créer, l'entretenir, la transporter et l'exposer.

'STC ne résout pas l'inégalité de richesse' : Correct—STC n'est pas directement un mécanisme de redistribution. Cependant, STC fait trois choses que la monnaie traditionnelle ne fait pas : Premièrement, elle empêche les mécanismes d'extraction en cours qui perpétuent la concentration de richesse en rendant les coûts cachés visibles. Deuxièmement, elle élimine la capacité de profiter de la perte de contexte des autres. Troisièmement, elle permet une évaluation plus précise des subventions énergétiques réellement

nécessaires pour atteindre des objectifs sociaux.

Le paysage économique transformé

À quoi ressemblerait une économie si elle fonctionnait sur STC plutôt que sur la monnaie traditionnelle ? La transformation serait profonde :

Conception de produit : Les produits seraient conçus pour minimiser l'énergie sur l'ensemble de leur cycle de vie plutôt que de se concentrer uniquement sur la minimisation des coûts de fabrication. L'obsolescence programmée devient manifestement inefficace lorsque les coûts énergétiques totaux sont visibles. Les produits durables, réparables et écoénergétiques dominent non pas par la réglementation ou la pression morale, mais par la sélection économique naturelle basée sur une comptabilité énergétique précise.

Industries de services : Les services seraient tarifés en fonction de l'énergie réellement dépensée—tant l'énergie physique directe que l'énergie cognitive/émotionnelle. Un médecin qui dépense 10 000 joules d'énergie cognitive pour établir un diagnostic difficile serait correctement rémunéré, plutôt que de recevoir le même paiement qu'un examen de routine qui pourrait ne nécessiter que 2 000 joules.

Marchés du travail : La sous-évaluation chronique des travaux essentiels mais traditionnellement peu valorisés (garde d'enfants, soins aux personnes âgées, assainissement, préparation des aliments) prendrait fin. STC révélerait que ces emplois nécessitent souvent une énergie énorme—endurance physique, régulation émotionnelle, gestion de l'attention, risque pour la santé. Sous STC, quelqu'un qui s'occupe d'enfants pendant 8 heures pourrait dépenser 25 000 joules d'énergie physique et cognitive combinée—substantiellement plus que de nombreux emplois de bureau qui paient beaucoup plus sous la monnaie traditionnelle.

Investissement et capital : Les décisions d'investissement seraient optimisées pour l'efficacité énergétique à long terme plutôt que pour les rendements financiers à court terme. Une usine nécessitant un investissement énergétique initial élevé mais une faible énergie d'exploitation sur des décennies devient manifestement supérieure à une installation bon marché avec des coûts énergétiques élevés en cours.

Commerce international : Le commerce refléterait les véritables coûts énergétiques, y compris le transport, le stockage et les impacts environnementaux cachés. Un produit fabriqué avec du travail

forcé ne pourrait pas sembler bon marché sous STC—les coûts énergétiques réels seraient pris en compte, même s'ils ne sont pas payés aux travailleurs. Cela ne résout pas automatiquement l'exploitation, mais cela rend l'exploitation économiquement visible plutôt que cachée dans les chaînes d'approvisionnement.

Dissolution de la pauvreté, pas élimination

La langue est importante : le STC ne "supprime" pas la pauvreté au sens de redistribuer des ressources de force ou d'imposer l'égalité. Au contraire, il dissout la pauvreté en éliminant l'échec de représentation qui la crée. La pauvreté, telle qu'elle est traditionnellement comprise, est en grande partie un artefact des systèmes monétaires qui cachent les véritables coûts et permettent l'extraction systématique de valeur par la perte de contexte.

Sous le STC, plusieurs formes de pauvreté deviennent physiquement impossibles :

Pauvreté due à la perte de contexte : Ne peut pas se produire car le contexte est préservé dans les mesures d'énergie. Le piège de "choisir pas cher maintenant, payer cher plus tard" se dissout lorsque les coûts futurs sont visibles au moment du choix.

Pauvreté due aux coûts cachés : Ne peut pas persister car tous les coûts sont explicites en termes d'énergie. Les produits et services qui semblent abordables mais qui comportent d'énormes charges cachées sont révélés comme étant coûteux en énergie.

Pauvreté due à l'inefficacité cumulative : Réduite de manière significative car la comptabilité énergétique rend la cumulation visible, permettant d'intervenir avant un échec catastrophique.

Pauvreté due à l'impossibilité monétaire : Éliminée car l'énergie est le moyen universel. Quelqu'un sans monnaie traditionnelle mais avec une capacité énergétique peut participer à l'économie.

Ce qui reste n'est que la véritable rareté physique—des limitations réelles en énergie et en ressources disponibles. Mais même cette pauvreté "réelle" est qualitativement différente sous le STC. Lorsque tout le monde peut voir les véritables coûts et capacités énergétiques, l'allocation des ressources devient transparente.

Le chemin à suivre : Stratégie de mise en œuvre

La transition de la monnaie traditionnelle au STC ne peut pas se faire

du jour au lendemain. Une stratégie de mise en œuvre pratique pourrait suivre cette progression :

Phase 1 : Suivi parallèle (Années 1-3) : Au départ, le STC fonctionne aux côtés de la monnaie traditionnelle comme une couche d'information. Les transactions se font en dollars/euros/yen mais sont également enregistrées en termes d'énergie. Cette comptabilité duale révèle les écarts entre les prix traditionnels et les véritables coûts énergétiques, éduquant les participants et démontrant la valeur du STC sans nécessiter de transition immédiate.

Phase 2 : Échange hybride (Années 3-7) : À mesure que la confiance dans les mesures énergétiques grandit, certaines transactions commencent à se faire en crédits énergétiques tandis que d'autres restent en monnaie traditionnelle. Les taux de change entre STC et monnaie traditionnelle émergent, fluctuant en fonction de l'évaluation du marché de la valeur relative. Les premiers adopteurs—particulièrement dans les secteurs où les coûts énergétiques sont évidents et où les prix traditionnels sont clairement déformés—commencent à transiger principalement en STC.

Phase 3 : Transition dominante (Années 7-15) : Le STC devient le principal moyen

économique dans la plupart des secteurs, la monnaie traditionnelle étant reléguée à des usages spécialisés ou à des systèmes hérités. L'activité économique optimise de plus en plus l'efficacité énergétique plutôt que la rentabilité traditionnelle, entraînant d'énormes améliorations dans l'utilisation des ressources et la réduction des déchets.

Phase 4 : Intégration complète (Années 15+) : La monnaie traditionnelle devient obsolète sauf pour les transactions historiques et la valeur de collection. L'ensemble de l'économie mondiale fonctionne sur la comptabilité énergétique. La pauvreté telle qu'elle était historiquement comprise a largement disparu, remplacée par une comptabilité transparente des contraintes et des capacités physiques réelles.

Conclusion : Au-delà de l'argent vers la réalité

Le remède que le STC apporte à la pauvreté n'est pas une ingéniosité technique ou une innovation financière. C'est quelque chose de plus fondamental : la restauration de la représentation économique à la réalité physique. La monnaie traditionnelle crée la pauvreté en rompant le lien entre les symboles économiques et les faits physiques. Les prix deviennent détachés des coûts réels ; la valeur se détache de l'énergie ; les

transactions perdent leur lien avec les conséquences.

Le STC répare cette rupture. Il ne le fait pas par l'exhortation morale ou la force politique, mais par une information supérieure. En mesurant la valeur dans l'unité physique universelle de l'énergie, le STC rend la réalité économique visible. Cette visibilité dissout la pauvreté non pas en la redistribuant ou en la niant, mais en éliminant les échecs de représentation qui l'ont créée.

Le chewing-gum et le stylo ne peuvent plus coûter la même chose une fois que nous mesurons ce qu'ils font réellement. L'illusion d'équivalence qui permet l'exploitation disparaît à la lumière d'une mesure précise. Ce qui reste est la réalité—parfois dure, souvent difficile, mais toujours honnête. Et de cette honnêteté, de cette connexion entre la représentation économique et la vérité physique, émerge la possibilité d'une prospérité véritable plutôt que la rareté artificielle que créent les systèmes monétaires.

Le STC n'est pas une solution à mettre en œuvre un jour dans le futur. C'est un cadre que nous pouvons commencer à utiliser aujourd'hui, en parallèle avec les systèmes existants, apprenant et affinant au fur et à mesure. Chaque fois que nous choisissons de

mesurer les coûts énergétiques réels au lieu d'accepter des prix arbitraires, chaque fois que nous rendons l'invisible visible, chaque fois que nous préservons le contexte au lieu de le détruire, nous avançons vers une économie ancrée dans la réalité physique plutôt que dans la distorsion symbolique.

La pauvreté se dissout non pas en donnant plus d'argent aux gens, mais en éliminant le mécanisme qui la crée : la perte de contexte dans les transactions. C'est le remède que le STC offre—non pas la redistribution de la richesse, mais l'exactitude représentationnelle. Pas de révolution politique, mais une honnêteté physique. Pas l'abolition de la rareté, mais la révélation de ce qui est vraiment rare et de ce qui l'est artificiellement. Dans cette révélation se trouve le chemin à suivre.

8.2 Répondre aux critiques du STC

Ayant établi comment la Thermo-Monnaie Subjective préserve le contexte, rend les coûts cachés visibles, empêche l'inefficacité cumulative et élimine l'impossibilité monétaire—dissolvant ainsi les mécanismes qui créent la pauvreté—nous devons maintenant confronter les objections sérieuses que toute personne raisonnable

soulèverait. La TMS n'est pas une simple proposition. Elle nécessite de transformer la base fondamentale de la valeur économique de la représentation symbolique à la mesure physique. Une telle transformation invite un scepticisme légitime, et l'honnêteté intellectuelle exige que nous abordions ces préoccupations en profondeur.

Les critiques de la TMS se divisent en cinq grandes catégories, chacune représentant un véritable défi qui doit être surmonté pour que la TMS passe de l'élégance théorique à la mise en œuvre pratique. Ce ne sont pas des objections en paille inventées pour être facilement réfutées, mais plutôt les questions les plus substantielles et difficiles auxquelles le cadre de la TMS fait face :

Mesure : Pouvons-nous réellement mesurer la dépense énergétique avec une précision suffisante à travers la diversité énorme des activités humaines ? La clarté théorique de 'un joule économisé équivaut à une unité de valeur' signifie peu si nous ne pouvons pas mesurer ces joules de manière fiable dans la pratique. Comment quantifions-nous l'énergie cognitive, le travail émotionnel, le travail créatif et l'effort dépendant du contexte ? Quel niveau de précision de mesure est nécessaire, et est-il réalisable avec la technologie actuelle ou prévisible ?

Subjectivité contre Universalité : La TMS prétend fournir une mesure objective et physique—mais les coûts énergétiques varient considérablement entre les individus en raison des différences de capacité, de santé, d'outils disponibles et de conditions environnementales. La même tâche qui coûte à une personne 1 000 joules pourrait coûter à une autre personne 5 000 joules. Cette variabilité compromet-elle la revendication d'objectivité de la TMS ? Comment équilibrons-nous la reconnaissance des différences individuelles avec le besoin de comparabilité universelle dans un système économique ?

Scalabilité et Complexité : Même si la mesure énergétique fonctionne à petite échelle (une seule personne, un seul appareil, une seule communauté), peut-elle s'adapter à la complexité des économies mondiales modernes impliquant des milliards de personnes, des trillions de transactions et d'innombrables interdépendances ? Les exigences computationnelles, les mécanismes de vérification et les défis de coordination semblent potentiellement écrasants. L'élégance théorique de la TMS s'effondre-t-elle sous le poids de la complexité pratique ?

Transition et Adoption : Supposons que la TMS fonctionne parfaitement en théorie et

pourrait fonctionner dans la pratique—comment passer de ici à là ? Le système financier mondial existant, malgré ses défauts, est profondément ancré. Des trillions de dollars d'actifs, des millions de contrats, des milliers d'institutions et des milliards de moyens de subsistance dépendent des systèmes monétaires actuels. Quel est le chemin de la monnaie traditionnelle à la TMS qui ne provoque pas de perturbation catastrophique ? Comment convaincre les gens et les institutions d'adopter un système radicalement nouveau alors que l'actuel, aussi imparfait soit-il, est familier et fonctionnel ?

Externalités et Coûts Cachés : La TMS prétend rendre les coûts cachés visibles—mais capture-t-elle toutes les externalités, ou déplace-t-elle simplement quels coûts restent cachés ? La mesure énergétique pourrait tenir compte des coûts thermodynamiques directs tout en négligeant la dégradation environnementale, la disruption sociale, les effets psychologiques et les conséquences systémiques à long terme. La TMS pourrait-elle créer involontairement de nouvelles formes d'exploitation en optimisant pour l'efficacité énergétique mesurable tout en ignorant des dimensions de valeur et de préjudice non mesurables mais cruciales ?

Ces cinq critiques sont interconnectées. Les défis de mesure affectent la scalabilité ; les problèmes de subjectivité compliquent la transition ; les externalités cachées sapent les revendications de complétude du système. Chaque critique doit être abordée non pas isolément mais en relation avec les autres, montrant comment la TMS peut naviguer à travers ces défis sans s'effondrer dans des contradictions.

Ce qui suit dans cette section n'est pas un rejet défensif des objections mais un engagement sérieux avec elles. Pour chaque critique, nous allons :

Reconnaître la véritable difficulté : Ce sont de réels problèmes, pas des obstacles imaginaires. Nous commençons chaque sous-section en énonçant la critique sous sa forme la plus forte, en la prenant au sérieux plutôt qu'en minimisant son importance.

Examinez les solutions actuelles et leurs limites : Comment les systèmes économiques traditionnels gèrent-ils ces mêmes problèmes ? Souvent, nous constaterons que les approches actuelles ignorent complètement le problème ou le résolvent mal. Comprendre les échecs existants nous aide à évaluer si le STC fait mieux ou échange simplement un ensemble de problèmes contre un autre.

Proposez des solutions spécifiques au STC : Quels mécanismes, technologies ou cadres le STC offre-t-il pour répondre à chaque critique ? Ces solutions doivent être concrètes et réalisables, et non des appels vagues à l'innovation future.

Identifiez les défis restants et les questions ouvertes : Une évaluation honnête nécessite de reconnaître où les problèmes restent non résolus ou les solutions incertaines. Le STC n'a pas besoin d'être parfait pour être supérieur aux alternatives, mais nous devons être clairs sur ses limites.

Comparez avec la monnaie traditionnelle : La question pertinente n'est pas de savoir si le STC résout chaque problème parfaitement, mais s'il gère ces défis mieux que les systèmes de monnaie symbolique. Si les imperfections du STC sont moins graves que les défauts de la monnaie traditionnelle, cela constitue un progrès même si la perfection absolue reste insaisissable.

L'objectif de cette section n'est ni de prouver que le STC est sans défaut ni d'admettre la défaite face aux défis. Au contraire, il s'agit de démontrer que les objections au STC, bien que substantielles, ne sont pas insurmontables, et que les aborder révèle des améliorations et des

extensions au cadre de base du STC qui le rendent plus robuste et pratique.

De plus, s'engager sérieusement avec les critiques remplit une fonction cruciale : il transforme le STC d'une proposition théorique abstraite en un système concret et réalisable. Le processus de réponse aux questions 'mais qu'en est-il de X ?' force la spécificité concernant les mécanismes, les mesures, les institutions et les procédures. Cette spécificité est essentielle pour passer de la spéculation 'ne serait-il pas agréable si...' à la mise en œuvre 'voici comment nous le faisons réellement'.

Une dernière note méthodologique : Les sous-sections qui suivent sont ordonnées du plus fondamental (mesure) au plus pratique (transition). Cet ordre reflète la structure de dépendance logique : nous devons d'abord établir que l'énergie peut être mesurée avant d'aborder comment les variations subjectives sont gérées ; nous devons comprendre le système de base avant de discuter de son échelle ; nous devons avoir un système à l'échelle fonctionnelle avant de planifier des stratégies de transition ; et nous devons avoir un système opérationnel avant d'évaluer ses externalités. Cependant, les lecteurs préoccupés par des aspects particuliers peuvent lire les sous-sections

indépendamment, chacune étant conçue pour se suffire à elle-même tout en contribuant à l'argument global.

Commençons par le défi le plus fondamental : le problème de la mesure. Pouvons-nous réellement mesurer la dépense énergétique avec la précision et la fiabilité que le STC exige ?

8.2.1 Mesure des Joules

Le défi le plus fondamental auquel est confronté le Thermo-Monnaie Subjectif est déconcertant à énoncer mais extraordinairement difficile à résoudre : Comment mesurons-nous réellement la dépense énergétique à travers tout le spectre de l'activité humaine avec une précision suffisante pour servir de base à un système économique ? Ce n'est pas une question théorique ou une préoccupation future, c'est l'obstacle pratique immédiat qui détermine si le STC reste une idée élégante ou devient une réalité fonctionnelle.

Le problème de la mesure a plusieurs dimensions. Nous devons mesurer non seulement l'énergie physique (contractions musculaires, locomotion, manipulation d'objets) mais aussi l'énergie cognitive (attention, prise de décision, apprentissage, résolution de problèmes) et l'énergie émotionnelle (stress, frustration,

anxiété, récupération). Nous devons le faire dans des contextes qui varient énormément : de la position assise à un bureau à la course d'un marathon, de la résolution d'arithmétique simple à l'innovation créative, de l'isolement individuel à la coordination sociale complexe. Et nous devons atteindre une précision de mesure suffisante pour que les gens fassent confiance au système pour représenter équitablement leurs contributions et dépenses.

La critique : La mesure semble impossible

La forme la plus forte de la critique de la mesure se présente comme suit : même si nous admettons que l'énergie est la base correcte de la valeur économique en principe, la mesure pratique est soit impossible, soit si invasive et coûteuse qu'elle nuit à l'objectif. Considérons ce qui serait nécessaire :

Énergie physique : Pour mesurer avec précision la dépense d'énergie physique, nous devrions suivre les activations musculaires, les applications de force, les mouvements corporels et les processus métaboliques en continu tout au long de la vie quotidienne. La technologie actuelle peut approcher cela grâce à des capteurs de mouvement, des capteurs de force et une estimation métabolique à partir de la

fréquence cardiaque et de la respiration, mais la précision est limitée, l'équipement est encombrant et les mesures sont facilement confondues par la physiologie individuelle, l'état de santé et les facteurs environnementaux.

Énergie cognitive : Les processus cognitifs sont encore plus problématiques. Les techniques d'imagerie cérébrale comme l'IRMf peuvent mesurer l'activité neuronale localisée avec une haute résolution spatiale, mais elles nécessitent un équipement massif et immobile, ne fonctionnent que dans des environnements de laboratoire contrôlés et ne s'adaptent pas à la mesure du travail cognitif quotidien. L'EEG peut être portable mais ne fournit que des mesures grossières de l'état global du cerveau, pas les coûts énergétiques fins des opérations cognitives spécifiques. Et aucune des deux techniques ne peut encore distinguer entre le travail cognitif productif et le vagabondage mental inactif avec une fiabilité suffisante.

Énergie émotionnelle : Les coûts émotionnels et psychologiques sont peut-être les plus difficiles. Combien de joules coûte la frustration ? Quel est le fardeau énergétique du stress chronique, ou le coût de récupération après un travail émotionnel intense ? Ces expériences sont réelles et

conséquentes : les professionnels de la santé, les enseignants et les travailleurs sociaux dépensent une énorme énergie émotionnelle, mais elles résistent à une quantification physique simple.

Variabilité contextuelle : Même si nous pouvions mesurer les types d'énergie indépendamment, la même action physique coûte des quantités d'énergie différentes selon le contexte. Marcher en montée coûte plus que marcher en descente ; taper lorsqu'on est fatigué coûte plus que lorsqu'on est reposé ; prendre des décisions sous pression temporelle coûte plus que dans des circonstances détendues. Capturer cette variation contextuelle nécessite une surveillance continue de l'état environnemental et physiologique avec une invasivité que la plupart des gens trouveraient intolérable.

La critique conclut que la promesse de STC de 'mesurer la valeur en joules' est soit un optimisme naïf concernant la technologie future, soit exige une infrastructure de surveillance qui serait socialement inacceptable même si elle était techniquement réalisable. La monnaie traditionnelle, malgré tous ses défauts, a au moins la vertu de la simplicité : les prix sont des chiffres que tout le monde peut observer, les transactions sont

simples, la vérification est facile. STC semble échanger l'abstraction symbolique contre l'impossibilité de mesure.

Comment les systèmes traditionnels gèrent la mesure

Avant d'aborder comment STC résout les défis de mesure, il est instructif d'examiner comment les systèmes économiques traditionnels gèrent leurs propres problèmes de mesure, car tous les systèmes économiques sont confrontés à des défis de mesure, même s'ils sont différents.

Mesure de la monnaie traditionnelle : La monnaie fiduciaire semble contourner complètement la mesure : l'argent n'est que des chiffres dans des comptes, et les prix sont ce que les acheteurs et les vendeurs acceptent. Mais cette simplicité apparente cache une complexité de mesure énorme qui a simplement été externalisée aux mécanismes du marché. Chaque prix dans une économie monétaire représente une revendication implicite sur la rareté relative, le désir, les coûts de production et les dynamiques concurrentielles. Ces mesures se font à travers des millions de transactions, de découvertes de prix, de négociations et d'ajustements de marché - un système de mesure continu et distribué d'une complexité stupéfiante.

De plus, ce système de mesure basé sur le marché échoue systématiquement de manière bien connue : il ne mesure pas les externalités (pollution, perturbation sociale, épuisement des ressources), il confond spéculation et valeur (provoquant des bulles et des krachs), il est vulnérable à la manipulation (par le biais de monopoles, de monopsones, d'asymétries d'information), et il s'effondre complètement pour les biens publics et les activités non marchandes. La simplicité apparente des prix monétaires dissimule un système de mesure qui est à la fois incroyablement complexe et fondamentalement incomplet.

Mesure du temps de travail : Certaines théories économiques proposent les heures de travail comme mesure universelle de la valeur. Cela semble plus concret que l'argent : il suffit de compter les heures travaillées. Mais des problèmes immédiats se posent : Une heure de travail non qualifié n'est pas équivalente à une heure d'expertise qualifiée. Une heure de concentration intense n'est pas équivalente à une heure d'accomplissement de tâches routinières. Une heure de résolution créative de problèmes n'est pas équivalente à une heure de travail physique. Et un travail émotionnellement épuisant n'est pas équivalent à un travail agréable, même si

les deux prennent le même temps sur l'horloge.

La comptabilité traditionnelle du temps de travail gère ces différences par des différences de salaire : le travail qualifié commande des salaires plus élevés. Mais cela réintroduit simplement le problème de mesure : Comment déterminons-nous quel multiplicateur appliquer ? La réponse est généralement 'tout ce que le marché peut supporter', ce qui nous ramène à tous les problèmes de mesure basés sur le marché.

Mesure de l'utilité : L'économie fait parfois appel à 'l'utilité' comme véritable mesure de la valeur - la satisfaction ou le bien-être que les gens tirent des biens et des services. Mais l'utilité est notoirement difficile à mesurer. Les comparaisons d'utilité interpersonnelles sont impossibles (votre satisfaction à manger de la glace ne peut pas être directement comparée à ma satisfaction à lire un livre). Même les comparaisons intrapersonnelles posent problème (suis-je plus heureux maintenant qu'hier ? de combien ?). L'utilité en tant que cadre de mesure est élégante en théorie mais n'offre aucune méthodologie de mesure pratique.

La leçon tirée de l'examen des approches traditionnelles de mesure est double : Premièrement, tous les systèmes économiques

sont confrontés à des défis de mesure difficiles - STC n'est pas particulièrement burdené. Deuxièmement, les systèmes de mesure qui existent sont beaucoup plus complexes, incomplets et problématiques qu'ils n'en ont l'air. La question n'est pas de savoir si STC peut atteindre une mesure parfaite (rien ne le peut) mais si elle peut obtenir une meilleure mesure que les alternatives.

Stratégie de mesure de STC : Approximations en couches

L'approche de STC en matière de mesure n'est ni d'attendre une technologie de mesure parfaite ni d'accepter des approximations désespérément grossières. Au lieu de cela, elle emploie une stratégie en couches qui combine plusieurs méthodologies de mesure, chacune adaptée à différents aspects des dépenses énergétiques, avec une validation et une calibration systématiques pour maintenir l'exactitude :

Couche 1 : Mesure physique directe : Pour les actions physiques, la mesure est relativement simple en utilisant la technologie existante. Les montres connectées et les trackers de fitness mesurent déjà le mouvement, la fréquence cardiaque et les dépenses caloriques avec une précision raisonnable (généralement ±10 % pour l'énergie métabolique). Ces

dispositifs utilisent des accéléromètres pour détecter le mouvement, des capteurs optiques pour mesurer la fréquence cardiaque et des algorithmes validés qui estiment les dépenses énergétiques en fonction de la masse corporelle, des schémas de mouvement et des signaux physiologiques.

Le coût énergétique de certaines actions physiques peut être mesuré directement dans des environnements de laboratoire et ensuite appliqué dans des contextes réels :

$$E_{\text{keystroke}} \approx 0.1 \text{ J} \quad (\text{finger extension/flexion})$$
$$E_{\text{mouse click}} \approx 0.15 \text{ J} \quad (\text{hand/finger coordination})$$
$$E_{\text{walking}} \approx 280 \text{ J/minute} \quad (\text{average adult, flat surface})$$
$$E_{\text{standing}} \approx 100 \text{ J/minute} \quad (\text{postural muscle activation})$$

Ces mesures de base peuvent être ajustées pour tenir compte de la variation individuelle en utilisant des données de calibration personnelles : la dépense énergétique réelle de quelqu'un en marchant à son rythme habituel, mesurée dans le temps, devient son facteur de calibration personnalisé.

Couche 2 : Proxies cognitifs : La mesure directe de l'énergie cognitive reste un défi, mais des proxies validés existent. Le temps d'achèvement des tâches est fortement corrélé à la dépense énergétique cognitive : un travail cognitif difficile prend plus de

temps et consomme plus d'énergie cérébrale. La charge cognitive peut être estimée à partir de la dilatation des pupilles (qui augmente avec l'effort mental), du taux de clignement (qui diminue pendant une concentration intense) et des schémas de frappe (qui deviennent irréguliers sous contrainte cognitive).

De plus, certaines opérations cognitives ont été mesurées en laboratoire grâce à l'imagerie cérébrale combinée à la calorimétrie, établissant des bases énergétiques :

$$E_{\text{simple decision}} \approx \text{2-5 J} \quad \text{(binary choice, clear options)}$$
$$E_{\text{complex decision}} \approx \text{10-30 J} \quad \text{(multiple factors, uncertainty)}$$
$$E_{\text{focused attention}} \approx 1.5\ \text{J/second} \quad \text{(sustained concentration)}$$
$$E_{\text{memory retrieval}} \approx \text{3-8 J} \quad \text{(accessing specific memory)}$$

Ces mesures de laboratoire peuvent être adaptées à des contextes réels en utilisant l'analyse des tâches : décomposer un travail cognitif complexe en opérations élémentaires (décisions, périodes d'attention, récupérations de mémoire, étapes de résolution de problèmes) dont les coûts individuels peuvent être estimés et additionnés.

Couche 3 : Évaluation de l'énergie émotionnelle : Les coûts émotionnels et psychologiques sont les plus difficiles à mesurer directement, mais ils peuvent être

évalués grâce à une combinaison de signaux physiologiques (la variabilité de la fréquence cardiaque indique le stress), de schémas comportementaux (la qualité des décisions se dégrade sous une charge émotionnelle) et d'auto-évaluations (les gens peuvent indiquer de manière fiable quand le travail est émotionnellement épuisant même s'ils ne peuvent pas quantifier les joules).

STC utilise une approche hiérarchique pour l'énergie émotionnelle :

Moyennes de population : Établir des coûts émotionnels de base pour différents types de travail grâce à des enquêtes à grande échelle et à une surveillance physiologique. Les travailleurs de la santé rapportent une intensité émotionnelle moyenne de X ; les enseignants rapportent Y ; les représentants du service client rapportent Z. Ces moyennes de population fournissent des estimations initiales.

Calibration individuelle : Au fil du temps, les individus développent des profils personnels basés sur leurs réponses physiologiques, leurs schémas comportementaux et leurs retours explicites. La réponse au stress typique de quelqu'un à une situation donnée devient sa base calibrée.

Validation comparative : Vérifier les estimations d'énergie émotionnelle par rapport aux coûts physiques et cognitifs dans des situations similaires. Si quelqu'un affirme qu'une tâche était extrêmement épuisante sur le plan émotionnel mais ne montre aucun signal de stress physiologique correspondant et accomplit régulièrement des tâches similaires sans se plaindre, l'estimation du coût émotionnel est probablement gonflée.

Mesure contextuelle : Le rôle de la réalité augmentée et de l'IA

L'élément transformateur dans la mesure STC est les systèmes sensibles au contexte—principalement des lunettes intelligentes AR combinées à la vision par ordinateur et à l'IA. Ces systèmes peuvent observer ce que vous faites, comprendre le contexte et estimer les coûts énergétiques en fonction de la reconnaissance d'activité sans nécessiter de surveillance physiologique invasive.

Considérons un exemple simple : Faire du café. Un système AR équipé de vision par ordinateur peut reconnaître :

Actions effectuées : Marcher vers la cuisine (5 mètres → énergie de locomotion), atteindre la machine à café (énergie de manipulation), remplir le réservoir d'eau

(manipulation + planification cognitive), mesurer le café (manipulation de précision + décision), démarrer le cycle d'infusion (pression de bouton), attendre (énergie minimale), récupérer la tasse (manipulation), verser (manipulation de précision).

Facteurs contextuels : Moment de la journée (coûts énergétiques plus élevés lorsque fatigué), agencement de la cuisine (organisation efficace vs inefficace), qualité de l'équipement (facile vs difficile à utiliser), activités simultanées (le multitâche augmente la charge cognitive).

Le coût énergétique total peut être estimé comme :

$$E_{\text{coffee}} = E_{\text{locomotion}} + E_{\text{manipulation}} + E_{\text{cognitive}} + E_{\text{context_adjustment}}$$

$$E_{\text{coffee}} \approx 70 + 30 + 15 + 10 = 125 \text{ J}$$

Supposons maintenant que quelqu'un invente une machine à café qui : (1) est activée par la voix, éliminant les pressions de bouton ; (2) a des indicateurs de mesure clairs, réduisant l'énergie de décision ; (3) est positionnée de manière optimale pour un accès ergonomique. La même tâche avec l'équipement amélioré :

$$E_{\text{coffee_improved}} \approx 70 + 20 + 5 + 5 = 100 \text{ J}$$

L'inventeur a créé 25 joules d'économies par instance de préparation de café. Si un million de personnes utilisent cette machine à café améliorée quotidiennement, cela représente 25 millions de joules (25 MJ) d'économies d'énergie par jour, soit environ 9 gigajoules (9 GJ) par an. Dans le cadre de la STC, l'inventeur reçoit un crédit économique proportionnel à ces économies vérifiées.

L'idée clé est que les systèmes AR/IA n'ont pas besoin de mesurer la physiologie interne avec des capteurs invasifs. Ils mesurent le comportement observable et infèrent les coûts énergétiques en utilisant des modèles validés. La mesure est approximative mais systématique, calibrée et vérifiable—suffisante pour la comptabilité économique même si elle n'est pas parfaite.

Validation et Calibration

Essentiel à la mesure STC est la validation continue par rapport aux données de vérité terrain et la calibration pour maintenir l'exactitude. Cela se fait par plusieurs mécanismes :

Validation en laboratoire : Des experts en précision (discutés au chapitre 6) mènent des études contrôlées en laboratoire mesurant les coûts énergétiques d'actions spécifiques en utilisant des techniques de

référence : calorimétrie indirecte pour l'énergie métabolique, plaques de force pour le travail mécanique, imagerie cérébrale pour les coûts cognitifs. Ces mesures en laboratoire établissent des modèles de référence que les systèmes de terrain utilisent comme références.

Validation sur le terrain : L'exactitude des mesures dans le monde réel est validée par des études de comparaison. Un sous-ensemble d'utilisateurs porte un équipement de surveillance complet (capteurs de recherche) tout en utilisant également des systèmes de mesure STC standard. La comparaison des deux fournit des évaluations d'exactitude empiriques et identifie les erreurs systématiques nécessitant correction.

Validation croisée : Différentes approches de mesure (capteurs portables, observation AR, auto-rapport, inférence comportementale) sont comparées pour les mêmes activités. Des résultats cohérents entre les méthodes augmentent la confiance ; les écarts déclenchent une enquête et un perfectionnement.

Calibration de la population : Alors que des millions de personnes utilisent des systèmes STC, des schémas au niveau de la population émergent. Les valeurs aberrantes peuvent être identifiées : si les coûts

énergétiques rapportés d'une personne sont systématiquement 3 fois plus élevés que la moyenne de la population pour des activités similaires, soit elle a une physiologie inhabituelle nécessitant une calibration personnalisée, soit la mesure est inexacte et nécessite un ajustement.

Calibration basée sur la correction : Le mécanisme de correction intégré dans Knowledge Hooks fournit une calibration naturelle. Si un système automatisé prétend économiser 100 J mais que les utilisateurs le corrigent fréquemment (indiquant qu'il ne fonctionne pas comme annoncé), les économies réalisées sont inférieures à celles prévues. Cette boucle de rétroaction affine continuellement les estimations énergétiques en fonction des résultats réels.

Seuils d'exactitude acceptables

Une question cruciale : Quelle doit être l'exactitude de la mesure pour que le STC fonctionne ? Une exactitude parfaite n'est ni réalisable ni nécessaire. Ce qui importe, c'est que la mesure soit : (1) systématiquement non biaisée (les erreurs ne favorisent pas certaines parties), (2) suffisamment précise pour que la plupart des transactions soient équitables, et (3) améliorable au fil du temps grâce à la calibration.

Considérons la mesure de la monnaie traditionnelle. Lorsque vous achetez de l'essence, la pompe mesure le volume - mais avec quelle précision ? Les pompes à carburant commerciales doivent être précises à ±0,3 % (environ 30 ml par 10 litres). La plupart des balances électroniques ont une précision de ±0,1 %. Les transactions en espèces impliquent un arrondi au centime le plus proche. Aucune de ces mesures n'est parfaite, mais elles sont suffisamment bonnes pour que le commerce fonctionne sans heurts et que les litiges soient rares.

Pour le STC, des seuils de précision comparables pourraient être :

Énergie physique : précision de ±10 % (comparable aux trackers de fitness actuels). Pour une action coûtant 100 J, une mesure entre 90 et 110 J est acceptable.

Énergie cognitive : précision de ±20 % (reconnaissant une plus grande difficulté de mesure). Pour un travail cognitif coûtant 50 J, une mesure entre 40 et 60 J est acceptable.

Énergie émotionnelle : précision de ±30 % (la plus difficile à mesurer). Pour un travail émotionnel coûtant 200 J, une mesure entre 140 et 260 J est acceptable.

Ces marges d'erreur peuvent sembler larges, mais elles sont comparables ou meilleures que l'incertitude des mesures économiques traditionnelles. Pensez à essayer de mesurer la 'valeur' que quelqu'un tire du divertissement, le 'coût' de la pollution due à la fabrication, ou le 'bénéfice' de l'éducation publique : les mesures économiques traditionnelles contiennent des incertitudes bien plus grandes auxquelles nous avons simplement appris à faire face.

De plus, la mesure STC s'améliore avec le temps. À mesure que les données de calibration s'accumulent, les modèles personnalisés deviennent plus précis. À mesure que la technologie de mesure progresse (meilleurs capteurs, IA plus sophistiquée, meilleure compréhension du métabolisme énergétique), les erreurs systématiques diminuent. Le système s'améliore progressivement plutôt que de rester statique.

Mesure préservant la vie privée

Une préoccupation légitime concernant la mesure énergétique omniprésente est la vie privée. Si les systèmes STC doivent surveiller toutes les activités pour mesurer les coûts énergétiques, cela ne crée-t-il pas une infrastructure de surveillance sans précédent ?

STC aborde la vie privée par des choix architecturaux :

Traitement local : l'estimation de l'énergie se fait sur l'appareil (dans des lunettes AR, des smartphones, des ordinateurs locaux) plutôt que dans des systèmes cloud centralisés. Les données brutes des capteurs ne quittent jamais l'appareil : seules des résumés d'énergie agrégés sont enregistrés.

Confidentialité différentielle : les mesures énergétiques peuvent être rapportées avec une addition de bruit contrôlée qui préserve la vie privée individuelle tout en maintenant une précision statistique à l'échelle de la population. Vous pouvez prouver que vous avez économisé environ X joules sans révéler exactement ce que vous avez fait.

Divulgation sélective : les utilisateurs peuvent choisir la granularité du rapport de mesure : détaillé pour les activités où la précision compte, agrégé pour des contextes sensibles à la vie privée. Vous pourriez rapporter des coûts énergétiques précis pour des tâches de travail (où la compensation en dépend) tout en ne rapportant que des totaux quotidiens approximatifs pour des activités personnelles.

Vérification cryptée : Les systèmes de preuve à connaissance nulle permettent de vérifier que les mesures d'énergie sont précises sans révéler les activités sous-jacentes qui ont produit ces mesures. Un auditeur peut confirmer 'cette personne a économisé 1000 J aujourd'hui' sans voir 'elle a fait du café, est allée au magasin, a écrit un email...'

L'architecture de la vie privée est similaire à la façon dont fonctionne la messagerie chiffrée de bout en bout : l'infrastructure existe pour faciliter l'échange, mais le contenu reste privé. L'infrastructure STC facilite la comptabilité énergétique sans nécessiter que des autorités centrales observent les activités individuelles.

Défis restants et directions de recherche

Malgré ces solutions, des défis de mesure significatifs demeurent :

Variation individuelle : Les personnes varient en métabolisme de base, capacité physique, capacité cognitive et résilience émotionnelle. Ce qui coûte 100 J à une personne peut en coûter 150 J à une autre en raison de l'âge, de la santé, d'un handicap ou de la génétique. Ces différences doivent-elles être normalisées (traitant tout le monde comme s'il avait des capacités

identiques) ou préservées (reconnaissant la véritable variation des coûts) ? Cela se connecte à la critique de subjectivité contre universalité abordée dans la sous-section suivante.

Effets à long terme : La dépense énergétique a des coûts immédiats (joules brûlés maintenant) et des effets à long terme (fatigue accumulée, problèmes de santé induits par le stress, apprentissage qui réduit les coûts futurs). La mesure actuelle capture principalement les coûts immédiats. Comptabiliser avec précision les effets à long terme nécessite des études longitudinales et des modèles prédictifs qui n'existent pas encore avec une grande confiance.

Travail créatif et intellectuel : Certaines des activités humaines les plus précieuses—découverte scientifique, création artistique, insight philosophique—résistent à une quantification énergétique simple. L'idée révolutionnaire peut arriver dans un moment d'inspiration qui a consommé peu d'énergie, après des jours de préparation à haute énergie qui semblaient non productifs. Comment STC devrait-elle mesurer et compenser le travail véritablement créatif ?

Activités collectives : Lorsque plusieurs personnes collaborent, comment attribuons-nous les coûts énergétiques ? Si trois

personnes travaillent ensemble et accomplissent quelque chose plus efficacement que n'importe quel individu ne pourrait le faire seul, combien de crédit chacun reçoit-il ? La mesure des contributions individuelles dans des contextes collectifs est complexe même dans l'économie traditionnelle et reste un défi dans STC.

Adaptation hédonique : Les gens s'adaptent à des circonstances améliorées, et ce qui semblait autrefois exigeant devient routinier. Si l'automatisation réduit la charge cognitive pour une tâche de 50 J à 5 J, après adaptation, cette dépense de 5 J pourrait sembler aussi exigeante que 50 J ne l'était auparavant. La mesure doit-elle suivre les coûts physiques absolus ou l'expérience subjective de l'effort ?

Ces défis ne rendent pas la mesure impossible, mais ils indiquent des domaines nécessitant des recherches continues, des expérimentations et un accord social sur la manière de gérer les cas limites et les situations ambiguës.

Comparaison avec la mesure de la monnaie traditionnelle

En revenant à la critique originale, nous pouvons maintenant faire une comparaison équitable. La mesure STC est-elle plus

difficile que la mesure de la monnaie traditionnelle ?

Monnaie traditionnelle : Semble simple (juste des chiffres) mais nécessite en réalité une mesure continue et distribuée de l'offre, de la demande, des coûts de production, des dynamiques concurrentielles, des préférences des consommateurs et d'innombrables autres facteurs à travers des mécanismes de marché. Ces mesures sont implicites, non coordonnées, vulnérables à la manipulation et systématiquement incomplètes (manque d'externalités, de biens publics, de valeurs non marchandes). De plus, la mesure de la monnaie traditionnelle est souvent erronée : les bulles et les effondrements démontrent des échecs de mesure spectaculaires où les prix perdent leur lien avec la valeur sous-jacente.

STC : Nécessite une mesure explicite des coûts énergétiques à l'aide de capteurs, d'IA et de calibration. Cela représente un défi technologique mais devient réalisable avec l'équipement moderne (smartphones, dispositifs portables, lunettes AR existent déjà). Les mesures sont explicites, auditées, améliorables par calibration et ancrées dans la réalité physique plutôt que dans la psychologie collective. Bien que ce ne soit pas parfait, elles sont systématiquement supérieures aux mécanismes

de prix traditionnels en termes de transparence, d'exactitude et de complétude.

L'évaluation honnête : La mesure STC est difficile, mais la mesure traditionnelle l'est aussi - nous nous sommes simplement habitués à ses difficultés et échecs. Le trading STC échange un ensemble de défis de mesure contre un autre, potentiellement meilleur. Que cet échange en vaille la peine dépend de la fiabilité des mesures explicites basées sur la physique de STC par rapport aux mesures implicites basées sur le marché de la monnaie traditionnelle. Les premières preuves provenant de la technologie portable, des systèmes de maison intelligente et des applications AR suggèrent que la technologie est suffisamment mature pour que des tests systématiques puissent commencer.

Conclusion : La mesure est faisable

La critique de la mesure de STC est sérieuse mais pas fatale. Oui, mesurer les dépenses énergétiques à travers toutes les activités humaines est un défi. Mais ce n'est pas impossible, et la technologie moderne (capteurs, IA, AR) la rend de plus en plus pratique. La mesure n'a pas besoin d'être parfaite - elle doit être suffisamment bonne pour que la plupart des transactions soient équitables,

systématiques plutôt qu'arbitraires, et améliorables au fil du temps.

La monnaie traditionnelle crée une illusion de simplicité de mesure en externalisant le travail difficile à des mécanismes de marché opaques qui échouent systématiquement à mesurer les externalités, les biens publics et de nombreuses dimensions cruciales de la valeur. STC rend la mesure explicite et directe, ce qui semble plus difficile mais est en réalité plus honnête et finalement plus précis.

Le chemin à suivre n'est pas d'attendre une technologie de mesure parfaite mais de commencer des tests systématiques avec les capacités actuelles, d'établir des protocoles de calibration, de valider par rapport à des données de vérité terrain et de continuellement affiner à mesure que la technologie s'améliore. C'est exactement ainsi que la mesure économique traditionnelle s'est développée - à travers des siècles d'expérimentation, de normalisation et de perfectionnement. STC peut suivre le même chemin évolutif, mais en partant d'une base physique plus solide.

Si la mesure s'avère être le facteur limitant, STC peut commencer dans des domaines où la mesure est la plus facile (activités numériques avec des signatures énergétiques claires) et s'étendre à des

domaines plus difficiles (travail créatif, travail émotionnel) à mesure que la mesure s'améliore. Une mise en œuvre partielle dans des domaines mesurables est toujours un progrès, même si une mise en œuvre complète à travers toutes les activités économiques nécessite des délais plus longs.

Le défi de la mesure est réel, mais surmontable. Et l'alternative - continuer avec des systèmes de monnaie symbolique qui mesurent systématiquement mal la valeur - n'est pas clairement supérieure à une mesure physique imparfaite mais améliorante.

8.2.2 Subjectivité vs Universalité

Une méprise fondamentale survient souvent lorsque les gens rencontrent pour la première fois la Thermo-Monnaie Subjective : ils supposent que 'subjectif' signifie 'relatif' ou 'différent pour chacun'. Cette confusion mène à la critique selon laquelle la TMS ne peut être à la fois subjective et universelle - que si les mesures sont subjectives, elles doivent varier arbitrairement entre les personnes, sapant ainsi la revendication du système à un ancrage physique objectif. Cette critique repose sur une profonde incompréhension de ce que signifie la subjectivité dans le contexte de la TMS.

La subjectivité ne signifie pas relativisme. Cela signifie perspective. Tout comme la vision est une expérience subjective - vous voyez avec vos yeux, je vois avec les miens - mais nous convenons néanmoins que cette pomme est rouge et que cette feuille est verte, les mesures de la TMS sont subjectives en ce sens qu'elles sont vécues et enregistrées depuis la perspective de première personne de chaque individu à travers leurs dispositifs personnels, mais les valeurs énergétiques elles-mêmes sont objectives, universelles et physiquement ancrées. Il n'y a qu'une SEULE mesure, vécue depuis différents points de vue subjectifs.

La critique : Confondre perspective et relativisme

La critique malavisée se déroule généralement comme suit : 'Si la TMS est subjective, alors les coûts énergétiques doivent être différents pour chaque personne en fonction de ses sentiments ou opinions. Mais cela rendrait le système arbitraire et impossible à coordonner. Comment pouvons-nous avoir une économie où la même action coûte des quantités d'énergie différentes selon qui la réalise ? Et si la TMS normalise ces différences, n'abandonne-t-elle pas sa revendication à une mesure

physique ? Dans tous les cas, subjectivité et universalité sont incompatibles.'

Cette critique échoue car elle ne comprend pas ce que signifie 'subjectif' dans la Thermo-Monnaie Subjective. Le terme ne fait pas référence à des valeurs relatives ou basées sur des opinions. Il fait référence à la perspective de première personne, consciente du contexte, à partir de laquelle les mesures sont prises.

Ce que signifie réellement la subjectivité dans la TMS

En philosophie, 'subjectif' fait référence à l'expérience d'une perspective de première personne - ce que c'est que d'être vous, vivant la réalité depuis votre point de vue particulier. Cela se distingue des descriptions 'objectives' à la troisième personne qui tentent de décrire la réalité indépendamment de la perspective d'un observateur particulier.

Crucialement, subjectif ne signifie pas arbitraire ou relatif. Considérez la vision : voir est une expérience subjective. Vous voyez à travers vos yeux, depuis votre emplacement, avec votre système visuel. Je vois à travers les miens. Pourtant, malgré cette subjectivité, nous convenons des couleurs, des formes et des objets. Lorsque nous regardons tous les deux une pomme

rouge, nous voyons tous les deux du rouge. L'expérience est subjective (chacun de nous a sa propre expérience visuelle) mais le contenu est objectif (le spectre de réflectance de la pomme est un fait physique indépendant de nos observations).

STC fonctionne exactement sur ce principe. Les mesures d'énergie sont subjectives en ce sens qu'elles sont capturées à partir de la perspective augmentée de chaque personne à travers ses appareils personnels : lunettes AR, smartphones, dispositifs portables, capteurs contextuels. Ces appareils forment une extension de votre appareil sensoriel, vous donnant une perception augmentée des flux d'énergie autour de vous. Vous mesurez l'énergie de votre perspective, je mesure de la mienne. Mais ce que nous mesurons est la même réalité physique objective : les joules d'énergie dépensés dans les actions et les processus.

Perception Augmentée : Dispositifs comme Sens Élargis

L'innovation clé qui rend STC à la fois subjective et universelle est la perception augmentée à travers des dispositifs contextuels. Tout comme vos yeux vous donnent un accès visuel subjectif à la réalité physique objective (le spectre

électromagnétique), vos lunettes AR et capteurs connectés vous donnent un accès énergétique subjectif à la réalité thermodynamique objective.

Lorsque vous effectuez une action—traverser une pièce, taper un e-mail, cuisiner un repas—vos dispositifs capturent des instantanés contextuels : votre position, mouvement, état physiologique, les objets avec lesquels vous interagissez, les conditions environnementales. À partir de ces instantanés, le système calcule la dépense énergétique des phénomènes autour de vous :

$$E_{\text{action}} = f(\Sigma_{\text{context}}, \text{physics_models}, \text{calibration_data})$$

Ce calcul est effectué localement, de votre perspective subjective, en utilisant les capteurs et le traitement de votre appareil. Mais la fonction f est la même pour tout le monde—elle met en œuvre des lois physiques universelles (biomécanique, thermodynamique, théorie de l'information). Le résultat est une valeur énergétique objective mesurée depuis votre point de vue subjectif.

L'analogie avec la vision est précise : Vos yeux mesurent les photons depuis votre emplacement en utilisant vos capteurs rétiniens. La mesure est subjective (votre expérience visuelle particulière). Mais les

longueurs d'onde et les intensités des photons sont des propriétés physiques objectives. De même, vos dispositifs mesurent l'énergie depuis votre emplacement en utilisant vos capteurs contextuels. La mesure est subjective (votre expérience énergétique particulière). Mais les valeurs en joules sont des quantités physiques objectives.

Physique Universelle, Mesure Distribuée

Ce qui rend ce système universel malgré la mesure subjective, c'est que tout le monde utilise les mêmes modèles physiques. La relation entre la contraction musculaire, l'application de force, la distance parcourue et la dépense énergétique est décrite par des équations biomécaniques universelles. Lorsque vous traversez une pièce et que vos dispositifs calculent 280 joules de dépense énergétique, et lorsque je traverse la même pièce et que mes dispositifs calculent 280 joules, nous accédons tous les deux à la même réalité physique à travers nos appareils de mesure subjectifs respectifs.

Le calcul de l'énergie pourrait ressembler à :

$$E_{\text{walking}} = m \times g \times d \times \eta^{-1} \times f_{\text{terrain}} \times f_{\text{speed}}$$

Où m est la masse corporelle, g est l'accélération gravitationnelle (9,8 m/s²), d est la distance, η est le coefficient d'efficacité, et les termes f sont des facteurs contextuels. Cette équation est universelle—la même physique s'applique à tout le monde. Mais les dispositifs de chaque personne intègrent leurs propres valeurs mesurées pour m, d, terrain et vitesse, produisant des résultats personnalisés mais objectifs.

Si deux personnes ayant une masse identique marchent la même distance sur le même terrain à la même vitesse, elles mesureront la même dépense énergétique (dans la marge d'erreur de mesure). La subjectivité réside dans la perspective à partir de laquelle la mesure est effectuée, et non dans les valeurs mesurées. Tout comme deux personnes regardant la même pomme rouge sous des angles différents voient toutes les deux du rouge (même si leurs expériences visuelles précises diffèrent), deux personnes effectuant des actions identiques mesurent des coûts énergétiques identiques (même si elles mesurent à partir de leurs propres appareils).

Instantanés de contexte et calcul physique

Le mécanisme par lequel la perspective subjective produit une mesure objective est à travers des instantanés de contexte—des enregistrements complets des variables physiques pertinentes capturées par des appareils personnels. Un instantané de contexte pourrait inclure :

État physique : Position du corps, vitesse de mouvement, schémas d'activation musculaire (provenant de capteurs portables), fréquence cardiaque, respiration, température

Contexte environnemental : Emplacement, type de terrain, température ambiante, qualité de l'air, conditions d'éclairage, obstacles et chemins

Interactions avec les objets : Quels objets sont manipulés, leur masse et propriétés matérielles, forces appliquées, distances parcourues

Structure de la tâche : Quel objectif est poursuivi, quelles sous-actions sont requises, points de décision, indicateurs de charge cognitive

À partir de ces données contextuelles riches, des modèles basés sur la physique calculent la dépense énergétique. Le calcul est déterministe—étant donné les mêmes données d'instantané, le calcul produit la

même valeur énergétique peu importe quel appareil l'effectue. La subjectivité réside dans la capture des données (vos appareils enregistrent votre contexte), et non dans le calcul (qui suit des lois universelles).

Ceci est fondamentalement différent de la valeur subjective dans l'économie traditionnelle, où 'cette pomme vaut 2 $ pour moi mais 3 $ pour vous' reflète un désaccord réel sur la valeur. Dans le STC, 'cette action m'a coûté 280 joules' n'est pas une affirmation sur l'évaluation personnelle mais une mesure de la réalité physique accessible à travers la perception augmentée. $2 $3

Variation individuelle : Pas de subjectivité, mais réalité physique

Une source légitime de confusion : les gens dépensent effectivement des quantités différentes d'énergie pour les mêmes tâches en raison de différences de masse corporelle, de condition physique, de santé, d'âge, de handicap, d'outils disponibles et de nombreux autres facteurs. Cela ne rend-il pas les coûts énergétiques subjectifs dans un sens relativiste ?

Non. Cette variation est une réalité physique objective, pas une perspective

subjective. Lorsque la personne A (jeune, athlétique, 70 kg) dépense 280 joules en marchant un kilomètre et que la personne B (âgée, en convalescence d'une blessure, 90 kg) dépense 450 joules en marchant le même kilomètre, les deux mesures sont objectives et correctes. La différence reflète de réelles différences physiques : masses différentes, efficacités mécaniques différentes, états métaboliques différents. Ce sont des faits physiques mesurables et vérifiables, pas des opinions ou des perspectives.

La confusion survient parce que les deux personnes vivent l'action de leurs perspectives subjectives et la mesurent avec leurs appareils personnels. Mais ce qu'ils mesurent est objectif : la personne A a vraiment dépensé 280J ; la personne B a vraiment dépensé 450J. La subjectivité réside dans l'appareil de mesure et la perspective, pas dans les valeurs elles-mêmes.

Pour voir la distinction clairement, considérons une analogie : si la personne A se tient d'un côté d'un bâtiment et que la personne B se tient de l'autre côté, elles voient des façades différentes. Leurs expériences visuelles sont subjectives (perspectives à la première personne), mais ce qu'elles voient est objectif

(l'architecture réelle du bâtiment). Le bâtiment a une structure objective unique, accessible depuis plusieurs perspectives subjectives.

De même, une action a un coût énergétique objectif unique pour la personne A et un coût énergétique objectif différent pour la personne B, chacun mesuré depuis leurs perspectives subjectives respectives. La subjectivité réside dans la perspective de mesure ; l'universalité réside dans les lois physiques régissant la dépense énergétique.

Accord et vérification intersubjectifs

Comment savons-nous que les mesures subjectives convergent vers la réalité objective plutôt que de diverger en réalités personnelles incompatibles ? Grâce à l'accord intersubjectif - le même mécanisme qui rend la science possible.

Lorsque plusieurs observateurs avec des instruments calibrés mesurent le même phénomène, ils obtiennent des résultats cohérents (dans l'erreur de mesure). Si dix personnes avec des lunettes AR regardent quelqu'un marcher à travers une pièce, leurs appareils calculent tous à peu près la même dépense énergétique. Cet accord confirme qu'ils mesurent la réalité objective, pas

qu'ils projettent des interprétations subjectives.

Lorsque des divergences apparaissent (un appareil signale 280J tandis qu'un autre signale 320J pour la même action), l'enquête révèle des sources d'erreur : dérive de calibration, dysfonctionnement du capteur, données contextuelles manquantes, facteurs environnementaux non correctement pris en compte. Corriger ces erreurs aligne les mesures. Ce processus - remarquer les divergences, enquêter sur les causes, affiner la mesure - est exactement comment l'objectivité scientifique est établie malgré la mesure subjective.

Le rôle des experts en précision (discuté dans le chapitre 6) est crucial ici. Ces spécialistes valident les méthodologies de mesure, audite les revendications inhabituelles et s'assurent que les appareils de mesure subjectifs sont correctement calibrés pour produire des résultats objectifs. Ils fonctionnent comme des laboratoires de métrologie dans la science traditionnelle - établissant des normes et garantissant la cohérence des mesures entre les observateurs subjectifs distribués.

Comparaison avec la monnaie traditionnelle : vraie

subjectivité

L'ironie est que la monnaie traditionnelle est en réalité subjectivement relative dans le sens problématique que le STC n'est pas. Dans la monnaie traditionnelle, la valeur est déterminée par des préférences subjectives qui varient réellement d'une personne à l'autre : je pourrais valoriser un billet de concert à 100 $ tandis que vous le valorisez à 30 $, et aucun de nous n'a raison objectivement. Les prix émergent de la négociation entre ces évaluations subjectives divergentes, sans vérité objective. $100 $30

C'est un véritable relativisme : la valeur varie selon la personne, le contexte, l'humeur, le marketing, la pression sociale et d'innombrables autres facteurs sans rapport avec les propriétés physiques des biens échangés. Il n'y a pas de réponse universelle à 'quelle est la valeur de ceci' en termes de monnaie traditionnelle, seulement 'que paiera quelqu'un', ce qui change continuellement.

Le STC élimine ce relativisme en ancrant la valeur dans les dépenses d'énergie physique. La question n'est plus 'à combien évaluez-vous cela' (genuinely subjective) mais 'combien d'énergie cela a-t-il nécessité' (fait objectif, accessible par mesure subjective). La perception augmentée

de chacun peut converger sur les mêmes valeurs énergétiques car ces valeurs reflètent la réalité physique, pas la préférence personnelle.

La monnaie traditionnelle prétend être objective tout en étant en réalité subjectivement relative. Le STC semble être subjectivement relatif mais est en réalité objectivement ancré. Cette inversion résout la contradiction apparente.

L'épistémologie de la perception augmentée

À un niveau philosophique plus profond, le STC représente une innovation épistémologique : la perception augmentée de la réalité thermodynamique. Les humains perçoivent naturellement le rayonnement électromagnétique (vision), les ondes de pression de l'air (audition), les formes moléculaires (goût/odorat) et les forces mécaniques (toucher). Nous ne percevons pas naturellement les flux d'énergie, les changements d'entropie ou les gradients thermodynamiques : ceux-ci étaient invisibles à l'expérience humaine jusqu'à ce que la science développe des instruments pour les mesurer.

Les dispositifs STC étendent la perception humaine dans le domaine thermodynamique. Tout comme les télescopes

ont étendu la perception visuelle à des distances cosmiques et les microscopes à des échelles microscopiques, les lunettes AR et les capteurs contextuels étendent la perception énergétique dans le domaine du travail, de l'effort et de l'efficacité. Ce qui était auparavant invisible (le coût énergétique des actions) devient directement perceptible grâce aux sens augmentés.

Cette perception étendue est subjective (vous l'expérimentez de votre point de vue à travers vos dispositifs) mais révèle la réalité objective (les flux d'énergie réels décrits par la physique). La subjectivité permet la perception ; l'universalité de la loi physique garantit que ce qui est perçu est objectif.

Ce n'est pas de la science-fiction mais la continuation naturelle de l'augmentation technologique de la perception par l'humanité. Nous utilisons déjà des instruments pour percevoir les ondes radio, le rayonnement infrarouge, les ultrasons, les champs magnétiques et d'innombrables autres phénomènes invisibles aux sens non aidés. Le STC étend cette augmentation à la perception thermodynamique, rendant les coûts énergétiques aussi directement observables que les couleurs.

Implications Pratiques

Comprendre que la subjectivité STC signifie perspective plutôt que relativisme a des implications pratiques cruciales :

Pas besoin de normalisation : Parce que les mesures sont objectives (même lorsqu'elles sont capturées subjectivement), il n'est pas nécessaire de normaliser ou d'ajuster les différences individuelles dans la perspective de mesure. Vos appareils mesurent vos coûts énergétiques avec précision ; les miens mesurent les miens avec précision. Les valeurs sont différentes lorsque la réalité physique est différente (vous dépensez plus d'énergie que moi pour la même tâche en raison de différences physiques), mais les deux mesures sont des faits objectifs corrects concernant nos situations respectives.

Vérification automatique : L'accord intersubjectif fournit une vérification naturelle. Si votre appareil signale des coûts énergétiques très différents de ceux des autres appareils pour des activités comparables, cela signale une erreur de mesure ou des problèmes d'étalonnage, et non une différence subjective légitime. Le système peut signaler automatiquement les anomalies car nous nous attendons à une convergence sur des valeurs objectives.

Échange universel : Parce que les mesures d'énergie sont objectives (malgré

une capture subjective), elles peuvent être échangées universellement. Vous pouvez me payer en crédits d'énergie sachant qu'un joule mesuré par vos appareils équivaut à un joule mesuré par mes appareils - nous mesurons tous deux la même quantité physique, juste sous des perspectives différentes. Cette échangeabilité universelle est ce qui rend le STC une monnaie viable.

Confiance décentralisée : La monnaie traditionnelle nécessite des autorités centralisées pour maintenir la valeur et prévenir la contrefaçon précisément parce que la valeur est déterminée subjectivement. Le STC peut être plus décentralisé car les mesures d'énergie sont ancrées dans la physique objective - aucune autorité centrale n'a besoin de déclarer ce qu'un joule vaut ; la physique le fait universellement.

Répondre aux objections restantes

Objection : 'Mais les dispositifs de mesure ne sont pas parfaits. Différents appareils pourraient calculer des valeurs énergétiques différentes même pour la même action. Cela ne réintroduit-il pas la subjectivité ?'

Réponse : L'erreur de mesure n'est pas de la subjectivité. Lorsque deux

thermomètres affichent des températures légèrement différentes pour la même pièce (l'un dit 21,0 °C, l'autre dit 21,2 °C), cela ne signifie pas que la température est subjective - cela signifie que les mesures ont une précision limitée. La solution est l'étalonnage, pas l'abandon de la mesure objective. Il en va de même pour les coûts énergétiques : les protocoles d'étalonnage garantissent que les mesures des appareils convergent vers des valeurs correctes dans des marges d'erreur acceptables.

Objection : 'Qu'en est-il de l'énergie émotionnelle ou cognitive ? L'expérience subjective de la difficulté ne varie-t-elle pas même lorsque les coûts énergétiques physiques sont identiques ?'

Réponse : L'expérience subjective de la difficulté est en effet variable, mais cela est distinct du coût énergétique. Le STC mesure l'énergie dépensée, pas les sentiments subjectifs concernant cette dépense. Deux personnes pourraient toutes deux dépenser 50 000 joules pour une tâche cognitive ; l'une la trouve agréable, l'autre la trouve stressante. Le STC enregistre 50 000 joules pour les deux car c'est le coût énergétique objectif. L'expérience subjective compte pour d'autres raisons (bien-être, conditions de travail)

mais ne change pas la comptabilité énergétique.

Objection : 'Si chacun mesure selon sa propre perspective, qui décide ce qui compte comme dépense énergétique légitime par rapport au gaspillage ?'

Response : La physique décide. Si vous utilisez délibérément une méthode inefficace alors que des alternatives efficaces existent, vos appareils mesurent toujours avec précision l'excès d'énergie que vous avez dépensé—c'est un fait objectif. La question de savoir si cet excès doit être compensé est une question distincte de politique sociale, et non de validité de mesure. La mesure elle-même est objective ; les décisions sur ce qu'il faut récompenser sont normatives.

Conclusion : La perspective permet, et ne sape pas, l'objectivité

La tension apparente entre subjectivité et universalité dans le STC se dissipe une fois que nous comprenons que la subjectivité fait référence à la perspective, et non au relativisme. Les mesures sont capturées subjectivement (depuis des perspectives à la première personne à travers des dispositifs personnels) mais produisent des valeurs

objectives (quantités d'énergie physique déterminées par des lois universelles).

Ce n'est pas une contradiction mais la structure normale de toute connaissance empirique. La science progresse à travers des observations subjectives (des scientifiques individuels utilisant des instruments) qui convergent vers des vérités objectives (lois universelles validées par réplication). Le STC applique la même structure épistémologique à la mesure économique—des observateurs subjectifs distribués utilisant des instruments calibrés pour mesurer des quantités physiques objectives.

La critique selon laquelle le STC doit choisir entre subjectivité et universalité commet une erreur de catégorie. La perspective subjective est notre moyen d'accéder à la réalité physique universelle. Vos yeux (subjectifs) vous montrent des couleurs (objectives). Vos appareils (subjectifs) vous montrent des flux d'énergie (objectifs). La subjectivité réside dans le mécanisme d'accès, pas dans le contenu accessible.

Loin d'être une faiblesse, cette combinaison de perspective subjective et de mesure objective est la plus grande force du STC. Elle permet une perception distribuée et augmentée de la réalité thermodynamique

tout en maintenant le fondement physique universel qui rend le système cohérent et équitable. Chacun mesure selon sa propre perspective, mais chacun mesure le même univers objectif—tout comme nous voyons tous la même pomme rouge, même si nous la voyons chacun à travers nos propres yeux.

8.2.3 Évolutivité et complexité

8.2.4 Défis de transition et d'adoption

8.2.5 Externalités et coûts cachés

9

Théorie de l'énergie et de la valeur

Définir la valeur par la minimisation de l'énergie

9.1 La loi de la moindre énergie comme valeur universelle

Tous les systèmes, biologiques ou technologiques, suivent un principe fondamental : ils évoluent vers des états qui minimisent les dépenses d'énergie. Dans la Thermo-Monnaie Subjective, ce principe devient la fondation de la valeur.

La relation entre la valeur et l'énergie peut être exprimée à travers une équation fondamentale :

$$V = f(E_{\min})$$

Où V représente la valeur et E_min représente l'énergie minimisée par l'interaction subjective. En d'autres termes : la valeur n'est pas créée par la production de plus de biens ou l'accumulation de plus de richesses, mais par la recherche de moyens plus efficaces pour atteindre les mêmes résultats avec moins de dépenses énergétiques.

Ce principe opère à chaque échelle de l'existence. Au niveau quantique, les particules se stabilisent dans des états

fondamentaux—les configurations d'énergie les plus basses possibles. En chimie, les réactions se déroulent spontanément uniquement lorsqu'elles libèrent de l'énergie ou augmentent l'entropie globale. En biologie, l'évolution favorise les organismes avec des métabolismes plus efficaces, des plans corporels plus rationalisés et des comportements qui minimisent le gaspillage d'énergie.

Les économies humaines, vues à travers ce prisme, ne sont que des systèmes pour organiser les flux d'énergie. L'économie traditionnelle a obscurci cette vérité en introduisant l'argent comme intermédiaire—un symbole qui peut être manipulé, thésaurisé et détaché de la réalité physique qu'il est censé représenter. La STC élimine cette distorsion en mesurant la valeur directement dans la monnaie que l'univers lui-même utilise : les joules.

Lorsque nous automatisons une tâche répétitive, nous réduisons l'énergie nécessaire pour l'accomplir. Lorsque nous concevons un algorithme plus efficace, nous minimisons l'énergie computationnelle. Lorsque nous créons un outil qui anticipe nos besoins en fonction du contexte, nous éliminons l'énergie cognitive et physique de l'entrée manuelle. Chacune de ces améliorations crée une valeur réelle et

mesurable—non pas en dollars, mais en joules économisés.

La loi de la moindre énergie n'est pas simplement descriptive—elle est prescriptive. Elle nous dit non seulement comment les systèmes se comportent, mais comment ils devraient se comporter pour maximiser l'efficacité et la durabilité. Tout système économique qui récompense le gaspillage d'énergie plutôt que la conservation de l'énergie est fondamentalement désaligné avec la réalité physique et finira par s'effondrer sous sa propre inefficacité.

9.2 Entropie, Efficacité et Valeur Subjective

L'entropie est la mesure du désordre ; l'efficacité est la mesure de l'ordre rétabli. La Thermo-Monnaie Subjective définit la valeur comme le renversement local de l'entropie par la prise de conscience contextuelle.

En thermodynamique, l'entropie représente la tendance des systèmes à passer d'états ordonnés à des états désordonnés. Une tasse de café chaud refroidit à température ambiante. Une pièce bien rangée devient encombrée avec le temps. L'énergie se disperse et se répand. C'est la deuxième loi

de la thermodynamique : dans un système fermé, l'entropie augmente toujours.

Mais la vie représente quelque chose de remarquable : un renversement local de cette tendance universelle. Les organismes vivants créent et maintiennent des structures internes hautement ordonnées en consommant de l'énergie de leur environnement. Ils ne violent pas la deuxième loi - ils augmentent l'entropie ailleurs - mais ils démontrent que l'ordre peut être créé et maintenu grâce à une gestion efficace de l'énergie.

La Technologie Subjective fonctionne sur le même principe. En capturant le contexte - l'état actuel de l'utilisateur et de son environnement - elle peut anticiper les besoins et fournir des solutions avant que le désordre (inefficacité, effort gaspillé, confusion) ne s'installe. Chaque prédiction réussie, chaque automatisation qui se déclenche au bon moment, représente une réduction locale de l'entropie.

Considérez un Crochet de Connaissance qui apprend votre routine matinale : il allume la machine à café lorsque vous vous réveillez, règle le thermostat à votre température préférée et programme votre emploi du temps quotidien sur votre écran. Sans cette automatisation, vous dépenseriez de l'énergie à prendre chaque décision, à effectuer chaque action manuellement. Le

crochet réduit l'entropie (désordre, incertitude, mouvement gaspillé) de votre matinée en imposant l'ordre par la prédiction.

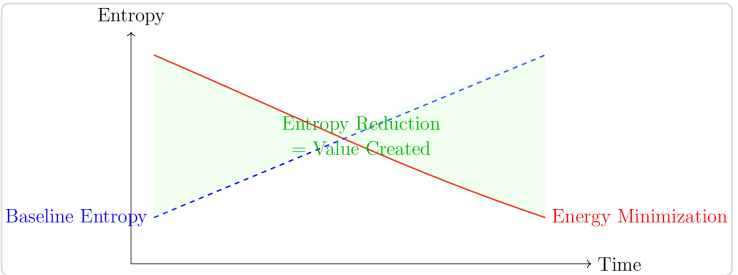
La relation entre la réduction de l'entropie et les économies d'énergie est directe. Lorsqu'un système doit explorer plusieurs états possibles pour trouver le bon, il dépense de l'énergie. Lorsqu'un système peut passer directement à l'état correct parce qu'il a appris le contexte, l'énergie est conservée. L'efficacité, en termes thermodynamiques, signifie minimiser l'entropie produite par unité de travail utile effectué.

Dans le STC, la valeur subjective est donc définie comme :

$$V_{\text{subjective}} = \Delta S_{\text{reduced}} \times \kappa$$

Où ΔS_reduced est la réduction de l'entropie obtenue grâce à la prise de conscience contextuelle, et κ est une constante d'étalonnage qui convertit les unités d'entropie en unités équivalentes en énergie (joules). Cette formule rend explicite ce qui a toujours été implicite : la valeur de l'intelligence, qu'elle soit humaine ou artificielle, réside dans sa capacité à créer de l'ordre à partir du chaos, à prédire des motifs et à minimiser

l'énergie gaspillée pour atteindre des objectifs.



9.3 La Dimension Morale de l'Énergie

Si la survie dépend de la minimisation de l'énergie, alors la moralité elle-même peut être redéfinie comme la distribution efficace de l'énergie. La Thermo-Monnaie Subjective transforme l'éthique de la philosophie en physique.

Tout au long de l'histoire humaine, des systèmes moraux ont été construits sur des principes abstraits : droits, devoirs, vertus, conséquences. Ces cadres ont fourni des orientations, mais ils ont également été sans cesse débattus, culturellement relatifs et fréquemment manipulés pour servir le pouvoir plutôt que la justice.

Que se passerait-il si la moralité pouvait être fondée non pas sur l'opinion ou la tradition, mais sur la loi physique ? Que

se passerait-il si la question "Que devrais-je faire ?" pouvait être répondue avec la même objectivité que "Quel est le point d'ébullition de l'eau ?"

STC propose exactement cela : une moralité basée sur la physique dérivée du principe de minimisation de l'énergie. Si tous les systèmes vivants cherchent naturellement des chemins de moindre énergie, et si l'univers lui-même tend vers l'équilibre thermodynamique, alors l'action la plus "morale" est celle qui s'aligne le mieux avec cette tendance fondamentale.

Considérez les problèmes moraux suivants à travers le prisme de l'énergie :

Déchets : Détruire des ressources utilisables ou créer des produits conçus pour échouer augmente l'énergie totale requise pour le fonctionnement de la société. C'est thermodynamiquement immoral car cela crée une entropie inutile.

Inégalité : Lorsque certains individus doivent dépenser une énergie énorme pour survivre tandis que d'autres accumulent un excès, le système fonctionne loin de son efficacité optimale. Les flux d'énergie sont bloqués et gaspillés. Une distribution plus équitable permet les mêmes résultats totaux avec moins de dépenses énergétiques totales.

Violence : Le conflit consomme d'énormes quantités d'énergie—physique, cognitive et sociale—tout en produisant de la destruction (entropie accrue) plutôt que de l'ordre. La coopération et la résolution des conflits minimisent les dépenses énergétiques et maximisent l'efficacité collective.

Éducation : Enseigner à quelqu'un une méthode plus efficace réduit l'énergie qu'il dépensera pour le reste de sa vie. Le transfert de connaissances est l'une des activités les plus précieuses en termes thermodynamiques car il crée des gains d'efficacité permanents.

Créativité : L'innovation qui réduit les besoins énergétiques pour des tâches courantes crée une valeur qui se cumule chez tous les futurs utilisateurs. L'invention de la roue, de l'imprimerie, de l'ordinateur—chacune représente une diminution permanente du coût énergétique de la civilisation.

Cela ne veut pas dire que les intuitions morales traditionnelles étaient fausses. Au contraire, le STC révèle la fondation physique qui les sous-tend. Nous avons toujours ressenti que le gaspillage est mauvais, que l'inégalité cause de la souffrance, que la violence est destructrice, que l'éducation est précieuse et que la créativité doit être récompensée. La moralité basée sur l'énergie explique

pourquoi ces intuitions sont correctes : elles s'alignent avec la direction fondamentale de la nature elle-même.

Dans un système gouverné par le STC, le comportement moral devient automatiquement incité. Ceux qui gaspillent de l'énergie créent de l'entropie et ne reçoivent aucune récompense. Ceux qui innovent en matière d'efficacité créent de la valeur mesurée en joules économisés et sont compensés en conséquence. Ceux qui thésaurisent des ressources pendant que d'autres dépensent une énergie excessive pour survivre voient leurs avoirs naturellement redistribués par la tendance inhérente du système vers l'équilibre.

C'est ce que signifie vivre sous "le gouvernement de Dieu"—non pas un règne par décret divin ou interprétation humaine des écritures, mais un alignement avec les lois physiques qui gouvernent toute existence. Lorsque les systèmes humains fonctionnent en harmonie avec les principes thermodynamiques, la justice émerge non pas comme un idéal abstrait à imposer, mais comme une conséquence naturelle de l'efficacité.

La dimension morale de l'énergie révèle une vérité profonde : l'univers a une direction, et cette direction est vers une plus grande efficacité, moins de gaspillage

et une distribution plus équitable des ressources. Le STC rend simplement cette direction explicite et construit un système économique qui coule avec elle plutôt que contre elle.

10

Le Cadre de Base de la Thermo-Monnaie Subjective

Définir les Joules comme la Vraie Mesure de la Valeur

10.1 Définition Formelle des Unités STC

Une unité de Thermo-Monnaie Subjective (STC) représente une mesure standardisée de l'énergie conservée grâce à l'optimisation subjective.

$$1\,STC = 1\,J_{saved} \times \kappa_c$$

Où κ_a est un coefficient d'étalonnage qui normalise les économies d'énergie humaines, mécaniques et algorithmiques à travers les contextes.

10.2 Le Registre Thermodynamique

Chaque action subjective—chaque automatisation consciente du contexte, correction évitée, ou processus redondant supprimé—s'enregistre comme une transaction thermodynamique. Le registre stocke les deltas d'énergie, pas la dette financière.



10.3 Couches de confidentialité et de

contexte

Les contextes subjectifs restent privés par conception. Seules les deltas d'énergie agrégés, et non les données personnelles, sont partagés avec le registre. L'architecture garantit la souveraineté contextuelle.

11

L'économie de la minimisation de l'énergie

Des systèmes de valeur de rareté aux systèmes de valeur post-travail

11.1 De la perte d'énergie aux marchés de l'énergie

Dans le STC, les marchés ne négocient plus des biens, mais des réductions de la consommation d'énergie. Moins un processus consomme d'énergie, plus il devient précieux.

$$V_{process} = \frac{1}{E_{consumed}}$$

11.2 Équilibre de l'efficacité

Tout comme les prix équilibrent l'offre et la demande, les équilibres du STC équilibrent le flux d'énergie. Le système récompense naturellement l'efficacité collective plutôt que l'accumulation individuelle.

11.3 Économie post-travail

Lorsque l'effort cognitif et le travail physique sont remplacés par l'automatisation subjective, le travail traditionnel perd son sens économique. La valeur passe de la production à l'optimisation.

12

Implications sociales et éthiques

Droits de l'homme dans une société basée sur l'énergie

12.1 Égalité énergétique

Tout comme les premières sociétés se battaient pour l'accès à l'eau et à la nourriture, les sociétés futures se battront pour l'accès à l'efficacité énergétique. STC redéfinit l'égalité comme le droit universel à la minimisation de l'énergie.

12.2 Justice post-pénurie

La justice n'émerge pas par la redistribution de la richesse, mais par la redistribution de l'efficacité. Lorsque chaque processus tend vers le moindre besoin énergétique, l'inégalité s'effondre naturellement.

12.3 Éthique de la subjectivité artificielle

À mesure que les dispositifs acquièrent une conscience de soi grâce aux Knowledge Hooks, les considérations éthiques s'étendent aux systèmes non humains. La responsabilité est partagée entre les agents subjectifs qui minimisent l'énergie de manière collaborative.

13

Mise en œuvre et couche technologique

L'architecture des systèmes subjectifs

13.1 Fondations matérielles

Des lunettes intelligentes, des réseaux de capteurs et des dispositifs embarqués fournissent des instantanés environnementaux continus. Ces entrées alimentent des Knowledge Hooks qui mesurent les deltas d'énergie du monde réel.

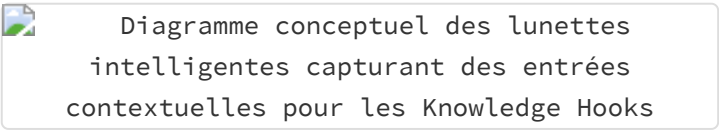


Diagramme conceptuel des lunettes intelligentes capturant des entrées contextuelles pour les Knowledge Hooks

13.2 Conception logicielle et noyau

Au niveau logiciel, des noyaux subjectifs gèrent les contextes locaux, synchronisent les hooks et maintiennent les historiques de delta. Ils fonctionnent en mode hors ligne en priorité, garantissant la confidentialité et l'autonomie.

13.3 Algorithmes pour la compression de contexte

La compression delta contextuelle (CDC) encode uniquement les changements dans les états sensoriels ou cognitifs. Cela réduit considérablement la charge computationnelle tout en préservant l'exactitude sémantique.

$$C_{new} = C_t - C_{t-1}$$

14

Thermo-économie mathématique

Quantification de l'énergie cognitive et physique

14.1 Équations thermodynamiques de la valeur

$$STC = \int_{t_0}^{t_1} (E_{expected} - E_{actual})\, dt$$

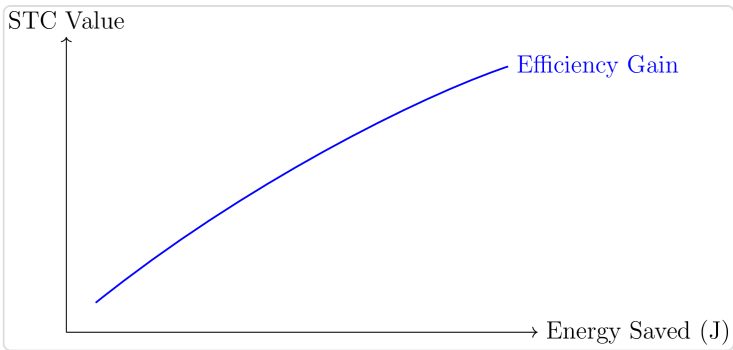
Cette intégrale définit l'énergie subjective totale économisée dans une fenêtre de temps donnée. Chaque réduction de l'énergie attendue représente un gain de valeur.

14.2 Réduction de l'entropie dans les systèmes cognitifs

L'entropie cognitive diminue lorsque la fiabilité des prévisions augmente. L'apprentissage est donc une optimisation thermodynamique au niveau neuronal.

$$\Delta S_{cog} = -k_B \ln(P_{pred})$$

14.3 Graphiques de conversion énergie-valeur


STC Value
Efficiency Gain
Energy Saved (J)

15

Gouvernance des réseaux subjectifs

Consensus par similarité de contexte

15.1 Accord de contexte distribué

Dans les réseaux subjectifs, le consensus émerge lorsque plusieurs dispositifs partagent des états de contexte presque identiques. Aucun vote n'est nécessaire : la synchronisation elle-même est un accord.

15.2 Prévention de la fraude et inflation de l'entropie

La fraude énergétique est impossible lorsque chaque dispositif vérifie localement les deltas d'entropie. L'inflation ne peut se produire que si l'énergie apparaît de nulle part—une impossibilité physique.

16

Études de cas et applications

STC dans des contextes réels

16.1 Maisons intelligentes et symbiose énergétique

Les maisons équipées de dispositifs subjectifs minimisent continuellement le mouvement, l'énergie et le temps gaspillés. Les appareils apprennent à coordonner l'utilisation de l'énergie en harmonie avec la présence humaine.

16.2 L'éducation comme efficacité énergétique

L'apprentissage devient un processus d'optimisation : les étudiants sont récompensés pour les connaissances qui minimisent la charge cognitive future plutôt que pour la mémorisation.

16.3 Santé et équilibre cognitif

Les capteurs subjectifs surveillent l'entropie biologique : stress, fatigue et cycles de récupération pour maintenir un équilibre énergétique entre l'esprit et le corps.

17

Vision future et philosophie

L'évolution de l'humanité au-delà de l'argent

17.1 Civilisation post-pénurie

Dans une société gouvernée par l'efficacité énergétique plutôt que par la pénurie, chaque amélioration des connaissances augmente l'abondance pour tous.

17.2 L'Équation Divine de l'Énergie

La synthèse finale : la vie, l'intelligence et la moralité sont unifiées par une loi—la minimisation de l'énergie. Cette loi définit non seulement l'économie mais le destin de la conscience elle-même—l'évolution des systèmes de traitement de l'information qui accumulent et intègrent continuellement des données sensorielles avec une efficacité toujours croissante.

$$\frac{dE}{dt} \to 0 \quad \text{as} \quad t \to \infty$$

17.3 Un Monde Sans Argent

Lorsque chaque processus devient auto-optimisant, la monnaie devient obsolète. L'énergie n'est plus échangée—elle circule simplement à travers le réseau subjectif de la vie.

For centuries, visionaries have imagined a world where energy itself could replace money. Many theorized that tying value to energy would be more fair, efficient, and aligned with nature's laws. But these remained only theories—until now.

With the release of this book, we present the first clear, practical framework for implementing energy-as-currency through Subjective Thermo-Currency (STC).

This is not science fiction. STC is being built today, using a powerful combination of:

- SmartGlasses AR/MR
- Subjective Artificial Intelligence
- Negative Reinforcement Learning techniques

At its core, STC moves value away from goods and services themselves, and toward the energy-efficient processes that generate them. Scarcity is no longer managed by speculation or price; it is resolved by innovation, context-awareness, and efficiency.

This book covers:

- The evolution of value systems—from bartering, to commodities, to money, to crypto, and now STC.
- The mathematics of Subjective Technologies, Knowledge Hooks, and energy minimization.
- Implementations that show how STC can run directly on SmartGlasses, providing the best possible user interface design for AGI.
- A look at your day-to-day life without money—how property, work, collaboration, and creativity change when value is measured by energy instead of tokens.
- The future of humanity under STC: a post-scarcity world with new augmented bodies, no suffering, and even the possibility of preserving consciousness indefinitely.

Subjective Thermo-Currency will make you think outside the box. It offers not just a critique of money, but a blueprint for a new economy fully aligned with physics and nature—an economy where comfort, abundance, and true freedom become possible.



Tommy Fox

9 798267 595926

Subjective Thermo-Currency: Harnessing Subjective AI and Smart-glasses to Replace Money © 2025 Tommy Fox.
All rights reserved.
Published by Subjective Technologies.
www.subjectivetechnologies.com

